

9365, 1  
IV







5/53

I 429

3 Wgh Tady  
1916  
co

Gelymore

[75]



atypn dypm na. bies cy rok at dyp atypn

1). Dowie

2). Wondos

O porostawimie probieranego atypn dypm

Dawno kigo po ukonwani at dyp at

eln dda dawa spawim nawsyich kigo

po dyp:

1). Homme

2). Zenkwinia

3). Witriski

Uchodowo pulsi' porych wrythick

wymienionym kandydator do uwzględnienia,

ponieważ wotynij na to z wpych na

poty puz w at dypach jak i z wpych na

uistawo,



## Drei Vorträge über Diffusion,

[75]

Brown'sche Molekularbewegung und Koagulation von Kolloidteilchen.

Von

M. v. Smoluchowski.

Physikalische Zeitschrift.

Manuscript Nr. 3918

Bd. 4

Figuren 4

S. 199-216

Korrekturen an

## I. Diffusion im unbegrenzten Raum.

## 1. Einleitung.

In den nachstehenden drei Vorträgen<sup>\*)</sup> soll eine Übersicht über einige neuere <sup>theoretische</sup> Untersuchungen gegeben werden, in welchen ich versucht habe, den inneren Mechanismus der Diffusion und einiger damit zusammenhängender Molekularphänomene klarzustellen, indem ich einige Gedanken näher ausgeführt habe, welche in einem vor drei Jahren hier in Göttingen gehaltenen Vortrag<sup>\*\*)</sup> kurz angedeutet waren. Einerseits besitzt dieses Thema eine besondere ~~bedeutende~~ Bedeutung infolge seiner Anwendung auf die Physik der Kolloide, in welcher diese Erscheinungen eine grundlegende Rolle spielen — ein charakteristisches Beispiel, die Koagulation, werden wir später noch eingehender zu betrachten haben; andererseits sollte es meiner Ansicht nach in der theoretischen Physik die Stellung eines Schulbeispiels einnehmen, an welchem man die relative Berechtigung und Tragweite der thermodynamisch-makroskopischen Betrachtungsweise und der mikroskopisch-molekularen Analyse in allen Einzelheiten und in relativ einfacher Weise vergleichen kann, wobei sich überdies fast jeder Schritt durch direkte experimentelle Erfahrung illustrieren und kontrollieren lässt.

Es liegt das daran, dass ~~uns~~ ein und dieselbe Erscheinung<sup>\*\*\*)</sup>, je nach dem von uns eingenommenen Standpunkt, in doppelt verschiedener Weise entgegen tritt: makroskopisch betrachtet heißt sie „Diffusion“, mikroskopisch unter der „Brown'sche Molekularbewegung“, falls man nämlich die Lebensgeschichte eines individuellen materiellen Teilchens verfolgt, oder aber „Konzentrationschwankung“, falls man ein bestimmtes Volumenelement im Auge

\*) Vervollständigt durch die Anfertigung der Wolkkehlstiftung in Göttingen, 20-22. Juni 1916, gehalten  
\*\*) Vgl. Vorträge u. kritische Theorie d. Retin u. Elektroretin, Tübingen 1914, S. 89.

Adresse d. Professors: Prof. M. v. Smoluchowski  
Krakau, Studencka 27



Physiologische Grundlagen

Der Fortschritt der Wissenschaft

Physiologische Grundlagen der Fortschritt der Wissenschaft

Dr. v. J. J. J. J.

I. Diffusion im menschlichen Körper

1. Einführung

In der vorliegenden Arbeit soll eine Übersicht über die Diffusion im menschlichen Körper gegeben werden, in welchem Zusammenhang sie mit den anderen physiologischen Vorgängen steht. Die Diffusion ist ein physikalischer Vorgang, bei dem sich Stoffe von einem Ort zum anderen bewegen, um einen Konzentrationsausgleich zu erzielen. Dieser Prozess ist für das Leben von großer Bedeutung, da er die Versorgung der Zellen mit Nährstoffen und die Abfuhr von Abfallprodukten ermöglicht. In der folgenden Arbeit soll der Mechanismus der Diffusion im menschlichen Körper genauer betrachtet werden, insbesondere die Rolle der Zellmembranen und der Blutgefäße. Es wird gezeigt, wie die Diffusion in verschiedenen Geweben und Organen abläuft und welche Faktoren diesen Prozess beeinflussen. Am Ende der Arbeit wird ein Fazit gezogen, das die Bedeutung der Diffusion für das menschliche Leben zusammenfasst.

Physiologische Grundlagen der Fortschritt der Wissenschaft







2. Deutsche Reichsbank

$$x^2 = \frac{1}{20.5 \sqrt{2}} = x^2 \approx 0.0119$$

(A) — — —

[illegible][illegible]

\*<sup>1</sup>) Tow lightship, Phil. Mag. 10, 72, 1880; Ann. Natur. histor., Berl. Acad. Sciences 1906 p. 203. The illustration  
which has been used here is from the "Illustration der Thunfische des Atlantischen Ozeans" (London 1880).

[illegible]



Zurücklegung der  $n$  ten Wegstrecke:

$$W_n(x) dx = \frac{dx}{2} \int_0^\infty \left( \frac{\sin q\lambda}{q\lambda} \right)^n \cos q(x-x_0) dq$$

was für große Zahlen  $n$  übergeht in:

$$W_n(x) dx = \sqrt{\frac{3}{2n\lambda^2\pi}} e^{-\frac{3}{2n\lambda^2}(x-x_0)^2}$$

Dem entspricht man, dass  $n = \frac{Ct}{\lambda}$  ist, so geht dies die Formel (1) wenn der Koeffizient  $\frac{C\lambda}{6}$  mit  $D$  bezeichnet wird.

In der Stattheorie sind wir mit Clausius gewohnt, auch die Verschiebungen in der Länge der geradlinigen Wegstücke in Rechnung zu ziehen, indem wir für die Wahrscheinlichkeit einer geradlinigen freien Wegstrecke  $z$  das Verteilungsgesetz annehmen:

$$W(z) dz = \frac{e^{-z/\lambda}}{\lambda} dz$$

wo  $\lambda$  die sog. mittlere freie Weglänge ist. // Auch unter dieser Annahme berechnen wir für ~~den~~ den Fall, dass die aus Zurücklegung sehr vieler freier Wegstücke resultierende Verschiebung des Kollidals betrachtet wird, dasselbe Wahrscheinlichkeitsgesetz (1), nur mit dem Unterschied, dass nun der Koeffizient  $\frac{C\lambda}{3} = D$  ~~gesetzt~~ zu setzen ist.

Aber dieselbe Formel (1) lässt sich auch unter der Annahme ableiten, dass für die Verteilung der Länge der freien Wegstücke nicht die Formel (2), sondern irgend eine andere, durch eine stetige Funktion von  $z$  ausdrückbare, gilt. Und zweifellos wird sie auch unter der weit allgemeineren Annahme gültig bleiben, dass eine gewisse „Wahrscheinlichkeits-Koppelung“ in Bezug auf Richtung und Größe der aufeinanderfolgenden Wegstücke besteht. \*)

Nachdem nun alle diese speziellen Voraussetzungen zu demselben Resultate führen, — abgesehen natürlich von dem Zusammenhang zwischen dem Wert des Koeffizienten  $D$  und den betreffenden molekularen Bestimmungsstücken — ist es für die bezüglich Rechnungen, <sup>(ohne Rücksicht auf die Details des Mechanismus)</sup> wo nur die resultierende Bewegung in Frage kommt, ~~am besten~~ am praktischsten, wenn man hierfür das einfachst mögliche Modell benützt. Dieses besteht darin, dass man sich ~~da~~ für ~~Bewegung~~ jede der drei Bewegungs-komponenten vorstellt, das Teilchen erleide in gleichen Zeitintervallen  $\tau$  gleich große Verschiebungen  $\delta$ , welche jedesmal ebenso wahrscheinlich positives wie negatives Zeichen haben können.

Die Wahrscheinlichkeiten dafür, dass das Teilchen nach  $m$  Zeitintervallen eine resultierende Verschiebung um  $n$  Wegstücke, im positiven oder negativen Sinne, erlangt habe, lassen sich dann

\*) Es hat namentlich Jean darauf hingewiesen, dass bei Zusammenstößen zwischen Gas-molekülen eine Tendenz zur Beibehaltung der ursprünglichen Bewegungsrichtung besteht. Diese „Persistenz“ der Bewegungsrichtung, welcher ich in meiner ersten Arbeit über Brownsche Bewegung (Ann. d. Phys. 21, 756, 1906) durch eine einfache geometrische Konstruktion näherungsweise Rechnung getragen habe, ~~später~~ tritt bei der Bewegung eines Kollidaltteilchens wegen dessen großer Masse in weit erhöhtem Grade auf.







sukzessive ermittelt und in das nachfolgende Schema eintragen:

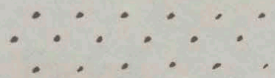
$n =$	-3	-2	-1	0	+0	+2	+3	+4	+5
0				1					
1			$\frac{1}{2}$		$\frac{1}{2}$				
2		$\frac{1}{4}$		$\frac{1}{4}$		$\frac{1}{4}$			
3	$\frac{1}{8}$		$\frac{3}{8}$		$\frac{3}{8}$		$\frac{1}{8}$		
4		$\frac{1}{16}$		$\frac{6}{16}$		$\frac{4}{16}$		$\frac{1}{16}$	
5	$\frac{5}{32}$		$\frac{10}{32}$		$\frac{10}{32}$		$\frac{5}{32}$		$\frac{1}{32}$
6		$\frac{15}{64}$		$\frac{20}{64}$		$\frac{15}{64}$		$\frac{6}{64}$	

Es zeigt sich also, dass die Zähler mit den Binomialkoeffizienten, die Nenner mit den  $n$ ten Potenzen von 2 identisch sind. Somit beträgt die Wahrscheinlichkeit eines positiven oder negativen Überschusses von  $m$  Einheiten:

$$W(m) = \left(\frac{1}{2}\right)^m \binom{m}{\frac{m-n}{2}} \quad \dots (2)$$

woraus sich mit Benützung der Stirling'schen Näherungsformel für große Zahlen  $n, m$  und für einen kleinen Wert des Verhältnisses  $\frac{n}{m}$  wiederum die Formel (1) ergibt, wenn die Beziehungen  $m = \frac{t}{\epsilon}$  und  $n = \frac{x}{\epsilon}$  eingeführt und der Wert  $\frac{\epsilon^2}{2\epsilon} = D$  gesetzt wird.

Auf dieses einfache ~~mathematische~~ mathematische Modell der Dravidschen Bewegung werden wir uns noch später, anlässlich einer etwas schwierigeren Frage berufen. Nur das eine möchte ich bei dieser Gelegenheit bemerken, dass man auch ein dementsprechendes, überaus einfaches mechanisches Modell der Dravidschen Bewegung konstruieren kann, nämlich das sogen. Galton'sche Brett, welches seinerzeit von Galton zur Veranschaulichung des Gauss'schen Fehlergesetzes verwendet wurde. Es besteht einfach aus einem genügend großen, schwach geneigten Brett, in welches eine große Anzahl ~~von~~ regelmäßiger horizontaler Nägelreihen in Wechselstellung eingeschlagen ist:



Wird nun von einem Punkte des oberen Randes eine Kugel über das Brett rollen gelassen (und zwar am besten von ~~oben~~ solcher Größe, dass sie zwischen den Nägeln oben noch durchschlüpfen kann), so stößt ~~sie~~ <sup>sie</sup> auf die Nägel, erleidet infolge dessen beim Durchstoß durch die Reihen derselben unregelmäßig zufällige Ablenkungen ~~aus der Falllinie~~ nach rechts oder links und führt in Bezug auf die Falllinie eine Bewegung aus, welche genau ~~mit~~ mit der vorben besprochenen Dravidschen Bewegung (der  $X$  Komponente) übereinstimmt.

### 3. Diffusion.

Würde man nun im Galton'schen Apparat eine Schaar von Kugeln von demselben Punkte ausgeben lassen, so würden sie sich in passenden Behältern am unteren Rande des Brettes in Quantitäten ansammeln, welche gerade der Laplace'schen Glockencurve (1) entsprechen. Was geschieht aber, wenn man die Kugeln ~~(gleiches)~~ <sup>von</sup> (eventuell verschiedener <sup>Farbe</sup>) nach einem







gewissen Verteilungsgesetz  $n = \varphi(x)$  verteilt, von verschiedenen Punkten des oberen Randes ausgehen lässt? Das gibt genau jene Erscheinung die man Kurz Diffusion nennt, und was illustriert uns das die Diffusion in einer Flüssigkeitssäule, deren Konzentration zu Anfang der Zeit gemäß einem Gesetz ~~ver~~ verteilt war.

Nehmen wir nämlich an, die Anfangsverteilung der in Betracht kommenden Substanzteilchen sei durch ~~die~~ eine Verteilungsfunktion: Anzahl pro Volumen einheit  $n = \varphi(x)$ , gegeben, so resultiert aus (1) — selbst verständlich unter Voraussetzung der Unabhängigkeit der Teilchen von einander — für die Verteilung zur Zeit  $t$ :

$$n_x = \frac{1}{2\sqrt{\pi Dt}} \int_{-\infty}^{+\infty} \varphi(\xi) e^{-\frac{(x-\xi)^2}{4Dt}} d\xi \quad \text{--- (3)}$$

indem nur die von den verschiedenen Ausgangspunkten stammenden Teilwirkungen einfach überlagern. Dies ist bekanntlich die allgemeine Lösung der Diffusionsgleichung

$$\frac{\partial n}{\partial t} = D \frac{\partial^2 n}{\partial x^2} \quad \text{--- (4)}$$

für den Fall, dass die Anfangsverteilung  $\varphi(x)$  in der ganzen Ausdehnung von  $-\infty$  bis  $+\infty$  gegeben ist, wie man auch ohne weiteres durch Ausführung der Differentiation a posteriori verificieren kann, und der Koeffizient  $D$  der Formel (1) erweist sich als identisch mit dem Diffusionskoeffizienten der Formel <sup>(3)</sup> ~~(1)~~.

Was geht die Diffusion einfach als Resultat der ungeordneten Brown'schen Bewegungen der einzelnen Teilchen hervor, und es ist ganz falsch, wenn ~~Cassuto~~ <sup>manche Forscher</sup> in seinem bekannten Buche ~~meint~~, dass dabei noch ein spezieller, der Brown'schen Bewegung eine Richtung gebender Einfluss, — etwa das osmotische Druckgefälle — ~~tätig sei.~~

Der fiktive, der makroskopischen Auffassungweise der Diffusion entsprechende Begriff des osmotischen Druckes vertritt die Betrachtung der „verborgenen“ Molekularbewegungen und ist mit derselben — soweit die klassischen Diffusionserscheinungen in Betracht kommen — vollkommen äquivalent, darf aber ~~damit~~ <sup>mit ihr</sup> nicht verwechselt werden.

Entweder denke man sich die Substanzteilchen als passiv durch den osmotischen Druck getrieben, ohne die Brown'schen Bewegungen zu berücksichtigen, oder aber man ziehe die letzteren in Rechnung, ohne den fiktiven osmotischen Druck einzuführen.

Bemerken wir übrigens noch, dass die charakteristische Eigentümlichkeit der Brown'schen Bewegung, welche aus (1) durch einfache Rechnung folgt, dass nicht die Elongation aus der Anfangslage, sondern das Quadrat derselben proportional mit der Zeit wächst:

$$(\overline{x-x_0})^2 = 2Dt \quad \text{--- (5)}$$

in dem allgemeinen Ähnlichkeitsgesetz der Diffusion zum Vorschein kommt, wonach

<sup>\*)</sup> In Einstein's Arbeiten gründete sich aber darauf die Ableitung des Gesetzes für die Brown'sche Bewegung.  
<sup>\*\*\*)</sup> Vgl. Cassuto, D. Kolloid Zustand d. Materie, Leipzig 1913, S. 74.







Diffusionsprozess sich bei unendlicher Vergrößerung der räumlichen Linear dimensionen so abspielen, dass die Zeiten im Verhältnis  $n^2$  vergrößert erscheinen.

Gegen unsere ganze Argumentation ist nun aber ein gewichtiger Einwand zu erheben. Mathematisch stimmt die Formel (1) allerdings mit der sog. Hauptlösung der Diffusionsgleichung <sup>(4)</sup> überein, welche angibt, in welcher Weise sich eine Substanz zur Zeit  $t$  verteilt, die zur Zeit Null im Punkte  $x_0$  angesammelt war, und wenn sie wirklich diese Bedeutung hätte, wäre die vollständige Äquivalenz der üblichen Diffusionstheorie mit dem Resultat der Orond'schen Bewegungen der einzelnen Teilchen erwiesen. In Wirklichkeit ist aber das von  $x_0$  ausgehende Teilchen untelbar und (1) stellt nur ein Wahrscheinlichkeitsgesetz für seine ~~zu~~ spätere Lage dar.

Infolge dessen entspricht das Resultat der mathematischen Diffusionstheorie nicht dem Zustand, welcher tatsächlich zur Zeit  $t$  herrschen wird, sondern es stellt den Durchschnittswert <sup>\*)</sup> der Zustände dar, welche verschiedene, von scheinbar identischen Anfangszuständen ausgehende Systeme in der Zeit  $t$  aufweisen würden. Mit anderen Worten: ein jedes individuelle molekulare System wird im Vergleich mit der theoretischen Diffusionsformel gewisse, entweder positive oder negative Divergenzen aufweisen, und die Häufigkeit derselben wird durch Wahrscheinlichkeitsgesetze <sup>erregelt</sup> ~~bestimmt~~ sein.

#### 4. Konzentrations-Schwankungen, Größe derselben in verdünnten Lösungen.

Näheren Aufschluss über die Art und Größe dieser zufälligen Abweichungen gibt die Theorie der molekularen Konzentrationschwankungen, welche man auch als „mikrostatistische Analyse“ des Diffusionsvorgangs in festgelegtem Volumenelement definieren könnte. In voller Allgemeinheit ist diese Art der Analyse noch nicht durchgeführt worden, aber ich glaube, auch das was man heute darüber aussagen kann, beleuchtet den Mechanismus der Diffusion in sehr <sup>charakteristischer</sup> ~~deutlicher~~ Weise, so dass es von Interesse sein dürfte, diese theoretischen Untersuchungen etwas eingehender zu behandeln.

In der Theorie der Konzentrationschwankungen handelt es sich um zwei Probleme, einerseits um die wahrscheinliche Größe der momentanen Abweichung der Konzentration in einem gewissen Volumenelement vom durchschnittlichen Zustand, andererseits um die zeitliche Veränderlichkeit jener Abweichungen, oder wie man kurz sagen kann, um die Schwankungsgröße und die Schwankungsfrequenz.

Was die ~~charakteristische~~ Größe der Konzentrations-Schwankungen anbelangt, so lassen sich die betreffenden Formeln in sehr einfacher <sup>(mittels direkter Wahrscheinlichkeitsbetrachtungen)</sup> Weise für den Fall entwickeln, so es sich um ~~den~~ den normalen, im Laufe langer Zeit sich einstellenden Gleichgewichtszustand eines idealen Gases oder <sup>\*)</sup> welcher auch mit dem wahrscheinlichsten Zustand identisch sein dürfte.



It is not possible to determine the exact date of the first publication of the book, but it is believed to have been published in the year 1840.

[illegible]

*(The following text is written upside down and is mostly illegible due to fading and bleed-through from the reverse side.)*



eine verdünnten Lösung handelt, deren Teilchen auf ein an der keine merklichen Kräfte ausüben; meine ursprünglich recht kurz gefasste Ableitung ist übrigens von Lorenz u. Eitel in sehr ausführlicher und verständlicher Form wiedergegeben worden, derselbe Gedankengang hat anlässlich der Entdeckung der radioaktiven Schwankungen (Schweidler, Bateman, Rutherford u. Geiger, Marsden u. Darratt u. A.) auf seine Anwendung gefunden, analoge Entwicklungen lassen sich aber schon weit früher in Wahrscheinlichkeits-theoretischen Untersuchungen auffinden, so dass ich heute auf Einzelheiten dieser bereits genügend bekannten Erwägungen nicht eingehen brauche, und mich darauf beschränken kann, die Endresultate anzuführen.

Nehmen wir an, das in Betracht kommende Volumen  $v$  bestehe aus einem Teil eines weit größeren Volums, in welchem sich das Diffusionsgleichgewicht hergestellt hat, und bezeichnen wir mit  $n$  die Anzahl der Substanzteilchen, welche bei gleichmäßiger Verteilung auf das betrachtete Volumen  $v$  entfallen würde. Wird nun die Anzahl der augenblicklich in  $v$  befindlichen Teilchen systematisch - beispielsweise in gleichen Zeitintervallen - notiert, so muss sich zeigen, dass die relative Häufigkeit jeder Zahl  $n$  innerhalb langer Zeiträume gegeben ist durch die Formel:

$$W(n) = \frac{e^{-n} n^n}{n!} \quad (6)$$

So führte beispielsweise Svedberg mittels ultramikroskopischer <sup>Beobachtung</sup> ~~Zählung~~ der Teilchen einer kolloidalen Goldlösung eine Reihe von 518 Zählungen, und zwar in Intervallen von  $\frac{1}{33}$  Minute aus, deren Resultate ~~in einer~~ Zahlenreihe angibt, auf welche wir uns weiterhin noch werden berufen müssen: 12000 2001 324 123 102 111 13 1125 1110 233 13 u. s. w.

In dem betrachteten, optisch abgegrenzten Volumenteil der Lösung befanden sich also, unregelmäßig überstreut  $n = 0, 1, 2, 3, 4 \dots$  Teilchen, und zwar ist die empirische Häufigkeit <sup>der beobachteten Teilchen</sup> (durch die ~~Werte~~ <sup>Werte</sup>  $k$  gegeben, während die Formel (6) die Werte  $k_{\text{ber}}$  erfordert wird - jedenfalls als eine für ein Wahrscheinlichkeitsgesetz ausreichende Bestätigung angesehen werden darf:

$n$	0	1	2	3	4	5	6	7
$k$	112	168	130	69	32	5	1	1
$k_{\text{ber}}$	109.9	170.4	132.0	68.2	26.4	8.2	2.1	0.5

Analoge Messungen mit denselben Resultate sind übrigens auch von O. Hijn, R. Costantin, R. Lorenz u. W. Eitel und neuerdings von A. Westgren erhalten worden.

Treten Abweichungen von dem Wahrscheinlichkeitsgesetz (6) auf, so beweisen sie die Existenz von Anziehungs- oder Abstossungskräften zwischen den Teilchen, und eine dem entsprechend modifizierte Theorie ermöglicht es, auf dieser Grundlage die entsprechenden Änderungen der Gesetze des osmotischen Druckes zu bestimmen, welche bei ~~derartigen~~ <sup>derartigen</sup> Lösungen natürlich keinerlei direkter Messung zugänglich sind. Tatsächlich haben sich solche Abweichungen bei äußerst konzentrierten Summifalt-~~Lösungen~~ <sup>Lösungen</sup> herausgestellt, in denen die Volumenkonzentration ~~etwa~~ <sup>mehr</sup> als  $\frac{1}{100}$  beträgt, aber auch in solchen Ausnahmefällen ist heute Gleichung (6) für Kolloidteilchen

\*) N. v. Smoluchowski, Dollmann-Festschrift 1904 S. 626; Math. Ann. 1907, S. 1057; Ann. d. Phys. 25, 205, 1908. R. Lorenz u. W. Eitel, Z. phys. Chem. 87, 293, 439, 1914. Vgl. L. Dethlefsen, D. radioaktive Strahlung, Berlin 1913.  
 \*\*) Th. Svedberg, Z. f. phys. Chem. 77, 147, 1911. O. Hijn, Z. f. phys. Chem. 83, 592, 1913; R. Lorenz u. W. Eitel, Z. f. anorg. Chem. 87, 357, 1914; R. Costantin, C. R. 158, 1341, 1914; A. Westgren, Arkiv f. mat. Fys. Vet. 11 128, 1916.



In der letzten Sitzung des Ausschusses, welche am 1. d. M. stattfand, wurde über den Antrag des Herrn Dr. v. S. über die Errichtung einer öffentlichen Bibliothek in der Stadt Tübingen, beschlossen, dass der Herr Dr. v. S. beauftragt wird, die Errichtung einer öffentlichen Bibliothek in der Stadt Tübingen zu untersuchen und darüber Bericht zu erstatten.

10	0	1	2	3	4	5	6	7	8	9
10	11	12	13	14	15	16	17	18	19	20

W. H. L. W. H. L. W. H. L. W. H. L. W. H. L.

2. ~~Ergebnis~~ <sup>Ergebnis</sup> - ~~Ergebnis~~ <sup>Ergebnis</sup> - ~~Ergebnis~~ <sup>Ergebnis</sup>   
 1. ~~Ergebnis~~ <sup>Ergebnis</sup>   
 2. ~~Ergebnis~~ <sup>Ergebnis</sup>   
 3. ~~Ergebnis~~ <sup>Ergebnis</sup>   
 4. ~~Ergebnis~~ <sup>Ergebnis</sup>   
 5. ~~Ergebnis~~ <sup>Ergebnis</sup>   
 6. ~~Ergebnis~~ <sup>Ergebnis</sup>   
 7. ~~Ergebnis~~ <sup>Ergebnis</sup>   
 8. ~~Ergebnis~~ <sup>Ergebnis</sup>   
 9. ~~Ergebnis~~ <sup>Ergebnis</sup>   
 10. ~~Ergebnis~~ <sup>Ergebnis</sup>   
 11. ~~Ergebnis~~ <sup>Ergebnis</sup>   
 12. ~~Ergebnis~~ <sup>Ergebnis</sup>   
 13. ~~Ergebnis~~ <sup>Ergebnis</sup>   
 14. ~~Ergebnis~~ <sup>Ergebnis</sup>   
 15. ~~Ergebnis~~ <sup>Ergebnis</sup>   
 16. ~~Ergebnis~~ <sup>Ergebnis</sup>   
 17. ~~Ergebnis~~ <sup>Ergebnis</sup>   
 18. ~~Ergebnis~~ <sup>Ergebnis</sup>   
 19. ~~Ergebnis~~ <sup>Ergebnis</sup>   
 20. ~~Ergebnis~~ <sup>Ergebnis</sup>   
 21. ~~Ergebnis~~ <sup>Ergebnis</sup>   
 22. ~~Ergebnis~~ <sup>Ergebnis</sup>   
 23. ~~Ergebnis~~ <sup>Ergebnis</sup>   
 24. ~~Ergebnis~~ <sup>Ergebnis</sup>   
 25. ~~Ergebnis~~ <sup>Ergebnis</sup>   
 26. ~~Ergebnis~~ <sup>Ergebnis</sup>   
 27. ~~Ergebnis~~ <sup>Ergebnis</sup>   
 28. ~~Ergebnis~~ <sup>Ergebnis</sup>   
 29. ~~Ergebnis~~ <sup>Ergebnis</sup>   
 30. ~~Ergebnis~~ <sup>Ergebnis</sup>   
 31. ~~Ergebnis~~ <sup>Ergebnis</sup>   
 32. ~~Ergebnis~~ <sup>Ergebnis</sup>   
 33. ~~Ergebnis~~ <sup>Ergebnis</sup>   
 34. ~~Ergebnis~~ <sup>Ergebnis</sup>   
 35. ~~Ergebnis~~ <sup>Ergebnis</sup>   
 36. ~~Ergebnis~~ <sup>Ergebnis</sup>   
 37. ~~Ergebnis~~ <sup>Ergebnis</sup>   
 38. ~~Ergebnis~~ <sup>Ergebnis</sup>   
 39. ~~Ergebnis~~ <sup>Ergebnis</sup>   
 40. ~~Ergebnis~~ <sup>Ergebnis</sup>   
 41. ~~Ergebnis~~ <sup>Ergebnis</sup>   
 42. ~~Ergebnis~~ <sup>Ergebnis</sup>   
 43. ~~Ergebnis~~ <sup>Ergebnis</sup>   
 44. ~~Ergebnis~~ <sup>Ergebnis</sup>   
 45. ~~Ergebnis~~ <sup>Ergebnis</sup>   
 46. ~~Ergebnis~~ <sup>Ergebnis</sup>   
 47. ~~Ergebnis~~ <sup>Ergebnis</sup>   
 48. ~~Ergebnis~~ <sup>Ergebnis</sup>   
 49. ~~Ergebnis~~ <sup>Ergebnis</sup>   
 50. ~~Ergebnis~~ <sup>Ergebnis</sup>   
 51. ~~Ergebnis~~ <sup>Ergebnis</sup>   
 52. ~~Ergebnis~~ <sup>Ergebnis</sup>   
 53. ~~Ergebnis~~ <sup>Ergebnis</sup>   
 54. ~~Ergebnis~~ <sup>Ergebnis</sup>   
 55. ~~Ergebnis~~ <sup>Ergebnis</sup>   
 56. ~~Ergebnis~~ <sup>Ergebnis</sup>   
 57. ~~Ergebnis~~ <sup>Ergebnis</sup>   
 58. ~~Ergebnis~~ <sup>Ergebnis</sup>   
 59. ~~Ergebnis~~ <sup>Ergebnis</sup>   
 60. ~~Ergebnis~~ <sup>Ergebnis</sup>   
 61. ~~Ergebnis~~ <sup>Ergebnis</sup>   
 62. ~~Ergebnis~~ <sup>Ergebnis</sup>   
 63. ~~Ergebnis~~ <sup>Ergebnis</sup>   
 64. ~~Ergebnis~~ <sup>Ergebnis</sup>   
 65. ~~Ergebnis~~ <sup>Ergebnis</sup>   
 66. ~~Ergebnis~~ <sup>Ergebnis</sup>   
 67. ~~Ergebnis~~ <sup>Ergebnis</sup>   
 68. ~~Ergebnis~~ <sup>Ergebnis</sup>   
 69. ~~Ergebnis~~ <sup>Ergebnis</sup>   
 70. ~~Ergebnis~~ <sup>Ergebnis</sup>   
 71. ~~Ergebnis~~ <sup>Ergebnis</sup>   
 72. ~~Ergebnis~~ <sup>Ergebnis</sup>   
 73. ~~Ergebnis~~ <sup>Ergebnis</sup>   
 74. ~~Ergebnis~~ <sup>Ergebnis</sup>   
 75. ~~Ergebnis~~ <sup>Ergebnis</sup>   
 76. ~~Ergebnis~~ <sup>Ergebnis</sup>   
 77. ~~Ergebnis~~ <sup>Ergebnis</sup>   
 78. ~~Ergebnis~~ <sup>Ergebnis</sup>   
 79. ~~Ergebnis~~ <sup>Ergebnis</sup>   
 80. ~~Ergebnis~~ <sup>Ergebnis</sup>   
 81. ~~Ergebnis~~ <sup>Ergebnis</sup>   
 82. ~~Ergebnis~~ <sup>Ergebnis</sup>   
 83. ~~Ergebnis~~ <sup>Ergebnis</sup>   
 84. ~~Ergebnis~~ <sup>Ergebnis</sup>   
 85. ~~Ergebnis~~ <sup>Ergebnis</sup>   
 86. ~~Ergebnis~~ <sup>Ergebnis</sup>   
 87. ~~Ergebnis~~ <sup>Ergebnis</sup>   
 88. ~~Ergebnis~~ <sup>Ergebnis</sup>   
 89. ~~Ergebnis~~ <sup>Ergebnis</sup>   
 90. ~~Ergebnis~~ <sup>Ergebnis</sup>   
 91. ~~Ergebnis~~ <sup>Ergebnis</sup>   
 92. ~~Ergebnis~~ <sup>Ergebnis</sup>   
 93. ~~Ergebnis~~ <sup>Ergebnis</sup>   
 94. ~~Ergebnis~~ <sup>Ergebnis</sup>   
 95. ~~Ergebnis~~ <sup>Ergebnis</sup>   
 96. ~~Ergebnis~~ <sup>Ergebnis</sup>   
 97. ~~Ergebnis~~ <sup>Ergebnis</sup>   
 98. ~~Ergebnis~~ <sup>Ergebnis</sup>   
 99. ~~Ergebnis~~ <sup>Ergebnis</sup>   
 100. ~~Ergebnis~~ <sup>Ergebnis</sup>

[illegible]



als genau gültig anzusehen, und sind jetzt auch gewiss, <sup>früher</sup> von Svedberg und Westgren vermutete Divergenzen, ~~vollständig aufgeklärt worden~~ ins besondere durch ~~die letzten~~ <sup>eine</sup> von Westgren unlängst hier bei Professor Zigmondy ausgeführte Arbeit, vollständig aufgeklärt worden. Auf diesen für die Kolloidforschung äußerst wichtigen Gegenstand werden wir später noch zurückkommen, einstweilen wollen wir voraussetzen, dass wir uns auf solche Fälle der Diffusion beschränken, wo die gegenseitige Einwirkung der Teilchen infolge ~~der~~ wechselstetiger Kräfte überhaupt zu vernachlässigen ist, mit anderen Worten: ~~es handelt sich~~ wir nehmen an, es handle sich um relativ verdünnte Lösungen.

Als Mass der Grösse der Konzentrations-Schwankungen hatte ich anfangs den durchschnittlichen Absolutwert der Schwankungen verwendet. Berechnen wir mit  $\delta$  die Verdichtung  $\delta = \frac{n-v}{v}$ , so erhält man <sup>(aus (6))</sup> für den durchschnittlichen Absolutwert derselben:

$$|\delta| = \frac{2v^{k-1}}{k!} \quad \text{--- ---(7)}$$

wo  $k$  die grösste ganze Zahl bedeutet, welche gleich oder kleiner als  $v$  die Normalzahl  $v$  ist. Rechnerisch einfacher ist es, anstatt dessen den Betrag der „mittleren“ Schwankung zu nehmen, für welche man aus Formel (6) findet:

$$\sqrt{\delta^2} = \frac{1}{\sqrt{v}} \quad \text{--- ---(8)}$$

~~Der durchschnittliche Betrag der Schwankung~~ <sup>resultiert aus der</sup> Im obigen Beispiele ~~ergibt die Beobachtung~~ <sup>Beobachtungswerte:</sup>  
 $\sqrt{\delta^2} = 0.798$ , während ~~andererseits~~  $\frac{1}{\sqrt{v}} = 0.803$  ist.

~~Der~~ <sup>gleiche</sup> Der Durchschnittsbetrag der Schwankung ist dagegen selbstverständlich gleich Null.

Von Wichtigkeit ist nun folgender Umstand: die Grösse der Schwankungen hängt laut (6) ausschliesslich von der durchschnittlichen Teilchenzahl  $v$  ab; die Gestalt und Grösse des betreffenden Volums, die Art der in Betracht kommenden Teilchen, die Natur des flüssigen Mediums, welches als Suspensionsmittel dient, die Temperatur u.s.w. — all dies ist für die Grösse der Schwankungen, natürlich unter Voraussetzung genügend langer Beobachtungszeit, vollständig gleichgültig, und zwar hängt dies damit zusammen, dass die in Rede stehende Erscheinung sich als specialer Fall der allgemeinen ~~der~~ <sup>statistischen</sup> Molekularschwankungen auffassen lässt, für welche <sup>gemäß</sup> statistischen Mechanik ein ganz allgemeines, vom speziellen Mechanismus des Systems unabhängiges Verteilungsgesetz existiert.

##### 5. Geschwindigkeit der Konzentrationschwankungen

Dagegen sind alle oben erwähnten Umstände ganz wesentlich bestimmend für die zeitliche Veränderlichkeit der Schwankungen. Die Berechnung dieser Grösse, <sup>(oder wie man auch sagen kann)</sup> der Schwankungsgeschwindigkeit, ist bei jeder Art Schwankungen ein wesentlich schwierigeres Problem als jene der Schwankungsgrösse,







und bis jetzt war überhaupt nur ein einziger Fall bekannt, welcher — allerdings als ~~der~~ Fall „astatisches“ Gleichgewichts in denkbar vereinfachter Form — sich hier einschreiben lässt: die schon besprochene Droron'sche Bewegungsfornel (1), nebst einer gewissen Verallgemeinerung derselben, von welcher später<sup>\*)</sup> die Rede sein wird; die Konzentrations-schwankungen sind ~~das~~ das zweite Beispiel, wo sich die Berechnung ausführen lässt.<sup>\*\*)</sup>

Wenn wir uns den Mechanismus dieser Erscheinung vor Augen halten, so ist klar, dass die eigentliche Ursache der Veränderlichkeit der Konzentrations-schwankungen auf der Droron'schen Bewegung beruht, und dass alle Umstände, welche dieselbe verlangsamen, wie Fähigkeitzunahme, Temperaturabnahme, ~~also~~ auch jene Schwankungsgeschwindigkeit herabsetzen müssen, wie dies ~~ist~~ tatsächlich von Svedberg bemerkt wurde.

Um nun zu quantitativen Beziehungen zu gelangen, wollen wir uns folgende Aufgabe stellen: das betrachtete Volumen  $v$  bilde einen Teil des ~~des~~ relativ äußerst großen Volumens  $V$ , ~~und so~~ so dass bei gleichförmiger Verteilung der in Betracht kommenden Substanzteilchen [Moleküle oder Kolloidteilchen] die Anzahl  $v$  auf  $v$  entfallen würde. Falls sich nun tatsächlich  $n$  Teilchen zur Zeit  $t=0$  in  $v$  aufhalten, wie groß ist dann die Wahrscheinlichkeit  $W_n(+k)$  dass eine Zunahme um  $k$  statt finde, dass also (die Teilchenzahl im Zeitpunkt  $t$ )  $(n+k)$  betrage?

Die Beantwortung dieser Frage stützt sich auf zwei Tatsachen: 1), dass die Bewegungen der einzelnen Teilchen von einander unabhängig erfolgen, 2), dass für jedes derselben alle Lagen im Raume  $v$  gleich wahrscheinlich sind. Man hat dann zuerst die Wahrscheinlichkeit  $P$  zu bestimmen, dass ein einziges, <sup>ursprünglich</sup> irgendwo in  $v$  befindliches Teilchen nach Ablauf der Zeit  $t$  sich außerhalb jenes Raumes befinde. Ist diese bekannt, so gehen wir weiter:

Wenn nicht nur ein einziges, sondern  $n$  Teilchen anfangs in  $v$  befinden, so beträgt die Wahrscheinlichkeit, dass irgendwelche  $i$  darunter ausgetreten, die übrigen  $(n-i)$  aber in  $v$  verblieben seien:

$$A_i = \binom{n}{i} P^i (1-P)^{n-i} \quad \text{--- (9)}$$

Falls man aber die anfängliche Zahl  $n$  unbestimmt lässt und die Wahrscheinlichkeit  $W_m$  der verschiedenen Zahlen  $n$  gemäß der Formel (6) berücksichtigt, erhält man als allgemeine Wahrscheinlichkeit des Austrittes von  $m$  Teilchen:

$$\bar{A}_m = \sum_{n=m}^{\infty} W_m A_m = e^{-vP} \frac{(vP)^m}{m!} = E_m \quad \text{--- (10)}$$

\*) Vgl. II. Vortrag, 5 Abschn.

\*\*) R. v. Smoluchowski, Wien. Ber. 123, 2381, 1915; Phys. ZS. 16, 321, 1915.



$$F_n = \sum_{m=0}^n \binom{n}{m} A_m = 2^n = \frac{(2^n)}{1} = E_n$$

allgemeine Wahrscheinlichkeit der Verteilung von m Teilchen:

(9) ---

$$A_i = \binom{n}{i} 2^{n-i}$$

in 2 verschiedenen Gruppen:

die Wahrscheinlichkeit, dass irgendwelche i bestimmten angestrichen, die übrigen (n-i) von  
den n Teilchen nur ein einziges, von den n Teilchen weniger in 2 Gruppen so beträgt

mit anderen Worten: 2^n ist die Wahrscheinlichkeit, dass alle Teilchen in 2 Gruppen

in 2 Gruppen, dass ein einziges, von den n Teilchen weniger in 2 Gruppen so beträgt

in 2 Gruppen, dass ein einziges, von den n Teilchen weniger in 2 Gruppen so beträgt

in 2 Gruppen, dass ein einziges, von den n Teilchen weniger in 2 Gruppen so beträgt

in 2 Gruppen, dass ein einziges, von den n Teilchen weniger in 2 Gruppen so beträgt

(n+1) beträgt:

$2^n$  (n+1) ist die Wahrscheinlichkeit, dass alle Teilchen in 2 Gruppen

2^n ist die Wahrscheinlichkeit, dass alle Teilchen in 2 Gruppen

[Wahrscheinlichkeit, dass alle Teilchen in 2 Gruppen]

Wahrscheinlichkeit, dass alle Teilchen in 2 Gruppen

Wahrscheinlichkeit, dass alle Teilchen in 2 Gruppen

Wahrscheinlichkeit, dass alle Teilchen in 2 Gruppen

Wahrscheinlichkeit, dass alle Teilchen in 2 Gruppen

Wahrscheinlichkeit, dass alle Teilchen in 2 Gruppen

Wahrscheinlichkeit, dass alle Teilchen in 2 Gruppen

Wahrscheinlichkeit, dass alle Teilchen in 2 Gruppen

Wahrscheinlichkeit, dass alle Teilchen in 2 Gruppen

Wahrscheinlichkeit, dass alle Teilchen in 2 Gruppen

Wahrscheinlichkeit, dass alle Teilchen in 2 Gruppen

Wahrscheinlichkeit, dass alle Teilchen in 2 Gruppen

Wahrscheinlichkeit, dass alle Teilchen in 2 Gruppen







Die erste Bedingung ist die allgemeine Lösbarkeit  $E_{m,n}$  der Matrix  $E_{m,n}$  von  $m$  Zeilen und  $n$  Spalten. Es ist notwendig, dass die Zeilen von  $E_{m,n}$  linear unabhängig sind.

Die zweite Bedingung ist die Existenz einer Lösung  $x$  der Gleichung  $E_{m,n} x = b$  für ein beliebiges  $b \in \mathbb{R}^m$ . Dies ist äquivalent dazu, dass die Spalten von  $E_{m,n}$  ein vollständiges System bilden.

Die dritte Bedingung ist die Existenz einer Lösung  $x$  der Gleichung  $E_{m,n} x = b$  für ein beliebiges  $b \in \mathbb{R}^m$ . Dies ist äquivalent dazu, dass die Spalten von  $E_{m,n}$  ein vollständiges System bilden.

Die vierte Bedingung ist die Existenz einer Lösung  $x$  der Gleichung  $E_{m,n} x = b$  für ein beliebiges  $b \in \mathbb{R}^m$ . Dies ist äquivalent dazu, dass die Spalten von  $E_{m,n}$  ein vollständiges System bilden.

Die fünfte Bedingung ist die Existenz einer Lösung  $x$  der Gleichung  $E_{m,n} x = b$  für ein beliebiges  $b \in \mathbb{R}^m$ . Dies ist äquivalent dazu, dass die Spalten von  $E_{m,n}$  ein vollständiges System bilden.

Die sechste Bedingung ist die Existenz einer Lösung  $x$  der Gleichung  $E_{m,n} x = b$  für ein beliebiges  $b \in \mathbb{R}^m$ . Dies ist äquivalent dazu, dass die Spalten von  $E_{m,n}$  ein vollständiges System bilden.

Die siebte Bedingung ist die Existenz einer Lösung  $x$  der Gleichung  $E_{m,n} x = b$  für ein beliebiges  $b \in \mathbb{R}^m$ . Dies ist äquivalent dazu, dass die Spalten von  $E_{m,n}$  ein vollständiges System bilden.

Die achte Bedingung ist die Existenz einer Lösung  $x$  der Gleichung  $E_{m,n} x = b$  für ein beliebiges  $b \in \mathbb{R}^m$ . Dies ist äquivalent dazu, dass die Spalten von  $E_{m,n}$  ein vollständiges System bilden.

Die neunte Bedingung ist die Existenz einer Lösung  $x$  der Gleichung  $E_{m,n} x = b$  für ein beliebiges  $b \in \mathbb{R}^m$ . Dies ist äquivalent dazu, dass die Spalten von  $E_{m,n}$  ein vollständiges System bilden.



Schichte innerhalb eines größeren Ellipsoidenvolumens handelte<sup>\*)</sup>, sowie eine später von Westgren verwendete Anordnung, wo die Versuchssubstanz in einer zylindrischen Scheibe innerhalb zweier fester Deckgläser beobachtet wurden.

Im erstern Fall gilt die Formel:

$$P = \frac{2}{\sqrt{\pi}} \int_0^{\infty} \bar{z}^{-2} dy + \frac{1}{\sqrt{\pi}} [\bar{z} - \bar{z}^{-2}] \quad (16)$$

wo  $\beta$  mit der Dicke der Schichte  $h$  zusammenhängender Ausdruck ist:  $\beta = \frac{h}{2\sqrt{D\tau}}$ .

Für den Fall eines zylindrischen Volumens läßt sich  $P$  durch die Zylinderfunktionen mit imaginärem Argument:  $I_n(t) = i^{-n} J_n(it)$  ausdrücken, und zwar gilt:

$$P = e^{-2\alpha} [I_0(2\alpha) + I_1(2\alpha)] \quad (17)$$

wobei  $\alpha$  eine von Zylinder radius  $a$  abhängige GröÙe:  $\alpha = \frac{a^2}{4D\tau}$  bedeutet.

Nur als die Berechnung von  $P$  interessiert uns aber jetzt dessen eigentliche Bedeutung. Wenn man sich nämlich die Definitionsformel (15) vergegenwärtigt, sieht man ~~leicht~~, dass es sich offenbar <sup>\*\*)</sup> läßt als derjenige Bruchteil einer anfänglich dem Raum  $v$  gleichmäßig erfüllten Substanz, welcher in der Zeit  $t$  über dessen Grenzflächen hinaus diffundieren wird, falls der äußere Raum anfangs von jener Substanz völlig leer wäre.

Nun zur Formel (13) zurückkehrend, ~~so~~ überzeugen wir uns, dass somit die durchschnittliche Änderung der Teilchenzahl im Räume  $v$  in vollständiger Übereinstimmung mit der üblichen makroskopischen Diffusionstheorie erfolgt, welche über jene Formeln (13) (15) hierfür ergeben müssten. Das ist ein Resultat, auf welches wir uns später noch beziehen werden.

Dagegen stellt die in gewissem Sinne zur ~~Formel (5)~~ Formel (5) analoge, Formel (14) gerade die Divergenz zwischen dem wirklichen molekularen Verhalten und der makroskopischen, mit Durchschnittswerten operierenden Betrachtungsweise in klarem Licht. Ihr zufolge hängt also das durchschnittliche Quadrat der im Zeitraume  $t$  eintretenden Änderung der Teilchenzahl, welches man als allgemeines Maß der Veränderlichkeit derselben betrachten kann, von zwei Faktoren ab, die normalmäßig auf das betreffende Volumen entfallende Teilchenzahl  $v$  und dem Diffusionsfaktor  $P$ , welcher außer von der Gestalt und Größe des Raumes  $v$ , vom Diffusionskoeffizienten  $D$ , ins besondere auch von der Länge des Zeitintervalls  $t$  zwischen zwei interessanten Beobachtungen abhängt.

Im Grenzfall äußerst langer Zeitintervalle wird  $P$  gleich Eins, also  $\lim_{t \rightarrow \infty} \bar{\Delta}^2 = 2v$ , was auch von vornherein zu erwarten ist, da die Zustände innerhalb langer Zeiträume von einander unabhängig werden, also einfach nach Markoffs des Zufalls Gesetzes (6) berechnet werden können; für die Differenz je zweier aufeinanderfolgender Zahlen  $n_1, n_2$  gilt <sup>näherlich</sup> (infolge dessen):

\*) Vgl. z.B. Riemann-Weber, Partielle Differentialgleichungen, II S 50 (10).



Die in der Vorlesung besprochenen Eigenschaften der Laplace-Transformation sind:

1. Linearität:  $\mathcal{L}\{a f(t) + b g(t)\} = a \mathcal{L}\{f(t)\} + b \mathcal{L}\{g(t)\}$

2. Verschiebung:  $\mathcal{L}\{e^{at} f(t)\} = F(s-a)$

3. Ableitung:  $\mathcal{L}\{f'(t)\} = s F(s) - f(0)$

4. Integration:  $\mathcal{L}\{\int_0^t f(\tau) d\tau\} = \frac{F(s)}{s}$

5. Zeitumkehr:  $\mathcal{L}\{f(-t)\} = F^*(s)$

$$F(s) = \int_0^\infty f(t) e^{-st} dt$$

(6) ---

Die Laplace-Transformation ist eine lineare Abbildung von Funktionen in Funktionen.

Die Laplace-Transformation ist eine lineare Abbildung von Funktionen in Funktionen.

Die Laplace-Transformation ist eine lineare Abbildung von Funktionen in Funktionen.

$$F(s) = \int_0^\infty f(t) e^{-st} dt$$

(7) ---

Die Laplace-Transformation ist eine lineare Abbildung von Funktionen in Funktionen.

Die Laplace-Transformation ist eine lineare Abbildung von Funktionen in Funktionen.

Die Laplace-Transformation ist eine lineare Abbildung von Funktionen in Funktionen.

Die Laplace-Transformation ist eine lineare Abbildung von Funktionen in Funktionen.

Die Laplace-Transformation ist eine lineare Abbildung von Funktionen in Funktionen.

Die Laplace-Transformation ist eine lineare Abbildung von Funktionen in Funktionen.

Die Laplace-Transformation ist eine lineare Abbildung von Funktionen in Funktionen.

Die Laplace-Transformation ist eine lineare Abbildung von Funktionen in Funktionen.

Die Laplace-Transformation ist eine lineare Abbildung von Funktionen in Funktionen.

Die Laplace-Transformation ist eine lineare Abbildung von Funktionen in Funktionen.

Die Laplace-Transformation ist eine lineare Abbildung von Funktionen in Funktionen.

Die Laplace-Transformation ist eine lineare Abbildung von Funktionen in Funktionen.

Die Laplace-Transformation ist eine lineare Abbildung von Funktionen in Funktionen.

Die Laplace-Transformation ist eine lineare Abbildung von Funktionen in Funktionen.

Die Laplace-Transformation ist eine lineare Abbildung von Funktionen in Funktionen.

Die Laplace-Transformation ist eine lineare Abbildung von Funktionen in Funktionen.

Die Laplace-Transformation ist eine lineare Abbildung von Funktionen in Funktionen.

Die Laplace-Transformation ist eine lineare Abbildung von Funktionen in Funktionen.

Die Laplace-Transformation ist eine lineare Abbildung von Funktionen in Funktionen.

Die Laplace-Transformation ist eine lineare Abbildung von Funktionen in Funktionen.

Die Laplace-Transformation ist eine lineare Abbildung von Funktionen in Funktionen.

Die Laplace-Transformation ist eine lineare Abbildung von Funktionen in Funktionen.

Die Laplace-Transformation ist eine lineare Abbildung von Funktionen in Funktionen.



$$(n_1 - n_2)^2 = (n_1 - \bar{n})^2 + (n_2 - \bar{n})^2 - 2(n_1 - \bar{n})(n_2 - \bar{n})$$

und durch Mittelbildung ergibt sich das jünste Resultat:

$$\bar{\Delta}^2 = \overline{(n_1 - n_2)^2} = \overline{(n_1 - \bar{n})^2} + \overline{(n_2 - \bar{n})^2} = 2\bar{\Delta}^2$$

Im Allgemeinen besteht jedoch eine gewisse Wahrscheinlichkeitsnachwirkung des vorhergegangenen Zustands, d.h. es ist wahrscheinlich, dass die nachfolgende Zahl von der vorhergehenden weniger verschieden sein wird als der Mittelwert  $\bar{n}$ , und zwar wird der Unterschied desto geringer, je kürzer das betreffende Zeitintervall ist. Im Grenzfall unendlich kurzer Zeitintervalle  $t$  wird natürlich auch das Veränderlichkeitsmaß  $\bar{\Delta}^2$  gleich Null.

Um nun unsere Gleichungen (13) (14) an die von Svedberg angegebenen Zahlenreihe zu prüfen, ~~haben wir eine Statistik der Häufigkeit der  $\Delta$  Werte - Zahlengruppen (n-m) untersucht, in welche sich jene Zahlenreihe~~ kann man aus derselben den durchschnittlichen Quadratwert  $\bar{\Delta}^2$  der Differenzen je zweier aufeinanderfolgender Zahlen ermitteln:  $\bar{\Delta}^2 = 2.25$ , was laut Gleichung (14) mit Rücksicht auf die Normalszahl  $\nu = 1.55$  einen Wert  $P = 0.726$  erfordert. Untersucht man andererseits, was für Zahlen in <sup>jeder</sup> einer gewissen Zahl  $n$  gefolgt sind, so kann man die durchschnittliche Änderung  $\bar{m} - n = \bar{\Delta}_n$  erhalten, welche nach einer vorgegebenen Zahl  $n$  eintritt. Verglichen mit den theoretischen Werten der Formel (13) gibt das folgendes Bild:

$n_k$	0	1	2	3	4	5
$\bar{\Delta}_n$ gef	+1.03	+0.45	-0.26	-1.18	-1.69	-2.80
$\bar{\Delta}_n$ ber	+1.12	+0.40	-0.33	-1.05	-1.78	-2.50

Svedberg'sche

Wir sehen also, wie die scheinbar ganz regellose Zahlenreihe (p. ) doch bei entsprechender Mittelbildung das ausgleichende Verhalten der Diffusoren klar zum Ausdruck bringt und zeigt, dass die durchschnittlichen Konzentrationsänderungen ganz in Übereinstimmung mit der klassischen Diffusionstheorie ~~zufolge~~ vor sich gehen, selbst wenn sich die unregelmäßigen molekularen Schwankungen darüber in weit überwiegender Weise superponieren.

Nach lässt sich der experimentelle P-Wert mit dem theoretischen (16) vergleichen, wenn die Dimensionen des betrachteten Raumes und der Teilchen genau bekannt sind, da sich dann  $D$  mit Hilfe der Formel:  $D = \frac{h^2}{8\pi^2 m \lambda^2}$  berechnen lässt. ~~Bei Svedberg's~~ Im obigen Falle ergab dies den theoretischen Wert  $P = 0.86$ , doch ist die weniger gute Übereinstimmung zweifellos auf die

Ungenauigkeit jener Bestimmungsstücke <sup>(insbesondere der Schmelzdrucke)</sup> zurückzuführen, ~~deren Messung in jenen Versuchen~~ keine spezielle Aufmerksamkeit gewidmet wurde. Dagegen hat Westgren unlängst mittels einer ganzen Reihe sehr präziser, speziell ad hoc ausgeführter Messungen eine weitgehende Bestätigung der Formeln (14, 16) erbracht (und zwar unter Variation von  $h$ ,  $\nu$  und  $t$ ). Die betreffenden P-Werte stimmten in 30 Messungsreihen durchschnittlich mit den theoretischen, bis auf  $\pm 4$  Prozent überein.

<sup>\*)</sup> A. Westgren, Arkiv. f. nat. erh. fys. Svensk. Akad. 11 Nr 14 (1916). <sup>Diese Bemerkung sowie die</sup> (nachstehenden zwei Tabellen, sind bei der Niederschrift des Vortrages eingezeichnet worden, während in letzterem die aus Svedberg's Messungen berechneten Tabellen (loc. cit. S. ...) eingefügt wurden.



2	1	0	1	0	1	0	1
0.25	0.125	0.0625	0.03125	0.015625	0.0078125	0.00390625	0.001953125
0.25	0.125	0.0625	0.03125	0.015625	0.0078125	0.00390625	0.001953125

Two other books

Wir haben also, in der obigen Form gegeben (p. 1) das die unvollständige

Abtheilung des englischen Textes im Original

Aluminum the most ~~light~~ <sup>light</sup> metal

*[Faint handwritten notes at the bottom of the page, possibly bleed-through from the reverse side.]*

D mit Hilfe von Erasmus 1517 1518 1519 1520 1521 1522 1523 1524 1525 1526 1527 1528 1529 1530 1531 1532 1533 1534 1535 1536 1537 1538 1539 1540 1541 1542 1543 1544 1545 1546 1547 1548 1549 1550 1551 1552 1553 1554 1555 1556 1557 1558 1559 1560 1561 1562 1563 1564 1565 1566 1567 1568 1569 1570 1571 1572 1573 1574 1575 1576 1577 1578 1579 1580 1581 1582 1583 1584 1585 1586 1587 1588 1589 1590 1591 1592 1593 1594 1595 1596 1597 1598 1599 1600 1601 1602 1603 1604 1605 1606 1607 1608 1609 1610 1611 1612 1613 1614 1615 1616 1617 1618 1619 1620 1621 1622 1623 1624 1625 1626 1627 1628 1629 1630 1631 1632 1633 1634 1635 1636 1637 1638 1639 1640 1641 1642 1643 1644 1645 1646 1647 1648 1649 1650 1651 1652 1653 1654 1655 1656 1657 1658 1659 1660 1661 1662 1663 1664 1665 1666 1667 1668 1669 1670 1671 1672 1673 1674 1675 1676 1677 1678 1679 1680 1681 1682 1683 1684 1685 1686 1687 1688 1689 1690 1691 1692 1693 1694 1695 1696 1697 1698 1699 1700 1701 1702 1703 1704 1705 1706 1707 1708 1709 1710 1711 1712 1713 1714 1715 1716 1717 1718 1719 1720 1721 1722 1723 1724 1725 1726 1727 1728 1729 1730 1731 1732 1733 1734 1735 1736 1737 1738 1739 1740 1741 1742 1743 1744 1745 1746 1747 1748 1749 1750 1751 1752 1753 1754 1755 1756 1757 1758 1759 1760 1761 1762 1763 1764 1765 1766 1767 1768 1769 1770 1771 1772 1773 1774 1775 1776 1777 1778 1779 1780 1781 1782 1783 1784 1785 1786 1787 1788 1789 1790 1791 1792 1793 1794 1795 1796 1797 1798 1799 1800 1801 1802 1803 1804 1805 1806 1807 1808 1809 1810 1811 1812 1813 1814 1815 1816 1817 1818 1819 1820 1821 1822 1823 1824 1825 1826 1827 1828 1829 1830 1831 1832 1833 1834 1835 1836 1837 1838 1839 1840 1841 1842 1843 1844 1845 1846 1847 1848 1849 1850 1851 1852 1853 1854 1855 1856 1857 1858 1859 1860 1861 1862 1863 1864 1865 1866 1867 1868 1869 1870 1871 1872 1873 1874 1875 1876 1877 1878 1879 1880 1881 1882 1883 1884 1885 1886 1887 1888 1889 1890 1891 1892 1893 1894 1895 1896 1897 1898 1899 1900 1901 1902 1903 1904 1905 1906 1907 1908 1909 1910 1911 1912 1913 1914 1915 1916 1917 1918 1919 1920 1921 1922 1923 1924

all the other commitments, the agent is the best,  $\delta = 0.8$  and  $\delta = 0.9$  are the best.

Im Folgenden sind die Bestimmungen der verschiedenen Arten angegeben, welche nach der Untersuchung in zwei Klassen eingeteilt sind.

Keine spezielle Aufmerksamkeitsleistung zu erwarten. Bspw. bei Taktung und Taktung.

from the old house, several of the original windows still remaining.

Die Erwinia (1716) wurde (und wurde) unter Torsion von 1/2 cm (1/2 cm) in die Luft eingeblasen. Die Erwinia (1716) wurde (und wurde) unter Torsion von 1/2 cm (1/2 cm) in die Luft eingeblasen.

*...the ... ..*

A. Vetter, Bücherf. u. Antiqu., M. 1874, Nr. 10, S. 10.  
Die Antiquarische Bibliothek von Vetter.



Wiegand hat die experimentelle Kontrolle der Fick'schen Theorie noch in weiterer Einzelheit durchgeführt, indem er eine Statistik der Gruppen (nm) je zweier aufeinanderfolgender Zahlen entwarf, in welche er die Svedberg'sche Zahlenreihe zerlegen lässt, und dieselbe mit den theoretischen Häufigkeitswerten  $H(n,m)$  vergleicht, welche er mit Hilfe des oben bestimmten  $P$  aus (6) und (11,12) berechnet kann:

$$H(n,m) = W(n) W_n(m-n) \quad \text{--- (18)}$$

Es ergab dies eine recht befriedigende Übereinstimmung; dasselbe gilt von einer analog, ~~aus~~ aus Wertgrenz's <sup>Nessungen</sup> ~~angeführten~~ Statistik, welche die betreffenden Systematiker vielleicht noch besser zum Ausdruck bringt und daher hier angeführt werden möge; ~~da~~ dabei gibt die Tabelle I die gefundenen, Tabelle II die berechneten Häufigkeitszahlen an:

Tabelle I.

m	0	1	2	3	4	5	6	7
n=0	210	126	35	7	0	1		
1	134	281	117	29	1	1		
2	27	138	108	63	16	3		
3	10	20	76	38	24	6	0	
4	2	2	74	22	13	11	3	
5		0	2	10	10	1	2	2
6				1	1	3		
7						2		

Tabelle II.

m=	0	1	2	3	4	5	6	7
n=0	221	119	32	6	1			
1	119	262	122	31	5	1		
2	32	122	149	63	15	3		
3	6	31	63	56	22	5	1	
4	1	5	15	22	15	6	2	
5		1	3	5	6	3	1	0
6				1	2	1		
7						0		

Die Bedeutung dieser Rechnungen liegt nur einerseits darin, dass sie den Zusammenhang zwischen Brown'scher Bewegung, Diffusion und den Konzentrations-schwankungen klarlegen. Man ~~kann~~ kann demzufolge aus <sup>einer</sup> ~~Beobachtung~~ ~~statistik~~ nach der Svedberg'schen Methode gewonnenen Statistik der Teilchenzahlen den Diffusionsfaktor  $P$  und daraus den Diffusionskoeffizienten  $D$  bestimmen, welches gleichzeitig für die Brown'sche Bewegung maßgebend ist, und das ist wohl eine viel einfachere ~~und~~ Methode als die unmittelbare Beobachtung der Brown'schen Bewegung der einzelnen Teilchen.

Wichtiger scheint mir aber der Umstand, dass dies das erste Beispiel einer Erscheinung ist, an welcher sich der Übergang zwischen dem makroskopisch irreversiblen Stadium und den mikroskopischen Schwankungserscheinungen sowohl theoretisch wie experimentell in allen Details verfolgen lässt. Ich hatte zwar vor drei Jahren ein anderes Beispiel dieser Art angegeben, nämlich die Brown'sche Bewegung eines Teilchens, das von einer elastischen Kraft beeinflusst wird, aber jenes hatte einstweilen nur eine ideelle Bedeutung, da diesbezügliche Versuche noch nicht vorliegen, während es sich hier gerade um die als Typus eines irreversiblen Vorganges geltende Diffusion und um direkt ausführbare <sup>(und ausgeführte)</sup> Beobachtungen handelt.



Die Bedeutung eines Geschwunders liegt im inneren Kern, das ist die inneren Kern der Sache. Die Bedeutung eines Geschwunders liegt im inneren Kern, das ist die inneren Kern der Sache. Die Bedeutung eines Geschwunders liegt im inneren Kern, das ist die inneren Kern der Sache.

(18)

$H(m) = W(m) \cdot T(m)$

Es ist dies eine sehr wichtige Gleichung, die die Bedeutung eines Geschwunders zeigt. Die Bedeutung eines Geschwunders liegt im inneren Kern, das ist die inneren Kern der Sache. Die Bedeutung eines Geschwunders liegt im inneren Kern, das ist die inneren Kern der Sache.

II

I

m	0	1	2	3	4	5	6	7	8	9	10
0	0	1	4	9	16	25	36	49	64	81	100
1	1	4	9	16	25	36	49	64	81	100	121
2	4	9	16	25	36	49	64	81	100	121	144
3	9	16	25	36	49	64	81	100	121	144	169
4	16	25	36	49	64	81	100	121	144	169	196
5	25	36	49	64	81	100	121	144	169	196	225
6	36	49	64	81	100	121	144	169	196	225	256
7	49	64	81	100	121	144	169	196	225	256	289
8	64	81	100	121	144	169	196	225	256	289	324
9	81	100	121	144	169	196	225	256	289	324	361
10	100	121	144	169	196	225	256	289	324	361	400

m	0	1	2	3	4	5	6	7	8	9	10
0	0	1	4	9	16	25	36	49	64	81	100
1	1	4	9	16	25	36	49	64	81	100	121
2	4	9	16	25	36	49	64	81	100	121	144
3	9	16	25	36	49	64	81	100	121	144	169
4	16	25	36	49	64	81	100	121	144	169	196
5	25	36	49	64	81	100	121	144	169	196	225
6	36	49	64	81	100	121	144	169	196	225	256
7	49	64	81	100	121	144	169	196	225	256	289
8	64	81	100	121	144	169	196	225	256	289	324
9	81	100	121	144	169	196	225	256	289	324	361
10	100	121	144	169	196	225	256	289	324	361	400

Die Bedeutung eines Geschwunders liegt im inneren Kern, das ist die inneren Kern der Sache. Die Bedeutung eines Geschwunders liegt im inneren Kern, das ist die inneren Kern der Sache. Die Bedeutung eines Geschwunders liegt im inneren Kern, das ist die inneren Kern der Sache.



Unsere Untersuchung gibt uns somit auch die Mittel an die Hand, die Frage nach der Umkehrbarkeit "irreversibler" Prozesse, oder was dasselbe ist, nach den Gültigkeitsgrenzen des II. Hauptsatzes, welche damals in allgemeinerer Form behandelt wird, wenigstens in diesem Spezialfalle ganz exakt zu lösen und teilweise auch experimentell zu kontrollieren.

Das Doltmann'sche Grundprinzip der Erklärung der Irreversibilität, welches seinerzeit so heftig bekämpft von Zermelo u. A. geradezu als widersinnig verworfen wurde, wird uns schon durch die Tabelle I, oder noch besser II, klar demonstriert. Wir sehen, dass im Laufe genügend langer Zeiten jeder Zahlenwechsel ( $n \rightarrow m$ ) ebenso häufig vorkommt, wie der umgekehrte Zahlenwechsel ( $m \rightarrow n$ ) — was auch aus den betreffenden Formeln nachzuweisen ist — in Übereinstimmung mit der seinerzeit von Zoschmidt erhobenen Forderung der prinzipiellen Umkehrbarkeit aller molekularen Vorgänge.

Andererseits ist aber auch ersichtlich, dass nach einer <sup>relativ</sup> ~~kleinen~~ <sup>kleinen</sup> großen Anfangszahl z.B. 5, 6, 7, im nächsten Zeitintervall äußerst wahrscheinlich eine erheblich kleinere Zahl auftritt, dass also bei hoher Anfangskonzentration unvermeidlich ein Ausgleich durch Diffusion zu erwarten ist.

Es entspricht das ganz der Doltmann'schen Behauptung, dass die ~~Entropie~~ <sup>Entropie</sup> von negativer Entropiekurve von jedem höheren Wert fast immer sofort nach abwärts geht. <sup>\*)</sup>

Allerdings wird der abnormale Anfangszustand im Laufe der Zeit infolge der zufälligen Schwankungen wieder einmal erreicht werden, aber bei größerer Abnormalität des Anfangszustandes mag die Wiederkehrzeit so lang sein, dass die Wiederkehr ~~tatsächlich~~ <sup>zu</sup> praktisch nicht beobachtet ~~sein~~ <sup>sein</sup> dürfte, so dass

der Vorgang irreversibel zu sein scheint.

<sup>\*)</sup> Wegen Zermelo's scheinbar überzeugend beantwortete, dass eine Kurve nicht im Jahre über Punkte ein Maximum haben könnte, außer sie ist eine Konstante. Wir kommen auf diesen Gegenstand noch ausführlich eines andern Beispieles zurück (II Vortrag, 6. April 1915).

<sup>\*\*)</sup> Literatur: Siehe P. T. Ehrenfest, Enzykl. d. math. II, IV, 32.

Um die Sache quantitativ näher zu untersuchen, wollen wir den Begriff der durchschnittlichen Wiederkehrzeit näher präzisieren. Fassen wir nämlich einen bestimmten Wert  $n$  der Teilchenzahl ins Auge, so kann es vorkommen, dass dieser Wert einmal auftritt und sofort von einem anderen Wert  $m$  gefolgt wird, oder die Zahl  $n$  kann <sup>(dreimal)</sup> zweimal <sup>(dreimal)</sup> hintereinander auftreten, dann einen  $m$  absetzen u. s. w., wie dies die Kurve  $d$  der Fig. (1) <sup>für  $n=2$</sup>  verdeutlicht.

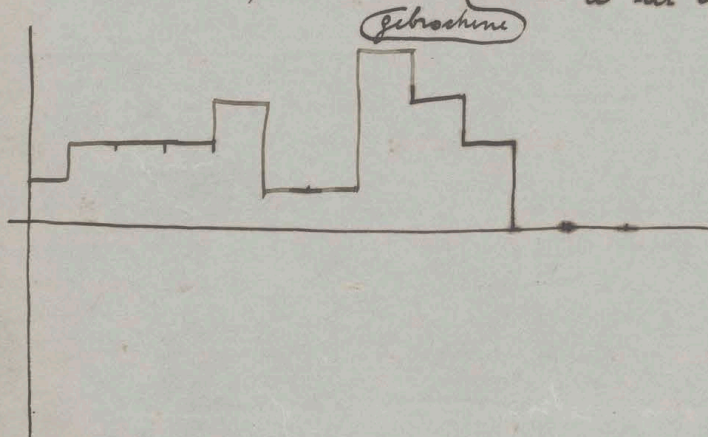


Fig. 1.

Berechnen wir mit  $N_k$  die Anzahl <sup>des Auftretens der Zahl  $n$ , wo dieselbe</sup> der Fälle ~~in der Zahl  $n$~~  gerade  $k$  mal hintereinander erscheint und andererseits mit  $M_k$  die Anzahl der Fälle, welche durch Nichterscheinen der Zahl  $n$  in  $k$  hintereinander folgenden Intervallen <sup>(charakterisiert sind)</sup> gekennzeichnet sind. Dann lassen sich die Wahrscheinlichkeitswerte  $W(n)$ ,  $W_k(0)$  [vgl. Gleichung (11, 12)] ~~als~~ <sup>als</sup> infolge

<sup>\*\*) N. v. Smoluchowski, Wien. Ber. 129, 339, 1915.</sup>



Die Diffusion ist ein physikalischer Prozess, bei dem Teilchen von einem Bereich hoher Konzentration zu einem Bereich niedriger Konzentration wandern. Dieser Prozess findet in allen Medien statt, sei es in Gasen, Flüssigkeiten oder Festkörpern. Die Geschwindigkeit der Diffusion hängt von der Temperatur, der Größe der Teilchen und dem Medium ab. In Gasen ist die Diffusion am schnellsten, gefolgt von Flüssigkeiten, während sie in Festkörpern am langsamsten abläuft. Ein klassisches Beispiel für Diffusion ist die Ausbreitung eines Duftstoffes in einem Raum. Die Teilchen des Duftstoffes bewegen sich von der Quelle aus in alle Richtungen aus, bis sie gleichmäßig im Raum verteilt sind.

Die Diffusionsgleichung beschreibt die zeitliche Entwicklung der Konzentration eines diffundierenden Stoffes. Sie lautet:

$$\frac{\partial c}{\partial t} = D \nabla^2 c$$

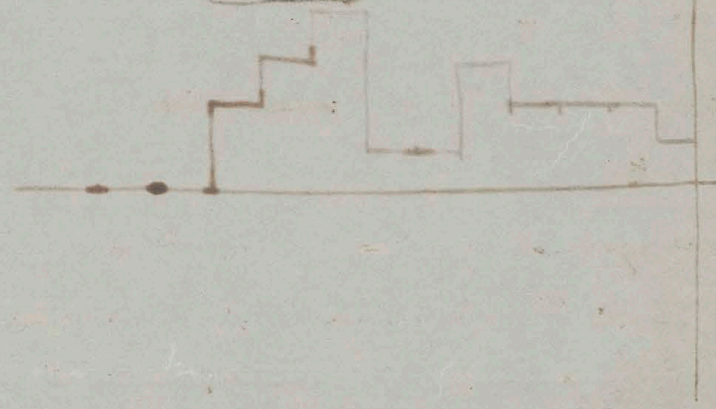
Wobei  $c$  die Konzentration,  $t$  die Zeit und  $D$  der Diffusionskoeffizient ist. Diese Gleichung ist eine partielle Differentialgleichung zweiter Ordnung.

Die Diffusionskoeffizienten  $D$  hängen von der Temperatur  $T$  nach der Arrhenius-Gleichung ab:

$$D = D_0 \exp\left(-\frac{E_a}{RT}\right)$$

Wobei  $D_0$  ein präexponentieller Faktor,  $E_a$  die Aktivierungsenergie und  $R$  die Gaskonstante ist. Diese Gleichung zeigt, dass die Diffusionsgeschwindigkeit mit der Temperatur exponentiell ansteigt.

Die Diffusion ist ein wichtiger Prozess in vielen Bereichen der Wissenschaft und Technik. In der Biologie spielt sie eine zentrale Rolle für den Stofftransport in Zellen und Geweben. In der Materialwissenschaft ist sie entscheidend für die Herstellung von Legierungen und die Entwicklung von Halbleitern. Auch in der Chemie ist die Diffusion ein grundlegendes Konzept für das Verständnis von Reaktionsgeschwindigkeiten und Kinetiken.





ihre Bedeutung als relative Häufigkeitswerte, ausdrücken als:

$$W_n = \frac{\sum k N_k}{\sum k(N_k + M_k)} \quad \text{--- (19)}$$

$$W_n(0) = \frac{N_1 + 2N_2 + 3N_3 + \dots}{N_1 + 2N_2 + 3N_3 + \dots} = 1 - \frac{\sum N_k}{\sum k N_k} \quad \text{--- (20)}$$

Nun wollen wir als durchschnittliche Dauer  $T_n$  (des  $n$ -Zustands den Durchschnittswert der Zeiten bezeichnen, während welcher der  $n$ -Zustand andauert:

$$T_n = \tau \frac{\sum k N_k}{\sum N_k} \quad \text{--- (21)}$$

und als durchschnittliche Wiederkehrzeit die Zeitdauer, welche durchschnittlich vom Aufhören des  $n$ -Zustands bis zu dessen nächstem Wiedereintritt verfließt:

$$\Theta_n = \tau \frac{\sum k M_k}{\sum M_k} \quad \text{--- (22)}$$

wobei  $\tau$  die Dauer eines Intervalls bedeutet.

Da nun in langen Zeiträumen, welche hier vorausgesetzt werden, jede Zahl ebenso häufig erscheinen wie verschwinden muss, gilt offenbar:  $\sum N_k = \sum M_k$ , und damit erhält man aus (20) für die durchschnittliche Dauer des  $n$ -Zustands:

$$T_n = \frac{\tau}{1 - W_n(0)} \quad \text{--- (23)}$$

und (für die durchschnittliche Wiederkehrzeit:

$$\Theta_n = \frac{\tau}{1 - W_n(0)} \cdot \frac{1 - W_n(1)}{W_n(1)} \quad \text{--- (24)}$$

\*)

Eine Prüfung dieser Berechnungen an der Sieberg'schen Zahlenreihe gibt folgende Resultate:

$n$	$T_n$ gef	$T_n$ ber	$\Theta_n$ gef	$\Theta_n$ ber	(Zeit dauern des Auftretens von Intervalllängen $\tau$ ausgedrückt):
0	1.67	1.47	6.08	5.54	
1	1.50	1.55	3.13	3.16	
2	1.37	1.38	2.41	4.05	
3	1.25	1.23	7.85	8.07	
4	1.23	1.12	18.6	20.9	

Die Übereinstimmung ist im Allgemeinen befriedigend, ins besondere ~~bei den größeren Zahlen~~, dass zufällige Fehler hier, ~~bei den größeren Zahlen~~ einen erheblichen Einfluss ausüben, und dass auch die Tatsache, dass nur eine begrenzte Zahlenreihe zur Verfügung steht, eine ~~systematische~~ systematische, die gefundenen  $\Theta$  vermindernde Fehlerquelle bildet.

An die Formel (24) lassen sich nun weitere interessante Folgerungen knüpfen. Handelt es sich um größere Zahlen  $n$ , so ist sowohl  $W_n(1)$  wie auch  $W_n(0)$  sehr klein, und es gilt angenähert:

$$\Theta_n = \frac{\tau}{W_n(1)} = \tau \frac{e^n n!}{n^n} \quad \text{--- (25)}$$

\*) Hierin sind einige Verschiebungen der ursprünglich gegebenen Tabelle richtiggestellt.



Thermische Eigenschaften der wasserhaltigen Gase

$$T = \frac{E}{W} = \frac{E}{W_0 + W_1}$$

Die Temperatur  $T$  ist ein Maß für die mittlere kinetische Energie der Teilchen. Sie ist durch die Gleichung  $T = \frac{E}{W}$  gegeben, wobei  $E$  die kinetische Energie und  $W$  die Masse des Gases ist.

Die Temperatur  $T$  ist ein Maß für die mittlere kinetische Energie der Teilchen. Sie ist durch die Gleichung  $T = \frac{E}{W}$  gegeben, wobei  $E$  die kinetische Energie und  $W$  die Masse des Gases ist.

Die Temperatur  $T$  ist ein Maß für die mittlere kinetische Energie der Teilchen. Sie ist durch die Gleichung  $T = \frac{E}{W}$  gegeben, wobei  $E$  die kinetische Energie und  $W$  die Masse des Gases ist.

Die Temperatur  $T$  ist ein Maß für die mittlere kinetische Energie der Teilchen. Sie ist durch die Gleichung  $T = \frac{E}{W}$  gegeben, wobei  $E$  die kinetische Energie und  $W$  die Masse des Gases ist.

$n$	$T$	$E$	$W$
0	1.00	1.00	1.00
1	1.10	1.10	1.10
2	1.20	1.20	1.20
3	1.30	1.30	1.30
4	1.40	1.40	1.40

Die Temperatur  $T$  ist ein Maß für die mittlere kinetische Energie der Teilchen. Sie ist durch die Gleichung  $T = \frac{E}{W}$  gegeben, wobei  $E$  die kinetische Energie und  $W$  die Masse des Gases ist.

$$T = \frac{E}{W} = \frac{E}{W_0 + W_1}$$

Die Temperatur  $T$  ist ein Maß für die mittlere kinetische Energie der Teilchen. Sie ist durch die Gleichung  $T = \frac{E}{W}$  gegeben, wobei  $E$  die kinetische Energie und  $W$  die Masse des Gases ist.

$$T = \frac{E}{W} = \frac{E}{W_0 + W_1}$$

Die Temperatur  $T$  ist ein Maß für die mittlere kinetische Energie der Teilchen. Sie ist durch die Gleichung  $T = \frac{E}{W}$  gegeben, wobei  $E$  die kinetische Energie und  $W$  die Masse des Gases ist.

Die Temperatur  $T$  ist ein Maß für die mittlere kinetische Energie der Teilchen. Sie ist durch die Gleichung  $T = \frac{E}{W}$  gegeben, wobei  $E$  die kinetische Energie und  $W$  die Masse des Gases ist.

Die Temperatur  $T$  ist ein Maß für die mittlere kinetische Energie der Teilchen. Sie ist durch die Gleichung  $T = \frac{E}{W}$  gegeben, wobei  $E$  die kinetische Energie und  $W$  die Masse des Gases ist.

$$T = \frac{E}{W} = \frac{E}{W_0 + W_1}$$

Die Temperatur  $T$  ist ein Maß für die mittlere kinetische Energie der Teilchen. Sie ist durch die Gleichung  $T = \frac{E}{W}$  gegeben, wobei  $E$  die kinetische Energie und  $W$  die Masse des Gases ist.

Die Temperatur  $T$  ist ein Maß für die mittlere kinetische Energie der Teilchen. Sie ist durch die Gleichung  $T = \frac{E}{W}$  gegeben, wobei  $E$  die kinetische Energie und  $W$  die Masse des Gases ist.

$$T = \frac{E}{W} = \frac{E}{W_0 + W_1}$$

Die Temperatur  $T$  ist ein Maß für die mittlere kinetische Energie der Teilchen. Sie ist durch die Gleichung  $T = \frac{E}{W}$  gegeben, wobei  $E$  die kinetische Energie und  $W$  die Masse des Gases ist.

Die Temperatur  $T$  ist ein Maß für die mittlere kinetische Energie der Teilchen. Sie ist durch die Gleichung  $T = \frac{E}{W}$  gegeben, wobei  $E$  die kinetische Energie und  $W$  die Masse des Gases ist.

$$T = \frac{E}{W} = \frac{E}{W_0 + W_1}$$

$$T = \frac{E}{W} = \frac{E}{W_0 + W_1}$$

Die Temperatur  $T$  ist ein Maß für die mittlere kinetische Energie der Teilchen. Sie ist durch die Gleichung  $T = \frac{E}{W}$  gegeben, wobei  $E$  die kinetische Energie und  $W$  die Masse des Gases ist.



Ein Zahlenbeispiel möge zeigen, wie außerordentlich rasch diese Größe anwächst, falls  $n$  zunimmt. Für die <sup>größte</sup> von Svedberg einmal beobachtete Zahl 7 wird eine Wiederkehrzeit von 1105 Intervalllängen = 27 Minuten folgen, ~~beispielweise~~ <sup>während</sup> ~~beispielweise~~ für die Zahl  $n=17$  <sup>beträgt</sup>  $\Theta = 10^{13} \tau = 500.000$  Jahre! Wäre also Svedberg von einem solchen — auf irgend eine Weise künstlich hergestellten — Konzentrationsverhältniss als Anfangszustand ausgegangen, so hätte er gewiss nie die automatische Wiederkehr desselben beobachten können.

### 7. Umkehr ~~unter~~ der Diffusion bei kontinuierlicher Beobachtung.

Nun erfordert ein Umstand noch eine weitere Untersuchung. Unsere Formeln gelten nämlich nur unter Voraussetzung einer intermittierenden Beobachtung, in gleich langen Zeitintervallen. Wie wäre die ganze Schlussweise abzuändern, wenn es sich um eine kontinuierliche Beobachtung handeln würde?

Der nahe liegende Gedanke, in unseren Formeln (23, 24) nur Grenze  $\lim \tau \rightarrow 0$  überzugehen, scheint auf den ersten Blick sowohl für die Dauer, wie für die Wiederkehrzeit den Wert  $\lim \Theta = \lim T = 0$  zu geben, da für genügend kurze Zeiten

$$\lim T_n(0) = 1 - (n+1)P \quad \text{--- (26)}$$

gilt und  $P$  gemäß (16) die Form annimmt:

$$\lim P = \frac{1}{\beta \sqrt{\pi}} = \frac{2}{h} \sqrt{\frac{D\tau}{\pi}} \quad \text{--- (27)}$$

Offenbar hängt dies damit zusammen, dass die Moss'sche Bewegung im Sinne unserer Formel (5) in einer solchen Weise erfolgt, als ob ein unendlich verwickelter Zickzack weg mit unendlich grosser Geschwindigkeit zurückgelegt würde. Der Grenzport der mittleren Verschiebungsgeschwindigkeit  $\frac{\Delta x}{t} = \sqrt{\frac{2D}{t}}$  ~~konvergiert~~  $\frac{\sqrt{(x-x_0)^2}}{t} = \sqrt{\frac{2D}{t}}$  konvergiert ja offenbar für  $t \rightarrow 0$  gegen  $\infty$ . Alles würde indes mal, wenn ein Teilchen die Grenzflächen des beobachteten Raumes durchstösst, eigentlich ein unendlich häufiges Hin- und Herschwenken der Teilchenzahl erfolgen, und die Kurve (a) Fig. (1) wäre eigentlich zu ersetzen durch eine Zickzacklinie von der Art, wie dies die Kurve (b) andeutet. Da die Anzahl der Zahlenwechsel unendlich gross wäre, dagegen die Zeitstrecke endlich, würde natürlich für  $\Theta$  ein Durchschnittswert  $\Theta$  Null resultieren.

Hiermit stoßen wir aber gerade auf eine Lücke aller unserer bisherigen Betrachtungen. Die Moss'sche Bewegungsformel (1) ist nämlich, ihrer Ableitung gemäß, nur für Zeiten gültig, welche erheblich länger sind als die mittlere Dauer der annähernd geradlinigen Bewegung der Teilchen. Diese Bedingung lässt sich da durch präzisieren, dass der oben berechnete Wert der Verschiebungsgeschwindigkeit endlich bleiben und zwar der Größe der Rotationsgeschwindigkeit  $C$  des Teilchens entsprechen muss, also <sup>sind</sup> ~~ist~~ <sup>Zeit</sup> vorausgesetzt:

\*) Der Faktor  $\sqrt{3}$  rührt von der Zusammensetzung der drei Componenten in XYZ her



(\*) Der Betrag  $\Phi$  ist mit der Temperatur  $T$  der Komponenten in  $273^\circ$  K.

Erhöht sich  $T$  so erhöht sich  $\Phi$  und umgekehrt.

Die Temperaturabhängigkeit erklärt sich durch die Verteilung

der Teilchen. Eine Teilung führt zu einem Zustand, dass ein Teilchen

nicht mehr Teilchen sein kann als die mittlere Zahl der ungetriggerten Bewegung

Die (maximale) Bewegung (1) ist erreicht, wenn alle Teilchen

Teilchen sind in einem Zustand, dass ein Teilchen

Erhöht sich  $\Phi$  mit  $T$ .

Erhöht sich  $\Phi$  mit  $T$ , so erhöht sich  $\Phi$  mit  $T$ .

Erhöht sich  $\Phi$  mit  $T$ , so erhöht sich  $\Phi$  mit  $T$ .

Erhöht sich  $\Phi$  mit  $T$ , so erhöht sich  $\Phi$  mit  $T$ .

Erhöht sich  $\Phi$  mit  $T$ , so erhöht sich  $\Phi$  mit  $T$ .

Erhöht sich  $\Phi$  mit  $T$ , so erhöht sich  $\Phi$  mit  $T$ .

Erhöht sich  $\Phi$  mit  $T$ , so erhöht sich  $\Phi$  mit  $T$ .

Erhöht sich  $\Phi$  mit  $T$ , so erhöht sich  $\Phi$  mit  $T$ .

Erhöht sich  $\Phi$  mit  $T$ , so erhöht sich  $\Phi$  mit  $T$ .

Erhöht sich  $\Phi$  mit  $T$ , so erhöht sich  $\Phi$  mit  $T$ .

Erhöht sich  $\Phi$  mit  $T$ , so erhöht sich  $\Phi$  mit  $T$ .

Erhöht sich  $\Phi$  mit  $T$ , so erhöht sich  $\Phi$  mit  $T$ .

Erhöht sich  $\Phi$  mit  $T$ , so erhöht sich  $\Phi$  mit  $T$ .

Erhöht sich  $\Phi$  mit  $T$ , so erhöht sich  $\Phi$  mit  $T$ .

Erhöht sich  $\Phi$  mit  $T$ , so erhöht sich  $\Phi$  mit  $T$ .

Erhöht sich  $\Phi$  mit  $T$ , so erhöht sich  $\Phi$  mit  $T$ .

Erhöht sich  $\Phi$  mit  $T$ , so erhöht sich  $\Phi$  mit  $T$ .

Erhöht sich  $\Phi$  mit  $T$ , so erhöht sich  $\Phi$  mit  $T$ .

Erhöht sich  $\Phi$  mit  $T$ , so erhöht sich  $\Phi$  mit  $T$ .

Erhöht sich  $\Phi$  mit  $T$ , so erhöht sich  $\Phi$  mit  $T$ .

Erhöht sich  $\Phi$  mit  $T$ , so erhöht sich  $\Phi$  mit  $T$ .

Erhöht sich  $\Phi$  mit  $T$ , so erhöht sich  $\Phi$  mit  $T$ .

Erhöht sich  $\Phi$  mit  $T$ , so erhöht sich  $\Phi$  mit  $T$ .

Erhöht sich  $\Phi$  mit  $T$ , so erhöht sich  $\Phi$  mit  $T$ .

Erhöht sich  $\Phi$  mit  $T$ , so erhöht sich  $\Phi$  mit  $T$ .

Erhöht sich  $\Phi$  mit  $T$ , so erhöht sich  $\Phi$  mit  $T$ .

Erhöht sich  $\Phi$  mit  $T$ , so erhöht sich  $\Phi$  mit  $T$ .

Erhöht sich  $\Phi$  mit  $T$ , so erhöht sich  $\Phi$  mit  $T$ .



$$t \gg \frac{6D}{c^2}$$

(28)

17

Ebenso verliert natürlich die übliche Diffusionstheorie ihre Geltung, falls es sich um Vorgänge handelt, welche in Zeiträumen von jener Größenordnung merklich variabel sind. Für wesentlich kürzere Zeiten sind im Gegenteil alle Teilchenbewegungen als ungefähr geradlinig und mit der Geschwindigkeit  $C$  erfolgend zu betrachten, welche sich aus der Masse des Teilchens  $M$  mittels der bekannten Relation berechnen lässt:

$$C = \sqrt{\frac{3ET}{NM}}$$

(29)

Dementsprechend ist die GröÙe  $P$  für sehr kurze Zeiten zu bestimmen, indem man den bekannten Ausdruck der Gastheorie heranzieht, welcher die Anzahl von Stößen angibt, die in der Zeit  $t$  von einem Gase gegen die Flächeneinheit einer Wand ausgeht, welches  $N$  Moleküle pro Volumeneinheit enthält:

$\frac{NC}{\sqrt{6\pi}} t$ . Da nun  $P$  die Wahrscheinlichkeit bedeutet, dass ein anfangs irgendwo in  $v$  befindliches Teilchen in der Zeit  $t$  über die Grenzfläche tritt, ist es offenbar <sup>zahlenmäßig</sup> gleich der Anzahl Stöße, welche jenes durchschnittlich in der sehr kurzen Zeit  $t$  ausüben wird, also gilt, da  $N = \frac{1}{v}$  <sup>ist</sup> mit Rücksicht auf die GröÙe der Grenzfläche  $F$ :

$$\lim_{t \rightarrow 0} P = \frac{F}{v} \frac{Ct}{\sqrt{6\pi}}$$

Wird nun dieser Ausdruck in unsere Formel (24, 26) eingesetzt, so erhält man sowohl für die durchschnittliche Dauer, wie auch für die Wiederkehrzeit, auch bei kontinuierlicher Beobachtung endliche Grenzwerte:

$$T = \frac{v}{F} \frac{\sqrt{6\pi}}{C(n+v)}$$

(30)

$$\Theta = T \frac{1 - W(n)}{W(n)}$$

Darnach berechnet man die Wiederkehrzeit der Tabl 17 bei kontinuierlicher Beobachtung zu  $\Theta = 161$  Tagen; (aber dabei wäre) die durchschnittliche Dauer einer solchen Wiederkehr nur  $T = 9 \cdot 10^{-7}$  Sek., also hätte ein experimentierender Physiker gewiss keine Gelegenheit, sich von der Reversibilität solcher Zustände zu überzeugen.

Noch viel auffälliger tritt die Grenze, welche die molekularen Schwanckungserscheinungen von dem Bereich der scheinbaren Irreversibilität trennt, in dem Falle hervor, wenn die Teilchenzahlen  $n, v$  genügend groß sind. Dann lässt sich die GröÙe  $W(n)$  in der bekannten Weise approximieren, und man erhält für die Wiederkehrzeit einer gewissen Verdichtung  $\delta = \frac{n-v}{v}$ :

$$\Theta = \frac{v n}{F C} \sqrt{\frac{3}{v}} e^{\frac{1}{2} \delta^2}$$

(31)

Auf Grund dieser Formeln habe ich eine exakte Lösung eines schon öfters <sup>(u. A. auch von Boltzmann)</sup> aufgeworfenen Problems zu geben versucht, welches ich bereits früher in <sup>etwas anderer, mehr approximativer Weise</sup> behandelt hatte, betreffend die Möglichkeit einer automatischen Entmischung der Luft in ihre Bestandteile. Wenn man die

\*) a. a. O. (Vorträge ü. kinetische Theorie d. Gase u. Elektrolyte)



...wird ...

(22)

...

...wird ...

...

...wird ...

...

...

...

...wird ...

...wird ...

(23)

...

...wird ...



in einer Kugelfläche vom Radius  $a$  enthaltene Luftmenge in Betracht zieht und die Zeit  $\Theta$  berechnet, wenn der Sauerstoff eine um 1% höhere Konzentration annimmt, als die normale, so erhält man folgen des Bild:

$a =$	1	$5 \cdot 10^{-5}$	$3 \cdot 10^{-5}$	$2.5 \cdot 10^{-5}$	$1 \cdot 10^{-5} \text{ cm}$
$\Theta =$	$10^{(10^{14})}$	$10^{68}$	$10^6$	1	$10^{-11} \text{ Sek.}$

Für Volumina, welche mit bloßem Auge beobachtbar sind, resultieren also für eine <sup>Konzentrations-</sup>Schwankung  $\delta = 1\%$  dergestalt kolossale Wiederkehrzeiten, dass man die Diffusion für praktisch irreversibel halten muss, während an dererseits in den an der Grenze mikroskopischer Sichtbarkeit stehenden Räumen die Konzentrations-schwankungen so groß sind und so rasch erfolgen, dass da von einer Irreversibilität keine Rede sein kann. Der Begriff der Diffusion in der üblichen Bedeutung des Wortes verliert da seine Anwendbarkeit — ~~da doch~~ niemand in der Loebberg'schen Zahlenreihe eine Illustration der Diffusion erkennen wird, obwohl auch hier der durchschnittliche <sup>(Ostrog der)</sup> Konzentrationsänderungen von einem gegebenen Zustand aus, vollständig in Übereinstimmung mit den Regeln des Oben erfolgt.

Hiermit sind wir wenigstens im Bereich dieser Erscheinungen zu einer vollständigen Aufklärung der ehemals für unüberbrückbar angesehenen Widersprüche zwischen der auf dem Irreversibilitätsbegriff gestützten Thermodynamik und der Molekularen Kinetik gelangt. Wir sehen, ~~hierin~~ in welchem Punkt die klassische Diffusionstheorie durch die Theorie der Ornstein'schen Bewegungen und der Konzentrations-Schwankungen zu ergänzen ist, ~~und wie durch letztere~~ <sup>und wie durch letztere</sup> ~~hierin~~ <sup>hierin</sup> der (Physik) ~~der~~ <sup>der</sup> ~~mikroskopischen~~ <sup>mikroskopischen</sup> so auffallend hervortretenden Divergenzen zwischen dem — teilweise in deterministischen — Verhalten eines individuellen Systems und dem durchschnittlichen Verhalten einer Schaar gleichartiger Systeme ins rechte Licht ~~gesetzt~~ <sup>gesetzt</sup> werden.

### 8. Verallgemeinerungen.

Es wäre recht verlockend, diese Betrachtungen auch auf andere, als irreversibel geltenden Erscheinungen zu verallgemeinern. Beispielsweise lässt sich die Formel für das Variationskoeffizientenquadrat (14) auch in der Form schreiben:  $\bar{\Delta}^2 = 2 \bar{\epsilon}^2 P$  . . . . . (32)

wenn man berücksichtigt, dass  $\nu = \bar{\epsilon}^2$  laut (9) gleich dem durchschnittlichen Schwankungsquadrat der Größe  $\nu$  ist. Nun aber liegt es nahe, diese Überlegung auf die Wärmeleitung zu übertragen.

Aus einem allgemeinen Theorem der statistischen Mechanik kann man (nach Gibbs, Einstein, De Haas-Lorentz u. A.) ableiten, dass ein Körper von der Wärmekapazität  $c$ , der sich in Wärme-gleichgewicht mit seiner Umgebung befindet, Energie-schwankungen im durchschnittlichen Betrage von  $\bar{\epsilon}^2 = \frac{c H T^2}{N}$  erfährt. Für die Schwankungsfrequenz  $\nu$  desselben dürfte somit obige Gleichung (32) gelten, wenn man einfach ~~in~~ <sup>in</sup> letzteren Ausdruck einführt und in (15) den



*[The page contains faint, illegible handwriting, likely bleed-through from the reverse side.]*

Aug 11 1891

[illegible]



Diffusionskoeffizienten  $D$  durch den Wärmekoeffizienten  $\kappa$  ersetzt. \*

Ebenso könnte man ganz allgemein den Begriff der Wiederkehrzeit zur Definition der Silbepuls-  
frequenz des thermodynamischen Irreversibilitätsbegriffs benutzen, indem man sagt: Irreversibel }  
Reversibel }  
erscheint ein Vorgang, wenn der Anfangszustand eine im Vergleich zur Beobachtungsdauer { lange }  
Wiederkehrzeit besitzt. Für praktische Rechnungen ~~ist es nicht das~~ <sup>bringt dies</sup> natürlich keine besonderen  
Nutzen, da man die Wiederkehrzeit nicht allgemein und einfach zu berechnen versteht, aber vielleicht  
ist auch die rein begriffliche Klarstellung dieser Verhältnisse von grossem ~~Werten~~ Wert.

\*) Diese Beziehung (32) gilt auch in dem später ~~behandelten~~ <sup>besprochenen</sup> Spezialfall ~~einzelner~~ <sup>einzelner</sup> (auch in anderen dissipativen Systemen, ~~falls~~ <sup>sofern</sup> soweit Zustände in der Nähe des Gleichgewichtszustandes betrachtet werden), falls  $P$  sinngemäß mit Hilfe der in (13) analogen Gleichung ~~bestimmt~~ <sup>definiert</sup> wird. Berechnen wir mit  $x$  den in Betracht kommenden Parameter, von der Gleichgewichtslage aus gerechnet, mit  $\Delta x$  den Bruchteil, um welchen ~~er~~ <sup>sich</sup> infolge der dissipativen Kräfte (unter Vernachlässigung der Schwingungen) im ~~Zeitraum~~ <sup>Zeitraum</sup>  $t$  gegen die Gleichgewichtslage hin nähern wird, so drückt somit die Formel  $\frac{\overline{\Delta^2}}{t^2} = 2 \frac{\Delta x}{x}$  einen sehr allgemeinen Zusammenhang zwischen ~~der Schwingungs~~ <sup>der Schwingungs</sup> Geschwindigkeitsgröße und thermodynamischen Größen aus.

II. Einfluss fester Wände, ~~der~~ äusserer oder innerer Kräfte auf die Diffusion.

1. Langsamkeit der Diffusion in Kolloiden.

Nun wollen wir zur Besprechung ganz konkreter Probleme übergehen, nämlich der von verschiedenen Seiten unternommenen Versuche zur experimentellen Erforschung der Diffusion in kolloidalen Lösungen, was uns auch Gelegenheit bieten wird, unsere Ausführungen über Äquivalenz der Brownischen Bewegungen und der Diffusionstheorie in einem wichtigen Punkte zu ergänzen, d.h. bezüglich der  $\neq$  Grenzbedingungen an festen Wänden, sowie betriffs des Einflusses ~~äußerer Kräfte, auch das des Schwerfelds~~ eines äußeren Kraftfeldes, nach Art des Schwerfeldes, oder inneren Molekularkräfte.

Von unserem Standpunkt sehen wir es als selbstverständlich an, dass Kolloide diffundieren, da ja ihre Teilchen Brown'sche Bewegungen ausführen, aber wenn von Diffusion desselben geredet wird, meint man solche Erscheinungen, bei welchen nicht die einzelnen Teilchen verfolgt werden, sondern wo sich die diffusions Konzentrationsänderungen im Großen beobachten lassen. Man wurde bekanntlich der Mangel einer ausgesprochenen Diffusions-tendenz oder vielmehr der außerordentlichen Langsamkeit der betreffenden Erscheinungen seit jeher als charakteristisches Merkmal der Kolloide angesehen, und es ist tatsächlich nicht leicht an denselben exakte Messungen anzuführen.

Die ersten Messungen an ~~erhaltenen~~ <sup>Gyps-hohen Kullanden</sup> ~~Inspirationstollen~~ sind wohl jene welche Svedberg an



1. Ergebnisse der Differenz in Takteln.

in Holland, and was sent. I thought it was not, as was supposed, the

~~der Einfluss der Natur auf die Entwicklung des Menschen ist ein~~

Der Name "Hauptstadt" ist in der Tat nicht  
zu verwechseln, da diese Stadt

1. The first of these is the fact that the British have been driven out of the country by the French and the Portuguese.

Die nachfolgende Tabelle zeigt die Ergebnisse der Untersuchungen über die Wirkung der verschiedenen Faktoren auf die Entwicklung der Pflanzen. Die Tabelle ist in drei Spalten unterteilt: 1. Name der Pflanze, 2. Name des Faktors, 3. Wirkung des Faktors.

Die ersten Aussagen sind sehr verschiedenartig, und es ist nicht möglich, sie zu einer einheitlichen Darstellung zu bringen. Die meisten Aussagen sind jedoch von der Art, dass die Teilnehmer an der Veranstaltung eine große Freude an der Teilnahme hatten und die Veranstaltung sehr interessant fand. Die Teilnehmer sind sehr dankbar für die Möglichkeit, an der Veranstaltung teilzunehmen und die Gelegenheit, sich mit anderen Interessierten zu treffen. Die Veranstalter sind sehr zufrieden mit dem Verlauf der Veranstaltung und hoffen, dass sie in Zukunft noch mehr Teilnehmer anlocken können.

\_\_\_\_\_



sehr feinkörnigen Goldlösungen ausgeführt hat. Dabei wurde eine durch einen (1%) Zusatz von Formstoffs beschwerte Schicht der Goldlösung mit reinem Wasser überschichtet, und die allmähliche Ausgleichung der Konzentration wurde mittels Messung des optischen Extinktions Koeffizienten in verschiedenen Schichten verfolgt; es ergab sich für einen Korneradius  $a = 1.33 \cdot 10^{-7}$  cm. ein Diffusionskoeffizient  $D = 1.35 \cdot 10^{-6}$ , was mit der theoretischen Formel (S...) welche  $D = 1.31 \cdot 10^{-6}$  erfordert, fast überraschend gut stimmt. Die Präzision derartigen Messungen dürfte aber nicht groß sein, da die Versuche gegen 5 Tage dauerten und unterdessen die Goldlösung bereits infolge Koagulation gewisse Veränderungen erlitten. Bei dem ~~100-1000 mol~~ / langsamer diffundierenden submikroskopischen oder mikroskopischen Kolloidteilchen dürfte diese Methode kaum anwendbar sein; ~~es~~ do müssen spezielle Methoden ersonnen werden, und zwar gelingt dies dank dem Verhalten fester Wände gegenüber der Diffusion.

2. Versuche über adsorbierende Wände, Berechnung mittels Brownischer Bewegung.

Die ersten Versuche, an feinkörnigen Kolloiden derartige Diffusion nachzuweisen, sind von L. Brillouin (1912) auf Anregung Perrin's unternommen worden, und dies eben scheinen mir, obwohl das Schlussresultat problematisch ist, umso interessanter, als sie eine gewisse Verwandtschaft (aufweisen mit unserer später darzulegenden Koagulationstheorie). Der Grundgedanke ist sehr einfach und sinnreich: In einer wässrigen Gummitgutt-Lösung haben die Gummitgutt-Teilchen die Eigenschaft, ~~von~~ <sup>zu</sup> von gläsernen Gefäßwänden beim Ausströmen ~~abzufließen~~, wogegen Perrin bemerkte, dass sie in angesäuerter oder stark (über 95%) glyzerin-haltiger Lösung an den Wänden kleben bleiben, sobald sie mit denselben in Berührung kommen.

Wenn somit in glyzerin-haltiger Lösung eine Glasplatte eingetaucht wird, so muss sich dieselbe im Laufe der Zeit mit einer wachsenden Anzahl Gummitgutt-Körnchen bedecken, während die Verarmung der angrenzenden Flüssigkeitsschichten durch Diffusion ausgeglichen wird. Die Anzahl der in gewisser Zeit angeklebten Teilchen, welche sich dann durch Abzählen der mikrophotographischen Aufnahme unter dem Mikroskop bestimmen lässt, ermöglicht somit eine Ermittlung des Diffusionskoeffizienten, und zwar meint Brillouin, dass sich hierzu die Formel für das durchschnittliche Verschiebung quadrat (5) benutzen lasse, indem die Hälfte der Teilchen eine positive, die ~~andere~~ <sup>andere</sup> Hälfte eine negative Verschiebung erleide, somit in der Zeit  $t$  die Anzahl

Solche Erscheinungen kommen bei Kolloiden wohl häufig vor; vermutlich werden Rauchteilchen (Rauch aus W. Zittel, loc. cit.) immer nur adsorbiert, was die Instabilität gasförmiger Kolloide erklären wird.  
Derartige Adsorptionsvorgänge, ebenso wie die im dritten Vortrag zu behandelnde Koagulation, tragen natürlich einen (scheinbar) irreversiblen Charakter zur Schau, in dem Sinne wie dies vorher erwähnt wurde.

<sup>\*)</sup> Th. Svedberg, Die Existenz d. Moleküle, Leipzig 1912, S. 98-93.  
<sup>\*\*)</sup> L. Perrin, La théorie du rayonnement etc. p. 212  
L. Brillouin, Ann. chim. phys. 27, 412, 1912.



Die vorerwähnte Arbeit ist eine sehr interessante Studie über die  
physikalischen Eigenschaften der Luft. Sie enthält eine Reihe von  
Versuchen, die die Ausdehnung der Luft bei verschiedenen Temperaturen  
bestimmen. Die Ergebnisse zeigen, dass die Ausdehnung der Luft  
mit der Temperatur zunimmt. Diese Beobachtung ist in Übereinstimmung  
mit der Theorie, dass die Teilchen der Luft bei höheren Temperaturen  
schneller vibrieren und sich weiter voneinander entfernen.

2. Versuche über die Ausdehnung der Luft bei verschiedenen Temperaturen

Die vorerwähnte Arbeit ist eine sehr interessante Studie über die  
physikalischen Eigenschaften der Luft. Sie enthält eine Reihe von  
Versuchen, die die Ausdehnung der Luft bei verschiedenen Temperaturen  
bestimmen. Die Ergebnisse zeigen, dass die Ausdehnung der Luft  
mit der Temperatur zunimmt. Diese Beobachtung ist in Übereinstimmung  
mit der Theorie, dass die Teilchen der Luft bei höheren Temperaturen  
schneller vibrieren und sich weiter voneinander entfernen.

Die vorerwähnte Arbeit ist eine sehr interessante Studie über die  
physikalischen Eigenschaften der Luft. Sie enthält eine Reihe von  
Versuchen, die die Ausdehnung der Luft bei verschiedenen Temperaturen  
bestimmen. Die Ergebnisse zeigen, dass die Ausdehnung der Luft  
mit der Temperatur zunimmt. Diese Beobachtung ist in Übereinstimmung  
mit der Theorie, dass die Teilchen der Luft bei höheren Temperaturen  
schneller vibrieren und sich weiter voneinander entfernen.



$$M = \frac{\mu}{2} \sqrt{Dt}$$

--- (33) (21)

Teilchen an der Eisförmwand kleben bleiben müsste (wenn  $\nu$  die Anzahl der Teilchen pro  $\text{cm}^3$  bedeutet).  
Auf diese Weise erhält Millonin durch das Zählen von  $M$  und  $\nu$  den Wert ~~von~~ des Diffusionskoeffizienten

$$D = \frac{2M^2}{\nu^2 t}, \text{ was ihm durch Vergleich mit der } \text{Farrar-Lutherland-Einstein'schen Formel}$$

$$D = \frac{H T}{N} \frac{1}{6 n_{\text{po}}} \quad \text{--- (34)}$$

die Bestimmung der Avogadro-Zoschmalt'schen Zahl  $N = 69 \cdot 10^{23}$  ermöglichte.

Nun ist aber jene Berechnungsmethode offenbar mangelhaft.<sup>\*)</sup> Man hätte nicht  $\sqrt{Dx^2}$ , sondern den Durchschnittswert der absoluten Verschiebung  $(\bar{Dx})$  zu benutzen, und überdies, was das Wichtigste ist, kommt es ja gar nicht auf die Größe der im Zeitpunkt  $t$  erreichten Verschiebung an, sondern auch auf alle Verschiebungen in der Zwischenzeit. Es kommen auch solche Teilchen vor, welche zwar zur Zeit  $t$  sich in der Anfangslage befinden, aber in der Zwischenzeit eine so große Elongation durchgemacht haben, dass sie mit der Wand in Berührung gekommen sind.

Oft finden sich also anfänglich  $\nu dx$  Teilchen in der Entfernung  $(x \dots x+dx)$  von der Wand, so werden hiervon im Zeitraum  $t$  diejenigen an ~~der Wand~~ derselben haften bleiben, welche im freien Medium in jenem Zeitraum irgend einmal eine größere maximale Elongation als  $x$  erreicht hätten. Oder anders ausgedrückt: Berechnen wir mit  $W(x)$  die Wahrscheinlichkeit, dass ein anfangs im Nullpunkt befindliches Teilchen die positive Verschiebung  $x$  im Zeitraum  $t$  zum ersten Male erleide, so wird die durchschnittliche Gesamtzahl der Teilchen, welche aus einer in  $X$  unendlich ausgebreiteten, <sup>(anfänglich gleichmäßig konzentrierten)</sup> Flüssigkeitssäule in jenem Zeitraum an die Flächeneinheit der Wand  $x=0$  stoßen, betragen:

$$N dt = \nu dt \int_0^\infty W(x) dx \quad \text{--- (35)}$$

Es handelt sich also darum ~~die~~ Wahrscheinlichkeit  $W(x)$  zu ermitteln, dass ein Teilchen bis zur Zeit  $t$  immer nur kleinere Elongationen als  $x$  aufweise und erst im ~~Zeitintervall~~ darauf folgenden Intervalle  $dt$  die Verschiebung  $x$  (oder eine größere) erleide. Um den mikroskopischen Vorgängen Rechnung zu tragen, können wir gemäß dem, was früher über die Genese des Drone'schen Bewegung gesetzt war, uns jedes Teilchen in Zeitintervallen  $\tau$  mit gleicher Wahrscheinlichkeit eine positive oder negative Verschiebung  $\delta$  ausführend denken. So lassen sich nun die Wahrscheinlichkeiten, dass die positive Verschiebung um  $n$  Einheiten zum ersten Male beim  $n$ ten "Wurf" auftritt, durch sukzessive Berechnung ermitteln, in dem man z.B. für  $n=2$  das ~~Schema~~ leicht verständliche Schema ansetzt:

\*) Vgl. N. v. Smoluchowski, Wien. Ber. 124, 263, 1914.



...an der ...  
 ...  
 $D = \frac{1}{2} \sqrt{D}$  ...  
 ...

$D = \frac{1}{2} \sqrt{D}$  ...  
 ...

...  
 ...  
 ...  
 ...  
 ...

...  
 ...  
 ...  
 ...  
 ...  
 ...

...  
 ...  
 ...  
 ...  
 ...  
 ...



$n =$	-5	-4	-3	-2	-1	0	1	2
$m = 0$								
1						$\frac{1}{2}$	$\frac{1}{2}$	
2						$\frac{1}{4}$	$\frac{1}{4}$	$\frac{1}{4}$
3						$\frac{1}{8}$	$\frac{3}{8}$	$\frac{3}{8}$
4						$\frac{1}{16}$	$\frac{5}{16}$	$\frac{5}{16}$
5						$\frac{1}{32}$	$\frac{7}{32}$	$\frac{7}{32}$
6						$\frac{1}{64}$	$\frac{6}{64}$	$\frac{14}{64}$

u. s. w.

○ fett gedruckt!

Berechnet man nun die ~~Drücke~~ fettgedruckten Drücke für aufeinanderfolgende  $m$  und  $n$  Werte, so erhält man das Schema:

$n \backslash m$	1	2	3	4	5	6	7
1	$\frac{1}{2}$						
2		$\frac{1}{4}$					
3			$\frac{1}{8}$				
4			$\frac{2}{16}$	$\frac{1}{16}$			
5			$\frac{3}{32}$	$\frac{1}{32}$	$\frac{1}{32}$		
6			$\frac{5}{64}$	$\frac{4}{64}$	$\frac{1}{64}$		
7			$\frac{7}{128}$	$\frac{5}{128}$	$\frac{1}{128}$		
8			$\frac{14}{256}$	$\frac{7}{256}$	$\frac{6}{256}$	$\frac{1}{256}$	

Das allgemeine Bildungsgesetz dieser Koeffizienten  $a_{nm}$  ergibt sich leicht, wenn man bemerkt, dass sie in einem bestimmten Binomialkoeffizienten in einfacher Beziehung stehen. Es gilt nämlich:

$$a_{nm} = \frac{n}{2^m m} \binom{m}{\frac{m-n}{2}} \quad \text{--- (36)}$$

und dieser Ausdruck lässt sich für große  $n, m$  in derselben Art approximieren, wie das bei Ableitung der Brownschen Bewegung gescheh; ~~es~~ es ist  $a_{nm}$  gleich Null, falls  $(m-n)$  <sup>gerade</sup> ~~gerade~~ ist, und gleich

$$\lim a_{nm} = \sqrt{\frac{2}{\pi m}} \frac{n}{m} e^{-\frac{n^2}{2m}}$$

falls  $(m-n)$  gerade ist; und also:  $n = \frac{x}{\delta}$ ,  $m = \frac{t}{\tau}$ ,  $D = \frac{\delta^2}{2\tau}$  gesetzt, so erhält man durch den Grenzübergang für die gesuchte Wahrscheinlichkeit:

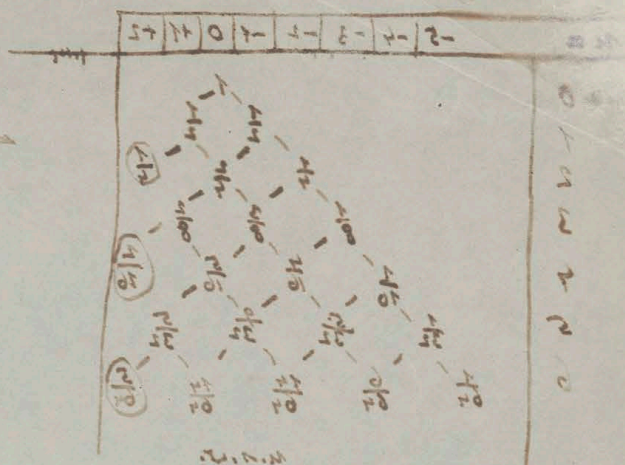
$$W(x) dt = \lim a_{nm} \frac{dt}{2\tau} = \frac{x}{2\sqrt{2D\tau}} e^{-\frac{x^2}{4D\tau}} dt \quad \text{--- (37)}$$

Nach dieser Formel hätte man also die Wahrscheinlichkeit zu berechnen, dass ein vom Nullpunkt ausgehendes Teilchen infolge seiner Rotationsbewegung zum ersten Mal im Zeitraumbereich  $t \dots t+dt$  die Abszisse  $x$  überschreitet, mit einer ähnlichen, nur durch Berücksichtigung der superponierten Schwerkraftbewegung verallgemeinerte Formel ist bei der exakten Berechnung der bekannten Schröckert-Millikan'schen Versuche über Elektronenladung anzuwenden. <sup>\*)</sup>

In unserer Aufgabe zurückkehrend, sehen wir also, dass die Anzahl der im Zeitraum  $t \dots t+dt$  an der Wand anklebenden Teilchen gegeben ist durch:

\*) H. Fletcher, Phys. Rev. 33, 81, 1911; E. Schrödinger, Phys. ZS. 16, 289, 1915; N. v. Smeoluchowski, ibidem p. 289.



[illegible]

1	2	3	4	5	6	7	8	9	10	11	12	13	14	15	16	17	18	19	20	21	22	23	24	25	26	27	28	29	30	31	32	33	34	35	36	37	38	39	40	41	42	43	44	45	46	47	48	49	50	51	52	53	54	55	56	57	58	59	60	61	62	63	64	65	66	67	68	69	70	71	72	73	74	75	76	77	78	79	80	81	82	83	84	85	86	87	88	89	90	91	92	93	94	95	96	97	98	99	100
1	2	3	4	5	6	7	8	9	10	11	12	13	14	15	16	17	18	19	20	21	22	23	24	25	26	27	28	29	30	31	32	33	34	35	36	37	38	39	40	41	42	43	44	45	46	47	48	49	50	51	52	53	54	55	56	57	58	59	60	61	62	63	64	65	66	67	68	69	70	71	72	73	74	75	76	77	78	79	80	81	82	83	84	85	86	87	88	89	90	91	92	93	94	95	96	97	98	99	100

[illegible]



$$N dt = \frac{v dt}{2\sqrt{\pi D t^3}} \int_0^\infty x e^{-\frac{x^2}{4Dt}} dx = v \sqrt{\frac{D}{\pi t}} dt$$

(38)

und die Gesamtzahl der bis zum Zeitpunkt  $t$  daran haften gebliebenen ist:

$$M = v \int_0^t \sqrt{\frac{D}{\pi t}} dt = \frac{2v\sqrt{Dt}}{\sqrt{\pi}}$$

--- (39)

was also ein im Verhältnis  $2\sqrt{\frac{2}{\pi}}$  größeres Resultat gibt als Drillouin's Berechnung (33). Aus den Versuchen dieses Forschers würde also für  $D$  ein im Verhältnis  $\frac{2}{9}$  zu kleiner Wert von  $D$  folgen und dem entsprechend ein vollständig falscher Wert für die Loschmidt'sche Zahl ( $N = 176 \cdot 10^{23}$ ). Das zeigt, dass jene Methode noch an einem prinzipiellen Fehler leiden muss.

Die Aufklärung dieses Widerspruchs scheint mir recht einfach. Es zeigt sich eben, dass die Voraussetzung, dass ein jedes an die Wand stossende Teilchen an derselben sofort haften bleibt, bei jenen Versuchen nicht zutreffend war. Experimentell lässt sie sich ja direkt nicht beweisen, da es nicht möglich ist zu konstatieren, ob die Teilchen wirklich schon beim ersten Anstoß an der Wand haften bleiben, oder ob sie durchschnittlich mehrere Male anstoßen müssen, bevor ein Festhaften erfolgt.

Falls letzteres der Fall ist, erklärt sich die Verminderung der beobachteten Zahl der anhaftenden Teilchen ohne weiteres. Der physikalische Grund des Haftens bleiben dürfte, ~~nach Analogie mit~~ aus elektromagnetischen Erscheinungen zu schlüssen, darin liegen, dass die elektrische Doppelschicht an der Oberfläche der Wand und der Teilchen, welche sonst sozusagen wie ein elastisches Polster wirkt, infolge des Glyzerin- oder Elektrolytzusatzes verschwindet, so dass die kapillaren Anziehungskräfte zur Wirkung kommen (oder vielleicht sogar spezielle Anziehungskräfte entstehen). Es wäre also wohl zu erwarten, dass ein sofortiges Festhaften erfolgt, falls die Wand vollständig entladen ist, wie dies z.B. bei starkem Elektrolytzusatz stattfindet; ob dies aber bei jenen Versuchen der Fall war, ist ganz unbekannt. \*) ~~Auch kann unsere Rechnung nur dann Gültigkeit beanspruchen, falls die Anzahl der anhaftenden Teilchen so gering ist, dass sie sich gegenseitig nicht behindern~~

So sinnreich also auch jene Methode ist, scheint sie praktisch zur Gewinnung zuverlässiger Resultate nicht geeignet zu sein.

### 3. Berechnung mit Hilfe der Diffusionstheorie.

Jetzt wollen wir aber noch der mathematischen Seite der Untersuchung unser Augenmerk zuwenden. Kann man nicht auch hier in irgend einer Form die makroskopische Diffusionstheorie anwenden, anstatt auf den mikroskopischen Mechanismus der Drillouin'schen ~~Drillouin'schen~~ Verschiebungen zurückzugehen? Offenbar erfordert dies nur, dass man die Eigenschaft der die Teilchen anziehenden Wand mathematisch ausdrücke, und zwar genügt hierzu die Grenzbedingung, dass

\*) Auch kann unsere Rechnung nur dann Gültigkeit beanspruchen, falls die Anzahl der anhaftenden Teilchen so gering ist, dass sie sich gegenseitig <sup>nicht</sup> behindern. Übrigens wäre, ~~es möglich, dass~~ <sup>genau genommen</sup> auch die scheinbare Verminderung des Zähigkeitswiderstands in unmittelbarer Nähe der Wand als Korrektur bei der Rechnung einzuführen.







die Teilchenkonzentration an der Wand fortwährend gleich Null erhalten werde. \*)

124

Tatsächlich lassen sich unsere früheren Formeln in einfacher Weise wiederfinden, wenn man die Lösung der Aufgabe kennt, die Verteilung einer Substanz zu bestimmen, welche zur Zeit  $t=0$  von  $x=0$  bis  $x=\infty$  die gleichförmige Konzentration  $u=\nu$  besaß und welche außer der Differentialgleichung für Diffusion:

$$\frac{\partial u}{\partial t} = D \frac{\partial^2 u}{\partial x^2} \quad \text{--- (40)}$$

die Grenzbedingung  $u=0$  für  $x=0$  zu allen Zeiten  $t>0$  erfüllt.

Diese Lösung lautet bekanntlich:

$$u = \frac{\nu}{\sqrt{\pi}} \int_0^{\frac{x}{\sqrt{4Dt}}} e^{-y^2} dy \quad \text{--- (41)}$$

und daraus folgt für die im Zeitraum  $t - t+dt$  an der Wand  $x=0$  ausgeschiedene Substanzmenge:

$$N dt = D \left. \frac{\partial u}{\partial x} \right|_{x=0} = \nu \sqrt{\frac{D}{\pi t}}$$

also dieselbe Formel (38), wie nach der früheren Rechnungsmethode.

In analoger Weise läßt sich auch unsere frühere Formel (37) wiederfinden, wenn man berücksichtigt, dass

$$u = \frac{1}{2\sqrt{\pi Dt}} \left[ e^{-\frac{(x-x_0)^2}{4Dt}} - e^{-\frac{(x+x_0)^2}{4Dt}} \right] \quad \text{--- (42)}$$

die sogen. Hauptlösung der Diffusionsgleichung unter der Nebenbedingung  $u=0$  für  $x=0$  ist, welche das allmähliche Diffundieren einer anfangs im Punkte  $x_0$  angehäuften Substanz vorstellt, vorausgesetzt dass die Wand  $x=0$  die Eigenschaft habe, jene Substanz vollkommen zu adsorbieren.

Die an die Wand ausgeschiedene Substanzmenge  $D \left. \frac{\partial u}{\partial x} \right|_{x=0}$  ergibt sich dann ganz in Übereinstimmung mit (37).

Also läßt sich auch hier die durchschnittliche Wirkung, welche aus den Orowan'schen Bewegungen der einzelnen Teilchen, vereint mit der adsorbierenden Wirkung der festen Wand, resultiert, nach der Diffusionstheorie berechnen, und zwar indem man die Grenzbedingung einführt, dass die Teilchenkonzentration an der festen Wand fortwährend Null sei. Das scheint ja sehr plausibel zu sein, wenn man sich den Mechanismus der Diffusion vor Augen hält, und wir werden wohl berechtigt sein, dieselbe Berechnungsmethode bei beliebiger Gestalt der Wandfläche anzuwenden.

Daran wollen wir gleich eine gewisse Anwendung dieser Überlegungen knüpfen, welche uns später, bei Entwicklung der Koagulationstheorie nützlich sein wird. Stellen wir uns nämlich die Aufgabe, in ganz analoger Weise die Anzahl Teilchen zu berechnen, welche ~~in der~~ <sup>bis zur</sup> Zeit  $t$  an einer vollkommen adsorbierenden Kugelfläche vom Radius  $R$  haften bleiben würden.

Da handelt es sich offenbar nur darum, die Lösung der Diffusionsgleichung mit den

\*) Da die „Geschwindigkeit“ der Orowan'schen Bewegung für unendlich kleine Distanzen unendlich groß ist, muss jene Eigenschaft der Wand eine vollständige Entfernung aller Teilchen aus einer unendlich dünnen Schichte bewirken.



Die Differentialgleichung für  $\theta$  ist:

von 200 bis 200 die Differentialgleichung  $\theta = 0$  lautet und also auch die Lösung  $\theta = 0$  ist.

Die Differentialgleichung für  $\theta$  ist:

(10) 
$$\frac{d^2 \theta}{dt^2} + \frac{g}{L} \theta = 0$$

Die Lösung ist  $\theta = 0$  für  $t = 0$  in allen Fällen  $t > 0$  erfüllt.

(11) 
$$\frac{d^2 \theta}{dt^2} + \frac{g}{L} \theta = 0$$

mit  $\theta = 0$  für  $t = 0$  in allen Fällen  $t > 0$  erfüllt.

Die Differentialgleichung für  $\theta$  ist:

von 200 bis 200 die Differentialgleichung  $\theta = 0$  lautet und also auch die Lösung  $\theta = 0$  ist.

Die Differentialgleichung für  $\theta$  ist:

(12) 
$$\frac{d^2 \theta}{dt^2} + \frac{g}{L} \theta = 0$$

Die Lösung ist  $\theta = 0$  für  $t = 0$  in allen Fällen  $t > 0$  erfüllt.

Die Differentialgleichung für  $\theta$  ist:

Die Differentialgleichung für  $\theta$  ist:

von 200 bis 200 die Differentialgleichung  $\theta = 0$  lautet und also auch die Lösung  $\theta = 0$  ist.

Die Differentialgleichung für  $\theta$  ist:

Die Differentialgleichung für  $\theta$  ist:

von 200 bis 200 die Differentialgleichung  $\theta = 0$  lautet und also auch die Lösung  $\theta = 0$  ist.

Die Differentialgleichung für  $\theta$  ist:



Voraussetzungen:

1).  $u = c$  für:  $t = 0$  und  $r > R$

2).  $u = 0$  für:  $r = R$  und  $t > 0$

zu finden.

Da die Konzentration  $u$  offenbar nur vom Radius und von der Zeit abhängt, kann die Lösung mittels bekannter Methoden bereitgestellt werden, indem ~~man~~ die Differentialgleichung <sup>(die Form annimmt:</sup> ~~folgt~~

$$\frac{\partial u}{\partial t} = D \frac{\partial^2 u}{\partial r^2} \quad \text{--- (43)}$$

sonit auf Grund der Analogie mit der linearen Wärmeleitung in der Form:

$$u = c \left[ 1 - \frac{R}{r} + \frac{2R}{\sqrt{\pi D t}} \int_0^{\frac{r-R}{\sqrt{4Dt}}} e^{-z^2} dz \right] \quad \text{--- (44)}$$

gelöst werden kann; es läßt sich ganz einfach a posteriori die Tatsache verifizieren, dass hierdurch die Differentialgleichung (43), wie auch die Grenzbedingungen erfüllt werden.

Daraus folgt für die Menge der <sup>sich</sup> (in der Zeit  $t \dots t+dt$  durch Diffusion ~~an~~ an der Kugelfläche  $R$  ausschelnden Substanz:

$$J dt = 4\pi D R^2 \frac{\partial u}{\partial r} \Big|_{r=R} dt = 4\pi D R c \left[ 1 + \frac{R}{\sqrt{\pi D t}} \right] dt \quad \text{--- (45)}$$

und für die Menge, welche von Anfang bis zur Zeit  $t$  abgetrennt wurde:

$$M = \int_0^t J dt = 4\pi D R c \left[ t + \frac{2R\sqrt{t}}{\sqrt{\pi D}} \right] \quad \text{--- (46)}$$

Diese Formeln sind ~~also~~ einerseits für Fälle geschuldet, sagen wir "klassischer" Diffusion verwendbar, wie beispielsweise Ausscheidung von übersättigtem Wasserdampf an kugelförmigen Kondensationskernen, andererseits für Beispiele, wo es sich um das Absetzen von Kolloidteilchen aus einer anfangs homogenen Lösung auf einer adorbierenden Kugelfläche handelt, und zwar geben sie im letzteren Falle die durchschnittliche Anzahl der betreffenden Teilchen an, um welche die wirkliche Anzahl in zufälliger Weise herumschwanken wird.

#### 4. Reflektierende Wand.

Nehmen wir nun wieder zur Frage nach der experimentellen Messbarkeit der Diffusion an grob dispersen Kolloiden zurück.

Da ist nun außer Orillon's Arbeit eine sehr schöne Untersuchung Westgren's <sup>\*)</sup> zu nennen, in welcher wiederum von festen Wänden, aber nicht von adorbierenden, sondern von reflektierenden Gebrauch gemacht wird. Dies entspricht dem normalen Verhalten einer Kolloid-Lösung, deren Teilchen im Allgemeinen, solange die elektrische Doppelschicht wirksam ist, keine Tendenz haben, an den Wänden zu kleben. Die mathematische Theorie derartiger Fälle ist ganz analog dem vorhergehenden Falle; wir können wiederum die Diffusionstheorie zur Berechnung der Verteilung benutzen, nur müssen wir die Grenzbedingung einführen, dass die reflektierende Wand keine Substanz durchlässt; also muss für dieselbe gelten:  $\frac{\partial u}{\partial r} = 0$

<sup>\*)</sup> A. Westgren, ZS. f. phys. Chem. 89, 63, 1914.



2.  $\frac{d}{dt} \left( \frac{1}{2} m v^2 \right) = \dots$   
 3.  $\frac{d}{dt} \left( \frac{1}{2} m v^2 \right) = \dots$   
 4.  $\frac{d}{dt} \left( \frac{1}{2} m v^2 \right) = \dots$

5.  $\frac{d}{dt} \left( \frac{1}{2} m v^2 \right) = \dots$   
 6.  $\frac{d}{dt} \left( \frac{1}{2} m v^2 \right) = \dots$   
 7.  $\frac{d}{dt} \left( \frac{1}{2} m v^2 \right) = \dots$

8.  $\frac{d}{dt} \left( \frac{1}{2} m v^2 \right) = \dots$   
 9.  $\frac{d}{dt} \left( \frac{1}{2} m v^2 \right) = \dots$   
 10.  $\frac{d}{dt} \left( \frac{1}{2} m v^2 \right) = \dots$

11.  $\frac{d}{dt} \left( \frac{1}{2} m v^2 \right) = \dots$   
 12.  $\frac{d}{dt} \left( \frac{1}{2} m v^2 \right) = \dots$   
 13.  $\frac{d}{dt} \left( \frac{1}{2} m v^2 \right) = \dots$

14.  $\frac{d}{dt} \left( \frac{1}{2} m v^2 \right) = \dots$   
 15.  $\frac{d}{dt} \left( \frac{1}{2} m v^2 \right) = \dots$   
 16.  $\frac{d}{dt} \left( \frac{1}{2} m v^2 \right) = \dots$

17.  $\frac{d}{dt} \left( \frac{1}{2} m v^2 \right) = \dots$   
 18.  $\frac{d}{dt} \left( \frac{1}{2} m v^2 \right) = \dots$   
 19.  $\frac{d}{dt} \left( \frac{1}{2} m v^2 \right) = \dots$

20.  $\frac{d}{dt} \left( \frac{1}{2} m v^2 \right) = \dots$   
 21.  $\frac{d}{dt} \left( \frac{1}{2} m v^2 \right) = \dots$   
 22.  $\frac{d}{dt} \left( \frac{1}{2} m v^2 \right) = \dots$

23.  $\frac{d}{dt} \left( \frac{1}{2} m v^2 \right) = \dots$   
 24.  $\frac{d}{dt} \left( \frac{1}{2} m v^2 \right) = \dots$   
 25.  $\frac{d}{dt} \left( \frac{1}{2} m v^2 \right) = \dots$

26.  $\frac{d}{dt} \left( \frac{1}{2} m v^2 \right) = \dots$   
 27.  $\frac{d}{dt} \left( \frac{1}{2} m v^2 \right) = \dots$   
 28.  $\frac{d}{dt} \left( \frac{1}{2} m v^2 \right) = \dots$



Nehmen wir beispielsweise an, die Ebene  $x=0$  wirke als reflektierende Wand, so lässt sich die Verteilung zur Zeit  $t$  auf Grund des bekannten Reflexionsprinzipes ~~mit Hilfe~~ durch Superposition von ~~zwei~~ <sup>(1)</sup> symmetrisch zur Wand gelegenen Quellen konstruieren; war die Anfangsverteilung durch eine Funktion  $u = \varphi(x)$  gegeben, so resultiert daraus nach Analogie mit (3):

$$u = \int_0^\infty \varphi(x_0) [W(x_0, x) + W(-x_0, x)] dx_0 \quad \text{--- (47)}$$

Westgrens Anordnung erfordert aber keine derlei Rechnungen. Er konzentrierte die Teilchen sämtlich an der ~~Wand~~ <sup>( $x=0$ )</sup> [und zwar dadurch, dass die betreffende mikroskopische Kammer in passender Weise auf einer Zentrifuge befestigt und eine Zirkulation der Wirkung der Zentrifugalkraft ausgesetzt wurde] und beobachtete dann das allmähliche Wegdiffundieren derselben. Da für die Teilchen in diesem Falle offenbar die verdoppelte gewöhnliche Drone'sche Bewegungsgleichung gelten muss:

$$W(x) dx = \frac{1}{\sqrt{2D\epsilon}} e^{-\frac{x^2}{4D\epsilon}} dx$$

so lässt sich der Diffusionskoeffizient  $D$  aus den zur Zeit  $t$  in zwei Abständen  $x_1, x_2$  gemessenen Teilchenzahlen  $v_1, v_2$  berechnen:

$$D = \frac{x_2^2 - x_1^2}{4t(\log v_1 - \log v_2)}$$

So ergaben sich für verschiedene Gold- und ~~Gold~~ <sup>Selen</sup>sol Werte des Diffusionskoeffizienten von  $3.6$  bis  $5.8 \cdot 10^8$ , und durch gleichzeitige Bestimmung der Teilchendurchmesser (65-133  $\mu$ ) mittels der Stokes'schen Formel oder mit Hilfe Beobachtung des Sedimentations-Gleichgewichtes, wurde nachgewiesen, dass die Formel (34) sich mit diesen Werten in bester Übereinstimmung befand.

Vom theoretischen Standpunkt aus erscheint diese Methode ganz einwandfrei und sie bietet auch den Vorteil, ~~da~~ dass sie im Prinzip auf jede Art von Suspensions-~~Kolloiden~~ <sup>Systeme mit sedimentierenden Teilchen</sup> anwendbar ist, welchem nur der Nachteil einer etwas größeren experimentellen Komplikation — in Vergleich mit Millon's Methode — gegenüber steht.

##### 5. Modifikation der Drone'schen Bewegung durch äußere Kräfte $\xi$ , insbesondere Schwerkraft.

~~Während~~ Ausser dem Verhalten der sich bewegenden oder reflektierenden Wände ist noch ein weiterer Faktor für die Praxis von großer Wichtigkeit: der Einfluss der Schwerkraft, und diesen wollen wir nun näher betrachten. Die Sache ist sehr einfach, wenn es sich nur um die Aufgabe handelt, die ~~stationäre~~ <sup>stationäre</sup> Gleichgewichtsverteilung eines Kolloids über ~~dem~~ <sup>dem</sup> (reflektierenden) Sefarboden zu finden. Wie immerzu Einstein <sup>\*)</sup> und ich bemerkt haben, muss das sog. Sedimentations-Gleichgewicht dem Exponentialgesetz der Stöstatik <sup>\*)</sup> Genüge leisten, was später durch die schönen Versuche Perrin's und dessen Mitarbeiter bestätigt und zur Ausarbeitung einer sehr präzisen Bestimmungs-methode der ~~Loschmidt'schen~~ <sup>Loschmidt'schen</sup> Zahl benützt wurde, es muss nämlich gelten:

<sup>\*)</sup> ~~Die Berücksichtigung~~ <sup>Dabei ist aber</sup> die Auftriebskraft des umgebenden Mediums (von der Dichte  $\rho_0$ ) zu berücksichtigen, welcher im Falle der Stöstatik nur eine unbedeutende — der Densität des Von der Waals'schen ( $\sigma$ - $\delta$ ) anstelle entsprechende — Korrektur liefern wird.

A. Einstein, Ann. d. Phys. **19**, 376, 1906; H. v. Smoluchowski, Ann. d. Phys. **21**, 756, 1906; J. Perrin, loc. cit. S.

B. Iljin, Z. f. phys. Chem. **87**, 366, 1914; A. Westgren, Arkiv f. mat. Fys. Svensk. Akad. **9**, 25 (1913); <sup>ausserdem</sup> C.R. **158**

B. Constantin, C.R. **158**, 1171, 1341, 1914.



Thema in der Physik: Ein Teilchen der Masse  $m$  bewegt sich auf einer Kreisbahn mit dem Radius  $r$  und der Winkelgeschwindigkeit  $\omega$ . Die Bahngeschwindigkeit  $v$  ist gegeben durch  $v = r\omega$ . Die Zentripetalbeschleunigung  $a_c$  ist gegeben durch  $a_c = \frac{v^2}{r}$ . Die Zentripetalkraft  $F_c$  ist gegeben durch  $F_c = m a_c$ .

(44) ---

$$a = \frac{v^2}{r} = \frac{(r\omega)^2}{r} = r\omega^2$$

Die Zentripetalkraft  $F_c$  ist die Kraft, die das Teilchen auf seiner Kreisbahn hält. Sie ist immer zum Mittelpunkt der Bahn gerichtet. Die Zentripetalkraft ist eine resultierende Kraft, die aus einer oder mehreren Einzelkräften entstehen kann. In diesem Fall ist die Zentripetalkraft die resultierende Kraft aus der Gewichtskraft  $F_g$  und der Normalkraft  $F_N$ .

$$F_c = \frac{mv^2}{r}$$

Die Zentripetalkraft  $F_c$  ist die Kraft, die das Teilchen auf seiner Kreisbahn hält. Sie ist immer zum Mittelpunkt der Bahn gerichtet.

Die Zentripetalkraft  $F_c$  ist die Kraft, die das Teilchen auf seiner Kreisbahn hält. Sie ist immer zum Mittelpunkt der Bahn gerichtet.

$$F_c = \frac{mv^2}{r}$$

Die Zentripetalkraft  $F_c$  ist die Kraft, die das Teilchen auf seiner Kreisbahn hält. Sie ist immer zum Mittelpunkt der Bahn gerichtet. Die Zentripetalkraft ist eine resultierende Kraft, die aus einer oder mehreren Einzelkräften entstehen kann. In diesem Fall ist die Zentripetalkraft die resultierende Kraft aus der Gewichtskraft  $F_g$  und der Normalkraft  $F_N$ .

Die Zentripetalkraft  $F_c$  ist die Kraft, die das Teilchen auf seiner Kreisbahn hält. Sie ist immer zum Mittelpunkt der Bahn gerichtet. Die Zentripetalkraft ist eine resultierende Kraft, die aus einer oder mehreren Einzelkräften entstehen kann. In diesem Fall ist die Zentripetalkraft die resultierende Kraft aus der Gewichtskraft  $F_g$  und der Normalkraft  $F_N$ .

Die Zentripetalkraft  $F_c$  ist die Kraft, die das Teilchen auf seiner Kreisbahn hält. Sie ist immer zum Mittelpunkt der Bahn gerichtet.

Die Zentripetalkraft  $F_c$  ist die Kraft, die das Teilchen auf seiner Kreisbahn hält. Sie ist immer zum Mittelpunkt der Bahn gerichtet. Die Zentripetalkraft ist eine resultierende Kraft, die aus einer oder mehreren Einzelkräften entstehen kann. In diesem Fall ist die Zentripetalkraft die resultierende Kraft aus der Gewichtskraft  $F_g$  und der Normalkraft  $F_N$ .

Die Zentripetalkraft  $F_c$  ist die Kraft, die das Teilchen auf seiner Kreisbahn hält. Sie ist immer zum Mittelpunkt der Bahn gerichtet.



$$v = v_0 e^{-\frac{N}{RT} \frac{4\pi}{3} a^3 g (\rho - \rho_0) x}$$

[wo  $a$  den Teilchenradius,  $(\rho - \rho_0)$  den Dichteunterschied der Teilchensubstanz gegenüber dem Flüssigkeit bezieht.] --- (48)

Will man aber die ganze Erscheinung gründlich verstehen, so muss man die mikroskopische Analyse des Vorganges ausführen, d. h. man muss untersuchen, in welcher Weise die Bewegungen der einzelnen Teilchen infolge der Schwerkraft und der Eigenart des Erfalles bedingt werden, was eine wesentlich schwierigere Aufgabe ist.

\*) Vgl. H. v. Smoluchowski, Ann. d. Phys. 48, 1103, 1915

Würde nur die konstante Schwerkraft ins Spiel kommen, ohne dass eine Begrenzung des Raumes zu berücksichtigen wäre, so würde die Lösung einfach daraus folgen, dass die Schwerkraft eine konstante, fortschreitende Bewegung (mit der Geschwindigkeit  $c$ ) hervorruft, welche sich über die Brown'sche Bewegung (1) superponiert:

$$W(x, x_0, t) dx = \frac{1}{2\sqrt{2Dt}} e^{-\frac{(x-x_0-ct)^2}{4Dt}} dx \quad \text{--- (49)}$$

so dass an Stelle der Ausgangsabszisse  $x_0$  die Größe  $x_0 - ct$  auftritt

Des mittleren Verschiebungsquadrates ist in diesem Falle:

$$\overline{(x-x_0)^2} = 2Dt + (ct)^2$$

und man sieht, dass für genügend kurze Zeiten das zweite Glied im Verhältnis zum ersten verschwindet.

Da die <sup>Verschiebung-</sup>Geschwindigkeit der Brown'schen Bewegung anfangs unendlich groß ist, versteht man auch unmittelbar, ohne Rechnung, dass die Bewegung anfangs rein „Brownisch“ erfolgt, und dass sich erst im Laufe der Zeit die allmähliche Verschiebung infolge der Schwerkraft bemerkbar macht.

Infolge dessen können wir zu der physikalisch evidenten Schlussfolgerung, dass auch im Falle variabler Kräfte für genügend kurze Zeiten das Superpositions-Prinzip gelten muss, und dies ermöglicht uns die Verallgemeinerung der Theorie der Diffusion für den Fall, dass die betreffenden Teilchen von irgend welchen Kräften beeinflusst werden.

Haben wir es mit Teilchen zu tun, welche unter Einfluss einer Kraft  $f(x)$  die durchschnittliche Geschwindigkeit  $\beta f(x)$  erlangen, so resultiert die Teilchenmenge, welche durch die Flächeneinheit eines Querschnittes  $x$  durchströmt, aus Superposition einer konstanten Wanderung und der Diffusionsströmung; sie beträgt also:  $-D \frac{\partial u}{\partial x} + \beta u f(x)$  und daraus erhält man die Differentialgleichung für  $u$ :

$$\frac{\partial u}{\partial t} = D \frac{\partial^2 u}{\partial x^2} - \beta \frac{\partial}{\partial x} [u f(x)] \quad \text{--- (50)}$$

Dies definiert die Verteilung einer diffundierenden Substanz, welche unter Einfluss einer äußeren Kraft  $f(x)$  steht. Andererseits können wir sie im Sinne des Äquivalenzprinzips auf ein einzelnes Kolloid-Teilchen beziehen und dadurch die relative Häufigkeit in den verschiedenen Lagen desselben bestimmen, d. h. wir erhalten die betreffende Verallgemeinerung der Brown'schen Bewegungsformel.

Eine Probe können wir sofort aufstellen, da es für einen Spezialfall, d. i.  $f$  unter Annahme einer das Teilchen in die Ruhelage zurücktreibenden elastischen Kraft die betreffende Wahrscheinlichkeitsfunktion auf







direktem synthetischen Wege ermittelt hatte. \*) Es ist dies jenes Beispiel welches ich in dem Göttinger Vortrag vor drei Jahren besprochen hatte:

$$W(x, x_0, t) = \sqrt{\frac{\gamma}{2\pi D(1-e^{-2\gamma t})}} e^{-\frac{\gamma(x-x_0)^2}{2D(1-e^{-2\gamma t})}} \quad \dots \dots (51)$$

Tatsächlich verifiziert man mittels direkter Rechnung leicht, dass diese Funktion die Differentialgleichung

$$(50) \text{ unter der Annahme: } \beta f(x) = -\gamma x$$

erfüllt.

Ebenso würde auch für andere Kraftgesetze  $f(x)$  jene Differentialgleichung das beste Mittel zur Auffindung der betreffenden molekularen Bewegungsformel ~~geben~~ darstellen, jedenfalls ein weit einfacheres, als der früher von mir angewendete synthetische Weg, welcher in komplizierten Fällen offenbar ungangbar ist.

### 6. Übergang zur Sedimentationsverteilung, Widerspruch mit altem Entropiebegriff.

Kehren wir nun zu unserer speziellen Aufgabe zurück, so haben wir das Glind- $\beta f(x)$  durch die Konstante, der Schwerkraft entsprechende Fallgeschwindigkeit  $c$  zu ersetzen:

$$\frac{\partial W}{\partial t} = D \frac{\partial^2 W}{\partial x^2} + c \frac{\partial W}{\partial x} \quad \dots \dots (52)$$

während die Wirkung des festen Gefäßbodens  $x=0$  offenbar darin besteht, die Substanzströmung in jenem Querschnitt gleich Null zu machen:

$$D \frac{\partial W}{\partial x} + c W = 0 \quad \text{für } x=0$$

Man kann nun diese Aufgabe mittels einer einfachen Transformation auf eine mathematisch einfachere reduzieren, wenn man bemerkt, dass die Annahme:

$$W = U e^{-\frac{c}{2D}(x-x_0) - \frac{c^2 t}{4D}} \quad \dots \dots (53)$$

die obige Gleichung erfüllt, falls die Funktion  $U$  so gewählt wird, dass

$$\frac{\partial U}{\partial t} = D \frac{\partial^2 U}{\partial x^2}$$

ist.

Den Grenzbedingungen für  $x=0$  : a).  $W=0$

$$b). \frac{\partial W}{\partial x} = 0$$

$$c). \frac{\partial W}{\partial x} + h W = 0$$

entsprechen hierbei die Bedingungen : a).  $U=0$

$$b). U - \frac{2D}{c} \frac{\partial U}{\partial x} = 0$$

$$c). (h - \frac{c}{2D}) U + \frac{\partial U}{\partial x} = 0$$

Auf diese Weise wird also die Aufgabe auf die anderweitig bekannten Lösungen der Wärmeleitungsgleichung reduziert, und man erhält so die unserem Falle angepasste Hauptlösung:

$$W(x, x_0, t) = \frac{1}{2\sqrt{\pi D t}} \left[ e^{-\frac{(x-x_0)^2}{4Dt}} + e^{-\frac{(x+x_0)^2}{4Dt}} \right] e^{-\frac{c(x-x_0)}{2D} - \frac{c^2 t}{4D}} + \frac{c}{D\sqrt{\pi}} e^{-\frac{cx}{D}} \int_{\frac{x+x_0-ct}{2\sqrt{Dt}}}^{\infty} e^{-z^2} dz \quad (54)$$

Es stellt dieses  $W(x, x_0, t) dx$  somit die Wahrscheinlichkeit dar, dass ein Teilchen, welches zu Anfang der Zeit sich im Punkte  $x_0$  befand, zur Zeit  $t$  sich im Gebiete  $x \dots x+dx$  aufhalte. Die Formel ist weit komplizierter als die gewöhnliche Formel der Brown'schen Bewegung, aber man

\*) A. Smoluchowski, Bull. Acad. Cracov 1913 p. 418; Vorträge u. kinet. Theorie u. s. w. S. 106.



... ist die Funktion  $T(x, y, z)$  ...

... ist die Funktion  $T(x, y, z)$  ...

(21)

$$T(x, y, z) = \frac{1}{2\pi} \int_{-\infty}^{\infty} \frac{e^{-\lambda y} \cos(\lambda x)}{\lambda^2 + a^2} d\lambda$$

... ist die Funktion  $T(x, y, z)$  ...

(22) ...

... ist die Funktion  $T(x, y, z)$  ...

... ist die Funktion  $T(x, y, z)$  ...

6. Beispiel zur Laplace-Transformation

... ist die Funktion  $T(x, y, z)$  ...

(23)

$$\frac{\partial T}{\partial x} = \frac{1}{2\pi} \int_{-\infty}^{\infty} \frac{e^{-\lambda y} \cos(\lambda x)}{\lambda^2 + a^2} d\lambda$$

... ist die Funktion  $T(x, y, z)$  ...

$$\frac{\partial T}{\partial x} = \frac{1}{2\pi} \int_{-\infty}^{\infty} \frac{e^{-\lambda y} \cos(\lambda x)}{\lambda^2 + a^2} d\lambda$$

... ist die Funktion  $T(x, y, z)$  ...

(24)

$$T(x, y, z) = \frac{1}{2\pi} \int_{-\infty}^{\infty} \frac{e^{-\lambda y} \cos(\lambda x)}{\lambda^2 + a^2} d\lambda$$

... ist die Funktion  $T(x, y, z)$  ...

$$\frac{\partial T}{\partial x} = \frac{1}{2\pi} \int_{-\infty}^{\infty} \frac{e^{-\lambda y} \cos(\lambda x)}{\lambda^2 + a^2} d\lambda$$

$$\frac{\partial T}{\partial x} = \frac{1}{2\pi} \int_{-\infty}^{\infty} \frac{e^{-\lambda y} \cos(\lambda x)}{\lambda^2 + a^2} d\lambda$$

$$\frac{\partial T}{\partial x} = \frac{1}{2\pi} \int_{-\infty}^{\infty} \frac{e^{-\lambda y} \cos(\lambda x)}{\lambda^2 + a^2} d\lambda$$

... ist die Funktion  $T(x, y, z)$  ...

... ist die Funktion  $T(x, y, z)$  ...

(25)

$$T(x, y, z) = \frac{1}{2\pi} \int_{-\infty}^{\infty} \frac{e^{-\lambda y} \cos(\lambda x)}{\lambda^2 + a^2} d\lambda$$

... ist die Funktion  $T(x, y, z)$  ...

... ist die Funktion  $T(x, y, z)$  ...

... ist die Funktion  $T(x, y, z)$  ...



Können ihre Bedeutung an der Hand der graphischen Darstellung <sup>(Fig. 2)</sup> erkennen, welche die ~~W~~ Curven  $W$  für ein gegebenes  $x_0$  (und zwar relativ große Entfernung vom Gefäßboden) und für verschiedene  $t$ -Werte versinnbildlicht.

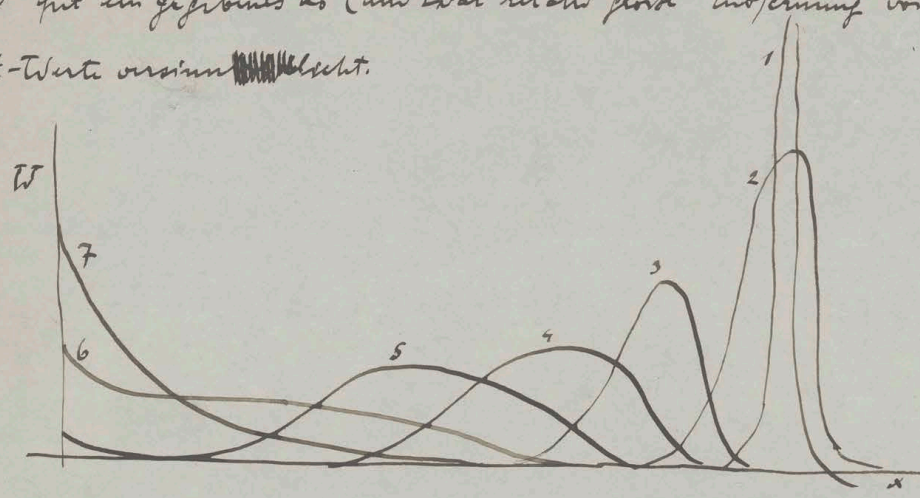


Fig. (2)

Stellen wir uns vor, dass eine größere Anzahl Teilchen zur Zeit Null vom Punkte  $x_0$  ausgeht, so ist deren Bewegung im ersten Moment (1, 2) identisch mit der gewöhnlichen Brown'schen Bewegung. Mit der Zeit (3, 4, 5) macht sich die Wirkung der Schwerkraft in der mit konstanter Geschwindigkeit  $c$  ~~abwärts~~ fortschreitenden Verschiebung des Punktes der maximalen Dichte fühlbar, indem <sup>natürlich gleichzeitig</sup> der Teilchen Schwarm infolge der diffusions Bewegungen stetig immer mehr ausbreitet. Gelangt er in genügender Nähe des festen Gefäßbodens, so macht sich eine Rückstreuung (5, 6) an demselben bemerkbar, welche immer zunimmt, bis schließlich im Laufe langer Zeiten die dem Sedimentations - Gleichgewicht entsprechende exponentielle Verteilung:

$$W(x, x_0, t) = \frac{c}{D} e^{-\frac{cx}{D}} \quad \dots\dots(55)$$

erreicht wird. Das scheint mir über das Interessanteste an diesem Beispiel, dass es diese drei verschiedenen Stadien der Bewegung als Grenzfälle einer Formel (54) umfasst.

Die Sedimentations - Verteilung (55) muss natürlich mit der schon erwähnten ärostatischen Verteilungsformel (48) identisch sein, und da die Fallgeschwindigkeit  $c = \frac{g}{2} \frac{a^2(\rho - \rho_0)}{\eta}$  beträgt, so resultiert aus der Vergleichung der Exponenten die <sup>nach Stokes</sup> ~~bekannte~~ <sup>schon mehrmals erwähnte</sup> Formel (34) <sup>für den Koeffizienten der Brown'schen Bewegung:</sup>

$$D = \frac{RT}{N} \frac{1}{6\pi\eta a}$$

Diese Methode der Ableitung bietet gegenüber manchen anderen den Vorteil, dass man nicht die Selbsteigenschaft der Stokes'schen Widerstandsformel für die Brown'schen Zitterbewegungen voraussetzen braucht, sondern sich auf die, 20. von Perrin experimentell nachgewiesene Tatsache stützen kann, dass <sup>dieselbe</sup> (für die Fallbewegung ~~des Stokes'schen~~ <sup>\*)</sup> giltig ist.

Im Übrigen illustriert dieses Beispiel besonders klar die Unzulänglichkeit des üblichen Entropiebegriffes bei Anwendung auf derartige Erscheinungen. Für ein solches Teilchen ist natürlich der Gefäßboden die Lage, welche sich durch maximale Entropie <sup>(ausrechnet)</sup> des ~~aus dem Teilchen~~ <sup>aus dem Teilchen und dem umgebenden Medium bestehenden Systems</sup> ausrechnet, und der Thermodynamiker würde erwarten, dass

\*) Am einfachsten folgt zum Nachweis schon daraus, dass die Formel (48), unter Einführung jenes  $c$  Wertes, der Gleichung  $D \frac{\partial^2 W}{\partial x^2} + cW = 0$  genügen muss. Vergl. Einstein's Ableitung. ~~Wiederholung~~







diese Lage von dem durch dissipative Reibungskräfte beeinflussten Teilchen schliesslich aufgebracht wird.

In Wirklichkeit rechnet sich zwar die niedrigste Lage für lange Zeiträume tatsächlich (gemäß 55) durch maximale Wahrscheinlichkeit aus; wegen der einseitigen Dämpfung entspricht dies aber nicht durchwegs nicht dem durchschnittlichen Aufenthaltsort des Teilchens. <sup>Als</sup> ~~Der~~ durchschnittliche Wert der innerhalb langer Zeiten von dem Teilchen eingenommenen Abstände vom Gefäßboden resultiert aus jener Gleichung die sich:

$$\bar{x} = \frac{c}{D} \int_0^{\infty} x e^{-\frac{cx}{D}} dx = \frac{D}{c} \quad \text{--- (56)}$$

welche man vielleicht kurz: "Dicke der Sedimentationsschicht" nennen könnte.

Selbst wenn ein Teilchen auf irgend eine Weise zum Gefäßboden gebracht und dort losgelassen wird, steigt es im Allgemeinen, entgegen der Schwerkraft, eine Strecke von selbst empor, und zwar gemäß der aus (54) für  $x_0 = 0$  folgenden Formel:

$$W(x, 0, t) = \frac{1}{\sqrt{2\pi Dt}} e^{-\frac{(x+ct)^2}{4Dt}} + \frac{c}{D\sqrt{2\pi}} e^{-\frac{cx}{D}} \int_{\frac{x+ct}{2D}}^{\infty} e^{-z^2} dz \quad \text{--- (57)}$$

deren Werte für verschiedene Zeiten  $t$  durch die Curven 1, 2, 3, 4 der Fig. 3 veranschaulicht werden:

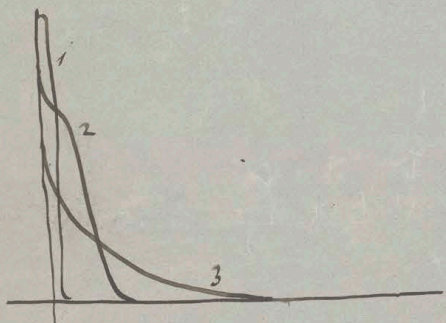


Fig. 3

Der durchschnittliche Arbeitsbetrag, welchen ein solches Teilchen von selbst, also im Widerspruch mit dem II Hauptsatz, auf Kosten der Umgebungswärme leistet, beträgt also <sup>\*)</sup>

$$\bar{A} = \frac{4}{3} e^3 \pi (\rho - \rho_0) g \bar{x} = \frac{HT}{N}$$

Somit nimmt die Entropie durchschnittlich um den Wert  $\frac{HT}{N}$ , im Vergleich mit der Maximal-Entropie, ab:

$$\bar{S} = S_m - \frac{HT}{N} \quad \text{--- (58)}$$

Es erscheint mir übrigens ganz selbstverständlich, dass der durchschnittliche Entropiewert im stationären Gleichgewichtszustand geringer sein muss als der Maximalwert, und zwar eben darum, weil auch weniger wahrscheinliche Zustände vorkommen müssen, welche eine geringere Entropie als jener besitzen.

\*) Trotzdem ist ein (automatisches) perpetuum mobile unmöglich. Vgl. N. v. Smoluchowski, Phys. ZS. 13, 1069, 1912; Vorträge u. kinet. Theorie, S. 117 ff.; Bull. Acad. Sciences 1915 (p. 104).

In jedem Punkte, mit Ausnahme der untersten Lage am Boden, ist ein momentanes <sup>(in der untersten Schicht (unter 2))</sup> Fallen des Teilchens wahrscheinlicher als ein Steigen; aber für längere Zeiträume wird in Folge der Reflexionen am Boden eine Steigung wahrscheinlicher gemacht, während bei grösseren Anfangs-~~abständen~~ <sup>abständen</sup> umgekehrt, "fast immer" eine Senkung eintritt. Die Tendenz zur Abnahme der Entropie im Bereich der Sedimentationsschicht  $\bar{x}$  kompensiert sich mit der Tendenz zum Wachsen in grösseren Abständen, so dass im Laufe langer Zeiten durchschnittliche Stationarität resultiert. Natürlich wird es im Laufe der Zeit auch vorkommen, dass das Teilchen von selbst



Die Wahrscheinlichkeit, dass ein Teilchen in einem bestimmten Zustand ist, ist proportional zu  $e^{-\frac{E}{kT}}$ .  
Die Wahrscheinlichkeit, dass ein Teilchen in einem bestimmten Zustand ist, ist proportional zu  $e^{-\frac{E}{kT}}$ .  
Die Wahrscheinlichkeit, dass ein Teilchen in einem bestimmten Zustand ist, ist proportional zu  $e^{-\frac{E}{kT}}$ .

aus der Gleichung folgt:

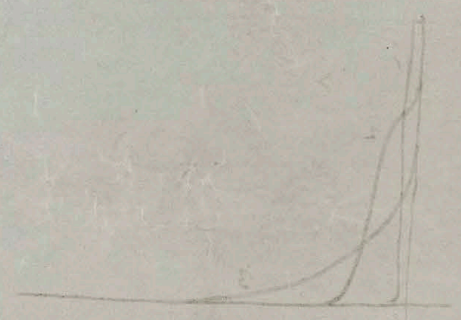
$$\bar{x} = \frac{1}{Z} \int x e^{-\frac{E}{kT}} dx = \frac{1}{Z} \frac{d}{d\lambda} \int e^{-\lambda E} dx$$

Es ist zu beachten, dass die Ableitung nach  $\lambda$  die Ableitung nach  $\beta$  ist, da  $\lambda = \beta$ .  
Es ist zu beachten, dass die Ableitung nach  $\lambda$  die Ableitung nach  $\beta$  ist, da  $\lambda = \beta$ .  
Es ist zu beachten, dass die Ableitung nach  $\lambda$  die Ableitung nach  $\beta$  ist, da  $\lambda = \beta$ .

in (24) für  $\lambda = 0$  folgenden Ausdruck:

$$W(x=0) = \frac{1}{Z} \int e^{-\lambda E} dx = \frac{1}{Z} \frac{d}{d\lambda} \int e^{-\lambda E} dx$$

Es ist zu beachten, dass die Ableitung nach  $\lambda$  die Ableitung nach  $\beta$  ist, da  $\lambda = \beta$ .



Die Wahrscheinlichkeit, dass ein Teilchen in einem bestimmten Zustand ist, ist proportional zu  $e^{-\frac{E}{kT}}$ .  
Die Wahrscheinlichkeit, dass ein Teilchen in einem bestimmten Zustand ist, ist proportional zu  $e^{-\frac{E}{kT}}$ .  
Die Wahrscheinlichkeit, dass ein Teilchen in einem bestimmten Zustand ist, ist proportional zu  $e^{-\frac{E}{kT}}$ .

$$\bar{A} = \frac{1}{Z} \int A e^{-\lambda E} dx = \frac{1}{Z} \frac{d}{d\lambda} \int A e^{-\lambda E} dx$$

Es ist zu beachten, dass die Ableitung nach  $\lambda$  die Ableitung nach  $\beta$  ist, da  $\lambda = \beta$ .

$$\bar{A} = \frac{1}{Z} \frac{d}{d\lambda} \int A e^{-\lambda E} dx$$

Es ist zu beachten, dass die Ableitung nach  $\lambda$  die Ableitung nach  $\beta$  ist, da  $\lambda = \beta$ .

Es ist zu beachten, dass die Ableitung nach  $\lambda$  die Ableitung nach  $\beta$  ist, da  $\lambda = \beta$ .

Es ist zu beachten, dass die Ableitung nach  $\lambda$  die Ableitung nach  $\beta$  ist, da  $\lambda = \beta$ .

Es ist zu beachten, dass die Ableitung nach  $\lambda$  die Ableitung nach  $\beta$  ist, da  $\lambda = \beta$ .

Es ist zu beachten, dass die Ableitung nach  $\lambda$  die Ableitung nach  $\beta$  ist, da  $\lambda = \beta$ .



billich hoch angesetzt, also die Entropie billich abnimmt.<sup>\*)</sup> Wir könnten auch leicht die Wiederkehrzeit für irgend eine Anfangslage, in dem früher eingeführten Sinne berechnen, wenn wir mit Rücksicht darauf, dass wir es hier mit einem kontinuierlich veränderlichen Parameter  $x$  zu tun haben, gewisse vorteilhafte Modifikationen einführen. Doch wollen wir von der Ausführung der Rechnungen absehen, da wir die Art der Resultate, die man an ~~Seiten~~ unterschiede der Wiederkehrzeiten, nach Analogie mit dem früher Gesagten vorhersagen können, und dies bezüglich <sup>quantitative</sup> Experimente ~~nicht~~ <sup>nicht</sup> vorliegen.

### 7. Vorschläge betreffs experimenteller Anwendung.

Nelot bei bemerkt, wären messende ~~Experimente~~ Versuche über die ~~den~~ traditionellen thermodynamischen Anschauungen so widerstrebende Erscheinung der Fig 3 ganz leicht anzustellen: man braucht nur die Kolloidteilchen nach Westgren's Methode ~~gegen~~ mittels Zentrifugierens gegen die eine Wand einer Zivette treiben und dann die Verbreitung der Teilchen studieren, sobald die Zivette so aufgestellt ist, dass jene Wand zu unterst liegt.

~~Auch~~ In anderer Weise sind ~~die~~ derartige Erscheinungen häufig verwirklicht worden: bei Versuchen über reversible Kolloide, nach Art des Kolloiden Schwefels, bei welchen geringe Elektrolyt-  
zusätze oder Temperaturänderungen eine ~~Koagulation~~ ~~der Teilchen zu Komplexen~~ Koagulation bewirken, während die entgegengesetzte Operation das Koagulum in Einzelteilchen auflöst, ~~welche~~ ~~in~~ <sup>auflösen d.h.</sup> in Lösung gehen.

Bekanntlich hat Perrin auf die Untersuchung des Sedimentations Gleichgewichtes (48) seine genaueste Methode zur Bestimmung der Zahl  $N$  gegründet, welche ~~bei~~ nur die Ausführung einer relativ einfacher Messungen erfordert: 1). Ermittlung der Höhe  $z$ , in welcher eine Abnahme der Zahl der Kolloidteilchen auf  $\frac{1}{2}$  erfolgt 2). Ermittlung des Teilchen radius. Merkwürdig bleibt bei diesen, mit großem experimentellem Geschick ausgeführten Untersuchungen immerhin eine gewisse Divergenz des Schlussresultates  $N = 68 \cdot 2 \cdot 10^{21}$ , gegenüber dem aus den Millican'schen Messungen ~~als wahrscheinlich~~ folgenden Werte  $N = 60 \cdot 6 \cdot 10^{21}$ , welcher letzterer auch durch andere Erscheinungen (Strahlung, Radioaktivität) gestützt wird.

Wie dieser Widerspruch zu lösen ist, wage ich nicht zu entscheiden, doch möchte ich auf eine Hauptschwierigkeit der Perrin'schen Methode hinweisen, die Herstellung einer vollkommen gleichförmigen Suspension. Auch ist auf inhomogene Lösungen die Verteilungsformel (48) nicht ohne weiteres anwendbar, und obwohl Perrin auf die Fraktionierung seiner Summiquett-Lösungen

<sup>(den angestrichelten Zustand)</sup>  
\*) So steht die Sache, falls man an der üblichen (Boltzmann'schen) Auffassung der Entropie als einer <sup>(des individuellen Systems charakteristischen)</sup> GröÙe festhält. Auch der Durchschnittswert für eine Schaar analoger <sup>(makroskopisch äquivalenter)</sup> Systeme, welche von ~~dem~~ Anfang zuständen ~~aus~~ ausgehen, würde ~~in~~ <sup>die</sup> Form der Fig. 2, 3 eine 2- oder 3-fache Abnahme, entsprechend den beiden Fällen der Fig. 2 und 3 annehmen. Dagegen wären ~~die~~ Durchschnittswerte für kanonische Scharen (entsprechend der Boltzmann'schen Auffassung der Entropie) überhaupt zeitlich unveränderlich.







größte Sorgfalt verwendet hat, ist es <sup>durch</sup> ~~(schwer)~~ dies bezüglich <sup>Einwände</sup> ~~vollständig~~ zu entkräften.

Dann möchte ich eine Modifikation dieser Versuche vorschlagen, welche diese Schwierigkeiten vollständig vermeidet: d. i. die systematische Beobachtung eines einzelnen Teilchens. Würde man die sukzessiven Entfernungen desselben vom Erfäßboden in äquidistanten Zeitintervallen (während langer Zeitstrücken) bestimmen, so würde dieses statistische Material genau der Verteilung einer sedimentierten und zwar gleichkörnigen ~~Stäubchen~~ Suspension entsprechen; andererseits ließe sich an demselben Teilchen, mit Hilfe von (54) oder <sup>auch</sup> mit Hilfe eigener Versuche mit Frotieren etc., die Fallgeschwindigkeit  $c$  ermitteln, so dass man von jeder Unsicherheit in Bezug auf Homogenität der Lösung frei wäre. Gleichzeitg wäre auch eine weitere, unumgänglich nötige Bedingung erfüllt: falls nur ein einzelnes Teilchen vorhanden ist, hätte man es rather mit einer verdünnten Lösung zu tun. Eine solche Messungsmethode würde in gewissem Sinne einen analogen Fortschritt bedeuten, wie die Ehrenhaft-Willkani schon Versuche gegenüber dem J.J. Thomson'schen.

(über Elektronenladung)

§ 8. Einfluss innerer Kräfte in konzentrierten Lösungen.

Der oben erwähnte Umstand erfordert noch ~~vorher~~ <sup>vorher besprochene</sup> eine nähere Erwägung mit Rücksicht auf die ~~offen stehende~~ Äquivalenz der uns interessierenden Gruppe von Phänomenen. Wie ~~früher~~ <sup>früher</sup> betont wurde, gelten alle unsere Überlegungen nur für verdünnte Lösungen, d. i. falls die Teilchen durchschnittlich so weit von einander entfernt sind, dass sie gegenseitig keine ~~merklichen~~ <sup>merklichen</sup> Kräfte auf einander ausüben und sich unabhängig von einander bewegen oder, wie wir auch sagen können: falls ihr osmotischer Druck dem Doyle-Van t' Hoff'schen Gesetz geringe leistet. In konzentrierten Lösungen müssen aber Abweichungen von diesem Verhalten auftreten, und zwar schon wegen des Eigenvolums der Teilchen, aber außerdem auch falls dieselben gewisse Anziehungs- oder Abstoßungs-sphären besitzen.

Und zwar müssen ~~derartige~~ <sup>derartige</sup> Abweichungen bei allen jenen, ursächlich mit einander verbundenen Vorgängen in gleicher Art auftreten. Kommen nur Abstoßungskräfte zur Geltung <sup>oder des Eigenvolums der Teilchen</sup> so wird die osmotische Kompressibilität der konzentrierten Lösung im Vergleich mit dem Doyle'schen Gesetz verringert sein, wie das ja der bekannte Virialsatz der Gastheorie näher nachweist.

Gleichzeitg muss, wie ich kürzlich nachgewiesen habe, <sup>\*\*\*)</sup> damit eine Verringerung der Konzentrations-schwankungen parallel gehen, im Sinne der Gleichung:

$$\overline{\delta^2} = \left( \frac{n - \overline{n}}{n} \right)^2 = \frac{1}{n} \frac{\beta}{\beta_0} \quad \dots \dots (59)$$

wo  $\beta$  die wirkliche,  $\beta_0$  die Doyle'sche Kompressibilität bedeutet.

\*) Die bezüglichlichen Versuche sind in Vorbereitung.  
 \*\*) Auf optischem Gebiete geben sich diese Schwankungen als Tyndall'sches Phänomen (Kritische Opaleszenz von Gasen und binären Flüssigkeitsgemischen, sowie blaue Farbe des Himmels) zu erkennen: H. v. Smoluchowski, Oull. Acad. Cracovie 1907, S. 1057; Ann. d. Phys. 25, 205, 1908; Phil. Mag. 23, 165, 1912; Oull. Acad. Cracovie 1911, S. 493 (briefflich der anhangsweise mitgeteilten Überlegungen habe ich meine Meinung geändert); A. Einstein, Ann. d. Phys. 33, 1275, 1910; H. Kamerlingh Onnes u. W. H. Keesom, Comm. Leyden 12 104, S. 15, 1908; W. H. Keesom, Ann. d. Phys. 35, 591, 1911; Wo. Ostwald, Ann. d. Phys. 36, 848, 1911; L. Ornstein u. F. Zernike, Amsterd. Proc. 17, 793, 1914; F. Zernike, Dissertation Groningen 1914; R. Fürth, Wien. Ber. 124, 577, 1915; H. A. Lorentz, Les théories statistiques et thermodynamiques, Leipzig 1916 p. 42; <sup>C. W.</sup> Oseen, Phys. ZS. 17, 233, 341, 1916.







Endlich müssen Abweichungen vom Exponentialgesetz bei dem Sedimentations-  
Gleichgewicht auftreten, welche sich ganz leicht aus der hydrostatischen Grundformel berechnen  
lassen, und was werden ~~diese Abweichungen~~ dieselben offenbar darauf hinarbeiten, diese Verteilung  
gleichmäßiger zu machen als es sonst der Fall wäre. //

Die Gesetze des osmotischen Druckes lassen sich daher in kolloiden Lösungen ebensoviel  
nach zwei Methoden erforschen, welche beide statistischer Natur sind: mittels Beobachtung der  
<sup>Größe der</sup> Konzentrationschwankungen oder der Sedimentations-Verteilung im Schwerfeld. Erstere  
bietet jedoch den erheblichen Vorteil, dass sie auf jede <sup>Kolloide (mit sichtbaren Teilchen)</sup> Lösung anwendbar ist, während letztere  
nur für gleichkörnige <sup>Hydrosale</sup> ~~Resultate~~ Lösungen gute Resultate geben kann.

Anfangs schien es, als ob die Erfahrung dem widersprechen würde, indem Svedberg und  
Inouye sowie Westgren mittels der Schwankeungsmethode an einer ganzen Reihe verschiedener  
kolloiden Lösungen sehr bedeutende Abweichungen ~~Statt~~ vom Doyle'schen Gesetz konstatierten,  
während Westgren ~~ebenfalls~~ das exponentielle Gesetz bei der Sedimentation ganz gut  
bestätigt fand. ~~So betrug~~ <sup>So betrug</sup> ~~in~~ <sup>bei</sup> einer Goldlösung (Radius  $a = 91 \mu\mu$ ) bereits  
bei einer ~~Konz.~~ Volum-Konzentration von nur  $5 \cdot 10^{-6}$  der Wert  $\beta_0 = 0.677$ ; ~~in~~ <sup>bei</sup> einer  
Gummigutt Lösung ( $a = 200 \mu\mu$ ) war ~~der~~  $\beta_0 = 0.405$  für eine Volum Konzentration  $38 \cdot 10^{-4}$ .

Andererseits hat aber Constantin in Perrin's Laboratorium bei Gummigutt Lösungen ( $a = 330 \mu\mu$ )  
nach beiden Methoden bis zu weit größerem Konzentrationen vollständige Übereinstimmung mit  
der idealen Kompressibilität konstatiert und hat erst bei <sup>(Volum-</sup> Konzentrationen von über 100 eine  
merkliche Verminderung des  $\beta$  erhalten, welche die Existenz einer Absterbungs Sphäre um die  
Gummigutt-Teilchen ~~be~~ <sup>und zwar</sup> ~~erweist~~ <sup>müßte letztere sein</sup> ~~die eine~~ <sup>(solche Wirkung)</sup> (als ob der Teilchenradius 1.7 mal  
größer wäre als in Wirklichkeit. <sup>(aussehen)</sup>

Durch die von Westgren <sup>(hier in Göttingen)</sup> ~~unlängst~~ <sup>angeführte</sup> Arbeit ist dieser Widerspruch endgültig aufgeklärt  
worden, indem derselbe nachwies, dass die nach Svedberg'scher Methode mit Hilfe des Spaltultramikroskops  
angeführten Teilchenzählungen <sup>(bei sehr hell leuchtenden Teilchen)</sup> eine subjektive Fehlerquelle enthalten \*), welche bei größerer  
Konzentration sehr stark ins Gewicht fällt und jene Abweichungen vorgetäuscht hatte, während  
die Zählungen, welche Westgren an einem zwischen Deckgläsern eingeschlossenen Präparat ausführte,  
noch für eine Gold<sup>suspension</sup> ~~mit~~ ( $a = 110 \mu\mu$ ) von einer Konz.  $= 2.3 \cdot 10^{-4}$  vollkommen normale  
Kompressibilität ergaben. Nach Analogie mit Constantin's Resultaten zu schließen, wären Anomalien  
tatsächlich erst bei etwa 50 mal größeren Konzentrationen zu erwarten, welche <sup>reinen</sup> ~~in~~ <sup>hydrosole</sup> Goldlösungen  
überhaupt kaum herstellen lassen dürften.

\*) ~~Die Ursache der Abweichungen~~ Undeutliche Definition des beobachteten Volumens infolge störender Zerstreuung des Lichtes. Ob dies  
auch für die von Lorenz u. Eitel an Toback rauch gefundenen Abweichungen gilt, ist wohl erst durch weitere Untersuchungen  
zu entscheiden. Literatur nachweise siehe S. sowie die Zusammenstellung bei Th. Svedberg, Jahrb. d. Radioakt. u. Elektro. 10, 467, 1913.







Das bisher Besprochene bezog sich auf die Abweichungen vom Doyle'schen Gesetz, welche <sup>natürlicher</sup> ~~unvermeidlich~~ <sup>von der Schwingungszahl</sup> ~~des statischen Schwingungszahls~~ <sup>beeinflussen</sup> müssen. Wie steht es aber nun um die Erscheinungen der Schwingungsfrequenz, der Drönn'schen Bewegung und der Diffusion, in welchen der zeitliche Verlauf in Frage kommt? Selbstverständlich müssen sich jene Abweichungen auch hier fühlbar machen, aber ausserdem muss in konzentrierten Lösungen noch ein weiterer Faktor eine Rolle spielen: eine Vermehrung des Reibungskoeffizienten, ~~in dem~~ <sup>in dem</sup> ~~leichtesten~~ <sup>leichtesten</sup> lassen sich diese Verhältnisse bei der Diffusion überschauen und leicht auch die Abhängigkeit des ~~Diffusions~~ <sup>Reibungs</sup> Koeffizienten  $D$  von der Konzentration voraus berechnen, falls jene Abweichungen quantitativ bekannt wären. Falls nämlich in erster Näherung gesetzt wird:

$\eta = A \varphi (1 + \alpha \varphi)$  und  $\mu = \mu_0 (1 + \beta \varphi)$ , wo  $\varphi$  die Volumkonzentration bedeutet, so muss offenbar gelten:  $D \frac{\partial \varphi}{\partial x} = \frac{1}{\mu} \frac{\partial \eta}{\partial x}$ , somit  $D = D_0 \frac{1 + 2\alpha \varphi}{1 + \beta \varphi} \approx D_0 [1 + (2\alpha - \beta) \varphi]$ . ----- (60)

Parallel damit müssen <sup>natürlich</sup> auch Änderungen in den Formeln für Drönn'sche Bewegung und für die Konzentrations-Schwingungsfrequenz Platz greifen, nachdem dies die mit der Diffusion äquivalenten mikroskopischen Vorgänge sind.

Es ist das noch ein weites Forschungsgebiet, von dessen Bearbeitung man für die Kolloidlehre ~~Erkenntnis~~ <sup>die</sup> wichtigsten Resultate erhoffen kann, da die Theorie hier einen relativ einfachen und direkten Weg zur Erkenntnis der Art und Grösse der <sup>(den)</sup> zwischen Kolloid-Teilchen wirkenden Kräfte eröffnet hat. Von der näheren ~~Erkenntnis~~ <sup>der</sup> Erforschung des Mechanismus dieser Kräfte, sowie der verschiedenen Umstände, welche deren Auftreten beeinflussen, hängt ja unter <sup>auch</sup> Anderem ein vollständiges Verständnis der Koagulationserscheinungen ab, mit denen wir uns im folgenden Teil beschäftigen werden.

### III. Theorie der Koagulationskinetik.

[Vor diesem Vortrag hielt Prof. R. Zsigmondy einen Experimentalvortrag über Koagulation von Kolloiden, mit besonderer Berücksichtigung des kolloiden Goldes. <sup>Dabei wurden an</sup> ~~den~~ <sup>schönen</sup> ~~schönen~~ <sup>schönen</sup> ~~Goldlösungen~~ <sup>Goldlösungen</sup> unter anderem folgende Erscheinungen demonstriert: die Farbänderung rot-violett, welche als makroskopisches Kennzeichen der Koagulation dient, die koagulierende Wirkung von Elektrolyten, deren Konzentration einen gewissen Schwellenwert überschreitet, die Wirkungslosigkeit geringerer Zusätze desselben Stoffes, die Wirkungslosigkeit von Nicht-elektrolyten, die Verlangsamung des Koagulationsvorganges bei Verdünnung der Goldlösung. <sup>folgte der</sup> Hierauf ~~hielt Prof. Dr. Sander~~ <sup>hielt Prof. Dr. Sander</sup> ~~den folgenden Vortrag.~~ <sup>den folgenden Vortrag.</sup>]







# 1. Allgemeine Grundlagen der Theorie.

Angeregt durch Herrn Prof. R. Zsigmondy, welcher mir von seinen schönen Experimentel-Untersuchungen über Koagulation von Goldlösungen und den dabei auftretenden theoretischen Problemen brieflich Mitteilung gemacht hatte, habe ich eine mathematische Theorie der Koagulationskinetik ausgearbeitet, welche eine spezielle Anwendung der im Vorhergehenden entwickelten Theorie der Brown'schen Bewegung bildet, und diese möchte ich Ihnen heute in einem ganz kurzen Abriss vorlegen.\*)

Von vornherein seien jedoch zwei einschränkende Bemerkungen vorausgeschickt:

1). Meine Theorie beansprucht nicht, ~~als~~ vollständige Aufklärung der inneren ~~Ursachen~~ Ursachen der Koagulation, d. h. der hierbei in Wirkung tretenden elektrischen oder kapillaren Kräfte, der Natur der elektrischen Doppelschicht auf der Oberfläche der Kolloid-Teilchen u. s. w., zu gelten. Es ist eine sozusagen formale Theorie, aufgebaut auf einer mir von Prof. Zsigmondy vorgeschlagenen <sup>betreffs des Mechanismus der Koagulation</sup> Annahme, wonach sich jene Kräfte durch eine Wirkungssphäre vom Radius  $R$  ersetzen lassen, derart dass die Brown'sche Bewegung der Teilchen ungehindert vor sich geht, solange die Entfernung ihrer Mittelpunkte größer ist als  $R$ , dass jedoch zwei Teilchen sofort an einander haften bleiben müssen, sobald ihre Mittelpunkte-Entfernung auf  $R$  herabsinkt.

2). Eben infolge dieser Annahme beschränkt sich diese Theorie eigentlich direkt nur auf einen Grenzfall der Koagulations-Kinetik, d. i. die ~~stetige~~ rasche irreversible Koagulation, wie sie bei größten Elektrolyt-Konzentrationen zustande kommt. Ich glaube, dass man sie mittels gewisser Modifikationen teilweise auch auf die langsame Koagulation ausdehnen kann, welche durch geringen, Elektrolytzusatz hervorgerufen wird. ~~aber~~ die elektrische Doppelschicht nicht vollständig entladet <sup>den</sup>. Aber die Erscheinungen des reversiblen Koagulations-Gleichgewichts, welche z. B. von Odier am Schwefelkohlenstoff studiert hat, gehen über den Geltungsbereich dieser Theorie ~~selbstverständlich~~ <sup>vorläufig noch</sup> weit hinaus. Sie bildet also selbstverständlich nicht eine allseitige Aufklärung des ganzen Problems, sondern nur einen ersten Schritt auf diesem noch vollständig unbekannten Gebiete.

Vor Allem lassen sich schon daraus gewisse Schlüsse ziehen, dass die Koagulation in unserer Theorie auf die Brown'sche Molekularbewegung und auf die Existenz einer Wirkungssphäre  $R$  zurückgeführt wird, denn als Variable, von welcher der Koagulationsverlauf abhängt, kommen <sup>somit</sup> nur folgende drei in Betracht: der Radius  $R$ , die Teilchenzahl pro Volumeneinheit  $n_0$  und die Diffusionskonstante  $D$ , deren Dimensionen gegeben werden durch das Schema:  $D \sim \frac{1}{t}$ ;  $n_0 \sim \frac{1}{l^3}$ ;  $R \sim l$ . Da also die Dimensionen der Zeit nur in der dritten Potenz

\*) Eine ausführlichere Darstellung wird in der Zeitschr. f. phys. Chem. veröffentlicht werden.







der Koagulationsverlauf aber von dem Radius der Zeit unabhängig sein muss, so folgt, dass derselbe notwendigerweise von dem Produkt  $Dt$  abhängen muss, d. h. die Zeit, welche zur Erreichung eines gewissen Koagulationsgrades verstreichen muss, wird „ceteris paribus“ umgekehrt proportional sein mit  $D$ .

(bei Kolloiden Gold und silberne Hydroxalen)

Da nun weiter wohl anzunehmen ist, dass der Radius  $R$  nur wenig mit der Temperatur veränderlich sein dürfte, wird der Einfluss einer Temperaturänderung nur in dem Vorzeichen kommen, also wird die Koagulationsgeschwindigkeit proportional mit  $D$  wachsen, d. h. infolge der bekannten Formel (34) für  $D$ , annähernd umgekehrt proportional der Viskosität  $\eta$ . Dies scheint auch ~~Stokes-Gleichung~~, einer freundlichen Mitteilung von Prof. Ergmonow zufolge, der Fall zu sein.

## 2. Berechnung der Wirkung eines Adsorptionskerns.

Gehen wir nun zur detaillierten Berechnung über. Es fragt sich: Sind  $n_0$  Teilchen zur Zeit  $t=0$  in der Volumeninhalt vorhanden, wie groß wird zur Zeit  $t$  die durchschnittliche Anzahl  <sup>$n_1$</sup>  derjenigen Teilchen sein, welche bis dahin mit keiner Wirkungssphäre  $R$  in Berührung gekommen sind? Diese ~~Teilchen~~ <sup>nämlich die</sup> ~~noch zur Zeit  $t$  unkoagulierten~~ noch zur Zeit  $t$  unkoagulierten Einzelteilchen ~~entprechen~~ sein. Greifen wir, anstatt den Teilchenschwarm zu betrachten, ein einzelnes Teilchen heraus, so wird die Wahrscheinlichkeit  $W_1(t)$ , dass dasselbe bis zur Zeit  $t$  <sup>von</sup> ~~mit~~ <sup>keinem</sup> ~~berührt~~ <sup>wurde</sup> worden sei, dem gesuchten ~~Anteil~~ Prozentsatz der dann noch freigebliebenen Einzelteilchen entsprechen:

$$\frac{n_1}{n_0} = W_1(t)$$

Die Berechnung von  $W_1(t)$  wäre verhältnismäßig einfach, wenn das hervorgehobene Teilchen einen unbeweglichen  $\ast$  Adsorptionskern bilden würde, so dass nur die Zusammenstöße der übrigen mit dem gerade hervorgehobenen in Betracht kämen, ohne dass aber bei einem Zusammenstoß einer der nicht hervorgehobenen unter einander eine Verbindung eintrete.

Dann können wir uns nämlich auf den in der vorigen Vorlesung besprochenen Äquivalenzsatz berufen, demzufolge die durchschnittliche Anzahl der innerhalb eines Zeitraumes  $t \dots t+dt$  zum ersten Male an eine gewisse Fläche stoßenden Teilchen sich nach der gewöhnlichen makroskopischen Diffusionstheorie berechnen lässt, ~~so~~ indem man ~~annimmt~~, dass in

~~jeder Fläche vom Radius  $t=0$  ausgehenden, die konstante Konzentration Null angesetzt erhalten wird.~~

~~Es handelt sich dann also um die Aufgabe~~ die Verteilung innerhalb eines unendlich ausgedehnten Mediums ~~berechnet~~, welches ursprünglich überall gleiche Konzentration besitzt, in welchem aber, vom Zeitpunkt  $t=0$  anfangen, <sup>der betreffenden Fläche</sup> auf einer ~~gegebenen~~ <sup>gegebenen</sup> Fläche die Konzentration Null ~~an~~ <sup>ist</sup>.







aufrecht erhalten wird. Für den hier in Frage kommenden Fall, wo es sich um eine adsorbierende (von Radius R) Kugelfläche handelt, haben wir die Rechnung durchgeführt und haben für die im Zeitraum  $dt$  ausgeschiedene Substanzmenge erhalten:

~~XXXX~~  $J dt = 4\pi R D c \left[ 1 + \frac{R}{\sqrt{\pi D t}} \right] dt$  ----- (61)

und für die von Anfang an abgeschiedene Menge:

$$M = 4\pi R D c \left[ t + \frac{2R\sqrt{t}}{\sqrt{\pi D}} \right] \text{ ----- (62)}$$

Beim Vereinfachen der Rechnungen wollen wir schon an dieser Stelle eine Annäherung einführen, in dem wir das zweite Glied der rechten Seite, welches die  $\sqrt{t}$  enthält, als unwesentlich verlässen. Das heißt, dass wir den Koagulationsverlauf in einem solchen Stadium studieren, wo die Zeit  $t$  groß ist gegenüber dem Werte  $\frac{R^2}{D}$ . Das Anfangsstadium, welches durch diese Bedingung ausgeschlossen wird, beläuft sich beispielsweise bei Erdmündy's Versuchen auf nur  $10^4$  bis  $10^3$  Sekunden. Im übrigen könnte man die Rechnung auch ohne jene Vernachlässigung weiterführen, erhält aber kompliziertere, ~~XXXX~~ praktisch gleichwertige Formeln.

Ersetzt man die Konzentration  $c$  durch die pro Volumeneinheit auftretende Teilchenzahl  $v_0$ , so wäre die Anzahl der pro Zeiteinheit an dem hervorgehobenen Adsorptionskern anheftenden Teilchen: ~~XXXX~~  $4\pi R D v_0$ , und die Zeit

$$T = \frac{1}{4\pi R D v_0} = \frac{1}{\beta} \text{ ----- (63)}$$

~~welche~~ welche wir weiterhin "Koagulationszeit" nennen wollen, würde dem Zeitpunkt entsprechen, wo durchschnittlich gerade ein Teilchen an dem hervorgehobenen haften bleibt

> 3. Vervollständigte Berechnung der Koagulation <  
Nun ist aber unsere Rechnung in zweifacher Hinsicht zu verbessern:

1. Das hervorgehobene Teilchen führt an und für sich eine ähnliche Brown'sche Bewegung aus wie die übrigen, es kommt also für die Koagulation die relative Bewegung in Betracht. Dies bezüglich lässt sich nun leicht nachweisen, dass die Relativverschiebung zweier sich unabhängig von einander bewegender Teilchen ebenso erfolgt, wie die gewöhnliche Brown'sche Bewegungsformel (1) angibt, nur mit dem Unterschied, dass der Diffusionskoeffizient  $D$  gleich der Summe der ~~letzten~~ Koeffizienten der beiden Teilchen zu setzen ist. Allgemein gilt also für die Relativbewegung:  $D_{ab} = D_a + D_b$  ----- (64)

2. Unsere Formeln (61)(62) entsprechen dem Falle, wo die Zahl  $v_0$  der Teilchen in gegebener Entfernung unverändert bleibt. In Wirklichkeit bleiben sie aber nicht nur an dem hervorgehobenen, sondern auch untereinander an. Von der Anzahl  $4\pi R D v_0$  sind also jene wegzustreichen, welche schon vor der Zeit  $t$  koaguliert sind, ~~sonit~~ <sup>sonit</sup> ist die Zahl  $v_0$  durch die Zahl der zur Zeit  $t$  noch existierenden Einschteilchen zu ersetzen. Ebenso kommen







als Adsorptionskerne,

(wenn es sich um die ~~Wirkung der Doppelteilchen~~ Vereinigung von einfachen zu Doppelteilchen handelt, ~~um~~ nicht sämtliche  $v_0$  sondern nur die noch freien Teilchen  $v_1$  in Betracht).

Somit erfolgt die Abnahme der Gesamtzahl der Einzelteilchen nach der Formel:

$$\frac{dv_1}{dt} = -4\pi R D_{11} v_1^2 \quad \text{--- (65)}$$

welche genau der Kinetik einer bimolekularen chemischen Reaktion entspricht und durch Integration liefern wird:

$$v_1 = \frac{v_0}{1 + 4\pi R D_{11} v_0 t} = \frac{v_0}{1 + 8\pi D R v_0 t} \quad \text{--- (66)}$$

Dann ist aber eine wichtige Ergänzung hinzuzufügen. Es wirken ja auch die bereits gebildeten Doppelteilchen, dreifachen Teilchen u. s. w. als Koagulationskerne und als Koagulationsmaterial weiter, allerdings in einer Weise, welche sich nicht mehr so leicht genau berechnen lässt, da die Gestalt der mehrfachen Teilchen nicht kugelförmig ist. Bezeichnen wir die augenblickliche Anzahl der  $n$ -fachen Teilchen mit  $v_n$ , so gelten offenbar Gleichungen von der Gestalt:

$$\left. \begin{aligned} \frac{1}{4\pi} \frac{dv_1}{dt} &= -D_{11} R_{11} v_1^2 - D_{12} R_{12} v_1 v_2 - D_{13} R_{13} v_1 v_3 - \dots \\ \frac{1}{4\pi} \frac{dv_2}{dt} &= \frac{1}{2} D_{11} R_{11} v_1^2 - D_{12} R_{12} v_1 v_2 - D_{22} R_{22} v_2^2 - D_{23} R_{23} v_2 v_3 - \dots \\ \frac{1}{4\pi} \frac{dv_3}{dt} &= D_{12} R_{12} v_1 v_2 - D_{13} R_{13} v_1 v_3 - D_{23} R_{23} v_2 v_3 - D_{33} R_{33} v_3^2 - \dots \\ &\dots \dots \dots \text{u. s. w.} \end{aligned} \right\} \text{--- (67)}$$

Wären nun die Teilchen kugelförmig, so wäre deren Diffusionskoeffizient umgekehrt proportional ihrem Radius, also wie wir ~~schon~~ mit Rücksicht auf die später zu besprechenden Versuchsergebnisse annehmen wollen, auch umgekehrt proportional dem Wirkungsradius  $R$ , und man hätte allgemein:

$$D_{ik} R_{ik} = (D_i + D_k) \frac{R_i + R_k}{2} = \frac{DR}{2} (R_i + R_k) \left( \frac{1}{R_i} + \frac{1}{R_k} \right) = \frac{DR}{2} \frac{(R_i + R_k)^2}{R_i R_k}$$

$$\text{Für gleiche Radien } R_i = R_k \text{ folgt also: } D_{ik} R_{ik} = 2DR \quad \text{--- (68)}$$

und zur Vereinfachung der Rechnungen wollen wir diesen Wert allgemein einführen, da er in dem Anfangsstadium der Koagulation, wo nur Einzelteilchen in Betracht kommen, genau gilt und in den späteren Stadien immerhin eine ziemlich gute Annäherung darstellen dürfte. Nach der diese Annahme, ~~und~~ Bezeichnen wir somit zur Abkürzung den Wert  $4\pi DR v_0$  mit  $\beta$ , so lässt sich das Gleichungssystem in ganz überraschend einfacher Weise integrieren. Man erhält nämlich für die Gesamtzahl der Teilchen

$$\sum v = v_1 + v_2 + v_3 + \dots = \frac{v_0}{1 + \beta t} \quad \text{--- (69)}$$

wo zur Abkürzung  $4\pi DR v_0 = \beta$  gesetzt ist, ferner werden die Anzahlen der einfachen, doppelten, dreifachen u. s. w. Teilchen:



Es ist leicht zu sehen, dass die Funktion  $f(x)$  in der Umgebung von  $x_0$  gegen  $L$  konvergiert, wenn  $\epsilon$  beliebig klein gewählt werden kann. Dies ist die Definition der Grenzwerte  $L$  von  $f(x)$  für  $x \rightarrow x_0$ .

(63) 
$$\frac{dx}{dt} = -\mu x \quad \mu > 0$$

Die Lösung dieser Differentialgleichung ist  $x(t) = x_0 e^{-\mu t}$ . Für  $t \rightarrow \infty$  gilt  $x(t) \rightarrow 0$ .

(64) 
$$\frac{dx}{dt} = \mu x \quad \mu > 0$$

Die Lösung dieser Differentialgleichung ist  $x(t) = x_0 e^{\mu t}$ . Für  $t \rightarrow \infty$  gilt  $x(t) \rightarrow \infty$ .

(65) 
$$\frac{dx}{dt} = \mu x \quad \mu < 0$$

Die Lösung dieser Differentialgleichung ist  $x(t) = x_0 e^{\mu t}$ . Für  $t \rightarrow \infty$  gilt  $x(t) \rightarrow 0$ .

Wenn man die Teilung  $\frac{dx}{dt}$  betrachtet, so sieht man, dass die Funktion  $f(x)$  in der Umgebung von  $x_0$  gegen  $L$  konvergiert, wenn  $\epsilon$  beliebig klein gewählt werden kann. Dies ist die Definition der Grenzwerte  $L$  von  $f(x)$  für  $x \rightarrow x_0$ .

(66) 
$$\frac{dx}{dt} = \mu x \quad \mu < 0$$

Die Lösung dieser Differentialgleichung ist  $x(t) = x_0 e^{\mu t}$ . Für  $t \rightarrow \infty$  gilt  $x(t) \rightarrow 0$ .

(67) 
$$\frac{dx}{dt} = \mu x \quad \mu < 0$$

Die Lösung dieser Differentialgleichung ist  $x(t) = x_0 e^{\mu t}$ . Für  $t \rightarrow \infty$  gilt  $x(t) \rightarrow 0$ .











Versuch E:  $v_0 = 0.552 \cdot 10^{10}$ ;  $z = 24.2 \cdot 10^{-7}$

$t$	$v_t$ gef.	$\beta$	$v_t$ ber.
0	1.97		1.97
2	1.35	(0.105)	1.65
5	1.19	(0.058)	1.31
10	0.89	0.0490	0.93
20	0.52	0.0475	0.54
40	0.29	0.0403	0.25

Mittel:  $\beta = 0.0456$ ;  $\frac{R}{a} = 3.12$

Versuch F:  $v_0 = 0.27 \cdot 10^{10}$ ;  $z = 24.2 \cdot 10^{-7}$

$t$	$v_t$ gef.	$\beta$	$v_t$ ber.
0	1.97		1.97
3	1.56	(0.040)	1.76
20	1.02	0.0195	1.04
40	0.66	0.0183	0.64
"	0.76	(0.0153)	"
60	0.44	0.0187	0.44
80	0.49 (3)	(0.0126)	0.31

Mittel:  $\beta = 0.0188$ ;  $\frac{R}{a} = 2.63$

Dass die Werte für 2-5 Sekunden stärker abweichen, kann wohl nicht Wunder nehmen. Die Vernachlässigung des  $Vt$  Sticks im Anfangsstadium ~~ist~~ ist dafür nicht verantwortlich, wie eine genauere Berechnung zeigt, auch kommt die betr. der Wirkung mehrfacher Teilchen angeordnete Unsicherheit nicht in Betracht, da in diesem Gebiet beide Formeln (66) (70) <sup>nahe</sup> übereinstimmende Werte geben, aber vielfach müssen die unvermeidlichen Versuchsfehler gerade bei so kurzen Zeiten sehr ins Gewicht fallen. Die Anwendung der langwierigen Zählmethode zur Kontrolle so rasch verlaufender Prozesse hat Zigmondy überhaupt nur durch einen Kunstgriff ermöglicht, in dem er in den angegebenen Momenten die Lösung mit einem die weitere Koagulation verhin-dernden Schutzkolloid versetzte, doch ~~ist~~ ~~diesem~~ ~~Wieder~~ dürfte dasselbe wohl nicht momentan in Wirkung treten.

Im Allgemeinen kann man die Übereinstimmung in Anbetracht der experimentellen Schwierigkeiten <sup>guter</sup> als genügend betrachten. Eine weitere Kontrolle der ~~Ergebnisse~~ Berechnung unserer theoretischen Annahmen bildet die Berechnung des Verhältnisses des Wirkungsradius  $R$  zum Teilchenradius  $a$ , auf Grund der aus (34) und (63) folgenden Formel:  $\frac{R}{a} = \frac{3\beta\mu}{2v_0} \frac{N}{RT} \cdot \dots$  (71) Das allgemeine Ergebnis, dass die Wirkungssphäre von der Größenordnung des Teilchendurchmessers ist, erscheint durchaus glaubwürdig und rechtfertigt a posteriori die von uns angewandte Rechenmethode. Würden die Teilchen <sup>erst</sup> ~~bei~~ unmittelbarer Berührung aneinander haften bleiben, so müsste  $R = 2a$  sein, ~~sonit~~ <sup>sich</sup> ~~würde~~ <sup>Wahrsch.</sup> ~~(die Wirkung gemäß E und F)~~ <sup>(zwei Teilchen)</sup> ~~erst~~ bei unmittelbarer Annäherung bemerklich machen. Dass  $R < 2a$  sei, wie die Reihe D folgen lässt, ist allerdings theoretisch nicht zulässig. ~~Es ist ganz klar~~ Doch wird, wie wir später noch näher ausführen werden, ein solches ~~Resultat~~ Resultat bei einer unvollständigen Entladung der elektrischen Doppelschicht infolge zu geringen Elektrolytzusatzes zum Vorschein kommen und es ist vielleicht nicht ausgeschlossen, dass in jener Versuchsreihe eine die Koagulation verlangsamende zufällige Verunreinigung im Spiel war.

Jedenfalls scheint der Schlussfolgerung sicher zu sein, dass sich Zigmondy's Messungen mit der hier entwickelten Diffusionstheorie der Koagulation in angenäherte Übereinstimmung

\*) Die eingeklammerten Zahlen, von denen man annehmen darf, dass sie durch Versuchsfehler beeinflusst sind, wurden bei der Mittelbildung ausgeschlossen.



invaluable contribution to the science of the

[illegible]

...and, nevertheless, the ... ..

Handwritten note: *Handwritten text, mostly illegible due to fading and bleed-through.*

[illegible]

...und ...

*[Faint handwritten notes at the bottom of the page, possibly bleed-through from the reverse side.]*

(9)  $\frac{N}{T} = \frac{\Delta T}{\Delta t}$ ; hence  $T$  increases as  $\Delta T$  increases and as  $\Delta t$  decreases.

Winkel:  $\beta = 0.0720$  ;  $\frac{\beta}{\alpha} = 2.12$



bringen lassen, wenn man <sup>(die Leistung von</sup> ~~die~~ Ausdehnungssphären von der Größenordnung des Teilchendurchmessers annimmt, und das scheint mir in Anbetracht der vollständigen Unklarheit, in der wir uns bisher betrefi des Mechanismus der Koagulation befanden, immerhin ein recht bemerkenswertes Resultat zu sein.

### 5. Vergleich mit chemischer Kinetik.

Es liegt die Frage nahe, ob der Mechanismus der Koagulation nicht mit ~~demjenigen~~ <sup>jenem</sup> der chemischen Kinetik verwandt ist, und ob unsere Theorie nicht vielleicht einen Weg zu einem kinetischen Verständnis chemischer Reaktionsprozesse eröffnet. Darüber wird uns ein charakteristisches Zahlenbeispiel am besten orientieren: Nehmen wir den kleinsten theoretischen <sup>(von der Art der Teilchen unabhängig)</sup> möglichen Wert des Wirkungsradius  $R = 2a$  so ergibt die Formel (71) die Beziehung

$$T = \frac{3}{4} \frac{N}{HT} \frac{\mu}{v_0}$$

und es ergibt sich, dass ~~hier~~  $v_0 = \frac{1}{3} \cdot 10^{-12} N$ , also dass die Konzentration nur  $\frac{1}{3} \cdot 10^9$  Norm. betragen kann, ~~da~~ wenn die Koagulationszeit eine Sekunde sein soll. Konzentrationen, wie sie bei chemischen Reaktionsversuchen meist angewendet werden, würden also ~~ein~~ <sup>einem</sup> (sowasagen momentanen) Reaktionsverlauf <sup>bedingen</sup> ~~bedingen~~; die Größenordnung der chemischen Reaktionszeit ist eine millionen bis billionenmal größere.

Das ~~ist~~ ist leicht zu verstehen: bei chemischen Prozessen genügt es eben nicht, dass zwei Moleküle zusammentreffen, um die Reaktion zu bewirken, sondern sie müssen in bestimmter Weise zusammenstoßen. Von allen Zusammenstößen ist im Allgemeinen nur ein verschwindend geringer Bruchteil wirklich wirksam — und darin scheint mir ein wesentlicher Unterschied gegenüber der <sup>raschen</sup> ~~raschen~~ Koagulation zu liegen, welche im Obigen behandelt wurde. Bei letzterer ruht die Hemmung nur von der Langsamkeit der Diffusion her; bei der chemischen Kinetik kommt dagegen in erster Linie die Hemmung in Betracht, welche die Reaktion beim Zusammenstoß der geeigneten Moleküle aus bisher unbekannten Gründen erfährt. Auch der enorme Temperaturinfluss bei der chemischen Kinetik weist auf einen wesentlichen Unterschied hin. Allerdings wird es gewiss auch Übergangsstadien geben, im Sinne der später noch zu besprechenden Erscheinungen der „langsam“ Koagulation, doch tritt jedenfalls bei der chemischen Kinetik ein hier nicht berücksichtigter Faktor wesentlich bestimmend hinzu.

Damit hängt wohl auch ein charakteristisches Unterscheidungsmerkmal zusammen, dass nämlich chemische Reaktionen von den Gesetzen der Wirksamkeit beherrscht werden, während bei Koagulation eine unbegrenzte Agglomeration stattfindet. Letztere lässt sich, wie



2. Vergleich mit chemischen Theorien.

$$\frac{c}{H} = \frac{1}{170}$$

[illegible]



wir sehen, durch kugelige Ausbuchtungsbereiche erklären, während ~~schon~~ bei <sup>seiner</sup> Theorie des  
 Dissoziations-Gleichgewichts ~~schon~~ <sup>er</sup> schon Boltzmann seinerzeit geneigt war, die Möglichkeit  
 sphärischer Wirkungsgebiete zu verlassen und die Existenz gewisser „empfindlicher Bereiche“  
 auf der Oberfläche der Atome anzunehmen, da sonst die Tatsache unerklärlich wäre,  
 dass z.B.  $O_2$ ,  $H_2$ ,  $N_2$ -Moleküle als Doppelatome bestehen, ohne dass dreifache, vierfache Atome  
 auftreten. <sup>\*)</sup> ~~schon in anderen Fällen wieder~~ <sup>\*) Vgl. z.B. Boltzmann Theorie II S. 213. Sonst hat Boltzmann's Theorie, welche  
 sich nur auf den Zustand statistischen Gleichgewichts bezieht, nichts gemeinsam mit den Erscheinungen der irreversiblen Koagulation.</sup>

#### 6. Verallgemeinerung für langsame Koagulation, Ähnlichkeitsgesetz.

Schließlich möchte ich noch kurz bemerken, dass unsere Theorie geeignet erscheint, auch  
 die Erscheinungen der „langsamen“ Koagulation, welche bei sehr geringen Elektrolytzusätzen eintreten,  
 wenigstens in formaler Hinsicht zu umfassen. Es genügt zu diesem Zwecke die von vorherigen  
 plausible Annahme einzuführen, dass in diesem Falle — d.h. bei unvollständiger elektrischer  
 Teilchen-Entladung — nur ein gewisser Bruchteil  $\epsilon$  der <sup>(verschiedener)</sup> Zusammenstöße ~~zur~~ Teilchen zur  
 Verklüftung derselben führt. Wie groß dieser Bruchteil ist, darüber wissen wir von vorherigen  
 nichts weiter, als dass er in hohem Grade von der Doppelschicht-Ladung abhängt; es wird  
 sich aber zeigen, dass wir ihn „a posteriori“ aus den empirischen Resultaten bestimmen  
 können.

Unter dieser Annahme würden offenbar genau dieselben Formeln (69, 70) auch in diesem  
 allgemeinen Falle gültig bleiben, mit dem einzigen Unterschied, dass überall das  $\epsilon$  durch  
 $\epsilon \rho$  zu ersetzen ist. Es folgt also ohne weiteres der wichtige Satz, dass die  
 bei verschiedenen Konzentrationen des Kolloids und des Elektrolyten erhaltenen Koagulations-  
 Kurven ähnlich sein müssen, in dem Sinne, dass sie durch eine entsprechende  
 Änderung des Zeitmaßstabes zur Deckung gebracht werden können. Die zur Erreichung  
 eines gewissen Koagulationsgrades erforderlichen Zeiten sind also umgekehrt proportional  
 dem Produkte ( $\epsilon \rho$ ).

Tatsächlich ist die Ähnlichkeit der Koagulations-Kurven durch die Untersuchungen  
 von H. Paine an  $Al(OH)_3$ -Solen und <sup>(teilweise auch)</sup> jene von H. Frenkel u. N. Izhizaka an ~~Aluminium-~~  
 $Al(OH)_3$ -Solen empirisch konstatiert worden. Insbesondere hat Paine nachgewiesen, dass  
 die Koagulationszeit, in Übereinstimmung mit unseren Formeln, umgekehrt proportional der  
 Anfangskonzentration des Kolloids ist und dass sie umgekehrt proportional der 5 oder 6 ten Potenz  
 der Elektrolyt-Konzentration variierte, was wir einer entsprechenden Änderung des Wirksamkeits-  
 Koeffizienten  $\epsilon$  zuschreiben haben.

(N. Izhizaka, ZS. f. phys. Chem. 83, 97, 1913.)

\*) H. Paine, Kolloidchem. Ber. 4, 24, 1912; Kolloid ZS. 11, 145, 1912; H. Frenkel u. N. Izhizaka, Koll. ZS. 12, 230, 1913; ZS. f. phys. Chem. 85, 398, 1913. Eine Vertiefung dieser Untersuchungen in der kürzlich erschienen Arbeit von J. Sam, Kolloidchem. Ber. 8, 63, 1916.



*Es ist eine*

Q. I don't know - I understand that the irregular - not to know.

auf der Straße die oben angegeben ist; wird im Falle eines unglücklichen Falles

*von H. v. H. - Mitglied des Reichstages, dessen Name hier nicht angegeben ist.*

*(faint handwritten notes)*

Alfred der Erste

6. The following are the names of the persons who have been elected to the office of the President of the Association for the year 1900.

*Bildung - Aufklärung - was ein gewisses Bewusstsein & das Zusammenhalten der*

[illegible]

Handwritten signature: *Handwritten signature*

Wiederholung der oben angegebenen Aufgaben (20, 25) und in der

1871

The Journal of Wm. Briggs

[illegible]

1891, 1892, 1893, 1894, 1895, 1896, 1897, 1898, 1899, 1900, 1901, 1902, 1903, 1904, 1905, 1906, 1907, 1908, 1909, 1910, 1911, 1912, 1913, 1914, 1915, 1916, 1917, 1918, 1919, 1920, 1921, 1922, 1923, 1924, 1925, 1926, 1927, 1928, 1929, 1930, 1931, 1932, 1933, 1934, 1935, 1936, 1937, 1938, 1939, 1940, 1941, 1942, 1943, 1944, 1945, 1946, 1947, 1948, 1949, 1950, 1951, 1952, 1953, 1954, 1955, 1956, 1957, 1958, 1959, 1960, 1961, 1962, 1963, 1964, 1965, 1966, 1967, 1968, 1969, 1970, 1971, 1972, 1973, 1974, 1975, 1976, 1977, 1978, 1979, 1980, 1981, 1982, 1983, 1984, 1985, 1986, 1987, 1988, 1989, 1990, 1991, 1992, 1993, 1994, 1995, 1996, 1997, 1998, 1999, 2000, 2001, 2002, 2003, 2004, 2005, 2006, 2007, 2008, 2009, 2010, 2011, 2012, 2013, 2014, 2015, 2016, 2017, 2018, 2019, 2020, 2021, 2022, 2023, 2024, 2025, 2026, 2027, 2028, 2029, 2030, 2031, 2032, 2033, 2034, 2035, 2036, 2037, 2038, 2039, 2040, 2041, 2042, 2043, 2044, 2045, 2046, 2047, 2048, 2049, 2050, 2051, 2052, 2053, 2054, 2055, 2056, 2057, 2058, 2059, 2060, 2061, 2062, 2063, 2064, 2065, 2066, 2067, 2068, 2069, 2070, 2071, 2072, 2073, 2074, 2075, 2076, 2077, 2078, 2079, 2080, 2081, 2082, 2083, 2084, 2085, 2086, 2087, 2088, 2089, 2090, 2091, 2092, 2093, 2094, 2095, 2096, 2097, 2098, 2099, 2100, 2101, 2102, 2103, 2104, 2105, 2106, 2107, 2108, 2109, 2110, 2111, 2112, 2113, 2114, 2115, 2116, 2117, 2118, 2119, 2120, 2121, 2122, 2123, 2124, 2125, 2126, 2127, 2128, 2129, 2130, 2131, 2132, 2133, 2134, 2135, 2136, 2137, 2138, 2139, 2140, 2141, 2142, 2143, 2144, 2145, 2146, 2147, 2148, 2149, 2150, 2151, 2152, 2153, 2154, 2155, 2156, 2157, 2158, 2159, 2160, 2161, 2162, 2163, 2164, 2165, 2166, 2167, 2168, 2169, 2170, 2171, 2172, 2173, 2174, 2175, 2176, 2177, 2178, 2179, 2180, 2181, 2182, 2183, 2184, 2185, 2186, 2187, 2188, 2189, 2190, 2191, 2192, 2193, 2194, 2195, 2196, 2197, 2198, 2199, 2200, 2201, 2202, 2203, 2204, 2205, 2206, 2207, 2208, 2209, 2210, 2211, 2212, 2213, 2214, 2215, 2216, 2217, 2218, 2219, 2220, 2221, 2222, 2223, 2224, 2225, 2226, 2227, 2228, 2229, 2230, 2231, 2232, 2233, 2234, 2235, 2236, 2237, 2238, 2239, 2240, 2241, 2242, 2243, 2244, 2245, 2246, 2247, 2248, 2249, 2250, 2251, 2252, 2253, 2254, 2255, 2256, 2257, 2258, 2259, 2260, 2261, 2262, 2263, 2264, 2265, 2266, 2267, 2268, 2269, 2270, 2271, 2272, 2273, 2274, 2275, 2276, 2277, 2278, 2279, 2280, 2281, 2282, 2283, 2284, 2285, 2286, 2287, 2288, 2289, 2290, 2291, 2292, 2293, 2294, 2295, 2296, 2297, 2298, 2299, 2300, 2301, 2302, 2303, 2304, 2305, 2306, 2307, 2308, 2309, 2310, 2311, 2312, 2313, 2314, 2315, 2316, 2317, 2318, 2319, 2320, 2321, 2322, 2323, 2324, 2325, 2326, 2327, 2328, 2329, 2330, 2331, 2332, 2333, 2334, 2335, 2336, 2337, 2338, 2339, 2340, 2341, 2342, 2343, 2344, 2345, 2346, 2347, 2348, 2349, 2350, 2351, 2352, 2353, 2354, 2355, 2356, 2357, 2358, 2359, 2360, 2361, 2362, 2363, 2364, 2365, 2366, 2367, 2368, 2369, 2370, 2371, 2372, 2373, 2374, 2375, 2376, 2377, 2378, 2379, 2380, 2381, 2382, 2383, 2384, 2385, 2386, 2387, 2388, 2389, 2390, 2391, 2392, 2393, 2394, 2395, 2396, 2397, 2398, 2399, 2400, 2401, 2402, 2403, 2404, 2405, 2406, 2407, 2408, 2409, 2410, 2411, 2412, 2413, 2414, 2415, 2416, 2417, 2418, 2419, 2420, 2421, 2422, 2423, 2424, 2425, 2426, 2427, 2428, 2429, 2430, 2431, 2432, 2433, 2434, 2435, 2436, 2437, 2438, 2439, 2440, 2441, 2442, 2443, 2444, 2445, 2446, 2447, 2448, 2449, 2450, 2451, 2452, 2453, 2454, 2455, 2456, 2457, 2458, 2459, 2460, 2461, 2462, 2463, 2464, 2465, 2466, 2467, 2468, 2469, 2470, 2471, 2472, 2473, 2474, 2475, 2476, 2477, 2478, 2479, 2480, 2481, 2482, 2483, 2484, 2485, 2486, 2487, 2488, 2489, 2490, 2491, 2492, 2493, 2494, 2495, 2496, 2497, 2498, 2499, 2500, 2501, 2502, 2503, 2504, 2505, 2506, 2507, 2508, 2509, 2510, 2511, 2512, 2513, 2514, 2515, 2516, 2517, 2518, 2519, 2520, 2521, 2522, 2523, 2524, 2525, 2526, 2527, 2528, 2529, 2530, 2531, 2532, 2533, 2534, 2535, 2536, 2537, 2538, 2539, 2540, 2541, 2542, 2543, 2544, 2545, 2546, 2547, 2548, 2549, 2550, 2551, 2552, 2553, 2554, 2555, 2556, 2557, 2558, 2559, 2560, 2561, 2562, 2563, 2564, 2565, 2566, 2567, 2568, 2569, 2570, 2571, 2572, 25

[illegible]



Zitieren kann aber natürlich kein allgemeines Gesetz sein, da bei stärkerem Zusetzen die Koagulationsgeschwindigkeit von der Elektrolytkonzentration unabhängig wird. ~~Sehr~~ Sehr instruktiv sind in dieser Beziehung einige Zahlen, welche mir R. Zsigmondy gütigst mitgeteilt hat, wonach zur Erreichung eines bestimmten, an dem Farbumschlag Rot-Rotviolett kenntlichen Koagulationsgrades einer Goldlösung bei ~~verschiedenen~~ (Elektrolytkonzentrationen) (Millimol NaCl pro Liter) ~~die nachstehenden Zeiten~~ (T (Sekunden)) erforderlich waren:

c	5	10	20	50	100	150	200	300	500
T	158 150	12	7,2	7	7	6	6,5	7,5	7 <sup>xx)</sup>

Ein dem Anfang dieser Messungsreihe angepasstes Potenzgesetz müßte natürlich bei höheren Konzentrationen vollständig versagen.

(Auch Frenkel's und Ishizuka's Messungen ~~bestätigen~~, wie gesagt, das Ähnlichkeits<sup>prinzip</sup>, und zwar in Bezug auf die Abhängigkeit vom Elektrolytzusatz, sonst sind ~~sie~~ sie aber zu einer quantitativen Kontrolle unserer Formeln nicht geeignet, da <sup>an</sup> sich (wie auch Paine's Messungen) nicht auf die Teilchenzahlen selbst, sondern auf ~~andere~~ andere Größen beruhen, wie Zähigkeit oder in anderen Untersuchungen gewisse Adsorptionserscheinungen, welche komplizierte und einstweilen unbekannte Funktionen der ~~Teilchen~~ Zahl und Größe der Teilchen <sup>(beseh.)</sup> ~~(beseh.)~~ (ihren Aggregat) sind.

Recht man betriffs der Abhängigkeit der Viskosität von der Teilchenzahl und -Größe gewisse, ziemlich plausible Annahmen, so kann man ~~mit~~ die charakteristische, durch einen Wendepunkt ~~charakteristische~~ gekennzeichnete Gestalt der Koagulationskurven Frenkel's schwerer erklären, doch kommen da zu viel hypothetische <sup>Elemente</sup> ~~Annahmen~~ ins Spiel, als dass man von einer zahlenmäßigen Kontrolle reden könnte und deshalb will ich auf diese Rechnungen hier nicht weiter eingehen.

Auch scheint es mir nicht rationell, aus derartigen Messungen die Differential-Gleichung der Koagulations-Kinetik ableiten zu wollen, wie es Frenkel versucht, solange man nicht weiß, wie die Teilchenzahlen mit dem beobachteten Effekt zusammenhängen.

Für erstere, nicht aber für den gemessenen Gesamt-Effekt ist eine einfache Gesetzmäßigkeit zu erwarten. Dagegen sind derartige Messungen wohl geeignet, auf Grund des Ähnlichkeitsprinzips hochinteressante Aufschlüsse über die Abhängigkeit <sup>\*)</sup> des Wirkungskoeffizienten <sup>\*)</sup> von der Art und Konzentration des Elektrolyten zu geben.

### 7. Theorie der Versuche Paine's.

Bei Paine's Versuchen läßt sich die mathematische Analyse noch weiter treiben, und die Sache scheint mir so interessant, dass ich sie noch kurz darstellen möchte. Paine bestimmte

\*) Allerdings könnte auch R von der Elektrolytkonzentration abhängen. Formell ist das aber mit einer Änderung des  $\epsilon$  gleichwertig. <sup>xx)</sup> Die Abweichungen von 7 Sek. bei 50 bis 500 Millimol liegen innerhalb der Beobachtungsfehler.







nämlich die Menge des koagulierten Niederschlags, welcher sich aus seinen Lösungen nachgewiesen 149  
 Zeitdauer der Elektrolyt einwirkung absetzte, sobald die Lösung erhitzt oder aber eine Zeitlang  
 ungerührt wurde. Die Wirkung der Erhitzung <sup>mag</sup> ~~ist~~ auf einen uns nicht bekannten, ~~mit dem~~  
~~Temperatur~~ Einfluss beruhen, aber die Wirkung des Umrührens lässt sich leicht begreifen.

Denken wir uns nämlich die Flüssigkeit in scherende, lamellare Bewegung versetzt, so müssen  
 die Teilchen, auch falls sie gar keine Orowi'sche Bewegung ausführen würden, mitunter mit ihren  
 Wirkungssphären in einander greifen und an einander kleben ~~bleiben~~. Die Größenordnung dieses  
 Faktors erkennen wir schätzungsweise, wenn wir uns den Mittelpunkt eines Teilchens, samt seiner  
 Wirkungssphäre  $R$ , als feststehend vorstellen und berechnen, wie viel fremde Teilchen mittelepunkte  
 im Falle lamellarer <sup>(Längs der  $xz$  Ebene)</sup> Strömung in der Zeit einheit diese Kugel  <sup>$R$</sup>  durchstoßen würden.

Da die Geschwindigkeit im Abstand  $z$  gleich ist  $z \frac{\partial u}{\partial z}$ , wird der gesuchte Ausdruck für den

$$2v \frac{\partial u}{\partial z} \int z dy dz = \frac{4v}{3} R^3 \frac{\partial u}{\partial z} \quad \text{(Querschnitt der Kugel } R: \text{)} \quad \text{--- (72)}$$

Der relative Einfluss des Strömungsfaktors ist gegeben durch das Verhältnis dieses Ausdruckes  
 zu der infolge der normalen Orowi'schen Bewegungen sich anlegenden Menge  $8\pi DRv$ , <sup>welcher</sup> ~~beträgt~~

$$\text{beträgt: } \frac{1}{6\pi} \frac{\partial u}{\partial z} \frac{R^3}{D} = \frac{N}{HT} \mu a R^2 \frac{\partial u}{\partial z} \quad \text{--- (73)}$$

Die koagulierende Wirkung des Umrührens wächst also ganz außerordentlich mit der Teilchengröße;  
 wird  $R=2a$  angenommen, so wird  $10^6$  bei einem Teilchenradius  $a=10\mu$  ein Geschwindigkeitsgefälle  
 $\frac{\partial u}{\partial z}=1$  nur eine Vermehrung der <sup>(Geschwindigkeit)</sup> Koagulationsum den Bruchteil  $10^6$  bewirken, während dieselbe  
 bei einem Teilchenradius  $a=1\mu$  <sup>dadurch</sup> ~~die Koagulationsumgeste~~ ~~steht~~ auf das Doppelte des Normalwertes  
 gesteigert würde. Kurz gesagt: energisches Umrühren bewirkt rasche Koagulation der mikroskopischen  
 Teilchen, lässt aber Submikronen und Amikronen unberührt.

Somit könnte man annehmen, dass in Fadnes Versuchen alle Teilchen abgeschieden wurden,  
 welche aus mehr als  $k$  Primärteilchen bestanden (wo  $k$  eine große Zahl ist), während der Rest,  
 bestehend aus

$$I = v_1 + 2v_2 + 3v_3 + \dots + (k-1)v_{k-1}$$

Primärteilchen, in Lösung blieb. Werden hierin unsere Formeln (70) eingesetzt, so ergibt  
 sich für die nicht koagulierte Menge, bei Benützung der Abkürzung  $z/\tau = \alpha$ , der Ausdruck:

$$I = 1 + \frac{(k+\alpha)^{k-1}}{(1+\alpha)^k}$$

welcher für große  $k$  gleichwertig ist mit:

$$I = 1 + \left[1 + \frac{1}{k}\right] e^{-\frac{1}{\alpha}} \quad \text{--- (74)}$$

wo  $x$  zur Abkürzung für die zur Zeit proportionale Größe  $x = \frac{\alpha}{v} = \frac{z/\tau}{v}$  eingeführt ist.



Die Wirkung der Beschleunigung ist, dass die Teilchen in der Richtung der Beschleunigung beschleunigt werden, was zu einer Erhöhung der Geschwindigkeit führt. Die Beschleunigung ist proportional zur Kraft, die auf die Teilchen wirkt.

Die Beschleunigung ist ein Vektor, der in die gleiche Richtung wie die Kraft zeigt. Die Beschleunigung ist proportional zur Kraft, die auf die Teilchen wirkt. Die Beschleunigung ist ein Vektor, der in die gleiche Richtung wie die Kraft zeigt.

(22) 
$$\frac{1}{2} m v^2 = \frac{1}{2} m \left( \frac{h}{m \lambda} \right)^2 = \frac{h^2}{2 m \lambda^2}$$

Die Beschleunigung ist ein Vektor, der in die gleiche Richtung wie die Kraft zeigt. Die Beschleunigung ist proportional zur Kraft, die auf die Teilchen wirkt. Die Beschleunigung ist ein Vektor, der in die gleiche Richtung wie die Kraft zeigt.

Die Beschleunigung ist ein Vektor, der in die gleiche Richtung wie die Kraft zeigt. Die Beschleunigung ist proportional zur Kraft, die auf die Teilchen wirkt. Die Beschleunigung ist ein Vektor, der in die gleiche Richtung wie die Kraft zeigt.

Die Beschleunigung ist ein Vektor, der in die gleiche Richtung wie die Kraft zeigt. Die Beschleunigung ist proportional zur Kraft, die auf die Teilchen wirkt. Die Beschleunigung ist ein Vektor, der in die gleiche Richtung wie die Kraft zeigt.

(23) 
$$I = \frac{1}{2} m v^2 = \frac{1}{2} m \left( \frac{h}{m \lambda} \right)^2 = \frac{h^2}{2 m \lambda^2}$$

(Längengrad 3. September 1916)

(24) 
$$I = \frac{1}{2} m v^2 = \frac{1}{2} m \left( \frac{h}{m \lambda} \right)^2 = \frac{h^2}{2 m \lambda^2}$$



Zeichnen wir uns diese theoretische Koagulationskurve auf, so überzeugen wir uns, dass sie 145  
tatsächlich ganz überraschend ähnlich mit der von Paine erhaltenen empirischen Kurven verläuft.  
Insbesondere muss eine gewisse Zeit, die „Inkubationszeit“, verstrichen, bevor sich die Teilchen  
nennenswert vergrößern, dass überhaupt ein merklicher Niederschlag erhalten wird, dann tritt bei dem  
Werte  $x = \frac{1}{3}$ ,  $Z = 0.801$  ein Wendepunkt auf und von da an verläuft die Kurve konvex nach abwärts,  
um sich asymptotisch der Zeit-Achse anzuschließen. Der Unterschied besteht nur darin, dass der  
Übergang von der Inkubationszeit in die Koagulationskurve hier etwas allmählicher erfolgt  
als in Paine's Kurven und die scharfe unnatürliche Ecke derselben vermieden.

Wenn man diese wenigen, bisher zu Gebote stehenden Kontrollversuche überblickt, gewinnt  
man wohl den Eindruck, dass die in Rede stehende Verallgemeinerung unserer, den Koagulations-  
mechanismus auf Droste'sche Überlegungen zurückführenden Theorie, dem Wesen der Sache entspricht,  
und man kann wohl hoffen, dass dieselbe <sup>sich</sup> als Wegweiser bei weitgehenden Untersuchungen  
auf diesem, bisher der Mathematik ganz unzugänglichen Gebiete nützlich erweisen dürfte.

---



[illegible]



Do Senatu Akademickiego.

Napisać nadzwyczajny  
Doradczo i Wyroczono Słowo  
Wydziału Filozoficznego  
Prezidium i dnia 28. listopada 1900  
przekazać Senatowi Akademickiemu  
notę pójści umiarkowanej:

I). O doświadczeniach naukowego dotychczas  
dotychczasowego na świecie i na dotychczas

1). Doświadczenia



III. O udzielenie stopni dyplomu Dawidowskiego

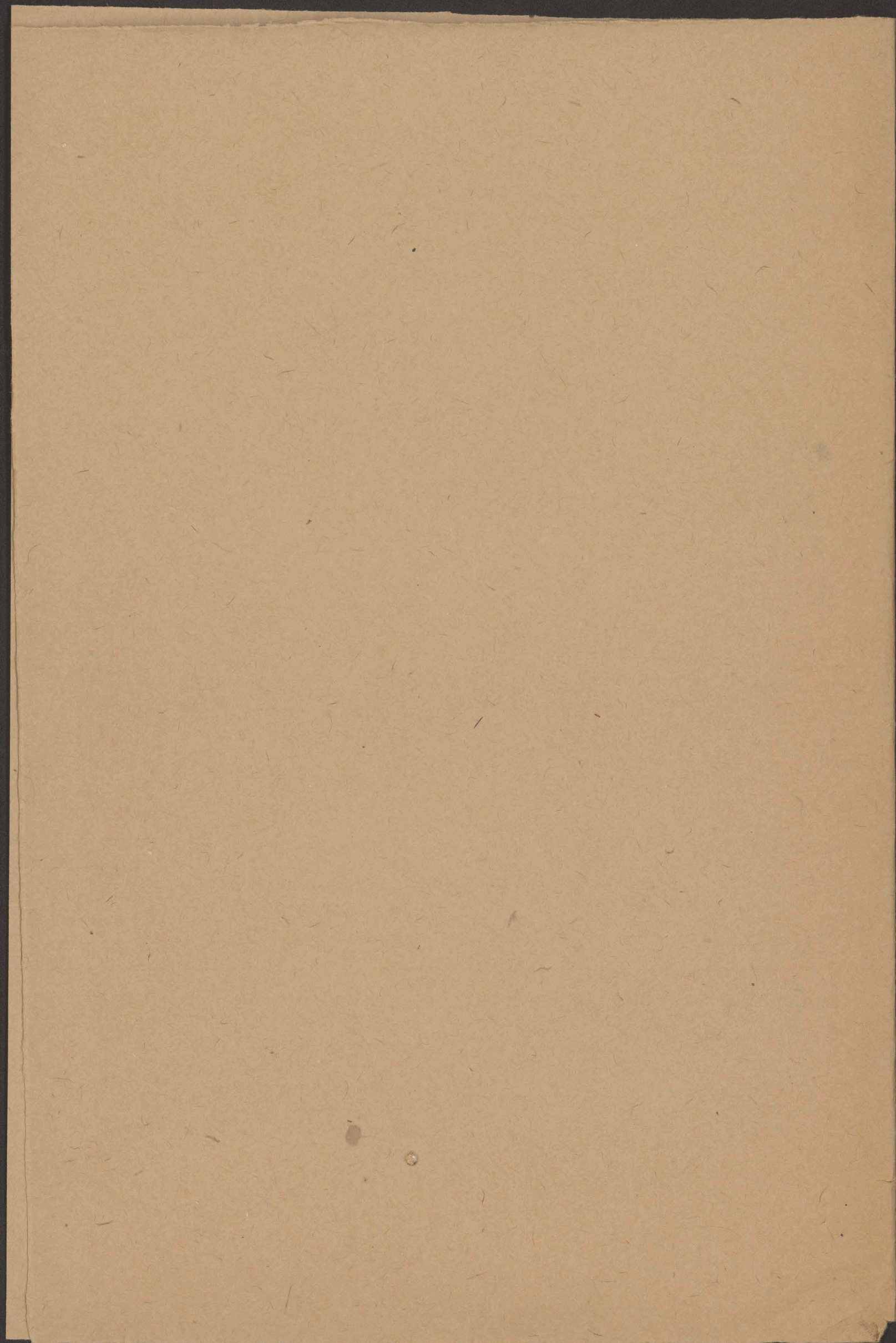
uproszają:

- |                |              |
|----------------|--------------|
| 1) Krupko      | 1) Krupko    |
| 2) Męszewski   | 2) Męszewski |
| 3) Skibiński   | 3) Męszewski |
| 4) Świątkowski | 4)           |
| 5) Zolichowski |              |











9365

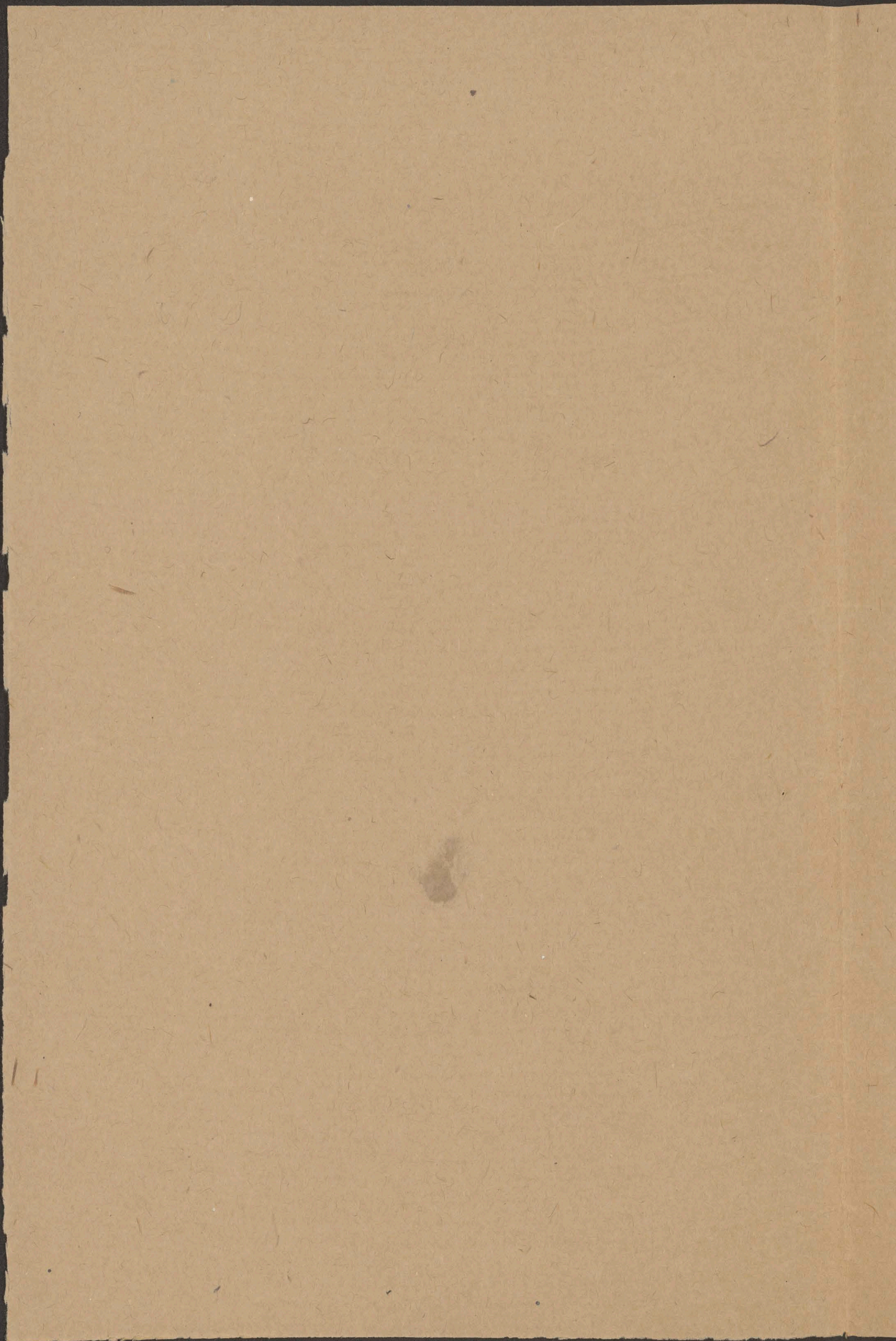
IV

203.

M. Smoluchowski

Drei Vorträge ---











your letter of the 10th inst. with your











## Koagulations theorie:

Einschränkungen: 1). keine vollständige Aufklärung d. Reaktionsums

es ist eine formale mathem. Theorie unter

Annahme R

2). gilt direkt nur für Emulsion, f. irreversible noch

Kugel.

vielleicht vollgültig für Langsame, aber nicht sicher.

Schon aus Fall d. Nussbollen:  $D \sim \frac{R^2}{\tau}$ 

$$n_0 \sim \frac{1}{R^3}$$

$$R \sim R$$

also tritt nur in D

Kugel. tritt  $\sim D$  $\therefore$  Temperaturfluss  $\sim D$ Aufgabe: zu Teil des  $n_0$  Teilchenin Zeit  $t$  mit in Ordnung gekommen mit  $n_0$  Teilchen R?

I). Einmischung als Koagulationskern

$$\text{Äquidensatz ergibt: } u = c \left[ 1 - \frac{R}{2} + \frac{2R}{\pi n_0} \int_0^{\frac{1-R}{2}} \frac{1}{x^2} dx \right]$$

$$I dt = 4\pi D R c \left[ 1 + \frac{R}{\pi n_0} \right] dt$$

$$M = 4\pi D R c \left[ t + \frac{2R}{\pi n_0} \right]$$

Voraussetzung:  $t \gg \frac{R^2}{D}$  also vernachlässigt Vernachlässigung. Zugang  $> 10^{-4}$   $\frac{1}{10^{-2}}$  $\therefore$  pro Teilchen  $4\pi n_0 D R$  bleiben

$$P = \frac{1}{4\pi n_0 D R}$$

$$\frac{dn_1}{dt} = -4\pi D n_0 n_1$$

$$n_1 = n_0 e^{-4\pi D n_0 t}$$

II). Verbesserung:

1). Es kommt relative Bewegung  $D_{0,0} = D_0 + D_0$ 

2). Sie bleiben auch untereinander an

$$\frac{dn_1}{dt} = -4\pi R D_{11} n_1^2$$

$$(D_{11} = 2D)$$

$$\therefore n_1 = \frac{n_0}{1 + 8\pi R D n_0 t}$$

so wie binomische Reaktion

3). Doppelt, dreifach wirken ebenfalls als Kern und Katalysator

$$\frac{1}{4\pi} \frac{dn_1}{dt} = -D_{11} R_{11} n_1^2 - D_{12} R_{12} n_1 n_2 - D_{13} R_{13} n_1 n_3 -$$

$$\frac{1}{4\pi} \frac{dn_2}{dt} = \frac{1}{2} D_{11} R_{11} n_1^2 - D_{12} R_{12} n_1 n_2 - D_{22} R_{22} n_2^2 -$$

$$\frac{1}{4\pi} \frac{dn_3}{dt} = D_{12} R_{12} n_1 n_2 - D_{13} R_{13} n_1 n_3 - D_{23} R_{23} n_2 n_3 - D_{33} R_{33} n_3^2 -$$

$$\text{Bei kugelförmigen Teilchen: } D_{ik} R_{ik} = (D_i + D_k) \frac{R_i + R_k}{2} = \frac{D R}{2} (R_i + R_k) \left( \frac{1}{R_i} + \frac{1}{R_k} \right) = \frac{D R}{2} \frac{(R_i + R_k)^2}{R_i R_k}$$

für  $R_i = R_k$ 

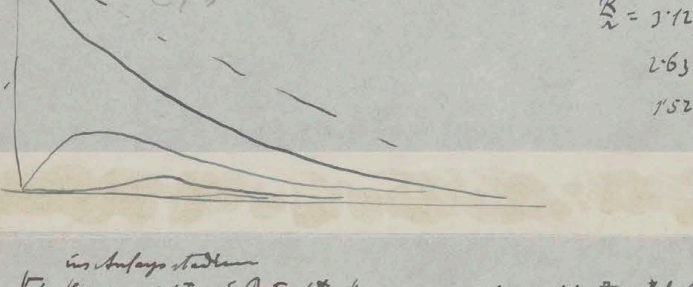
$$\text{folgt das: } D_{12} R_{12} = 2 D R$$

Durch allgemeine Annahme  $\uparrow$  dieser Relation folgt:

$$\left\{ \begin{array}{l} \sum n_i = \frac{n_0}{1 + \beta t} \\ n_1 = \frac{n_0}{(1 + \beta t)^2} \\ n_2 = \frac{n_0}{(1 + \beta t)^3} \text{ etc.} \end{array} \right. \quad \beta = 4\pi D R n_0$$

also Reduktion der Zeit T.

$$(T_{\text{max}} = \frac{n_0 - 1}{2} T)$$



im Anfangs stadium

T kann nicht  $\rightarrow$  Null werden, auch wenn Zeit beliebig

unendlich Teilchen

Endstadium:

mehrf. Teilchen überleben?

Rollen  $\rightarrow$  etc

jedoch angestrichelte Kurven

Lange chemische Kinetik u. ist verwandt?

$$E/kT \quad T = \frac{3N/kT}{4\pi n_0} \quad \text{also} \approx \text{Schmelztemp. } n = 3 \cdot 10^{-12} \text{ N}$$

$$= \frac{1}{3} \cdot 10^9 \text{ mm.}!$$

Hemmung bei Zusammenstoß, keine Wutiger Temperatur!

Ostwaldmischungsgefälle der Deserke

Langsame Koagulation  $\rightarrow$  ist stat. st.

Es folgt: Ähnlichkeit d. K.C.

$$\text{Zeit} \sim \frac{1}{\tau n_0}$$

Daneben

$$\text{Zeit} \sim \frac{1}{n_0} \cdot 5-6 \quad \text{Elektronen koll.$$

wird kein offen System

Zugang:  $\alpha = 5$  millionen Mill  $\rightarrow$  150

10

20

50

150

300

12

7

FFrunklin & Jahnke Koag. Elektrolyt von KCl.

nicht geeignet für Ableitung einer kinetischen Formel

komplizierte Abhängigkeit, nicht Teilweise

Wendepunkte unklar aber Zeit  $\sim \frac{1}{n_0}$  bestätigt

Einfluss d. z. zu messen

Daneben quantitative (Vermutl)

Annahme: alle Teilchen

Annahme:  $\rightarrow$ 

Vermutung d. Koag. relativitätsabhängig:

$$\frac{1}{2} \pi n \frac{\partial n}{\partial z} \iint dy dz = \frac{4\pi}{3} \frac{\partial n}{\partial z} R^3$$

$$\text{relativ: } \gamma = \frac{1}{\sqrt{1 - \frac{v^2}{c^2}}} \quad \frac{\partial n}{\partial z} \frac{R^2}{D} = \frac{N}{4\pi} \sim n R^2 \left( \frac{\partial n}{\partial z} \right)$$

$$\text{Für } R = 2r: \quad n = 10^{-12} \quad \frac{\partial n}{\partial z} = 1 \quad \gamma = 10^6$$

$$v = 1/c$$

$$\gamma = 2$$

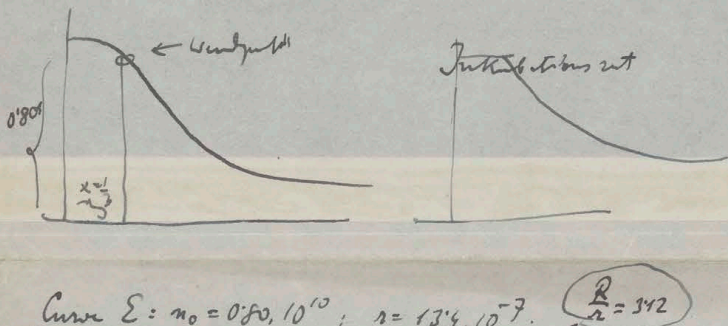
also Annahme: alle abgesehen welche mehr als 1000 Teilchen

$$Z = n_1 + 2n_2 + 3n_3 + \dots - (V-1)n_{V-1} \quad \text{in Lösung}$$

$$= 1 - \frac{(V-1)\alpha}{1+\alpha}$$

$$x = \frac{\alpha}{V} = \frac{\varepsilon \rho t}{\mu}$$

$$= 1 + \left[ 1 + \frac{1}{x} \right] e^{-\frac{1}{x}}$$

Curve E:  $n_0 = 0.80 \cdot 10^{10}$ ;  $n = 13.4 \cdot 10^{-7}$ ;  $\frac{R}{2} = 342$ 

t=0	$n_1 = 1.97$			aus Formel $n_1 = \frac{n_0}{1 + \beta t}$
2	1.35	$\beta = 0.105$		$\beta = 0.125$
5	1.19	0.058		0.066
10	0.89	0.0490		0.061
20	0.52	0.0476	0.0458	0.070
40	0.29	0.0403		0.072

Curve F:  $n_0 = 0.552 \cdot 10^{10}$ ;  $n = 24.2 \cdot 10^{-7}$ ;  $\beta_1 = 0.0188$ 

t=0	$n_1 = 1.97$			$\frac{R}{2} = 2.63$
3	1.56	$\beta = 0.040$		0.044
20	1.02	0.0195		0.023
40	0.66	0.0183		0.025
	0.76	0.0153		0.020
60	0.44	0.0187		0.029
80	0.49 (x)	0.0126		0.019

Curve D:  $n_0 = 0.27 \cdot 10^{10}$ ;  $n = 24.2 \cdot 10^{-7}$ ;  $\beta_1 = 0.0309$ 

t=0	$n_1 = 1.93$			$\frac{R}{2} = 1.46$
2	1.42	$\beta = 0.083$		0.090
80	1.17	0.0286		0.041
20	0.75	0.0302		0.039
30	0.52	0.0309		0.045



The first part of the paper is devoted to the study of the properties of the function  $f(x)$  defined by the equation  $f(x) = \frac{1}{x} \int_0^x f(t) dt$ . It is shown that  $f(x)$  is a continuous function and that it satisfies the differential equation  $x^2 f'(x) + f(x) = 0$ . The general solution of this equation is  $f(x) = \frac{C}{x}$ , where  $C$  is a constant. It is then shown that  $C = 1$  and that  $f(x) = \frac{1}{x}$  is the unique solution of the equation.

In the second part of the paper, the function  $f(x)$  is extended to the complex plane. It is shown that  $f(z)$  is a meromorphic function with a simple pole at  $z = 0$  and that it satisfies the differential equation  $z^2 f'(z) + f(z) = 0$ . The general solution of this equation is  $f(z) = \frac{C}{z}$ , where  $C$  is a constant. It is then shown that  $C = 1$  and that  $f(z) = \frac{1}{z}$  is the unique solution of the equation.

In the third part of the paper, the function  $f(x)$  is extended to the real line. It is shown that  $f(x)$  is a continuous function and that it satisfies the differential equation  $x^2 f'(x) + f(x) = 0$ . The general solution of this equation is  $f(x) = \frac{C}{x}$ , where  $C$  is a constant. It is then shown that  $C = 1$  and that  $f(x) = \frac{1}{x}$  is the unique solution of the equation.

In the fourth part of the paper, the function  $f(x)$  is extended to the complex plane. It is shown that  $f(z)$  is a meromorphic function with a simple pole at  $z = 0$  and that it satisfies the differential equation  $z^2 f'(z) + f(z) = 0$ . The general solution of this equation is  $f(z) = \frac{C}{z}$ , where  $C$  is a constant. It is then shown that  $C = 1$  and that  $f(z) = \frac{1}{z}$  is the unique solution of the equation.

In the fifth part of the paper, the function  $f(x)$  is extended to the real line. It is shown that  $f(x)$  is a continuous function and that it satisfies the differential equation  $x^2 f'(x) + f(x) = 0$ . The general solution of this equation is  $f(x) = \frac{C}{x}$ , where  $C$  is a constant. It is then shown that  $C = 1$  and that  $f(x) = \frac{1}{x}$  is the unique solution of the equation.

In the sixth part of the paper, the function  $f(x)$  is extended to the complex plane. It is shown that  $f(z)$  is a meromorphic function with a simple pole at  $z = 0$  and that it satisfies the differential equation  $z^2 f'(z) + f(z) = 0$ . The general solution of this equation is  $f(z) = \frac{C}{z}$ , where  $C$  is a constant. It is then shown that  $C = 1$  and that  $f(z) = \frac{1}{z}$  is the unique solution of the equation.

In the seventh part of the paper, the function  $f(x)$  is extended to the real line. It is shown that  $f(x)$  is a continuous function and that it satisfies the differential equation  $x^2 f'(x) + f(x) = 0$ . The general solution of this equation is  $f(x) = \frac{C}{x}$ , where  $C$  is a constant. It is then shown that  $C = 1$  and that  $f(x) = \frac{1}{x}$  is the unique solution of the equation.

In the eighth part of the paper, the function  $f(x)$  is extended to the complex plane. It is shown that  $f(z)$  is a meromorphic function with a simple pole at  $z = 0$  and that it satisfies the differential equation  $z^2 f'(z) + f(z) = 0$ . The general solution of this equation is  $f(z) = \frac{C}{z}$ , where  $C$  is a constant. It is then shown that  $C = 1$  and that  $f(z) = \frac{1}{z}$  is the unique solution of the equation.

In the ninth part of the paper, the function  $f(x)$  is extended to the real line. It is shown that  $f(x)$  is a continuous function and that it satisfies the differential equation  $x^2 f'(x) + f(x) = 0$ . The general solution of this equation is  $f(x) = \frac{C}{x}$ , where  $C$  is a constant. It is then shown that  $C = 1$  and that  $f(x) = \frac{1}{x}$  is the unique solution of the equation.

In the tenth part of the paper, the function  $f(x)$  is extended to the complex plane. It is shown that  $f(z)$  is a meromorphic function with a simple pole at  $z = 0$  and that it satisfies the differential equation  $z^2 f'(z) + f(z) = 0$ . The general solution of this equation is  $f(z) = \frac{C}{z}$ , where  $C$  is a constant. It is then shown that  $C = 1$  and that  $f(z) = \frac{1}{z}$  is the unique solution of the equation.

In the eleventh part of the paper, the function  $f(x)$  is extended to the real line. It is shown that  $f(x)$  is a continuous function and that it satisfies the differential equation  $x^2 f'(x) + f(x) = 0$ . The general solution of this equation is  $f(x) = \frac{C}{x}$ , where  $C$  is a constant. It is then shown that  $C = 1$  and that  $f(x) = \frac{1}{x}$  is the unique solution of the equation.



Original-  
Manuskript für „Physikalische Zeitung“

Abgesandt an  
Zeitschrift 29/8 1916

Drei Vorträge über

Brown'sche Molekular-Bewegung, Diffusion

und Koagulation

von Kolloiden.

gehalten  
~~in~~ gehalten in Göttingen 19-21 Juni 1916.

[75]

Phys. Zeit 1916

S. 557-21

587-99

Prof. M. v. Smolchowski







Über Diffusionstheorie

Das Thema der drei Vorträge, welche ich ~~ich~~ auf Anregung von Prof. Zsigmondy und ~~ich~~ in Folge einer gütigen Einladung von Herrn Scheinwerth Hilbert übernommen habe, ~~ist~~ <sup>bezieht sich</sup> allgemein als "Theoretische Untersuchungen über den Mechanismus der Diffusionserscheinungen" oder auch mit demselben Recht als "Mikroskopische Wirkungen der Brown'schen Molekularbewegung" ~~beschreiben~~. Es hängt nahe zusammen mit dem Gegenstand eines Vortrages, ~~welchen ich~~ über "Gültigkeitsgrenzen des zweiten Hauptsatzes der Wärmelehre", welchen ich vor drei Jahren an dieser Stelle zu halten die Ehre hatte, und wird mir Gelegenheit geben, einige damals kurz angedeutete Gedanken näher auszuführen. Die Wichtigkeit dieses Themas <sup>einer besond. Bedeutung besitzend</sup> (liegt) einerseits in der Anwendung <sup>Physik der</sup> auf die Kolloid-Chemie, <sup>in welcher</sup> ~~welcher~~ diese Erscheinungen <sup>die</sup> eine <sup>charakteristische Beispiel - die Frage, was - und wie sie sich eingestrichen befindet</sup> ~~grundlegende Rolle spielen~~, andererseits sollte es meiner Ansicht nach <sup>in, ~~in~~ <sup>physikalisch</sup></sup> die Rolle eines Schulbeispiels <sup>ein</sup> ~~übernehmen~~, an welchem man <sup>relative Durchdringung und Tropenweite</sup> die thermodynamisch-mikroskopischen Betrachtungsweise und die mikroskopisch-molekulare Analyse in allen Einzelheiten <sup>und im Verhältnis mächtig überaus einfacher Weise</sup> ~~untersuchen kann~~, wobei sich überdies <sup>fast</sup> jeder Schritte durch direkte experimentelle Erfahrung kontrollieren lässt.

Es liegt das daran, dass die und dieselbe Erscheinung uns, <sup>(von uns eingestrichen)</sup> je nach dem Standpunkt, in dreifach verschiedener Weise entgegentritt: makroskopisch betrachtet, heißt sie "Diffusion", mikroskopisch entweder "Brown'sche Molekularbewegung", falls man nämlich die Lebensgeschichte eines in dividuellen materiellen Teilchens verfolgt, oder aber "Konzentrationschwankung", falls man in bestimmtes Volumen hinein im Auge behält <sup>zeitliche Änderung der</sup> und die Anzahl der jeweilig darin befindlichen ~~Teilchen~~ Teilchen notiert.



Einleitung

Die vorliegende Schrift ist eine Darstellung der Geschichte der Philosophie in Deutschland von der Aufklärung bis zur Gegenwart. Sie ist in drei Teile gegliedert: I. Die Aufklärung, II. Die Romantik, III. Die Gegenwart. Der erste Teil behandelt die Aufklärung, die zweite die Romantik, die dritte die Gegenwart. In der Einleitung wird die Bedeutung der Philosophie für die Kultur und das Leben der Nation betont. Die Philosophie ist die Grundlage aller Wissenschaften und die Quelle aller Erkenntnis. Sie ist die Kunst, das Wahre zu erkennen und das Gute zu tun. Die Philosophie ist die Kunst, das Leben zu verstehen und zu gestalten. Sie ist die Kunst, das Glück zu finden und das Leid zu überwinden. Die Philosophie ist die Kunst, das Leben zu lieben und das Sterben zu ertragen. Sie ist die Kunst, das Leben zu genießen und das Sterben zu überdauern. Die Philosophie ist die Kunst, das Leben zu verstehen und zu gestalten. Sie ist die Kunst, das Glück zu finden und das Leid zu überwinden. Die Philosophie ist die Kunst, das Leben zu lieben und das Sterben zu ertragen. Sie ist die Kunst, das Leben zu genießen und das Sterben zu überdauern.



















Die Wahrscheinlichkeit dafür, dass die ~~resultierende~~ <sup>das Teilchen</sup> Verschiebung nach  $m$  ~~Wegstücken~~ <sup>einzelnen Verschiebungen</sup> beträgt, wird dann offenbar durch (das nachfolgende Schema gegeben sein:

$m =$	-3	-2	-1	0	1	2	3	4	5
$n=1$				1					
2			$\frac{1}{2}$		$\frac{1}{2}$				
3		$\frac{1}{4}$		$\frac{3}{4}$		$\frac{1}{4}$			
4			$\frac{3}{8}$		$\frac{3}{8}$		$\frac{1}{8}$		
5		$\frac{1}{16}$		$\frac{6}{16}$		$\frac{6}{16}$		$\frac{1}{16}$	
6			$\frac{15}{64}$		$\frac{10}{32}$		$\frac{5}{32}$		$\frac{1}{64}$

Es zeigt sich also dass, mit dem Die Zähler sind die Binomialkoeffizienten, die Nenner sind die  $n$ ten Potenzen von 2.

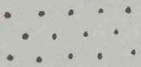
Somit beträgt die Wahrscheinlichkeit eines ~~positiven oder negativen~~ Überschusses  $m$ :

$$W_m = \left(\frac{1}{2}\right)^n \binom{n}{m} = \dots - (3)$$

was sich für große Zahlen  $n, m$  und für einen kleinen Wert des Verhältnisses  $\frac{m}{n}$  wiederum die Formel (1) ergibt, ~~und zwar mit~~ wenn die ~~Relation~~ <sup>Relation</sup>  $m = \frac{x}{\sigma}$  und  $n = \frac{x^2}{\sigma^2}$  eingeführt und der Wert  $\frac{\sigma^2}{2x} = D$  bezeichnet wird.

Auf dieses <sup>(mathematische)</sup> einfache Modell der Brown'schen Bewegung werden wir uns noch späterhin, anlässlich einer etwas schwierigeren Frage begeben. Nur das eine möchte ich bei dieser Gelegenheit bemerken, dass man auch ein <sup>(dynamisches)</sup> ~~überaus einfaches~~ <sup>mechanisches</sup> ~~Modell~~ der Brown'schen Bewegung konstruieren kann, nämlich das sog. Galton'sche Brett, welches seinerzeit von Galton zur Veranschaulichung des Gauss'schen Fehlergesetzes verwendet wurde.

Es besteht einfach aus einem genügend großen, schwach geneigten Brett, welches ~~in gleich~~ <sup>(horizontale)</sup> eine große Anzahl ~~regelmäßiger~~ <sup>regelmäßiger</sup> Nägelreihen in Wechselstellung eingeschlagen ist.



Wird <sup>man</sup> von einem Punkte des oberen Randes <sup>(über das Brett)</sup> eine Kugel <sup>(rollen lassen)</sup> (deren Durchmesser nur wenig kleiner ist als die

Abstände zwischen den Nägeln), so stößt diese auf die Nägel, erleidet ~~unregelmäßige~~ <sup>(aus der Falllinie)</sup> zufällige Ablenkungen nach rechts oder links und führt in Folge auf die ~~Falle~~ <sup>Falllinie</sup> ~~genau~~ <sup>in Folge dessen beim Durchtritt durch die Reihe</sup> ~~aus~~ <sup>aus</sup> die ~~oben~~ <sup>oben</sup> besprochenen Brown'sche Bewegung (in der  $X$  Componente) aus.







# Diffusion

54 [5]

Würde man eine Schar derartiger Kugeln von ~~einigen~~ <sup>demselben</sup> Punkten ausgehen lassen, so <sup>in einem Behälter</sup> würden sie sich am unteren Rand des Brettes in Quantitäten ansammeln welche gerade der Laplace'schen Glocken Curve (1) entsprechen. Was geschieht aber, wenn man die Kugeln nach einem gewissen <sup>Dispersions-</sup>  $n = f(x)$  Gesetz verteilt, von verschiedenen Punkten <sup>des oberen Randes</sup> ausgehen lässt? Das ~~gibt~~ <sup>gibt es eine</sup> Erscheinung, die man kurz Diffusion nennt, und zwar illustriert uns das die Diffusion in einer ~~langen~~ <sup>langen</sup> ~~der X~~ <sup>der X</sup> veränderten Flüssigkeitssäule, deren Konzentration zu Anfang der Zeit (in der Richtung X) gemäß einem Gesetz  $n = f(x)$  verteilt war.

Nehmen wir nämlich an, die Anfangsverteilung der in Betracht kommenden Substanzteilchen sei durch die Function: Anzahl pro Volumeneinheit:  $n = f(x)$  gegeben, ~~so~~ <sup>aus (1)</sup> resultiert ~~unter der~~ <sup>unverändertlich</sup> unter Voraussetzung der Unabhängigkeit der Teilchen von einander — für die ~~Ab~~ <sup>Ab</sup> Verteilung zur Zeit  $t$ :

$$n_t = \int_{-\infty}^{+\infty} \frac{1}{\sqrt{4\pi D t}} \int_{-\infty}^{+\infty} f(\xi) e^{-\frac{(x-\xi)^2}{4Dt}} d\xi \quad \text{--- (4)}$$

indem sich die ~~Ab~~ <sup>Ab</sup> von den verschiedenen Ausgangspunkten herrührenden Teilwirkungen einfach überlagern. Dies ist bekanntlich die allgemeine Lösung der Diffusionsgleichung

$$\frac{\partial n}{\partial t} = D \frac{\partial^2 n}{\partial x^2} \quad \text{--- (5)}$$

für den Fall, dass die Anfangsverteilung  $f(x)$  in der ganzen Ausdehnung von  $-\infty$  bis  $+\infty$  gegeben ist, wie man auch ohne weitere a posteriori Verifizieren kann, und der Koeffizient  $D$  der Formel (1)

ergibt sich <sup>als</sup> <sup>durch Aufhebung der Diffusions-</sup> <sup>(der Formel (5))</sup> <sup>als</sup> <sup>konst.</sup> Die charakteristische Eigenheit besteht der Maxwell'schen Bewegung, ~~was~~ welche aus (1) durch einfache Rechnung folgt, dass das Quadrat der elongation aus der Anfangslage proportional mit der Zeit wächst, kommt ~~bei~~ <sup>in</sup> der Diffusion dem allgemeinen Ähnlichkeitsgesetz der Diffusion zum Vorschein, wonach

$$(x - x_0)^2 = 2 D t$$

(siehe die statistische Druck-)

Das gibt die Diffusion ebenfalls Resultat aus der ungestörten Brk. der einzelnen Teilchen hervor, und es ist ganz falsch, wenn oft Caspary in seiner bekannten Abh. meint, dass dabei noch ein spezielles, der Brk. einer Richtung gebundenes Verhalten auftritt. //



fiktive

fiktive) ist mit  
 In Begriff des osmotischen Druckes ~~entsteht~~ <sup>entsteht</sup> einer mechanologischen Auffassung von der  
 (Ableitung der) <sup>vorherigen Aussagen vertritt und mit denen</sup>  
 Diffusionsprozesse verknüpft welche ~~ist~~ <sup>ist</sup> die (mechanologischen) - soweit die klassischen Diffusionsversuche  
 in Betracht kommen - vollkommen äquivalent ist ~~aber mit denselben~~ <sup>den</sup> nicht verglichen werden darf  
~~Entscheidend~~ <sup>Entscheidend</sup> ~~man~~ <sup>ist</sup> ~~totum von osmotischen Drucke~~ <sup>ist</sup> ~~da~~ <sup>ist</sup> ~~Recht~~ <sup>ist</sup> ~~ist~~ <sup>ist</sup> ~~man~~ <sup>ist</sup> ~~(die~~ <sup>ist</sup> ~~Substanzen~~ <sup>ist</sup> ~~stücken~~ <sup>ist</sup>  
 als passiv durch den osmotischen Druck getrieben denken, ohne die <sup>in Betracht</sup> ~~vorherigen~~ <sup>in Betracht</sup> ~~in~~ <sup>in</sup> ~~Rechnung~~ <sup>in Rechnung</sup>  
~~zu~~ <sup>zu</sup> ~~setzen~~ <sup>setzen</sup> ~~als~~ <sup>als</sup> ~~aber~~ <sup>aber</sup> ~~man~~ <sup>man</sup> ~~nicht~~ <sup>nicht</sup> ~~die~~ <sup>die</sup> ~~letzteren~~ <sup>letzteren</sup> ~~in~~ <sup>in</sup> ~~Rechnung~~ <sup>in Rechnung</sup> ~~ohne~~ <sup>ohne</sup> ~~den~~ <sup>den</sup> ~~fiktiven~~ <sup>fiktiven</sup> ~~osmotischen~~ <sup>osmotischen</sup> ~~Druck~~ <sup>Druck</sup> ~~(~~ <sup>(</sup> ~~in~~ <sup>in</sup> ~~einzu~~ <sup>einzu</sup> ~~führen.~~ <sup>führen.</sup>

Bemerkung ist überflüssig noch den:











der Analyse noch nicht durchgeführt worden, aber ich glaube, auch das was man heute schon darüber aussagen kann, beleuchtet <sup>den Mechanismus</sup> ~~die~~ Theorie der Diffusion in sehr interessanter Weise, so dass es von Interesse sein dürfte, <sup>diese theoretischen Untersuchungen etwas eingehender zu behandeln.</sup> ~~den Mechanismus hierauf einzugehen, kann~~

<sup>(Theoretisch)</sup> Die unten ~~Untersuchungen über Konzentrations-schwankungen~~ habe ich schon vor 12 Jahren

~~Das den Untersuchungen~~ In der Theorie der Konzentrations-schwankungen handelt es sich im Wesentlichen um zweierlei Probleme, einerseits um die wahrscheinliche Größe der <sup>monotonen</sup> ~~(Abweichung)~~ <sup>(der Konzentration in einem gegebenen Volumenteil)</sup> vom durchschnittlichen Zustand, andererseits um ~~die zeitliche~~ <sup>Veränderlichkeit jener Abweichungen, oder wie man kurz sagen kann, um die Schwankungs-</sup> <sup>(Geschwindigkeit).</sup>

Was die wahrscheinliche Größe der Konzentrations-Schwankungen anbelangt, so lassen sich die betreffenden Formeln in sehr einfacher Weise für den Fall entwickeln, wo es sich um die <sup>erfüllte</sup> ~~Abweichungen vom normalen~~ <sup>im Laufe langer Zeit ab. einstellende</sup> Gleichgewichtszustand handelt; diese Formeln, welche ich vor 12 Jahren angegeben habe, <sup>sind</sup> ~~dürften heute~~ <sup>heute auf Einzelheiten</sup> genügend bekannt sein, so dass ich ~~nicht~~ <sup>nicht</sup> ~~hier~~

<sup>(insbesondere auch infolge der späteren ~~bestätigten~~ <sup>experimentellen</sup> ~~Bestätigung~~ <sup>Bestätigung</sup> von Lord Rayleigh, Perrin, Lorenz, v. Smoluchowski)</sup> vollzucht eingehen brauche. <sup>an d. ist</sup> ~~hinreichend klar~~ <sup>da meine ursprünglich recht kurz gefasste Ableitung nicht von Lorenz u. Smol.</sup> <sup>in sehr ausführlicher und verständlicher Weise wiedergegeben worden ist, so dass</sup>

Nehmen wir an, das in Betracht kommende Volumen  $V$  bestehe aus einem Teil eines weit größeren Volumens, in welchem sich das Diffusionsgleichgewicht hergestellt hat, und berechnen wir mit  $v$  die Anzahl <sup>welche</sup> ~~der~~ (bei gleichmäßiger Verteilung auf das betrachtete Volumen  $V$  entfallen <sup>wäre</sup> ~~Teilchen~~), deren Konzentration in Frage kommt. Dann ist die Wahrscheinlichkeit, dass ~~n Teilchen~~ <sup>Wird nun die Anzahl der gerade in  $v$  befindlichen Teilchen systematisch - <sup>beobachtet</sup> ~~in~~ <sup>in gleichem Zeitintervall</sup>  $n$  notiert, so muss sich zeigen, dass die relative Häufigkeit jeder Zahl  $n$  gegeben ist durch die Formel:</sup>

$$W(n) = \frac{e^{-v} v^n}{n!}$$

(6)







In konsentrierten Lösungen ist ebenfalls die Diffusionsgleichung ( ) ungenügend in dem Sinne korrekter bedürftig, dass  $D$  nicht eine Konstante, sondern eine Funktion der Konzentration ist, und im Zusammenhang damit ~~ist~~ <sup>musste</sup> auch die Gleichung für Brown'sche Bewegung modifiziert werden, und was das Wichtigste ist, die Bewegungen der einzelnen Partikel wäre nicht mehr von einander unabhängig anzunehmen.



1	2	3	4	5	6	7	8	9	10	11	12	13	14	15	16	17	18	19	20	21	22	23	24	25	26	27	28	29	30	31	32	33	34	35	36	37	38	39	40	41	42	43	44	45	46	47	48	49	50	51	52	53	54	55	56	57	58	59	60	61	62	63	64	65	66	67	68	69	70	71	72	73	74	75	76	77	78	79	80	81	82	83	84	85	86	87	88	89	90	91	92	93	94	95	96	97	98	99	100
1	2	3	4	5	6	7	8	9	10	11	12	13	14	15	16	17	18	19	20	21	22	23	24	25	26	27	28	29	30	31	32	33	34	35	36	37	38	39	40	41	42	43	44	45	46	47	48	49	50	51	52	53	54	55	56	57	58	59	60	61	62	63	64	65	66	67	68	69	70	71	72	73	74	75	76	77	78	79	80	81	82	83	84	85	86	87	88	89	90	91	92	93	94	95	96	97	98	99	100

Handwritten text in German, mostly illegible due to fading and bleed-through. Visible fragments include:  
 "Handwritten text in German, mostly illegible due to fading and bleed-through."  
 "Handwritten text in German, mostly illegible due to fading and bleed-through."  
 "Handwritten text in German, mostly illegible due to fading and bleed-through."

Handwritten text in German, mostly illegible due to fading and bleed-through.

Handwritten text in German, mostly illegible due to fading and bleed-through.

Handwritten text in German, mostly illegible due to fading and bleed-through.

Handwritten text in German, mostly illegible due to fading and bleed-through.



Wenn wir uns den Mechanismus dieser Erscheinung vor Augen halten, so ist klar, dass die eigentliche Ursache der Veränderlichkeit der Kontraktions-schwankungen auf die Drosi'sche Bewegung beruht, und dass ~~keine~~ alle Umstände, welche die Drosi'sche Bewegung verlangsamen, wie Ermüddungszunahme, Temperaturabnahme, ebenso auch die Kontraktions <sup>ihre Schwingungsfrequenz</sup> herabsetzen müssen, wie







des Feststehens von Svedberg bemerkt wird.

Um nun zu zahlenmäßigen Beziehungen zu gelangen, wollen wir uns folgende Aufgabe stellen:

Das betrachtete Volumen  $v$  bilde einen Teil des im Vergleich dazu äußerst großen Volumens  $V$ , und zwar so dass ~~es~~ bei gleichförmiger Verteilung der in Betracht kommenden Substanz teilchen

[Koloidale oder Kolloidteilchen] die Anzahl  $v$  auf  $v$  entfallen wird. <sup>Falls sich ~~nicht~~  $n$  Teilchen</sup> ~~Man möge~~ <sup>damit</sup> ~~tatsächlich~~ <sup>W<sub>n</sub>(t) eine Funktion von  $t$  darstellt</sup> ~~das dass~~ <sup>man</sup> ~~im Zeitpunkt  $t$~~  <sup>die Anzahl jener Teilchen</sup> ~~etw. betrage?~~

Die Beantwortung dieser Frage stützt sich auf zwei Tatsachen: 1) dass die Bewegung der einzelnen Teilchen von einander unabhängig erfolgt 2) dass für jedes derselben alle Lagen im Raume  $v$  gleich wahrscheinlich sind. Man hat dann zuerst die Wahrscheinlichkeit  <sup>$P$</sup>  zu bestimmen, dass <sup>einzelnes</sup> irgendwo in  $v$  befindliches Teilchen nach Ablauf der Zeit  $t$  sich außerhalb jenes Raumes befindet. Ist diese bekannt, so gehen wir weiter:

Vermutlich ~~nicht~~ <sup>aber</sup> nicht nur ein einzelnes, sondern  $n$  Teilchen Anfangs in  $v$  befindlich, so beträgt die Wahrscheinlichkeit, dass irgendwelche  $i$  darunter ausgetreten, die übrigen  $(n-i)$  aber in  $v$  verblieben sein:

$$A_i = \binom{n}{i} P^i (1-P)^{n-i} \quad \text{--- (9)}$$

Falls man aber die anfängliche Zahl  $n$  unbestimmt lässt und ~~vermutet~~ <sup>W<sub>n</sub></sup> ~~statistisches Gleichgewicht~~ <sup>annimmt</sup> ~~aussetzt~~ die Wahrscheinlichkeit der verschiedenen Zahlen  $n$  gemäß der Formel (6) berücksichtigt, erhält man als <sup>allgemeine</sup> Wahrscheinlichkeit des Austritts von  $m$  Teilchen:

$$\bar{A}_m = \sum_{n=m}^{\infty} W(n) A_m = e^{-vP} \frac{(vP)^m}{m!} = E_m \quad \text{--- (10)}$$

~~also~~ dieselbe Größe <sup>nämlich</sup> auch die allgemeine Wahrscheinlichkeit  <sup>$E_m$</sup>  des Eintretens von  $m$  Teilchen



(3)  $\mu$  is a  $\mathbb{Q}$ -linear combination of the  $\mu_i$  with  $\mu_i \in \mathcal{M}_i$  and  $\mu_i \neq 0$  for at least one  $i$ .

Man hätte (E<sub>2</sub> ist) <sup>fast</sup> auch ~~noch~~ durch Analyse mit Th<sub>2</sub> erhalten können)

Anders als erhält man bei Fälschung des Sinterstein <sup>gemacht</sup> in der Integrität. Bausse imden man bildet

des durchschnittlich. weil die Testamente einander abwechseln wie die der antiken, nämlich

But

*2. Vincetoxicum*



bestimmen, da ~~aber~~ im stationären Zustand der Austritt und Eintritt gleichberechtigte Ereignisse sind. 60 (11)

Damit sind die Faktoren gegeben, aus denen sich die <sup>gesuchte</sup> Wk  $W_n(+k)$  zusammensetzt. Denn eine Vermehrung der ursprünglichen Teilchenzahl  $n$  auf  $(n+k)$  kann entweder dadurch zustande kommen, dass gar kein Teilchen austritt und  $k$  neue eintrifft,

oder dass

1	"	"	"	$k+1$	"	"
"	2	"	"	$k+2$	"	"
						n. s. w.

Somit ist:

$$W_n(+k) = \sum_{i=0}^{i=n} A_i E_{i+k} = \sum_{m=0}^{m=n} \binom{n}{m} (1-P)^{n-m} P^m \frac{(vP)^{m+k}}{(m+k)!} \quad (11)$$

und in analoger Weise ist die Wahrscheinlichkeit für eine Verminderung der ursprünglichen Anzahl  $n$  um  $k$  Einheiten:

$$W_n(-k) = \sum_{m=k}^{m=n} \binom{n}{m} (1-P)^{n-m} P^m \frac{(vP)^{m-k}}{(m-k)!} \quad (12)$$

Aus diesen komplexeren Formeln <sup>lassen sich mittels einfacher Summationen</sup> erhält man <sup>(mischverständlich)</sup> recht einfache Resultate für den durchschnittlichen Betrag der Änderung der Teilchenzahl, <sup>abstrakt</sup> welche in der Zeit  $t$  eintritt, wenn ~~die~~ die Anfangszahl  $n$  ~~gegeben~~ beträgt:

$$\bar{\Delta}_n = (v-n)P \quad (13)$$

sowie für das allgemeine Änderungsgesetz bei unbestimmter Anfangszahl:

$$\bar{\Delta} = 2vP \quad (14)$$

Um die Bedeutung dieser Formeln zu verdeutlichen, müssen wir noch zur Berechnung des Ausdruckes  $P$  zurückkehren, welcher dem vorher Gesagten zufolge die Wahrscheinlichkeit bedeutet, dass ein <sup>anfangs</sup> irgendwo innerhalb  $v$  befindliches Teilchen nach Ablauf des Intervalls  $t$  sich außerhalb  $v$  befindet. Man erhält somit  $P$  durch einfache Anwendung der Wahrscheinlichkeitsformel für die







(Verschiebungen, welche infolge der Drosselventil-Drosselung eintreten:

61 (12)

$$P = \frac{1}{[2VnDc]^3} \frac{1}{V} \int d\tau \int e^{-\frac{(x-X)^2 + (y-Y)^2 + (z-Z)^2}{4Dt}} dV = \frac{1}{(2VnDc)^3} \int d\tau \int e^{-\frac{r^2}{4Dt}} dV \quad (15)$$

wobei  $r$  den Abstand eines Punktes innerhalb  $v$  von einem Punkte innerhalb  $V$  des äußeren Raumes ( $V-v$ ) gleichen Punkte bedeutet und die erste Integration über den inneren, die zweite über den äußeren Raum zu erstrecken ist.

Ich habe die Rechnung für zwei Spezialfälle ausgeführt, nämlich den von Lindberg vorerwähnten Fall, wo es sich um eine dünne flacherolle Schicht innerhalb des eines (von künftigen Licht durchstrahlte)

geringen Flüssigkeitsvolumens handelte, sowie einer <sup>zweiten</sup> von Westgren ~~unterstützt~~ verwendete Anordnung, wo ~~es sich um~~ <sup>die Verhältnisse in</sup> einer ~~unendlich~~ <sup>zylindrischen</sup> Scheibe innerhalb zweier fester Wände Deckgläser beobachtet wurden.

Im ersten Fall gelten die Näherungsformeln: wobei:  $P = \frac{2}{\sqrt{\pi}} \int_0^\infty e^{-y^2} dy + \frac{1}{\sqrt{\pi}} [1 - e^{-\beta^2}]$  (16)

a) für kurze Zeiten  $t$ :

$$P = \frac{1}{\sqrt{\pi}} \left[ 1 - \frac{e^{-\beta^2}}{2\beta} + \dots \right]$$

b) für relativ lange Zeitintervalle  $t$ :

$$P = 1 - \frac{1}{\sqrt{\pi}} \left[ \beta - \frac{1}{2!} \frac{\beta^3}{3} + \frac{1}{3!} \frac{\beta^5}{5} - \dots \right]$$

wobei  $\beta$  ~~ist~~ ein mit der Dicke der Schicht  $h$  zusammenhängender Ausdruck ist:

$$\beta = \frac{h}{2\sqrt{Dc}}$$

Für den Fall eines zylindrischen Volumens ~~gibt~~ lässt sich  $P$  durch die Zylinderfunktionen mit imaginärem Argument:  $I_n(t) = i^{-n} J_n(i t)$

ausdrücken, und zwar gilt:  $P = e^{-\beta^2} [I_0(2\beta) + I_2(2\beta)]$  (17)



1881

$$\frac{A}{2012} = 0$$

Two other Ford cars appeared in Tolson's lot and I took an opportunity to

(22)  $\int_{\mathbb{R}^n} \delta(x) dx = 1$  : Transformationen mit Jacobi-Determinante

$$\left[ (n-1)I + (n-1)I \right] \frac{1}{n} = I \quad ; \text{ also we can write with } n$$



~~was sich für~~ wo  $\alpha$  mit dem Zylinder radius  $a$  ~~und~~ mittels der Relation

$$\text{zusammenhängt: } \alpha = \frac{a^2}{4Dt}$$

Dies lässt sich mittels der Reihenentwicklungen ausdrücken:

a) für große  $\alpha$  (kleine  $t$ ):

$$P = \frac{1}{\sqrt{\alpha\pi}} \left[ 1 - \frac{1}{16\alpha} - \dots \right]$$

b) für kleine  $\alpha$  (große  $t$ ):

$$P = 1 - \alpha + \alpha^2 - \frac{5}{6}\alpha^3 + \frac{7}{12}\alpha^4 - \dots$$

Nur als die Ausrechnung von  $P$  interessiert uns aber ~~hier~~ jetzt dessen eigentliche Bedeutung. Wenn man sich nämlich seine Definitionsformel (15) vergegenwärtigt, sieht man sofort, dass es <sup>sich</sup> auch ~~ist~~ auffassen lässt als derjenige Bruchteil einer anfänglich den Raum  $v$  gleichmäßig ausfüllenden Substanz, welcher in die Zeit  $t$  über <sup>den</sup> ~~die~~ Quersfläche  $A$  hinaus diffundieren wird, falls der Außenraum anfangs von jener Substanz völlig leer wäre.

Nun zur Formel ~~(13)~~ <sup>(13)</sup> zurückkehrend, sehen wir, dass die durchschnittliche Änderung der Teilchenzahl im Räume  $v$  <sup>sonst</sup> ~~bestimmt~~ in vollständiger Übereinstimmung mit der <sup>(makroskopischen)</sup> üblichen Diffusionstheorie erfolgt, welche eben jene Formel <sup>(15)</sup> ~~(13)~~ hierfür ergeben müsste. Das ist ein Resultat, auf welches wir uns später noch berufen werden.

Dagegen stellt die Formel ~~(14)~~ <sup>(14)</sup> gerade die Divergenz zwischen dem <sup>mikroskopischen</sup> wirklichen molekularen Verhalten und der makroskopischen, ~~bestimmten~~ mit Durchschnittswerten operierenden Betrachtungsweise in klares Licht. Ihr zufolge hängt also das durchschnittliche Quadrat der Diffusions ~~des~~ im Zeitraume  $t$  eintretenden <sup>welches man als allgemeinen Rand der Variabilität denken könnte</sup> Änderung der Teilchenzahl von zwei Faktoren ab, der normalmäßig auf das betreffende Volumen entfallenden Teilchenzahl  $v$







und dem ~~der~~ Diffusionsfaktor  $P$ , welcher außer von der Gestalt und Größe des Raumes  $V$ , vom Diffusionskoeffizienten  $D$ , insbesondere auch von der Länge des Zeitintervalls  $t$   <sup>sukzessive</sup>   ~~wirkt~~  wie Beobachtungen abhängt.

Im Grenzfall ~~unendlich kleinen Zeitintervalle  $t$  wird natürlich auch das Veränderlichkeits-~~

~~maß  $\bar{\Delta}^2$  gleich Null, während im entgegengesetzten Grenzfall  $t$  fürst langer Zeitintervalle~~

~~ist~~  $P$  gleich Eins, also  $\lim_{t \rightarrow \infty} \bar{\Delta}^2 = 2V$   ~~resultiert~~ . Letzteres ist auch von vornherein zu erwarten,

da die Zustände innerhalb langer Zeitintervalle von einander unabhängig werden,  ~~und~~  also einzeln nach <sup>(6)</sup> Markoff'scher des Zufalls gesetzes  ~~$\pm \frac{1}{2}$~~  berechnet werden können.

Für ~~die durchschnittliche~~  ~~$\bar{\Delta}^2$~~  Differenz je zweier aufeinanderfolgender Zahlen  $n_1, n_2$   ~~kann man~~   ~~folgendes Ergebnis erhalten~~   ~~es gilt also:~~

$$\overline{\Delta(n_1 - n_2)^2} = [(n_1 - v)^2 - 2(n_1 - v)(n_2 - v) + (n_2 - v)^2]$$

und durch Mittelbildung folgt laut (7)

$$\lim_{t \rightarrow \infty} \bar{\Delta}^2 = \overline{(n_1 - n_2)^2} = \overline{(n_1 - v)^2} + \overline{(n_2 - v)^2} = 2V$$

Im Allgemeinen besteht jedoch eine gewisse Wahrscheinlichkeit Nachwirkung des vorhergegangenen Zustands,  ~~d. h. es ist~~   <sup>wahrscheinlicher</sup>   ~~wahrscheinlicher~~   <sup>als der Mittelwert</sup>   ~~dass die nachfolgende Zahl sich nicht~~   <sup>weniger</sup>   ~~abhebt~~   <sup>als der Mittelwert</sup>   ~~von der vorhergehenden unterscheidet~~   <sup>und zwar in der Richtung</sup>   ~~(d. h. weniger, je kürzer~~   <sup>das betreffende Zeitintervall ist.</sup>  Im Grenzfall unendlich kleiner Zeitintervalle  $t$  sind natürlich auch das Veränderlichkeitsmaß  $\bar{\Delta}^2$  gleich Null.

Von nun diese Theorie an der von Lindberg angegebenen Zahlenreihe zu prüfen, habe ich eine Statistik der  <sup>Häufigkeit der Zahlen</sup>   ~~(500)~~   <sup>(500)</sup>   ~~Zahlen~~   <sup>(500)</sup>   ~~Gruppen~~   <sup>(500)</sup>   ~~(n, n)~~   <sup>(500)</sup>   ~~untersucht~~   <sup>(500)</sup>   ~~welche sich~~   <sup>(500)</sup>   ~~einer Zahlenreihe anfügen lässt.~~   <sup>(500)</sup>   ~~Diese~~   <sup>(500)</sup>   ~~Häufigkeiten je zweier aufeinanderfolgender Zahlen~~   <sup>(500)</sup>   ~~(komplett)~~







gilt die nachfolgende Zusammenstellung <sup>I</sup> an.

64 15

I									II								
$n =$	0	1	2	3	4	5	6	7	$m =$	0	1	2	3	4	5	6	7
$n=0$	45	35	19	7	5	-	-	-	0	35.3	39.7	22.3	8.3	2.4	0.5	0.1	
1	40	55	40	17	10	1	-	1	1	39.7	59.6	42.0	18.9	6.2	1.6	0.3	0.1
2	40	42	38	24	26	1	1	0	2	22.3	42.0	36.3	19.5	7.5	2.2	0.5	
3	60	23	22	13	5	-	-	-	3	8.3	18.9	19.5	12.5	5.6	1.9	0.5	
4	2	8	10	4	6	2	-	-	4	2.4	6.2	7.5	5.6	2.9	1.1	0.3	
5	-	1	2	2	-	-	-	-	5	0.5	1.6	2.2	1.9	1.1	0.5	0.2	
6	-	1	-	-	-	-	-	-	6	0.1	0.3	0.5	0.5	0.3	0.2		

Man lässt sich eine zweifache Kontrolle ausführen; einerseits lässt sich aus dem empirischen  $\bar{M} = 2.25$  und dem empirischen  $s = 1.55$  <sup>mit Hilfe (14)</sup> der Wert von  $P = 0.726$  <sup>mit Hilfe der Verteilungsfunktion für D</sup> ermitteln, während die theoretische Formel <sup>(unter Annahme der von Siegel angegebenen Dimensionen der ~~beobachteten~~ Kugeltellchen und des betrachteten Volumens ( $V = 2 \mu$ ))</sup> sowie der Intervall-Länge  $t = \frac{1}{59}$  Minute einen Wert  $P = 0.86$  ergeben wird, was in Anbetracht der nur bedäufgen <sup>Kennzeichen</sup> ~~Präzision~~ <sup>genauer</sup> Dimensionen gewiss als hinreichende Voraussetzung zu betrachten ist.

Andererseits lassen sich mit Hilfe des so ermittelten  $P$ -Wertes aus unseren Formeln (11) (12) (15) die <sup>theoretischen Verteilungen</sup> ~~relativen Häufigkeiten~~ <sup>H<sub>n(m)</sub></sup> der verschiedenen Zahlengruppen ermitteln, indem <sup>offenlegt:</sup> ~~die Wahrscheinlichkeit~~

$$H(n, m) = W(n) W_{n(m-n)} \quad \dots (18)$$

Die so theoretisch berechneten Werte ~~jetzt~~ sind in der Tabelle II verrechnet. Das allgemeine Bild stimmt also ganz vortrefflich überein, so gut als man es bei einer Wahrscheinlichkeitsgabe und einer so wenig zahlreichen Statistik nur erwarten kann.







~~Nun kann man mit dieser Formeln als~~ Ich habe übrigens auch noch weiter  
reichende Kontrollrechnungen angestellt, in dem ich beispielsweise jede Zahl mit der  
<sup>z. v. v. v. v. v.</sup> ~~verhältnissen~~ <sup>Vervielfachung</sup> Kombinierte, was einer Verdoppelung des Zeitintervalls  $t$  entspricht, ferner  
in dem ich die Veränderlichkeitsgrade für <sup>eine</sup> ~~je~~ gegebene Zahl  $n$  bestimmte u.s.w. — die  
Resultate, ~~auf welche ich nicht eingehe~~ mit denen detaillierter Auswertung <sup>ich</sup> sie nicht  
vermeiden möchte, waren ebenfalls durchaus befriedigend. Tabell für  $\Delta v$

Die Bedeutung dieser Rechnungen liegt nun besonders darin, dass sie den Zusammenhang  
zwischen Brown'scher Bewegung, Diffusion, und den Konzentrationsänderungen klar legen.

Nun könnte demzufolge aus Beobachtungen, welche nach der Svedberg'schen Methode  
<sup>und war am besten nach</sup> ~~— nicht leicht besser in der (unlängst) von~~ <sup>so das Präparat welche Dufloren eingeleitet betrachtet wird</sup> Wert gem. angewandten Röntgen/Kontroll angestellt  
werden, der Diffusionsfaktor  $P$  und daraus der Diffusionskoeffizient  $D$  bestimmen,  
welcher gleichzeitig für die Brown'sche Bewegung maßgebend ist. Und das ist wohl eine  
<sup>mit präziser</sup> ~~sehr~~ einfachere Methode als die unmittelbare Beobachtung der Brown'schen Bewegung  
der einzelnen Teilchen.

Wichtiger scheint mir aber der Umstand, dass dies das erste <sup>experimentell auf den Übergang</sup> ~~Beispiel~~ einer  
Erscheinung ist, an welcher sich der Übergang zwischen <sup>mikroskopisch</sup> ~~inwieweit~~ <sup>Stadium</sup> ~~feststellen~~ (und dem mikroskopischen  
Schwankungsercheinungen <sup>in allen Details</sup>, sowohl theoretisch wie experimentell) verfolgen lässt.

Ich hatte zwar an dieser Stelle vor drei Jahren ein anderes Beispiel dieser Art gegeben, nämlich  
die Brown'sche Bewegung eines Teilchens, das von einer elastischen Kraft beeinflusst wird, aber  
jenes hatte einstweilen nur eine kleine Bedeutung, da das bezügliche <sup>Vermutlich</sup> ~~Beobachtungen~~ noch nicht  
vorliegen, während <sup>so</sup> ~~hier~~ <sup>man</sup> ~~gerade~~ <sup>die</sup> ~~als~~ <sup>das</sup> ~~Typus~~ eines unverstellten Vorganges geltende Diffusion  
~~und nun direkt angestrebte Beobachtungen~~ handelt.



der in der

[illegible]

*Almond*



Umkehrbarkeit d. Diffusion, diskontinuierl. Prozeß

66 [77]

Unsere Untersuchung gibt uns <sup>sonst</sup> auch die Mittel an die Hand, die Frage nach der Umkehrbarkeit sogenannter irreversibler Prozesse, oder was dasselbe ist, nach den Gültigkeitsgrenzen des II Hauptsatzes, welche damals in allgemeiner Form behandelt wurde, wenigstens in ~~einigen~~ <sup>diesem</sup> Spezialfälle ganz exakt zu lösen. ~~und gleichzeitig~~ <sup>und</sup> ~~gibt~~ <sup>angewandte</sup> ~~es~~ <sup>Seiten</sup> ~~gibt~~ <sup>Ressourcen</sup> ~~alle~~ <sup>kontrolliert</sup> ~~Einzelheiten~~ <sup>wird</sup> ~~noch~~ <sup>kontrolliert</sup> ~~explizit~~ <sup>lassen</sup> ~~ausführbar~~

Das Boltzmann'sche Grundprinzip der Erklärung der Irreversibilität <sup>ist</sup> ~~ist~~ <sup>schon</sup> ~~ist~~ <sup>schon</sup> durch die Tabelle I oder

nach besser II klar demonstriert.

Wir sehen, dass im ~~stetig~~ <sup>Laufe</sup> genügend langer Zeiten jeder Zahlenwechsel ( $n, m$ ) ebenso häufig vorkommt, wie der umgekehrte Zahlenwechsel ( $m, n$ ) — wie auch aus der betreffenden Formeln nachzuweisen ist — in Übereinstimmung mit der Forderung von Loschmidt erhalten. Forderung der prinzipiellen Umkehrbarkeit aller molekularen Vorgänge.

Andererseits sieht man aber auch, dass nach einer abnorm großen ~~Zeit~~ <sup>Anfangszahl</sup> von 5, ~~oder~~ <sup>oder</sup> 6 im nächsten Zeitintervall ~~fast sicher~~ <sup>höchst</sup> ~~höchst~~ <sup>überwiegend</sup> eine erheblich kleinere Zahl auftritt, dass also bei hoher Anfangskonzentration unversichtlich ein Ausgleich durch Diffusion zu erwarten ist. <sup>V.</sup> Allerdings wird der abnormale Anfangszustand im Laufe der Zeit infolge der zufälligen Schwankungen wieder einmal erreicht werden, aber bei größerer Abnormalität des Anfangszustands mag die Wiederkehrzeit so lang sein, dass die Wiederkehr tatsächlich praktisch nicht beobachtbar werden dürfte, so dass der Vorgang ~~schon~~ <sup>schon</sup> ~~irreversibel~~ <sup>irreversibel</sup> zu ~~erscheint~~ <sup>erscheint</sup>.

Um die Sache quantitativ näher zu untersuchen, wollen wir den Begriff der <sup>(durchschnittlichen)</sup> ~~Wiederkehrzeit~~ <sup>Wiederkehrzeit</sup> näher präzisieren. Fassen wir nämlich einen bestimmten Wert  $n$  der Teilchenzahl ins Auge, ~~so~~ <sup>so</sup> kann es vorkommen, dass dieser Wert einmal auftritt und <sup>erfolgt</sup> ~~von~~ <sup>von</sup> einem anderen Wert  $m$  gefolgt wird, oder die Zahl  $n$  kann zweimal hintereinander auftreten, dann einen anderen Wert  $l$  oder



11

Die erste Voraussetzung ist, dass die Funktion  $f(x)$  in der Umgebung von  $x_0$  stetig ist.

Die zweite Voraussetzung ist, dass die Funktion  $f(x)$  in der Umgebung von  $x_0$  beschränkt ist.

Die dritte Voraussetzung ist, dass die Funktion  $f(x)$  in der Umgebung von  $x_0$  nicht konstant ist.

Die vierte Voraussetzung ist, dass die Funktion  $f(x)$  in der Umgebung von  $x_0$  nicht linear ist.

Die fünfte Voraussetzung ist, dass die Funktion  $f(x)$  in der Umgebung von  $x_0$  nicht quadratisch ist.

Die sechste Voraussetzung ist, dass die Funktion  $f(x)$  in der Umgebung von  $x_0$  nicht kubisch ist.

Die siebte Voraussetzung ist, dass die Funktion  $f(x)$  in der Umgebung von  $x_0$  nicht quartisch ist.

Die achte Voraussetzung ist, dass die Funktion  $f(x)$  in der Umgebung von  $x_0$  nicht quintisch ist.

Die neunte Voraussetzung ist, dass die Funktion  $f(x)$  in der Umgebung von  $x_0$  nicht sextisch ist.

Die zehnte Voraussetzung ist, dass die Funktion  $f(x)$  in der Umgebung von  $x_0$  nicht septisch ist.

Die elfte Voraussetzung ist, dass die Funktion  $f(x)$  in der Umgebung von  $x_0$  nicht oktavisch ist.

Die zwölfte Voraussetzung ist, dass die Funktion  $f(x)$  in der Umgebung von  $x_0$  nicht nonisch ist.

Die dreizehnte Voraussetzung ist, dass die Funktion  $f(x)$  in der Umgebung von  $x_0$  nicht dekaisch ist.

Die vierzehnte Voraussetzung ist, dass die Funktion  $f(x)$  in der Umgebung von  $x_0$  nicht hendekisch ist.

Die fünfzehnte Voraussetzung ist, dass die Funktion  $f(x)$  in der Umgebung von  $x_0$  nicht duodezisch ist.

Die sechzehnte Voraussetzung ist, dass die Funktion  $f(x)$  in der Umgebung von  $x_0$  nicht triakontisch ist.

Die siebenzehnte Voraussetzung ist, dass die Funktion  $f(x)$  in der Umgebung von  $x_0$  nicht sexagesisch ist.

Die achtzehnte Voraussetzung ist, dass die Funktion  $f(x)$  in der Umgebung von  $x_0$  nicht centesimalisch ist.

Die neunzehnte Voraussetzung ist, dass die Funktion  $f(x)$  in der Umgebung von  $x_0$  nicht vigesimalisch ist.

Die zwanzigste Voraussetzung ist, dass die Funktion  $f(x)$  in der Umgebung von  $x_0$  nicht quinquagesisch ist.

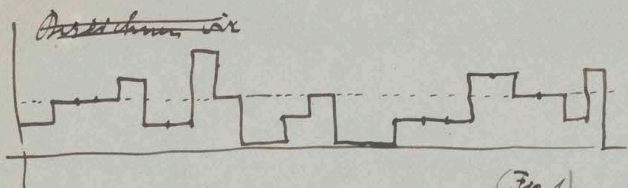
Die einundzwanzigste Voraussetzung ist, dass die Funktion  $f(x)$  in der Umgebung von  $x_0$  nicht septuagesisch ist.

Die zweiundzwanzigste Voraussetzung ist, dass die Funktion  $f(x)$  in der Umgebung von  $x_0$  nicht octogesimalisch ist.

Die dreiundzwanzigste Voraussetzung ist, dass die Funktion  $f(x)$  in der Umgebung von  $x_0$  nicht nonagesisch ist.

Die vierundzwanzigste Voraussetzung ist, dass die Funktion  $f(x)$  in der Umgebung von  $x_0$  nicht centesimalisch ist.





(Fig. 1)

Den Zustand  $n$  wir nun mit  $N_k$  die Anzahl Fälle, wo der  $n$ -Zustand <sup>nicht</sup> gerade in  $k$  aufeinanderfolgenden in  $(k-1)$  aufeinanderfolgenden Intervallen wiederholt, ~~se~~ und andererseits mit  $M_k$  die Anzahl der Fälle, welche durch ~~kurze~~  $N$ -Wiederholungen der Zahl  $n$  in  $k$  aufeinanderfolgenden Intervallen charakterisiert sind. Dann lassen sich die Wahrscheinlichkeiten  $W(n)$ ,  $W_n(0)$ , infolge ihrer Bedeutung als ~~Häufigkeitswerte~~ relative Häufigkeitswerte, ~~ausdrücken~~ ausdrücken als:

$$W(n) = \frac{N_1 + 2N_2 + 3N_3 + \dots}{N_1 + 2N_2 + 3N_3 + \dots + M_1 + 2M_2 + 3M_3 + \dots} = \frac{\sum k N_k}{\sum k(N_k + M_k)} \quad (19)$$

$$W_n(0) = \frac{N_1 + 2N_2 + 3N_3 + \dots}{N_1 + 2N_2 + 3N_3 + \dots} = 1 - \frac{\sum M_k}{\sum k N_k} \quad (20)$$

Nun wollen wir als durchschnittliche ~~W~~ Dauer  $\Theta_n$  des  $n$ -Zustandes ~~die Zeit bezeichnen~~, Durchschnittswert der Zeiten bezeichnen, während welcher der  $n$ -Zustand andauert:

$$\Theta_n = \tau \frac{\sum k N_k}{\sum N_k} \quad (21)$$

und als durchschnittliche Wiederkehrzeit die Zeitdauer, welche durchschnittlich vom Aufhören des  $n$ -Zustandes bis zu seinem nächsten Wiedereintritt verfließt:

$$\Theta_n = \tau \frac{\sum k M_k}{\sum M_k} \quad (22)$$

wobei  $\tau$  die Dauer eines Intervalls bedeutet.

Da nun ~~ist~~ in langen Zeiträumen — welche hier vorausgesetzt sind — jede Zahl sehr häufig





After this we can see that the function is not continuous at the points where the steps occur. This is because the function has a jump discontinuity at these points. The function is continuous on the intervals between the steps, but it is not continuous at the points where the steps occur. This is because the function has a jump discontinuity at these points. The function is continuous on the intervals between the steps, but it is not continuous at the points where the steps occur.

$$(19) \quad \frac{f(x) - f(x_0)}{x - x_0} = \frac{f(x) - f(x_0)}{x - x_0} = \frac{f(x) - f(x_0)}{x - x_0} = \frac{f(x) - f(x_0)}{x - x_0}$$

$$(20) \quad \frac{f(x) - f(x_0)}{x - x_0} = \frac{f(x) - f(x_0)}{x - x_0} = \frac{f(x) - f(x_0)}{x - x_0} = \frac{f(x) - f(x_0)}{x - x_0}$$

When we take the limit as  $x$  approaches  $x_0$ , we find that the limit exists and is equal to the derivative of the function at  $x_0$ . This is because the function is continuous at  $x_0$  and the limit of the difference quotient exists. This is because the function is continuous at  $x_0$  and the limit of the difference quotient exists.

$$(21) \quad \frac{f(x) - f(x_0)}{x - x_0} = \frac{f(x) - f(x_0)}{x - x_0} = \frac{f(x) - f(x_0)}{x - x_0} = \frac{f(x) - f(x_0)}{x - x_0}$$

When we take the limit as  $x$  approaches  $x_0$ , we find that the limit exists and is equal to the derivative of the function at  $x_0$ . This is because the function is continuous at  $x_0$  and the limit of the difference quotient exists. This is because the function is continuous at  $x_0$  and the limit of the difference quotient exists.

$$(22) \quad \frac{f(x) - f(x_0)}{x - x_0} = \frac{f(x) - f(x_0)}{x - x_0} = \frac{f(x) - f(x_0)}{x - x_0} = \frac{f(x) - f(x_0)}{x - x_0}$$

When we take the limit as  $x$  approaches  $x_0$ , we find that the limit exists and is equal to the derivative of the function at  $x_0$ . This is because the function is continuous at  $x_0$  and the limit of the difference quotient exists. This is because the function is continuous at  $x_0$  and the limit of the difference quotient exists.



erscheinen wie verschwinden muss, ist jelt offenbar

$$\sum I_k = \sum M_k$$

und damit erhält man <sup>aus (20)</sup> (für die durchschnittliche Dauer des  $n$  Zustandes:

$$T_n = \frac{\tau}{1 - W_n(0)} \quad (23)$$

und für die durchschnittliche Wiederkehrzeit: <sup>aus (19)</sup>

$$\Theta_n = \frac{\tau}{1 - W_n(0)} \cdot \frac{1 - W_n}{W_n} \quad (24)$$

Eine Prüfung dieser Berechnungen an der Sundby'schen Zahlenreihe gibt folgende

Resultate:

$n$	$T_n$ ber.	$T_n$ emp.	$\Theta_n$ ber.	$\Theta_n$ emp.
0	1.47	1.66	5.54	4.48
1	1.55	1.50	3.16	3.09
2	1.38	1.37	4.05	3.98
3	1.23	1.25	8.09	7.13
4	1.12	1.23	20.9	16.0

(Zeit dauern als Bruchteil von Intervalllänge  $\tau$  ausgedrückt)

Die Übereinstimmung ist im Allgemeinen befriedigend, insbesondere wenn man berücksichtigt, dass zufällige Fehler hier, namentlich bei den größeren Zahlen, einen erheblichen Einfluss ausüben, und dass auch die Tatsache, dass nur eine begrenzte Zahlenreihe zur Verfügung steht, eine gewisse Fehlerquelle bildet.

An die Formel (24) lassen sich nun weitere interessante Folgerungen knüpfen.

Handelt es sich um <sup>große</sup> Zahlen  $n$ , so ist sowohl  $W_n$  wie auch  $W_n(0)$  relativ klein und es gilt angenähert:

$$\Theta_n = \frac{\tau}{W_n} = \tau \cdot \frac{e^{\mu n}}{\mu^n} \quad (25)$$



Maximum der Verdampfung muss mit  $T_{\text{max}}$  übereinstimmen

$$\Delta H_v = \Delta H_f$$

aus dem man (für die Verdampfungswärme)  $H_v$  erhält:

$$T_{\text{max}} = \frac{H_v}{H_v - T_{\text{max}}}$$

und für die Verdampfungswärme  $H_v$  erhält man:

$$H_v = \frac{T_{\text{max}} - T_{\text{min}}}{\frac{1}{T_{\text{min}}} - \frac{1}{T_{\text{max}}}}$$

Die Verdampfungswärme  $H_v$  ist eine Funktion der Temperatur  $T$ .

Tab. 1

$T$	$T_{\text{min}}$	$T_{\text{max}}$	$H_v$	$H_f$
0	0	100	2450	2450
1	1	101	2440	2440
2	2	102	2430	2430
3	3	103	2420	2420
4	4	104	2410	2410

Die Verdampfungswärme  $H_v$  ist eine Funktion der Temperatur  $T$ .  
 Das heißt, dass  $H_v$  mit  $T$  variiert. Man erhält also  $H_v$  aus  $T$ .  
 und dann aus  $T_{\text{max}}$ , dass man die Verdampfungswärme  $H_v$  erhält.

Die Verdampfungswärme  $H_v$  ist eine Funktion der Temperatur  $T$ .  
 Man erhält also  $H_v$  aus  $T$ . Man erhält also  $H_v$  aus  $T$ .

$$H_v = \frac{T_{\text{max}} - T_{\text{min}}}{\frac{1}{T_{\text{min}}} - \frac{1}{T_{\text{max}}}}$$



Ein Zahlenbeispiel möge ~~das~~ zeigen, wie außerordentlich rasch diese Sicht anwächst, falls  $n$  zunimmt. Für die noch von <sup>inm</sup>Lydburg beobachtete Zahl 7 wird eine Wiederkehrzeit von 1105 Intervalllängen = ~~1105~~ 27 Minuten folgen, dagegen 283 für die Zahl 17 von ~~1105~~  $\Theta = 10^{13} \tau = 500\,000$  Jahre. ~~Hi~~<sup>7/26</sup> ~~er~~ das Lydburg von einem solchen auf irgend eine Weise künstlich hergestellten-Konzentrations-~~zustand~~<sup>verhältni</sup> als Anfangszustand ausgegangen, so hätte er gewiss nie die ~~Wiederkehr~~ desselben beobachten können.

(automatische) ————— Umkehr der Differenz, kontinuierl. Beobachtung  
 Nun erfordert ein Umstand noch eine weitere Untersuchung. Unsere Formeln gelten nämlich nur unter Voraussetzung einer intermittierenden Beobachtung, in gleich langen Zeit-Intervallen. Wie wäre die ganze Schlussweise abzuändern, wenn es sich um eine kontinuierliche Beobachtung handeln würde?

Der nahe liegende Gedanke, in unseren Formeln <sup>(23, 24)</sup> ~~den~~ zur Grenze  $\lim_{\tau \rightarrow 0}$  überzugehen <sup>scheint auf den ersten Blick</sup> sowohl für die Dauer als für die Wiederkehrzeit den Wert

$$\lim_{\tau \rightarrow 0} \Theta = \lim_{\tau \rightarrow 0} T = 0$$

zu geben, da für genügend kleine Zeiten

$$\lim_{\tau \rightarrow 0} W_n(0) = 1 - (n + \nu)P \quad (26)$$

gilt, und  $P$  gemäß (16) ~~für die~~ ~~Form~~ die Form annimmt:

$$\lim P = \frac{1}{\rho \sqrt{\pi}} = \frac{2}{h} \sqrt{\frac{D\tau}{\pi}} \quad (27)$$

Offenbar hängt dies damit zusammen, dass die Brown'sche Bewegung im Sinne unserer Formel (1) ~~lang~~<sup>in</sup> einer solchen Weise erfolgt, ~~das~~<sup>also</sup> in unendlich ~~kleinen~~<sup>verwickelten</sup> Zickzack-  
 weg mit unendlich großer Geschwindigkeit zurückgelegt würde. Der Grenzwert der mittleren <sup>Verschiebungs-</sup>  
~~Geschwindigkeit~~  $\frac{\sqrt{\Delta x^2}}{\tau} = \sqrt{\frac{2D}{\tau}}$  konvergiert offenbar gegen  $\infty$  für  $\tau \rightarrow 0$ .











The first part of the paper is devoted to a discussion of the general principles of the theory of the  $\mathcal{H}$ -calculus. In the second part, we shall give a detailed account of the construction of the  $\mathcal{H}$ -calculus for the case of a general  $\mathcal{H}$ -space.



In the third part, we shall give a detailed account of the construction of the  $\mathcal{H}$ -calculus for the case of a general  $\mathcal{H}$ -space. In the fourth part, we shall give a detailed account of the construction of the  $\mathcal{H}$ -calculus for the case of a general  $\mathcal{H}$ -space.

The fifth part of the paper is devoted to a discussion of the general principles of the theory of the  $\mathcal{H}$ -calculus. In the sixth part, we shall give a detailed account of the construction of the  $\mathcal{H}$ -calculus for the case of a general  $\mathcal{H}$ -space.



in der Zeit  $t$  ( $N$  ~~Stöße~~ <sup>Stöße pro cm<sup>2</sup> und Sekunde</sup>)  
 Stößen angibt, die ~~pro Sekunde~~ von einem ~~Stoß~~ <sup>Stoß</sup> gegen ~~die~~ <sup>die</sup> Flächen eintritt ~~der~~ einer  
 Wand ausgeht werden:

$$\frac{NC}{\sqrt{6n}} t$$

Da  $P$  die Wahrscheinlichkeit bedeutet, dass ein anfangs irgendwo in  $V$  befindliches ~~Teilchen~~ <sup>Teilchen</sup>  
 in der Zeit  $t$  von der Grenzfläche tritt, ist es offenbar gleich der Anzahl Stöße, welche jenes  
 durchschnittlich in der <sup>nicht kleinen</sup> Zeit  $t$  ausüben würde, also gilt  $N = \frac{1}{t}$ , und mit Rücksicht auf  
 die Größe der Grenzfläche  $F$ , für Zertrennende Körper sind als der Grenzwert (28):

$$\lim_{t \rightarrow 0} P = \frac{F}{v} \frac{C t}{\sqrt{6n}}$$

(30)

Wird nun dieser Ausdruck in unsere Formel (24, 26) eingesetzt, so erhält man  
 sowohl für die ~~mittlere~~ durchschnittliche Dauer, wie auch für die Wiederkehrzeit  
 auch bei kontinuierlicher Beobachtung,  
 endliche Grenzwerte:

$$T = \frac{v}{F} \frac{\sqrt{6n}}{C(n+v)}$$

(31)

$$\Theta = T \cdot \frac{1 - W(n)}{W(n)}$$

(32)

Darnach berechnet man die Wiederkehrzeit der Zahl  $\Theta$  ~~bei~~ <sup>bei</sup> kontinuierlicher  
 Beobachtung  $\Theta = 161$  Tage; aber dabei wäre die durchschnittliche Dauer einer solchen  
 Wiederkehr nur  $T = 9 \cdot 10^{-7}$  Sekunden, also ~~etwa~~ <sup>hätte</sup> ein experimentierender Physiker gewiss  
 auch einen solchen Zustand für keine Selbstenheit, zirk von der Reversibilität solcher Zustände  
 zu überzeugen.

Noch viel auffälliger tritt die Grenze, welche die molekularen Schwankungserscheinungen  
 von dem Bereich der ~~Wirkung~~ <sup>Wirkung</sup> scheinbaren Irreversibilität trennt, in dem Falle hervor, wenn  
 die ~~mittlere Teilchenzahl~~ <sup>die Teilchenzahl</sup> ~~genügend~~ <sup>genügend</sup> groß ist. Dann löst sich die Größe  $W(n)$  in der



Ich habe die Ehre, Ihnen hiermit zu  
 erklären, dass ich die Ehre habe, Sie  
 zu mir zu laden, um an der  
 Sitzung des Ausschusses am  
 1. März 1881 teilzunehmen.



bekannter Weise approximieren und man erhält für die Wiederkkehrzeit einer gewissen

$$\Theta = \frac{v \sqrt{6\pi} \cdot 2\pi r^2}{F C (1+\nu)} e^{\frac{v^2}{2}} = \frac{v \pi}{F C} \sqrt{\frac{3}{\nu}} e^{\frac{v^2}{2}}$$

$$\text{Verdrängung } \delta = \frac{h-v}{\nu}.$$

(33)

So auf Grund dieser Formeln habe ich eine <sup>exakte Lösung eines</sup> ~~Diffusionsproblems~~ schon öfter aufgeworfen, <sup>zugeben versucht</sup> welches ich bereits früher in etwas anderer, mehr approximativer Weise behandelt hatte, ~~eine~~ <sup>ein</sup> ~~einzelne~~ betreffend die Möglichkeit einer automatischen Entmischung ~~eines~~ <sup>eines</sup> ~~Sauerstoff-Gemisches~~ der Luft in ihre Bestandteile. Wenn ~~man~~ <sup>man</sup> das in einer Kugelfläche vom Radius  $a$  enthaltene Luftgemisch in Betracht zieht, ~~und~~ <sup>und</sup> die Zeit berechnet, wann ~~ein~~ <sup>die</sup> der Sauerstoff eine um 1% höhere Konzentration annimmt als die normale, so erhält man folgendes Bild:

$a =$	1	$3 \cdot 10^{-5}$	$2.5 \cdot 10^{-5}$	$1 \cdot 10^{-5}$ cm.
$\Theta =$	$10^{14}$	$10^6$	1	$10^{-11}$ Sek.
$T =$				

für ein Schwerkraft  $\delta = \frac{1}{100}$ 

Für Volumina, welche mit bloßem Auge beobachtbar sind resultieren also (derart kolossale) Wiederkkehrzeiten, dass man die Diffusion für praktisch irreversibel ansehen muss, während andererseits in den an der Grenze mikroskopischer Sichtbarkeit stehenden Räumen die Konzentrations-schwankungen so groß sind und so rasch erfolgen, dass da von einer Irreversibilität keine Rede sein kann. <sup>Es verliert da die Diffusion vollständig den Charakter, den wir mit dieser Worte verbinden,</sup> ~~obwohl auch hier, wie wir nachgelesen haben, die durchschnittlichen Konzentrations-~~ <sup>Die Begriffe der Diffusion in der üblichen Bedeutung des Wortes verliert da seine Sinnhaftigkeit</sup> ~~änderungen von einem~~ <sup>— voraus wie in der Folge im Falle der Diffusion eine Gleichheit der Diffusionskoeffizienten voraus</sup> phys. Zustand, vollständig in Übereinstimmung mit der mathematischen Diffusionstheorie erfolgen.

Hiermit sind wir wenigstens im Bereich der Diffusionserscheinungen zu einer vollständigen Aufklärung der ~~Widersprüche~~ <sup>Widersprüche</sup> für unüberbrückbar angesehenen Widersprüche zwischen der Thermodynamik und der Molekularmechanik gelangt. Wir sehen, ~~wie~~ <sup>klar</sup> wie die <sup>Kleinste</sup> ~~auf der Irreversibilitätsbegriff gestützte~~ Diffusionstheorie durch die Theorie der Phasen



$$\frac{1}{2} = \frac{1}{2} \cdot \frac{1}{1} = \frac{1}{2} \cdot \frac{1}{1} = \frac{1}{2}$$

$$\frac{1}{2} = \frac{1}{2} \cdot \frac{1}{1} = \frac{1}{2} \cdot \frac{1}{1} = \frac{1}{2}$$

$$\frac{1}{2} = \frac{1}{2} \cdot \frac{1}{1} = \frac{1}{2} \cdot \frac{1}{1} = \frac{1}{2}$$

The first part of the paper is devoted to a general discussion of the problem. It is shown that the problem is well-posed and that the solution is unique. The second part of the paper is devoted to the construction of the solution. It is shown that the solution can be constructed by the method of successive approximations. The third part of the paper is devoted to the numerical solution of the problem. It is shown that the numerical solution can be obtained by the method of finite differences.

1	2	3	4	5
10	10	10	10	10
10	10	10	10	10
10	10	10	10	10
10	10	10	10	10

The fourth part of the paper is devoted to the numerical solution of the problem. It is shown that the numerical solution can be obtained by the method of finite differences. The fifth part of the paper is devoted to the numerical solution of the problem. It is shown that the numerical solution can be obtained by the method of finite differences. The sixth part of the paper is devoted to the numerical solution of the problem. It is shown that the numerical solution can be obtained by the method of finite differences.



Divergenzen und der Konvergenz-Schwankungen zu ergänzen ist, <sup>indem</sup> ~~und~~ die letztere (24)  
~~ganz~~ die Divergenzen zwischen dem Verhalten eines individuellen Systems und dem  
 durchschnittlichen Verhalten einer Schaar gleichartiger Systeme ins rechte Licht setzt, <sup>Ergebnisse,</sup> welche  
 die Physik des <sup>in</sup> (mikroskopische) Kleinen eine so große Rolle spielen.

<sup>Verallgemeinerung</sup>  
 Es wäre recht verlockend, ~~ganz~~ <sup>als irreführend angesehen</sup> für diese Betrachtungen auf andere Erscheinungen  
 zu verallgemeinern. Beispielsweise lässt sich die Formel für das Virialtheoremsquadrat (14)  
 auch in der Form schreiben:

$$\bar{\epsilon}^2 = 2 \bar{\epsilon}^2 P$$

wenn man berücksichtigt, dass  $v = \bar{\epsilon}^2$  <sup>laut (7)</sup> gleich dem durchschnittlichen Schwan-  
 gungsquadrat ist. Nun aber <sup>liegt es nahe</sup> ist es sehr naheliegend, diese Überlegung auf die Wärmeleitung  
 zu übertragen. Aus <sup>einem</sup> ~~dem~~ allgemeinen Theorem der statistischen Mechanik kann man ~~noch~~ (nach  
 Gibbs, Einstein, Zermelo u. a.) ableiten, dass ein Körper von der Wärmekapazität  $C$ , der sich  
 im ~~Wärme~~ <sup>Wärme</sup> Gleichgewicht mit seiner Umgebung befindet, Energieschwankungen im  
 durchschnittl. Betrage von  $\bar{\epsilon}^2 = C \frac{H T^2}{N}$

erfährt. Für die mittlere Veränderlichkeit <sup>genauer (nicht)</sup> dieser Schwankungen dürfte somit obige Gleichung  
 gelten, wenn man einfach in den Ausdruck <sup>(15)</sup> für  $P$  den Diffusionskoeffizienten  $D$  durch den  
 Wärmeleitungskoeffizienten  $\kappa$  ersetzt.

<sup>Nach Vorbehalt müsste Vorzeichen des Nenners ausweichen</sup>  
<sup>Ich vermutete</sup> (dass jene Gleichung ~~sehr~~ ganz allgemein  
 für ein jedes dissipatives System gilt, falls nur Schwankungen in der Nähe des Gleichgewichts-  
 zustands <sup>andere</sup> in Betracht gezogen werden und falls  $P$  <sup>unverändert</sup> ~~unverändert~~ <sup>als ganz</sup> den Druckteil bedeutet, von  
 welchem die in Betracht gezogenen <sup>Parameter</sup> ~~Größen~~ <sup>Veränderungen</sup> im Intervall  $t$  <sup>unter</sup> ~~unter~~ <sup>der</sup> ~~der~~ <sup>Veränderung</sup> ~~der~~ <sup>der</sup> Schwankungen  
 durchschnittlich gegen die Gleichgewichtslage hin sich nähern wird. \* vgl. Wien, Thermodynamik

Ebenso könnte man ganz allgemein den Begriff der Wiederkehrzeit zur Definition der



$$(x-x_0)^2 = x^2 + x_0^2 - 2x_0x$$

$$= \frac{D}{\rho} [1 - e^{-2\rho t}] + x_0^2 [1 + e^{-2\rho t}] - 2x_0 e^{-\rho t}$$

$$= \frac{D}{\rho} [1 - e^{-2\rho t}] + x_0^2 [1 - e^{-\rho t}]^2$$

$$\bar{x}_0 = \frac{D}{\rho}$$

$$\overline{(x-x_0)^2} = \frac{D}{\rho} \{ [1 - e^{-2\rho t}] + (1 - e^{-\rho t})^2 \} = \frac{2x_0^2 - 4(x_0)^2}{2} = 2[x_0^2 - x_0\bar{x}]$$

$$= 2\frac{D}{\rho} [1 - e^{-\rho t}]$$

$$= 2[x_0^2 - x_0\bar{x}]$$

$$\bar{x} - x_0 = x_0 [1 - e^{-\rho t}]$$

$$\bar{x} - x_0 = x_0 [1 - e^{-\rho t}]$$

$$\frac{\bar{x}^2}{x^2} = 2 \frac{\bar{x}}{x}$$



Silberfärbungen des thermodynamischen Dreiecksbegriffs benutzt, indem man

segt: Irreversibel } erscheint ein Vorgang, wenn der Anfangszustand eines im Vergleich zur  
Reversibel }

Probierungs dauer { lange } Wirkkeitszeit besitzt. Für praktische Rechnungen <sup>eingesetzt daraus</sup> ~~aus~~

natürlich kein besonderer Nutzen, da man die Weidenkreuzzeit ~~in den für den dageliegten Fällen~~

nicht allgemein zu berechnen versteht, aber <sup>nilleist ist</sup> auch die rein begriffliche Klarstellung dieser

Verhältnisse ~~scheint mir~~ von jedem <sup>Vorteil</sup> Nutzen ~~zu sein.~~

Mit diesen Bemerkungen, welche schon über den eigentlichen Rahmen dieses Vortrags hinausgehen, möchte ich die allgemeinen Erwägungen über das Verhältnis der Diffusionstheorien beschließen, und nächstes Mal in der Besprechung einiger

vorlegung einiger theoretischen Entwicklungen übergehen, welche mit den Experimenten über Diffusion kolloider Teilchen in  $H_2O$  unmittelbar zusammenhang stehen.



Die Aufgabe des Staatsorgans ist es, die Interessen der Bürger zu wahren.

Es ist die Aufgabe des Staatsorgans, die Interessen der Bürger zu wahren.

Die Aufgabe des Staatsorgans ist es, die Interessen der Bürger zu wahren.

Die Aufgabe des Staatsorgans ist es, die Interessen der Bürger zu wahren.

Die Aufgabe des Staatsorgans ist es, die Interessen der Bürger zu wahren.

Die Aufgabe des Staatsorgans ist es, die Interessen der Bürger zu wahren.

Die Aufgabe des Staatsorgans ist es, die Interessen der Bürger zu wahren.

Die Aufgabe des Staatsorgans ist es, die Interessen der Bürger zu wahren.

Die Aufgabe des Staatsorgans ist es, die Interessen der Bürger zu wahren.

Die Aufgabe des Staatsorgans ist es, die Interessen der Bürger zu wahren.















Die erste Lektion ist die Einführung in die allgemeine Theorie der Differentialgleichungen. In der zweiten Lektion wird die Theorie der linearen Differentialgleichungen mit konstanten Koeffizienten behandelt. In der dritten Lektion wird die Theorie der linearen Differentialgleichungen mit variablen Koeffizienten behandelt. In der vierten Lektion wird die Theorie der nichtlinearen Differentialgleichungen behandelt. In der fünften Lektion wird die Theorie der Integralgleichungen behandelt. In der sechsten Lektion wird die Theorie der Variationsrechnung behandelt. In der siebten Lektion wird die Theorie der partiellen Differentialgleichungen behandelt. In der achten Lektion wird die Theorie der Integraltransformationen behandelt. In der neunten Lektion wird die Theorie der Funktionalgleichungen behandelt. In der zehnten Lektion wird die Theorie der Operatorrechnung behandelt.

In der elften Lektion wird die Theorie der Integralgleichungen mit Kernen behandelt. In der zwölften Lektion wird die Theorie der Integralgleichungen mit Kernen behandelt. In der dreizehnten Lektion wird die Theorie der Integralgleichungen mit Kernen behandelt. In der vierzehnten Lektion wird die Theorie der Integralgleichungen mit Kernen behandelt. In der fünfzehnten Lektion wird die Theorie der Integralgleichungen mit Kernen behandelt. In der sechzehnten Lektion wird die Theorie der Integralgleichungen mit Kernen behandelt. In der siebenzehnten Lektion wird die Theorie der Integralgleichungen mit Kernen behandelt. In der achtzehnten Lektion wird die Theorie der Integralgleichungen mit Kernen behandelt. In der neunzehnten Lektion wird die Theorie der Integralgleichungen mit Kernen behandelt. In der zwanzigsten Lektion wird die Theorie der Integralgleichungen mit Kernen behandelt.

$$D^2 x = 2Dx$$

In der einundzwanzigsten Lektion wird die Theorie der Integralgleichungen mit Kernen behandelt. In der dreißigsten Lektion wird die Theorie der Integralgleichungen mit Kernen behandelt. In der vierzigsten Lektion wird die Theorie der Integralgleichungen mit Kernen behandelt. In der fünfzigsten Lektion wird die Theorie der Integralgleichungen mit Kernen behandelt. In der sechzigsten Lektion wird die Theorie der Integralgleichungen mit Kernen behandelt. In der siebenzigsten Lektion wird die Theorie der Integralgleichungen mit Kernen behandelt. In der achtzigsten Lektion wird die Theorie der Integralgleichungen mit Kernen behandelt. In der neunzigsten Lektion wird die Theorie der Integralgleichungen mit Kernen behandelt. In der hundertsten Lektion wird die Theorie der Integralgleichungen mit Kernen behandelt.

$$(1) \quad \frac{d^2 x}{dt^2} = \frac{dx}{dt}$$

In der hundertsten Lektion wird die Theorie der Integralgleichungen mit Kernen behandelt. In der zweihundertsten Lektion wird die Theorie der Integralgleichungen mit Kernen behandelt. In der dreihundertsten Lektion wird die Theorie der Integralgleichungen mit Kernen behandelt. In der vierhundertsten Lektion wird die Theorie der Integralgleichungen mit Kernen behandelt. In der fünfhundertsten Lektion wird die Theorie der Integralgleichungen mit Kernen behandelt. In der sechshundertsten Lektion wird die Theorie der Integralgleichungen mit Kernen behandelt. In der siebenhundertsten Lektion wird die Theorie der Integralgleichungen mit Kernen behandelt. In der achthundertsten Lektion wird die Theorie der Integralgleichungen mit Kernen behandelt. In der neunhundertsten Lektion wird die Theorie der Integralgleichungen mit Kernen behandelt. In der tausendsten Lektion wird die Theorie der Integralgleichungen mit Kernen behandelt.

$$D = \frac{d}{dt}$$

$$\frac{1}{D} \frac{d^2 x}{dt^2} = \frac{dx}{dt}$$

In der tausendsten Lektion wird die Theorie der Integralgleichungen mit Kernen behandelt. In der zweitausendsten Lektion wird die Theorie der Integralgleichungen mit Kernen behandelt. In der dreitausendsten Lektion wird die Theorie der Integralgleichungen mit Kernen behandelt. In der viertausendsten Lektion wird die Theorie der Integralgleichungen mit Kernen behandelt. In der fünftausendsten Lektion wird die Theorie der Integralgleichungen mit Kernen behandelt. In der sechstausendsten Lektion wird die Theorie der Integralgleichungen mit Kernen behandelt. In der siebentausendsten Lektion wird die Theorie der Integralgleichungen mit Kernen behandelt. In der achtausendsten Lektion wird die Theorie der Integralgleichungen mit Kernen behandelt. In der neuntausendsten Lektion wird die Theorie der Integralgleichungen mit Kernen behandelt. In der zehntausendsten Lektion wird die Theorie der Integralgleichungen mit Kernen behandelt.



Nun ist aber jene Rechnung meth. od. offenbar mangelhaft. Man ~~besteht~~ hätte 77 (3)  
 nicht  $\sqrt{\Delta x}$ , sondern ~~den Abstand~~ den Durchschnittswert der absoluten Verschiebung  $\overline{|\Delta x|}$   
 zu benutzen, ~~welcher im Verhältnis~~ und überdies, was das Wichtigste ist, kommt  $= \sqrt{\frac{4}{\pi}} \Delta t$   
 es ja gar nicht auf die Größe der im Zeitpunkt  $t$  erwarteten Verschiebung an, sondern  
<sup>auch</sup> überhaupt auf alle Verschiebungen in der Zwischenzeit. ~~Auch jene Teilchen müssen~~  
~~zur Mittelwert  $\sqrt{\Delta x}$  kommen~~ <sup>Es</sup> kommen auch solche Teilchen vor, welche zwar zur Zeit  $t$  sich in der  
 Anfangslage befinden, aber in der Zwischenzeit eine so große Elongation durchgemacht haben, dass sie  
 mit der Wand in Berührung gekommen sind.

Es finden sich also <sup>anfänglich</sup> in der Teilchen in der Entfernung  $x$  von der Wand, so  
<sup>(im Zeitraum  $t$ )</sup> werden hiervon diejenigen an der Wand haften bleiben, <sup>im Zeitraum  $t$  in dem Zeitraum  $t$  und in dem</sup> welche ~~das durchschnittliche~~  
<sup>maximale</sup> Elongation aus der Anfangslage im <sup>(in irgend einem Zeitpunkte  $t$ )</sup> ~~größer~~ <sup>(Obrandrus ausgedrückt:)</sup> ~~als  $x$  war~~ <sup>größer (als  $x$ )</sup> ~~war~~ <sup>größer (als  $x$ )</sup>  
 wir mit  $W_x$  <sup>die</sup> Wahrscheinlichkeit, dass im anfangs im Nullpunkt befindliches  
 Teilchen ~~im Zeitpunkt  $t$  die im Zeitpunkt  $t$  die Verschiebung  $x$  zum ersten Male im Zeitraum~~  
 $t \dots t+dt$  <sup>(die positive Verschiebung  $x$  erleidet, so wird die</sup> <sup>Wahrscheinlichkeit dass</sup> ~~bis zum Moment  $t$~~   
~~igend einmal die Verschiebung  $x$  erhalten habe:~~  $\int_0^t W_x dt$  <sup>und der durchschnittliche</sup> ~~der Gesamtzahl der~~  
<sup>Teilchen welche</sup> ~~der~~ <sup>in  $X$</sup>  ~~aus einer (unendlich ausgedehnten Flüssigkeit) säule in dem Zeitraum~~  
 $t \dots t+dt$  an die <sup>Wand</sup>  $x=0$  <sup>stehen:</sup> ~~stehen:~~ <sup>liegen:</sup>  $N_x = \int_0^\infty W_x(x) dx$  ~~--- (2)~~  
<sup>(Flächeneinheit der</sup> ~~Flächeneinheit der~~ <sup>Flächeneinheit der</sup> ~~Flächeneinheit der~~  
 wo  $x$  die Teilchenzahl pro  $\text{cm}^3$  bedeutet.

Es handelt sich also darum, die <sup>jene</sup> ~~Wahrscheinlichkeit~~ <sup>Wahrscheinlichkeit</sup>  $W_x(x)$  zu ermitteln,  
<sup>oder was dasselbe ist: das ist das</sup> ~~die~~ <sup>die</sup> relative Anzahl der Teilchen ~~welche~~ <sup>welche</sup> ~~die~~ <sup>die</sup> bis zur Zeit  $t$  ~~immer nur~~  
<sup>Elongationen</sup> ~~Verschiebungen~~ <sup>als  $x$  anfiessen und</sup> ~~erst~~ <sup>erst</sup> im Zeitraum  $t+dt$  die Verschiebung  $x$  (oder  
 eine größere) erleiden.



$\frac{\partial \mathcal{L}}{\partial \mathbf{w}} = \mathbf{0}$















2.  $\frac{d^2 y}{dx^2} = 0$   $\frac{dy}{dx} = 0$   $y = 0$  also:  $\frac{d^2 y}{dx^2} = 0$   $\frac{dy}{dx} = 0$   $y = 0$   $\frac{d^2 y}{dx^2} = 0$   $\frac{dy}{dx} = 0$   $y = 0$

(1)  $\frac{d^2 y}{dx^2} = 0$   $\frac{dy}{dx} = 0$   $y = 0$

...  $\frac{d^2 y}{dx^2} = 0$   $\frac{dy}{dx} = 0$   $y = 0$   $\frac{d^2 y}{dx^2} = 0$   $\frac{dy}{dx} = 0$   $y = 0$   $\frac{d^2 y}{dx^2} = 0$   $\frac{dy}{dx} = 0$   $y = 0$

...  $\frac{d^2 y}{dx^2} = 0$   $\frac{dy}{dx} = 0$   $y = 0$   $\frac{d^2 y}{dx^2} = 0$   $\frac{dy}{dx} = 0$   $y = 0$   $\frac{d^2 y}{dx^2} = 0$   $\frac{dy}{dx} = 0$   $y = 0$

(2)  $\frac{d^2 y}{dx^2} = 0$   $\frac{dy}{dx} = 0$   $y = 0$

...  $\frac{d^2 y}{dx^2} = 0$   $\frac{dy}{dx} = 0$   $y = 0$   $\frac{d^2 y}{dx^2} = 0$   $\frac{dy}{dx} = 0$   $y = 0$   $\frac{d^2 y}{dx^2} = 0$   $\frac{dy}{dx} = 0$   $y = 0$

(3)  $\frac{d^2 y}{dx^2} = 0$   $\frac{dy}{dx} = 0$   $y = 0$

...  $\frac{d^2 y}{dx^2} = 0$   $\frac{dy}{dx} = 0$   $y = 0$   $\frac{d^2 y}{dx^2} = 0$   $\frac{dy}{dx} = 0$   $y = 0$   $\frac{d^2 y}{dx^2} = 0$   $\frac{dy}{dx} = 0$   $y = 0$



Falls letzteres der Fall ist, <sup>erklärt sich</sup> ~~folgt~~ die Verminderung der beobachteten Zahl der anhaftenden Teilchen observators. ~~Abnahme~~ Der physikalische Sinn des Festenblebens <sup>(dürfte wohl bedingt mit elektrostatischen Einwirkungen zu suchen)</sup> liegt darin, dass die elektrische Doppelschicht an der Oberfläche der Wand und der Teilchen, welche sonst voraussetzen wie ein elastisches Polster wirkt, ~~verschwindet~~ <sup>oder sehr schwach</sup> infolge des Silyerins, ~~steht~~ <sup>wie bei Elektrolytinsert, verschwindet</sup>, ~~ist~~ so dass die Kapillaren Anziehungskräfte zur Wirkung kommen (oder vielmehr <sup>noch</sup> spezielle Anziehungskräfte entstehen). Es wäre also wohl zu erwarten, dass ein sofortiges Festenbleiben erfolgt, falls die Wand vollständig enthalten ist, ob dies aber bei jenen Versuchen der Fall war, ist ganz unbekannt. <sup>(wie ich bei starkem Elektrolytinsert)</sup>

So sinnreich also auch jene Methode ist, scheint sie praktisch zur Gewinnung zuverlässiger Resultate nicht geeignet zu sein.

<sup>Manchmal ist es möglich, die Diffusionsgleichung</sup> ~~Esst~~ wollen wir aber noch der mathematischen Seite der Untersuchung einige Augenblicke widmen. Kann man nicht auch hier in irgend einer Form die ~~Diff~~ makroskopische Diffusionsformel anwenden, anstatt auf den mikroskopischen Mechanismus der Osmotischen Verschiebungen zurückzugehen? Offenbar ~~ist dies~~ erfordert dies nur, dass man die Eigenschaft der die Teilchen adsorbierenden Wand mathematisch ausdrückt, und zwar genügt hierzu die Forderung, dass die Teilchenkonzentration <sup>fortwährend</sup> an der Wand ~~gleich~~ Null <sup>erhalten</sup> wird. <sup>\* \*)</sup>

Tatsächlich lassen sich unsere früheren Formeln in einfacher Weise ~~an~~ wiederfinden, wenn man die Lösung der Aufgabe kennt, die Verteilung einer Substanz zu bestimmen, welche <sup>unter  $x=0$</sup>  ~~anfänglich~~ von  $x=0$  bis  $x=\infty$  die gleichförmige Konzentration  $\frac{1}{2}$  besitzt und welche außer der Differentialgleichung für Diffusion

$$\frac{\partial u}{\partial t} = D \frac{\partial^2 u}{\partial x^2}$$

--- (6)

die Grenzbedingung  $u=0$  für  $x=0$  für alle Zeiten  $t \leq 0$  erfüllt. ~~man~~  
<sup>\*) Es scheint unannehmlich, dass die Diffusionsgleichung für ein Körper, falls bereits</sup>  
<sup>\*) Auch wäre es möglich, dass die P.D.-Formel in unmittelbarer Nähe der Wand infolge vermehrten Zähigkeitswiderstands eine Korrektur verlangt</sup>  
<sup>\*) Da die Geschwindigkeit der P.D. auf unendlich kleine Distanzen  $\infty$  ist, muss jene Eigenschaft der Wand eine vollständige Entfernung aller Teilchen aus einer unendlich dünnen Schicht bedeuten</sup>







Diese Lösung lautet bekanntlich:

81 (7)

$$u = \frac{2\sqrt{v}}{\sqrt{\pi}} \int_0^{\frac{x}{2\sqrt{Dt}}} e^{-y^2} dy$$

--- (7)

und daraus folgt für die ~~im~~ ~~Zeitintervall~~ Zeitraum  $t \dots t+dt$  an der Wand ~~an~~  $x=0$  ausgeschiedene Substanzmenge

$$N dt = D \left. \frac{\partial u}{\partial x} \right|_{x=0} = v \sqrt{\frac{D}{\pi t}}$$

also dieselbe Formel ~~die~~ ~~erhalten~~ <sup>(4)</sup> nach der früheren Rechnungsmethode.

In analoger Weise läßt sich auch unsere frühere Formel ~~für~~ (3) wiederfinden, wenn man berücksichtigt, dass

$$u = \frac{1}{2\sqrt{\pi Dt}} \left[ e^{-\frac{(x-x_0)^2}{4Dt}} - e^{-\frac{(x+x_0)^2}{4Dt}} \right] \quad (8)$$

die ~~Verteilung~~ <sup>ist</sup> Hauptlösung der Diffusionsgleichung ~~unter~~ unter der Nebenbedingung  $u=0$  für  $x=0$ , welche das allmähliche Diffundieren einer anfangs im Punkte  $x_0$  aufgehäuften Substanz vorstellt, voraussetzt dass die Wand  $x=0$  die Eigenschaft habe, jene Substanz vollkommen zu absorbieren. Die an die Wand ausgeschiedene Substanzmenge  $D \left. \frac{\partial u}{\partial x} \right|_{x=0}$  ergibt sich dann genau in Übereinstimmung mit (3).

Wir ~~schließen~~ <sup>(Wirkung, welche aus</sup> sehen also, dass auch hier ~~die~~ <sup>der einzelnen Teilchen</sup> durchschnittliche ~~Wirkung~~ der oszillierenden <sup>Anregungen</sup>, vereinigt mit der absorbierenden Wirkung der festen Wand, ~~zu~~ <sup>erzeugt</sup> resultiert, sich nach der Diffusions Theorie berechnen lässt, und zwar indem man die ~~Freier~~ <sup>Freier</sup> Bedingung aufhebt, dass die Teilchenkonzentration an der festen Wand fortwährend Null sei.

\*) ~~Es ist die durchschnittliche Anzahl der Teilchen welche in einem ersten Teil~~

Das scheint ja sehr plausibel zu sein, und wir werden wohl berechtigt sein, falls allgemein das <sup>beim</sup> ~~man~~ <sup>man</sup> ~~den~~ <sup>den</sup> ~~Reaktionsraum~~ <sup>Reaktionsraum</sup> der Diffusion ~~und~~ <sup>und</sup> ~~in~~ <sup>in</sup> ~~Agens~~ <sup>Agens</sup> ~~hält~~ <sup>hält</sup>

Satz auszusprechen, dass die Anzahl der Teilchen, welche eine gewisse Fläche in einem gegebenen Zeitraum <sup>6... folgt</sup> zum ersten Male (mit  $t=0$ ) durchstoßen, ~~ist~~ <sup>ist</sup> aus der Diffusions Gleichung mit entsprechender Grenzbef. <sup>bedingung</sup> ~~bestimmt~~ <sup>zu berechnen ist</sup>.







Daran wollen wir gleich eine gewisse Anwendung dieser Überlegungen knüpfen, welche uns ~~später~~, bei näherer Darstellung der ~~die größte bisher bestehende~~ Koagulations theorie, ~~ist~~ nützlich sein wird. Stellen wir uns nämlich die Aufgabe, in ganz analoger Weise die absolute Summigkeit ~~teilchen~~ zu berechnen, welche in der Zeit  $t$  an einer <sup>(vollkommen)</sup> ~~absorbierenden~~ <sup>(von Radius R)</sup> Kugelfläche haften geblieben sind.

Es handelt es sich offenbar nur darum, die Lösung der Differentialgleichung mit den Nebenbedingungen

$$\frac{\partial u}{\partial t} = D \nabla^2 u$$

- 1).  $u = c$  für:  $t < 0$  und alle  $r > R$
- 2).  $u = 0$  für:  $r = R$  und  $t > 0$

zu finden. ~~Es ist klar, dass~~

Da die Konzentration  $u$  offenbar nur vom Radius und der Zeit abhängt, kann die Lösung ~~des kann~~ (mittels bekannter Methoden) bewerkstelligt werden, indem man die Differentialgleichung ~~in~~ transformiert in ~~die auf Grund~~ ~~infolge der in der Form~~ ~~bezeichnet~~ ~~man schreibt:~~

--- (9)

$$\frac{\partial (ru)}{\partial t} = D \frac{\partial^2 (ru)}{\partial r^2}$$

mathematische

und sich die Analogie dieses Beispiels mit ~~Beispielen der linearen Wärmeleitung~~ ~~zu~~ ~~vorher besprochen~~ ~~in~~ ~~Nutzen~~ macht. Man

findet so folgende Lösung:

$$u = c \left[ 1 - \frac{R}{r} + \frac{2R}{r\sqrt{\pi}} \int_0^{\frac{r-R}{2\sqrt{Dt}}} e^{-z^2} dz \right]$$

--- (10)

und man kann am einfachsten a posteriori die Tatsache verifizieren, dass sie die Differentialgleichung <sup>(9)</sup> (sowie auch die Grenzbedingungen) erfüllt.

Daraus ergibt sich <sup>folgt</sup> für die Menge der in der Zeit  $t$  -  $t$  ~~ab~~ durch Diffusion sich an der Kugelfläche  $R$  anschließenden Substanz:

--- (11)

$$J dt = 4\pi D R^2 \frac{\partial u}{\partial r} \bigg|_{r=R} dt = 4\pi D R c \left[ 1 + \frac{R}{\sqrt{\pi D t}} \right] dt$$

und für die Menge, welche ~~von~~ ~~an~~ bis zur Zeit  $t$  abgetrennt wird:

$$M = \int_0^t J dt = 4\pi D R c \left[ t + \frac{2R\sqrt{t}}{\sqrt{\pi D}} \right]$$

--- (12)



1)  $\frac{d}{dt} \left( \frac{1}{2} m v^2 \right) = \frac{1}{2} m \frac{d}{dt} (v^2) = m v \frac{dv}{dt}$   
 2)  $\frac{d}{dt} \left( \frac{1}{2} m v^2 \right) = \frac{1}{2} m \frac{d}{dt} (v^2) = m v \frac{dv}{dt}$   
 3)  $\frac{d}{dt} \left( \frac{1}{2} m v^2 \right) = \frac{1}{2} m \frac{d}{dt} (v^2) = m v \frac{dv}{dt}$

$$\frac{d}{dt} \left( \frac{1}{2} m v^2 \right) = \frac{1}{2} m \frac{d}{dt} (v^2) = m v \frac{dv}{dt}$$

$$1) \quad v = 0 \quad \text{for } t < 0 \quad \text{and } t > 0$$

$$2) \quad v = 0 \quad \text{for } t < 0 \quad \text{and } t > 0$$

3)  $\frac{d}{dt} \left( \frac{1}{2} m v^2 \right) = \frac{1}{2} m \frac{d}{dt} (v^2) = m v \frac{dv}{dt}$   
 4)  $\frac{d}{dt} \left( \frac{1}{2} m v^2 \right) = \frac{1}{2} m \frac{d}{dt} (v^2) = m v \frac{dv}{dt}$   
 5)  $\frac{d}{dt} \left( \frac{1}{2} m v^2 \right) = \frac{1}{2} m \frac{d}{dt} (v^2) = m v \frac{dv}{dt}$

$$\frac{d}{dt} \left( \frac{1}{2} m v^2 \right) = \frac{1}{2} m \frac{d}{dt} (v^2) = m v \frac{dv}{dt}$$

6)  $\frac{d}{dt} \left( \frac{1}{2} m v^2 \right) = \frac{1}{2} m \frac{d}{dt} (v^2) = m v \frac{dv}{dt}$   
 7)  $\frac{d}{dt} \left( \frac{1}{2} m v^2 \right) = \frac{1}{2} m \frac{d}{dt} (v^2) = m v \frac{dv}{dt}$

$$\frac{d}{dt} \left( \frac{1}{2} m v^2 \right) = \frac{1}{2} m \frac{d}{dt} (v^2) = m v \frac{dv}{dt}$$

8)  $\frac{d}{dt} \left( \frac{1}{2} m v^2 \right) = \frac{1}{2} m \frac{d}{dt} (v^2) = m v \frac{dv}{dt}$   
 9)  $\frac{d}{dt} \left( \frac{1}{2} m v^2 \right) = \frac{1}{2} m \frac{d}{dt} (v^2) = m v \frac{dv}{dt}$

10)  $\frac{d}{dt} \left( \frac{1}{2} m v^2 \right) = \frac{1}{2} m \frac{d}{dt} (v^2) = m v \frac{dv}{dt}$   
 11)  $\frac{d}{dt} \left( \frac{1}{2} m v^2 \right) = \frac{1}{2} m \frac{d}{dt} (v^2) = m v \frac{dv}{dt}$

$$\frac{d}{dt} \left( \frac{1}{2} m v^2 \right) = \frac{1}{2} m \frac{d}{dt} (v^2) = m v \frac{dv}{dt}$$

$$\frac{d}{dt} \left( \frac{1}{2} m v^2 \right) = \frac{1}{2} m \frac{d}{dt} (v^2) = m v \frac{dv}{dt}$$

(12)



Diese Formeln ~~gelten~~ <sup>innerhalb</sup> sind also ~~nicht~~ für Fälle gültig, wie wir „klassische“ Diffusion verstanden, wie beispielsweise Ausscheidung von ~~Wasser~~ <sup>Wasser</sup> über-sättigten Wasserdampf an kugelförmigen Kondensationskernen, andererseits für Beispiele, ~~in der~~ <sup>in der</sup> es sich um das Absetzen von Kolloidteilchen aus einer anfängl. homogenen Lösung an einer adsorbierenden Kugelfläche handelt. In letzterem Falle geben sie die durchschnittliche Anzahl der betreffenden Teilchen an, von welcher die wirkliche Anzahl in zufälliger Weise herum schwanken wird.

Wenn es sich um das <sup>Absetzen</sup> handeln würde, könnten wir (auch jene) Schwankungen leicht berechnen, da die Bewegungen der <sup>Kolloide</sup> ~~einzelnen~~ Teilchen unabhängig von einander erfolgen, also ganz analoge Formeln gelten wie für die Konzentrations-schwankungen. Bezeichnen wir den Ausdruck  $4\pi DR \left[ t + \frac{2R\sqrt{t}}{\sqrt{\pi D}} \right]$  mit  $\varphi(t)$ , die Anzahl der Teilchen pro Volumeneinheit, mit  $\nu$ , so ist die Wahrscheinlichkeit, dass bis zur Zeit  $t$  kein Teilchen ausgeschieden worden sei gerade  $e^{-\nu\varphi}$   
" " ein  $\nu\varphi e^{-\nu\varphi}$   
" " zwei  $\frac{(\nu\varphi)^2}{2} e^{-\nu\varphi}$  u. s. w.

und die durchschnittliche Anzahl resultiert natürlich wieder der Wert  $\nu\varphi$ .

~~Für~~ <sup>Für</sup> Reflektierende Wände Nach dieser Abschweifung kehren wir nun wieder zur Frage nach der experimentellen Messbarkeit der Diffusion an groß dispergierten Kolloiden zurück.

Da ist nun außer Millouin's Arbeit eine sehr schöne Untersuchung Westgren's (1914) <sup>(1914)</sup> ~~zu~~ nennen, in welcher wiederum von festen Wänden, aber nicht von adsorbierenden sondern reflektierenden Gebrauch gemacht wird. Die mathematische Theorie dergleichen Fälle ist ganz analog dem vorhergehenden Falle; wir können wiederum die Diffusionstheorie zur Berechnung der Verteilung benutzen, nur müssen wir die entsprechende Umformung einführen, dass die reflektierende Wand keine



Diese beiden Eigenschaften sind also <sup>einander</sup> für alle Funktionen  $\varphi$  von Bedeutung.  
 Offenbar kann man die in der vorigen Nummer erwähnte Eigenschaft von  $\varphi$  so  
 formulieren, dass man  $\varphi$  als Funktion der beiden  $x$  und  $y$  betrachtet.  
 Dann ist die Eigenschaft, dass  $\varphi$  eine Funktion der beiden  $x$  und  $y$  ist, äquivalent  
 zu der Eigenschaft, dass  $\varphi$  eine Funktion der beiden  $x$  und  $y$  ist.

Es ist nun zu zeigen, dass  $\varphi$  eine Funktion der beiden  $x$  und  $y$  ist.  
 Wir betrachten die beiden Funktionen  $\varphi(x, y)$  und  $\varphi(y, x)$ .  
 Dann ist  $\varphi(x, y) = \varphi(y, x)$  äquivalent zu der Eigenschaft, dass  $\varphi$  eine  
 Funktion der beiden  $x$  und  $y$  ist.

$$\varphi(x, y) = \varphi(y, x)$$

$$\varphi(x, y) = \varphi(y, x)$$

$$\varphi(x, y) = \varphi(y, x)$$

Es ist nun zu zeigen, dass  $\varphi$  eine Funktion der beiden  $x$  und  $y$  ist.  
 Wir betrachten die beiden Funktionen  $\varphi(x, y)$  und  $\varphi(y, x)$ .  
 Dann ist  $\varphi(x, y) = \varphi(y, x)$  äquivalent zu der Eigenschaft, dass  $\varphi$  eine  
 Funktion der beiden  $x$  und  $y$  ist.



Substanz durchlässt, also  $\frac{\partial n}{\partial x} = 0$  ~~gilt~~ gelten.

Nehmen wir beispielsweise an, ~~das Teilchen~~ <sup>anfängl.</sup> ~~gibt von der Abzisse  $x_0$  aus, und~~  
 die ~~Wand~~ <sup>Ebene</sup>  $x=0$  wirke als reflektierende Wand und fragen wir nach der Modifikation, welche die  
 Brown'sche Bewegung eines zu Anfang der Zeit von ~~der~~ der Abzisse  $x=x_0$  ausgehenden Teilchens  
 durch die Gegenwart jener Wand erfährt. Durch Anwendung des bekannten Reflexionsprinzips  
~~erhalten~~ erhält man die Lösung als Superposition zweier Gassen in  $\pm x_0$ , die Wahrscheinlich-  
 keit, ~~in~~ dass das Teilchen <sup>zur Zeit  $t$</sup>  sich ~~im~~ Abchnitt  $x \sim x+dx$  befinde, wird also:

$$W(x_0, x, t) dx = \frac{1}{2\sqrt{\pi Dt}} \left[ e^{-\frac{(x-x_0)^2}{4Dt}} + e^{-\frac{(x+x_0)^2}{4Dt}} \right] dx \quad (13)$$

Daraus kann man ganz allgemein die <sup>durchschnittliche</sup> ~~(aus einem gewissen Anfangs~~ <sup>verteilung</sup> ~~verteilung~~  $n = \varphi(x)$   
 resultierende Endverteilung durch Superposition der Einzelwirkungen erhalten:

$$n = \int_0^{\infty} \varphi(x_0) W(x_0, x, t) dx \quad (14)$$

Wertguts Anordnung erfordert aber keine derlei Rechnungen. Er konzentrierte die  
 Teilchen sämtlich an der  $X$  Ebene [und zwar dadurch, dass die betreffende ~~Expt~~  
<sup>mikroskopische Kammer</sup> ~~Kammer~~ in <sup>persönlicher</sup> ~~Wiese~~ <sup>Wiese</sup> auf einer Zentrifuge befestigt und ~~da~~ eine Zeitlang der  
 Wirkung des Zentrifugalkrafts <sup>(welche die Teilchen ~~der~~  $X$  Ebene treibt)</sup> ausgesetzt wurde] und beobachtete dann das allmähliche  
 Wegdifferenzieren desselben, <sup>Da für das Teilchen in diesem Falle</sup> ~~für welches~~ offenbar die verdoppelte gewöhnliche Brown'sche  
 Bewegungsformel gelten muss:

$$\frac{\partial^2 W}{\partial x^2} = \frac{1}{2Dt} e^{-\frac{x^2}{4Dt}} \quad (15)$$

welche aus (13) für  $x_0=0$  resultiert, folgt für die in einem gewissen Zeitpunkt gemessenen  
 Teilchenzahlen in zwei Abständen  $x_1, x_2$ :

$$\frac{n_1}{n_2} = e^{-\frac{x_1^2 - x_2^2}{4Dt}}$$



1.  $\frac{d}{dx} \ln x = \frac{1}{x}$

2.  $\frac{d}{dx} \ln x^2 = \frac{1}{x}$

3.  $\frac{d}{dx} \ln x^3 = \frac{1}{x}$

4.  $\frac{d}{dx} \ln x^4 = \frac{1}{x}$

$$\frac{d}{dx} \ln x^5 = \frac{1}{x}$$

5.  $\frac{d}{dx} \ln x^6 = \frac{1}{x}$

6.  $\frac{d}{dx} \ln x^7 = \frac{1}{x}$

$$\frac{d}{dx} \ln x^8 = \frac{1}{x}$$

7.  $\frac{d}{dx} \ln x^9 = \frac{1}{x}$

8.  $\frac{d}{dx} \ln x^{10} = \frac{1}{x}$

9.  $\frac{d}{dx} \ln x^{11} = \frac{1}{x}$

10.  $\frac{d}{dx} \ln x^{12} = \frac{1}{x}$

11.  $\frac{d}{dx} \ln x^{13} = \frac{1}{x}$

$$\frac{d}{dx} \ln x^{14} = \frac{1}{x}$$

12.  $\frac{d}{dx} \ln x^{15} = \frac{1}{x}$

13.  $\frac{d}{dx} \ln x^{16} = \frac{1}{x}$

$$\frac{d}{dx} \ln x^{17} = \frac{1}{x}$$



woraus sich  $D$  berechnen lässt:

85 (11)

$$D = \frac{(x_1^2 - x_2^2)}{4t(\log r_1 - \log r_2)}$$

~~Es~~ So ergeben sich für verschiedene Gold und Silber sol mit Dichten von 19.3 - 19.3 g/cm<sup>3</sup>  
Werte des Diffusionskoeffizienten von  $3.6$  bis  $5.8 \cdot 10^8$ , und durch ~~jetzt~~ gleichzeitige  
~~Bestimmung~~ Bestimmung der Teilchendurchmesser ( $65 - 133 \mu\mu$ ) mittels der Stokes'schen Formel  
oder mit Hilfe Beobachtung des Sedimentationsgleichgewichts wurde nachgewiesen, dass die  
Formel  $D = \frac{4T}{N} \frac{1}{6\pi\eta a}$  mit diesen Werten <sup>nicht</sup> in sehr guter Übereinstimmung befand.

Vom theoretischen Standpunkt aus erscheint diese Methode ganz einwandfrei und sie  
bietet auch den Vorteil, dass sie <sup>im Prinzip</sup> auf jede Art kolloidaler Substanz anwendbar ist, welchem  
nur der Nachteil einer etwas größeren experimentellen Komplikation — im Vergleich mit  
Ostwald's Methode — gegenüber steht.

Wirkung äusserer Kräfte (Schwerkraft) auf die D.  
Nachdem wir ~~an~~ <sup>also</sup> an der Hand dieser neuer ~~Methoden~~ experimentellen Methoden die  
Rolle <sup>kenntnis haben</sup> (welche feste Wände bei der Diffusion der Kolloide spielen, wollen wir ~~uns~~ <sup>uns</sup>  
~~beziehen~~ noch einem weiteren Faktor zuwenden, ~~welcher~~ welcher in der Praxis von grosser Wichtigkeit  
ist: dem Einfluss der Schwerkraft. Die Sache ist sehr einfach, wenn man sich ~~von dem Standpunkt~~  
auf den Standpunkt stellt, dass es sich nur um die Aufgabe <sup>(die allgemeine Verteilung im stationären</sup>  
Gleichgewichtszustand zu finden. Wie wir bereits Einstein und ich bemerkt haben, <sup>Wichtig auf</sup> ~~muss~~  
~~das~~ <sup>das</sup> sogenannte Sedimentationsgleichgewicht ~~das~~ <sup>später</sup> ~~experimentell~~ experimentelle Ergebnisse der Mesostatik  
Anwendung finden, was ~~bekanntlich~~ <sup>später</sup> durch die eigenen Versuche Perrin und dessen Schüler  
bestätigt und zur Ausarbeitung einer sehr präzisen Bestimmungsmethode der Avogadro-  
Zahl benutzt wurde, nämlich es muss gelten:

$$v = v_0 e^{-\frac{4}{3} \pi a^2 n (p - p_0) / \rho}$$

— (16)



*Handwritten text, likely bleed-through from the reverse side of the page.*



Wenn es sich aber nur um die ~~makroskopische~~ <sup>makroskopische</sup> Wenn man aber die ganze Erscheinung gründlich verstehen will, muss man die makroskopische Analyse des Vorganges ausführen, d.h. man muss ~~sich die~~ <sup>sich</sup> untersuchen, in welcher Weise die Brown'schen Bewegungen des einzelnen Teilchen infolge der Schwerkraft und der Gegenwart eines festen, reflektierenden Eisens bodens modifiziert werden, was eine wesentlich schwierigere Aufgabe ist. ~~Für~~

Würde nur die konstante Schwerkraft ins Spiel kommen, ~~und~~ ohne dass eine Begrenzung durch reflektierenden Eisens wand zu berücksichtigen wäre, so könnte man die Lösung <sup>konstante</sup> ohne Schwierigkeit einfach daraus ableiten, dass die Schwerkraft eine <sup>konstante</sup> (fortwährende) Bewegung hervorruft, welche sich über die Brown'sche Bewegung superponiert. Es würde also ~~gelten für die~~ <sup>mit der</sup> modifizierte Brown'sche Bewegungsformel gelten:

$$W(x, x_0, t) dx = \frac{1}{2\sqrt{\pi D t}} e^{-\frac{(x-x_0-ct)^2}{4Dt}} dx \quad (17)$$

in der in welcher an Stelle der Ausgangs abzisse  $x_0$  die Größe  $x_0 - ct$  auftritt.

Das mittlere Verschiebungsquadrat ist in diesem Falle:

$$\overline{(x-x_0)^2} = 2Dt + (ct)^2$$

und man sieht, dass für genügend kurze Zeiten das zweite Glied im Verhältnis zum ersten vernachlässigt werden kann. <sup>Da die Geschw. der Verschiebung bei An. d. Anfangs  $\infty$  groß ist, so</sup> ist auch unmittelbar, ohne Rechnung verständlich, dass die Bewegung anfangs rein „Brown'sch“ erfolgt, und sich erst im Laufe der Zeit der allmählichen Verschiebung infolge der Schwerkraft bemerkbar macht.

Infolge dessen ~~ist~~ <sup>kommen</sup> wir zu der physikalisch wichtigen Schlussfolgerung, dass auch im Falle variabler Kräfte für genügend kurze Zeiten das Superpositions Prinzip <sup>Diffusion</sup> gelten muss, und dies ermöglicht uns <sup>die</sup> ~~die~~ Verallgemeinerung der Theorie der ~~Brown'schen~~ <sup>Brown'schen</sup> Bewegung für den Fall, dass das betreffende Teilchen von irgend welchen Kräften beeinflusst wird.







Wir haben es mit ~~Kolloid~~ Teilchen zu tun, welche unter Einfluss einer Kraft  $f(x)$  die durchschnittliche Geschwindigkeit  $\beta f(x)$  erlangen, so ~~ist~~ <sup>reguliert</sup> die Teilchenmenge, welche nach der Flächeneinheit eines Querschnittes  $x$  durchströmt, aus Superposition ~~der~~ einer konstanten Sedimentations- und der Diffusionsströmung:

$$-D \frac{\partial u}{\partial x} + \beta u f(x)$$

und somit erhält man die Differentialgleichung für  $u$ :

$$\frac{\partial u}{\partial t} = D \frac{\partial^2 u}{\partial x^2} - \beta \frac{\partial}{\partial x} [u f(x)] \quad (18)$$

Sie definiert die Verteilung einer diffundierenden Substanz, welche unter Einfluss einer anderen Kraft  $f(x)$  steht. <sup>(Können wir sie im Sinne des Gleichgewichtsprinzipes)</sup> ~~Andrerseits~~ <sup>bestimmen wir</sup> ~~fallen wir~~ <sup>erhalten</sup> auf ein einzelnes Kolloid-Teilchen beschränkt <sup>(mit anderen)</sup> ~~die relative~~ <sup>die</sup> ~~Flüssigkeit~~ <sup>Wahrscheinlichkeit</sup> der verschiedenen Lage des selben, d.h. <sup>(die der)</sup> ~~Veränderung der Phase in Bewegung entsprechend~~ <sup>betreffende</sup> Wahrscheinlichkeits-Funktionen.

Eine Probe können wir sofort ausführen, da ich für einen Spezialfall, d.i. für die Annahme einer elastischen, in die Ruhelage zurückwirkenden Kraft, die betreffende Wahrscheinlichkeitsfunktion  $W(x, t)$  auf direktem synthetischen Wege ermittelt hatte. Es ist das jenes Beispiel, welches ich an dieser Stelle vor drei Jahren besprochen hatte, ~~das~~ es war nämlich:

$$W(x, t) = \sqrt{\frac{\gamma^2}{2\pi D(1 - e^{-2\gamma^2 t})}} e^{-\frac{\gamma^2(x-x_0 - \gamma^2 t)^2}{2D(1 - e^{-2\gamma^2 t})}} \quad (19)$$

und tatsächlich verifiziert man mittels direkter Rechnung leicht, dass diese Funktion die Differentialgleichung (18) unter der Annahme ~~der~~ ~~elastischen~~ ~~Kraft~~ erfüllt.

$$\beta f(x) = -\gamma^2 x$$

erfüllt.

Ebenso wird also auch für andere Kraftgesetze  $f$  jene Differentialgleichung ~~erfüllt~~



$$P_{\alpha} = \frac{1}{2} \left( \frac{1}{2} \right)$$







1) Nach der Formel des  $\frac{dW}{dt}$  muss die Ableitung von  $W$  nach  $t$  bestimmt werden.   
 2) Die Ableitung von  $W$  nach  $t$  ist  $\frac{dW}{dt} = \frac{d}{dt} \left( \frac{1}{2} \rho v^2 \right) = \rho v \frac{dv}{dt}$ .   
 3) Die Ableitung von  $v$  nach  $t$  ist  $\frac{dv}{dt} = \frac{d}{dt} \left( \frac{1}{2} \rho v^2 \right) = \rho v \frac{dv}{dt}$ .   
 4) Die Ableitung von  $\rho$  nach  $t$  ist  $\frac{d\rho}{dt} = \frac{d}{dt} \left( \frac{1}{2} \rho v^2 \right) = \rho v \frac{dv}{dt}$ .   
 5) Die Ableitung von  $v^2$  nach  $t$  ist  $\frac{dv^2}{dt} = \frac{d}{dt} \left( \frac{1}{2} \rho v^2 \right) = \rho v \frac{dv}{dt}$ .

$$(1) \quad \frac{dW}{dt} = \frac{d}{dt} \left( \frac{1}{2} \rho v^2 \right) = \rho v \frac{dv}{dt}$$

2) Die Ableitung von  $W$  nach  $t$  ist  $\frac{dW}{dt} = \frac{d}{dt} \left( \frac{1}{2} \rho v^2 \right) = \rho v \frac{dv}{dt}$ .   
 3) Die Ableitung von  $v$  nach  $t$  ist  $\frac{dv}{dt} = \frac{d}{dt} \left( \frac{1}{2} \rho v^2 \right) = \rho v \frac{dv}{dt}$ .   
 4) Die Ableitung von  $\rho$  nach  $t$  ist  $\frac{d\rho}{dt} = \frac{d}{dt} \left( \frac{1}{2} \rho v^2 \right) = \rho v \frac{dv}{dt}$ .   
 5) Die Ableitung von  $v^2$  nach  $t$  ist  $\frac{dv^2}{dt} = \frac{d}{dt} \left( \frac{1}{2} \rho v^2 \right) = \rho v \frac{dv}{dt}$ .

$$(2) \quad \frac{dW}{dt} = \frac{d}{dt} \left( \frac{1}{2} \rho v^2 \right) = \rho v \frac{dv}{dt}$$

3) Die Ableitung von  $W$  nach  $t$  ist  $\frac{dW}{dt} = \frac{d}{dt} \left( \frac{1}{2} \rho v^2 \right) = \rho v \frac{dv}{dt}$ .   
 4) Die Ableitung von  $v$  nach  $t$  ist  $\frac{dv}{dt} = \frac{d}{dt} \left( \frac{1}{2} \rho v^2 \right) = \rho v \frac{dv}{dt}$ .   
 5) Die Ableitung von  $\rho$  nach  $t$  ist  $\frac{d\rho}{dt} = \frac{d}{dt} \left( \frac{1}{2} \rho v^2 \right) = \rho v \frac{dv}{dt}$ .   
 6) Die Ableitung von  $v^2$  nach  $t$  ist  $\frac{dv^2}{dt} = \frac{d}{dt} \left( \frac{1}{2} \rho v^2 \right) = \rho v \frac{dv}{dt}$ .

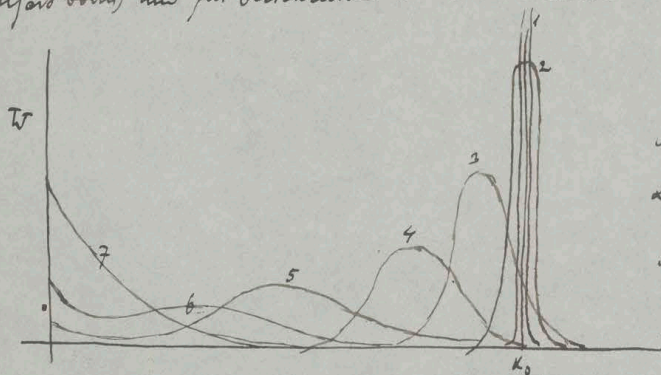
$$(3) \quad \frac{dW}{dt} = \frac{d}{dt} \left( \frac{1}{2} \rho v^2 \right) = \rho v \frac{dv}{dt}$$

4) Die Ableitung von  $W$  nach  $t$  ist  $\frac{dW}{dt} = \frac{d}{dt} \left( \frac{1}{2} \rho v^2 \right) = \rho v \frac{dv}{dt}$ .   
 5) Die Ableitung von  $v$  nach  $t$  ist  $\frac{dv}{dt} = \frac{d}{dt} \left( \frac{1}{2} \rho v^2 \right) = \rho v \frac{dv}{dt}$ .   
 6) Die Ableitung von  $\rho$  nach  $t$  ist  $\frac{d\rho}{dt} = \frac{d}{dt} \left( \frac{1}{2} \rho v^2 \right) = \rho v \frac{dv}{dt}$ .   
 7) Die Ableitung von  $v^2$  nach  $t$  ist  $\frac{dv^2}{dt} = \frac{d}{dt} \left( \frac{1}{2} \rho v^2 \right) = \rho v \frac{dv}{dt}$ .

$$(4) \quad \frac{dW}{dt} = \frac{d}{dt} \left( \frac{1}{2} \rho v^2 \right) = \rho v \frac{dv}{dt}$$



Es stellt ~~also~~ <sup>dieses  $W(x, t) dx$</sup>  die Wahrscheinlichkeit vor, dass ein Teilchen, welches zu Anfang der Zeit  $t$  sich im Punkte  $x_0$  befunden habe, zur Zeit  $t$  <sup>nach</sup> in dem Intervall  $x - x_0$  aufgehalte. Die Formel ist ~~mit~~ <sup>als der wahrscheinliche Formel der  $P.D.$</sup>  ~~komplexer~~ <sup>weil</sup> gegeben, man kann ihre Bedeutung an der Hand der graphischen Darstellung studieren, welche die Curven  $W(x, t)$  für ~~verschiedene~~ <sup>verschiedene</sup>  $x_0$  (relativ große Entfernung vom Erfass boden) und für verschiedene  $t$ -Werte veranschaulicht:



Wir stellen uns vor, dass eine große Anzahl Teilchen zur Zeit Null vom Punkt  $x_0$  ausgeht, so ist deren Bewegung im ersten Moment <sup>(1, 2)</sup> identisch mit der wahrscheinlichen Molekularbewegung. Mit der Zeit <sup>(3, 4, 5)</sup> macht sich

die Wirkung der Schwerkraft in der mit konstanter Geschwindigkeit  $c$  fortschreitenden Verschiebung des Punktes der maximalen Dichte <sup>natürlich</sup> fühlbar, indem ~~gleichermaßen~~ <sup>ebenfalls</sup> der Teilchen-Schweren sich infolge der diffusionsartigen Bewegungen seitlich immer mehr ausbreitet. Erlangt er <sup>genügende</sup> ~~die~~ Nähe des festen Erfassbodens, so macht sich eine Rückstauung <sup>(5, 6)</sup> an derselben bemerkbar, welche immer zunimmt, bis schließlich <sup>(im Laufe langer Zeiten)</sup> die dem Sedimentations-Gleichgewicht entsprechende <sup>Exponential</sup> Verteilung:

$$W(x, x_0, t) = \frac{c}{D} e^{-\frac{cx}{D}} \quad \dots \dots (22)$$

Das nennt wir oben das Interessante an dem Beispiel dass es keine drei verschiedenen Stadien der Ausbreitung erreicht wird, ~~da~~ <sup>weil</sup> mit der ~~sedimentation~~ <sup>sedimentation</sup> ~~formel~~ <sup>formel</sup> identisch ist, wie man sich ~~eine Formel (21) als Grusfeld~~ <sup>eine Formel (21) als Grusfeld</sup> umsetzt. ~~durch Einsetzen des Wertes für die Fallgeschwindigkeit  $c = \frac{2}{9} \frac{a^2(\rho - \rho_0)g}{\mu}$  und des Wertes~~ <sup>Sedimentations Verteilung</sup>

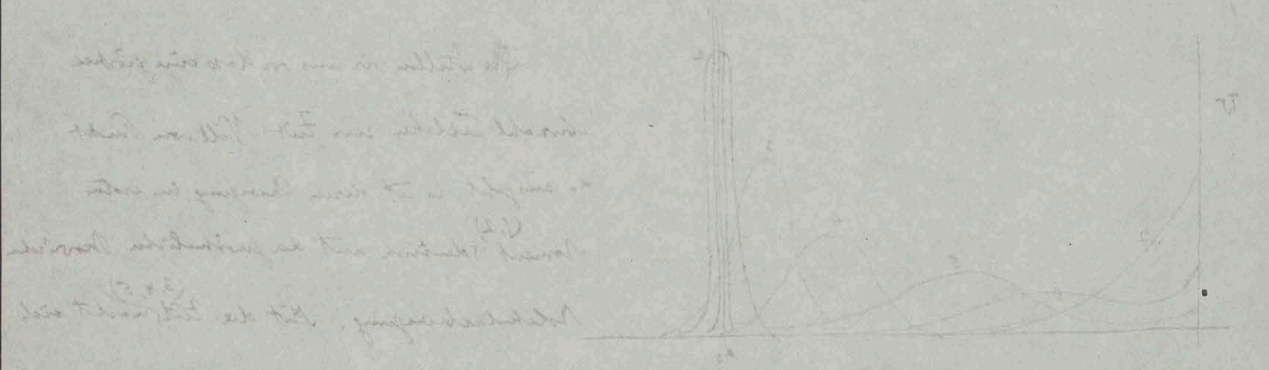
~~Die~~ <sup>Die</sup> ~~Formel~~ <sup>Formel</sup> muss natürlich mit der schon erwähnten (mit Rücksicht auf den Auftrieb des Nukleus korrigierten) aerostatischen ~~Druckverteilung~~ <sup>Druckverteilung</sup> ~~formel~~ <sup>formel</sup> ~~identisch~~ <sup>identisch</sup> sein:

$$\mu = \mu_0 e^{-\frac{N}{RT} \frac{4}{3} a^3 \pi (\rho - \rho_0) g x}$$

identisch sein; da ~~also~~ <sup>also</sup> übrigens die Fallgeschwindigkeit  $c = \frac{2}{9} \frac{a^2(\rho - \rho_0)g}{\mu}$



The first part of the paper is devoted to a discussion of the general principles of the theory of the  $\beta$ -decay of nuclei. It is shown that the  $\beta$ -decay of a nucleus is a process which is governed by the laws of quantum mechanics. The probability of a  $\beta$ -decay is determined by the matrix element of the transition between the initial and final states of the nucleus. This matrix element is calculated by using the perturbation theory of quantum mechanics. The result is that the probability of a  $\beta$ -decay is proportional to the square of the matrix element of the transition between the initial and final states of the nucleus.



The second part of the paper is devoted to a discussion of the experimental results of the  $\beta$ -decay of nuclei. It is shown that the experimental results are in good agreement with the theoretical predictions. The experimental results show that the probability of a  $\beta$ -decay is proportional to the square of the matrix element of the transition between the initial and final states of the nucleus. This is exactly what the theory predicts. The experimental results also show that the energy spectrum of a nucleus during  $\beta$ -decay consists of a series of peaks, as predicted by the theory.

The third part of the paper is devoted to a discussion of the applications of the theory of the  $\beta$ -decay of nuclei. It is shown that the theory can be used to calculate the probability of a  $\beta$ -decay for a given nucleus. This can be done by calculating the matrix element of the transition between the initial and final states of the nucleus. The theory can also be used to calculate the energy spectrum of a nucleus during  $\beta$ -decay. This can be done by calculating the matrix element of the transition between the initial and final states of the nucleus. The theory can also be used to calculate the half-life of a nucleus. This can be done by calculating the probability of a  $\beta$ -decay for a given nucleus.



(aus der Vergleichung der Exponenten)  
so resultiert für den Diffusionskoeffizienten  $D$  die sogenannte Einstein'sche Formel:

$$D = \frac{kT}{N} \frac{1}{6\pi\eta a} \quad \text{--- (23)}$$

Das scheint mir tatsächlich die strengste Methode der Ableitung dieser Formel zu sein, sie bietet den Vorteil, dass man nicht die Gültigkeit der Stokes'schen Formel für die Brownschen Zickzackbewegungen voraussetzen muss, ~~was bei anderen Ableitungsmethoden auch nicht~~ sondern sich auf die experimentell nachgewiesene Tatsache stützen kann, dass für die Fallbewegung des Stokes'schen Kugels gültig ist. <sup>Sie nimmt übrigens an eine von unten ausgehende Viskosität, was aber</sup> ~~und andererseits auch nicht, wie bei anderen Ableitungen auch~~ <sup>Widerstand-</sup> ~~auf fiktive Flüssigkeiten~~ <sup>einige Festlegungen für Eingrenzung in die Wirkungen des</sup> (Osmotischen Druckes und der Schwerkraft zu bedienen braucht).

Dieses Beispiel illustriert im Übrigen besonders klar die Unzulänglichkeit des makroskopisch-thermodynamischen <sup>Entropiebegriffes</sup> ~~Ansatzes~~ <sup>gegenüber</sup> bei Anwendung auf derartige mikroskopische Erscheinungen. ~~Der~~ Für ein schweres Teilchen ist natürlich der Sefarboden die Lage, welche sich durch maximale Entropie auszeichnet und der Thermodynamiker würde erwarten, dass das ~~Teilchen~~ durch dissipative Reibungskräfte beeinflusste Teilchen schließlich die niedrigste Lage  $x=0$  einnehmen wird.

In Wirklichkeit <sup>weicht sich gemäß Formel (21)</sup> ~~ist~~ <sup>für lange Entfernungen</sup> ~~die niedrigste Lage~~ ~~für solche mit~~ ~~ist~~ <sup>stets</sup> ~~stets~~ <sup>stets</sup> durch maximale Wahrscheinlichkeit aus; wegen der einseitigen Begrenzung entspricht dieselbe jedoch durchaus nicht dem durchschnittlichen Aufenthalts<sup>ort</sup> des Teilchens. Der durchschnittliche <sup>innerhalb langer Zeiten</sup> ~~Erwartungs-~~ Wert des <sup>vor dem Teilchen eingenommenen</sup> ~~Erwartungs-~~ <sup>stetig</sup> vom Sefarboden resultiert aus (22) zu

$$\bar{x} = \int_0^\infty \frac{cx}{D} e^{-\frac{cx}{D}} dx = \frac{D}{c} \quad \text{--- (24)}$$

<sup>was man vielerorts kürzer, indem die Sedimentationsgeschwindigkeit nimmt</sup>  
Selbst wenn ein ~~Teilchen~~ <sup>auf irgendeinem Niveau im</sup> ~~im Sefarboden~~ <sup>steht und dort in Ruhe ist</sup> ~~ausgesetzt~~ <sup>steht</sup>, steigt es im Allgemeinen <sup>(wegen der Schwerkraft)</sup>  
<sup>einsteigend</sup> ~~von selbst~~ <sup>von selbst</sup> ~~unpor~~ <sup>unpor</sup>, und zwar gemäß der aus (21) für  $x_0 = 0$  folgenden Formel:



Im stationären Zustand muss nämlich die Divergenz betragen:

$$\nabla \frac{\partial \psi}{\partial x} + v c = 0$$

was bei Einsetzung der Formel (16) und des Werts für  $c$  oben diese Beziehung (23) folgt.

$$\frac{\partial}{\partial x} = \frac{\partial \psi}{\partial x} \frac{\partial x}{\partial \psi} = \frac{\partial \psi}{\partial x} \frac{1}{\frac{\partial \psi}{\partial x}} = 1$$



$$W = \frac{1}{\sqrt{\pi} D t} e^{-\frac{(x+ct)^2}{4Dt}} + \frac{c}{D\sqrt{\pi}} e^{-\frac{cx}{D}} \int_{\frac{x+ct}{2\sqrt{Dt}}}^{\infty} e^{-z^2} dz \quad \text{--- (25)}$$

deren Werte für ~~intermediate~~ wachsende Zeiten durch die Curven (versinnlicht) werden:



*Neotoma borinquensis* (18)

Der durchschnittliche Arbeitsbetrag, welchen das Licht von selbst auf Kosten der Umgebungswärme leistet, beträgt also im Widerspruch mit dem II Hauptsatz

$$\bar{A} = \frac{4}{3} e^{\frac{1}{2}} n (p - p_0) g \quad \bar{x} = \frac{HT}{N}$$

nimmt dabei die Entropie <sup>des aus</sup> um den Wert  
also ist ~~das~~ (das das durchschnittliche Entropie ~~der~~

als in Tabelle mit der Maximal Entropie ab:  $\bar{S} = S_{\max} - \frac{H}{N}$  --- (26)

Natürlich wird es im Laufe der Zeit auch vorkommen, dass das Teilchen sich von selbst <sup>also bei Entropie beliebig abnimmt</sup> beliebig hoch über den Nulspunkt erhebt. Wir können auch sehr leicht ~~in~~ die Wackelzeit für irgend eine Anfangslage, in dem früher eingeführten Sinne berechnen. Dass infolge der <sup>schlechten</sup> wackelnden Natur der Bewegung keine enorme Unterschied der Zeit sich aufweist, zwischen <sup>der Zeit</sup> der wackelnden Bewegung passiert das Teilchen die Entfernung von  $x$  bis  $x_0$  in einer Zeit <sup>da die Wackelgeschwindigkeit beliebig</sup> von der Größenordnung  $\tau = \frac{3dx}{C}$ , ~~und~~ andererseits muss die Wahrscheinlichkeit für den Aufstoß in einem Abschnitt ~~zu~~ <sup>zu</sup> rollen mächtig gleich sein dem Verhältnis seiner Dauer zur Wackelzeit  $\Theta$  woraus folgt:

$$\Theta = \frac{D}{C_c} \cdot \frac{c_r}{D}$$

Im Niveau  $x=0$  wäre also die Wirkkoberheit gleich  $\Theta_0 = \frac{D}{C}$ , was eine einfache Interpretation zulässt; da  $\left(\frac{D}{C}\right)$  die <sup>näherlie</sup> Höhe bedeutet, bis zu welcher eine Schwinne des Dichte des sedimentierten Kolloids auf den Bruchteil  $\frac{1}{e}$  stattfindet, so entspricht das der Zeit, welche ein Teilchen mit seiner eigentlichen Molekulargeschwindigkeit  $C = \sqrt{\frac{3H}{NM}}$  bewegt werden zur Zurücklegung derselben benötigt würde.]



Es erscheint mir übrigens ganz selbstverständlich, dass der durchschnittliche Entropiewert im stationären Gleichgewichtszustand geringer sein muss als der dem Totfall, d. h. dem letzten Zustand entsprechende <sup>Entropiewert</sup> ~~Nachdruck~~ und zwar eben darum, weil ~~der~~ <sup>Extrem</sup> <sup>besitzt</sup> auch weniger wahrscheinliche Zustände vorkommen müssen, welche eine geringere Entropie als jener

~~Es ist bestimmt beobachtet~~  
In jedem Punkt, mit Ausnahme der untersten Lage am Boden, <sup>monoton</sup> ist ein Fallen des Teilhums  
sicherer als ein Steigen; aber jene Reflexionen am Boden bewirken aber, dass (für längere  
Zeiträume eine Steigung eintreten kann, in der untersten Sedimentation steht (unter D))  
während ~~die~~ <sup>in der Steigung</sup> bei größter Unregelmäßigkeit ~~das~~ <sup>immer</sup> ~~schon~~ <sup>fort</sup> ein Sinken eintritt. Die ~~steigende~~ <sup>immer</sup> Tendenz  
(in Bezug der mittleren Schwankung ~~besteht~~ <sup>besteht</sup> ~~in~~ <sup>in</sup> ~~der~~ <sup>der</sup> ~~zunehmenden~~ <sup>zunehmenden</sup>  
zur Abnahme des Interregnum) sich mit der Tendenz zum Wachsen für abnorme Werte,  
so dass im Laufe langer Zeiten die durchschnittliche Stationenart resultiert

\*) So stellen sich die Verhältnisse falls man an diese Art der Auffassung der Entropie als einer für das individuelle System ~~von~~ <sup>nach dem</sup> durchströmten sich festhält. ~~Entwickelt~~ man den Durchschnittswert der Entropie für eine Schaar anderer Systeme & betrachtet diese, wird man eine Zu- und Abnahme entsprechend den beiden durch die Eigen- veränderlichen Füllen gegen den Durchschnittswert ( ) zu konstataren. Dagegen wird die Selbstveränderung des Systems von der Entropie als einer aus sich selbst über eine konstante Grösse der Verhältnisse unabhängig bleiben.















Einleitung (Einleitung)

Die erste Aufgabe ist es, die Bedeutung der Begriffe zu klären. Die zweite Aufgabe ist es, die Begriffe zu ordnen. Die dritte Aufgabe ist es, die Begriffe zu erklären. Die vierte Aufgabe ist es, die Begriffe zu beibehalten. Die fünfte Aufgabe ist es, die Begriffe zu ändern. Die sechste Aufgabe ist es, die Begriffe zu löschen. Die siebte Aufgabe ist es, die Begriffe zu neuem Leben erwecken. Die achte Aufgabe ist es, die Begriffe zu neuem Leben erwecken. Die neunte Aufgabe ist es, die Begriffe zu neuem Leben erwecken. Die zehnte Aufgabe ist es, die Begriffe zu neuem Leben erwecken.

Die erste Aufgabe ist es, die Bedeutung der Begriffe zu klären. Die zweite Aufgabe ist es, die Begriffe zu ordnen. Die dritte Aufgabe ist es, die Begriffe zu erklären. Die vierte Aufgabe ist es, die Begriffe zu beibehalten. Die fünfte Aufgabe ist es, die Begriffe zu ändern. Die sechste Aufgabe ist es, die Begriffe zu löschen. Die siebte Aufgabe ist es, die Begriffe zu neuem Leben erwecken. Die achte Aufgabe ist es, die Begriffe zu neuem Leben erwecken. Die neunte Aufgabe ist es, die Begriffe zu neuem Leben erwecken. Die zehnte Aufgabe ist es, die Begriffe zu neuem Leben erwecken.

Die erste Aufgabe ist es, die Bedeutung der Begriffe zu klären. Die zweite Aufgabe ist es, die Begriffe zu ordnen. Die dritte Aufgabe ist es, die Begriffe zu erklären. Die vierte Aufgabe ist es, die Begriffe zu beibehalten. Die fünfte Aufgabe ist es, die Begriffe zu ändern. Die sechste Aufgabe ist es, die Begriffe zu löschen. Die siebte Aufgabe ist es, die Begriffe zu neuem Leben erwecken. Die achte Aufgabe ist es, die Begriffe zu neuem Leben erwecken. Die neunte Aufgabe ist es, die Begriffe zu neuem Leben erwecken. Die zehnte Aufgabe ist es, die Begriffe zu neuem Leben erwecken.

Die erste Aufgabe ist es, die Bedeutung der Begriffe zu klären. Die zweite Aufgabe ist es, die Begriffe zu ordnen. Die dritte Aufgabe ist es, die Begriffe zu erklären. Die vierte Aufgabe ist es, die Begriffe zu beibehalten. Die fünfte Aufgabe ist es, die Begriffe zu ändern. Die sechste Aufgabe ist es, die Begriffe zu löschen. Die siebte Aufgabe ist es, die Begriffe zu neuem Leben erwecken. Die achte Aufgabe ist es, die Begriffe zu neuem Leben erwecken. Die neunte Aufgabe ist es, die Begriffe zu neuem Leben erwecken. Die zehnte Aufgabe ist es, die Begriffe zu neuem Leben erwecken.



falls die oben genannte Berechnung in Abtötungs-Sphären besitzen.

94 (20)

Und zwar müssen wir daran festhalten, dass derartige Abweichungen in gleichem Maße <sup>allen diesen</sup> bei ~~den~~ <sup>wesentlich</sup> mit einander verbundenen Vorgängen auftreten müssen. Kommen nur Abtötungskräfte in Betracht (analog muss das Eigenvolumen der Teilchen wirken), so wird die <sup>osmotische</sup> Kompressibilität ~~ist~~ der <sup>Konzentration</sup> kolloidalen Lösung ~~gegenüber~~ im Vergleich mit dem Doyle'schen Gesetz vermindert sein, wie das ja der bekannte Widerspruch der Gastheorie näher nachweist.

\*) Am 18.11.  
auch experimentell, Später

Glücklicherweise muss, wie ich einerseits nachgewiesen habe, damit eine Verminderung der Konzentrations-schwankungen Hand in Hand gehen, in Sinne der Gleichung

$$\bar{S}^2 = \left( \frac{n-p}{n} \right)^2 = \frac{1}{\beta} \cdot \frac{\beta}{\beta_0} \quad \text{--- (27)}$$

wo  $\beta$  die wirkliche,  $\beta_0$  die Doyle'sche Kompressibilität bedeutet. ~~Parallel d.~~

Parallel damit müssen Abweichungen vom Exponentialgesetz bei der Sedimentations-Gleichgewichts auftreten, welche sich ganz leicht aus der hydrostatischen Grundformel berechnen lassen.

dann ~~in Form~~:  $\frac{\partial p}{\partial y} = - \frac{N}{RT} M g v (1 - \rho_0)$  wo  $p$  den osmotischen Druck,  $M$  die Masse eines Teilchens bedeutet.

und zwar ist offenbar diese ~~Verteilung~~ <sup>Abweichungen</sup> darauf hinzuwirken, diese Verteilung gleichmäßiger zu machen als es sonst der Fall wäre.

~~Abweichungen~~ <sup>Verteilung</sup> ~~der Sedimentation~~ <sup>Die</sup> ~~Ersetzung~~ <sup>Ersetzung</sup> des osmotischen Druckes lassen sich daher in kolloidalen Lösungen ebenso wohl nach zwei Methoden erforschen: <sup>mittels</sup> ~~der~~ Beobachtung der Konzentrations-schwankungen oder der ~~Verteilung~~ <sup>Verteilung</sup> der Sedimentations-Verteilung im Schwerfeld. Erstere bietet jedoch den erheblichen Vorteil, dass sie auf jede ~~der~~ Lösung anwendbar ist, während letztere nur ~~für~~ für gleichkörnige Lösungen richtige Resultate geben kann. Anfangs schien es, als ob die Erfahrung dem widersprechen würde, indem Sorberg und Tronze, sowie Weitzen



1870  
 1871  
 1872  
 1873  
 1874  
 1875  
 1876  
 1877  
 1878  
 1879  
 1880  
 1881  
 1882  
 1883  
 1884  
 1885  
 1886  
 1887  
 1888  
 1889  
 1890  
 1891  
 1892  
 1893  
 1894  
 1895  
 1896  
 1897  
 1898  
 1899  
 1900  
 1901  
 1902  
 1903  
 1904  
 1905  
 1906  
 1907  
 1908  
 1909  
 1910  
 1911  
 1912  
 1913  
 1914  
 1915  
 1916  
 1917  
 1918  
 1919  
 1920  
 1921  
 1922  
 1923  
 1924  
 1925  
 1926  
 1927  
 1928  
 1929  
 1930  
 1931  
 1932  
 1933  
 1934  
 1935  
 1936  
 1937  
 1938  
 1939  
 1940  
 1941  
 1942  
 1943  
 1944  
 1945  
 1946  
 1947  
 1948  
 1949  
 1950  
 1951  
 1952  
 1953  
 1954  
 1955  
 1956  
 1957  
 1958  
 1959  
 1960  
 1961  
 1962  
 1963  
 1964  
 1965  
 1966  
 1967  
 1968  
 1969  
 1970  
 1971  
 1972  
 1973  
 1974  
 1975  
 1976  
 1977  
 1978  
 1979  
 1980  
 1981  
 1982  
 1983  
 1984  
 1985  
 1986  
 1987  
 1988  
 1989  
 1990  
 1991  
 1992  
 1993  
 1994  
 1995  
 1996  
 1997  
 1998  
 1999  
 2000  
 2001  
 2002  
 2003  
 2004  
 2005  
 2006  
 2007  
 2008  
 2009  
 2010  
 2011  
 2012  
 2013  
 2014  
 2015  
 2016  
 2017  
 2018  
 2019  
 2020  
 2021  
 2022  
 2023  
 2024  
 2025  
 2026  
 2027  
 2028  
 2029  
 2030  
 2031  
 2032  
 2033  
 2034  
 2035  
 2036  
 2037  
 2038  
 2039  
 2040  
 2041  
 2042  
 2043  
 2044  
 2045  
 2046  
 2047  
 2048  
 2049  
 2050  
 2051  
 2052  
 2053  
 2054  
 2055  
 2056  
 2057  
 2058  
 2059  
 2060  
 2061  
 2062  
 2063  
 2064  
 2065  
 2066  
 2067  
 2068  
 2069  
 2070  
 2071  
 2072  
 2073  
 2074  
 2075  
 2076  
 2077  
 2078  
 2079  
 2080  
 2081  
 2082  
 2083  
 2084  
 2085  
 2086  
 2087  
 2088  
 2089  
 2090  
 2091  
 2092  
 2093  
 2094  
 2095  
 2096  
 2097  
 2098  
 2099  
 2100  
 2101  
 2102  
 2103  
 2104  
 2105  
 2106  
 2107  
 2108  
 2109  
 2110  
 2111  
 2112  
 2113  
 2114  
 2115  
 2116  
 2117  
 2118  
 2119  
 2120  
 2121  
 2122  
 2123  
 2124  
 2125  
 2126  
 2127  
 2128  
 2129  
 2130  
 2131  
 2132  
 2133  
 2134  
 2135  
 2136  
 2137  
 2138  
 2139  
 2140  
 2141  
 2142  
 2143  
 2144  
 2145  
 2146  
 2147  
 2148  
 2149  
 2150  
 2151  
 2152  
 2153  
 2154  
 2155  
 2156  
 2157  
 2158  
 2159  
 2160  
 2161  
 2162  
 2163  
 2164  
 2165  
 2166  
 2167  
 2168  
 2169  
 2170  
 2171  
 2172  
 2173  
 2174  
 2175  
 2176  
 2177  
 2178  
 2179  
 2180  
 2181  
 2182  
 2183  
 2184  
 2185  
 2186  
 2187  
 2188  
 2189  
 2190  
 2191  
 2192  
 2193  
 2194  
 2195  
 2196  
 2197  
 2198  
 2199  
 2200  
 2201  
 2202  
 2203  
 2204  
 2205  
 2206  
 2207  
 2208  
 2209  
 2210  
 2211  
 2212  
 2213  
 2214  
 2215  
 2216  
 2217  
 2218  
 2219  
 2220  
 2221  
 2222  
 2223  
 2224  
 2225  
 2226  
 2227  
 2228  
 2229  
 2230  
 2231  
 2232  
 2233  
 2234  
 2235  
 2236  
 2237  
 2238  
 2239  
 2240  
 2241  
 2242  
 2243  
 2244  
 2245  
 2246  
 2247  
 2248  
 2249  
 2250  
 2251  
 2252  
 2253  
 2254  
 2255  
 2256  
 2257  
 2258  
 2259  
 2260  
 2261  
 2262  
 2263  
 2264  
 2265  
 2266  
 2267  
 2268  
 2269  
 2270  
 2271  
 2272  
 2273  
 2274  
 2275  
 2276  
 2277  
 2278  
 2279  
 2280  
 2281  
 2282  
 2283  
 2284  
 2285  
 2286  
 2287  
 2288  
 2289  
 2290  
 2291  
 2292  
 2293  
 2294  
 2295  
 2296  
 2297  
 2298  
 2299  
 2300  
 2301  
 2302  
 2303  
 2304  
 2305  
 2306  
 2307  
 2308  
 2309  
 2310  
 2311  
 2312  
 2313  
 2314  
 2315  
 2316  
 2317  
 2318  
 2319  
 2320  
 2321  
 2322  
 2323  
 2324



als einer ganzen Reihe verschiedener Kolloidaler Lösungen ~~mittels der Konzentrations-~~

~~Schwankung~~ bereits bei relativ geringen Konzentrationen [Volum-Konz. von  $10^{-5}$  bis  $10^{-6}$ ]

sehr bedeutende Abweichungen von <sup>bis  $\beta_0 = 0.4$</sup>  der <sup>konstante</sup> Schwankeformel ~~festen~~, während Westgren ~~mit~~ das exponentielle Gesetz bei der Sedimentation ganz gut bestätigt fand.

11. Summeppt:  $a = 0.20 \mu$ , Volum. Konz.  $\varphi = 3.8 \cdot 10^{-4}$ , Anzahl pro  $1000 \mu^3$ :  $10.7$ ; bei  $\beta_0 = 0.405$   
 Gold  $a = 0.091 \mu$ ,  $\varphi = 5 \cdot 10^{-6}$  16  $\beta_0 = 0.677$

~~Er hat sich aber~~ andererseits hat aber <sup>(1912)</sup> Costantin in Pirelli's Laboratorium bei Summeppt-Suspensionen bis zu weit größeren Konzentrationen vollständige Übereinstimmung mit der ~~kompressibilität~~ <sup>nach</sup> ~~beiden Methoden~~ konstant und hat erst bei Konzentrationen ~~über~~  $\varphi = 0.01$  eine merkliche Veränderung des  $\beta$  erhalten, welche auf die Existenz einer Abstoßungs-Sphäre um die Summeppt-Teilchen hindeutet, die eine solche Wirkung ausübt, als ob der Teilchenradius 1.7 mal größer wäre als in Wirklichkeit.

Durch die von Westgren unlängst hier ausgeführte Arbeit ist dieser Widerspruch <sup>nach Lindbergh'scher Methode</sup> endgültig aufgeklärt worden, indem ~~er zeigte~~ derselbe nachwies, dass die <sup>mit Hilfe des</sup> ~~subjektiven~~ <sup>subjektiven</sup> Teilchenzählungen ~~in~~ <sup>in</sup> ~~mit Hilfe des~~ Fehlerquelle enthalten<sup>\*)</sup>, welche bei größeren Konzentrationen sehr stark ins Gewicht fällt und jene Abweichungen

<sup>\*)</sup> infolge störender Zerstreuung des Lichtes und undeutlicher Definition des beleuchteten Volums

vergrößert hatte, während die Zählungen, die Westgren 100 an Goldlösungen mit  $a = 0.11 \mu$ , Anzahl  $41.7$  pro  $1000 \mu^3$ ,  $\varphi = 2.3 \cdot 10^{-4}$  ~~an einem~~ <sup>an einem</sup> ~~wirklichen~~ <sup>wirklichen</sup> ~~Gold~~ <sup>Gold</sup> ~~präparat~~ <sup>präparat</sup> ausföhrte, noch vollkommen normale Kompressibilität ergaben.

Nach Analogie mit Costantin's Resultaten zu schließen, würden tatsächlich Anomalien erst bei etwas







50mal größere Konzentration auftreten, welche sich in Lösungen wohl überhaupt kaum herstellen lassen dürfte.

Das bisher Besagene bezieht sich auf die Abweichungen von Boyle'scher Gesetz, ~~welche~~ welche ~~notwendigerweise~~ <sup>notwendigerweise</sup> von Allen ~~da~~ die damit zusammenhängenden Erscheinungen des statistischen Gleichgewichts beeinflussen müssen. Wie steht es aber nun mit den Erscheinungen der Schwingungsgeschwindigkeit, der Brownischen Bewegung und der Diffusion, in welchen ~~Abte~~ der zeitliche Verlauf in Frage kommt? Selbstverständlich müssen sich jene Abweichungen auch hier fühlbar machen, aber ausserdem muss in konzentrierten Lösungen noch ein weiterer Faktor eine Rolle spielen: <sup>eine Formelung</sup> ~~die~~ <sup>Das sehr verwickelte</sup> ~~die~~ <sup>einzelnen Teilchen</sup> ~~die~~ <sup>von nach elastischen</sup> ~~die~~ <sup>zu erwarten</sup> ~~die~~  <sup>$\mu = \mu_0 (1 + \frac{1}{2} \phi)$</sup>  ~~die~~ <sup>bei</sup> ~~die~~ <sup>grösseren Konzentrationen noch stärker zuzunehmen liegt.</sup> ~~die~~ <sup>des Reibungskoeffizienten.</sup>

Am leichtesten werden sich diese Resultate bei der Diffusion übersehen lassen, wenn man sich nämlich des fiktiven Bildes bedient, wonach das Gefälle des osmotischen Drucks als treibende Kraft, ~~da~~ der Zähigkeitswiderstand der bewegten Teilchen als hemmende Kraft aufgefasst wird. Es muss eine Abhängigkeit des Diffusionskoeffizienten  $D$  von der Konzentration resultieren, welche sich ohne Schwierigkeit berechnen lässt, falls jene Abweichungen <sup>quantitativ</sup> ~~schon~~ <sup>bekannt</sup> wären. Parallel damit müssen auch Abänderungen in der Formel

~~Erhaltene~~ <sup>Erhaltene</sup> ~~Formel~~ <sup>Formel</sup> ~~für~~ <sup>für</sup> ~~Brownische~~ <sup>Brownische</sup> ~~Bewegung~~ <sup>Bewegung</sup> ~~und~~ <sup>und</sup> ~~für~~ <sup>für</sup> ~~die~~ <sup>die</sup> ~~Schwingungs-~~ <sup>Schwingungs-</sup> ~~geschwindigkeit~~ <sup>geschwindigkeit</sup> ~~Platz~~ <sup>Platz</sup> ~~greifen~~ <sup>greifen</sup>, nachdem dies die <sup>mit der Diffusionsäquivalenz</sup> ~~mit der~~ <sup>mit der</sup> ~~makroskopischen~~ <sup>makroskopischen</sup> ~~Vorgänge~~ <sup>Vorgänge</sup> ~~sind~~ <sup>sind</sup>.

Es ist das noch ein weites <sup>Forschungs-</sup> ~~Forschungs-~~ <sup>gebiet</sup> ~~gebiet, von dessen Bearbeitung man ~~hofft~~ <sup>hofft</sup> für die Kolloid-Forschung die wichtigsten Resultate erhoffen kann, da sich ~~hier~~ <sup>hier</sup> ~~ein~~ <sup>ein</sup> ~~relativ~~ <sup>relativ</sup> ~~einfaches~~ <sup>einfaches</sup> ~~und~~ <sup>und</sup> ~~direkter~~ <sup>direkter</sup> ~~Weg~~ <sup>Weg</sup> ~~zur~~ <sup>zur</sup> ~~Erklärung~~ <sup>Erklärung</sup> ~~der~~ <sup>der</sup> ~~zwischen~~ <sup>zwischen</sup> ~~Kolloid-~~ <sup>Kolloid-</sup> ~~Teilchen~~ <sup>Teilchen</sup> ~~in~~ <sup>in</sup> ~~Wirkung~~ <sup>Wirkung</sup> ~~stehenden~~ <sup>stehenden</sup> ~~Kräfte~~ <sup>Kräfte</sup> ~~eröffnet~~ <sup>eröffnet</sup>.~~



Falls nämlich in erster Näherung  $p_0$  ist:  $p = A \rho (1 + \alpha \rho)$

$$\mu = \mu_0 (1 + \beta \rho)$$

so muss offenbar sein:  $D_2 D_0 \frac{\partial \rho}{\partial z} = \frac{1}{\mu} \frac{\partial \mu}{\partial z}$

$$\text{mit } D_2 D_0 \frac{1 + 2\alpha \rho}{1 + \beta \rho} \neq D_0 [1 + (2\alpha - \beta) \rho]$$

Die nähere <sup>Erklärung des Mechanismus</sup> ~~Erklärung~~ dieser Kräfte, die <sup>verschieden</sup> ~~Unterschiede~~ der Umstände, welche deren Auftreten beeinflussen, ~~bildet ein Grundproblem der Physik, von dem Lösung unter anderem~~ bildet Aufgaben, welche notwendig für ein vollständiges Verständnis der Regulationsvorrichtungen <sup>abhängig</sup> ~~hängen~~ mit denen wir uns im 1. Teil befasst haben.



N. B.!

Allgemeine Erwägungen d. Theorie

Angeregt durch Herrn Prof. Zsigmondy, welcher mir von seiner schönen experimentellen Untersuchung und dem dabei aufgetretenen theoretischen Problem briefliche Mitteilung gemacht hatte, habe ich <sup>(welche eine quantitative Anwendung drohen. Dieses Thema bleibt mir)</sup> eine mathematische Theorie der Koagulation ausgearbeitet, die ich Ihnen heute in einem ganz kurzen Abriss vorlegen möchte. Von vornherein seien jedoch zwei einschränkende Anmerkungen vorausgeschickt: 1. Meine Theorie <sup>ist beschränkt</sup> ~~beruht~~ (durchaus nicht <sup>auf der</sup> vollständigen Aufklärung des inneren Mechanismus der Koagulation, d.h. der dabei in Wirkung tretenden elektrischen oder kolloidalen Kräfte, der Natur der elektrischen Doppelschicht auf der Oberfläche der Kolloid-Teilchen u. dgl. — es ist eine sogenannte <sup>mathematische</sup> formale Theorie, aufgebaut auf der Annahme, dass <sup>jede Kugel durch eine</sup> ~~jedes Teilchen mit einer~~ Wirkungssphäre vom Radius  $R$  ~~gebildet~~ <sup>ersetzt</sup> werden können, dass die <sup>discrete</sup> ~~Dispersions~~ <sup>Prozess</sup> der Teilchen ungehindert vor sich geht, solange die Entfernung der Mittelpunkte größer ist als  $R$ , dass jedoch zwei Teilchen an einander haften müssen, sobald ihre <sup>Mittelpunkte</sup> Entfernung auf  $R$  herabsinkt.

2. Diese Theorie <sup>beruht auf einer</sup> ~~beruht auf~~ <sup>speziell</sup> ~~beruht auf~~ nur auf einem Spezialfall der Koagulations-Kinetik, d.h. die <sup>vollständige</sup> ~~irreversible~~ Koagulation, wie sie bei größeren Elektrolytkonzentrationen zustande kommt, <sup>Ich glaube, dass man sie mittelelektrolytischen Konzentrationen teilweise auch</sup> ~~nicht~~ <sup>(auf die langsame Koagulation ausdehnen kann, welche durch</sup> geringe Elektrolyt-Zusätze hervorgerufen werden, die die elektrische Doppelschicht nicht vollständig entladen. Aber die Erscheinungen der sogen. reversiblen Koagulation, welche z.B. von Odum am Schwefelhydrosol studiert hat, gehen über den Geltungsbereich dieser Theorie jedenfalls weit hinaus. Sie bildet also selbstverständlich nicht eine Aufklärung des ganzen















in Berührung gekommen sind. Das wird der Anzahl der noch zur Zeit  $t$  inkongulierten  
Einselteilchen entsprechen. Greifen wir anstatt dessen im <sup>einzelnen</sup> speziellen Teilchen heraus,  
so entspricht die Wahrscheinlichkeit, dass dasselbe bis zur Zeit  $t$  mit keinem  
weiteren in <sup>Kleinteile</sup> Berührung gekommen sei, dem Prozentsatz der <sup>dann</sup> noch übrig gebliebenen  
Einselteilchen:

$$\frac{n_t}{n_0} = W_1(t)$$

Die Sache wäre relativ einfach, wenn <sup>(das herangezogene</sup> ~~einzelne~~ <sup>einzelne</sup> Teilchen <sup>unmöglich</sup> ~~als~~ Kondensations Kern  
bilden würde, so dass nur die Zusammenstöße der übrigen mit dem <sup>genau</sup> herangezogenen  
in Betracht kämen, ohne dass <sup>aber</sup> bei einem Zusammenstoß weiter ~~nicht~~ der nicht-  
<sup>(untereinander)</sup> herangezogenen eine Verbindung eintrete. Dann können wir uns <sup>auf den</sup> ~~genau~~ <sup>genau</sup> dann in der  
vorigen Vorlesung besprochenen Äquivalenzsätze berufen, <sup>(durchschnittliche Anzahl der)</sup> ~~und~~ demzufolge die innerhalb  
eines gewissen Zeitraumes  $t \dots t + dt$  zum ersten Male eine gewisse Fläche durch-  
schneidenden Teilchen sich nach der gewöhnlichen makroskopischen Diffusionstheorie  
berechnen lässt, wenn man annimmt, dass innerhalb jener Fläche, ~~die konstante~~  
von Moment  $t=0$  anfangen, die konstante Konzentration Null erhalten bleibt.

Es handelt sich dann also um die Aufgabe, die Verteilung innerhalb eines  
<sup>(unendlich ausgedehnten)</sup> Mediums zu berechnen, welches ursprünglich überall gleiche Konzentration besitzt,  
in welchem aber <sup>von dem</sup> Zeitpunkt  $t=0$  anfangen, auf einer Kugelfläche  $R$  die Konzentration  
Null herrscht. ~~Es lässt sich dies aus der Diffusionsgleichung für den Fall sphärischer~~  
~~Symmetrie ableiten. Form der~~  $\frac{\partial u(r,t)}{\partial t} = D \frac{\partial^2 u(r,t)}{\partial r^2}$







mittels bekannter Methoden ableiten. Die Lösung ist:

$$u = c \left[ 1 - \frac{R}{r} + \frac{2R}{r\sqrt{\pi}} \int_0^{\frac{r-R}{2\sqrt{Dt}}} e^{-z^2} dz \right] \quad \text{für}$$

und man verifiziert „a posteriori“ leicht, dass die Bedingung <sup>in der Diff. Gl. von</sup>  $u=c$  für  $t=0$

2).  $u=0$  für  $r=R$  und 3).  $\lim_{r \rightarrow \infty} r^2 \frac{\partial u}{\partial r} = 0$  erfüllt sind.

Daraus ergibt sich für die Menge der <sup>sich</sup> durch Diffusion an der Kugelfläche  $R$  in der Zeit  $t \rightarrow t+dt$  <sup>verschwinden</sup> ~~verschwinden~~ Substanz:

Wir erinnern uns an das gestern hierfür abgeleitete Ergebnis:

$$J_{dt} = 4\pi D R^2 \frac{\partial u}{\partial r} \bigg|_{r=R} = 4\pi D R c \left[ 1 + \frac{R}{\sqrt{\pi D t}} \right] dt \quad \text{und für die Menge, welche von Anfang an}$$

abgeschwunden wurde:

$$M = \int_0^t J dt = \int_0^t 4\pi D R c \left[ t + \frac{2R\sqrt{t}}{\sqrt{\pi D}} \right] dt$$

Die Einfachheit wegen wollen wir schon an dieser Stelle eine <sup>Annäherung</sup> ~~Vermutung~~ einführen, darin bestehend, dass wir das zweite ~~Termin~~ Glied auf der rechten Seite als unwesentlich vernachlässigen. Das heißt, dass wir den Koagulationsverlauf in einem solchen Stadium studieren, so die Zeit  $t$  groß ist gegenüber dem Werte  $\frac{R^2}{D}$ . Dieses Anfangsstadium, das durch diese Annäherung ausgeschlossen wird, beläuft sich beispielsweise in Ziegmondy's Versuchen auf ca.  $10^{-4}$  bis  $10^{-3}$  Sekunden. Im übrigen kann man die Rechnung auch ohne jene Vernachlässigung ebenso gut weiterführen, erhält aber kompliziertere, doch praktisch gleichwertige Formeln.

Ersetzt man <sup>also</sup> ~~man~~ die Konzentration  $c$  durch die pro Volumeneinheit entfallende Teilchenmenge  $n_0$ , so wäre die Anzahl der im Zeitraum  $t \rightarrow t+dt$  an jener Kugel  $R$  <sup>herausgehenden</sup> ~~am ersten Mal~~ ~~ab-~~ abklebenden Teilchen:

$$4\pi D R n_0 dt \quad ; \quad \text{es würde also Zeiteinheit eine Zahl } 4\pi n_0 R D \text{ Kleben bleiben}$$



1871

He says that you are a very good person.

Dear Mother, I have not yet had time to write you but I am sure you will be glad to hear from me.

*Handwritten text, likely bleed-through from the reverse side of the page.*

...  $R_{\text{D, 1000}}$  ...



und die ~~Bestand~~<sup>Stärke</sup>  $4\pi DR_{n_0} t = 1$

wird die Zeit <sup>T</sup> definieren,  $T = \frac{1}{4\pi DR_{n_0}}$

---(1)

immerhalb welcher  
~~noch~~ ~~Abfall~~

durchschnittlich gerade ein Teilchen an dem hervorgehobenen bleiben bleibt.  
ist (und für die Abnahme der Gesamtzahl wird folgen:  $\frac{dn}{dt} = -4\pi RD_{n_0} n$  ~~ist~~  $n_t = n_0 e^{-4\pi RD_{n_0} t}$ )  
Nun ~~ist~~ aber ~~seiner~~ unsere Rechnung in zweifacher Hinsicht zu verbessern.

1). Das hervorgehobene Teilchen ~~ist~~ führt an und für sich eine ähnliche Brownsche Bewegung aus wie die übrigen, es kommt also für deren Koagulation die relative Bewegung in Betracht. Dies bezüglich lässt sich nun leicht nachweisen, dass die Relativverschiebung zweier  $\frac{1}{2}$  unabhängiger voneinander sich bewegendes Teilchen abmessen erfolgt, wie die gewöhnliche Brownsche Bewegungsformel angibt, ~~was~~ vorausgesetzt dass der Diffusionskoeffizient gleich der Summe der Diffusionskoeffizienten der beiden Teilchen gesetzt wird; ~~also in diesem Falle~~ allgemein setzen wir <sup>also</sup> ~~ist~~ für die Relativbewegung  $D_{ab} = D_a + D_b$  ---(2)

2). Unsere Formel entspricht dem Falle, wo ~~die Anzahl~~ die Zahl  $n_0$  der Teilchen in früher Entfernung unverändert bleibt. ~~und~~ In Wirklichkeit bleiben sie nicht nur an dem hervorgehobenen, sondern auch unter einander an. Von der Anzahl  $4\pi DR_{n_0} dt$  sind also <sup>streichen</sup> jene <sup>abgezogen</sup> ~~abgezogen~~ <sup>abgezogen</sup> welche schon vor der Zeit  $t$  koaguliert sind, das heißt: es ist die (Zahl durch die Zahl der zur Zeit  $t$  noch existierenden Einzelteilchen zu ersetzen. An jedes Teilchen stoßen demgemäß:  $4\pi D_{11} R n_1 dt$  und die Abnahme der Gesamtzahl der Einzelteilchen erfolgt nach der Formel

$$\frac{dn_1}{dt} = -4\pi R D_{11} n_1^2$$

---(3)



$$1 = \frac{1}{\frac{1}{\rho} + \frac{1}{\sigma}} \quad \text{für } \rho, \sigma > 0$$

(1)

Die vorstehende Gleichung ist für  $\rho = \sigma$  zu setzen, so erhält man  $1 = \frac{1}{\frac{1}{\rho} + \frac{1}{\rho}} = \frac{1}{\frac{2}{\rho}} = \frac{\rho}{2}$ , d. h.  $\rho = 2$ .  
Für  $\rho = 2$  wird die Gleichung  $1 = \frac{1}{\frac{1}{2} + \frac{1}{\sigma}}$  oder  $\frac{1}{\frac{1}{2} + \frac{1}{\sigma}} = 1$ , d. h.  $\frac{1}{2} + \frac{1}{\sigma} = 1$ ,  
d. h.  $\frac{1}{\sigma} = \frac{1}{2}$ , d. h.  $\sigma = 2$ .  
Somit ist  $\rho = \sigma = 2$  die Lösung der Gleichung  $1 = \frac{1}{\frac{1}{\rho} + \frac{1}{\sigma}}$ .  
Für  $\rho = 2$  und  $\sigma = 2$  ist  $\frac{1}{\rho} + \frac{1}{\sigma} = \frac{1}{2} + \frac{1}{2} = 1$ , d. h.  $\frac{1}{1} = 1$ ,  
d. h.  $1 = 1$ , was richtig ist.

(2)

$$1 = \frac{1}{\frac{1}{\rho} + \frac{1}{\sigma}} \quad \text{für } \rho, \sigma > 0$$

Die vorstehende Gleichung ist für  $\rho = \sigma$  zu setzen, so erhält man  $1 = \frac{1}{\frac{1}{\rho} + \frac{1}{\rho}} = \frac{1}{\frac{2}{\rho}} = \frac{\rho}{2}$ , d. h.  $\rho = 2$ .  
Für  $\rho = 2$  wird die Gleichung  $1 = \frac{1}{\frac{1}{2} + \frac{1}{\sigma}}$  oder  $\frac{1}{\frac{1}{2} + \frac{1}{\sigma}} = 1$ , d. h.  $\frac{1}{2} + \frac{1}{\sigma} = 1$ ,  
d. h.  $\frac{1}{\sigma} = \frac{1}{2}$ , d. h.  $\sigma = 2$ .  
Somit ist  $\rho = \sigma = 2$  die Lösung der Gleichung  $1 = \frac{1}{\frac{1}{\rho} + \frac{1}{\sigma}}$ .  
Für  $\rho = 2$  und  $\sigma = 2$  ist  $\frac{1}{\rho} + \frac{1}{\sigma} = \frac{1}{2} + \frac{1}{2} = 1$ , d. h.  $\frac{1}{1} = 1$ ,  
d. h.  $1 = 1$ , was richtig ist.

(3)

$$1 = \frac{1}{\frac{1}{\rho} + \frac{1}{\sigma}} \quad \text{für } \rho, \sigma > 0$$



durch Integration  
Das würde für die Zahl der ~~Einzelteilchen~~ mit kugelförmigen Einzelteilchen die Formel  
ergeben:

$$n_1 = \frac{n_0}{1 + 4\pi R D_{11} n_0 t} = \frac{n_0}{1 + 8\pi R D n_0 t} \quad (4)$$

welche genau der Kinetik einer bimolekularen chemischen Reaktion entspricht.

Dazu ist aber noch eine wichtige Ergänzung beizufügen. Es wirken ja auch die bereits gebildeten Doppeltelchen, dreifachen Teilchen u.s.w. als Koagulationskerne und als Koagulationsmaterial weiter, allerdings in einer Weise, welche sich nicht mehr so leicht genau berechnen lässt, da die Gestalt der mehrfachen Teilchen nicht kugelförmig ist. Berechnen wir die ~~anzublickende~~ <sup>Anzahl</sup> ~~Zahlen~~ <sup>m</sup> ~~der einfachen und~~ <sup>fachen Teilchen mit m</sup> ~~m~~ <sup>fachen</sup> ~~Teilchen~~ <sup>Teilchen</sup> ~~so gelten offenbar Gleichungen~~ <sup>der Gestalt:</sup>

~~$$\frac{1}{4\pi R} \frac{dn_1}{dt} = - D_{11} R_{11} n_1^2 - D_{12} R_{12} n_1 n_2 - D_{13} R_{13} n_1 n_3 - \dots$$~~

$$\frac{1}{4\pi R} \frac{dn_1}{dt} = - D_{11} R_{11} n_1^2 - D_{12} R_{12} n_1 n_2 - D_{13} R_{13} n_1 n_3 - \dots$$

$$\frac{1}{4\pi R} \frac{dn_2}{dt} = \frac{1}{2} D_{11} R_{11} n_1^2 - D_{12} R_{12} n_1 n_2 - D_{22} R_{22} n_2^2 - D_{23} R_{23} n_2 n_3 - \dots$$

$$\frac{1}{4\pi R} \frac{dn_3}{dt} = D_{12} R_{12} n_1 n_2 - D_{13} R_{13} n_1 n_3 - D_{23} R_{23} n_2 n_3 - D_{33} R_{33} n_3^2 - \dots$$

Wären nun die Teilchen kugelförmig, so wäre ~~der~~ <sup>ihre</sup> Diffusionskoeffizient umgekehrt proportional dem Radius des Teilchens, also, wie wir vorherhand annehmen wollen, auch umgekehrt proportional dem Radius der Wirkungssphäre  $R$ , und man hätte allgemein

$$D_{ik} R_{ik} = (D_i + D_k) \frac{R_i + R_k}{2} = \frac{DR}{2} (R_i + R_k) \left( \frac{1}{R_i} + \frac{1}{R_k} \right) = \frac{DR}{2} \frac{(R_i + R_k)^2}{R_i R_k}$$

Für  $R_i = R_k$  ~~folgt also:~~ <sup>folgt also:</sup>  $D_{ik} R_{ik} = 2DR$  (6)



General Introduction

Handwritten musical notation on a five-line staff, featuring various notes and rests.

$R_{C1} = \frac{R_1}{\sqrt{1 + R_1^2}} \approx \frac{1}{\sqrt{1 + R_1^2}}$

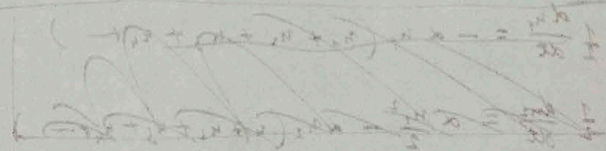






und die Lösung der Bewegungsgleichungen mit der Bedingung, dass die Geschwindigkeit zu \$t=0\$ gleich \$v\_0\$ ist, ergibt sich:

$$\left. \begin{aligned} \frac{dv_1}{dt} &= -\alpha v_1 \Sigma v \\ \frac{dv_2}{dt} &= \alpha \frac{v_1^2}{2} - \alpha v_2 \Sigma v \\ \frac{dv_3}{dt} &= \alpha v_1 v_2 - \alpha v_3 \Sigma v \\ \frac{dv_4}{dt} &= \alpha \left( \frac{1}{2} v_3 + \frac{v_2^2}{2} \right) - \alpha v_4 \Sigma v \end{aligned} \right\} \frac{d \Sigma v}{dt} = -\frac{\alpha}{2} (\Sigma v)^2$$



$$v_{>1} = \Sigma v - v_1 = \frac{v_0}{1+\beta t} - \frac{v_0}{(1+\beta t)^2} = \frac{v_0 \beta t}{[1+\beta t]^2}$$

$$\frac{dv_1}{dt} = -\alpha v_1 \Sigma v$$

$$\frac{v_{>1}}{v_1} = \beta t$$

$$\frac{dv_2}{dt} = \alpha \frac{v_1^2}{2} - \alpha v_2 \Sigma v$$

$$\frac{dv_3}{dt} = \alpha v_1 v_2 - \alpha v_3 \Sigma v$$

$$\frac{dv_4}{dt} = \alpha \left( \frac{1}{2} v_3 + \frac{v_2^2}{2} \right) - \alpha v_4 \Sigma v$$

Die Lösung der Bewegungsgleichungen mit der Bedingung, dass die Geschwindigkeit zu \$t=0\$ gleich \$v\_0\$ ist, ergibt sich:

Die Lösung der Bewegungsgleichungen mit der Bedingung, dass die Geschwindigkeit zu \$t=0\$ gleich \$v\_0\$ ist, ergibt sich:

Die Lösung der Bewegungsgleichungen mit der Bedingung, dass die Geschwindigkeit zu \$t=0\$ gleich \$v\_0\$ ist, ergibt sich:

Die Lösung der Bewegungsgleichungen mit der Bedingung, dass die Geschwindigkeit zu \$t=0\$ gleich \$v\_0\$ ist, ergibt sich:

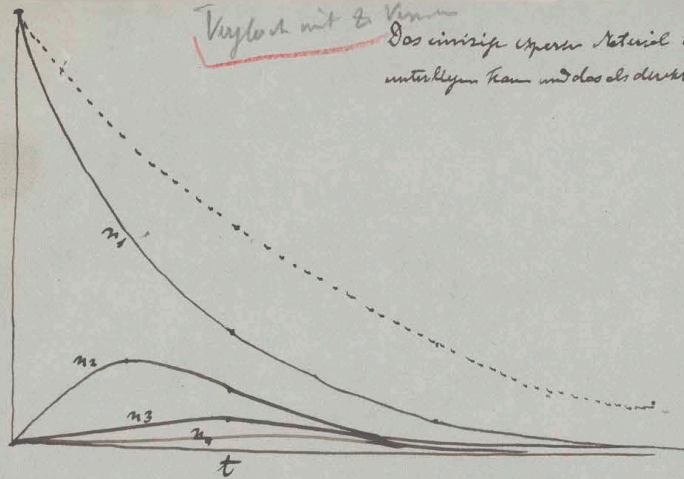
$$\frac{v_{>1}}{v_1} = \beta t$$

Die Lösung der Bewegungsgleichungen mit der Bedingung, dass die Geschwindigkeit zu \$t=0\$ gleich \$v\_0\$ ist, ergibt sich:



Vergleich mit 2 Kurven

Das einzige spezielle Material, dem ich, dessen Bedeutung kennen, Zweifel unterliegen kann und das als direkte Kontrolle dienen kann, ist die Zugversuchsmessung. Zum Vergleich zum einseitigen



Zugversuch angeführte Versuchsreihen, welche nach der gegebenen Formel angeführt, samt den nach Formel berechneten  $\beta$  Werten, sowie den daraus in Anbetracht der Formel für

$$D = \frac{FT}{N} \frac{1}{6\pi\mu a} \quad \text{folgenden Werten des Verhältnisses des } R \text{ zum Teilchenradius}$$

Curve I:  $n_0 = 0.82 \cdot 10^{10}$ ;  $\tau = 24.2 \cdot 10^{-7}$

t=0	$n_1 = 1.97$	$\beta = 0.105$
(2)	1.35	0.058
5	1.19	0.0490
10	0.89	0.0475
20	0.52	0.0403
40	0.29	

$\beta$  aus Formel  $\frac{n_1}{n_0} = \frac{1}{1 + \beta \tau}$

$$\frac{4\pi R}{6\pi a} \frac{FT}{N} \frac{1}{\mu} = \beta$$

$$0.13 \cdot 0.125$$

$$0.13 \cdot 0.066$$

$$0.12 \cdot 0.061 \quad \left(\frac{R}{\tau}\right)_{II} =$$

$$0.14 \cdot 0.070$$

$$0.145 \cdot 0.072$$

$\beta_{\text{mittel}} = 0.045$ ;  $\frac{R}{\tau} = 3.12$

Curve II:  $n_0 = 0.82 \cdot 10^{10}$ ;  $\tau = 24.2 \cdot 10^{-7}$

t=0	$n_1 = 1.97$	$\beta = 0.040$
(3)	1.56	0.0195
20	1.02	0.0183
40	0.66	0.0153
	0.76	0.0187
60	0.44	0.0126
80	0.49 (L)	

$\beta_{II} = 0.082 \cdot 0.044$

$\beta_{\text{mittel}} = 0.0188$

$\frac{R}{\tau} = 2.63$   $\left(\frac{R}{\tau}\right)_{II} =$

Curve III:  $n_0 = 0.82 \cdot 10^{10}$ ;  $\tau = 24.2 \cdot 10^{-7}$

t=0	$n_1 = 1.93$	$\beta =$
(2)	1.42	0.083
10	1.17	0.0286
20	0.75	0.0362
30	0.52	0.0309

$\beta_{II} = 0.18 \cdot 0.090$   $\beta_{\text{mittel}} = 0.0299$

$\frac{R}{\tau} = 1.40$   $\left(\frac{R}{\tau}\right)_{II} =$

Temperatur in Fluss 7





Curve 1:  $m_1 = 0.85 \cdot 10^{-10}$ ,  $\alpha = 1.4 \cdot 10^{-10}$

$t = 0$	$F = 1.97$	$\beta = 0.102$
10	1.10	0.072
20	0.95	0.042
30	0.85	0.040
40	0.75	0.040
50	0.65	0.040
60	0.55	0.040
70	0.45	0.040
80	0.35	0.040
90	0.25	0.040
100	0.15	0.040

Curve 2:  $m_2 = 0.042$ ,  $\beta = 2.41$

Curve 3:  $m_3 = 0.85 \cdot 10^{-10}$ ,  $\alpha = 1.4 \cdot 10^{-10}$

$t = 0$	$F = 1.97$	$\beta = 0.102$
10	1.10	0.072
20	0.95	0.042
30	0.85	0.040
40	0.75	0.040
50	0.65	0.040
60	0.55	0.040
70	0.45	0.040
80	0.35	0.040
90	0.25	0.040
100	0.15	0.040

Curve 4:  $m_4 = 0.85 \cdot 10^{-10}$ ,  $\alpha = 1.4 \cdot 10^{-10}$

$t = 0$	$F = 1.97$	$\beta = 0.102$
10	1.10	0.072
20	0.95	0.042
30	0.85	0.040
40	0.75	0.040
50	0.65	0.040
60	0.55	0.040
70	0.45	0.040
80	0.35	0.040
90	0.25	0.040
100	0.15	0.040

$$\beta = \frac{F}{F_0} = \frac{1}{1 + \frac{m}{F_0}}$$

$$\frac{F}{F_0} = \frac{1}{1 + \frac{m}{F_0}}$$

$$\beta = \frac{F}{F_0} = \frac{1}{1 + \frac{m}{F_0}}$$

$$\beta = \frac{F}{F_0} = \frac{1}{1 + \frac{m}{F_0}}$$

$$\beta = \frac{F}{F_0} = \frac{1}{1 + \frac{m}{F_0}}$$

$$\beta = \frac{F}{F_0} = \frac{1}{1 + \frac{m}{F_0}}$$

$$\beta = \frac{F}{F_0} = \frac{1}{1 + \frac{m}{F_0}}$$

$$\beta = \frac{F}{F_0} = \frac{1}{1 + \frac{m}{F_0}}$$

The following curves are plotted for different values of the parameter  $\alpha$ . The curves show the dependence of the function  $F$  on time  $t$ . The curves are labeled  $m_1$ ,  $m_2$ , and  $m_3$ . The curves  $m_1$  and  $m_3$  are increasing, while  $m_2$  is a bell-shaped curve.

The curves are plotted for different values of the parameter  $\alpha$ . The curves show the dependence of the function  $F$  on time  $t$ . The curves are labeled  $m_1$ ,  $m_2$ , and  $m_3$ .



Dass die Werte für 2-3 Sekunden stark abweichen, kann wohl nicht Wunder nehmen. ~~Einmal~~  
~~Das~~ unsere Formel wegen der Vernachlässigung des 1. Glieds im Anfangsstadium zu geringe Werte liefert,  
[auch könnte die Tragweite der Wirkung des  $\tau$  in diesem Gebiet nicht in Betracht kommen, da hier die Formel 2. Gl.  
Vernachlässigung der Werte ist]  
kann wohl ~~nicht~~ <sup>kann</sup> in Betracht kommen, wie eine genauere Berechnung zeigt, aber zweifellos müssen  
die unvermeidlichen Versuchsfehler gerade bei ~~kleinen~~ <sup>(so kleinen)</sup> Zeiten sehr ins Gewicht fallen. Im Allgemeinen  
kann man die Übereinstimmung in Betracht der Schwierigkeit der experimentellen Kontrolle  
als genügend betrachten. Die experimentellen Werte scheinen zwischen die beiden Formeln  
(3) (7) zu fallen, so dass man schließen könnte, dass unsere Endformel (7) den Einfluss  
<sup>(Koagulierenden)</sup>  
der mehrfachen Teilchen etwas überschätzt, doch würde ich nicht wagen, auf so schwacher  
Grundlage eine Änderung derselben ~~anzunehmen~~ <sup>anzunehmen</sup>, da ~~es~~ <sup>sehr angebracht</sup> jene Formel gewiss auf ~~keine~~  
folgerichtiger Argumentation beruht und eine ~~Abänderung~~ <sup>eine relativ geringe</sup> ~~an sich~~ durchführbar wäre, falls  
Unstimmigkeiten <sup>(eine entsprechende)</sup> ~~gegenüber~~ Änderungen der Annahmen ~~offenbar~~ <sup>noch</sup> nicht begründet können.

Siehe sage ich nicht zu entscheiden, inwiefern die Schlussresultate betriebs des  
Verhältnisses  $\frac{R}{2}$  genau sind. Würden die Teilchen bei Berührung an einander kleben bleiben,  
so müsste  $R = 2r$  sein. Die zwei ersten Versuche geben ein größeres Verhältnis, ~~das dritte~~  
ein etwas kleineres, ~~das vierte~~ <sup>letzteres</sup> ist allerdings theoretisch  
nicht zulässig, doch gibt es so viele Möglichkeiten, denen man die Divergenz zuschreiben  
könnte, dass ich darauf kein Gewicht legen möchte. Jedenfalls scheint die Schlussfolgerung  
sicher zu sein, dass sich Zsigmondy's Aussagen mit der ~~hier~~ <sup>hier</sup> unterhalten <sup>Differenz-</sup>  
theorie <sup>(der Koagulation)</sup> ~~(in~~ <sup>angenehm</sup> Übereinstimmung bringen lassen, wenn man eine <sup>Wirkungs-</sup> ~~Auswirkungs-~~  
sphäre von der Größenordnung des Teilchen durchmessers annimmt, und das scheint mir  
in Betracht der vollständigen <sup>Unmöglichkeit in der wir uns</sup> ~~Realität~~ <sup>(betrifft)</sup> des Mechanismus der Koagulation  
befanden, immerhin ein recht bemerkenswertes Resultat.



Es ist zu erwarten, dass die ...

in der ...

Es ist zu erwarten, dass die ...

Es ist zu erwarten, dass die ...

Es ist zu erwarten, dass die ...

Es ist zu erwarten, dass die ...

Es ist zu erwarten, dass die ...

Es ist zu erwarten, dass die ...

Es ist zu erwarten, dass die ...

Es ist zu erwarten, dass die ...

Es ist zu erwarten, dass die ...

Es ist zu erwarten, dass die ...

Es ist zu erwarten, dass die ...

Es ist zu erwarten, dass die ...

Es ist zu erwarten, dass die ...

Es ist zu erwarten, dass die ...

Es ist zu erwarten, dass die ...

Es ist zu erwarten, dass die ...



Nun möchte ich mir noch einige Bemerkungen erlauben, welche über diesen Gegenstand etwas hinausgehen. Vor allem eine Bemerkung allgemeinerer Art: Ist der Mechanismus der Koagulation <sup>nicht</sup> verwandt mit dem Mechanismus der chemischen Kinetik und ~~gibt~~ <sup>eröffnet</sup> unsere Theorie nicht einen Weg zu einem künstlichen Verständnis chemischer Reaktionsprozesse? Die Antwort ~~ist~~ <sup>ist</sup> ganz ~~un~~ <sup>aus</sup> der Frage, <sup>anfallen</sup> ~~was~~ die Folgerungen betreffen:

Die Koagulationsrate ist:  $I = \frac{1}{4\pi DRn_0}$ ; nehmen wir für  $R$  den Teil des Durchmesser (durch Addition der zwei Formeln)  $\left(8\right)$   
 so folgt  $I = \frac{4}{3} \frac{HT}{N} \frac{n_0}{\mu}$ , <sup>wo  $n$  der Zähpfühlkoeff. bedeutet</sup> und ~~man~~ <sup>so dass bereits bei einer Teilchenzahl</sup>

$n = \frac{1}{3} 10^{-12} N$ , also für  $\frac{1}{3} 10^9$  <sup>normale</sup> ~~Lösungen~~ <sup>lösungen</sup> die Umsatzmenge  $I$  auf eine Sekunde berechneten wäre. Bei den <sup>in Bezug auf Reaktionsgeschw.</sup> ~~wirklich beobachtbaren~~ chemischen Prozessen ist also die Reaktion ganz unvorstellbar langsamer als jene Theorie voraussetzen würde ~~ist~~. Das kann man sich leicht erklären: bei chemischen Prozessen genügt es eben nicht, dass zwei Moleküle zusammenstoßen, um die Reaktion zu bewirken, sondern sie müssen in bestimmter Weise zusammen treffen. Von allen Zusammenstößen ist im Allgemeinen nur ein verschwindend geringer Bruchteil wirklich wirksam — und das scheint mir einen wesentlichen Unterschied gegenüber der Koagulation zu liegen. Bei letzterer nämlich <sup>unversteht</sup> die Hemmung nur von der Langsamkeit der Diffusion her; bei chemischen ~~der~~ Kinetik <sup>im Allgemeinen</sup> kommt die Diffusion gar nicht in Betracht gegenüber der Hemmung, welche die Reaktion beim Zusammenstoß der geeigneten Moleküle aus bisher unbekannten Gründen erfährt. Auch der enorme Temperatureinfluss bei chemischer Kinetik weist auch auf einen wesentlichen Unterschied hin. Allerdings wird es gewiss auch Übergangsstadien geben — doch ~~kommt~~ <sup>tritt</sup> bei der chemischen Kinetik gewiss ein hier nicht berücksichtigter Faktor wesentlich bestimmend hinzu.







Damit dürfte ein zweites Unterscheidungsmerkmal zusammenhängen, das nämlich ~~chemische~~ <sup>von dem Gesetze</sup> Reaktion ~~durch die Einflüsse~~ der Wertigkeit ~~regiert~~ beherrscht werden, während bei Koagulation eine unbegrenzte ~~in~~ <sup>Agglomeration</sup> statt findet. Letztere lässt sich, wie wir schon, durch eine kugelförmige Ausrichtung erklären, während bei Dissoziation schon seinerzeit Pollaczek sich genügt hat, die Möglichkeit zugehöriger Wirkungsgebiete zu ~~verleihen~~ <sup>(die Existenz gewisser)</sup> verlassen und ~~kleine~~ „empfindliche Ouerke“ auf der Oberfläche der Atome anzunehmen, da sonst die Tatsache merklich wäre, dass  $\text{O}_2$ ,  $\text{H}_2$ ,  $\text{N}_2$  ~~einzig~~ <sup>in</sup> die Atome sich zu je zwei verbinden, ohne dass dreifache, vierfache usw. Moleküle auftreten würden.

Verallgemeinerung für langsame Koagulation, ~~Small~~ <sup>Small</sup> ~~Wertigkeit~~

Schließlich möchte ich noch kurz bemerken, dass ~~unser~~ unsere Theorie geeignet scheint, auch die Erscheinungen der langsamen Koagulation, welche bei sehr geringem Elektrolytzusatz eintreten, wenigstens in formaler Hinsicht zu umfassen. Es genügt zu diesem Zwecke, die von vornherein plausible Annahme einzuführen, dass in diesem Falle — d.h. bei unvollständiger elektrischer Teilchen-Entladung — nur ein gewisser Bruchteil <sup>E</sup>/der Zusammenstöße zweier Teilchen zur Verkettung derselben führt. Wie groß dieser Bruchteil ist, darüber wissen wir von vornherein nichts weiter, als dass er in hohem Grade von der Doppelschicht-Ladung abhängt; wir können ihn aber <sup>möglicherweise</sup> „a posteriori“ aus dem Resultate empirisch bestimmen.

Unter dieser Annahme würden genau dieselben Formeln <sup>(7)</sup>/auch in diesem allgemeinen Falle gültig bleiben, mit dem einzigen Unterschied, dass überall das Glied  $\beta$  durch  $\alpha\beta$  zu ersetzen ~~ist~~ <sup>ist</sup>. ~~Es würde dann der Koagulationsverlauf eine Funktion des Ausdrucks  $\alpha\beta = 4\pi z n_0 D R t$  sein.~~ Es folgt also ohne weiteres der wichtige







Satz, dass die bei verschiedenen Konzentrationen des Kolloids ~~und~~ des Elektrolyten erhaltenen Koagulations-Kurven ähnlich sind, in dem Sinne, dass sie durch eine entsprechende Änderung des Zeitmassstabes zur Deckung gebracht werden können.

Die zur Berechnung eines gewissen ~~Best~~ Koagulationsgrades erforderlichen Zeiten sind also ~~im~~ <sup>umgekehrt</sup> ~~proportional~~ dem Produkte  $\Sigma n_0$ .

Tatsächlich ist die Ähnlichkeit der Koagulationskurven durch die Untersuchungen von H. Paine ~~mit~~ an Kupferhydroxiden und jense von <sup>H. Drenthlich und Ishizaka an</sup> Aluminiumhydroxiden <sup>(s. H. Drenthlich u. Schuch)</sup> empirisch konstatiert worden. ~~Ishizaka~~ hat Paine auch <sup>(s. in Abrechnung mit unserer Formel)</sup> nachgewiesen, dass die Koagulationszeit <sup>umgekehrt</sup> proportional der Anfangskonzentration des Kolloids ist, und bezüglich des Wirksamkeits-Koeffizienten  $\Sigma$  kann aus jenen Messungen geschlossen werden, dass er — in dem ~~darüber~~ <sup>angehend</sup> in Betracht kommenden Gebiete — proportional der 5 oder 6 Potenz der Elektrolytkonzentration variierte. ~~Das wird also die Abhängigkeit~~ <sup>Zeiters</sup> kann aber natürlich kein allgemeines Gesetz sein, da bei stärkeren Zusätzen die Koagulationsgeschw. von der Elektrolytkonz. <sup>(auf ~~den~~ <sup>Wohlösungen</sup> beschränkt)</sup> unabhängig ist. Sehr instruktiv sind in dieser Beziehung einige Zahlen, welche mir Dr. Trignowdy gütigst mitgeteilt hat, wonach zur Erreichung desselben Koagulationsgrades einer gewissen Lösung

bei einer Elektrolytkonzentr. von 5 Millimol NaCl pro Liter eine Zeit von 150 Sek. ~~erf~~

"	"	"	10	12
			20	} 7 7 7 7
			50	
			150	
			200	

nicht var.





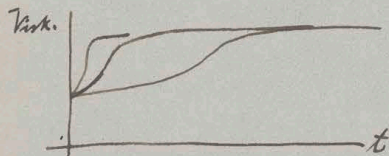


Frumlich's Messung ~~aber~~ <sup>über</sup> ~~un~~ <sup>über</sup> ~~versucht~~ <sup>versucht</sup> das Schmelzpunkt der Trag ~~Curven~~

109/13

~~Frust sind in~~ <sup>aber</sup> ~~Frumlich's Messungen~~ zu einer quantitativen Kontrolle <sup>selbst</sup> ~~man~~

Formeln leider nicht geeignet, da es natürlich nicht die Teilchenzahlen, sondern andere  
Erkenntnis, welche Komplexgröße und einstellbar unbekannte Funktionen der Teilchen-  
zahl und Teilchengröße sind, wie die Viskosität und in der zweiten Arbeit - gewisse  
Adsorptionsercheinungen. Recht man betriebs der Abhängigkeit der Viskosität von  
~~den~~ der Teilchenzahl und  $T_0$ -größe gewisse, ziemlich plausible Annahmen, so kann  
man die charakteristische, durch einen Wendepunkt gekennzeichnete Gestalt der  
Koagulations Curven Frumlich's ohne weiteres erklären, doch kommen da zu viel



hypothetische Elemente ins Spiel, als dass man von  
einer vollkommenen Kontrolle reden könnte, und  
deshalb will ich auf diese Rechnungen nicht weiter eingehen.

Es scheint mir auch nicht rationell, aus derartigen Messungen die Differential-  
gleichung der Koagulations-Kinetik ableiten zu wollen (wie es Frumlich versucht),  
solange man nicht weiß, wie die Teilchenzahlen mit dem beobachteten Effekt  
zusammenhängen. Für erstere, nicht aber für den gemessenen Gesamt Effekt ist eine  
einfache Gesetzmäßigkeit zu erwarten. Dagegen ~~sind~~ <sup>(wie wir sehen)</sup> wären derartige Messungen wohl  
geeignet, hochinteressante Aufschlüsse über die Abhängigkeit des Wirksamkeits-  
koeffizienten  $\epsilon$  von der Art und Konzentration d. Elektrolyten zu geben.

Thomson & Paine's Versuch

Bei Paine's Versuch löst sich jedoch die mathematische Analyse noch weiter  
treiben und die Sache scheint mir so interessant, dass ich es noch kurz darstellen möchte.  
Paine bestimmte nämlich direkt die Menge des koagulierten Niederschlags, welcher sich

\*) Es könnte allerdings auch  $R$  von der Elektrolyt Konzentration abhängen. Formell ist das mit der Einführung  
des  $\epsilon$  gleich vertig.

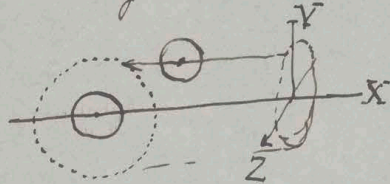


*Handwritten text, likely bleed-through from the reverse side of the page.*



aus seinen Lösungen nach gewisser Zeit dauer der Elektrolyt einwirkung absetzt, sobald die Lösung erhitzt oder <sup>in gewisser Weise</sup> energisch umgerührt wird. Die Wirkung der Erhitzung muss auf einem uns nicht bekannten Temperatur einfluss beruhen, aber die Wirkung des Umrührens lässt sich leicht begreifen.

Danken wir uns nämlich die Flüssigkeit in scherende, lamellare Bewegung versetzt, so müssen die Teilchen, auch falls sie gar keine Molekulare Bewegung ausführen würden, mitunter mit ihren Wirkungskugeln ineinander greifen und ~~da~~ <sup>(schleierweise)</sup> aneinander kleben bleiben. Die Größenordnung dieses Faktors erkennen wir, wenn wir uns ~~ein Teilchen fest denken~~ den Mittelpunkt eines Teilchens, samt seiner Wirkungskugel  $R$  als fest stehend vorstellen und berechnen, wie viel fremde Teilchenmittelpunkte im Falle lamellarer Strömung in der Zeiteinheit diese ~~Wirkungskugel~~ <sup>Wirkungskugel</sup> durchstoßen würden.



Man findet hierfür den Ausdruck:

$$2n \frac{\partial u}{\partial z} \int \int y \, dy \, dz = \frac{4n}{3} \frac{\partial u}{\partial z} \frac{1}{2} R^3$$

Der relative Wert des Strömungsfaktors ist gegeben durch das Verhältnis dieses Ausdruckes zu der infolge Diffusion sich einlagernden Menge  $2nDRn$ , beträgt also

$$\frac{1}{2R} \frac{\partial u}{\partial z} \frac{R^2}{D} = \frac{N}{HT} \mu 2R^2 \left( \frac{\partial u}{\partial z} \right) \quad \dots (9)$$

Die Koagulationswirkung des Umrührens wächst also ganz außerordentlich mit der Teilchengröße; wird  $R = 2r$  angenommen, so wird  $N$  bei ~~Zugrundelegen~~ <sup>einem</sup> Teilchenradius  $r = 10 \mu\mu$  ein Sinkwundtiefenfälle  $\frac{\partial u}{\partial z} = 1$  nur eine Vermehrung der Koagulation um den Bruchteil  $10^6$  bewirken, während dasselbe bei Teilchenradius  $r = 1 \mu$  die Koagulation auf das Doppelte des Normales steigen würde. Kurz gesagt: energisches Umrühren bewirkt rasche Koagulation der mikroskopischen Teilchen, lässt aber Submikronen



Das Diagramm zeigt die Temperaturverteilung in einem System. Die Temperatur ist auf der Y-Achse aufgetragen, die Zeit auf der X-Achse. Die Kurve zeigt einen Anstieg der Temperatur über die Zeit, was auf einen Prozess hinweist, bei dem Wärme zugeführt wird. Die Steilheit der Kurve deutet auf die Geschwindigkeit des Prozesses hin.

Die Temperaturverteilung ist in der Abbildung dargestellt. Die Kurve zeigt den Verlauf der Temperatur über die Zeit. Die Steilheit der Kurve ist ein Maß für die Geschwindigkeit des Prozesses. Die Temperaturverteilung ist ein wichtiger Parameter bei der Analyse von Systemen.

Die Temperaturverteilung ist ein wichtiger Parameter bei der Analyse von Systemen. Die Kurve zeigt den Verlauf der Temperatur über die Zeit. Die Steilheit der Kurve ist ein Maß für die Geschwindigkeit des Prozesses. Die Temperaturverteilung ist ein wichtiger Parameter bei der Analyse von Systemen.

Die Temperaturverteilung ist ein wichtiger Parameter bei der Analyse von Systemen. Die Kurve zeigt den Verlauf der Temperatur über die Zeit. Die Steilheit der Kurve ist ein Maß für die Geschwindigkeit des Prozesses. Die Temperaturverteilung ist ein wichtiger Parameter bei der Analyse von Systemen.

Die Temperaturverteilung ist ein wichtiger Parameter bei der Analyse von Systemen. Die Kurve zeigt den Verlauf der Temperatur über die Zeit. Die Steilheit der Kurve ist ein Maß für die Geschwindigkeit des Prozesses. Die Temperaturverteilung ist ein wichtiger Parameter bei der Analyse von Systemen.

Die Temperaturverteilung ist ein wichtiger Parameter bei der Analyse von Systemen. Die Kurve zeigt den Verlauf der Temperatur über die Zeit. Die Steilheit der Kurve ist ein Maß für die Geschwindigkeit des Prozesses. Die Temperaturverteilung ist ein wichtiger Parameter bei der Analyse von Systemen.

Die Temperaturverteilung ist ein wichtiger Parameter bei der Analyse von Systemen. Die Kurve zeigt den Verlauf der Temperatur über die Zeit. Die Steilheit der Kurve ist ein Maß für die Geschwindigkeit des Prozesses. Die Temperaturverteilung ist ein wichtiger Parameter bei der Analyse von Systemen.



und Primärkornen unbeeinflusst. Es wäre also anzunehmen, dass in Paine's Versuchen alle Teilchen abgeschieden wurden, welche <sup>aus</sup> (mehr als  $\frac{1}{2}$  Primärteilchen bestanden (wo  $\frac{1}{2}$  eine große Zahl ist), während der Rest, bestehend aus

$$I = n_1 + 2n_2 + 3n_3 + \dots + (n-1)n_{n-1}$$

~~das~~ Primärteilchen in Lösung blieb. Setzen wir nun unsere Formeln (7) ein, <sup>erhält man</sup> so folgt für die nicht koagulierte Menge der Ausdruck: <sup>unter Annahme der Abkürzung  $\epsilon/\beta t = \alpha$</sup>

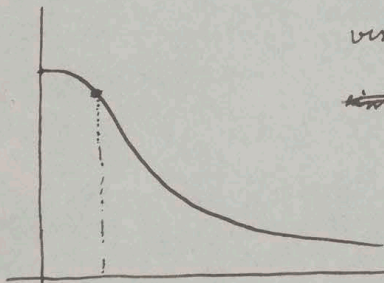
$$I = 1 - \frac{[1 + \alpha] \alpha^{n-1}}{[1 + \alpha]^n} \quad L = 1 - \frac{[1 + \alpha] \alpha^{n-1}}{[1 + \alpha]^n}$$

was für große  $n$  gleichartig ist mit:

$$I = 1 - \left[1 + \frac{1}{x}\right] e^{-\frac{1}{x}} \quad \dots \dots \dots (10)$$

wo  $x$  eine Abkürzung für die zur Zeit proportionale Größe  $x = \frac{\epsilon/\beta t}{\nu} = \frac{\epsilon/\beta t}{\nu}$  eingeführt ist.

Zeichnen wir uns diese theoretische Koagulations-Curve (10), so überzeugen wir uns, dass sie tatsächlich ganz überraschend ähnlich mit den von Paine empirisch erhaltenen Curven verläuft: Insbesondere muss eine gewisse Zeit, die „Inkubationszeit“, <sup>die Teilchen sich soweit vergrößern dass</sup> verstrichen, bevor (überhaupt eine) merklicher Koagulation ~~ist~~ Niederschlag erhalten wird, dann tritt bei dem Werte



$x = \frac{1}{3}$ ,  $I = 0.801$  ein Wendepunkt auf und von da an verläuft die Curve convex nach abwärts, um sich asymptotisch der Zeitaxe ~~zu~~ anzuschmiegen. Der

Unterschied besteht nur darin, dass der Übergang von der Inkubationszeit in die Koagulationscurve hier etwas allmählicher verläuft als in Paine's Curven und die scharfe unmotivierliche Ecke derselben vermischt.

Wenn man diese wenigen bisher ausführbaren Kontrollversuche überlegt, wird man wohl zugestehen, dass auch die Ausdehnung unserer Theorie auf das Studium der langsamen Koagulation Erfolg verspricht und als gewissermaßen Wegweiser bei vertieften Untersuchungen auf diesem bisher der Mathematik ganz unzugänglichen Gebiet ~~zu~~ nützlich sein dürfte.



... ..



kann man aus demselben den durchschnittlichen Gradwert  $\bar{K}^2$   
 mit ~~mit~~ <sup>aus</sup> ~~der~~ <sup>der</sup> ~~mittels~~ <sup>mittels</sup> ~~der~~ <sup>der</sup> ~~Durchschnittswert~~ <sup>Durchschnittswert</sup> ~~der~~ <sup>der</sup> ~~Gradwerte~~ <sup>Gradwerte</sup> ~~in~~ <sup>in</sup> ~~Differenzen~~ <sup>Differenzen</sup> ~~ist~~ <sup>ist</sup>  
 wobei auf die mittlere Zahl  $\bar{K}^2 = 0.25$  was leicht durch ~~mit~~ <sup>mit</sup> ~~der~~ <sup>der</sup> ~~Formel~~ <sup>Formel</sup>  
 die ~~Formel~~ <sup>Formel</sup> ~~besch~~ <sup>besch</sup> ~~rechnet~~ <sup>rechnet</sup> ~~man~~ <sup>man</sup>  
 auf  $\bar{K} = 0.5$  einen Wert  $P = 0.726$  erhält, ~~der~~ <sup>der</sup> ~~in~~ <sup>in</sup> ~~häufig~~ <sup>häufig</sup> ~~für~~ <sup>für</sup> ~~Zahlen~~ <sup>Zahlen</sup>  
 von einer ~~anderen~~ <sup>anderen</sup> ~~in~~ <sup>in</sup> ~~folgt~~ <sup>folgt</sup> ~~ist~~ <sup>ist</sup>, so kann man ~~den~~ <sup>den</sup> ~~Durchschnittswert~~ <sup>Durchschnittswert</sup> ~~die~~ <sup>die</sup> ~~mittlere~~ <sup>mittlere</sup> ~~Gradzahl~~ <sup>Gradzahl</sup>  
 erhalten, welche nach einer vorgegeben Zahl  $n$  absteht. Vergleich mit den theoretischen Werten  
 der Formel (13) gibt das folgende Bild

$n =$	0	1	2	2	4	5
$k_i$	+1.03	+0.45	-0.20	-1.18	-1.69	-2.80
$b_i$	+1.12	+0.40	-0.33	-1.05	-1.78	-2.50

Wir sehen also, wie tatsächlich die schon oben erwähnte reguläre Zahlenreihe ( ) doch bei  
entsprechender Mittelbildung des regelmäßigsten ungleichmäßig fallenden Differenz-  
klor zum Ansatz die bringt und zeigt, dass fast im Bereich der molekularen Schwankungen  
die durchschnittliche Konzentrationsänderung ganz in Übereinstimmung mit der Klein-Differenz  
zufallen von sich gehen, somit nicht haben wollen, dass die Klein-Differenzen die unregelmäßigen  
(dieser) molekularen Schwankungen in weit überragender Weise superponieren.  
Übrigens habe ich das experimentelle Kontroll der ganzen Theorie noch in den Einzelheiten  
durchgeführt, indem ich eine Statistik der Häufigkeiten Gruppen (n) je weiter aufsteigendes  
Zahlen entwerf, in welche sich die Sudbury'sche Zahlenreihe zerlegen lässt und dieselbe mit  
den theoretischen Häufigkeitswerten  $f_i(n, m)$  vergleicht, welche sich oft mit Hilfe des oben bestimmten P  
aus ( ) und ( ) berechnen lassen.



mit dem Theatiner ( ) ~~verpflichtet~~ <sup>daß</sup> die Disposition des hoch-Altar-Raumes und der  
Tafeln zu <sup>denk</sup> bekannt sind, ~~daß~~ <sup>daß</sup> ~~aus~~ <sup>mit</sup> Hilfe der ~~Freund~~ <sup>zu</sup> ~~zu~~ <sup>berechnen</sup> ist.

[illegible]

Zählungen	Rossmaggen	hat Wert	24
-----------	------------	----------	----

Westen: Osten

[illegible]

Das experimentelle P. beträgt 0.374 Schmelzpunkt bei 0.394

[illegible]

so wie das eine beliebige Gleichung ist. Ist  $\bar{a}(x) = \bar{a}_0 + \bar{a}_1 x + \dots + \bar{a}_n x^n$  und  $\bar{b}(x) = \bar{b}_0 + \bar{b}_1 x + \dots + \bar{b}_m x^m$  zwei Polynome in  $\mathbb{F}_p[x]$ , so ist



⊙ Bild 4 zusammenstellen mit 1 funktion. Vol. umgraben

5	2	4
6	3	4

$$\Phi = \omega [v_1 + v_2 + v_3 + (v_4(1+\alpha) + v_5(1+2\alpha) + v_6(1+3\alpha) + \dots)] = \omega [\sum v + \alpha (v_4 + v_5 + v_6 + \dots)]$$

$$\Phi = \omega v_0 + \omega v_0 \alpha \left( \frac{\varepsilon}{1+\varepsilon} \right)^3$$

$$n = \frac{\mu_0}{[1 - \Phi - \frac{2}{3}\Phi^3]^{5/2}}$$







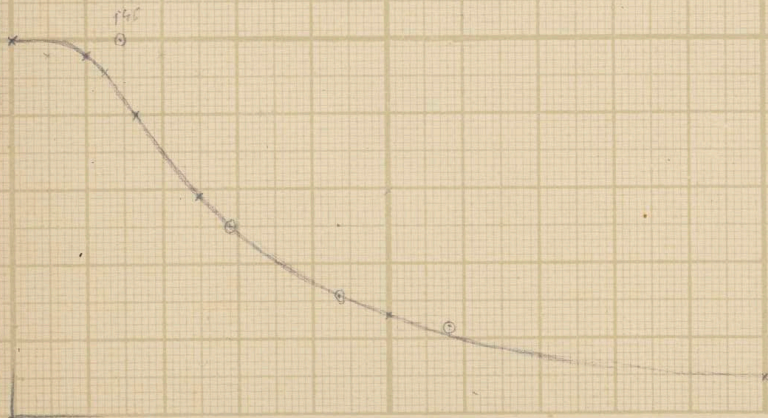
1

$$\frac{13.5}{4.5} = \frac{13}{83} = 15\% \quad (2)$$

$$\frac{9.2}{\cancel{8.3}} = 11\%$$

119

Lernung



Zeit



$$\begin{array}{r} 20101 \\ - 4293 \\ \hline 8667 \end{array}$$

$$7 - \frac{2}{e}$$

$$\begin{array}{r} 0.726 \\ \hline 0.264 \end{array}$$



$$114 : 111 = 1.03 \quad 1.03$$

$$238 : 169 = 1.45 \quad 0.45$$

74  
84

$$174 : 129 = 1.79 \quad -0.26$$

95  
5

$$126 : 69 = 1.82 \quad -1.18$$

57  
18

$$74 : 32 = 2.31 \quad -1.69$$

100  
4

$$11.5 = 2.20 \quad -2.80$$

6

-5

$$\begin{array}{r} 1.55 \\ 10.85 \\ \hline 43.1 \\ 9 \end{array}$$

(1.125)

$$0.55 : 0.726 = 0.40$$

36.3  
26

$$0.45 : 0.904 = 0.326$$

14.56  
2.16

$$-0.126$$

$$-1.052$$

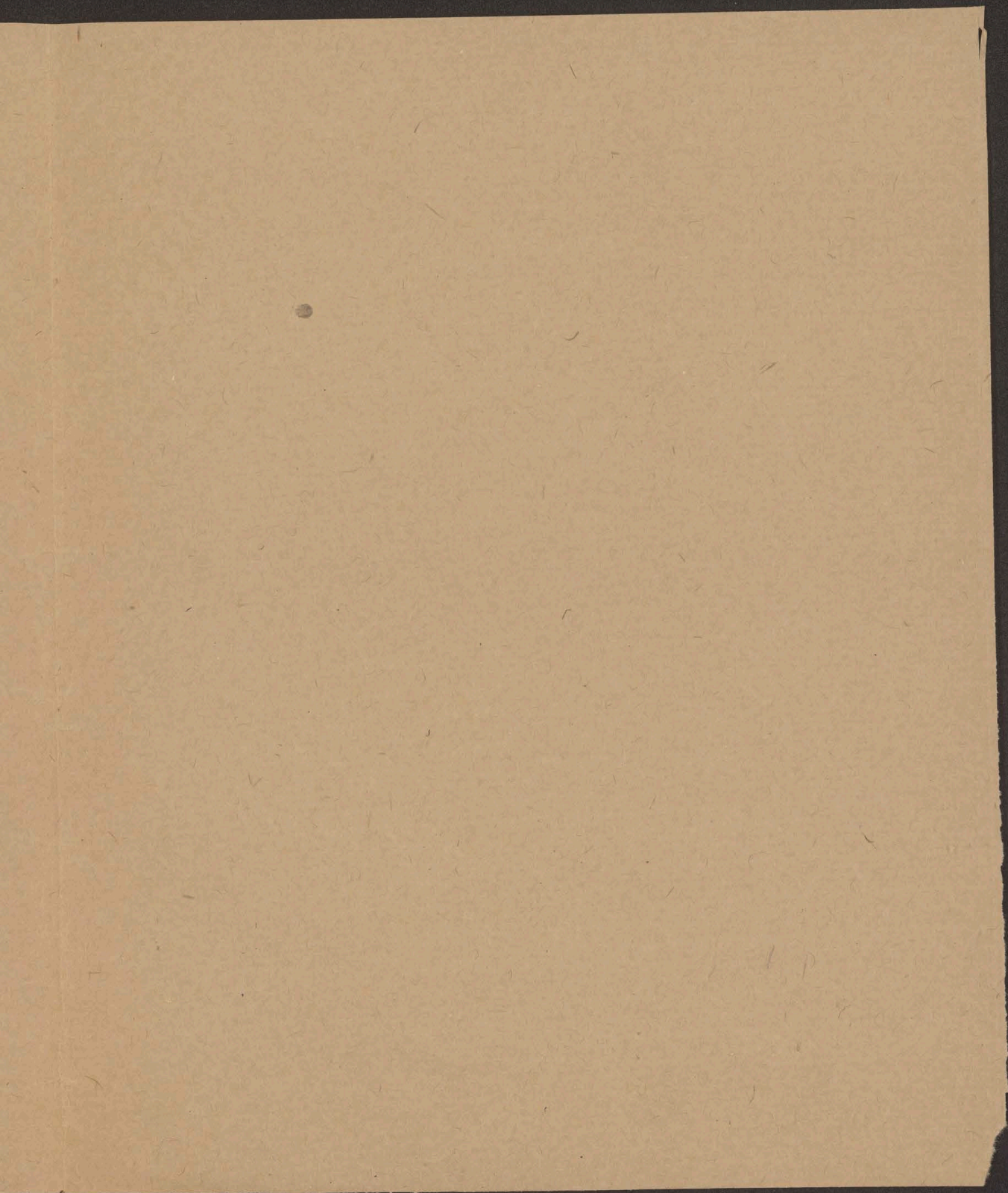
$$-1.78$$

$$-2.50$$

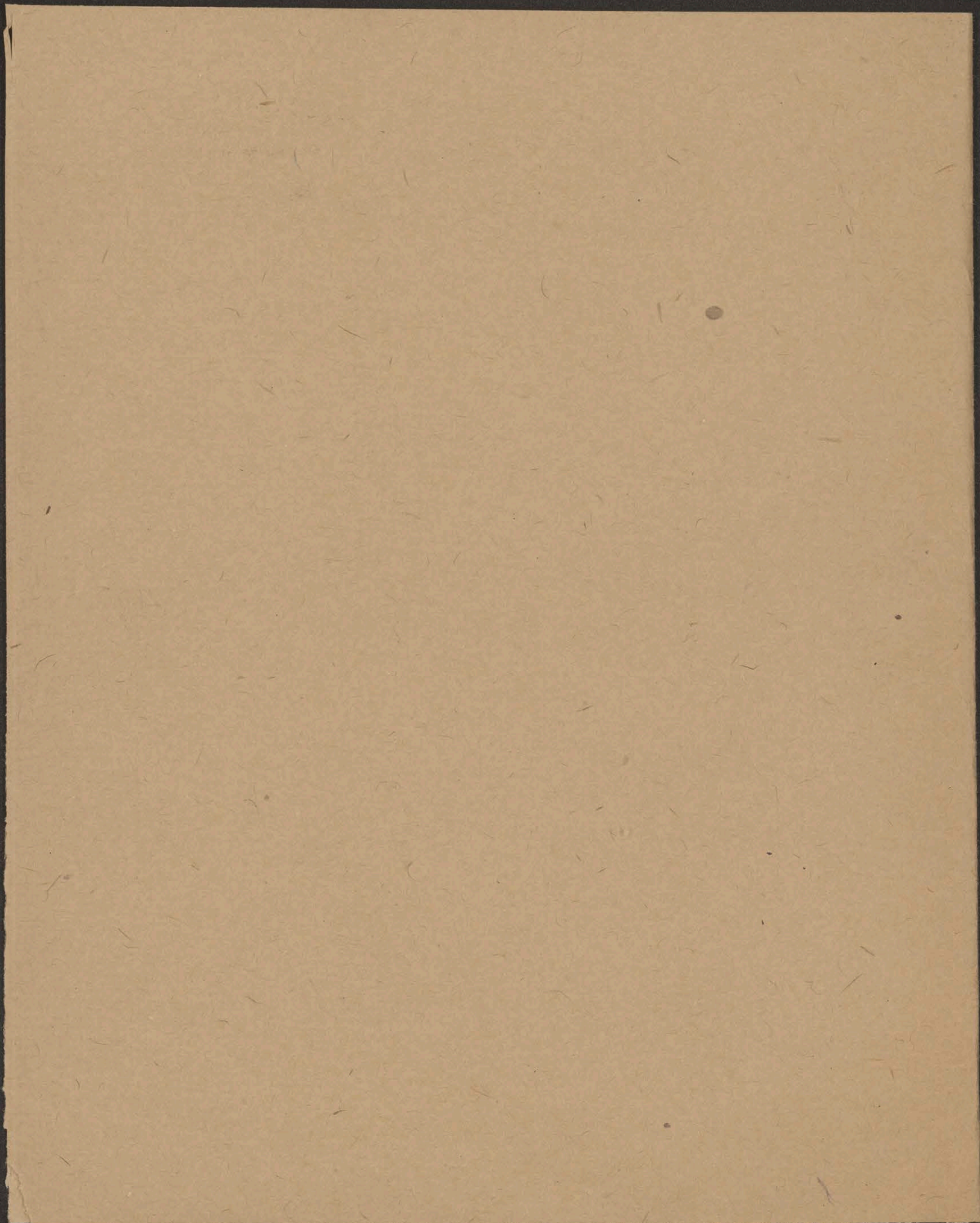


*Handwritten signature or initials in the bottom left corner.*











9365

3

116

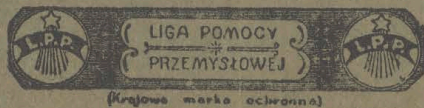


WYRÓB KRAJOWY  
  
MARKA OCHRONNA



*Göttingen*

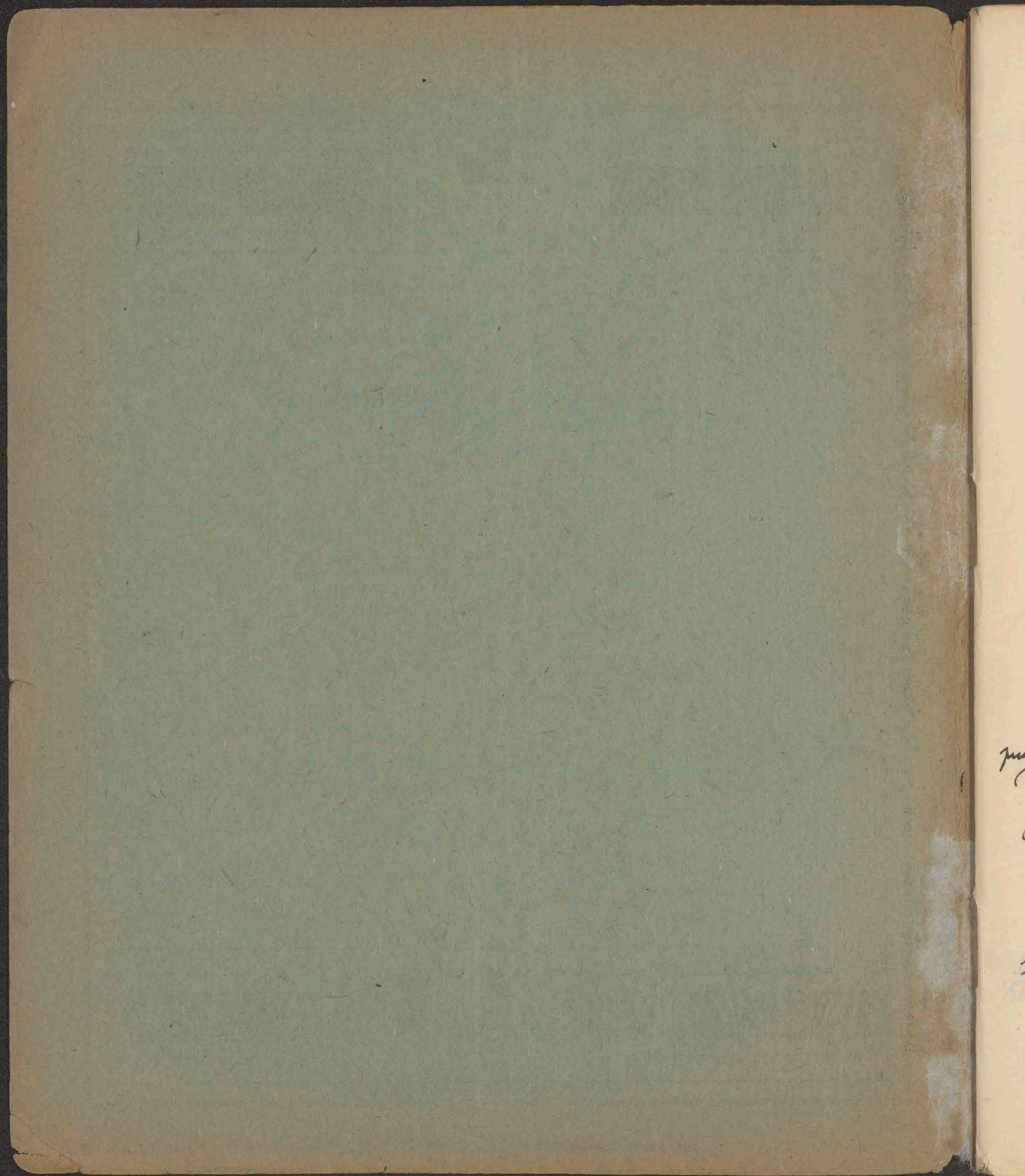
*Maxis Dweging*



O. S.









$$N=3$$

$$\frac{3!}{1! 2!} \left(\frac{1}{2}\right)^3 = \frac{3}{8}$$

+++

---

++-

+-

+ - +

- + +

- + +

---

$$N=5$$

$$\frac{5!}{2! 3!} \left(\frac{1}{2}\right)^5 = \frac{10}{32}$$

$$\frac{1}{2} \quad -\frac{1}{2}$$

Uf...

$$3 \quad 1 \quad -1 \quad -3$$

$$\frac{1}{8} \quad \frac{3}{8} \quad \frac{3}{8} \quad \frac{1}{8}$$

Kangin CR 154, 1759

Lu 1 g... ..

JM... ..

$$x \left[ \frac{1}{2} + \left(\frac{1}{2}\right)^2 + \left(\frac{1}{2}\right)^3 + \left(\frac{1}{2}\right)^4 + \dots \right]$$

$$\frac{1}{2} + \left(\frac{1}{2}\right)^2 + \left(\frac{1}{2}\right)^3 + \dots$$

$$= 1$$

$$+ \frac{1}{2} \left[ \frac{1}{2} + \dots \right]$$

$$+ \left(\frac{1}{2}\right)^2 \left[ \frac{1}{2} + \dots \right]$$

$$+ \left(\frac{1}{2}\right)^3 \left[ \frac{1}{2} + \dots \right]$$

$$+ \frac{1}{2}$$

$$+ \left(\frac{1}{2}\right)^2$$

$$+ \left(\frac{1}{2}\right)^3$$

$$= 2x$$

mus... ..

linia... ..

$$= 2$$

$$\int_{-5}^{5} \dots$$

$$Ogólnie \bar{N} = \sum_{N=2m}^{\infty} \left(\frac{1}{2}\right)^N \frac{N!}{\left(\frac{N-m}{2}\right)! \left(\frac{N+m}{2}\right)!} N$$

log...

$$\left(\frac{N}{2m}\right)^{\frac{(m)+\frac{1}{2}}{2}} \left(\frac{N}{2m}\right)^{\frac{(m)+\frac{1}{2}}{2}} \frac{1}{\sqrt{\pi} \frac{N}{2}}$$

$$(m) = \frac{N-m}{2}$$

$$(m) = \frac{N+m}{2}$$

$$N-m = N(1-\delta)$$

$$N+m = N(1+\delta)$$

$$m = N\delta$$

$$\frac{N}{N-m} = 1+\delta$$

$$= 1+\delta$$

$$N-m = \frac{N}{1+\delta}$$

$$N+m = N \frac{1+\delta}{1-\delta}$$

$$\sqrt{\frac{2}{\pi N}} \left(\frac{N}{N-m}\right)^{\frac{N+m}{2}} \left(\frac{N}{N+m}\right)^{\frac{N-m}{2}}$$

$$= \sqrt{\frac{2}{\pi N}} \frac{N}{N-m} \frac{N}{N+m}$$

$$\delta = \frac{m}{N}$$



$$\sqrt{\frac{2}{N\pi}} \int_{-\infty}^{\infty} e^{-\frac{m^2}{2N}} dm$$

$$\frac{m}{N} = x$$

$$\frac{2}{N} = dx$$

$$\sqrt{\frac{2}{N\pi}} \int_{-\infty}^{\infty} e^{-x^2 N} N \frac{dx}{2} = \sqrt{\frac{2}{N\pi}} \sqrt{\frac{\pi}{N}} N$$

$$h = \frac{N}{2} - (n) \quad (n) = \frac{N-n}{2}$$

$$= \frac{n}{2}$$

$$m = N$$

$$\frac{1}{\sqrt{\frac{2\pi N}{4}}} \cdot e^{-\frac{n^2}{4} \frac{2}{N}} = \sqrt{\frac{2}{\pi N}} e^{-\frac{n^2}{2N}}$$

~~HAHA~~

$$x = t \sqrt{2\pi \tau q}$$

$$= t \sqrt{\frac{N}{2}}$$

$$\frac{N}{2} \frac{2}{\sqrt{\pi}} \int_0^{\infty} \underbrace{t^2 e^{-t^2}}_{\frac{\sqrt{\pi}}{4}} dt = \frac{N}{4}$$

$$\frac{\int e^{-\frac{m^2}{2N}} m^2 dm}{\int e^{-\frac{m^2}{2N}} dm} \parallel \frac{N^2 \int e^{-\frac{N x^2}{2}} x^2 dx}{\int e^{-\frac{N x^2}{2}} dx} = N^2 \cdot \frac{1}{2 \frac{N}{2}} = N$$

$$\frac{m}{N} = x$$

$$\overline{N_{(m)}} = \frac{\int_{-\infty}^{\infty} e^{-\frac{m^2}{2N}} N dN}{\int_{-\infty}^{\infty} e^{-\frac{m^2}{2N}} dN}$$

$$\frac{m}{2N} = x$$

$$N = \frac{m}{2x}$$

$$dN = -\frac{m}{2x^2} dx$$

$$\frac{\int_{-\infty}^{\infty} e^{-x} \frac{m^4}{4x^3} dx}{\int_{-\infty}^{\infty} e^{-x} \frac{m^2}{2x} dx} = \frac{\frac{m^2}{2} \int_{-\infty}^{\infty} \frac{e^{-x}}{x^3} dx}{\int_{-\infty}^{\infty} \frac{e^{-x}}{x} dx}$$



$$\begin{aligned}
 & m \left| \frac{m!}{0! m!} \left(\frac{1}{2}\right)^m + (m+2) \left| \frac{(m+2)!}{1! (m+1)!} \left[1 - \frac{m!}{0! m!} \left(\frac{1}{2}\right)^m\right] \left(\frac{1}{2}\right)^{m+2} \right. \right. \\
 & \left. \left. + (m+4) \left| \frac{(m+4)!}{2! (m+2)!} \left(\frac{1}{2}\right)^{m+4} \left[1 - \frac{m!}{0! m!} \left(\frac{1}{2}\right)^m\right] \left[1 - \frac{(m+2)!}{1! (m+1)!} \left(\frac{1}{2}\right)^{m+2}\right] \right. \right. \right. \\
 & = m \left(\frac{1}{2}\right)^m + (m+2) \frac{m+2}{1!} \left(\frac{1}{2}\right)^{m+2} \left[1 - \left(\frac{1}{2}\right)^m\right] + (m+4) \frac{(m+3)(m+4)}{1 \cdot 2!} \left(\frac{1}{2}\right)^{m+4} \left[1 - \right.
 \end{aligned}$$

$$\sum \frac{(m+p)(m+p-1)(m+p-2)\dots}{\frac{p!}{2} (\frac{p}{2}-1)(\frac{p}{2}-2)\dots}$$

$$\sum (m+2p) \frac{(m+2p)(m+2p-1)(m+2p-2)\dots(m+p+1)}{p(p-1)(p-2)\dots 1} \left(\frac{1}{2}\right)^{m+2p} \left[1 - \right.$$

$$(m+2p) \binom{m+2p}{p} \left(\frac{x}{2}\right)^{m+2p} \left[1 - \right.$$

$$2y W_n = 2 \int \frac{(m+2n)!}{n! (m+n)!} \left(\frac{1}{2}\right)^{m+2n} \left[1 - \frac{m!}{0! m!} \left(\frac{1}{2}\right)^m\right] \left[1 - \frac{(m+2)!}{1! (m+1)!} \left(\frac{1}{2}\right)^{m+2}\right] \left[1 - \frac{(m+4)!}{2! (m+2)!} \left(\frac{1}{2}\right)^{m+4}\right] \dots \Bigg\}$$

$$= \sum \binom{m+2p}{p} \left(\frac{x}{2}\right)^{m+2p} = \left(\left(\frac{x}{2}\right)^2\right)^{\frac{m}{2} + p} \quad \frac{n}{m} = \beta$$

$$\frac{1}{\sqrt{2n}} \sqrt{\frac{m+2n}{n(m+n)}} \frac{\left(\frac{m}{2} + n\right)^{m+2n}}{n^n (m+n)^{m+n}} \left(\frac{m}{2} + n\right)^n$$

$$= \frac{1}{\sqrt{2n}} \sqrt{\frac{m+2n}{n(m+n)}} \left(\frac{\frac{m}{2} + n}{m+n}\right)^{m+n} \left(\frac{\frac{m}{2} + n}{n}\right)^n = \frac{1}{\sqrt{2n}} \sqrt{\frac{1+2\beta}{(1+\beta)\beta m}} \left(\frac{\frac{1}{2} + \beta}{1+\beta}\right)^{m(1+\beta)} \left(\frac{\frac{1}{2} + \beta}{\beta m}\right)^{\beta m}$$



72 341-342 April

McKean Pl. No. 33 153-172 (1912)

$$A = \frac{6}{5-f} \quad \text{Eq. 103, Comp. 2nd ed.}$$

Pl. No. 12 177-178 (1911)

April 36 L. 1911

McKean

Adorphy

$$k \frac{dx}{dc} = \frac{5-x}{x}$$

$$\log \frac{5}{5-x} - \frac{x}{5} = k_c$$

the first 4 vs 5 is 56 km/h

was 45=1

0 ~ 1/2 1/2

Stark (11) the first with 10 p 180 (König)

Same for 6 p 180 as 10 p 180

✓ 1/2 1/2

the first 1/2 p 180 is 10 p 180

(10 p 180)

10 p 180

10 p 180

10 p 180

10 p 180

10 p 180

10 p 180

10 p 180

10 p 180

10 p 180



⊕ -

~~+~~ - +

- -

$\frac{1}{2}$

- + - + - +

○

$\frac{1}{4}$

- + - + - -

○

⊖ + +

$\frac{1}{8}$

- + - - + -

- + - - - +

- + - - - -

- - + + - +

- - + + - -

- - + - + +

- - + - + -

- - + - - +

- - + - - -

- - - + + +

- - - + + -

- - - + - +

- - - - + +

- - - - + -

- - - - - +

- - - - - -

$\frac{1}{16}$

⊖ + + + +

- + - - - -

- + - - - +

- + - - - -

⊖ - - + + +

- - + + - -

- - + + - +

- - + + - -

- - - + + +

- - - + + -

- - - + - +

- - - - + +

$\frac{1}{32}$

- - - - - +

- - - - - -

- - - - - -

- - - - - -

- - - - - -

- - - - - -

$\frac{2}{32} = \frac{1}{16}$

Sunny:

+1

+1

-2 (1)

0 (1)

-3 (1)

-1 (2)

+1 (1)

-4 (1)

-2 (3)

0 (2)

-5 (1)

-3 (4)

-1 (5)

+1 (1)

(1)

(5)

(9)

(5)

(1)

(6)

(14)

(14)

(1)

(7)

(20)

(28)

(14)

(1)

(8)

(27)

(48)

(92)

(1)

(9)

(35)

(45)

(90)

(92)

(1)

(10)

(44)

(110)

(65)

(132)

154

(278)

(292)

(132)

- + + 0

+ + + 0

- + + } 0

~~+~~ + + } 0

$\frac{1}{64}$

$\frac{1}{128}$  + + + 0

+ + + 0

- + + 0

+ + + 0

- + + 0

+ + +

+ + +

- + +

+ + +

+ + +

+ + +

- - -

- - -

- - -

- - -

- - -

- - -

- - -

- - -

- - -

- - -

- - -

- - -

- - -

- - -

- - -

- - -

- - -

119

1

1

2

5

14

42

132

429

~~1430~~

1430

$\frac{(14)}{128.4} = \frac{7}{256}$

$\frac{42}{128.16} = \frac{3.7}{128.8}$

$\frac{429}{128.64} = \frac{143.3}{2.5, 11, 13}$

2.5, 11, 13

429 572 429  
1001 1001 429  
1430



$$W \left( \overbrace{\frac{N+m}{2} - \frac{N-m}{2}}^m \right) = \sqrt{\frac{2}{N\pi}} e^{-\frac{m^2}{2N}}$$

Przebiegamy sumę po  $N, m$ :

$$\sum_{N=m}^{\infty} \left[ \frac{N!}{\left(\frac{N-m}{2}\right)! \left(\frac{N+m}{2}\right)!} \right] \left(\frac{1}{2}\right)^N$$

$$\int_m^{\infty} \sqrt{\frac{2}{N\pi}} e^{-\frac{m^2}{2N}} \frac{1}{2N} dm$$

$$\frac{m^2}{2N} = x^2$$

$$m = x\sqrt{2N}$$

~~$$\sum_{N=m}^{\infty} \left[ \frac{N!}{\left(\frac{N-m}{2}\right)! \left(\frac{N+m}{2}\right)!} \right] \left(\frac{1}{2}\right)^N$$~~

$$\int_{-\infty}^{\infty} \sqrt{\frac{2}{N\pi}} e^{-\frac{m^2}{2N}} \frac{dm}{2} = 1$$

$$\int_m^{\infty} = f(m, N)$$

przebiegamy sumę po  $N$  zgodnie z poprzednim wynikiem:

$$\int_{-\infty}^m \sqrt{\frac{1}{2N\pi}} e^{-\frac{m^2}{2N}} dm = \varphi(m, N)$$

$$f(m, m) + [1 - f(m, m)] f(m, m+1) + [1 - f(m, m)] [1 - f(m, m+1)] f(m, m+2) + \dots$$

$$[1 - \varphi(m, m)] + \varphi(m, m) [1 - \varphi(m, m+1)] + \varphi(m, m) \varphi(m, m+1) [1 - \varphi(m, m+2)] + \dots$$

$$= 1 - \varphi(m, m) \varphi(m, m+1) \varphi(m, m+2) \dots \varphi(m, N)$$

$$= \int_0^1 \bar{M} = m f(m, m) + (m+1) [1 - f(m, m)] f(m, m+1) + (m+2) [1 - f(m, m)] [1 - f(m, m+1)] f(m, m+2) + \dots$$

$$\lim_{n \rightarrow \infty} \frac{u_{n+1}}{u_n} = \frac{n+1}{n} \frac{[1 - f(m, n)] f(m, n+1)}{f(m, n)}$$







$$p(N-2) = p(N-2, n-2)$$

Wtedy tych kombinacji których suma jest m:  $\frac{N!}{(N-m)! \frac{N-m}{2}!} \left(\frac{1}{2}\right)^N$

z tych odpadają one kombinacje dla których suma ustosunk (N-2) jest m albo ~~albo~~ m

z  
jako przy N ustosunk suma nie był m to warunek tych jako przy

$$N-2 \text{ ustosunk suma była } \frac{m-2}{m} \begin{cases} ++ \\ +- \\ -+ \\ -- \end{cases}$$

ale mi wystarczy kombinacje dla sumy m-2 przy (N-2) ustosunk 19 kombinacje to

odpadają 2 takie to które przy N-4 ustosunk sumy m

$$\begin{array}{l} - + - - + + + | - + - + \text{ odp. } \\ - + - - + + + | - - + + \text{ odp. } \end{array}$$

Ug. natomiast tak podobnie odpadają wszystkie kombinacje które sumy ~~nie~~ m

albo przy ~~N-2~~ <sup>albo</sup> N-4 ~~N-6~~ - ustosunk

$$\begin{array}{l} \text{Odpadają: } - + + | + + - - - + - + \\ - + + + + - - | - + - + \\ - + + + + - - - + | - + \end{array} \left\{ \begin{array}{l} \text{takie kombinacje są to same kombinacje 3 razy} \\ \text{jakie odpadają!} \end{array} \right.$$

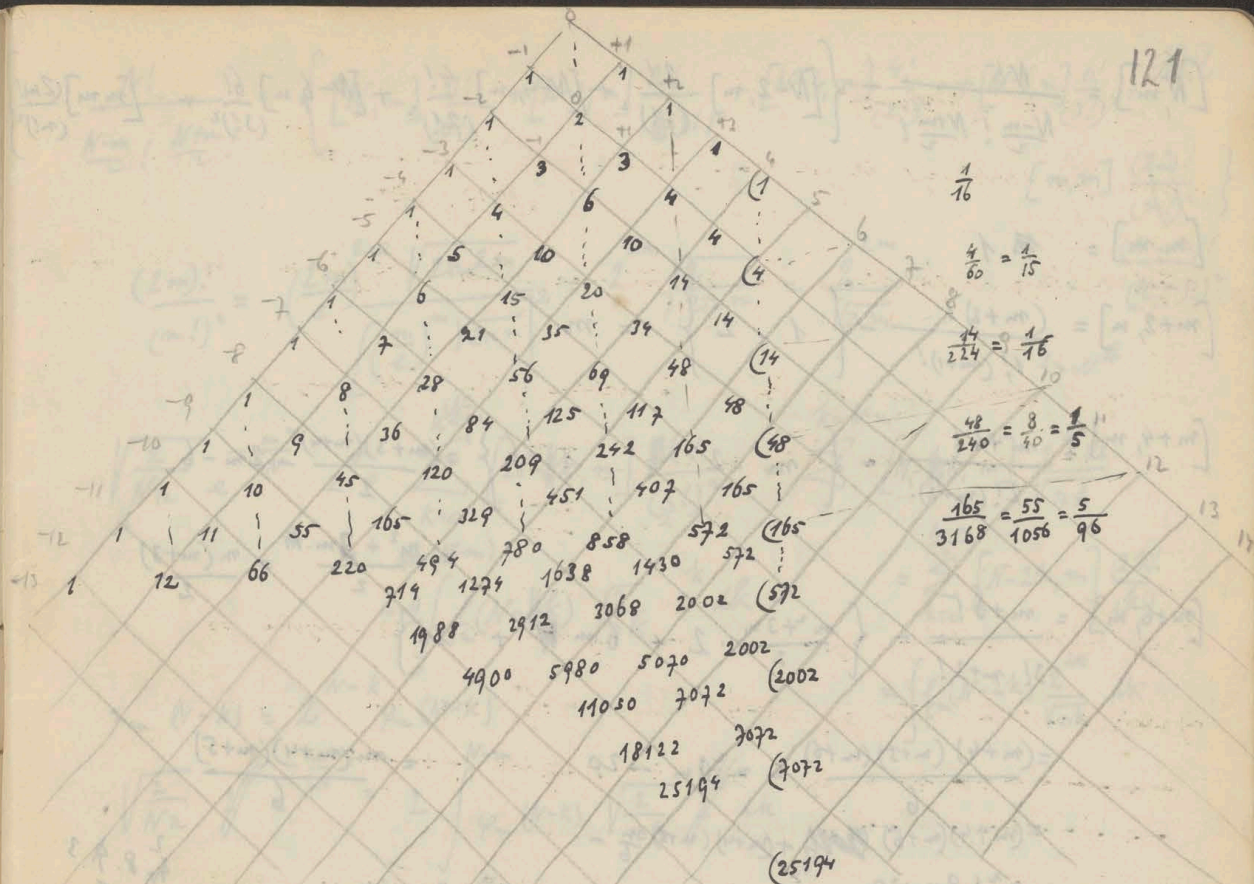
$$\begin{array}{r} 9 \cdot 11 \cdot 12 = 55 \cdot 9 \\ \hline 24 = 495 \\ 5 \cdot 6 \cdot 7 \cdot 8 \\ \hline 16 \\ 5 \cdot 6 \cdot 7 \cdot 8 \\ \hline 24 \end{array} \quad \begin{array}{r} 96 \\ 84 \\ 80 \\ 70 \\ 330 \\ 165 \end{array}$$

$$\frac{2m!}{(m!)^2} = \frac{(m+1)(m+2) \dots (2m)}{1 \cdot 2 \cdot 3 \dots m} \frac{N!}{\left(\frac{N}{2}\right)!^2}$$

$$\frac{1 \cdot 2 \cdot 3 \cdot 4 \cdot 5 \cdot 6 \cdot m(m+1)(m+2)(m+3) \dots (2m-1)(2m)}{(1 \cdot 2 \cdot 3 \cdot 4 \cdot m)^2} \frac{(2m-1)(2m)}{2!} \left(\frac{1}{2}\right)^{2m} = \frac{6}{24}$$

$$\frac{2m!}{(m!)^2} = 2^m \frac{1 \cdot 3 \cdot 5 \cdot 7 \dots (2m-1)}{1 \cdot 2 \cdot 3 \cdot 4} \frac{1 \cdot 3 \cdot 5 \cdot 7 \cdot 2^4}{1 \cdot 2 \cdot 3 \cdot 4}$$





(++++)

(+++++)

(+++++)

+++- ++  
 ++-+ ++  
 +-++ ++  
 -+++ ++

$$[N, k] = \frac{N!}{\frac{N-k}{2}! \frac{N+k}{2}!} \left\{ [N-(m-k), m] + [N-(m-k)-1, m]^{(m-k)+} \right\}$$

$$[N, m] = \frac{N!}{\frac{N-m}{2}! \frac{N+m}{2}!} \left\{ [N-2, m] \frac{2!}{2!} + [N-4, m] \frac{4!}{2!} + [N-6, m] \frac{6!}{2!} + \dots + [N-2m, m] \frac{(2m)!}{(m!)^2} \right\}$$

$$[12, 4] = \frac{12!}{4!8!} - \left\{ [12-4, 4] \cdot 2 + 14 \frac{4!}{4} + 4 \frac{6!}{(3!)^2} + 1 \cdot \frac{8!}{(4!)^2} \right\} \text{ (sturd)}$$



$$[N, m] = \frac{N!}{\frac{N-m}{2}! \frac{N+m}{2}!} - \left\{ [N-2, m] \frac{2!}{(1!)^2} + [N-4, m] \frac{4!}{(2!)^2} + [N-6, m] \frac{6!}{(3!)^2} + \dots + [m, m] \frac{(2m)!}{(m!)^2} \right\}$$

$$[m, m] = 1$$

$$[m+2, m] = \frac{(m+2)!}{1! (m+1)!} - \left\{ 1 \cdot 2 \right\} = m$$

$$[m+4, m] = \frac{m+4!}{2! (m+2)!} - \left\{ m \cdot 2 + 1 \cdot 6 \right\} = \frac{(m+3)(m+1)}{2} - 2m - 6$$

$$= \frac{m^2 + 3m}{2} = \frac{m(m+3)}{2}$$

$$[m+6, m] = \frac{m+6!}{3! (m+3)!} - \left\{ \frac{m^2+3m}{2} \cdot 2 + 6m + 20 \right\}$$

$$= \frac{(m+4)(m+5)(m+6)}{6} - m^2 - 9m - 20$$

$$= \frac{m(m+4)(m+5)}{6}$$

$$= \frac{(m+4)(m+5)}{6} + (m+4)(m+5) \frac{m}{6} - m^2 - 9m - 20$$

$$= \frac{m^3 + 9m^2 + 20m}{6}$$

$$\frac{2 \cdot 8 \cdot 3}{6}$$

$$[m+8, m] = \frac{m+8!}{4! (m+4)!} - \left\{ \frac{m^3 + 9m^2 + 20m}{6} \cdot 3 + \frac{m^2 + 3m}{2} \cdot 3 + m \cdot 20 + 70 \right\}$$

$$= \frac{(m+5)(m+6)(m+7)(m+8)}{6 \cdot 4}$$

$$\frac{13}{12} - \frac{20}{3} - 29$$



$$m] \frac{(2m)!}{(m!)^2}$$

$$\frac{N!}{\frac{N-m}{2}! \frac{N+m}{2}!} = \left\{ [N, m] \frac{0!}{0!} + [N-2, m] \frac{2!}{(1!)^2} + [N-4, m] \frac{4!}{(2!)^2} + [N-6, m] \frac{6!}{(3!)^2} + \dots \right\}$$

$$\frac{(2m)!}{(m!)^2} = \left( \frac{2m}{e} \right)^{2m} \frac{\sqrt{2\pi 2m}}{\left[ \left( \frac{m}{e} \right)^m \sqrt{2\pi m} \right]^2} = 2^{2m} \frac{\sqrt{2}}{\sqrt{\pi m}} = \frac{2^{2m}}{\sqrt{\pi m}}$$

$$\begin{aligned} \sqrt{\frac{2}{N\pi}} e^{-\frac{m^2}{2N}} 2^N &= \sum_{k=0}^{N-m} [N-k, m] \frac{k!}{(k!)^2} = \sum_{k=0}^{N-m} [N-k, m] \frac{2^k \sqrt{2}}{\sqrt{\pi k}} \\ &= 2 \int_0^{N-m} f_m(N-k) \sqrt{\frac{2}{\pi k}} dk \\ f_m(N-k) &= 2^{N-k} p_m(N-k) \end{aligned}$$

$$\sqrt{\frac{2}{N\pi}} e^{-\frac{m^2}{2N}} = 2 \int_0^{N-m} p_m(N-k) \sqrt{\frac{2}{\pi k}} dk$$

$$\frac{1}{2} \sqrt{\frac{2}{N}} e^{-\frac{m^2}{2N}} = \int_0^{N-m} p_m(N-k) \frac{dk}{\sqrt{k}} = \int_m^N p_m(n) \frac{dn}{\sqrt{N-n}}$$

$$-\frac{m}{2\sqrt{N}} e^{-\frac{m^2}{2N}} = \frac{p_m(m)}{\sqrt{N-m}} + \int_0^{N-m} \frac{\partial p_m(N-k)}{\partial n} \frac{dk}{\sqrt{k}}$$

$$\lim_{\frac{m^2}{N} \rightarrow 0} \frac{1}{2\sqrt{N}} = \int_0^N p_m(x) \frac{dx}{\sqrt{N-x}}$$

$$\begin{aligned} \int \frac{x}{\sqrt{N-x}} dx &= \int \frac{x dx}{\sqrt{N-x}} = \int \frac{dx}{\sqrt{N-x}} = \sqrt{N-x} \\ &= \int \frac{dx}{\sqrt{\frac{N}{4} - \left(\frac{x}{2}\right)^2}} = \dots \\ &= \arcsin\left(1 - \frac{2x}{N}\right) - \sqrt{N-x} \end{aligned}$$

since  $f_m(N-k) = \frac{2^{N-k}}{\sqrt{N}}$   
 by direct substitution for  $k=N \rightarrow \infty$

~~15~~  
~~20~~  
~~17~~



					0	
				-1	+1	
			-2	1	0	+2
		-3	1	2	(1	
	-4	1	3	2		
	-5	1	4	5	(2	
	-6	1	5	9	5	
	-7	1	6	14	14	(5
	-8	1	7	20	28	14
1	8	27	48	42	(14	9
1	9	35	75	90	42	
1	10	44	110	165	132	(52

96

$$\frac{1}{2}$$

$$\left(1 - \frac{1}{2}\right) \frac{1}{4} = \frac{1}{8}$$

$$\left(1 - \frac{1}{2}\right) \left(1 - \frac{1}{8}\right) \frac{9}{12} = \frac{7}{8.12}$$

$$7 \left( \frac{1}{2} \cdot \frac{7}{8} \cdot \frac{89}{8.12} \cdot \frac{1}{10} \right) = \frac{7.89}{8.12.128}$$

$$\frac{14}{140} = \frac{1}{10}$$

$$\frac{4+6}{504} = \frac{1}{72}$$

$$\frac{1}{2} + \frac{1}{2.4} + \frac{1.3}{2.4.6} + \frac{1.3.5}{2.4.6.8} +$$

$$= \frac{1}{2} \left[ 1 + \frac{1}{4} \left[ 1 + \frac{3}{6} \left[ 1 + \frac{5}{8} \left[ 1 + \frac{7}{10} \left[ 1 + \frac{9}{12} \dots \right] \right] \right] \right] \right]$$

2 4 12 40 140 204  
1 2 1.3 1.5

*(Faint handwritten notes and a circled diagram)*

$\frac{u_{n+1}}{u_n}$



$$\frac{8!}{2^8 (4!)^2} = \frac{1}{10}$$

$$= \frac{5 \cdot 4 \cdot 3 \cdot 2 \cdot 1}{2^8 \cdot 4 \cdot 3 \cdot 2 \cdot 1} = \frac{7}{256}$$

$$\frac{1}{2} \cdot \frac{2}{8} \cdot \frac{1}{6} (1 - \frac{1}{2}) (1 - \frac{1}{4}) \frac{1}{6} = \frac{1}{2} \cdot \frac{3}{4} \cdot \frac{1}{6} = \frac{1}{16}$$

$$\frac{N}{\left(\frac{N-1}{2}\right)!^2 \frac{N+1}{2} \cdot 2^N}$$

$$(1 - \frac{1}{2}) (1 - \frac{1}{4}) (1 - \frac{1}{6}) \frac{1}{8} = \frac{1}{2} \cdot \frac{3}{4} \cdot \frac{5}{6} \cdot \frac{1}{8} = \frac{5}{768}$$

$$\frac{1}{2} \cdot \frac{3}{4} \cdot \frac{5}{6} \cdot \frac{7}{8} \cdot \frac{1}{10} = \frac{7}{256}$$

opisuje prawdziwy, czyli (+1) wynosi jako suma przy  $N$  wynosi =  $\frac{1 \cdot 3 \cdot 5 \cdot 7 \cdots (N-2) \cdot 1}{2 \cdot 4 \cdot 6 \cdot 8 \cdots (N-1) \cdot N+1}$

$$\mu(N) = \frac{(N-1)!}{2^{N-1} \left(\frac{N-1}{2}\right)!^2} \cdot \frac{1}{N+1} \quad N+2 \quad \frac{1 \cdot 3 \cdot 5 \cdot 7 \cdots (N-2) \cdot N}{2 \cdot 4 \cdot 6 \cdot 8 \cdots (N-1) \cdot (N+1)} \cdot \frac{1}{N+3}$$

$$\mu(N+2) = \frac{(N+1)!}{2^{N+1} \left(\frac{N+1}{2}\right)!^2} \cdot \frac{1}{N+3} = \frac{1}{2N} \cdot \frac{1}{N+2} \cdot \frac{2^N}{\sqrt{2N}} = \frac{1}{N+2} \cdot \frac{\sqrt{2}}{N+2}$$

$$\frac{\mu(N+2)}{\mu(N)} = \frac{1}{2} \cdot \frac{N+1}{N} \cdot \frac{N+2}{N+1} = \frac{1}{2} \cdot \frac{N+2}{N} = \frac{N}{N+3}$$

$$= \frac{(N-1)!}{2^{N-1} \left(\frac{N-1}{2}\right)!^2} \cdot \frac{1}{N+1} \cdot \frac{1}{\sqrt{2(N-1)}} = \frac{1}{N+1} \cdot \frac{\sqrt{2}}{(N-1)^{1/2}}$$

$$\frac{\mu(N+2)}{N \mu(N)} = \frac{N(N+2)}{N(N+3)}$$

Atak je nę harmonijny  
dyskordant!

To dodać ceterum in  
konsonans  
ma mi value i gwałt wam  
stwierdza do historycznej konsonansy?



$$\frac{1}{\sqrt{1-x^2}} = (1-x^2)^{-1/2} = 1 + \frac{x^2}{2} + \frac{-1/2 - 3/2}{1 \cdot 2} \frac{x^4}{2} - \frac{-1/2 - 3/2 - 5/2}{1 \cdot 2 \cdot 3} x^6 \dots$$

$$= 1 + \frac{x^2}{2} + \frac{1 \cdot 3}{1 \cdot 2} \left(\frac{x^2}{2}\right)^2 + \frac{1 \cdot 3 \cdot 5}{1 \cdot 2 \cdot 3} \left(\frac{x^2}{2}\right)^3 \dots$$

$$= 1 + \frac{x^2}{2} + \frac{1 \cdot 3}{2 \cdot 4} x^4 + \frac{1 \cdot 3 \cdot 5}{2 \cdot 4 \cdot 6} x^6 + \dots$$

$$\int x dx \sqrt{1-x^2} =$$

$$(1-x^2)^{1/2} = 1 - \frac{1}{2} x^2 + \frac{1}{2} \left(-\frac{1}{2}\right) x^4 - \frac{1}{2} \frac{-1/2 - 3/2}{1 \cdot 2 \cdot 3} x^6 \dots$$

$$\sqrt{1-x^2} = 1 - \frac{x^2}{2} - \frac{1}{2} \frac{x^4}{4} - \frac{1 \cdot 3}{2 \cdot 4 \cdot 6} \frac{x^6}{6} - \frac{1 \cdot 3 \cdot 5}{2 \cdot 4 \cdot 6 \cdot 8} \frac{x^8}{8} \dots$$

$x=0$

$$1 = \frac{1}{2} + \frac{1}{2} \frac{1}{4} + \frac{1 \cdot 3}{2 \cdot 4} \frac{1}{6} + \frac{1 \cdot 3 \cdot 5}{2 \cdot 4 \cdot 6} \frac{1}{8} \dots \quad \text{(strenge)}$$

Notwendig ist

$$M = \frac{1}{2} + \frac{1}{2} \frac{3}{4} + \frac{1 \cdot 3}{2 \cdot 4} \cdot \frac{5}{6} + \frac{1 \cdot 3 \cdot 5}{2 \cdot 4 \cdot 6} \cdot \frac{7}{8}$$

$$= \lim_{x \rightarrow 1} \left[ \frac{1}{\sqrt{1-x^2}} - 1 \right] = \text{divergent!}$$

Wie ist die Situation des Grenzwerts?

am Anfang ist  
ein wenig klein  
man kann sich  
nicht vorstellen  
+1 in der  
Reihe  
da es  
divergent ist  
! divergent  
! divergent  
! divergent

Kann es nicht in der Reihenentwicklung auch vorkommen, dass die Reihe der Koeffizienten untereinander? Man braucht gar nicht eine Endliche Anzahl von Koeffizienten, da alle Koeffizienten  $\frac{1}{n!}$  Teil desselben sind, also genügt schon ein  $\frac{1}{n!}$  Teil desselben? Es sind schon alle  $\frac{1}{n!}$  Teil desselben. Daraus ergibt sich, dass alle Koeffizienten  $\frac{1}{n!}$  Teil desselben sind.







Definition der Zustandsschärfe (Einstellbar) unbefriedigend weil Definition in Bezug auf homogene Verteilung eines Systemmenge

In Wirklichkeit Wahrscheinlichkeit bei unendlichem System = Zeitverhältnis

Ist das äquivalent?

Wahrscheinlichkeit bei Systemmenge = mittleres Zeitverhältnis

↓  
falls vernünftiges Intervall konstruierbar

Als unendliche Veränderliche, welche den statistischen Sprung im Zustand definieren, und

gestellt:  $x_1 y_2 \dots x_i y_i \dots$

das setzt Gleichungen der Mechanik voraus

Denn es geht um nicht <sup>nur</sup> mechanische Phänomene handelt sich, ~~und~~ das nicht willkürlich

Größen

10. Wenn unsere Relativität noch der elektromagnetischen Vakuumzustand

betroffen ist, dann sind wohl

$x_0 y_0 z_0 \dots x_i y_i z_i \dots$  nicht selbständig? wie verstanden und verwertet

Werte gleich wahrscheinlich

Dann wäre vielleicht das homogene Medium des  $n$ -dimensionalen Raumes durch

ein strukturelles körniges Medium zu ersetzen?

Kann dies nicht ein Übergang sein zu den Quanten?

Wie wenn man im  
Gold'schen Bild der  
Fluoreszenz durch Punkt wegen  
erstet und deren wahrscheinliche  
Abweichung von wahren Dichte  
betrachtet?



Nach Herendel, Kers gilt für Sinusschwingungen der Amplitudensatz nicht  
 wohl aber, wenn ~~man~~ in ~~Kraftpunkte~~ die potentielle Energie von höherem als dem ersten Grade  
 ist.

Nun zeigt Kaláhu p. 52-58 nach Rayleigh, dass bei beliebigen durch Potenzen  
 darstellbaren Kraftpunkten die Bewegung sich durch die Superposition von Sinusschwingungen  
 (Fourier'sche Reihe) darstellen lässt

Wo liegt der Widerspruch? unendliche Anzahl von Gliedern?

Ist es wahr dass das Prinzip d. kleinsten Wirkung unbedingt Superposition nach sich zieht  
 oder läuft da noch eine speziell mechanische Voraussetzung mit unter?

Ist es wirklich die allgemeine Elektrodynamik dem Prinzip d. kleinsten Wirkung  
 unterworfen? Völligst formell wenn T & E Funktionen von anderen Entität als in Mechanik  
 sind. Was ist überhaupt der wesentliche Sinn des Problems?

Der wesentliche Sinn der Mechanik scheint mir zu sein: die Willkürlichkeit der  
 Anfangsbedingungen und Anfangsbedingungen; resp. die Willkürlichkeit zweier Zeitlagen  
 resp. dass die Bewegungsgesetze zweiten Grades sind. Das enthält die ganze Mechanik in sich.

Ist das in Elektrodynamik der Fall? Sind nicht in Elektrodynamik noch weitere Bedingungen?  
 Selbstverständlich!

Karl Abraham II p. 181 lässt sich Elektrodynamik unter die Lagrange'schen Gleichungen  
 subsumieren, jedoch nur im Falle quasi-stationärer Bewegung in der Elektrostatik.  
 der Mechanik.



De facto wird (entsprechend elektromagnetische Energie in den Vakuum ausgetauscht  
(falls derselbe nicht Willkür von Grenzflächen umgeben als in sich zurück gehalten ist)  
also ist alles de facto irreversibel. ?

Die Ableitung der elektrodynamischen Gesetze von Lorentz <sup>aus Hamilton-Prinzip</sup> ist die Variation so angefaßt,  
dass die ~~totale~~ Elektronen-geschwindigkeit  $v$  als gegeben betrachtet wird. Ist das richtig?

Nun ja:

In Wirklichkeit ist  $v$  ~~aber~~ auch variabel und mit der anderen Größe verknüpft.

Also

hydrostatische Sinnzüge werden durch Hamilton-Prinzip richtig erhalten wenn  $\rho$  constant  
vorausgesetzt sind.

Wenn im Falle der Aerostatik ist  $\rho$  variabel und durch eine thermische Größe mit  
u. v. verknüpft.

Also <sup>sind die</sup> aerostatischen Gleichungen eigentlich nicht aus ~~den~~ ~~den~~ ableitbar  
bilden sie ~~sich~~ nicht ein mechanisches sondern ein thermodynamisches System.

Tatsächlich braucht man zur vollständigen Bestimmung einer aerostatischen  
(in Falle der Bestimmung der Abdrücke)  
Bewegung die Kenntnis

- a). der ursprünglichen Lageverteilung der Luftpunkte } im unendlichen Raum  
b). der ... Geschwindigkeiten  
dann ist ~~fast~~ die Bewegung jedes Luftteilchens vollkommen bestimmt

In allgemein physikalischer Fall bemerkt man jedoch überdies noch die Kenntnis der  
c). ursprünglichen Temperaturverteilung!



Indem wir nun die unbegrenzte Wärme beugung berücksichtigen so

126

$$\frac{d\phi}{dt} = v$$

$$\frac{d\phi}{dt} = \nabla U - \nabla p + \nabla v$$

$$d\phi(p, v) = 0$$

$$e \dots$$

ist das doch rein mechanisch, wenn man die ursprüngliche

Lage und Geschw. aller Teilchen kennt,

1. Wenn alle Sechshunderttausend inneren Vögel umgekehrt sind, so sind die Vögel umgekehrt  
~~das~~ also ist die umgekehrte auch möglich (Platte p. 53!)  
(um jene Verte herum!)

Doch wenn alle Sechshunderttausend inneren Sechshunderttausend sind, so steht auch die

Umkehrung ~~unter der~~ mit jedem anderen gewöhnlichen zu Entziffern abnehmen  
die ganze Reihe (in jedem Zustand) zu Entziffern zuzunehmen.

2. Molekulare Unordnung für Stöße und Aggregationen

also ~~man~~ es die feste für solche Unordnung ~~nicht~~ gewisse Grenzen geben

von (einem) Sechshunderttausend klein hat an einem den Zustand geordnet sein

hängt dies nicht damit zusammen, dass das Elektron ein und das Volumen hat,  
~~das~~ und sich als starrer Körper bewegt, also in dem Sechshunderttausend geordnet ist.

Cohärenz

Falls diese Elektronen getrennt voneinander sind, wie sieht es auf l, t,  
was wird aus dem Wirkungsmechanismus?

Vielleicht ist dies schon in dem Begriff der Stöße enthalten?



(Poincaré JdPh 5 p 369-405 (1906) Abhandlungen in die Reine Math. 5.

Cont car *Thunbergia* (XIX + 458) Southern Africa 1908 26 per.

2 to suff.

D. Fern Thurgate.

U. Bewegung auf Dampfmaschinen, Dampfer in England

Thromb. de hypochlorite. u. theinisch. Kette.

37. Rongyabuk Lytton

Eastville Venn

From the Russell Co., Tenn., Dec 3rd 1871

Aut. 1919 (1995) Nk 3.20

of; and in the 2d

From Telegrapher's Office, 1/2 Dec 1887

Rate Rate with me Dashed for Ann Ann page 13 & 14 (1908)

Locus of convergence  $C$ ;  $C \neq R$  et cetera Petrus etc.

Days fought  
Spain & Poland

~~Long~~ ~~John~~ ~~5~~ ~~Blum~~ Wells Engrd Towne Hunt Ton XXI

Wormer 1898 Durham S. F. Hopkins

Fryka Yawaka peng kthud wetha kadawngk stotun, adawngk Bawin,

muscle sps. not abundant } probably where potato roots are growing  
much abundant

Rachwał to miłośnik!



Decembre CR 155 p 1277 (1912) : Densité et densité de l'hydrogène 127  
Le moment p... de la petite densité... est égal à...

Y. Gony Sur la théorie cinétique des gaz ionisés et le principe de Carnot  
CR 155 p 683 (1912) p. 1060

Ed. Darmon A propos de la communication de M. Roy.  
CR 155 p 1145 (1912)

Forme du gaz > h...  $t - \frac{1}{2} \frac{1}{\rho} \pm \frac{1}{2} \frac{1}{\rho} \dots$   
+ - 2...  $t - \frac{1}{2} \frac{1}{\rho} \dots$   
L'ensemble des...  $t - \frac{1}{2} \frac{1}{\rho} \dots$   
...  $t - \frac{1}{2} \frac{1}{\rho} \dots$

Indicateur La chaleur... CR 155 p 1015  
p. 5 Polymérisation



Schwankungen von Gleichgew. rühren sind im Grundsatz die molekularen Schwankungen, welche bei irgend welchen, auch irreversiblen Prozessen auftreten müssen.

Nomenklatur: Nennen wir „irreversible“ Prozesse solche, welche von einem Zustand ausgehen, der sich weiter vom angestrebten Normalzustand entfernt, als der mittlere Schwankungspunkt

„reversible“ vom umgekehrten

dem Unterschied ist doch nur graduell

Solche Schwankungen können merklich werden, <sup>z.B.</sup> wenn Anzahl der Elementaresignen gering ist

(Schwiedler'sche, Rutherford'sche Schwankung)

Wärmeflusschwankungen in stark verdünnten Gasen?

Druckschwankung würde infolge einer kleinen Ausdehnung bewirken  
Vielleicht auch bei Existenz sekundärer Wirkung d.

wenn ein (Plasma) infolge anderer starker Zustandschwankungen vereint

(stärker)

könnte er bemerkbare sekundäre Ströme induzieren (welche durch

Wärmewirkung nachweisbar sein sollten)

Andererseits wenn die Elementaresignen, aus welchen die Schwankung besteht, nicht von einander unabhängig sind, sondern epidenetisch, kaskadenartig, auftreten:

z.B. Explosionen in Gasgemischen oder bei Explosionskopfen.

Disruptive Entladung

Aufhebung der Unterabkühlung (Kristallisationskerne)

Siedewegung?

Katalytische Wirkung?



Experimentell untersuchen: Abhängigkeit d. Verteilungswahrscheinlichkeit von der bedachten  
Stoffeigenschaften  
Schwankungen im Instrument (ohne Reduciert)

Zustandswerte der  $p, q$  Schaar

Falls es sich um molekulare Systeme handelt, sind die gleichartigen Systeme permutierbar  
(darauf beruht die ganze Entropie), also sind unter der Schaar der Zustandswerte  
je soviel gleichartige Teile als es Permutationen gibt.

Somit strichartige ~~mit~~ Systeme, bestehend aus  $n!$  Stücken

Aber jede Strich aus Fasern, welche in gewissen Sinne unendlich „verschlossen“ sind:

denn für jede auch noch so nahe benachbarte  $p, q$  Anfangswerte gibt es eine  
genügend große Zeit <sup>(oder  $n!$ )</sup> „nach“ welcher die entsprechenden Curven so auseinanderlaufen  
werden, dass sie nicht mehr kontinuierlich ineinander überführbar sind.

Voraussetzungen und genügende Bedingungen für Äquipartitionsatz: ?

Nach genügend langer Zeit muss jede Coordinate von allen Anfangswerten abhängen

Es darf keinen Anfangswert geben, welcher für den Wert irgend einer Coordinate fortwährend  
seinen Einfluss behält.

Von welchen allgemeinen Eigenschaften hängt die Unabhängigkeit des Äquipartitionsatzes ab?

Von dem Theorem, welches nötig ist, um einen Anfangswert Einfluss einzuräumen auf  
den Momentenwert einer Coordinate?

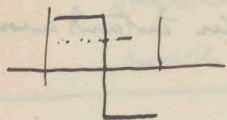
Notwendige ~~Bedingungen~~ Voraussetzung des Galton Instruments (wie Diffusion, Sied.)



Diffusion zweier gasförmiger Gase

Gefäß von  $2 \text{ cm}^3$   $\begin{matrix} \boxed{O_2} & \boxed{N_2} \end{matrix}$  aufgefüllt mit  $O_2$ ,  $N_2$  aufgeföhrt

Wie lange dauert es, bis durch Diffusion die Zustände erreicht sind, welche der mittleren Abweichung entsprechen?

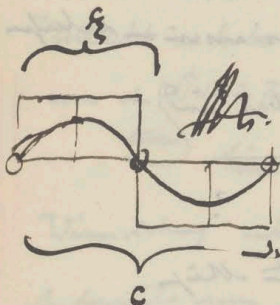
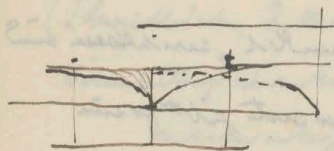


$$c_2 = \frac{1}{2} + \frac{1}{\sqrt{\pi}} \int_0^{\frac{x}{2\sqrt{Dt}}} e^{-\rho^2} d\rho$$

$$+ \frac{1}{\sqrt{\pi}} \int_0^{\frac{b-x}{2\sqrt{Dt}}} e^{-\rho^2} d\rho$$

$$- \frac{1}{\sqrt{\pi}} \int_0^{\frac{x}{2\sqrt{Dt}}} e^{-\rho^2} d\rho$$

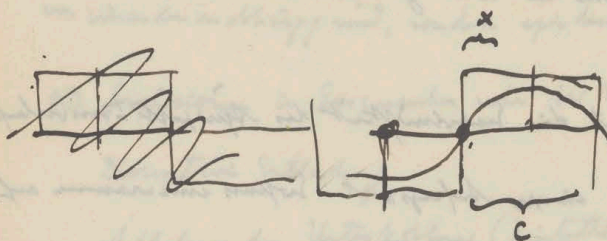
$$\frac{\partial c}{\partial t} = D \Delta c$$



Klein W. 112

$$c_2 = \frac{1}{2} + \frac{1}{c} \sum e^{-D \left( \frac{n\pi}{c} \right)^2 t} \sin \frac{n\pi x}{c}$$

$$\begin{aligned} & \frac{c}{2} \sin \frac{n\pi x}{c} \sin \frac{n\pi x}{c} dx \\ & - \frac{c}{n\pi} \cos \frac{n\pi x}{c} \sin \frac{n\pi x}{c} \bigg|_{\frac{c}{2}} \\ & \frac{c}{n\pi} \left( \cos \frac{n\pi}{2} - \cos \frac{n\pi}{2} \right) \\ & \begin{matrix} n=0 & 1 & 2 & 3 \\ 1 & 1 & -2 & 1 \end{matrix} \end{aligned}$$





$$C_2 = \frac{1}{2} + \frac{1}{2} \sum_{n=1}^{\infty} e^{-D\left(\frac{n\pi}{l}\right)^2 t} \underbrace{\sin \frac{n\pi x}{l} \int_0^x \sin \frac{n\pi \alpha}{l} d\alpha}_{-\frac{l}{n\pi} [\cos n\pi - 1]} \\ \underbrace{\frac{l}{n\pi} 2 \sin^2 \frac{n\pi}{2}}$$

$$C_2 = \frac{1}{2} + \frac{1}{2} \left[ e^{-\frac{D\pi^2}{l^2} t} \sin \frac{\pi x}{2} + \frac{e^{-D\left(\frac{3\pi}{l}\right)^2 t}}{3} \sin \frac{3\pi x}{2} + \frac{e^{-D\left(\frac{5\pi}{l}\right)^2 t}}{5} \sin \frac{5\pi x}{2} + \dots \right]$$

$$\left. \begin{array}{l} x=0 \\ x=l \end{array} \right\} C_2 = \frac{1}{2}$$

$$t=0 \quad C_2 = \frac{1}{2} + \frac{1}{2} \left[ \sin \frac{\pi x}{2} + \frac{1}{3} \sin \frac{3\pi x}{2} + \frac{1}{5} \sin \frac{5\pi x}{2} + \dots \right]$$

$$\frac{1}{1-x^2} = 1 + x^2 + x^4 + x^6 + \dots$$

$$\int \frac{x}{1-x^2} dx = \frac{x^2}{2} + \frac{x^4}{4} + \frac{x^6}{6} + \dots$$

$$\frac{dx}{1-x^2} = \frac{1}{2} \left( \frac{1}{1-x} + \frac{1}{1+x} \right) = \frac{1}{2} \ln(1-x^2)$$

$$x = e^{\frac{i\pi x}{2}} = \left( \cos \frac{\pi x}{2} + i \sin \frac{\pi x}{2} \right) = \frac{1}{2} \left( 1 - e^{\frac{2i\pi x}{2}} \right)$$

$$\frac{\pi}{2} = \frac{x}{2} + \sin x + \frac{\sin 2x}{2} + \frac{\sin 3x}{3} + \dots$$

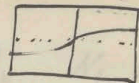
$$\frac{\pi}{4} = -\frac{x}{2} + \sin x - \frac{\sin 2x}{2} + \frac{\sin 3x}{3} - \dots$$

$$\frac{\pi}{4} = \sin x + \frac{\sin 3x}{3} + \frac{\sin 5x}{5} + \dots$$



Nach langer Zeit:  $-\frac{Dn^2 t}{l^2}$

$$c = \frac{1}{2} + \frac{2}{\pi} e^{-\frac{Dn^2 t}{l^2}} \sin \frac{n\pi x}{l}$$



Gesamt überschuss über den Mittelwert in einem Halbraum

$$\Delta \bar{c} = \frac{2g}{\pi} \int_0^{\frac{l}{2}} e^{-\frac{Dn^2 t}{l^2}} \sin \frac{n\pi x}{l} dx = \frac{2lg}{\pi^2} e^{-\frac{Dn^2 t}{l^2}} \quad n = \text{Anzahl pro Vol. Eis.}$$

$$\text{relativer überschuss} = \frac{2lg}{\pi^2} \frac{2 \text{ vol. } n}{n^2} e^{-\frac{Dn^2 t}{l^2}}$$

Dagegen ist die mittlere Schwankung des Relativschalt:

$$n \bar{\delta} \cdot \text{vol} = \sqrt{n \cdot \text{vol}}$$

Also wenn dies gleich gesetzt wird:

$$e^{-\frac{Dn^2 t}{l^2}} = \frac{n^2}{2} \frac{1}{\sqrt{n \cdot \text{vol}}}$$

$$t = \frac{l^2}{n^2 D} \ln \left( \frac{2 \sqrt{n \cdot \text{vol}}}{n^2} \right) = \frac{l^2}{n^2 D} \left\{ \ln 2 - 2 \ln n + \frac{1}{2} \ln(n \cdot \text{vol}) \right\}$$

$$10. \quad \text{vol} = 1 \text{ cm}^3$$

$$n = 3.10^{19}$$

$$t = \frac{1}{n^2 D} \left\{ 0.3 - 2 \cdot 0.497 + \frac{1}{2} \cdot 19.47 \right\} \cdot 2.30$$

Ergebnis 20 sek.



Wahrscheinlichkeit einer <sup>Dichte differenz</sup> ~~Veränderung~~  $> \delta$

$$\int_{-\infty}^{\infty} \frac{1}{\sqrt{2\pi}} e^{-\frac{v^2}{2}} dv$$

Differenzzeit  $t = f(\delta)$

Aufg. d. Dichte differenz

$$\sqrt{\frac{v}{2\pi}} e^{-\frac{v^2}{2}} dv = \text{relativen Zeitraum } \delta \dots \delta + d\delta$$

Also ist Zeitraum, während welcher sich ein System  $\left\{ \begin{array}{l} dt = f(\delta_0, \delta) d\delta \\ \text{innerhalb des Dichtes } \delta \dots \delta + d\delta \text{ befindet,} \end{array} \right.$

abhängig vom Anfangszustand und von  $\delta$

Wahrscheinlichkeit eines Anfangszustandes  $\delta_0 \dots \delta_0 + d\delta_0$   $W(\delta_0) d\delta_0$

$$W(\delta) d\delta = \frac{1}{T} \int_{\delta} W(\delta_0) d\delta_0 dt$$

Verdichtung  $\delta, \dots$  verteilten Raum hängt ab von Verteilg. der Koordinaten in  
einem Gleichgewichtszustand

bei gegebenen Koordinaten ist die gesamte Überzahl des Raumes so dass  $\delta$  bestimmt  
falls  $\delta$  auftritt  $\gg \bar{\delta}_m$  vorst

heißt es dass  $\delta$  zunimmt falls  $\delta$  anfängt  $\ll \bar{\delta}$  vor

und nur bei ganz speziellen Verteilg.  $\S 49$  wird  $\delta$  zunehmen

Ebenso ist die Sache bei anderen Entropieprozessen



Wahrscheinl. einer ± Breite diff. > 1% =

$$W_1 = 2 \sqrt{\frac{v}{2\pi}} \int_{\delta = \frac{1}{100}}^{\delta = \frac{1}{10}} e^{-\frac{v\delta^2}{2}} d\delta$$

$$v \frac{\delta^2}{2} = x^2$$

$$\delta \sqrt{\frac{v}{2}} = x$$

$$\delta^2 = \frac{1}{v}$$

Wahrsch. einer Größtdiff. >  $\bar{\delta}$

$$W_0 = 2 \sqrt{\frac{v}{2\pi}} \int_{\bar{\delta}}^{\infty} e^{-\frac{v\delta^2}{2}} d\delta$$

$$= \frac{2}{\sqrt{2\pi}} \int_{\frac{1}{\bar{\delta}}}^{\infty} e^{-x^2} dx$$

also sind auch Zeiten wo Größtdiff. > 1% : Zeit wo Größtdiff. >  $\bar{\delta}$

$\tau_1$

:

$\tau_0$

$$= W_1 : W_0$$

Aber Zeit wo Größtdiff. >  $\bar{\delta}$  ist absolut berechnet, somit haben wir auch  
(ausgewählte Diffusionstheorie)

$\tau_1$  absolut berechnet und nicht Wp

nicht richtig! nur für solche Zustände welches  
von vollständiger Entmischung ausgehen sind

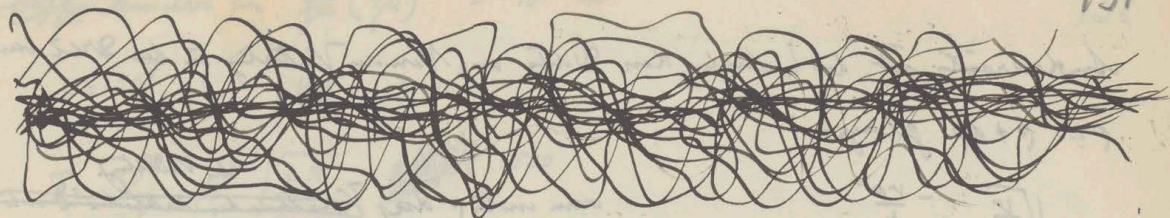
Bei vollständiger fester Anfangszustand ist die Verteilg. n. der Zeit

$$c_0 = \frac{1}{2} + \frac{1}{\sqrt{2\pi}} \int_0^{\frac{x}{\sqrt{2Dt}}} e^{-\frac{p^2}{2}} dp$$

$$\text{also } \frac{\partial c_1}{\partial x} = \frac{1}{\sqrt{2\pi Dt}} e^{-\frac{x^2}{4Dt}} \Big|_{x=0} = \frac{1}{\sqrt{2\pi Dt}}$$

$$\text{also durchströmte Menge} = \frac{D}{\sqrt{2\pi Dt}} \cdot 2\sqrt{\frac{D}{\pi t}}$$





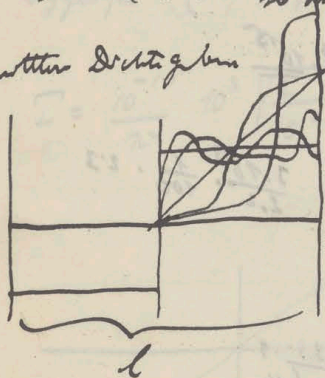
wenn alle Gitterpunkte und Atome vorhanden sind  $\lambda$  ist dann so, wobei dann  $H$  steigt ab und fällt  
aber wenn nicht alle, dann

Wahrsch., dass Dichteverteilung  $\delta = \text{const.}$  stattfindet:

$$T_0 = \frac{1}{N} \sum_{i=1}^N \frac{1}{\delta_i}$$

Falls ausgeglichene Dichte  $\delta$  vorhanden als Nebenbedingung dazukommt,  
so dass nur solche Verteilungen verglichen werden, welche denselben

mittleren Dichtegaben



jede Verteilung multipl. mit ihrer Wahrsch.

Durchschnitt wird für jede Verteilung die pro Teilchenheit von rechts  
nach links ~~steigend~~ <sup>abnehmend</sup> übersteigende Quantität (nach Dispersionstheorie)  
und hieraus die mittlere Teilchenheit  $\delta$  berechnet werden  
die Systeme sehr innerhalb der Dichte  $\delta$  -  $\delta + \delta$  befinden.

~~Unter bestimmten Umständen~~ Vorher sehen wir dass <sup>in Abh.</sup> noch längere Zeit bei beliebig unregelm. Anordn.  
zustand eine Sinuswelle resultiert

$$c = c_0 \sin \frac{\pi x}{l}$$

das ist dann die mittlere Dichte

$$\frac{c_0}{l} \int_0^l \sin \frac{\pi x}{l} dx = \frac{c_0}{\pi} = \text{const.}$$

und die übergewandte Quantität

$$D \frac{\partial c}{\partial x} \Big|_0 = c_0 \frac{\pi}{l} D = \frac{D c_0 \pi^2}{l^2}$$

Somit Teilchenheit, während welcher Dichte von  $c$  auf  $c - \delta$  absinkt

$$dt \frac{D c_0 \pi^2}{l^2} = l \delta$$

$$dt = \frac{l^2}{\pi^2} \frac{\delta}{D}$$

} Form dieser Gleichung  
wobei aus Dimensions-  
betrachtung abzuleiten!







~~Die Dichte für~~  $(\mu)^3 = 10^{-12} \text{ m}^3$

$v = 2 \cdot 10^7$

$\frac{1}{\mu} = \frac{2}{3} \cdot 10^3$

$T = \frac{10^{-8}}{\pi^2} \cdot 10^3 \sqrt{\frac{2\pi}{3 \cdot 10^7}} \cdot 1500$

$= 4.5 \cdot 10^{-10} \cdot e^{1500}$

$\lg T = -10 \cdot 18 + 1500 \cdot \frac{0.434}{650}$

$T = 10^{640}$

$\lg \mu \text{ für } (0.1 \mu)^3 \text{ R}$

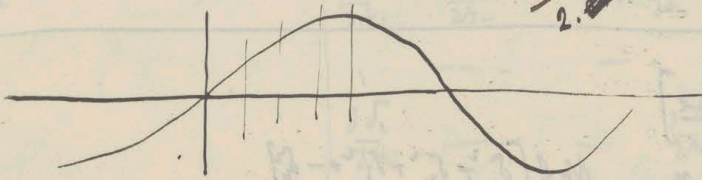
$T = \frac{10^{-10}}{\pi^2} \cdot 10^3 \sqrt{\frac{2}{10^{10}}} \cdot e^{15} = 10^{12} \text{ m.}$

$\frac{2}{3} \cdot 10^3 \cdot \frac{1}{125}$

$= 2^{6 \cdot \frac{6.43}{26}}$

$\frac{10^{-8}}{2 \cdot \sqrt{2}} \cdot \frac{1}{1.40}$

$\rho - \rho_0 = f(x) = \sum_{n=1}^{\infty} A_n \sin \frac{n\pi x}{l}$



$v = \frac{R \theta_0}{\mu}$

$\mu = \text{absolutes relatives}$

Arbeit bei Ausdehnung auf diese normale Dichte  $\rho_0$

$\frac{1}{R \theta_0} \sum \frac{v}{2} \int_{v_0}^v (\rho - \rho_0) dv = \frac{g}{\mu \cdot R \theta_0} \int_0^l \rho dx \int_{v_0}^v (\rho - \rho_0) dv$

$\rho = \frac{R \theta_0}{v}$

$= \frac{g}{\mu} \int_0^l \frac{\rho (v - v_0)^2}{2} dx = -\frac{(v - v_0)^2}{2} \frac{R \theta_0}{v_0^2} \int_0^l \rho dx$   
 $= \frac{g}{\mu} \int_0^l \frac{\rho (v - v_0)^2}{2} dx = \frac{g}{2\mu} \int_0^l \rho (1 - \frac{v_0}{v})^2 dx$



$$\text{Arbeit} = \frac{\rho_0}{2\mu} \int_0^l \left[ A_k \sin \frac{k\pi x}{l} + D_k \cos \frac{k\pi x}{l} \right]^2 dx = \frac{\rho_0 l}{4\mu} \sum [A_k^2 + D_k^2]$$

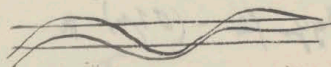
$$\rho = \rho_0 \left[ 1 + A_k \sin \frac{k\pi x}{l} + D_k \cos \frac{k\pi x}{l} \right]$$

$$\int_{-l}^{+l} \rho dx = 2l\rho_0$$

$$\frac{2\rho_0 l}{n} \sum (-1)^k \frac{D_k}{k} = 0$$

Benegnegte Summe: alle  $D=0$

$$d\rho = \rho_0 \sum \sin \frac{k\pi x}{l} dA_k$$



Wahrscheinlichkeit eines:  ~~$A_k \dots A_k + dA_k$~~   $\rho \dots \rho + d\rho$

$$W \dots = \rho_0 e^{-\frac{\rho_0 l}{4\mu} \sum A_k^2} \sum \sin \frac{k\pi x}{l} dA_k$$

$$\rho = \rho_0 \left[ 1 + \sum A_k \sin \frac{k\pi x}{l} \right]$$

$$dW = \left[ \frac{N_0 l}{2\pi n} \right]^{\frac{n}{2}} e^{-\frac{N_0 l}{2n} [\delta_1^2 + \delta_2^2 + \delta_3^2 + \dots + \delta_n^2]} d\delta_1 d\delta_2 d\delta_3 \dots d\delta_n$$

$$d\delta_1 + d\delta_2 + \dots + d\delta_n = n d\delta \quad \delta_1 + \delta_2 + \delta_3 + \dots + \delta_n = n\delta$$

$$\delta_1 = A_1 \sin \frac{\pi x_1}{l} + A_2 \sin \frac{2\pi x_1}{l} + A_3 \sin \frac{3\pi x_1}{l} + \dots + A_n \sin \frac{n\pi x_1}{l}$$

$$\delta_2 = A_1 \sin \frac{\pi x_2}{l} + A_2 \sin \frac{2\pi x_2}{l} + \dots + A_n \sin \frac{n\pi x_2}{l}$$

$$\delta_n = A_1 \sin \frac{\pi x_n}{l} + A_2 \sin \frac{2\pi x_n}{l} + \dots + A_n \sin \frac{n\pi x_n}{l}$$

$$\sin \frac{\pi x_1}{l}$$

$$\sin \frac{n\pi x_1}{l}$$



$$\begin{pmatrix} \delta_1 & \dots & \delta_n \\ A_1 & & A_n \end{pmatrix}$$

Wenn  $\# n = \sum A_k \text{ sei } \frac{k\pi x}{\ell}$

so ist die durch den Punkt  $x=0$  überströmende Menge:

$$\bar{M} = D \cdot \frac{\partial u}{\partial x} \Big|_0 = \frac{Dn}{\ell} \sum_1^\infty k A_k dt$$

Also ist zu bilden: 
$$\frac{\int dW \sum k A_k}{\int dW}$$

$$A_m = \sum \delta_n \sin \frac{k\pi x_n}{\ell}$$

$$\frac{\partial(\delta_1, \delta_2, \dots, \delta_n)}{\partial(A_1, A_2, \dots, A_n)} = \begin{vmatrix} \frac{\partial \delta_1}{\partial A_1} & \frac{\partial \delta_1}{\partial A_2} & \dots & \frac{\partial \delta_1}{\partial A_n} \\ \frac{\partial \delta_2}{\partial A_1} & \frac{\partial \delta_2}{\partial A_2} & \dots & \frac{\partial \delta_2}{\partial A_n} \\ \vdots & \vdots & \ddots & \vdots \\ \frac{\partial \delta_n}{\partial A_1} & \dots & \dots & \frac{\partial \delta_n}{\partial A_n} \end{vmatrix} = \begin{vmatrix} \sin \frac{\pi x_1}{\ell} & \sin \frac{2\pi x_1}{\ell} & \dots & \sin \frac{n\pi x_1}{\ell} \\ \sin \frac{\pi x_2}{\ell} & \sin \frac{2\pi x_2}{\ell} & \dots & \sin \frac{n\pi x_2}{\ell} \\ \vdots & \vdots & \ddots & \vdots \\ \sin \frac{\pi x_n}{\ell} & \sin \frac{2\pi x_n}{\ell} & \dots & \sin \frac{n\pi x_n}{\ell} \end{vmatrix}$$

$$\left( \frac{\sin \frac{\pi x_1}{\ell} \sin \frac{2\pi x_1}{\ell} \dots \sin \frac{n\pi x_1}{\ell}}{\dots} \right) = \frac{1}{\frac{\partial(A_1, A_2, \dots, A_n)}{\partial(\delta_1, \delta_2, \dots, \delta_n)}}$$

$$\begin{aligned} \sin \frac{\pi x_1}{\ell} \sin \frac{2\pi x_1}{\ell} + \sin \frac{2\pi x_1}{\ell} \sin \frac{3\pi x_1}{\ell} + \dots - \sin \frac{\pi x_1}{\ell} \sin \frac{3\pi x_1}{\ell} &= \cos(k+1) \frac{\pi x_1}{\ell} - \cos(k-1) \frac{\pi x_1}{\ell} \\ &+ \cos(k+1) \frac{\pi x_2}{\ell} - \cos(k-1) \frac{\pi x_2}{\ell} \\ &\vdots \\ &= 0 \end{aligned}$$



$$\sin \frac{k\pi x_1}{l} + \sin \frac{k\pi x_2}{l} + \dots$$

$$\sin \frac{k\pi x_1}{l} = \frac{1}{2} \left\{ 1 - \cos \frac{2k\pi x_1}{l} + 1 - \cos \frac{2k\pi x_2}{l} + \dots \right\} = \frac{n}{2}$$

$$A_k = \frac{2}{n} \sum \delta_i \sin \frac{k\pi x_i}{l}$$

$$d\delta_1, d\delta_2, \dots, d\delta_n = d\delta_1 \dots d\delta_n \cdot \begin{vmatrix} \sin \frac{k\pi x_1}{l} & \sin \frac{k\pi x_2}{l} & \dots & \sin \frac{k\pi x_n}{l} \\ \sin \frac{2k\pi x_1}{l} & \sin \frac{2k\pi x_2}{l} & \dots & \sin \frac{2k\pi x_n}{l} \\ \vdots & \vdots & \ddots & \vdots \\ \sin \frac{nk\pi x_1}{l} & \sin \frac{nk\pi x_2}{l} & \dots & \sin \frac{nk\pi x_n}{l} \end{vmatrix} \cdot \left(\frac{2}{n}\right)^n$$

$\Delta$

$$d\delta_1, d\delta_2, \dots, d\delta_n = \Delta dA_1 \dots dA_n$$

$$= \Delta^2 \left(\frac{2}{n}\right)^n d\delta_1 \dots d\delta_n$$

$$\Delta^2 \left(\frac{2}{n}\right)^n = 1$$

$$\Delta^2 = \left(\frac{2}{n}\right)^n$$

$$\frac{1}{n} [\delta_1^2 + \delta_2^2 + \dots + \delta_n^2] = \int_0^l \left(\frac{\rho - \rho_0}{\rho_0}\right)^2 dx$$

$$dW = \left[ \frac{Nq}{4\pi} \right]^2 e^{-\frac{Nq}{2} \int_0^l \left(\frac{\rho - \rho_0}{\rho_0}\right)^2 dx} \cdot dA_1 dA_2 \dots dA_n$$

$$\int_0^l \left(\frac{\rho - \rho_0}{\rho_0}\right)^2 dx = A_1^2 \int_0^l \sin^2 \frac{\pi x}{l} dx + A_2^2 \int_0^l \sin^2 \frac{2\pi x}{l} dx + \dots$$

$$= \frac{l}{2} [A_1^2 + A_2^2 + \dots + A_n^2]$$

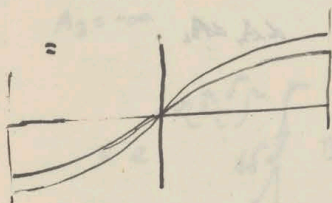


Wymagamy być może (o ile to możliwe) równania (α):

134

$$\overline{\sum k A_k} = \frac{\int dW \sum k A_k}{\int dW} = \frac{\iint \left[ \sum_{k=1}^{\infty} k A_k \right] \left[ e^{-\frac{N g l}{4} \sum A_k^2} dA_1 dA_2 \dots \right]}{\iint e^{-\frac{N g l}{4} \sum A_k^2} dA_1 dA_2 \dots}$$

$$= \frac{\int_{-\infty}^{\infty} A_1 e^{-r A_1^2} dA_1 \int_{-\infty}^{\infty} e^{-r A_2^2} dA_2 \dots}{\int_{-\infty}^{\infty} e^{-r A_1^2} dA_1 \int_{-\infty}^{\infty} e^{-r A_2^2} dA_2 \dots} + 2 \frac{\int_{-\infty}^{\infty} A_1 e^{-r A_1^2} dA_1 \int_{-\infty}^{\infty} A_2 e^{-r A_2^2} dA_2 \dots}{\int_{-\infty}^{\infty} e^{-r A_1^2} dA_1 \int_{-\infty}^{\infty} e^{-r A_2^2} dA_2 \dots} + \dots$$



$$\frac{\rho - \rho_0}{\rho_0} = A_1 \sin \frac{\pi x}{\ell}$$

$$\rho = \rho_0 \left[ 1 + A_1 \sin \frac{\pi x}{\ell} \right]$$

$$\bar{\rho} = \rho_0 \left[ 1 + 2 \frac{A_1}{\pi} \right] = \frac{2}{\ell} \int_0^{\frac{\ell}{2}} \rho dx \quad \parallel \quad \bar{\delta}_1 = \frac{2 A_1}{\pi}$$

$$dW = \sqrt{\frac{N g l}{2 \cdot \pi n}} e^{-\frac{N g l}{4} \left( \frac{A_1}{\pi} \right)^2} d\bar{\delta}_1$$

$$M = \frac{D n}{\ell} \cdot A_1 dt = D \left( \frac{n}{\ell} \right) \bar{\delta}_1 dt$$

$$\delta = A_1 \sin \frac{\pi x}{\ell} + A_2 \sin \frac{2\pi x}{\ell}$$

$$\bar{\delta}_1 = \frac{4}{\ell} \int_0^{\frac{\ell}{2}} \delta dx$$

$$\bar{\delta}_2 = \frac{4}{\ell} \int_0^{\frac{\ell}{2}} \delta dx$$

$$\bar{\delta}_1 = \frac{4}{\ell} \left[ A_1 \left( \cos \frac{\pi}{2} - 1 \right) + \frac{A_2}{2} \left( \cos \pi - \cos \frac{\pi}{2} \right) \right]$$

$$\bar{\delta}_2 = \frac{4}{\ell} \left[ A_1 \left( \cos \pi - \cos \frac{\pi}{2} \right) + \frac{A_2}{2} \left( \cos 2\pi - \cos \pi \right) \right]$$



$$\delta_1 + \delta_2 + \dots + \delta_{n-1} + \delta_n = n\delta$$

$$\delta_1 = \delta_2$$

$$\delta_2 = n\delta - \delta_1 - \dots - \delta_{n-1}$$

$$\int d\delta_1, \dots, d\delta_n = \int d\delta_1, \dots, d\delta_{n-1}, d\delta \cdot \begin{vmatrix} 1 & 0 & 0 & \dots & 0 \\ 0 & 1 & \dots & & 0 \\ 0 & 0 & 1 & \dots & 0 \\ \vdots & \vdots & \vdots & \ddots & \vdots \\ -1 & -1 & -1 & \dots & -1 & n \end{vmatrix}$$

$$= n \int d\delta_1, \dots, d\delta_{n-1}, d\delta$$

Prove da equazione:

$$dW = \frac{Nq}{4n} e^{-\frac{Nq^2}{4} (A_1^2 + A_2^2)} d\delta_1, d\delta_2 = \frac{Nq}{4n} e^{-\dots} dA_1 dA_2$$

$$M = \frac{Dn}{\ell} \int_{-\infty}^{+\infty} (A_1 + 2A_2) e^{-\nu(A_1^2 + A_2^2)} d\delta dA_2$$

$$A_1 = n\delta$$

$$= \int_{-\infty}^{+\infty} (n\delta + 2A_2) e^{-\nu(n^2\delta^2 + A_2^2)} d\delta dA_2$$

$$= d\delta \int_{-\infty}^{+\infty} (n\delta + 2A_2) e^{-\nu(n^2\delta^2 + A_2^2)} dA_2$$

$$= d\delta e^{-\nu n^2\delta^2} \left[ n\delta \int_{-\infty}^{+\infty} e^{-\nu A_2^2} dA_2 + 2 \int_{-\infty}^{+\infty} A_2 e^{-\nu A_2^2} dA_2 \right]$$



Naturwissenschaften

135

$$A_1 + \frac{A_3}{3} = \frac{\pi\delta}{2}$$

$$\frac{p-p_0}{\rho_0} = \int_0^{\frac{\ell}{2}} \left[ A_1 \sin \frac{\pi x}{\ell} + A_3 \sin \frac{3\pi x}{\ell} \right] dx \frac{\ell}{2}$$

$$\delta = \frac{\ell}{2} \left[ A_1 \frac{\ell}{2} + A_3 \frac{\ell}{3\ell} \right] = \frac{2}{\pi} \left[ A_1 + \frac{A_3}{3} \right]$$

$$\int (A_1 + 3A_3) e^{-\nu(A_1^2 + A_3^2)} dA_1 dA_3$$

$$A_1 = \frac{\pi\delta}{2} - \frac{A_3}{3}$$

$$= \int_{-\infty}^{+\infty} \left[ \frac{\pi\delta}{2} - \frac{A_3}{3} + 3A_3 \right] e^{-\nu \left[ \left( \frac{\pi\delta}{2} - \frac{A_3}{3} \right)^2 + A_3^2 \right]} d\delta dA_3$$

$$A_3 = -\infty$$

$$= e^{-\nu \left( \frac{\pi\delta}{2} \right)^2} \int_{-\infty}^{+\infty} \left[ \frac{\pi\delta}{2} - \frac{A_3}{3} + 3A_3 \right] e^{-\nu \left[ \frac{\pi\delta A_3}{3} - \frac{10}{9} A_3^2 \right]} dA_3 + \int_{-\infty}^{+\infty} \left( 3 - \frac{1}{3} \right) A_3 e^{-\nu \left[ \frac{\pi\delta A_3}{3} - \frac{10}{9} A_3^2 \right]} dA_3$$

Befürwahrung:

$$dW = \frac{N_0}{4\pi} e^{-\frac{N_0 \ell}{4} (A_1^2 + A_2^2 + A_3^2 + \dots + A_n^2)} d\delta d\delta_1 \dots d\delta_n$$

$$= \frac{N_0}{4\pi} e^{-\dots} dA_1 dA_2 \dots dA_n$$

$$A_1 + \frac{A_3}{3} + \frac{A_5}{5} + \dots - \frac{A_n}{n} = \frac{\pi\delta}{2}$$

$$- \nu (A_1^2 + A_2^2 + \dots + A_n^2)$$

$$\bar{M} = \frac{N_0}{4\pi} \int \left[ A_1 + 2A_2 + 3A_3 + 4A_4 + \dots - nA_n \right] e^{-\nu (A_1^2 + A_2^2 + \dots + A_n^2)} dA_1 dA_2 \dots dA_n d\delta$$



$$\int [A_1 + 3A_3 + 5A_5 + \dots + A_n] e^{-\nu(A_1^2 + A_3^2 + A_5^2 + \dots + A_n^2)} dA_1 dA_3 \dots dA_n$$

$$A_1 = \frac{\pi\delta}{2} - \frac{A_3}{3} - \frac{A_5}{5} - \dots - \frac{A_n}{n}$$

$$\int \left[ \frac{\pi\delta}{2} + (3-\frac{1}{3})A_3 + (5-\frac{1}{5})A_5 + \dots + (n-\frac{1}{n})A_n \right] e^{-\nu \left[ \left( \frac{\pi\delta}{2} - \frac{A_3}{3} - \frac{A_5}{5} - \dots - \frac{A_n}{n} \right)^2 + A_3^2 + A_5^2 + \dots + A_n^2 \right]} d\delta dA_2 \dots dA_n$$

$$\int_{-\infty}^{\infty} e^{-\alpha x^2 - \beta x} dx = e^{\frac{\beta^2}{4\alpha}} \sqrt{\frac{\pi}{\alpha}}$$

$$\int x e^{-\alpha x^2 - \beta x} dx = -\frac{\beta}{2\alpha} e^{\frac{\beta^2}{4\alpha}} \sqrt{\frac{\pi}{\alpha}}$$

$$\int x e^{-\alpha x^2 + \beta x} dx = \frac{\beta}{2\alpha} e^{\frac{\beta^2}{4\alpha}} \sqrt{\frac{\pi}{\alpha}}$$

$$\int e^{-\nu \left\{ \left( \frac{\pi\delta}{2} - \frac{A_3}{3} + \frac{A_5}{5} - \dots - \frac{A_n}{n} \right)^2 + A_3^2 + A_5^2 + \dots + A_n^2 \right\}} dA_n = e^{-\nu \left( \frac{\pi\delta}{2} \right)^2} e^{\frac{\nu \left[ \left( \frac{A_3}{3} + \frac{A_5}{5} - \dots - \frac{A_{n-2}}{n-2} \right)^2 \right]}{4 \left( 1 + \frac{1}{n^2} \right)}} \sqrt{\frac{\pi}{1 + \frac{1}{n^2}}} e^{-\nu \left[ A_3^2 + A_5^2 + \dots + A_{n-2}^2 \right]}$$

$$= \sqrt{\frac{\pi}{1 + \frac{1}{n^2}}} e^{-\nu \left( \frac{\pi\delta}{2} \right)^2}$$

$$\int x e^{-\alpha x^2 + \beta x} dx = e^{\frac{\beta^2}{4\alpha}} \int x e^{-\left( \sqrt{\alpha} x - \frac{\beta}{2\sqrt{\alpha}} \right)^2} dx = \frac{\beta}{2\alpha} \sqrt{\frac{\pi}{\alpha}} e^{\frac{\beta^2}{4\alpha}}$$



~~$$e^{-\nu} \left\{ \left( \frac{n\delta}{2} - \frac{A_3}{3} + \frac{A_5}{5} - \dots - \frac{A_{n-2}}{n-2} \right)^2 - 2 \frac{A_n}{n} \left( \frac{n\delta}{2} - \frac{A_3}{3} - \dots - \frac{A_{n-2}}{n-2} \right) + \frac{A_n^2}{n^2} + A_3^2 + A_5^2 + \dots + A_{n-2}^2 + A_n \right\}$$~~

$$e^{-\nu} \left\{ \left( \frac{n\delta}{2} - \frac{A_3}{3} + \frac{A_5}{5} - \dots - \frac{A_{n-2}}{n-2} \right)^2 + A_3^2 + A_5^2 + \dots + A_{n-2}^2 - \frac{4}{n^2} \left( \frac{n\delta}{2} - \frac{A_3}{3} - \dots - \frac{A_{n-2}}{n-2} \right)^2 \right\} \sqrt{\frac{n}{1+\frac{1}{n^2}}}$$

$$\left( 1 - \frac{1}{n^2+1} \right) = \frac{n^2}{n^2+1}$$

$$= \sqrt{\frac{n}{1+\frac{1}{n^2}}} e^{-\nu} \left\{ \left( \frac{n\delta}{2} - \frac{A_3}{3} + \frac{A_5}{5} - \dots - \frac{A_{n-2}}{n-2} \right)^2 \frac{n^2}{n^2+1} + A_3^2 + A_5^2 + \dots + A_{n-2}^2 \right\}$$

$$= \sqrt{\frac{n}{1+\frac{1}{n^2}}} \sqrt{\frac{n}{1+\frac{n^2}{(n^2+1)(n-2)^2}}} e^{-\nu} \left\{ \left( \frac{n\delta}{2} - \frac{A_3}{3} - \dots - \frac{A_{n-4}}{n-4} \right)^2 \left[ \frac{n^2}{n^2+1} - \frac{1}{(n-2)^2} \frac{1}{1+\frac{n^2}{(n^2+1)(n-2)^2}} \right] + A_3^2 + A_5^2 - \dots - A_{n-4}^2 \right\}$$

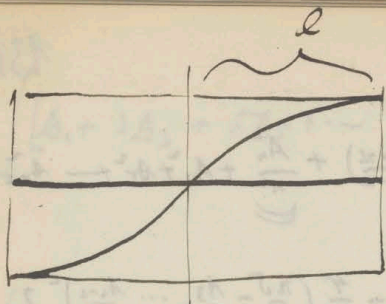
$$\frac{n^2}{n^2+1} - \frac{1}{(n-2)^2 + \frac{n^2}{n^2+1}} = \frac{1}{n^2+1} \left[ n^2 - \frac{1}{n^2 + (n-2)^2(n^2+1)} \right]$$

~~$$\int e^{-\nu} \left[ \left( x - \frac{x}{n} \right)^2 + x^2 \right] dx = -1 + \frac{1}{n^2+1}$$~~

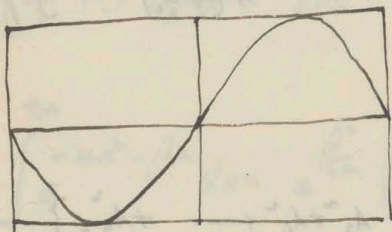
$$\int e^{-\nu} \left[ x^2 + \frac{2\nu x}{n} - \nu x^2 \left( 1 + \frac{1}{n^2} \right) \right] dx = e^{-\nu} \left[ \frac{x^3}{3} + \frac{\nu x^2}{n} - \frac{\nu x^3}{3} \left( 1 + \frac{1}{n^2} \right) \right] \sqrt{\frac{n}{1+\frac{1}{n^2}}} = \sqrt{\frac{n n^2}{n^2+1}} e^{-\nu} \frac{n^2}{n^2+1}$$

$$\int x e^{-\nu} \dots dx = \frac{2\nu x}{2n \nu (1+\frac{1}{n^2})} = \frac{\nu n}{n^2+1}$$

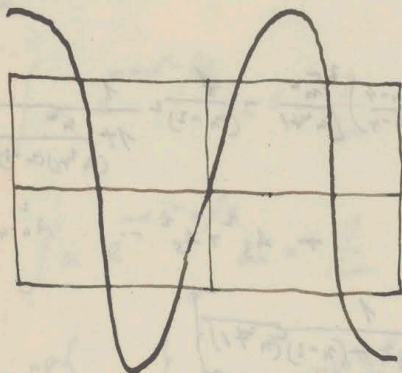




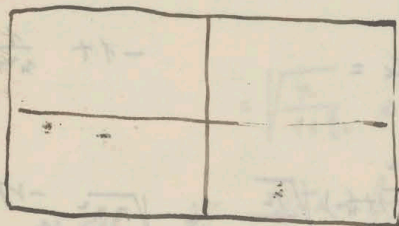
$$\frac{1}{l} \int_0^l A_1 \sin \frac{\pi x}{2l} dx = \frac{2}{\pi} A_1$$



$$\frac{1}{l} \int_0^l A_2 \sin \frac{3\pi x}{2l} dx = \frac{2}{3\pi} A_2$$



$$\frac{1}{l} \int_0^l A_3 \sin \frac{3\pi x}{2l} dx = \frac{2}{3\pi} A_3$$



$$\frac{1}{l} \int_0^l A_4 \sin \frac{4\pi x}{2l} dx = 0$$

$$\frac{1}{l} \int_0^l A_n \sin \frac{n\pi x}{2l} dx = \frac{2A_n}{n\pi} (\cos \frac{n\pi}{2} - 1)$$



Natomiast bierzemy pod uwagę (które dawać nie jest konieczne dla prawdziwości  $\pm n$  jądrowego prawdziwego)

$$= \frac{n}{l} \int_0^{\frac{l}{n}} A_n \sin \frac{n\pi x}{2l} dx = \frac{2}{n} A_n$$

czyli więc  $W(A_1) : W(A_2) = e^{-A_1^2} : e^{-A_2^2}$

do jądrowego  $\delta$   $A_n = n A_1$

$$W_{A_1} : W_{A_n} = e^{-A_1^2} : e^{-n^2 A_1^2}$$

$$\int A_1 e^{-A_1^2} dA_1 + \int 2A_2 e^{-4A_2^2} + 3A_3 + \int A_k e^{-k^2 A_k^2} dA_k$$

Albo lepiej: uwzględnijmy kwadrat:

$$\frac{1}{l} \int_0^l A_n^2 \sin^2 \frac{n\pi x}{2l} dx = \frac{A_n^2}{l} \cdot \frac{2l}{n\pi} \int_0^{\frac{n\pi}{2}} \sin^2 \varphi d\varphi = \frac{A_n^2}{2}$$

czyli uwzględniamy jądrowe prawdziwe

$$\frac{2}{n} (A_1 + \frac{A_n}{n}) = \delta$$

$$2A_1 = \frac{n}{2} \delta - \frac{A_n}{n}$$

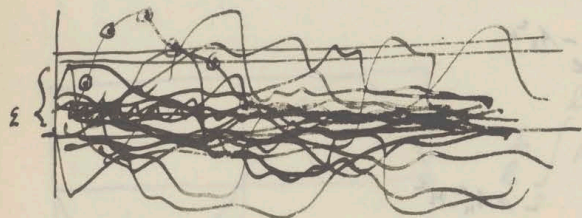
$$\frac{n}{2} \int e^{-\nu(A_1^2 + A_n^2)} dA_n d\delta \cdot (A_1 + n A_n) = \frac{n}{2} \int \left[ \frac{n\delta}{2} + (n - \frac{1}{n}) A_n \right] e^{-\nu \left[ \left( \frac{n\delta}{2} - \frac{A_n}{n} \right)^2 + A_n^2 \right]} dA_n d\delta$$

$$= \frac{n}{2} \left\{ \frac{n\delta}{2} + (n - \frac{1}{n}) \frac{n}{n^2+1} \frac{n\delta}{2} \right\} \cdot \frac{\sqrt{n n^2}}{n^2+1} e^{-\nu \left( \frac{n\delta}{2} \right)^2 \frac{n^2}{n^2+1}} d\delta \quad \left/ \quad 1 + \frac{n^2}{n^2+1} = \frac{2n^2}{n^2+1} \right.$$

$$= \frac{n}{2} \cdot \frac{n\delta}{2} \cdot \frac{2n^2}{n^2+1} \frac{\sqrt{n n^2}}{n^2+1} e^{-\nu \left( \frac{n\delta}{2} \right)^2 \frac{n^2}{n^2+1}} d\delta \quad \parallel \text{zauważ} \quad \frac{n}{2} \frac{n\delta}{2} e^{-\nu \left( \frac{n\delta}{2} \right)^2}$$



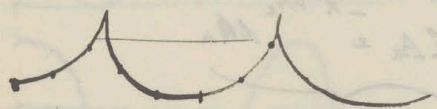
Von den Systemen, welche im gegebenen Moment in einem von Normalzustand entfernten Zustand sich befinden, ~~werden~~ werden im nächsten infinitesimalen Zeitraume (beinahe) ebensoviel ihre Entropie vermehren wie vermindern, aber für ungleiche Zeiten ist die Anzahl der vermehrenden überaus größer als die Anzahl der vermindernenden.



$$\text{Anzahl} = f(\epsilon) d\epsilon \quad \text{im Zustandsraum } d\epsilon$$

$$\frac{f(\epsilon + d\epsilon) d\epsilon}{f(\epsilon) d\epsilon} \quad \text{in } d\epsilon'$$

Unterschied kann herkommen von verschiedenen Geschwindigkeiten  $\frac{d\epsilon}{dt}$  der Unzufriedenheiten



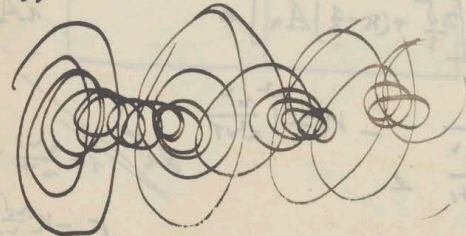
$$p \propto \frac{d\epsilon}{d\epsilon}$$



Kommt das nicht auf dasselbe hinaus, wenn die Statistik die makroskopische Geschwindigkeit  $\frac{d\epsilon}{dt}$  genommen wird?

Es wäre es überaus wahrscheinlich, dass vor ungleichen Zeit der Zustand eine größere Entropie gehabt hat (im Falle Fortwahrheit!)

Dagegen vor ungleichen kleiner Zeit mag es ebenso wahrscheinlich sein, dass es sich kleiner gewesen sei.



Es sind eigentlich gerade Linien und zwar ist die Wellenlänge =  $\frac{1}{\text{Anzahl der Zustände pro Zeiteinheit}}$

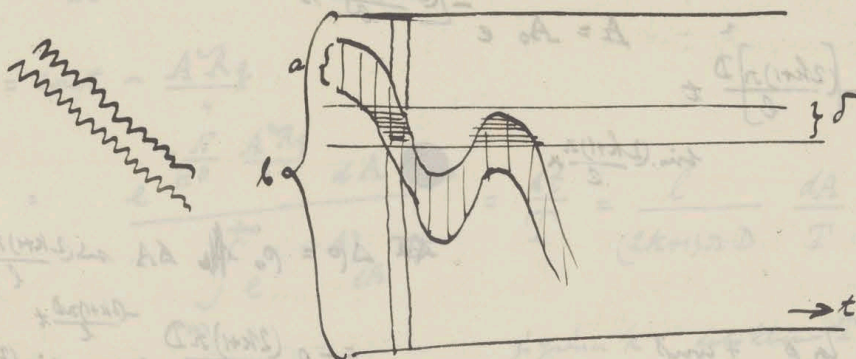
Im Falle abstrakter Zeit. Berücksichtigen



(2) bewachte  
Festschüttungs  
Witterungen



aber nur mittelbare Vursicht hat diese Richtig-  
keits kein - das Richtig der angeführten der Kinder  
ganz anders sein



1). falls alle  $y$  gleich verschwinden, so ist allgemeine Dichte  $= \frac{a}{b}$  also  $\frac{\int a}{b}$   
 ↓  
 direkte Verteilungsfunktion des allg. Verhältnisses  
 möglich, von Curve entalt

betrachtet in der in  $\delta$  geringen Zeit während  $\frac{\delta}{v}$  Zeit, also horizontal Vorwärtz  $\frac{u \delta}{v}$

das Zeitintervall  $\frac{a u \delta}{v}$

In einem  $\alpha \delta \sum \frac{v}{15}$

$$= a \int \frac{u}{v} dt$$

$$\frac{v}{u} = \tan \mu = \frac{dy}{dx}$$

$$\rho_y = a \delta u \int_0^{\frac{dt}{v} = k \sigma} \underbrace{\quad}_{f(t)} =$$

$$\tau = 4(y)$$
$$t = \varphi(v)$$

~~mitte, weil~~  $\downarrow$   $\swarrow$   $\searrow$   
mit Simulation von  $\alpha$  und  $\beta$

spezielle Entloft  $y = f(t)$  spezielle Kurve Rolle





Wenn Entropie ...

$$\rho = A \frac{1}{\ell} \sin(2k+1) \frac{\pi x}{\ell}$$

$$\frac{\partial \rho}{\partial t} = \frac{\partial A}{\partial t} \sin(2k+1) \frac{\pi x}{\ell}$$

$$\frac{\partial^2 \rho}{\partial x^2} = - \left[ (2k+1) \frac{\pi}{\ell} \right]^2 A \sin(2k+1) \frac{\pi x}{\ell}$$

$$\frac{\partial \rho}{\partial t} = D \frac{\partial^2 \rho}{\partial x^2}$$

$$\frac{\partial A}{\partial t} = - \left[ (2k+1) \frac{\pi}{\ell} \right]^2 D A$$

$$A = A_0 e^{- \left[ (2k+1) \frac{\pi}{\ell} \right]^2 D t}$$

$$- \left[ (2k+1) \frac{\pi}{\ell} \right]^2 D t$$

$$\rho = \rho_0 = A_0 e$$

$$\sin(2k+1) \frac{\pi x}{\ell}$$

Entropie ?

$$\Delta \rho = \rho_0 \Delta A \sin(2k+1) \frac{\pi x}{\ell}$$

$$= - \rho_0 \frac{(2k+1) \pi D}{\ell} e^{- \frac{(2k+1) \pi^2 D t}{\ell^2}} \sin(2k+1) \frac{\pi x}{\ell} dt$$

$$S = -R \int \rho \ln \rho + \text{const}$$

$$\Delta S = -R \int \frac{\Delta \rho}{\rho} = -R \int \frac{\Delta A \sin(2k+1) \frac{\pi x}{\ell}}{A \sin(2k+1) \frac{\pi x}{\ell}} dx$$

$$S = - \frac{R}{\ell} \int_{-\frac{\ell}{2}}^{+\frac{\ell}{2}} \rho \ln \rho \cdot dx$$

$$\rho = \rho_0 \left[ 1 + A \sin(2k+1) \frac{\pi x}{\ell} \right]$$

$$\ln \rho_0 + A \sin \dots - \frac{A^2 \sin^2}{2}$$

$$S = c + \frac{A^2 R}{2\ell} \int_{-\frac{\ell}{2}}^{+\frac{\ell}{2}} \sin^2(2k+1) \frac{\pi x}{\ell} dx$$

$$\int_0^{(2k+1) \frac{\pi}{2}} \sin^2 \phi d\phi$$

$$S = c + \frac{A^2 R}{4}$$



$$S = -\frac{R}{\epsilon} \int \rho \log \rho \, dx$$

$$= -\frac{R}{\epsilon} \int \left[ \rho_0 \log \rho_0 + \rho_0 \frac{A^2 \sin^2 \dots}{2} + \rho_0 A \sin \frac{2\pi x}{\lambda} \left( \log \rho_0 + A \sin \dots \right) \right] dx$$

$$= -\frac{R}{2\epsilon} \int A^2 \sin^2 \dots \, dx$$

$$S = \text{const} - \frac{A^2 R}{4\epsilon}$$

$$W_{DA} = \frac{\frac{-N}{H^0} \frac{A^2 R}{4} dA}{\int_{-\infty}^{+\infty} e^{-A^2} dA} = \frac{dt}{T} = \frac{\epsilon}{(2k+1)2D} \frac{dA}{T}$$

jigirun k detokklu T!

↓  
 Die Wickschul-Whiteformel nur anwendbar, wenn das System irgend einen der A-Werte innerhalb des Bereiches  $-\infty$  bis  $+\infty$  haben muss! da nur dann das Integral im Nenner überhaupt möglich ist.



Vollzieht so dass man als Coefficienten misst, falls

$$\int_{-\frac{\epsilon}{2}}^{\frac{\epsilon}{2}} \left[ f(x) - \left( A_1 \sin \frac{\pi x}{\ell} + A_2 \sin \frac{2\pi x}{\ell} + \dots + A_n \sin \frac{n\pi x}{\ell} \right) \right]^2 dx < \epsilon$$

mit der kleinst möglichen Anzahl  $A_k$

also: um wieviel wird  $-\frac{\epsilon}{2}, +\frac{\epsilon}{2}$

$$[f(x) - ( \dots )]^2 < \epsilon$$

Jetzt partielle Summenreihe:  $f_0 = A_1 \sin \frac{\pi x}{\ell} + A_2 \sin \frac{2\pi x}{\ell} + \dots + A_n \sin \frac{n\pi x}{\ell}$

Jede der partiellen ist man hat  $y' = A'_1 \sin \frac{\pi x}{\ell} + A'_2 \sin \frac{2\pi x}{\ell} + \dots + A'_n \sin \frac{n\pi x}{\ell}$

$$(A_1 - A'_1)^2 + (A_2 - A'_2)^2 + \dots + (A_n - A'_n)^2 < \epsilon$$

so mit jeder der partiellen, so dass die Werte nie größer werden  $y = \dots + A'_n$

typischer der meisten nützlichen, weil immer so  $k \rightarrow \infty$

also hier: jede der partiellen ist

$$\sum_{k=1}^{\infty} \frac{(A_k - A'_k)^2}{A_k^2} < \epsilon$$

$$y_k = \sum A_k e^{\frac{k^2 \pi^2 D}{\ell^2} t} \sin \frac{k\pi x}{\ell}$$

$$\sum \left[ 1 - e^{-\frac{k^2 \pi^2 D}{\ell^2} t} \right]^2 A_k^2 < \epsilon$$

$$\frac{\sum (y' - y_0)^2 dx}{\sum y_0^2 dx}$$

$$\sum \left( \frac{k^2 \pi^2 D}{\ell^2} t A_k^2 \right) < \epsilon \sum A_k^2$$

$$\frac{t \pi^2 D}{\ell^2} \sqrt{2} A_k^2 < \epsilon$$



$$\Delta t \leq \frac{c \cdot \sum A_k^2}{n \cdot D \cdot \sum (k^2 A_k)^2} \cdot \sqrt{\varepsilon}$$

140

$$dW = \frac{e^{-\alpha \sum A_k^2}}{\iint \uparrow \uparrow} dA'_1 dA'_2 \dots dA'_k \neq \frac{e^{-\alpha \sum A_k^2}}{1 \dots} \iint dA'_1 \dots dA'_k$$

$$\Delta W = \int dx_1 dx_2 dx_3 \dots dx_k = \varepsilon^{\frac{k}{2}}$$

$$\Delta W = c \cdot e^{-\alpha \sum A_k^2} \cdot \varepsilon^{\frac{k}{2}}$$

$$z_1^2 + z_2^2 + z_3^2 \dots z_k^2 \leq \varepsilon$$

Ważne! Wykorzystajmy  $A_k > 0$  wówczas stąd  $A_k = A'_k$

zob. dla uściślenia powyżej:

$$e^{-\alpha \sum A_k^2} \iint dA'_1 dA'_2 \dots dA'_k \cdot e^{-\alpha A_{k+1}^2} dA'_{k+1} e^{-\alpha A_{k+2}^2} dA'_{k+2} \dots$$

o ile  $e^{-\alpha \varepsilon^2}$  jest znikomo małe to można  $\int_{-\infty}^{\infty}$

$$\text{czyli} \quad (A_1 - A'_1)^2 + (A_2 - A'_2)^2 + \dots + (A_k - A'_k)^2 + A_{k+1}^2 + A_{k+2}^2 + \dots < \varepsilon$$

$$\Delta W = \int_{\varepsilon} e^{-\alpha [A_1^2 + A_2^2 + \dots + A_{k+1}^2 + \dots]} dA'_1 dA'_2 \dots dA'_{k+1} \dots$$

$$\int_{\varepsilon} e^{-\alpha (A_1 + \xi_1)^2 + (A_2 + \xi_2)^2 + \dots + \xi_{k+1}^2 + \dots} d\xi_1 d\xi_2 \dots d\xi_{k+1} \dots$$

$$\lim_{x \rightarrow 0} \left( \frac{1}{x} \right)^x = \lim_{x \rightarrow 0} \delta^{\frac{1}{\delta}} = \infty$$

$$\lim_{\delta \rightarrow 0} \left[ \frac{1}{\delta} \ln \delta \right] = \infty$$



$$\int \int e^{-\alpha(x_1^2 + x_2^2 + x_3^2 + \dots)} dx_1 dx_2 dx_3 \dots > \int \int e^{-\alpha \varepsilon} dx_1 dx_2 \dots$$

$$x_1^2 + x_2^2 + x_3^2 + \dots \leq \varepsilon < \int \int dx_1 dx_2 \dots$$

Wtedy warunkiem  $\sum y_k^2 \leq \varepsilon$

$$\int_{-\infty}^{\infty} y^2 dx < \varepsilon$$

$$\sum_1^n y_k^2 < n \gamma$$

$$dW = c e^{-\alpha(y_1^2 + y_2^2 + \dots + y_n^2)} dy_1 dy_2 \dots dy_n$$

$$\int_{-\infty}^{\infty} dW = c \left( \sqrt{\frac{\pi}{\alpha}} \right)^n = 1$$

$$\alpha = \frac{N}{n} = 10^7 \text{ dyf. i. rel.}$$

$$\Delta W = \left( \sqrt{\frac{N}{n}} \right)^n \int \int e^{-\frac{N}{n}(y_1^2 + y_2^2 + \dots + y_n^2)} dy_1 dy_2 \dots dy_n$$

o ile  $e^{-\frac{N}{n}}$  nie różni się znacznie od jedności

o tyle będzie

$$\Delta W = \left( \frac{N}{n} \right)^{\frac{n}{2}} (ny)^{\frac{n}{2}} = \left( \frac{N}{n} \right)^{\frac{n}{2}} \left\| \right\|^{\frac{n}{2}} \text{ do potwierdzenia tego trzeba pójść Nje znaczenie małego d. jedności}$$

i oczywiście musi być równe  $N$

Nie ma tu, bo zależność od  $N$  będzie  $n$ !

Toteż nie można porównywać liczby  $n$  z wielkością  $N$  w warunkach, w których nie ma

tego, w miarę porównania  $n$  z wielkością  $N$ , tożsamość nie ma

całkowicie



Es muss nicht <sup>schon</sup> während eines Experiments der Zustand gegen Werte verbleiben. |||  
 Nachsch. = Teilmittel bezieht sich nicht auf eine Z. O. sondern auf  $\infty$  Zeit  
 Es kann also ein Zustand innerhalb einer Z. O. erreicht werden, in der nächsten  
 aber verbleibt nicht u. v.

aber in  $\infty$  / Intervention nur wenn  
 $\infty$  viele Relativ!

Die Anzahl genau erfolgt mit Relativverteilung eines idealen Gases  
 also wird hier direkt nachgewiesen, dass mittlere Zeit für gegeben Relativverteilung  $\infty$  !

0.5

0.125

0.0625

7

0.0390625

0.02734375

~~0.022375~~

0.020510

0.016115

0.013094

0.010912

0.009275

~~0.00613~~

0.8238

Es wird also wahrscheinlich auch in allgemeinen Fällen  
 sein, dass die Wartezeit  $t$  mit der Verringerung  
 der Z. O.  $T$  zunimmt und keine bestimmten  
 Grenzwert besitzt.

0.5

0.375

0.3125

0.2734

0.2461

0.2255

Nun ist gewusst das Summierung des Zustands zu überschätzen!







$$x_1 = a \cdot \pi(k \cdot t + \mu_1)$$

$x_1 > 0$  für die Werte

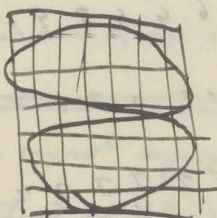
$$(2k+1)\pi > \alpha + \mu_1 > 2k\pi$$

$x_1 < 0$

$$(2k)\pi > \alpha + \mu_1 > (2k-1)\pi$$

$x_2 > 0$

$$(2k_2+1)\pi > \alpha + \mu_2 > 2k_2\pi$$





Vielleicht könnt ich die Sache exact beantworten wenn man die Frage umkehrt:  
 wie die ganze Wärme der Abkühlung wird verschluckt in einem guten <sup>bei</sup> Isolator?  
 oder wie die ganze Verdunstung <sup>maximale</sup> unterstellt werden in gegebenem ~~ist~~?

Teilezahl nachsuche

$$5 \ 6 \ 4 \ 3 \ 4 \ 3 \ 3 \ 7 \ 4 \ 4 \ 5 \ 4 \ 5 \ 5 : \quad 62 : 14 = \underline{\underline{4.43}} \quad \text{pro } \underline{\underline{36}}$$

60  
90

$$\begin{array}{r} 24 \\ 71 \ 2 \ 2 \ 1 \ 4 \ 3 \ 2 \ 1 \ 3 \ 5 \ 1 \ 3 \ 3 \ 3 \ 2 \ 2 \ 4 \ 2 \ 6 \ 4 \ 4 \ 5 \ 4 \ 3 \ 3 \\ 86 \ 26 \ 3 \ 1 \ 4 \ 2 \ 3 \ 3 \ 1 \ 1 \ 1 \ 2 \ 1 \ 3 \ 0 \ 1 \ 1 \ 1 \ 1 \ 2 \ 3 \ 1 \ 2 \ 0 \ 2 \ 1 \ 3 \ 3 \\ 48 \ 23 \ 2 \ 3 \ 2 \ 2 \ 4 \ 1 \ 2 \ 2 \ 2 \ 3 \ 1 \ 3 \ 3 \ 2 \ 1 \ 1 \ 1 \ 3 \ 3 \ 2 \ 2 \ 1 \ 2 \\ 54 \ 28 \ 2 \ 1 \ 0 \ 3 \ 1 \ 3 \ 2 \ 2 \ 3 \ 2 \ 1 \ 1 \ 3 \ 2 \ 4 \ 1 \ 2 \ 3 \ 1 \ 2 \ 7 \ 5 \ 1 \ 1 \ 2 \\ 88 \ 72 \ 2 \ 4 \ 4 \ 2 \ 4 \ 4 \ 3 \ 7 \ 4 \ 3 \ 2 \ 2 \ 3 \ 1 \ 2 \ 2 \ 4 \ 2 \ 3 \ 3 \ 2 \ 3 \ 1 \ 4 \ 4 \ 3 \ 2 \ 2 \ 3 \ 2 \ 3 \ 2 \\ 78 \ 30 \ 5 \ 2 \ 3 \ 3 \ 1 \ 2 \ 1 \ 2 \ 3 \ 3 \ 2 \ 3 \ 1 \ 3 \ 5 \ 2 \ 2 \ 2 \ 3 \ 4 \ 2 \ 3 \ 4 \ 5 \ 3 \ 2 \ 2 \ 5 \ 3 \ 3 \\ 40 \ 12 \ 4 \ 3 \ 2 \ 3 \ 4 \ 5 \ 5 \ 4 \ 3 \ 2 \ 2 \\ 425 : 172 = \underline{\underline{2.47}} \quad \text{pro } \underline{\underline{3}} \\ 81 \quad \underline{\underline{1.53}} \quad \text{pro } \underline{\underline{1}} \\ 12 \end{array}$$

$$\begin{array}{r} 6445 \\ 6447455 : \\ \hline 35 : 755 \end{array}$$

$$\underline{\underline{5\%}} \text{ pro } \underline{\underline{74}}$$

$$\underline{\underline{7\%}} \text{ pro } \underline{\underline{517}}$$

(und)

Falls nicht durch, sondern Wunders eine Rannhilfe ist oder nicht wird, und dann wird man die Summe aller Zahlen bilden, so wird diese die Wunders



es muss na bei  $\Delta U = \left(\frac{N}{2}\right)^{\frac{1}{2}} \approx \sqrt{N}$

143

Weg:  $\int_0^x y^2 dx < x$  ist beschränkt

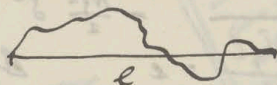
so drückt man sich  $N$  aus

relativ kleine Driftzeit  $\tau$ ;  $\tau$  ist umgekehrt  $\propto \sqrt{N}$

Wie groß das  $N$  ist, ist nicht  $N \gg 1$  ?

Die zuerst angewandte Rechnung war richtig, jedoch als man nicht den Anteil des Diffusionsstroms bilden und daraus die Verschiebungzeit berechnen wollte, sondern direkt den Mittelwert der Verschiebungzeit!

$$\Delta W = \frac{\Delta x}{T} = \frac{\int \Delta W \cdot \Delta x}{T}$$



$$u_0 = \frac{p - p_0}{p_0} = \sum \left[ A_k \cos \frac{k\pi x}{L} + B_k \sin \frac{k\pi x}{L} \right]$$

$$\left. \frac{\partial u}{\partial x} \right|_0 = \sum A_k k \frac{\pi}{L} \quad \left\| \quad \left. \frac{\partial u}{\partial x} \right|_L = \sum (-1)^k A_k k \frac{\pi}{L} \right.$$

$$\Delta \tau \cdot M = D \left[ \left. \frac{\partial u}{\partial x} \right|_0 - \left. \frac{\partial u}{\partial x} \right|_L \right] \cdot \Delta x = l \cdot \Delta p = l \cdot p_0 \cdot \Delta \sigma$$

$$\Delta \tau = \Delta p \cdot \frac{L^2}{D \pi^2 \sum_{k=1}^{\infty} k A_k [1 - (-1)^k]}$$

$$\frac{1}{L} \int u_0 dx = \sigma = \frac{1}{L} \sum_{k=1}^{\infty} \frac{L}{\pi k} A_k [(-1)^k - 1]$$

$$\sigma = \frac{1}{\pi} \sum_{k=1}^{\infty} \frac{A_k}{k} [(-1)^k - 1]$$



$$dW = \left[ \frac{Nq\ell}{2\pi n} \right]^{\frac{n}{2}} e^{-\frac{Nq\ell}{2n} (\delta_1^2 + \delta_2^2 + \dots + \delta_n^2)} \underbrace{d\delta_1 \dots d\delta_n}_{\frac{dA_1 dA_2 \dots dA_{\frac{n}{2}} d\theta_1 \dots d\theta_{\frac{n}{2}}}{\left(\frac{2}{n}\right)^{\frac{n}{2}}}}$$

$$\frac{\ell}{n} (\delta_1^2 + \delta_2^2 + \dots + \delta_n^2) = \int_{-\infty}^{\infty} u^2 dx = \frac{\ell}{2} \sum (A_k^2 + B_k^2)$$

$$dW = \left[ \frac{Nq\ell}{4n} \right]^{\frac{n}{2}} e^{-\frac{Nq\ell}{4} \sum (A_k^2 + B_k^2)} dA_1 dB_1 \dots dA_{\frac{n}{2}} dB_{\frac{n}{2}}$$

$$\text{Prob.: } \int_{-\infty}^{\infty} dW = \left( \frac{Nq\ell}{4n} \right)^{\frac{n}{2}} \left[ \frac{\pi}{\frac{Nq\ell}{4}} \right]^{\frac{n}{2}} = 1 \quad (\text{stünd})$$

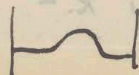
$$\left. \begin{aligned} \Delta W &= \left[ \frac{Nq\ell}{2n} \right]^{\frac{n}{2}} e^{-\frac{Nq\ell}{2} \delta^2} \Delta \delta \\ &= \frac{1}{T} \iint \left( \frac{Nq\ell}{4n} \right)^{\frac{n}{2}} e^{-\frac{Nq\ell}{4} \sum_{k=1}^n (A_k^2 + B_k^2)} \Delta \delta \cdot \frac{\rho_0 \ell^2}{2n} dA_1 dB_1 \dots dA_{\frac{n}{2}} dB_{\frac{n}{2}} \\ &\quad \sum_k k A_k (1 - (-1)^k) \end{aligned} \right\}$$

$$\delta n = - \sum \frac{A_k}{k} [1 - (-1)^k]$$

Im Nenner gibt es jedoch Stellenpunkte, welche nicht durch Zähler kompensiert werden, also wird Integral  $\infty$  groß.

Es wird aber für den Fall dass der Nennerwert des Stromes im Endpunkt  $= 0$  ist,

folgende Skizze zu beschreiben





Disposition: <sup>Ergänzung:</sup>

Ergänzt zu. phänom. Thermodyn. & Kinetik

Einleitung:

Vor 15 Jahren Ostmann (fast allein) die Meinung dass Kinetik <sup>beobachtbar!</sup> Ergänzt besteht

übrige Welt: Ergänzt mit Rechtigkeit der Ph. Th.

Heute <sup>beobachtbar</sup> (Es besteht wohl in ein paar Ergänzt, sonst es besteht behält die Kinetik viele  
falls man II. Hauptsatz formuliert: Classicus, Planck) <sup>Ergebnisse der Ph. Th.</sup>

Jeder molekulare Vorgang Schwankungen um den Mittelwert  
(Gleichverteilungssatz)

~~aus der~~ wohl messbar in irreversibel

Zitation noch zu berücksichtigen (siehe vorher)

auffallender messbar; hier ganz klein

Dr. D., Opel, -Licht, Nichts--Prinzip etc.

Also ist die phänom. Standpunkte heute nicht haltbar, ~~aber~~

Wie also von Standpunkt der Kinetik. Einige Punkte ~~ist~~ statistische Mechanik

thermodynam. Bedingungen noch nicht präzisiert;

Es gibt kein exaktes Ausnahmefälle; wenn Anfangs bedingte unvollständig werden zu

ist.

Längere Fig.

Auswählen exakte Verbindlichkeit, denn dann kann nicht dasjenige selbst erfüllt sein, durch die

Ökonomi - Zentrale Persönlichkeit als Grundlage  
<sup>Grund</sup>

in zu unvollständigen Daten

für mechanische, Auswertung 3. V. variable

für mechan.

Entropie kinematisch

[Man braucht für nicht zu beweisen, dass Entropie = integr. Funktion, es folgt das schon  
daraus wenn

Wieder = Zeit mittel  
nicht Zustand mittel  
denn letzteres unmöglich ist  
ist physikalisch nicht realisierbar!  
Sowohl Zentrale Zeit  
die abhängig von Weg ist,  
dann kinematisch



Wieder ist auch

Entropie eines vom Gleichgewichtszustand verschiedenen Zustands definiert (aber nicht mit  $S$ )  
[Man muss nur den betreffenden Normzustand konstruieren]

Entropie nimmt innerhalb von  $T_{01}$  &  $T_{02}$  ab, also ab wie zu  
innerhalb kurzen Zeiten  $\rightarrow$  nach Anfangszustand  
von Zuständen, welche erst erstfund mit  $S$  nimmt zu  
innerhalb d. w. H. H. — ab

(Polder)  
Nichtes Diagramm  
Nichtes  
(S. 10, 11, 12)

Inversibilität ist nur schwebend, weil Sonne, wenn mit Nukleonen bedeckt so  
und weil wir zu kurz probieren.  
werden  $\rightarrow$  innerhalb  $T_{01}$  &  $T_{02}$  ab  
geben (und wir selber haben nicht  
wird)

im Bereich der w. H. H. gibt es gar keine Inv. oder entspricht die Inversibilität umgekehrt?

2. Reversibilität ist  $T_{01}$  &  $T_{02}$  - Zustand - System

Also wie zu formulieren?

Wahrscheinlichkeit ist unbestimmt

Wahrscheinlichkeit davon, dass es hängt ab von Art und Einwirkung angestrichen werden

Lebe wegen d. W. H. H. dauernd unzufrieden

Wahrscheinlichkeit beliebig

Abweichung ist beliebig

aber doch nicht dauernd

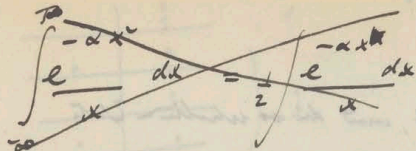
Zeit dann unendlich!

Sehen wir also alles was mit welcher  
Teil bzw. Teil (Körner) in unserem  
aber nicht selbstbestimmt und nicht automatisch

Eigenschaft als abstrakte  $\rightarrow$  für unendliche Dauer  
Wärme kann nicht dauernd von selbst u. abgeben

W. H. H. Vorrichtungen.





$$- \alpha \sum A_k e^{-\alpha x} = - \alpha \sum A_k e^{-\alpha x} = - \alpha \sum A_k e^{-\alpha x}$$

$$\frac{e}{A_1 + 3A_3 + 5A_5 + \dots + kA_k}$$

$$\frac{f(x)}{x} = \frac{A_1}{1} + \frac{A_3}{3} + \frac{A_5}{5} + \dots + \frac{A_k}{k}$$

$$dM_x = \sum_k A_k e^{-\alpha x} dx = \dots$$

$$\int M_x dx = \sum_k A_k \int e^{-\alpha x} dx = \dots$$

$$\int e^{-\frac{kx}{4}} \sum A_k e^{-\alpha x} dx = \dots$$

$dA_1, dA_3, \dots, dA_k \cdot \Delta t$   
 $\hookrightarrow$  Keiggen von  $\dots$   $\Delta t > 0$

Wenn wir  $\Delta t$  zu einem kleinen Wert wählen, so ist  $\Delta t$  gegen  $\Delta t$  vernachlässigbar. In diesem Fall ist die Wahrscheinlichkeit, dass ein Teilchen in einem bestimmten Zeitintervall  $\Delta t$  zerfällt, proportional zu  $\Delta t$ .

$$A_1 e^{-\alpha t} + A_3 e^{-3\alpha t} + A_5 e^{-5\alpha t} + \dots = \frac{f(x)}{x}$$

Wahrscheinlichkeit  $z(k) = \frac{1}{k!} \left( \frac{kx}{e} \right)^k e^{-\frac{kx}{e}}$

$$u_x = \sum_k \frac{A_k}{k} e^{-\frac{kx}{e}} \left[ A_k e^{-\frac{kx}{e}} + A_k \cos \frac{kx}{e} \right]$$

$$\int u_x dx = \frac{1}{\alpha} \sum_{k=1}^{\infty} \frac{A_k}{k} e^{-\frac{kx}{e}} [1 - (-1)^k] = \dots$$

$$\sum_{k=1,3,5,\dots} \frac{A_k}{k} [1 - e^{-\frac{kx}{e}}] = \dots$$

Illustration der oben beschriebenen Methode der Teilchenzerlegung. Alle möglichen Zerlegungen.

Beispiel: Eine Gruppe von 1000 Personen, die in einem bestimmten Zeitraum  $\Delta t$  zerfallen. Die Wahrscheinlichkeit, dass ein Teilchen in einem bestimmten Zeitraum  $\Delta t$  zerfällt, ist proportional zu  $\Delta t$ . Wenn  $\Delta t = 1000$  ist, so ist die Wahrscheinlichkeit, dass ein Teilchen zerfällt, 1000 mal größer als wenn  $\Delta t = 1$  ist.

Jeder Abweichungsbeitrag wird erwartet und es gibt eine mittlere Zeit, in der ein Teilchen zerfällt.

Unterschied gegen Gleichgewicht; im Laufe der Zeit werden Abweichungen kleiner, bis sie schließlich verschwinden.

Bei bestimmten Abweichungen besteht Unsicherheit darüber, ob sie wirklich ein Gleichgewicht sind oder nicht.

Jeder Teilchenfall wird durch eine Wahrscheinlichkeit bestimmt, die von der Zeit abhängt.



man könnte so sagen:

Alle nur variablen Werte sind in gleiche Stücke geteilt, und die so erhaltenen Teile  
werden in allen möglichen Kombinationen (je eines Systems verteilt  
den individuellen Relikten)

$$10. \quad \begin{matrix} a \\ x=1 \end{matrix} \quad \begin{matrix} b \\ x=0 \end{matrix} \quad \begin{matrix} c \\ x=0 \end{matrix}$$

$$\begin{matrix} a \\ x=1 \end{matrix} \quad \begin{matrix} b \\ x=1 \end{matrix} \quad \begin{matrix} c \\ x=0 \end{matrix}$$

$$\begin{matrix} a \\ x=1 \end{matrix} \quad \begin{matrix} b \\ x=1 \end{matrix} \quad \begin{matrix} c \\ x=1 \end{matrix}$$

$$\begin{matrix} a \\ x=0 \end{matrix} \quad \begin{matrix} b \\ x=0 \end{matrix} \quad \begin{matrix} c \\ x=0 \end{matrix}$$

$$\begin{matrix} a \\ x=1 \end{matrix} \quad \begin{matrix} b \\ x=0 \end{matrix} \quad \begin{matrix} c \\ x=0 \end{matrix}$$

$$\begin{matrix} a \\ x=0 \end{matrix} \quad \begin{matrix} b \\ x=0 \end{matrix} \quad \begin{matrix} c \\ x=1 \end{matrix}$$

$$\begin{matrix} a \\ x=0 \end{matrix} \quad \begin{matrix} b \\ x=1 \end{matrix} \quad \begin{matrix} c \\ x=1 \end{matrix}$$

dann wird der weitere Verlauf betrachtet

wenn dabei dann die Individ. gleichgeteilt ist so kommt die Poltman'sche Wahrscheinlichkeit  
und Entropie heraus

Das ist jedoch unbefriedigend, denn

- 1). Wahrscheinlichkeiten bleiben dann von Anfang an für immer unverändert
- 2). Wahrscheinlichkeiten dürften gerade da wegen der diskontinuierlichen Verteilung  
Fälle unregelmäßigen Verhaltens sehr wohl vorkommen

---

Poltmann misst die Wahrscheinlichkeit eines Zustandes mittels der Rationale der  
Zeilenteilung (bei Entropie) wo natürlich die Wsk. von der Größe der Zeile abhängt.

Kann man das nicht genauer machen, indem man Wsk. für das Vorkommen  
von Punktepaaren gegebener Entzifferungen ermittelt?









Kyrgyzyev Rache, Dzhirgatal's p. 536, 537

$$u_n = \frac{1 \cdot 3 \dots (2n-3)}{2 \cdot 4 \dots 2n}$$

$$n(1 - \frac{u_{n+1}}{u_n}) \geq 1$$

$$\frac{u_{n+1}}{u_n} = \frac{2n-1}{2n+2}$$

$$\frac{1}{2} + \frac{1}{2} \cdot \frac{1}{4} + \frac{1 \cdot 3}{2 \cdot 4} \cdot \frac{1}{6} + \dots$$

$$n \frac{(2n+2) - (2n-1)}{2n+2} = n \frac{3}{2n+2} = \frac{3}{2 + \frac{2}{n}}$$

$$\frac{u_{n+1}}{u_n} = \frac{2(n+1)}{2(n+1)+2} = \frac{2(n+1)-3}{2(n+1)}$$

$$n \left[ \frac{2(n+1)-3}{2(n+1)} \right] = n \frac{3}{2(n+1)} = \frac{3n}{2n+2} = \frac{3}{2} > 1$$

we try n=1

why checking!

$$\frac{u_{n+1}}{u_n} = \frac{(n+1)(2n-1)}{n(2n+2)}$$

$$n \left[ \frac{(n+1)(2n-1)}{n(2n+2)} \right] = \frac{n+1}{2n+2} = \frac{1}{2} \text{ why checking!}$$

$$\lim_{n \rightarrow \infty} \frac{1}{2} = \frac{1}{2}$$

W=

$$u_1 + (1-u_1)u_2 + (1-u_1)(1-u_2)u_3 + (1-u_1)(1-u_2)(1-u_3)u_4 + \dots$$

$$1-u_1 + u_1(1-u_2) + u_1u_2(1-u_3) + \dots = 1-u_1u_2u_3\dots u_n$$

$$\bar{T} = 1 \cdot u_1 + (1-u_1)2u_2 + (1-u_1)(1-u_2)3u_3 + \dots$$

$$= 1-u_1 + 2u_1(1-u_2) + 3u_1u_2(1-u_3) + 4u_1u_2u_3(1-u_4) + \dots$$

$$= 1-u_1 + 2u_1 - 2u_1u_2 + 3u_1u_2 - 3u_1u_2u_3 + 4u_1u_2u_3 - 4u_1u_2u_3u_4 + \dots$$

$$= 1 + u_1 + u_1u_2 + u_1u_2u_3 + \dots$$

$$\lim_{n \rightarrow \infty} u_n = 1!$$

conv. jishi  $n(1 - \frac{u_{n+1}}{u_n}) > 1$

why jishi  $u_n > \frac{1}{n}$



Wahrscheinlichkeit  $\pm \delta \rightarrow \delta + d\delta$

$$= W(\delta) d\delta = \frac{1}{\sqrt{2\pi}} e^{-\frac{\delta^2}{2\sigma^2}} d\delta$$

147

Restige so

= Wahrscheinlichkeit gefunden

$$\delta^2 \dots \delta^2 + 2\delta d\delta$$

$$\parallel \quad \delta + d\delta$$

$\delta$

$$\Delta W = \frac{1}{\sqrt{2\pi}} e^{-\frac{\delta^2}{2\sigma^2}} d\delta$$

$$\sqrt{\frac{1}{2\pi}} e^{-\frac{\delta^2}{2\sigma^2}} d\delta = \sqrt{\frac{1}{2\pi}} e^{-\frac{\delta^2}{2\sigma^2}} \frac{d\delta}{\sqrt{2\sigma^2}}$$

$$\frac{1}{\sqrt{2\pi}} \int_0^\infty e^{-\frac{\delta^2}{2\sigma^2}} \frac{d(\frac{\delta^2}{2\sigma^2})}{\sqrt{\frac{\delta^2}{2\sigma^2}}} = \frac{1}{\sqrt{2\pi}} \int_0^\infty \frac{e^{-z}}{\sqrt{z}} dz = \frac{1}{\sqrt{2\pi}} \int_0^\infty e^{-y} dy = 1$$

$$u = A e^{-\frac{n^2 D}{l^2} t} e^{-\frac{n^2 x^2}{l^2}}$$

$$\bar{\delta}_t^2 = z = \left(\frac{A}{n}\right)^2 e^{-\frac{2n^2 D}{l^2} t}$$

$$\delta_0^2 = \left(\frac{A}{n}\right)^2 = z_0$$

$$-dz = -\frac{2n^2 D}{l^2} \left(\frac{A}{n}\right)^2 dt = -\frac{2n^2 D}{l^2} z_0 dt$$

$$\Delta W = \frac{\Delta z}{T} = \sqrt{\frac{1}{2\pi}} e^{-\frac{\delta^2}{2\sigma^2}} \frac{dz}{2\sqrt{z}} = \sqrt{\frac{1}{2\pi}} e^{-\frac{\delta^2}{2\sigma^2}} \frac{1}{\sqrt{2}} \frac{dz}{z}$$

$$T = \frac{l^2}{n^2 D \sqrt{2}} \frac{1}{\sqrt{\frac{1}{2\pi}}}$$

Dann ist es begründet,  
dass sowohl für  $z = \infty$   
wie für  $z = 0$  Konstant!  
 $T = \infty$

$$\frac{d}{dy} \left( \frac{e^{-\frac{y^2}{2\sigma^2}}}{y} \right) = \frac{1}{y} e^{-\frac{y^2}{2\sigma^2}} - \frac{y}{y^2} e^{-\frac{y^2}{2\sigma^2}} = 0$$

$$y^2 = \frac{1}{2}$$

Minimum Zeit für  $y^2 = \frac{1}{2}$

$$T = \frac{l^2}{n^2 D} \cdot \sqrt{\frac{2\pi}{e}}$$

$$= \sqrt{\frac{2\pi}{e}} \cdot \frac{l^2}{n^2 D}$$

Die Zeit  $T$  muss auch für  $z = \infty$  im  
unendlichen Wert haben, wie klar ersichtlich,  
(und was Minimum), da  $\delta + d\delta = \delta$   
verbleibt  
Sobald wir ein allseitig verändertes  
d.h.  $\delta$  oder  $\delta$ , oder  $\theta$ , betrachtet  
wird, ist die Wahrscheinlichkeit  
I klar definiert



Zu untersuchen: Vorgehensweise auf  $\delta$   
 $\delta^2$

Entropie kann so in  $\delta^2$ , da nicht unter Randsumme möglich gemacht!

Überraschendes

Am besten ist das mit  $\delta^2$   $\rightarrow 0$  [von  $\pm$

Aber wenn Abstand betrag so hat dann wieder ein gewisses  $\delta^2$

und dieser  $\delta^2$  entspricht einem gewissen Vordurchschnitt (Entropie)

$$dA_1 \int e^{-\frac{1}{2} (A_1^2 + A_2^2)} dA_2 \cdot \tau$$

$$A_1 \left(1 - e^{-\frac{1}{2} \frac{\delta^2}{\tau^2}}\right) + \frac{A_2}{3} \left(1 - e^{-\frac{1}{2} \frac{\delta^2}{\tau^2}}\right) = \Delta \delta$$

$$A_1 + \frac{A_2}{3} = \frac{\delta^2}{\tau^2}$$

$$\left[\frac{\delta^2}{\tau^2} - \frac{A_1}{3}\right] \underbrace{\left[1 - e^{-\frac{1}{2} \frac{\delta^2}{\tau^2}}\right]}_{\frac{1}{2} \frac{\delta^2}{\tau^2}} + \frac{A_2}{3} \underbrace{\left[1 - e^{-\frac{1}{2} \frac{\delta^2}{\tau^2}}\right]}_{\frac{1}{2} \frac{\delta^2}{\tau^2}} = \Delta \delta$$

$$\frac{1}{2} \frac{\delta^2}{\tau^2} \tau = \frac{\Delta \delta}{\frac{1}{2} \delta + \frac{1}{3} A_2}$$




Wenn die Gruppe jedes  $\frac{1}{2}$  Wurf unterdrückt wird, so wird natürlich fortgesetzt  
Erwartungswert

Wenn man ihn aber ein jedes mal mit dem Einsatz bestücken müsste damit er das tut, so wäre das für den Spieler kein Geschäft.

Die Beteiligung eines Kustals (Schleichen durch Schwachheit bewegt) etc. erfordert jedenfalls einen  
Dauereinsatz, ohne motorische Kräfte könnte die Überhaupt nicht so bekannt wirken  
und es ist eine Schwachheit > mittlere Schwachheit; dessen Betrag stammt aus der biologischen  
Energie, also und geht mittels verloren (in Wärme etc.)

Vielleicht elektrisches Signal, aber es hier müsste die Energie > Energie  
und wird auch in Wärme umgewandelt.

Ladungssuche muss natürlich von Entlast des Rammers und dem Prozess abhängen  
Bei Suchz  325

Man könnte auch Formel für P.D. berechnen mit  
im Zeitraum  $\tau \pm$  Verschiebung in  $V$  bzw.  $\delta = \sqrt{\tau}$

Wenn im Durchschnitt  $n$  Teilchen so  $n$  mal abhängen  $\pm$  Frequenz pro Zeit  $\tau$ , also  $\pm$  Zuvor  
pro Zeit  $\tau$

$$(1-x)S + (1-x)S = 1$$

$$1 - 2x + 1 - 2x = 1$$

$$1 - (1-x) + \frac{1-x}{2} = \frac{1-x}{2}$$

$$1 - (1-x) + \frac{1-x}{2} = \frac{1-x}{2}$$

$$1 - 2x + 1 - 2x = 1$$

$$1 - 2x + 1 - 2x = 1$$



+	-	0	1	$n=1$
+	+	2	2	
+	-	0	1	(2)
-	+	0	0	
-	-	-2	-1	
+	+	3	3	
+	+	-1	2	
+	-	1	1	
+	-	-1	1	(3)
-	+	1	1	
-	+	-1	0	
-	-	-1	-1	
-	-	-3	-1	

++++	4	4	
+++ -	2	3	
++ - +	2	2	
++ --	0	2	
+ - ++	2	2	
+ - + -	0	1	16 (4)
+ - - +	0	1	16 + 4
+ - --	-2	1	
- + ++	2	2	
- + + -	0	1	
- + - +	0	0	
- + - -	-2	0	
- - ++	0	0	
- - + -	-2	-1	
- - - +	-2	-1	
- - - -	-4	-1	

$$u_n = 2u_{n-1} + 2(n-2)$$

$$\frac{u_n}{2} = u_{n-1} + n-2$$

$$\frac{u_{n-1}}{2} = \frac{u_{n-2}}{2} + (n-1) - 2$$

$$\frac{u_{n-2}}{2} = \frac{u_{n-3}}{2} + (n-2) - 2$$

$$\frac{u_2}{2} = 1 + 2 - 2$$

$$u_1 = 1$$

$$\frac{1}{2} \sum_{k=2}^n u_k = \sum_{k=1}^{n-1} u_k + \sum_{k=2}^n k - 2(n-1)$$

$$\frac{1}{2} (u_n + \sum_{k=2}^{n-1} u_k) = 1 + \sum_{k=2}^{n-1} k + \frac{(n-2)(n-1)}{2} - 2n + 2$$



[illegible]







$$\frac{1}{2^n} \binom{m}{n} = \frac{1}{2^n} \frac{m(m-1)(m-2)\dots(m-n+1)(m-n)!}{n!(m-n)!} = \frac{1}{2^n} \frac{m!}{n!(m-n)!}$$

$$\frac{1}{\sqrt{2\pi}} \int_{-\infty}^{\infty} e^{-\frac{x^2}{2m}} dx = \sqrt{m}$$

$$n = \frac{m+x}{2}$$

$$m-n = \frac{m-x}{2}$$

~~1/2^n~~

$$\frac{f(n, m)}{n^{\frac{1}{2}}} \int_{-\infty}^n f(n, m) dn, f(n, m) dn$$

$$\bar{n} = \frac{1}{n^{\frac{1}{2}}} \int_{-\infty}^n f(n, m) \int_{-\infty}^n \prod f(n_k, m_k) dn_k$$

$$\log F = \sum_{k=0}^n \log \int_{-\infty}^n e^{-\frac{x^2}{2m_k}} dx$$

$$m! = \left(\frac{m}{e}\right)^m \sqrt{2\pi m}$$

$$W_n = \frac{1}{2^n} \frac{m^m \sqrt{m}}{\sqrt{2\pi} n^{\frac{1}{2}} (m-n)^{\frac{1}{2}} \sqrt{n(m-n)}}$$

$$\frac{m!}{n!} = \frac{m!}{n!} \left(\frac{1-\delta}{2}\right)^m = \frac{1}{2^n} \sqrt{\frac{m}{2\pi n}} \left(\frac{1-\delta}{2}\right)^m$$

$$m \log m - n \log n - (m-n) \log \left(\frac{m-n}{2}\right)$$

$$- m \left[1 - \frac{n}{m}\right] \log m - m \left[1 - \frac{n}{m}\right] \log \left(1 - \frac{n}{m}\right)$$

$$= m \log m - n \log n - m \log m + n \log m + m(1-\delta) \left[ \delta + \frac{\delta^2}{2} + \frac{\delta^3}{3} \right]$$

$$- m \log \frac{n}{m} + n - \frac{n^2}{2m}$$

$$- \delta^2$$



$$\frac{m \sqrt{m}}{2^m \sqrt{2\pi}} \left(\frac{m+y}{2}\right)^{\frac{m-y}{2}} \left(\frac{m-y}{2}\right)^{\frac{m+y}{2}} \sqrt{\frac{m^2-y^2}{4}}$$

$$\left(\frac{m^2-y^2}{4}\right)^{\frac{1}{2}} \left(\frac{m+y}{m-y}\right)^{\frac{y}{2}}$$

$$= \frac{m}{2} \ln\left(\frac{m^2}{4} - \frac{y^2}{4}\right) + \frac{y}{2} \ln\left(1 + \frac{y}{m}\right)$$

$$= \frac{m}{2} \ln \frac{m^2}{4} - \frac{m}{2} \left(\frac{y^2}{m^2} + \frac{y^4}{2m^4}\right) + \frac{y}{2} \ln 2 - \frac{y}{2} \ln \frac{y}{m}$$

$$= m \ln \frac{m}{2} + \frac{y^2}{2m}$$

$$\frac{m \sqrt{m}}{2^m \sqrt{2\pi}} \left(\frac{m+y}{2}\right)^{\frac{m-y}{2}} \left(\frac{m-y}{2}\right)^{\frac{m+y}{2}} \sqrt{\frac{m^2-y^2}{4}} = \frac{e^{-\frac{y^2}{2m}}}{\sqrt{2\pi m}}$$

Wahrsch. eines Überschusses  $y =$

$$\text{Wahrsch. dass Überschuss} < y = \sqrt{\frac{2}{m\pi}} \sum_{-\infty}^y e^{-\frac{\xi^2}{2m}}$$

$$= \sqrt{\frac{1}{2m\pi}} \int_{-\infty}^y e^{-\frac{\xi^2}{2m}} d\xi$$

Wahrsch. dass Risiko innerhalb  $y$  für  $m = W(m, y)$

$$mit = W(m, y) \sqrt{\frac{1}{2m\pi}} \int_{-\infty}^y e^{-\frac{\xi^2}{2m}} d\xi$$

$$\bar{J}_0 = \int_{-\infty}^{\infty} y W(m, y) dy$$

$$\bar{J}_{m,1} = \frac{1}{2} \sqrt{\frac{2}{m\pi}} \int_{-\infty}^{\infty} y W(m, y) e^{-\frac{y^2}{2m}} dy$$



~~Handwritten scribble~~

$$\frac{x^2}{2m} = x^2$$

$$q = x \sqrt{2m}$$

$$W(q) = \frac{1}{\sqrt{\pi}} \int_{-\infty}^{\infty} e^{-x^2} dx$$

$$e^{-x^2} = 1 - x^2 + \frac{x^4}{2} - \frac{x^6}{3!} + \dots$$

$$x - \frac{x^3}{1.3} + \frac{x^5}{2.5} - \frac{x^7}{3! \cdot 7} + \frac{x^9}{4! \cdot 9} - \dots$$

$$W_{ng} = \frac{1+i}{\sqrt{\pi}} \left\{ \frac{x}{\sqrt{2m}} - \frac{x^3}{3\sqrt{2m}^3} + \frac{x^5}{10\sqrt{2m}^5} - \dots \right\}$$

$$y_g = y_g \sqrt{2m} + y_g \left\{ 1 - \frac{x^2}{6m} + \frac{x^4}{60m^2} - \dots \right\}$$

$$- \frac{x^2}{6m} - \frac{x^4}{m^2} \left( \frac{1}{12} - \frac{1}{60} \right)$$

$$y_g \prod_{n=1}^m W_{ng} = y_g \left( \frac{x}{\sqrt{2m}} \right)^m \cdot \frac{1}{2} y_g(m!) - \frac{x^2}{6} \sum_{i=1}^m \frac{1}{i}$$

$$= y_g \left( \frac{x}{\sqrt{2m}} \right)^m + \frac{m}{2} - \frac{x^2}{6} \sum_{i=1}^m \frac{1}{i}$$

$$\prod W_{ng} = \left( \frac{x}{\sqrt{2m}} \right)^m \sqrt{e}^m \cdot e^{-\frac{x^2}{6} \sum_{i=1}^m \frac{1}{i}} (C + y_g m)$$

$$= m^{-\frac{x^2}{6}} \left( \frac{x}{\sqrt{2m}} \right)^m e^{\frac{m}{2}}$$

$$= e^{-\left[ y_g \sqrt{\frac{y_g}{6}} \right]^2} \left[ y_g \sqrt{\frac{y_g}{6}} \right]^m \left( \frac{\sqrt{3e}}{2 y_g} \right)^m$$

$$\sum \pi = \int_{-\infty}^{\infty} e^{-x^2} x^m dx \cdot \sqrt{\frac{6}{y_g}} \left( \frac{\sqrt{3e}}{2 y_g} \right)^m$$

$$e^{-\frac{1}{2} \frac{m-1}{2}} dz$$

$$m! = \left( \frac{m}{e} \right)^m \sqrt{2m\pi}$$

$$\frac{1}{2} m y_g m$$

$$\frac{1}{2} + \frac{1}{\sqrt{\pi}} \left\{ x - \frac{x^3}{3} - \dots \right\}$$

$$x^2 \frac{x^{2m}}{x^{2m}}$$

$$e^{2 y_g m} = m^{\alpha}$$

$$\int x^{-x^2} dx =$$

$$= \int e^{-x^2} dx = \sqrt{\frac{\pi}{2}}$$



$$\log W_m = \log \frac{1}{2} + \log \left\{ 1 + \frac{2}{\sqrt{n}} \left[ \frac{x}{\sqrt{2m}} - \frac{x^3}{3\sqrt{2m}^3} \dots \right] \right\}$$

$$= \log \frac{1}{2} + \frac{2x}{\sqrt{2m}n} - \frac{x^3}{m^2}$$

$$\log W_m = m \log \frac{1}{2} + \frac{2x}{\sqrt{n}} \sum_{1}^m \frac{1}{\sqrt{m}} - \frac{x^3}{n} \sum_{1}^m \frac{1}{m}$$

$C + 2 \log m$

$$\sum_{1}^m \frac{1}{\sqrt{m}} \approx \int \frac{dx}{\sqrt{x}} = 2\sqrt{m}$$

$$= m \log \frac{1}{2} + x \sqrt{\frac{2m}{n}} - \frac{x^3}{n} \log m$$

$$\Pi W = \left(\frac{1}{2}\right)^m e^{-\frac{x^2}{n}} e^{x \sqrt{\frac{2m}{n}}}$$

$$= \left(\frac{1}{2}\right)^m e^{-\frac{x^2}{n} \log m + \frac{x}{n} \sqrt{2m}} = \left(\frac{\sqrt{m}}{2 \log m}\right)^2 e^{\frac{m}{2 \log m}}$$

$$x \sqrt{\frac{2m}{n}} - \sqrt{\frac{m}{2 \log m}} = \xi$$

$$\bar{f} = \frac{1}{2} \int_0^{\infty} \frac{e^{-\frac{x^2}{n} \log m + \frac{x}{n} \sqrt{2m}}}{\int_0^{\infty} e^{-\frac{x^2}{n} \log m + \frac{x}{n} \sqrt{2m}} dy} dy$$

gini je  $\log m \ll \sqrt{m}$

$$\bar{f} = \sqrt{\frac{n}{2m}}$$

ponemog je log m < m

$$= \frac{1}{2} \int_0^{\infty} \frac{e^{-\frac{x^2}{n} \log m}}{\int_0^{\infty} e^{-\frac{x^2}{n} \log m} dy} dy$$

$$= \frac{1}{2} \sqrt{\frac{n}{2m}} \int_0^{\infty} \frac{x e^{-x^2}}{\int_0^{\infty} e^{-x^2} dx} = \sqrt{\frac{n}{2m}} \cdot \sqrt{\frac{1}{2m}} = \frac{1}{2m}$$



$$\frac{1}{2} \ln \frac{m!}{2^m} = \frac{1}{2} \ln \frac{m!}{2^m}$$

Wobei dass  $f$  unterhalb  $\dots$

$$\sqrt{\frac{2}{n}} \sum_{m=1}^n \frac{e^{-\frac{m^2}{2n}}}{\sqrt{m}}$$

$$\frac{m^2}{2n} = x$$

$$m = \sqrt{2nx} \quad \sqrt{m} = \sqrt[4]{2nx}$$

$$dm = \frac{\sqrt{2n}}{2\sqrt{x}} dx$$

$$\sqrt{\frac{2}{n}} \int \frac{e^{-x}}{\sqrt{x}} dx$$

$$S = k \ln N! - k \ln \dots$$

$$-k \sum [n \ln n - 1 + \frac{1}{2} \ln n]$$

$$= k \ln N! + kN - k \sum (n + \frac{1}{2}) \ln n$$

abgeändert auf räumliche Verteilung

$$n = v(1 \pm \delta)$$

Maximumwert

Maximum (halbe + halbe -)

$$v(1+\delta) \ln v(1+\delta) + v(1-\delta) \ln v(1-\delta) \quad \text{in Vergleich zu}$$

$$v \ln v + \dots - \frac{v\delta^2}{2} + v\delta \ln v + v\delta^2 + v\delta^2$$

$$2v \ln v + v\delta^2$$

Kleine Verteilung ~~...~~, die ist ~~...~~

also ist Entz. für diese ungleichförmig

gibt es W Maximum für  $\delta=0$   
und  $\int \delta W = 0$

$$\text{aber } \int \delta^2 W = \delta^2$$



$$\frac{\partial}{\partial \delta} [v(1+\delta) \log v(1+\delta) + v(1-\delta) \log v(1-\delta)] = 0$$

$$v \log[v(1+\delta)] + v \log[v(1-\delta)] = v \log \frac{1+\delta}{1-\delta} = 0$$

$$\frac{2v \log v + \delta \log v + v \log(1+\delta) + v \delta \log(1+\delta) + v \log(1-\delta) - v \delta \log(1-\delta)}{1-\delta}$$

$$\left. \begin{aligned} v \frac{v}{1+\delta} + v \log(1+\delta) + \frac{v \delta}{1+\delta} \\ - \frac{v}{1-\delta} - v \log(1-\delta) + \frac{v \delta}{1-\delta} \end{aligned} \right\} = \frac{2v}{1-\delta} + v \log \frac{1+\delta}{1-\delta} = 0$$

$$\frac{2}{1-\delta} + \log \frac{1+\delta}{1-\delta} = 0$$

$$2v(1+\delta) + 2 \left[ \frac{\delta^2}{2} + \frac{\delta^3}{3} \right] = 0 \quad \delta^2 = 2 \quad \delta = \sqrt{2}$$

um man das  $\frac{1}{2}$  berücksichtigt:

$$(v + v\delta + \frac{1}{2}) \log v(1+\delta) + (v - v\delta + \frac{1}{2}) \log v(1-\delta)$$

$$\frac{v}{1+\delta} \log v(1+\delta) - \frac{v}{1-\delta} \log v(1-\delta) + \frac{v + v\delta + \frac{1}{2}}{1+\delta} - \frac{v - v\delta + \frac{1}{2}}{1-\delta} = 0$$

$$\left[ \frac{1}{1-\delta} - \frac{1}{1+\delta} \right] v \log \frac{1+\delta}{1-\delta} + \frac{1}{2} \left( \frac{1}{1+\delta} - \frac{1}{1-\delta} \right) = 0$$

$$2v \left( \frac{1}{1-\delta} - \frac{1}{1+\delta} \right) \log \frac{1+\delta}{1-\delta} + \frac{1}{2} \left( \frac{1}{1+\delta} - \frac{1}{1-\delta} \right) = 0$$

$$2v \left[ \delta + \frac{\delta^3}{3} \right] - \frac{\delta}{1-\delta^2} = 0$$

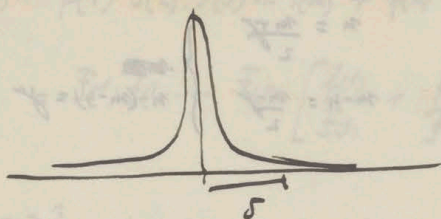
$$2v \left[ 1 + \frac{\delta^2}{3} \right] = \frac{\delta}{1-\delta^2}$$

$$2v - 1 = \frac{\delta^2}{3} \left( 1 - \frac{2v}{3} \right)$$



Allgemein: Wahrscheinlichkeit eines Ereignisses als Funktion darstellen

153



Wenn symmetrisch, so ist  $\bar{\delta} = 0$

$$\bar{\delta^2} > 0$$

~~Wahrscheinlichkeit~~

mittlerer Wert der Wahrscheinlichkeit

$$\bar{W} = \frac{\int W(\delta)^2 d\delta}{\int W(\delta) d\delta}$$

also durchaus nicht Wert mittleren  $\delta = 0$  entspricht

das durchschnittliche Verhalten entspricht

z.B.  $W(\delta) = e^{-\alpha \delta^2}$

$$\frac{1}{\sqrt{\pi}} \int e^{-2\alpha \delta^2} d\delta = \sqrt{\frac{2}{\pi}}$$

entspricht  $\delta = \dots \sqrt{\frac{2}{\alpha}}$

$$\frac{1}{\sqrt{\pi}} \int e^{-\alpha \delta^2} d\delta$$

Somit ist natürlich das mittlere Ergebnis ~~von~~ verschiedene von verschiedenen Ergebnissen



m prób

prawdopodob.  $m-n(+), n(-)$

$$\frac{1}{2^m} \frac{m!}{(m-n)! n!}$$

$$n = \frac{m+y}{2}$$

$$m-n = \frac{m-y}{2}$$

$$\left. \begin{array}{l} n = \frac{m+y}{2} \\ m-n = \frac{m-y}{2} \end{array} \right\} n-(m-n) = y$$

prawdopodob. <sup>dotychczas</sup> nadmierne  $y$ :

$$f(m, y) = \frac{1}{2^m} \frac{m!}{\left(\frac{m+y}{2}\right)! \left(\frac{m-y}{2}\right)!}$$

prawdopodob. nadmierne <sup>przy n tej próbie</sup> ~~wyniesie~~ albo dotychczas, mniejsze ~~do~~ lub równe  $y$ :

$$\sum_{\alpha=-m}^{\alpha=y} \frac{1}{\frac{m+\alpha}{2}! \frac{m-\alpha}{2}!} = I(m, y)$$

$P =$  prawdop. że nadmiar maksymalny <sup>robinsona</sup> ~~wyniesie~~ <sup>był</sup> ~~wyniesie~~  $m$  prób ~~dotychczas~~:

$= \sum$  prawdop. że albo przy pierwszej próbie  $y$  i przy każdej następnej większe niż  $y$   
albo przy pierwszej mniejsze niż  $y$ , ale przy drugiej  $y$ , i przy każdej  $\leq y$   
albo przy pierwszej i drugiej mniejsze niż  $y$ , ale przy trzeciej  $y$  etc.

$$\sum f(1, y) + f(2, y) \leq f(1)$$

Prawdop. że po  $m$  próbach nadmiar nie jest większy niż  $y = I(m, y)$

$$P(m, y) = \frac{f(1, y)}{I(m, y)} + \frac{f(2, y)}{I(1, y)} \frac{I(m-2, y)}{I(1, y)} + \frac{f(3, y)}{I(2, y)} \frac{I(m-2, y)}{I(2, y)} + \dots$$

prawdop. że nadmiar przy  $n$  tej próbie



$$P_m = f(1) f(2) f(3) \dots f(m) + f(2) f(1) f(3) f(4) \dots f_m + \dots$$

$$= f(1) f(2) \dots f_m \left[ \frac{f(1)}{f(1)} + \frac{f(2)}{f(2)} + \frac{f(3)}{f(3)} + \dots \right]$$

$$m=3$$

$$f(3, y) = \frac{1}{8^4} \frac{3!}{2! 1!} \frac{3!}{2! 1!}$$

$$f(3, -3) = \frac{1}{8}$$

$$f(3, -1) = \frac{3}{8}$$

$$f(3, +1) = \frac{3}{8}$$

$$f(3, +3) = \frac{1}{8}$$

$$f(3, 3) = 0$$

$$f(1, 1) = \frac{1}{2}$$

$$f(2, 1) = \frac{3}{4}$$

$$f(3, 1) = \frac{1}{2}$$

$$f(4, 1) = \frac{11}{16}$$

$$1 \cdot \frac{3}{4} \cdot \frac{7}{8} \left[ \frac{1}{2} + 0 + \frac{\frac{3}{8}}{\frac{2}{8}} \right]$$

$$= \frac{3 \cdot 7}{4 \cdot 8} \cdot \frac{13}{2 \cdot 7} \cdot \frac{29}{64}$$

$$1 \cdot \frac{3}{4} \cdot \frac{1}{2} \left[ \frac{1}{4} + 0 + \frac{\frac{3}{8}}{\frac{1}{2}} \right] = \frac{3}{8}$$

$$1 \cdot \frac{3}{4} \cdot \frac{1}{2} \cdot \frac{11}{16} \left[ \frac{1}{4} + 0 + \frac{\frac{3}{8}}{\frac{1}{2}} + 0 \right] = \frac{33}{128}$$

$$= \frac{33}{128}$$

$$\frac{1}{2} \cdot \frac{3}{4} \cdot \frac{7}{8} + \frac{1}{2} \cdot 0 + \frac{1}{2} \cdot \frac{3}{4} \cdot \frac{3}{8} = \frac{1}{32} (9 + \frac{21}{2})$$

$$= \frac{29}{64}$$

$$\frac{1}{2} \cdot \frac{3}{4} \cdot \frac{1}{2} + \frac{1}{2} \cdot 0 + \frac{1}{2} \cdot \frac{3}{4} \cdot \frac{3}{8} = \frac{7}{4} \left( \frac{1}{16} + \frac{1}{4} \right)$$

$$= \frac{21}{64}$$

$$\text{du hito } \frac{7}{8} = \frac{4}{64}$$







$$\frac{f(m, y)}{F(m, y)} = 2\sqrt{\frac{2}{m\pi}} e^{-y^2} \left[ 1 - \frac{2}{\pi} \left\{ \frac{y^3}{3} - \frac{y^5}{5} + \dots \right\} + \frac{4}{\pi^2} \left[ y - y^3 \right] - \frac{8}{\pi^3} \left[ \frac{y^5}{5} - \dots \right] \right] \quad 155$$

$$= 2\sqrt{\frac{2}{m\pi}} e^{-y^2} \left[ 1 - \frac{2}{\pi} \left\{ \frac{y^3}{3} + \frac{4}{\pi} y^2 + \left( \frac{2}{3\sqrt{\pi}} - \frac{8}{\pi^2} \right) y^3 \dots \right\} \right]$$

$$\sum \frac{f}{F} = \int_0^m \sqrt{\frac{2}{m\pi}} e^{-\frac{y^2}{2m}} \left[ 1 - \frac{2y}{\sqrt{\pi m}} + \frac{4y^2}{2m\pi} - \dots \right] dm$$

$$m = \frac{1}{\mu^2} \quad dm = -\frac{2}{\mu^3} d\mu$$

$$\frac{1}{\sqrt{m}} = \mu$$

$$= - \int_0^{\frac{1}{\sqrt{m}}} \sqrt{\frac{2}{\pi}} \mu e^{-\frac{y^2}{2}} \left[ 1 - \sqrt{\frac{2}{\pi}} y \mu + \frac{2}{\pi} y^2 \mu^2 - \dots \right] \frac{2}{\mu^3} d\mu$$

$$\frac{y^2 \mu^2}{2} = x^2$$

$$\mu^2 = \frac{2x^2}{y^2}$$

$$\mu = \frac{x}{y\sqrt{2}}$$

$$\frac{d\mu}{\mu^2} = \frac{dx \sqrt{2}}{2x^2} \cdot y^2 = \frac{y dx}{\sqrt{2} x^2}$$

$$x = \frac{y\mu}{\sqrt{2}} = \frac{y}{\sqrt{2}} \mu$$

$$= \int_{\frac{y}{\sqrt{2}}}^{\infty} 2\sqrt{\frac{2}{\pi}} \frac{y dx}{x^2 \sqrt{2}} e^{-x^2} \left[ 1 - \frac{2x}{\pi} + \frac{4x^2}{\pi^2} - \dots \right]$$

$$= \frac{2y}{\sqrt{\pi}} \int_{\frac{y}{\sqrt{2}}}^{\infty} \frac{e^{-x^2}}{x^2} dx - \frac{4y}{\pi\sqrt{\pi}} \int_{\frac{y}{\sqrt{2}}}^{\infty} x e^{-x^2} dx + \frac{8y}{\pi^2\sqrt{\pi}} \int_{\frac{y}{\sqrt{2}}}^{\infty} x^3 e^{-x^2} dx - \dots$$



Natürlichkeit des Integrals  $\frac{f}{\sqrt{z}}$ :

$$\frac{f}{\sqrt{z}} = \frac{\sqrt{\frac{2}{m\pi}} e^{-\frac{z^2}{2m}}}{1 - \frac{e^{-\frac{z^2}{2m}}}{2\sqrt{\frac{2}{m\pi}} \sqrt{z}}} =$$

$$\neq \sqrt{\frac{2}{m\pi}} e^{-\frac{z^2}{2m}}$$

$$\sum \frac{f}{\sqrt{z}} = \frac{1}{2} \int_0^m \sqrt{\frac{2}{m\pi}} e^{-\frac{z^2}{2m}} dm$$

$$= \frac{1}{2} \int_{\frac{z^2}{2m}}^{\infty} \frac{1}{\sqrt{x}} e^{-x} \frac{1}{2x} dx$$

$$= \frac{1}{2\sqrt{2}} \int_{\frac{z^2}{2m}}^{\infty} e^{-x} x^{-3/2} dx$$

$$= \frac{1}{2\sqrt{2}} \left[ \frac{e^{-x}}{-1/2} \right]_{\frac{z^2}{2m}}^{\infty} = \frac{1}{\sqrt{2}} e^{-\frac{z^2}{2m}}$$

$$\begin{aligned} \int_{\frac{z^2}{2m}}^{\infty} \frac{1}{\sqrt{x}} e^{-x} \frac{1}{2x} dx &= \int_0^{\infty} -\frac{1}{\sqrt{x}} e^{-x} = \frac{1}{2} - \frac{\Gamma(1/2)}{2} \\ &= \frac{1}{2} \left( 1 - \frac{\Gamma(1/2)}{\sqrt{x}} \right) \\ &= \frac{1}{2} \left[ 1 - \left( 1 - \frac{e^{-x}}{\sqrt{x}} \right) \right] \\ &= \frac{1}{2} \frac{e^{-x}}{\sqrt{x}} \end{aligned}$$

$$\frac{z^2}{2m} = x$$

$$m = \frac{z^2}{2x}$$

$$dm = -\frac{z^2}{2x^2} dx$$

$$\frac{1}{m} = \frac{2x}{z^2}$$

$$x = \xi^2$$

$$dx = 2\xi d\xi$$

$$\frac{z^2}{2m} = \xi^2$$

$$\frac{z^2}{2m} = \xi^2$$

$$m = \frac{z^2}{2\xi^2}$$

$$dm = -\frac{z^2}{\xi^3} d\xi$$

$$= \frac{1}{\sqrt{2}} \int_{\frac{z^2}{2m}}^{\infty} \frac{e^{-\xi^2}}{\xi} d\xi$$



$$\int_0^{\infty} \frac{e^{-x^2}}{x^2} dx = -\frac{1}{x} e^{-x^2} - 2 \int_0^{\infty} e^{-x^2} dx$$

$$= \frac{1}{\alpha} e^{-\alpha^2} - 2 \left( \frac{\sqrt{\pi}}{2} - \int_0^{\alpha} e^{-x^2} dx \right) = \frac{e^{-\alpha^2}}{\alpha} - \sqrt{\pi} + \underbrace{\sqrt{\pi} \Phi(\alpha)}_{\sqrt{\pi} - \frac{e^{-\alpha^2}}{\alpha} \left( 1 - \frac{1}{2\alpha^2} + \frac{3}{8\alpha^4} \right)}$$

$$= \frac{e^{-\alpha^2}}{2\alpha^3} \left[ 1 - \frac{3}{2\alpha^2} \right]$$

$$\Sigma \frac{f}{\xi} = \frac{\gamma^2}{2\sqrt{\pi}} \frac{e^{-\frac{\gamma^2}{2m}}}{\Sigma \frac{\gamma^2}{2m\sqrt{\pi}}} = \sqrt{\frac{2m}{\pi}} \frac{m}{\gamma^2} e^{-\frac{\gamma^2}{2m}} \left[ 1 - \frac{3m}{\gamma^2} \right]$$

$$\gamma \prod_{k=1}^m F(k, \gamma) = \sum_{k=1}^m \gamma F(k, \gamma) = \sum_{k=1}^m \gamma \left[ 1 - \frac{e^{-\frac{\gamma^2}{2k}}}{\gamma \sqrt{\frac{k}{2\pi}}} \right]$$

$$= \sum_{k=1}^m -\sqrt{\frac{k}{2\pi}} \frac{e^{-\frac{\gamma^2}{2k}}}{\gamma} = -\frac{1}{2\sqrt{\pi}} \int_0^m \frac{e^{-\frac{\gamma^2}{2k}}}{\sqrt{k}} dk$$

$$\frac{\gamma^2}{2k} = \xi^2$$

$$k = \frac{\gamma^2}{2\xi^2}$$

$$dk = -\frac{\gamma^2}{\xi^3} d\xi$$

$$= +\frac{\gamma^2}{2\sqrt{\pi}} \int_{\infty}^{\frac{\gamma^2}{2\xi^2}} \frac{e^{-\xi^2}}{\xi^3} d\xi$$

$$\int_0^{\infty} \frac{e^{-x^2}}{x^2} dx = -\frac{e^{-x^2}}{3x^3} - \frac{2}{3} \int_0^{\infty} \frac{e^{-x^2}}{x^4} dx = \frac{e^{-x^2}}{3x^3} - \frac{2}{3} \frac{e^{-x^2}}{2x^3} \left[ 1 - \frac{3}{2x^2} \right] + \frac{e^{-x^2}}{2x^5}$$

$$\gamma \Pi = -\frac{\gamma^2}{2\sqrt{\pi}} \frac{e^{-\frac{\gamma^2}{2m}}}{2\gamma^5} (2m)^{5/2} = -m \sqrt{\frac{2m^3}{\pi}} \frac{e^{-\frac{\gamma^2}{2m}}}{\gamma^3}$$



$$P(m, y) = \sqrt{\frac{2m}{\pi}} \frac{m}{y^2} e^{-\frac{y^2}{2m}} \left[ 1 - \frac{m}{y^2} e^{-\frac{y^2}{2m}} \right] \left[ 1 - \frac{3}{2} \frac{m}{y^2} \right]$$

$$\frac{y^2}{2m} = \xi^2$$

$$\int_{-\infty}^{+\infty} P(m, y) dy = \sqrt{\frac{2m}{\pi}} \int_{-\infty}^{+\infty} \frac{e^{-\xi^2}}{\xi^2} e^{-\frac{m}{2\sqrt{\pi}} \frac{e^{-\xi^2}}{\xi^3}} d\xi \left[ 1 - \frac{3}{2} \frac{m}{\xi^2} \right]$$

$dy = d\xi \cdot \sqrt{2m}$   
 $\frac{y^2}{2m} = \frac{\xi^2}{2}$

$$\frac{d}{dx} \left[ e^{-\alpha \frac{e^{-x^2}}{x^3}} \right] = \left[ 2\alpha \frac{e^{-x^2}}{x^2} + 3\alpha \frac{e^{-x^2}}{x^4} \right] e^{-\alpha \frac{e^{-x^2}}{x^3}}$$

$$e^{-\alpha \frac{e^{-x^2}}{x^3}} \int_0^\infty = \int_0^\infty \frac{\alpha e^{-x^2}}{x^2} \left( 2 + \frac{3}{x^2} \right) e^{-\alpha \frac{e^{-x^2}}{x^3}} dx = 1$$

$$\int \alpha e^{-\alpha \beta} d\alpha = -\frac{\alpha e^{-\alpha \beta}}{\beta} - \frac{e^{-\alpha \beta}}{\beta^2}$$

$$2 \int x^2 e^{-x^2} e^{-\alpha \frac{e^{-x^2}}{x^3}} dx = -e^{-x^2} x e^{-\alpha \frac{e^{-x^2}}{x^3}} + \int e^{-x^2} \left( e^{-\alpha \frac{e^{-x^2}}{x^3}} - x e^{-x^2} \left( -\frac{2x e^{-x^2}}{x^3} - \frac{3e^{-x^2}}{x^4} \right) \right) dx$$

$$\int_0^\infty \frac{e^{-x^2}}{x^2} e^{-\alpha \frac{e^{-x^2}}{x^3}} dx = \frac{1}{2\alpha} - \frac{3}{2} \int_0^\infty \frac{e^{-x^2}}{x^4} e^{-\alpha \frac{e^{-x^2}}{x^3}} dx$$

try other to the other side

$x^2 + \alpha \frac{e^{-x^2}}{x^3}$  min? stop doing whole vol?

$5x^4 - 2\alpha x e^{-x^2} \rightarrow 0$   $\frac{e^{-x^2}}{x^3} = \frac{5}{2\alpha}$   $\frac{1}{x^2} = \frac{5}{2\alpha}$   $\frac{1}{x^2} \ll \frac{1}{x^2}$

$$\int \frac{e^{-x^2}}{x^4} e^{-\alpha \frac{e^{-x^2}}{x^3}} dx = \frac{1}{\alpha} \int \frac{e^{-x^2}}{x^3} \left[ 1 - \frac{3}{2} \frac{2}{x^2} + \left( \frac{3}{2} \right)^2 \frac{1}{x^4} - \left( \frac{3}{2} \right)^3 \frac{1}{x^6} \dots \right] dx$$

$$\int_0^\infty \frac{e^{-x^2}}{x^2} dx \neq \frac{1}{2\alpha}$$

$$\text{return } \int_{-\infty}^{+\infty} P(m, y) dy \neq \frac{m}{\sqrt{2}} \cdot \frac{2\sqrt{2}}{2m} \neq 1$$



$$\frac{d}{dx} \left[ x^2 e^{-\frac{\alpha x}{x^3}} \right] = 2x e^{-\frac{\alpha x}{x^3}} + 6\alpha x \cdot x e^{-\frac{\alpha x}{x^3}} + 9\alpha e^{-\frac{\alpha x}{x^3}}$$

$$2\eta e^{-\eta^2} - 2\eta^3 e^{-\eta^2} - \frac{m}{\sqrt{2}} \eta e^{-\eta^2} \left[ -2\eta e^{-\eta^2} - \frac{3e^{-\eta^2}}{\eta^4} \right] = 0$$

$$2(1 - \eta^2) = -\frac{m}{\sqrt{2}} \left( 1 + \frac{3}{2\eta^5} \right) e^{-\eta^2}$$

$$1 < \eta$$

~~Ich finde die partielle Ableitungen mit just unbrauchbar!~~

$$\max. y e^{-\alpha y} = e^{-\alpha y} (1 - \alpha y) = 0$$

$$y = \frac{1}{\alpha}$$

$$\frac{e^{-\eta^2}}{\eta^3} = \frac{\sqrt{2}}{m} \quad \eta \gg 1$$

$$\frac{\alpha e^{-\frac{\alpha x}{x^3}}}{x^3} = y$$

$$+ \frac{2\alpha e^{-\frac{\alpha x}{x^3}}}{x^2} + \frac{3\alpha e^{-\frac{\alpha x}{x^3}}}{x^4} = -\frac{dy}{dx}$$

$$\left[ 2x + \frac{3}{x} \right] dx = -\frac{dy}{y}$$

$$\int \frac{d}{dx} \left( \frac{e^{-\frac{\alpha x}{x^3}}}{x^2} \right) = \left[ -\frac{2}{x^3} + \frac{2\alpha e^{-\frac{\alpha x}{x^3}}}{x^4} + \frac{3\alpha e^{-\frac{\alpha x}{x^3}}}{x^6} \right] e^{-\frac{\alpha x}{x^3}}$$

$$\int \left[ \frac{1}{x^4} + \frac{3}{2} \frac{e^{-\frac{\alpha x}{x^3}}}{x^6} \right] e^{-\frac{\alpha x}{x^3}} dx = \frac{1}{2} \int \frac{1}{x^3} e^{-\frac{\alpha x}{x^3}} dx$$

$$\int \left[ \frac{1}{x^6} + \frac{3}{2} \frac{e^{-\frac{\alpha x}{x^3}}}{x^8} \right] dx = \frac{1}{2} \int \frac{2}{x^5} dx$$

$$\int \frac{1}{x^8} dx = -\frac{1}{7} \frac{1}{x^7}$$



$$\int_0^{\infty} \frac{e^{-x^2} - \frac{\alpha e^{-x^2}}{x^3} dx}{x^n} = \int \frac{e^{-(x^2 + \frac{\alpha}{x^3})}}{x^n} dx$$

$$2x \frac{-x^2}{x^4} - 2x \frac{\alpha e^{-x^2}}{x^3} = 0$$

$$\left(\frac{3+2}{x^2}\right) \alpha \frac{e^{-x^2}}{x^3} = 2$$

first  $\alpha$  bounds  $x$ ,  $x$   $x$

$$\frac{e^{-x^2}}{x^3} = \frac{1}{\alpha}$$

$$\alpha = \frac{m}{2\sqrt{2}} = \text{rough } 10^{10} \text{ e}$$

$$+x^2 + 3\log x = 20, 2.3 \dots$$

$$= 46$$

$$x = 6 - 7$$

$$x \neq \sqrt{\log \alpha}$$

$$e^{\frac{-x^2}{x^3}} = 2$$

$$\log x = -\frac{\alpha}{x^3}$$

$$\frac{dx}{x} = \alpha e^{-x^2} \left(\frac{2}{x^2} + \frac{3}{x^4}\right) dx$$

$$= \alpha \log x \cdot \left(2x + \frac{3}{x}\right) dx$$

$$\neq \int_{x_m}^{\infty} \frac{e^{-x^2}}{x^n} dx = \frac{e^{-x_m^2}}{2x_m^{n+1}} =$$

$$= \frac{2x_m^3}{\alpha \left(2 + \frac{3}{x_m}\right) 2x_m^{n+1}}$$

$$= \frac{1}{2\alpha} \cdot \frac{x_m^2}{x_m^n + \frac{3}{2}x_m^{n-2}}$$

$$\frac{J_1}{J_2} = x_m = \sqrt{\log \alpha}$$



$$\frac{d}{dx} \left( e^{-\beta x^2} \frac{1}{x^3} \right) dx = \left[ 2\alpha\beta \frac{e^{-\beta x^2}}{x^2} + 3\alpha \frac{e^{-\beta x^2}}{x^4} \right] e^{-\frac{\alpha x^2}{\beta^2}}$$

$$f(\alpha, \beta) = \int_0^\infty \frac{e^{-\beta x^2} e^{-\frac{\alpha x^2}{\beta^2}}}{x^3} dx = \frac{1}{2\alpha\beta} - \frac{3}{2\beta} \int_0^\infty \frac{e^{-\beta x^2} e^{-\frac{\alpha x^2}{\beta^2}}}{x^4} dx$$

$$f(\alpha, 1) = \int_0^\infty \frac{e^{-x^2} e^{-\frac{\alpha x^2}{\beta^2}}}{x^3} dx = \int_0^\infty \frac{e^{-\beta x^2} e^{-\frac{\alpha x^2}{\beta^2}}}{x^3 \beta} dx = \frac{1}{\beta} f\left(\frac{\alpha}{\beta^2}, \beta\right)$$

$$\int_0^\infty P_m(x) dx = \sqrt{2m} \int_0^\infty \frac{e^{-\left(x + \frac{\alpha}{2\sqrt{m}}\right)^2}}{x} dx \quad \left( \alpha = \frac{m}{2\sqrt{m}} \right)$$

$$\int_0^\infty P_m(x) dx = \int_0^\infty \frac{e^{-\left(x + \frac{\alpha}{2\sqrt{m}}\right)^2}}{x} dx$$

$$m! = \left(\frac{m}{e}\right)^m \sqrt{2m\pi}$$

$$\int_0^\infty \frac{e^{-\beta x^2} e^{-\frac{\alpha x^2}{\beta^2}}}{x^3} dx = \sqrt{\beta} \int_0^\infty \frac{e^{-\xi^2} e^{-\frac{\alpha \sqrt{\beta}}{\beta^2} \xi}}{\xi^3} d\xi$$

$$\bar{x} = \sqrt{2m \frac{\Gamma(2m)}{\Gamma(m)^2}}$$

$$\bar{x}^2 = \left(\frac{m}{2\sqrt{m}}\right)^m$$

$$f(\alpha, \beta) = \frac{1}{2\alpha\beta} - \frac{3}{2\beta} f\left(\frac{\alpha}{\beta^2}, \beta\right)$$

$$\int_x^\infty e^{-x^2} dx \neq \frac{e^{-x^2}}{2x} \quad \int_x^\infty e^{-\alpha x^2} dx = \frac{e^{-\alpha x^2}}{2\alpha x}$$

$$\int_x^\infty \frac{e^{-x^2}}{x^n} dx \neq \frac{e^{-x^2}}{2x^{n+1}}$$

$$\int \frac{\alpha e^{-x^2}}{x^2} \cdot e^{-\frac{\alpha x^2}{\beta^2}} dx$$

$$\frac{\alpha e^{-x^2}}{x^3} = 2$$

$$\alpha e^{-x^2} \left[ -\frac{2}{x^2} - \frac{3}{x^4} \right] = dx$$



$$\frac{d}{dt} \left( r \frac{\partial L}{\partial \dot{r}} \right) - \frac{\partial L}{\partial r} = - \frac{\partial U}{\partial r} - \frac{\partial F}{\partial r} + P$$

$$\frac{d}{dt} \left( r \frac{\partial L}{\partial \dot{r}} \right) - r \frac{\partial L}{\partial r} - r \frac{\partial L}{\partial r} = - r \frac{\partial U}{\partial r} - r \frac{\partial F}{\partial r} + r P$$

$$\cancel{L} = \alpha_1 \dot{r}_1 + \alpha_2 \dot{r}_2 + \dots$$

$$\cancel{\frac{d}{dt}} \frac{d}{dt} (\alpha \cdot 2a \dot{x}) - 2a \dot{x}^2 = Fx - \underbrace{\frac{1}{2} \alpha \dot{x}^2}_{\frac{1}{2} (\dot{x})^2} - \alpha \frac{\partial U}{\partial x}$$

$$\frac{1}{2P} \frac{d}{dt} (2^2) = Fx + \frac{2a \dot{x}^2}{2L} - \alpha \frac{\partial U}{\partial x}$$

$$\underline{\underline{L^2 = 4P t (L - \int \frac{U}{L} dt)}}$$

$$\xi = \sqrt{10} t$$

$$\underline{\underline{\xi^2 = 10 t}}$$

$$W(\xi, t) d\xi = \cancel{\sqrt{\frac{a}{\pi}}} e^{-\frac{\xi^2}{4Dt}} d\xi = \frac{1}{2\sqrt{2\pi Dt}} e^{-\frac{\xi^2}{4Dt}} d\xi$$

$$D = \frac{H \theta}{\log N} = \underline{\underline{KB}}$$

but not  $\frac{1}{2}$

$$W(\xi, t) d\xi = \int_{-\infty}^{\infty} W(\alpha, t_1) d\alpha W(\xi - \alpha, t - t_1) d\xi$$

$$\int e^{-\frac{\alpha^2}{4Dt}} e^{-\frac{(\xi - \alpha)^2}{4D(t-t_1)}} d\alpha = \int e^{-\frac{1}{4D} \left\{ \frac{\alpha^2 t}{t(t-t_1)} - \frac{2\xi\alpha}{t-t_1} + \frac{\xi^2}{t-t_1} \right\}} d\alpha =$$



$$= e^{\frac{1}{\tau} \ln \frac{4D^2 \pi (t-\tau)}{4D^2 \pi \tau (t-\tau)}} = e^{\frac{1}{\tau} \ln \frac{\tau}{t}}$$

$$= 2 \sqrt{\frac{D \tau (t-\tau) \alpha}{t}} \quad 2 \frac{\frac{\tau f^2}{4 D (t-\tau) t} - \frac{f^2}{4 D (t-\tau)}}{\frac{f^2}{4 D (t-\tau)}} \frac{t-\tau}{t}$$

$$\begin{aligned} W(\tau) a_0 &= \frac{1}{4\sqrt{D}\sqrt{\tau(t-\tau)}} e^{-\frac{q^2}{4D\tau}} \\ &= \frac{1}{2\sqrt{D}\sqrt{t}} e^{-\frac{q^2}{4D\tau}} \quad \underline{\underline{\text{Result}}} \end{aligned}$$

2.  $\frac{1}{2}$  in 1000  $\frac{1}{2}$  in 1000,  $\frac{1}{2}$  in 1000  $\frac{1}{2}$  in 1000  
 also  $\frac{1}{2}$  in 1000  $\frac{1}{2}$  in 1000  $\frac{1}{2}$  in 1000  $\frac{1}{2}$  in 1000  
 ↑  $\frac{1}{2}$  in 1000  $\frac{1}{2}$  in 1000  $\frac{1}{2}$  in 1000  $\frac{1}{2}$  in 1000

Przy interakcji silnej:  $X_i - \frac{\partial L}{\partial X_i}$ , porównujemy ruch  $3X_i$ , przyspieszenia dla krystalu  
interakcji:  $\frac{1}{2} m \dot{X}_i^2 \gg O(X_i)$ , czyli  $t \ll \frac{2D}{(3X_i)^2}$  i w ten sposób możemy porównać  
interakcje z odkształceniami i ruchem

$$W(\{x_t\}) \propto \frac{1}{\sqrt{n \Delta t}} e$$

as de două feluri: două ortogonale

~~Wegpunkt 1: 20.000~~

po dluższym czasie 100

$$W(\xi, t) d\xi = \int_{-\infty}^{\infty} \int_{-\infty}^{\infty} W(\alpha_1, \tau_1) d\alpha_1 \cdot W(\alpha_2 - \alpha_1, \tau_2 - \tau_1) d\alpha_2 \cdot W(\alpha_3 - \alpha_2, \tau_3 - \tau_2) d\alpha_3 \dots W(\xi - \alpha_{n-1}, t - \tau_{n-1}) d\alpha_{n-1} d\tau_{n-1}$$

$$= \mathcal{T}_n(\xi, t)$$

$$T_n(\xi, t) = \int_{\alpha_{n-1} = \tau_0}^{\tau_1} T_{n-1}(\alpha_{n-1}, \tau_{n-1}) \cdot \mu_{n-1} \cdot W(\xi - \alpha_{n-1}, t - \tau_{n-1}) d\alpha_{n-1}$$

$$= J_{n-1}(\xi, \tau_{n-1}) + \underbrace{\frac{1}{2} \int_{-\infty}^{\tau_{n-1}} \frac{\partial^2 J_{n-1}}{\partial \xi^2}(\xi, \tau_{n-1}) \cdot (\xi - \alpha_{n-1})^2 W(\xi - \alpha_{n-1}, t - \tau) d\tau}_{\neq \frac{\partial^2 J_{n-1}}{\partial \xi^2} 2D(t - \tau_{n-1})}$$



Wzrosty spadania pod wpływem dystrybucji szumu

$$\bar{\xi}^2 = \frac{\int_{-\infty}^{\infty} e^{-\frac{(\xi - D_p t)^2}{4Dt}} \cdot \xi^2 \alpha \xi}{\int_{-\infty}^{\infty} e^{-\frac{(\xi - D_p t)^2}{4Dt}} d\xi} \quad \frac{\xi - D_p t}{\sqrt{4Dt}} = \eta$$

$$= \frac{\int_{-\infty}^{\infty} e^{-\eta^2} (\eta \sqrt{4Dt} + D_p t)^2 d\eta}{\int_{-\infty}^{\infty} e^{-\eta^2} d\eta} = 4Dt \frac{\int_{-\infty}^{\infty} \eta^2 e^{-\eta^2} d\eta}{\int_{-\infty}^{\infty} e^{-\eta^2} d\eta} + 4D_p t \sqrt{4Dt} \frac{\int_{-\infty}^{\infty} \eta e^{-\eta^2} d\eta}{\int_{-\infty}^{\infty} e^{-\eta^2} d\eta} + D_p^2 t^2$$

$$\bar{\xi}^2 = 2Dt + D_p^2 t^2 \quad \text{wzrost dystrybucji szumu} \quad \bar{\xi}^2 = 2Dt$$

tylko wzrost dystrybucji szumu

$$\xi = D_p t$$

Wzrosty spadania, które są szumem  $\tau_1 = \tau_2 - \tau_1 = \tau_3 - \tau_2 = \dots = \tau - \tau_n$   $\tau = t$

$$W(\xi, t) d\xi = \int \left[ \frac{1}{\sqrt{2\pi Dt}} \right]^n e^{-\frac{1}{4Dt} \left\{ [\alpha_1 - \beta f(\alpha_1) \tau]^2 + [\alpha_2 - \alpha_1 - \beta f(\alpha_2) \tau]^2 + [\alpha_3 - \alpha_2 - \beta f(\alpha_3) \tau]^2 + \dots + [\xi - \alpha_{n-1} - \beta f(\xi) \tau]^2 \right\}} d\alpha_1 d\alpha_2 \dots d\alpha_{n-1} d\xi$$

Wzrosty spadania: stąd  $f(\alpha_n) = \alpha_n$

$$W(\xi, t) = \left[ \frac{1}{\sqrt{2\pi Dt}} \right]^n \int e^{-\frac{1}{4Dt} \left\{ \alpha_1^2 (1-\beta)^2 + \alpha_2^2 (1-\beta)^2 + \alpha_3^2 (1-\beta)^2 + \dots + \xi^2 \right\}} d\alpha_1 d\alpha_2 \dots d\alpha_n$$

$$= (1-\beta)^2 [\alpha_1^2 + \alpha_2^2 + \dots + \alpha_n^2] + [\alpha_1^2 + \dots + \alpha_{n-1}^2] - 2(1-\beta) [\alpha_1 \alpha_2 + \alpha_2 \alpha_3 + \dots + \alpha_{n-1} \alpha_n]$$



$$\int e^{-\frac{1}{4D\tau} \left\{ \alpha_1^2 \xi_1^2 + (\alpha_2 \xi - \alpha_1)^2 + (\alpha_3 \xi - \alpha_2)^2 + \dots (\alpha_n \xi - \alpha_{n-1})^2 \right\}} d\alpha_1, \dots, d\alpha_n$$

$$\int_{-\infty}^{\infty} e^{-\frac{1}{4D\tau} \left\{ \alpha_1^2 (\xi_1^2 + 1) - 2\xi \alpha_1 \alpha_2 + \alpha_2^2 \xi^2 + \dots \right\}} d\alpha_1, \dots$$

$$= \sqrt{\frac{n \cdot 4D\tau}{1+\xi^2}} e^{-\frac{\xi^2 \alpha_2^2}{(1+\xi^2) 4D\tau} - \xi^2 \alpha_2^2}$$

$$= 2 \sqrt{\frac{n D \tau}{1+\xi^2}} \int e^{-\frac{1}{4D\tau} \left\{ \frac{\alpha_2^2 \xi^4}{1+\xi^2} + (\alpha_3 \xi - \alpha_2)^2 + \dots \right\}} d\alpha_2$$

$$= e^{+\beta \tau (\alpha_1^2 + \alpha_2^2 + \dots - \alpha_n^2)} \frac{2(1-\beta\tau) [\alpha_1^2 + \alpha_2^2 + \dots - \alpha_n^2] - (\alpha_1 \alpha_2 + \dots + \alpha_{n-1} \alpha_n) - \alpha_n^2}{e}$$

$$\int e^{2\xi [\alpha_1^2 - \alpha_1 \alpha_2 + \alpha_2^2 - \alpha_2 \alpha_3 + \alpha_3^2 - \dots]} d\alpha_1, d\alpha_2, \dots$$

$$e^{2\xi \left[ \frac{\alpha_1^2}{4} + \alpha_2^2 - \dots \right]}$$

$$= A \int e^{(\xi \tau) \alpha_{n-1}^2 + (\xi \xi - \alpha_{n-1})^2} d\alpha_{n-1}$$

Rang pythagore pythagore wronski  $\xi_0$ :

$$f(\alpha_n) = \frac{\gamma_n^2}{\alpha_n - \xi_0}$$

$$\int e^{-\frac{1}{4D\tau} \left\{ [\alpha_1 - \beta\tau(\alpha_1 - \xi_0)]^2 + [\alpha_2 - \alpha_1 - \beta\tau(\alpha_2 - \xi_0)]^2 + [\alpha_3 - \alpha_2 - \beta\tau(\alpha_3 - \xi_0)]^2 + \dots \right\}} d\alpha_1, d\alpha_2, \dots$$

$$= \int e^{-\frac{1}{4D\tau} \left\{ [\gamma_1 + \xi_0 - \beta\tau \xi_1]^2 + [\gamma_2 - \gamma_1 - \beta\tau \gamma_2]^2 + [\gamma_3 - \gamma_2 - \beta\tau \gamma_3]^2 + \dots \right\}} d\gamma_1, d\gamma_2, \dots$$

$$= A e^{\rho(t) \xi^2 - \chi(t) \xi_0^2}$$

Price hyper p. part.  $\frac{(\xi - \xi_0)^2}{4D\tau} - \frac{\xi^2}{4D\tau}$   
 $W(\xi) = \frac{1}{2\sqrt{D\tau}} e^{-\frac{\xi^2}{4D\tau}}$



Przy wyznaczeniu całki wariacyjnej:

$$W(\xi) d\xi = \frac{1}{2\sqrt{nDt}} \left\{ e^{-\frac{(\xi + \partial X t)^2}{4Dt}} + e^{-\frac{(2\xi_0 + \xi - \partial X t)^2}{4Dt}} \right\} d\xi$$

$$A \int_{-\xi_0}^{\infty} \left[ e^{-\frac{(\xi + \partial X t)^2}{4Dt}} + e^{-\frac{(2\xi_0 + \xi - \partial X t)^2}{4Dt}} \right] d\xi = 1$$

$$\frac{\xi + \partial X t}{\sqrt{4Dt}} = \eta$$

$$\sqrt{4Dt} \int e^{-\eta^2} d\eta + \int e^{-\eta^2} d\eta = \frac{\xi_0 + \partial X t}{\sqrt{4Dt}} + \frac{\xi_0 + \partial X t}{\sqrt{4Dt}}$$

$$W(\xi) d\xi = \frac{1}{2\sqrt{nDt}} \left[ e^{-\frac{\xi^2}{4Dt}} + e^{-\frac{(2a + \xi)^2}{4Dt}} + e^{-\frac{(2b + 2a + \xi)^2}{4Dt}} + e^{-\frac{(2a + 2b + \xi)^2}{4Dt}} \right] d\xi$$

$$\int_{-a}^{+b} W(\xi) d\xi = \int_{-a}^{+b} \left[ e^{-\frac{\xi^2}{4Dt}} + e^{-\frac{(2a + \xi)^2}{4Dt}} + e^{-\frac{(2b + 2a + \xi)^2}{4Dt}} + e^{-\frac{(2a + 2b + \xi)^2}{4Dt}} \right] d\xi = 1$$

To nie musi być prawdziwe!

Wzrosty 2 uści - 1000 uści



zwiększamy  $W(\xi, \alpha\xi) = A e^{-\frac{(\xi + \alpha\xi)^2}{4Dt}} d\xi$

~~A~~  $\frac{4D}{\partial X} A e^{-\frac{\partial^2 X^2}{4D} t} = 1$

dla  $\lim_{t \rightarrow \infty}$

$\frac{D}{\delta} = k$

$W(\xi, \alpha\xi) = \frac{\partial X}{4D} e^{-\frac{\partial X^2}{2D}} d\xi$

$= \frac{X}{4k} e^{-\frac{X^2}{2k}} d\xi$

Ruch Browna blokady słonecznej

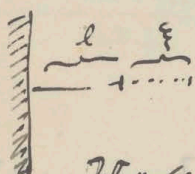
$\xi > l$

$W(\xi, \alpha\xi) = \frac{1}{2\sqrt{\pi Dt}} \left[ e^{-\frac{\xi^2}{4Dt}} + e^{-\frac{(2l+\xi)^2}{4Dt}} \right] d\xi$

$2l + \xi = \xi$

$\int_{-l}^{\infty} W(\xi, \alpha\xi) d\xi = \frac{1}{2\sqrt{\pi Dt}} \left[ \int_{-l}^{\infty} e^{-\frac{\xi^2}{4Dt}} d\xi + \int_{-l}^{\infty} e^{-\frac{(2l+\xi)^2}{4Dt}} d\xi \right]$

$= \frac{1}{2\sqrt{\pi Dt}} \int_{-l}^{\infty} e^{-\frac{\xi^2}{4Dt}} d\xi = 1$  (stała)



$\bar{\xi}^2 = \int_{-l}^{\infty} \xi^2 e^{-\frac{\xi^2}{4Dt}} d\xi + 4l^2 \int_{-l}^{\infty} e^{-\frac{\xi^2}{4Dt}} d\xi - 4l \int_{-l}^{\infty} \xi e^{-\frac{\xi^2}{4Dt}} d\xi + \int_{-l}^{\infty} \xi^2 e^{-\frac{\xi^2}{4Dt}} d\xi$

Wzrosty chłodziwa wynosi:

Nie zmienia się

$\frac{dW}{dt} W(x, x_0, t) dx = \frac{1}{2\sqrt{\pi Dt}} \left[ e^{-\frac{(x-x_0)^2}{4Dt}} - \frac{x}{2D} (x-x_0) e^{-\frac{(x-x_0)^2}{4Dt}} + e^{-\frac{(x+x_0)^2}{4Dt}} - \frac{x}{2D} (x+x_0) e^{-\frac{(x+x_0)^2}{4Dt}} \right]$

zwiększamy  $\bar{x}^2$

$\bar{\xi}^2 = 2Dt - 2l^2 e^{-\frac{l^2}{4Dt}} \sqrt{\frac{4D}{\pi t}} + 4l^2 \int_{-l}^{\infty} e^{-\frac{\xi^2}{4Dt}} d\xi$

$\frac{\int_{-l}^{\infty} \xi^2 e^{-\frac{\xi^2}{4Dt}} d\xi}{\int_{-l}^{\infty} e^{-\frac{\xi^2}{4Dt}} d\xi} = \frac{1}{2} 4Dt = \frac{\int_{-l}^{\infty} \xi^2 e^{-\frac{\xi^2}{4Dt}} d\xi}{\int_{-l}^{\infty} e^{-\frac{\xi^2}{4Dt}} d\xi} \cdot 4Dt$

$\int_0^{\infty} x^2 e^{-x^2} dx = \frac{\sqrt{\pi}}{4}$



$$f_n(x) dx = dx \int_{-\infty}^{\infty} f_{n-1}(z) f_1(x-z) dz$$

$$f_n(x) = - \int_{-\infty}^{\infty} f_1'(y) dy \int_0^{x-y} f_{n-1}(z) dz$$

$$f_1'(y) = -f_1'(zy)$$

$$= \int_0^{\infty} f_1'(y) dy \left[ \int_0^{x+y} - \int_0^{x-y} f_{n-1}(z) dz \right]$$

$$f_1(x) = \frac{1}{\pi} \int_0^{\infty} dq \int_{-\infty}^{\infty} f_1(x) \cos q(x-z) dz$$

$$f_2(x) = \frac{1}{\pi} \int_0^{\infty} dq \int_0^{\infty} f_1'(y) dy \int_{-\infty}^{\infty} f_1(x) \cos q(x-z) dz \quad \frac{2 \sin \frac{q(x-y)}{2} - \sin \frac{q(x-y-\alpha)}{2}}{q}$$

$$f_n(x) dx = \int_{-\infty}^{\infty} \int_{-\infty}^{\infty} f_1(x) f_{n-1}(x) \underbrace{\cos q(x-z-\alpha) \cos q(z-\alpha)}_{[\cos q(x-2\alpha) + \cos q(x-2z)]} dz dq dz$$

$$= \frac{1}{\pi} \int_{-\infty}^{\infty} dz \left[ \int_0^{\infty} dq \int_{-\infty}^{\infty} f_1(x) \cos q(z-\alpha) dz \cdot \int_0^{\infty} dq \int_{-\infty}^{\infty} f_{n-1}(x) \cos q(x-z-\alpha) dz \right]$$



$$W_1(x, \tau) = \frac{1}{2\sqrt{\pi\tau D}} e^{-\frac{(x-D\tau)^2}{4\tau D}} = \frac{1}{2\sqrt{\pi\tau D}} e^{-\frac{x^2(1-\beta\tau)^2}{4\tau D}}$$

$$W_2(x, 2\tau) = \int_{-\infty}^{+\infty} W(\alpha, \tau) d\alpha W(x-\alpha, \tau) d\alpha$$

$$= \frac{1}{(2\sqrt{\pi\tau D})^2} \int_{-\infty}^{+\infty} e^{-\frac{\alpha^2}{4\tau D}} e^{-\frac{(x-\alpha)^2(1-\beta\tau)^2}{4\tau D}} d\alpha d\alpha$$

$$= \frac{dx}{(2\sqrt{\pi\tau D})^2} \int_{-\infty}^{+\infty} e^{-\frac{[x^2 + (x-\alpha)^2](1-\beta\tau)^2}{4\tau D}} d\alpha$$

$$= \frac{dx}{(2\sqrt{\pi\tau D})^2} \int_{-\infty}^{+\infty} e^{-\frac{(x^2 - 2x\alpha + \alpha^2)(1-\beta\tau)^2}{4\tau D}} d\alpha$$

$$= e^{-\frac{x^2(1-\beta\tau)^2}{4\tau D}} \int_{-\infty}^{+\infty} e^{-\frac{(\alpha^2 - 2x\alpha)(1-\beta\tau)^2}{4\tau D}} d\alpha$$

$$= e^{-\frac{x^2(1-\beta\tau)^2}{4\tau D}} \cdot \frac{1}{\sqrt{2\tau D \cdot \pi}} \cdot \sqrt{\frac{\pi}{2\tau D \cdot \pi}} \cdot \frac{1}{1-\beta\tau}$$

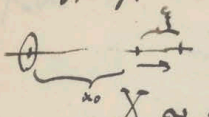
$$W_2(x, 2\tau) = \frac{(1-\beta\tau)}{2\sqrt{2}\sqrt{\pi\tau D}} e^{-\frac{x^2(1-\beta\tau)^2}{4\tau D}} \cdot \frac{1}{2}$$

$$\text{jeżeli nie przegzani przez elementarne } W(x, \tau) = \frac{1-\beta\tau}{2\sqrt{\pi\tau D}} e^{-\frac{x^2(1-\beta\tau)^2}{4\tau D}}$$

symetryczne, to także wyrażenie przez niego symetryczne, oczywiście, że także  
dla ni symetrycznych, to także symetryczne.



Przypadek:  $W(\xi, \tau) d\xi = \frac{1}{2\sqrt{4\pi D\tau}} e^{-\frac{(\xi - x_0)^2}{4\pi D\tau}} d\xi$



$X \sim x$

$$W(\xi, x, \tau) d\xi = A e^{-\frac{(\xi - x_0)^2}{4\pi D\tau}} d\xi$$

β ma być  
ujemne!

$$W(x, x_0, \tau) dx = A e^{-\frac{(x - x_0)^2}{4\pi D\tau}} dx$$

bo przesłano ξ i β  
molekuł z ujemną

$$= A e^{-\frac{[x - x_0(1+\beta\tau)]^2}{4\pi D\tau}} dx \cdot \frac{1}{2\sqrt{\pi D\tau}}$$

$$W(x, x_0, 2\tau) dx = dx \int_{-\infty}^{\infty} W(\alpha, x_0, \tau) d\alpha W(x, \alpha, \tau) d\alpha$$

$$= \left(\frac{dx}{2\sqrt{\pi D\tau}}\right)^2 \int_{-\infty}^{\infty} e^{-\frac{[\alpha - x_0(1+\beta\tau)]^2 + [x - \alpha(1+\beta\tau)]^2}{4\pi D\tau}} d\alpha$$

$$= \frac{dx}{[2\sqrt{\pi D\tau}]^2} e^{-\frac{[x_0(1+\beta\tau)]^2 + x^2}{4\pi D\tau}} \cdot e^{-\frac{x^2}{4\pi D\tau} [1 + (1+\beta\tau)^2] + \frac{x_0(x_0(1+\beta\tau) + x(1+\beta\tau))}{2\pi D\tau}} d\alpha$$

$$= \frac{dx}{[2\sqrt{\pi D\tau}]^2} e^{-\frac{[x_0(1+\beta\tau)]^2 + [x_0(1+\beta\tau) + x(1+\beta\tau)]^2}{4\pi D\tau} [1 + (1+\beta\tau)^2]} \sqrt{\frac{\pi \cdot 4\pi D\tau}{1 + (2+\beta\tau)^2}}$$

$$\frac{1}{4\pi D} \frac{x_0^2(1+\beta\tau)^2 + x^2(2+\beta\tau)^2 + 2x x_0(1+\beta\tau)(1+\beta\tau) - x^2 - x_0^2(1+\beta\tau)^2}{[1 + (1+\beta\tau)^2]}$$

$$- x^2(2+\beta\tau)^2 - x_0^2(\pi/\tau)^2(1+\beta\tau)^2$$

$$W(x, x_0, n\tau) dx = dx \int_{-\infty}^{\infty} W(\alpha, x_0, (n-1)\tau) W(x, \alpha, \tau) d\alpha$$



$$W(x, x_0, \beta\tau) = \frac{\alpha x}{2\sqrt{\pi\tau D} \sqrt{1+(1+\beta\tau)^2}} e^{-\frac{[x - x_0(1+\beta\tau)]^2}{4\tau D [1+(1+\beta\tau)^2]}}$$

$$W(x, x_0, \beta\tau) = \frac{1}{[2\sqrt{\pi\tau D}]^2 \sqrt{1+(1+\beta\tau)^2}} \int e^{-\frac{[x - x_0(1+\beta\tau)(1+\beta\tau)]^2}{4\tau D [1+(1+\beta\tau)^2]} - \frac{[x - x_0(1+\beta\tau)]^2}{4\tau D}} dx$$

$$e^{-\frac{x^2}{4\tau D} - \frac{x_0^2(1+\beta\tau)^2}{[1+(1+\beta\tau)^2]4\tau D} - \frac{\alpha^2}{4\tau D} \left\{ \frac{1}{1+(1+\beta\tau)^2} + (1+\beta\tau)^2 \right\}}$$

$$+ \frac{\alpha}{2\tau D} \left\{ \frac{x_0(1+\beta\tau)^2}{1+(1+\beta\tau)^2} + x(1+\beta\tau) \right\}$$

$$= e^{-\frac{1}{4\tau D} \left\{ x^2 + \frac{x_0^2(1+\beta\tau)^2(1+\beta\tau)^2}{1+(1+\beta\tau)^2} + \frac{\left[ \frac{x_0(1+\beta\tau)^2}{1+(1+\beta\tau)^2} + x(1+\beta\tau) \right]^2}{\frac{1}{1+(1+\beta\tau)^2} + (1+\beta\tau)^2} \right\} - \sqrt{\frac{-n [1+(1+\beta\tau)^2]}{1+(1+\beta\tau)^2 [1+(1+\beta\tau)^2]}}$$

$$= \frac{[x_0(1+\beta\tau)^2 + x(1+\beta\tau) [1+(1+\beta\tau)^2]]^2}{[1+(1+\beta\tau)^2 [1+(1+\beta\tau)^2]] [1+(1+\beta\tau)^2]}$$

~~$$+ \frac{[1+(1+\beta\tau)^2] + x(1+\beta\tau)^2 [1+(1+\beta\tau)^2]^2}{x^2 [1+(1+\beta\tau)^2] [1+(1+\beta\tau)^2 [1+(1+\beta\tau)^2]] + (1+\beta\tau)^2 [1+(1+\beta\tau)^2]} +$$~~  
~~$$+ x_0^2 [(1+\beta\tau)^2 (1+\beta\tau)^2 (1+\beta\tau)^2 [1+(1+\beta\tau)^2]] \} + \dots$$~~  

$$+ 2\alpha x_0 (1+\beta\tau)^3 (1+\beta\tau)^2 [1+(1+\beta\tau)^2]$$

$$= -x^2 [1+(1+\beta\tau)^2] + 2\alpha x_0 (1+\beta\tau) (2+\beta\tau)^2 [1+(1+\beta\tau)^2] - x_0^2 (1+\beta\tau)^2 (2+\beta\tau)^2 [1+(1+\beta\tau)^2]$$

$$= e^{-\frac{[x - x_0(1+\beta\tau)]^2}{4\tau D [1+(1+\beta\tau)^2]}}$$



$$W(x, x_0, t) = \sqrt{\frac{\rho}{2\pi D(1 - e^{-4\gamma t})}} e^{-\frac{[x - x_0 e^{-2\gamma t}]^2}{2D(1 - e^{-4\gamma t})}}$$

$$\bar{x} = \frac{D}{\gamma} (1 - e^{-2\gamma t}) + x_0 e^{-2\gamma t}$$

$$\bar{x} = \frac{D}{\gamma} (1 - e^{-2\gamma t}) + x_0 e^{-2\gamma t}$$

$$\lim_{t \rightarrow 0} \bar{x} = \frac{D}{\gamma}$$

$$\lim_{t \rightarrow 0} (\bar{x} - x_0) = 2Dt$$

$$D = \frac{H_0}{N} \beta$$

$$= k\beta$$

$$\gamma = -\rho X_1$$

$$\lim_{t \rightarrow \infty} \bar{x} = -\frac{k}{X_1} \text{ station}$$

$$m \frac{d\bar{x}}{dt} = F - \frac{1}{\beta} \frac{d\bar{x}}{dt} - \gamma \bar{x}$$

$$\left\{ \begin{aligned} \frac{m}{2} \frac{d\bar{x}}{dt} + \frac{\bar{x}}{2\beta} + \gamma \int \bar{x} dt &= 2tI = kt \\ \bar{x} &= \frac{k\beta}{\gamma} (1 - e^{-2\gamma t}) + x_0 e^{-2\gamma t} \end{aligned} \right.$$

3 Probleme werden durch  
mittleren ansatz der  
mittleren Punkte berechnet



$$\ddot{x}^2 = k$$

164

$$m \frac{d^2 z}{dt^2} + \frac{1}{2\beta} \frac{dz}{dt} + \frac{1}{\beta} z = k$$

$$m \frac{d^2 (z - \frac{\beta k}{\gamma})}{dt^2} + \frac{1}{2\beta} \frac{d(z - \frac{\beta k}{\gamma})}{dt} + \frac{1}{\beta} (z - \frac{\beta k}{\gamma}) = 0$$

$$z - \frac{\beta k}{\gamma} = A e^{\alpha t}$$

$$\alpha^2 + \frac{\alpha}{2\beta m} + \frac{1}{\beta m} = 0$$

just  $\gamma \ll \frac{1}{\beta m}$

$$\alpha = -\frac{1}{2\beta m} \pm \sqrt{\frac{1}{4\beta^2 m^2} - \frac{1}{\beta m}} = \frac{1}{2\beta m} \left[ -1 \pm (1 - 4\beta^2 m)^{1/2} \right]$$

$$z^2 = \frac{\beta k}{\gamma} + A_1 e^{-2\gamma t}$$

$$\alpha_1 \approx -2\gamma$$

$$x_0^2 = \frac{\beta k}{\gamma} + A_1$$

$$z^2 = \frac{\beta k}{\gamma} \left[ 1 - e^{-2\gamma t} \right] + x_0^2 e^{-2\gamma t}$$

juste jedoch  $\gamma \gg \frac{1}{\beta m}$  hier auch nicht spezifiziert  $\ddot{x}^2 = \dots$

to me da es offenbar nicht spezifiziert

des obigen Übungs; es sind hier für keine Ausnahmefälle

$$\ddot{x}^2 = \frac{\beta k}{\gamma} + e^{-\frac{t}{2\beta m}} \left[ A_1 \sin\left(t \sqrt{\frac{2\gamma}{\beta m}}\right) + A_2 \cos\left(t \sqrt{\frac{2\gamma}{\beta m}}\right) \right]$$

da  $\gamma \gg \frac{1}{\beta m}$

$$x_0^2 = \frac{\beta k}{\gamma} +$$

~~A\_1~~ ~~sin~~

~~A\_2~~

$$\ddot{x}^2 = \frac{\beta k}{\gamma} + e^{-\frac{t}{2\beta m}} \left[ A_1 \sin\left(t \sqrt{\frac{2\gamma}{\beta m}}\right) + (x_0^2 - \frac{\beta k}{\gamma}) \cos\left(t \sqrt{\frac{2\gamma}{\beta m}}\right) \right] \quad \ddot{x}^2 = \frac{\beta k}{\gamma} + \left(x_0^2 - \frac{\beta k}{\gamma}\right) e^{-\frac{t}{2\beta m}} \cos\left(t \sqrt{\frac{2\gamma}{\beta m}}\right)$$



5 5  
4 6 6 4

↓ -2  
(1) 5 5 6:4 7 3

4 6 (1) 5 5 6 4 (2) 7:3 8 2 (1)

↓ 6:4 ↓  
5 5 (2) 7 3 (3) 8:2 9 1 (1)

4 6 (2) 6 4 (5) 7:3 8 2 (4) 9:1 10 0 (1)

↓ 6:4 ↓  
5 5 (5) 7 3 (9) 9 1 (6)

↓ ↓ ↓  
(46) (5) 6 4 (14) 8 2 (14) 10 0 (5)

↓ ↓ ↓  
(14) (44) (47) (19)



42 47 19

42 89 66

131 155 66

131 286 221

417 507 221

417 924 728

1341 1652 728

1341 2993 2380

4334 5371 2380

4334 9707 7753

14041 17460 7753

14041 31501 25213

45542 56719 25213

$$u_{2n+1} = u_{2n} + v_{2n}$$

$$v_{2n+1} = v_{2n} + w_{2n}$$

$$w_{2n+1} = w_{2n}$$

$$u_{2n} = u_{2n-1}$$

$$v_{2n} = u_{2n-1} + v_{2n-1}$$

$$w_{2n} = v_{2n-1} + w_{2n-1}$$

$$u_{2n+1} = 2(u_{2n-1}) + v_{2n-1}$$

$$v_{2n+1} = u_{2n-1} + 2(v_{2n-1}) + w_{2n-1}$$

$$w_{2n+1} = v_{2n-1} + w_{2n-1}$$

64 165

55 73

$$u_{55} : u_{73} = 6:4$$

91

82 10,0

$$u_{82} : u_{100} = 9:1$$

symmetry of the matrix

$$u_{82} : u_{100} = \frac{10!}{8! 2!} : \frac{10!}{10! 0!}$$

$$= \frac{9 \cdot 10 \cdot 1}{1 \cdot 2!} = 45:1$$

$$\frac{1}{2} \left( 1 - \frac{1}{2} \right) \frac{6}{10} \left( 1 - \frac{1}{2} \right) \frac{4}{10}$$



1 1  
02 20  
11 11  
02 20 02 20

46	55	64	73
	$\frac{1}{2}$		

$\frac{1}{2}$

$(1 - \frac{1}{2})$

$(1 - \frac{1}{2}) \frac{6}{10}$

$(1 - \frac{1}{2}) \frac{4}{10}$

$(1 - \frac{1}{2}) \frac{6}{10} \cdot \frac{1}{2}$

$(1 - \frac{1}{2}) \frac{6}{10} \cdot \frac{5}{10}$

$+ (1 - \frac{1}{2}) \frac{4}{10} \cdot \frac{7}{10}$

$\frac{15}{100}$

$\frac{29}{100}$

$\frac{29}{100} \cdot \frac{6}{10}$

$\frac{29}{100} \cdot \frac{4}{10}$

$+ \frac{6}{100} \cdot \frac{8}{10}$

$\frac{29}{100} \cdot \frac{6}{10} \cdot \frac{5}{10}$

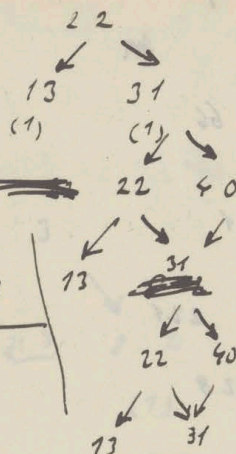
$\frac{15.58}{(100)^2}$

$\frac{164}{1000}$

$\frac{15.58}{(100)^2}$

$+ \frac{164.7}{(100)^2}$

$\frac{2018}{(100)^2}$



$(\frac{1}{2})$

$\frac{1}{2}$

$\frac{1}{2} \cdot \frac{3}{4}$

$\frac{1}{2} \cdot \frac{1}{4}$

$(\frac{1}{16})$

$\frac{1}{16}$

$\frac{5}{16} \cdot \frac{3}{4}$

$\frac{5}{16} \cdot \frac{1}{4}$

$(\frac{5}{16} \cdot \frac{3}{8})$

$\frac{5}{16} \cdot \frac{5}{8}$

$\frac{25}{16.8} \cdot \frac{3}{8}$

$\frac{25}{16.8} \cdot \frac{1}{8}$

$(\frac{25}{16.8} \cdot \frac{3}{8})$

$\frac{25}{16.8} \cdot \frac{5}{8}$

$(\frac{15}{16.8} \cdot \frac{15}{8.8})$

$\frac{58}{29} \cdot \frac{29}{870} = \frac{1148}{2018}$

$\frac{6}{100} \cdot \frac{2}{10}$

$\frac{492}{96} = 588$

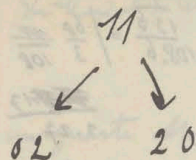
$\frac{164.3}{(100)^2} + \frac{12.8}{1000 \cdot 10}$

$\frac{12}{1000} \cdot \frac{2}{10}$

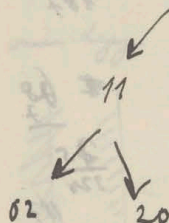
$\frac{588}{(100)^2}$

$(\frac{24}{100})^2$

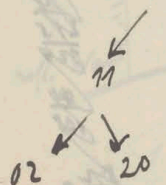


 $\frac{1}{2}$ 

$$\sum W = \frac{1}{2} + \frac{1}{4} + \frac{1}{8} + \frac{1}{16} \dots = 1$$

 $\frac{1}{4}$ 

$$\sum n W = \frac{1}{2} + \frac{2}{4} + \frac{5}{8} + \frac{7}{16} + \dots = \frac{2n-1}{2^n}$$

 $\frac{1}{8}$ 

$$u_n = \frac{2n+1}{2(2n-1)}$$

$$n \left[ 1 - \frac{u_n}{u_{n-1}} \right] = n \left[ 1 - \frac{2n+1}{2n} \right] =$$

$$= \frac{n}{2(2n-1)} [4n-2-(2n+1)]$$

$$= \frac{(2n-3)n}{(2n-1) \cdot 2}$$

$$= \frac{n}{2} \frac{1 - \frac{3}{2n}}{1 - \frac{1}{2n}} > 1$$

$$\frac{1}{2} + 2 \frac{1}{4} + 3 \frac{1}{8} + 4 \frac{1}{16} + \dots + n \frac{1}{2^n}$$

 $f(x) =$ 

$$\sum_{n=1}^{\infty} \frac{n}{2^n}$$

$$f(x) = \sum n x^n$$

$$\int \frac{f(x)}{x} dx = \sum x^n = \frac{1}{1-x}$$

$$f(x) = \frac{x}{(1-x)^2}$$

$$f\left(\frac{1}{2}\right) = \frac{\frac{1}{2}}{\left(\frac{1}{2}\right)^2} = 2$$

$$\frac{1}{2} + \frac{3}{16} \left\{ 1 + \frac{5}{8} \left[ 1 + \frac{5}{8} \left[ 1 + \frac{5}{8} \dots \right] \right] \right\} = 1$$

$$\frac{1}{1-\frac{5}{8}} = \frac{8}{3}$$

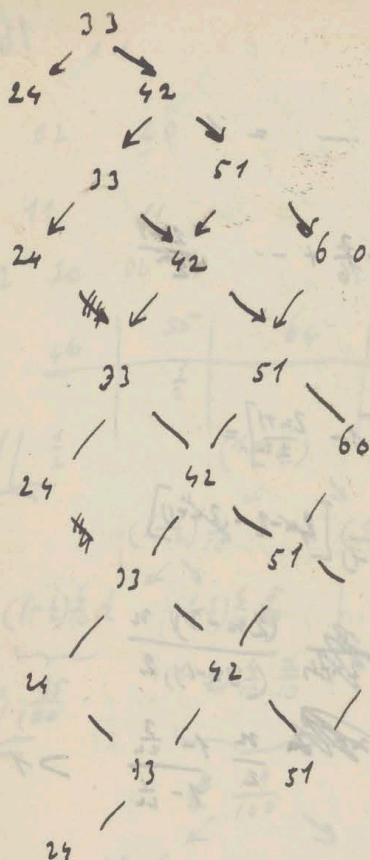
$$\int \frac{f(x)}{x} dx = \sum \frac{1}{x^n} = \frac{1}{1-\frac{1}{x}} = \frac{x}{x-1}$$

$$f\left(\frac{x}{x}\right) = \frac{d}{dx} \left( \frac{x}{1-x} \right) = \frac{d}{dx} \left( 1 - \frac{1}{1-x} \right) = \frac{1}{(1-x)^2}$$

$$f(x) = \frac{x}{(1-x)^2}$$

$$x=2 \quad f(2) = 2$$





$$\left(\frac{1}{2}\right) \quad \frac{1}{2}$$

$$\frac{1}{2} \cdot \frac{4}{6} \quad \frac{1}{2} \cdot \frac{2}{6}$$

$$\frac{1}{2} \cdot \frac{4}{12} \quad \frac{1}{2} \cdot \frac{4}{12} + \frac{1}{2} \cdot \frac{2.5}{6.6} \quad \frac{1}{2} \cdot \frac{2.1}{6.6}$$

$$\left(\frac{1}{6}\right) \quad \frac{11}{36} \quad \frac{1}{36}$$

$$\frac{11}{54} \quad \frac{14}{108} \text{ when}$$

$$\frac{11}{108} \quad \frac{11}{108} + \frac{14.5}{108.6} \quad \frac{14}{108} \cdot \frac{1}{6}$$

$$\frac{17}{81} \quad \frac{7}{324}$$

$$\frac{17.2}{81.3} \quad \frac{89}{12.81} (51)$$

$$\frac{17}{81} \cdot \frac{1}{3}$$

$$\frac{17}{81.3} + \frac{89}{81.12.6} \cdot \frac{5}{6}$$

$$\frac{853}{81.3.24}$$

$$\frac{66}{\frac{70}{\frac{138}{108.6}}} = \frac{66}{\frac{66}{3} \cdot \frac{108}{108}}$$

$$\frac{1.27}{1.27} \quad 1.27$$

$$\frac{68}{2}$$

$$\frac{7.5}{324}$$

$$\frac{14.5}{324}$$

$$\frac{14.5}{324}$$

$$\frac{14.5}{324}$$

$$\frac{89}{108} =$$

$$\frac{17}{3} + \frac{7}{4}$$

$$\frac{68}{21}$$

$$\frac{89}{12} \cdot \frac{108}{81}$$

$$\frac{17.14}{34}$$

$$\frac{89.5}{24}$$

$$\frac{68}{408}$$

$$\frac{445}{853}$$

$$\frac{96}{164}$$

$$\frac{328}{252}$$

$$\frac{920}{592}$$

$$\frac{1512}{1512}$$

$$f(x) = 3 + 5x + 7x^2 + 9x^3 + \dots$$

$$\frac{1}{1-2} = 1 + 2 + 2^2 + 2^3 + \dots$$

$$\frac{1}{1-2^2} = 1 + 2^2 + 2^4 + 2^6 + \dots$$

$$\frac{2}{1-2^2} = 2 + 2^3 + 2^5 + 2^7 + \dots$$

$$\frac{2}{1-2^2} + \frac{2 \cdot 2^2}{(1-2^2)^2} = 1 + 3 \cdot 2^2 + 5 \cdot 2^4 + 7 \cdot 2^6 + \dots$$

$$\frac{1}{1-2^2} + \frac{2}{(1-2^2)^2} = 3 + 5 \cdot 2^2 + 7 \cdot 2^4 + \dots$$

$$\frac{1}{1-2^2} + \frac{2}{(1-2^2)^2} = 4 + 32 = 36$$

$$\frac{1}{1-2^2} + \frac{2}{(1-2^2)^2} = 4 + 32 = 36$$

$$2^2 = \frac{3}{4}$$

$$\frac{1}{1-2^2} + \frac{2}{(1-2^2)^2} = 4 + 32 = 36$$

$$\frac{1}{1-2^2} + \frac{2}{(1-2^2)^2} = 4 + 32 = 36$$

$$\frac{1}{1-2^2} + \frac{2}{(1-2^2)^2} = 4 + 32 = 36$$

$$\frac{1}{1-2^2} + \frac{2}{(1-2^2)^2} = 4 + 32 = 36$$

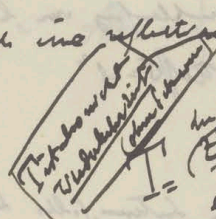
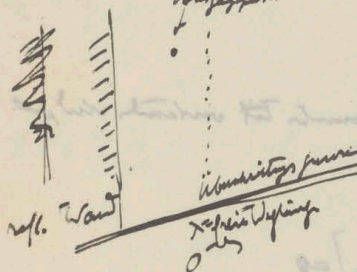
$$T = \frac{1}{2} + \frac{269}{82} = 5$$



Stückzahl illustriert durch Diagramm Dargestellt; wenn Überstrich = Anzahl von

unbegrenzte Anzahl ~~falls~~ wird erreicht, falls System unendlich ist (wird aber nicht überschritten)

von dem Begrenzung durch eine reflektierende Wand



Es ist immerhin möglich, dass die Summe aus einem vorkommend und abzählbar unendlich ist. Wenn man aufsteht und eingeklinkt ist, kann man nicht mehr weiter gehen.

$$\begin{aligned}
 &1 \quad 1 \quad 1 \quad \frac{1}{2} + \frac{1}{8} + \frac{2}{32} + \frac{6}{128} + \frac{20}{4.128} + \frac{68}{16.128} + \frac{232}{64.128} + \frac{792}{4.64.128} \\
 &1 \quad 1 \quad \frac{1}{2} + \frac{1}{8} + \frac{1}{16} + \frac{3}{64} + \frac{5}{128} + \frac{17}{4.128} + \frac{29}{8.128} + \frac{89}{32.128} \\
 &1 \quad 2 \quad 1 \quad \frac{1}{2} + \frac{1}{8} + \frac{2}{8.4} + \frac{7}{8.4^2} + \frac{77}{8.4^3} + \dots \\
 &4 \quad 2 \quad 1 \quad = \frac{1}{2} + \frac{1}{8} \left[ 1 + \frac{2}{4} + \left(\frac{2}{4}\right)^2 + \left(\frac{2}{4}\right)^3 + \dots \right] \\
 &4 \quad 6 \quad 12 \quad \frac{1}{1 - \frac{2}{4}} = 4 \quad \text{Stumpf} \\
 &14 \quad 6 \quad 9 \quad T = \frac{1}{2} + \frac{3}{8} + \frac{3.5}{8.4} + \frac{9.7}{8.4^2} + \frac{27.9}{8.4^3} + \frac{51.11}{8.4^4} \\
 &14 \quad 20 \quad 16 \quad 27 \quad 9 \quad = \frac{1}{2} + \frac{1}{8} \left[ 3 + \frac{3.5}{4} + \left(\frac{3}{4}\right)^2 \cdot 7 + \left(\frac{3}{4}\right)^3 \cdot 9 + \dots \right] \\
 &48 \quad 20 \quad 27 \quad 27 \quad 27 \quad 2 \quad \frac{5}{2} \\
 &48 \quad 68 \quad 20 \quad 51 \quad 27 \quad u_n = \left(\frac{2}{4}\right)^n \cdot (2n+3) \\
 &164 \quad 68 \quad 68 \quad 4_{n+1} = \left(\frac{2}{4}\right)^{n+1} \cdot (2n+5) \\
 &164 \quad 232 \quad 68 \quad u(1 - \frac{u_{n+1}}{u_n}) = n \left[ 1 - \frac{2}{4} \frac{2n+5}{2n+3} \right] = \frac{n [2n+12-6n-15]}{4(2n+3)} \\
 &560 \quad 232 \quad 232 \quad = \frac{n \cdot \frac{2n-3}{2n+3}}{4} > 1 \\
 &560 \quad 792 \quad 232 \\
 &1512 \quad 792 \quad 792
 \end{aligned}$$



Wiederkehrrate für Überschreitung einer gegebenen  $V$  Ebene durch Browns'sche Bewegung, wenn der Raum durch  $y=0$ ,  $y=l$  begrenzt ist?

von der Erwiderung der mittleren um Schließung von  $l$  nötigen Zeit  $\tau$   
von der Quadratmittels  $\sigma^2 = l^2$

Bedeutet die Wiederkehrrate auch für unendlich System, falls konstante Zeit vorhanden sind, und Wahrscheinlichkeit der Wiederkehr  $= \frac{1}{2}$  (2D.)

$$f(t) = \frac{1}{2\sqrt{\pi D t}} e^{-\frac{x^2}{4Dt}} \quad \frac{df}{dt} = e^{-\frac{x^2}{4Dt}} \left[ -\frac{1}{2\sqrt{\pi D t^3}} + \frac{1}{\sqrt{\pi}} \frac{x^2}{4Dt^2} \right] = 0$$

$$t = \frac{x^2}{2D} \quad \text{maxim. W}$$

$$W(x,0) = \sqrt{\frac{\beta}{2\pi D(1-e^{-2\beta^2 t})}} e^{-\frac{x^2}{1-e^{-2\beta^2 t}} \cdot \frac{\beta}{2D}}$$

$$\log W = \dots -\frac{1}{2} \log(1-e^{-2\beta^2 t}) - \frac{\beta}{2D} \frac{x^2}{1-e^{-2\beta^2 t}} - \frac{1}{2} \frac{2\beta^2 x^2 e^{-2\beta^2 t}}{1-e^{-2\beta^2 t}} + \frac{\beta}{2D} \frac{x^2 \cdot e^{-2\beta^2 t}}{[1-e^{-2\beta^2 t}]^2} = 0$$

$$1 - \frac{\beta x^2}{D} = e^{-2\beta^2 t} \quad \frac{x^2}{1-e^{-2\beta^2 t}} = \frac{\beta}{2D} [1-e^{-2\beta^2 t}]$$

$$t = -\frac{1}{2\beta^2} \log\left(1 - \frac{\beta x^2}{D}\right) = -\frac{1}{2\beta^2} \log\left[1 - \left(\frac{x}{\xi}\right)^2\right]$$

also nur für Punkte  $x < \xi$  ist ein Restriktion der Wahrscheinlichkeit vorhanden  
in  $t$   
wenn der Wahrscheinlichkeit  $= 0$



$$\frac{d}{dx} \left( \frac{e^{-(x^2 + \alpha \frac{e^{-x^2}}{x^3})}}{x^n} \right) = 0$$

$$\frac{d}{dx} \left[ -\left(x^2 + \alpha \frac{e^{-x^2}}{x^3}\right) - n \ln x \right] = 0 \Rightarrow \left\{ 2x - \frac{3\alpha}{x^4} e^{-x^2} - \frac{2\alpha}{x^4} \frac{e^{-x^2}}{x^2} + \frac{n}{x} \right\} = 0$$

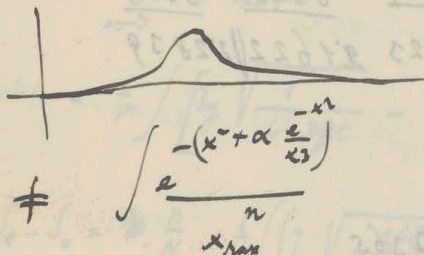
$$2x^3 + \frac{n}{x} = \frac{\alpha e^{-x^2}}{x^4} \left( 2 + \frac{3}{x^2} \right)$$

$$\alpha e^{-x^2} = \frac{x^3 + \frac{n}{2}}{2 + \frac{3}{x^2}}$$

$$+ x_{\max}^2 = -2 \ln \left( \frac{x^3 + \frac{n}{2}}{2 + \frac{3}{x^2}} \right) + 2 \ln \alpha$$

dla granicy drzewa

$$x_{\max} \neq \sqrt{2 \ln \alpha}$$



czy maksymalna

$$\frac{\int \frac{e^{-x^2}}{x} dx}{\int \frac{e^{-x^2}}{x^2} dx} \neq x_{\max} = \sqrt{2 \ln \alpha}$$

$$\bar{x} = \sqrt{2 \ln \alpha}$$

$$\begin{aligned} \frac{N}{\Omega_{\text{drzewa}}} &= \frac{[a \sqrt{2n}]^{3n}}{\frac{3n!}{2^{\frac{3n}{2}}}} = \frac{(a \sqrt{2n})^{3n}}{\left(\frac{3n}{2}\right)^{\frac{3n}{2}}} = \left[ \frac{a \sqrt{2n}}{\sqrt{\frac{3n}{2}} \cdot 2^{\frac{1}{4}}} \right]^{3n} = \left[ a \sqrt{\frac{4en}{3n}} \right]^{3n} \\ &= \left[ 5 \cdot 10^{11} \cdot \sqrt{\frac{4 \cdot 2 \cdot 8}{3 \cdot 10^{19}}} \right]^{3 \cdot 10^{19}} \end{aligned}$$

$$\begin{aligned} 3 \cdot 10^{19} \cdot 2 \cdot 47 &= 7 \cdot 5 \cdot 10^{19} \\ 10^{19} \cdot 3 \cdot 10^9 &= 3 \cdot 10^{28} \end{aligned}$$

$$\begin{aligned} 5 \cdot 10^{11} \cdot 10^{-10} \sqrt{\frac{36}{3 \cdot 10^{19}}} &= \sqrt[3]{\frac{720}{100}} = (\sqrt[3]{7200}) = \end{aligned}$$



0	111	<del>121</del>
1	168	168
2	130	260
3	69	207
4	32	128
5	5	25
6	1	6
7	1	7

2026

7135

1901

$$801: 517 = 1.549$$

$1.55^2 \cdot 111$	3802	7396	6542	1617	3894
$0.54^2 \cdot 168$	<u>0453</u>	<u>4792</u>	<u>3884</u>	<u>3234</u>	<u>7788</u>
$0.451^2 \cdot 130$	24255	<u>2253</u>	<u>1139</u>	<u>8788</u>	<u>5051</u>
		7045	14223	21622	22839

$$1.451^2 \cdot 69$$

$$2.451^2 \cdot 32$$

$$3.451^2 \cdot 5$$

$$4.451^2 \cdot 1$$

$$5.451$$

5379

6485

7365

0758

12970

14730

0990

144

17748

26635

5063

2644

1453

1923

5954

1982

2969

79007 :

$$\begin{array}{r} 0.3802 \\ 2.7135 \\ 3.0937 \end{array} \quad \begin{array}{r} 2897684 \\ - 50937 \\ 0.8039 - 1 \end{array}$$

$$\sqrt{5} = 0.637$$

$$\frac{1}{\sqrt{2}} = 0.645$$

8099



rechnen für überstrichene Linie um nur auf gewisse Punkte Symmetrie achten.

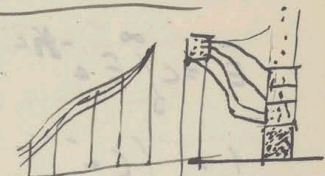
169

$$W_0 = \left[ \frac{\Delta x}{\sqrt{2\pi}} \cdot A \cdot e^{-\frac{\rho x_0^2}{2D}} \right]^n = \sqrt{\frac{2D}{n\rho}} e^{-\frac{n\rho x_0^2}{2D}}$$

$$W_x = \prod_{i=1}^n \left( \sqrt{\frac{A}{2D(1-e^{-2\rho t_i})}} e^{-\frac{\rho(x-x_0 e^{-2\rho t_i})^2}{2D(1-e^{-2\rho t_i})}} \right)$$

$$\mu = \frac{1}{\Delta x}$$

$$\Delta x = \frac{S}{P}$$



$$\log W_x = \sum_{i=1}^n \left( \log \sqrt{\frac{A}{2D(1-e^{-2\rho t_i})}} - \frac{\rho(x-x_0 e^{-2\rho t_i})^2}{2D(1-e^{-2\rho t_i})} \right) + \sum \log \Delta x$$

$$\int_{-\infty}^{\infty} W_0 dx = 1$$

$$\frac{(A \cdot \Delta x)^n}{\sqrt{\frac{n \cdot 2D}{\rho}}} \int_{-\infty}^{\infty} e^{-\frac{n\rho x^2}{2D}} dx$$

$$\Sigma = \frac{1}{\mu} \int_{-\infty}^{\infty} \dots dx$$

$$\log W_x = \frac{1}{\mu} \int_{-\infty}^{\infty} \left( \log \sqrt{\frac{\rho}{2D(1-e^{-2\rho t_i})}} - \frac{\rho(x-x_0 e^{-2\rho t_i})^2}{2D(1-e^{-2\rho t_i})} \right) dx + \log \Delta x$$

$$\log W_0 = \frac{1}{\mu} \int_{-\infty}^{\infty} \left( \log \sqrt{\frac{1}{4nD\rho t}} - \frac{\rho(x-x_0)^2}{2D} \right) dx + \log \Delta x$$

$$f_t - f_0 = \frac{1}{N} \cdot \frac{1}{\mu} \left\{ \log \sqrt{\frac{2\rho t}{1-e^{-2\rho t}}} - \frac{\rho}{2D} \left[ \frac{(x-x_0 e^{-2\rho t})^2}{1-e^{-2\rho t}} - \frac{(x-x_0)^2}{1-e^{-2\rho t}} \right] \right\}$$

$$W_x = \prod_{i=1}^n \left\{ \int_{x_0}^{x_0+\Delta x} W(x, t_i) dx \right\}$$

$$\frac{d}{dt} \left( \frac{x-x_0 e^{-2\rho t}}{1-e^{-2\rho t}} \right) = \frac{d}{dt} \left( \frac{x^2 - 2x x_0 e^{-2\rho t} + x_0^2 e^{-4\rho t}}{1-e^{-4\rho t}} \right)$$

$$W_0 = \prod \varphi(x)$$

$$\log W_0 = \sum \varphi(x) \log \left( e^{-\frac{\rho x^2}{2D}} \cdot A \right)$$

$$\log W_x = \sum \varphi(x) \log \dots$$

$$\frac{2\rho x x_0 e^{-2\rho t} - 2\rho x_0^2 e^{-4\rho t}}{1-e^{-4\rho t}} = 2\rho \frac{(x^2 - 2x x_0 e^{-2\rho t} + x_0^2 e^{-4\rho t})}{1-e^{-4\rho t}}$$



$$dW = C e^{-\frac{N}{H\theta} E} \omega(E) dE$$

$$\bar{E} = C \int_0^\infty E e^{-\frac{N}{H\theta} E} \omega(E) dE$$

$$1 = \int_0^\infty C e^{-\frac{N}{H\theta} E} \omega(E) dE$$

$$\frac{\int_0^\infty (E - \bar{E})^2 dW}{\int_0^\infty dW} = \int_0^\infty E^2 dW - 2(\bar{E})^2 + (\bar{E})^2$$

$$\overline{E^2} - (\bar{E})^2 = \int_0^\infty E^2 e^{-\frac{N}{H\theta} E} \omega(E) dE$$

$$e^{-\frac{H\theta}{2} (\frac{1}{2} p_1^2 + \frac{1}{2} p_2^2 + \dots + U_p)} = U(q_1) + U(q_2) + \dots$$

$$\int e^{-\frac{H\theta}{2} (\frac{1}{2} p_1^2 + \frac{1}{2} p_2^2 + \dots + U_p)} dp_1 dp_2 \dots dp_1 dp_2 \dots$$

$$= f_1(q_1) + f_2(q_2) + \dots = f_1(q_1) f_2(q_2) \dots e^{-\frac{H\theta}{2} (U(q_1) + U(q_2) + \dots)}$$

$$= F(q_1) e^{-\frac{H\theta}{2} U(q_1)}$$

$$p_i = \left[ \frac{L - \alpha_2 p_i^2 - \dots}{\alpha_1} \right]^{1/2}$$

$$\int e^{-\frac{H\theta}{2} [L + U(q_1, q_2, \dots)]}$$



$$W(x, x_0) = \sqrt{\frac{\beta}{2\pi D(1-e^{-2\beta t})}} e^{-\frac{[x-x_0 e^{-\beta t}]^2}{[1-e^{-2\beta t}]}} \frac{\beta}{2D}$$

170

$$e^{-\beta t} = z \quad f(z) = \sqrt{\frac{\beta}{2\pi D(1-z^2)}} e^{-\frac{(x-x_0 z)^2}{1-z^2}} \frac{\beta}{2D}$$

$$\ln f = -\frac{1}{2} \ln(1-z^2) - \frac{\beta}{2D} \frac{(x-x_0 z)^2}{1-z^2}$$

$$\frac{d \ln f}{dz} = +\frac{1}{2} \frac{2z}{1-z^2} - \frac{\beta}{2D} \left\{ -\frac{2(x-x_0 z)x_0}{1-z^2} + \frac{(x-x_0 z)^2}{(1-z^2)^2} \right\}$$

$$1 = \frac{\beta}{D} \left\{ \frac{(x-x_0 z)^2}{1-z^2} - \frac{(x-x_0 z)x_0}{z} \right\}$$

$$= \frac{\beta}{D} (x-x_0 z) \frac{xz - x_0 z^2 - x_0 x_0 + x_0^2 z^2}{2(1-z^2)}$$

$$1 = \frac{\beta}{D} \frac{(x-x_0 z)(xz-x_0)}{2(1-z^2)}$$

N.p.  $x_0 = 0$

$$1 = \frac{\beta}{D} \frac{x^2}{1-z^2}$$

$x = 0$

$$1 = \frac{\beta}{D} \frac{x_0^2 z^2}{2(1-z^2)}$$

wgł. taki prawdy osiągnąć w punkcie 0  
z punktu  $x_0$  nie ucieknie do maksimum  
żadnie  $x_0 > \xi$  !

czy taki ucieknie wcale ?

$$\sqrt{\frac{\beta}{2\pi D[1-e^{-2\beta t}]}} e^{-\frac{\beta x_0^2}{2D} \frac{e^{-2\beta t}}{1-e^{-2\beta t}}}$$







$$\log T = \frac{1 \cdot \sqrt{2}}{n^{3/2} \cdot D}$$

$$\nu = \frac{3 \cdot 10^{19}}{2} = \frac{1}{\xi^2}$$

171

$$\delta = \frac{1}{2} 10^{-2}$$

$$\frac{\xi}{\delta} = \frac{1}{\sqrt{\frac{20 \cdot 10^{14}}{8}}} = \frac{10^{-7}}{\sqrt{3 \cdot 7}}$$

$$\frac{\delta^2}{\xi^2} = \frac{3}{2} \cdot \frac{10^{19}}{4} \cdot 10^{-4} = \frac{3}{8} \cdot 10^{15}$$

$$\log T = \log \left( \frac{\sqrt{2}}{n^{3/2} \cdot D} \right) + 2 \log \frac{10^{-7}}{\sqrt{3 \cdot 7}} + \frac{\mu}{2 \xi^2}$$

$$\frac{3}{16} \cdot 10^{15} = \frac{1}{5} \cdot 10^{15}$$

$$10 \log T = 10^{14}$$

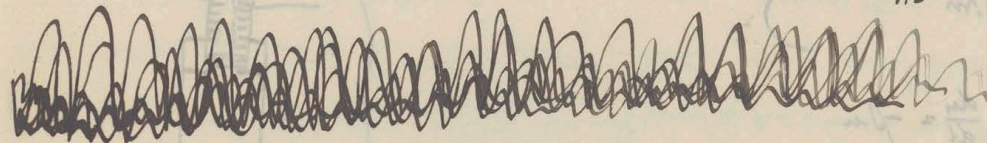
$$\mu = [2 \cdot 10^{-5}]^3 = 8 \cdot 10^{-15}$$

$$\frac{\delta^2}{\xi^2} = 3$$

$$T = \frac{4 \cdot 10^{-10} \sqrt{2}}{n^{3/2} \cdot D} \cdot \frac{1}{\sqrt{3}} e^{\frac{3}{2}}$$

$$8 \cdot 10^{-15} \cdot \frac{3 \cdot 10^{19}}{2} = 12 \cdot 10^4$$

$$\xi = \frac{1}{\sqrt{2}} 10^{-2}$$



$$\overline{(x - x_0)^2} = \frac{D}{\rho} [1 - e^{-2\rho t}] + x_0^2 [e^{-2\rho t} - 2e^{-\rho t} + 1] = \frac{D}{\rho} [1 - e^{-2\rho t}] + x_0^2 [1 - e^{-\rho t}]^2$$



$$\xi = \mu \lambda_x$$

$$t = \frac{m \lambda_x}{c_x}$$

$$\frac{\xi^2}{4D} = \frac{\mu^2 \lambda_x^2 c}{4D n} = \frac{\lambda c \mu^2}{2D n}$$

wie muss  $\lambda$  gewählt werden  
um  $\xi, T$  zu geben?

$$\frac{\lambda c}{2D} = 1$$

$$D = \frac{\lambda c}{2} = \frac{40}{N \cdot 6\pi\mu_0}$$

$$\frac{m \lambda_x^2}{2} = \frac{1}{2} \frac{40}{N}$$

$$c_x = \sqrt{\frac{1}{m} \frac{40}{N}}$$

$$\lambda_x = \frac{40}{N} \frac{1}{3\pi\mu_0} \sqrt{\frac{1}{m} \frac{40}{N}}$$

$$= \sqrt{\frac{40}{N} \frac{m}{3\pi\mu_0}}$$

$$\lambda_x = \frac{\sqrt{\frac{40}{N} m}}{3\pi\mu_0}$$

$$D = \frac{\xi^2}{4t} = \frac{\mu^2 \lambda_x^2 c}{2 n \lambda_x} = \frac{\mu^2 \lambda_x c}{2 n}$$

$$t = n \frac{m}{12\pi\mu_0}$$

$$n = t \frac{3\pi\mu_0}{m}$$

$$\frac{40}{N} \frac{1}{3\pi\mu_0} \frac{m}{3\pi\mu_0}$$

$$4D = \frac{40}{N} \frac{1}{3\pi\mu_0}$$

c.m

$$\frac{d^2 x}{m dt^2} = -\beta x$$

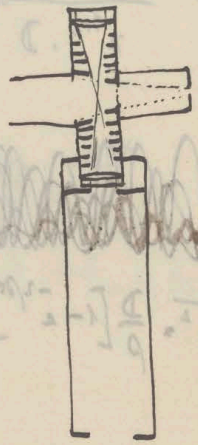
$$x = x_0 e^{-\frac{\beta t}{2}} = \frac{dx}{dt}$$

$$x = \frac{\mu_0}{\beta} (1 - e^{-\beta t})$$

$$-\frac{\beta t}{2} = 2$$

$$\frac{1}{t} = \frac{3\pi\mu_0}{m}$$

$$\lambda_x = c_x t$$





$$n = \frac{(n_1 + n_2) \cdot \ln \left( \frac{n_1 + n_2}{n_1} \right)}{\ln \left( \frac{n_1 + n_2}{n_2} \right)}$$

$$= \frac{(100 + 100) \cdot \ln \left( \frac{100 + 100}{100} \right)}{\ln \left( \frac{100 + 100}{100} \right)}$$

$$= \frac{200 \cdot \ln(2)}{\ln(2)}$$

$$= 200$$

The above calculation is based on the assumption that the two groups are equally likely to be in either state. If the probabilities are not equal, the calculation must be modified. For example, if the probability of being in state 1 is  $p_1$  and the probability of being in state 2 is  $p_2$ , then the calculation becomes:

$$n = \frac{(n_1 + n_2) \cdot \ln \left( \frac{n_1 + n_2}{n_1} \right)}{\ln \left( \frac{n_1 + n_2}{n_2} \right)}$$

In the case where  $p_1 = p_2 = 0.5$ , the calculation simplifies to the one above.

The above calculation is based on the assumption that the two groups are equally likely to be in either state. If the probabilities are not equal, the calculation must be modified.

The above calculation is based on the assumption that the two groups are equally likely to be in either state. If the probabilities are not equal, the calculation must be modified.

The above calculation is based on the assumption that the two groups are equally likely to be in either state. If the probabilities are not equal, the calculation must be modified.

The above calculation is based on the assumption that the two groups are equally likely to be in either state. If the probabilities are not equal, the calculation must be modified.



Autonome Schwingung

10. Eine Schwingung mit einem Amplitudenwert  $A$  ist durch die Differentialgleichung beschrieben und damit ein  $\sin$  oder  $\cos$  mit einer bestimmten Amplitude  $A$  und einer bestimmten Frequenz  $\omega$ .

Das ist die allgemeine Lösung der Differentialgleichung. Die Amplitude  $A$  ist durch die Anfangsbedingungen bestimmt. Die Frequenz  $\omega$  ist durch die Eigenschaften des Systems bestimmt. Die Phase  $\phi$  ist durch die Anfangsbedingungen bestimmt. Die Amplitude  $A$  ist durch die Anfangsbedingungen bestimmt. Die Frequenz  $\omega$  ist durch die Eigenschaften des Systems bestimmt. Die Phase  $\phi$  ist durch die Anfangsbedingungen bestimmt.

Resonanz und Schwingungsbildung  
Damping

Resonanz tritt auf, wenn die Frequenz der äußeren Einwirkung mit der Eigenfrequenz des Systems übereinstimmt. In diesem Fall wird die Amplitude der Schwingung sehr groß. Damping ist ein Prozess, bei dem die Amplitude der Schwingung mit der Zeit abnimmt. Es gibt verschiedene Arten von Damping, wie z.B. viskoses Damping oder Coulomb'sches Damping.

Die Damping-Konstante  $\gamma$  ist durch die Differentialgleichung bestimmt:

$$m \ddot{x} + \gamma \dot{x} + kx = F \cos(\omega t)$$

Die Amplitude  $A$  ist durch die Anfangsbedingungen bestimmt:

$$A = \frac{F}{\sqrt{(k - m\omega^2)^2 + \gamma^2 \omega^2}}$$

Die Phase  $\phi$  ist durch die Anfangsbedingungen bestimmt:

$$\phi = \arctan\left(\frac{\gamma \omega}{k - m\omega^2}\right)$$







much.

Sept

W. A. R.

Walt.

$$H_m = \dots + (214) \oplus + (141) \oplus + (\dots) \oplus + (241) f$$

analogical sample is not made?

4283

is important to me as much for the work as for the

Nr. 5 <sup>aus</sup> ~~Prof.~~ mit handmännl. Schrift. Schriftk. von Kienrich?

Chemical industry & power

$$Z_{\text{new}} = (z_1', z_2') = (z_1' \cos \theta - z_2' \sin \theta, z_1' \sin \theta + z_2' \cos \theta)$$

Johns Hopkins

42. ptarmigan!

Johnson; C.

The only thing done  
is  $\frac{w_1}{w_1 + w_2}$   
 $= \ln 2$

$$g_{\text{min}} = (\dots 0) + n_3 + \frac{1}{2} n_2$$

Die in diesem Jahr in Wien  
die in Wien gehaltenen

$\mathbb{F} + \Phi$  = Wert in Blockstruktur = Indikator

[illegible]



174

to individual systems, and even to individual systems.

11 " Ist die Anzahl Jahre da Herr anwilt --

Prezisko svojho zlozku

phases of the 2nd and 3rd centuries

11. "Sittling man" and "fine man" -  
"Kochman" the woman - "Jong" -

neglypt: new isthmian connection

highly decorated  
 (12 leaf manuscript) (12 leaf manuscript)

John! "John" is a young man  
at the age of 25 or 26 who is

energy = 2000 mass  $\times$  wave number of photon by wave  
 length  $\times$  velocity of light

~~the~~ large style in which it was written.

with my peace reformer opponents to seal the policy of peace through the use of simple repetition.

schonmal mit gut willkürlichen, typischen, was man so schön sagt, Äußerungen wie 13

$i'' = \text{admittance} = \frac{1}{Z''}$

Long Island City Feb 1st no record

Shiradacete (Kent Roo) in juv.

Physiology - process of regulation of behaviour

all the nation is left so much in doubt!

Wieder zu sehen

isthmus veraltet in der geographie

*L'usage "normal" d'un langage "prosaïque" / pour l'école*

Ankum : so mag' sie weiter wohnen mit mir wenn es doch noch möglich ist

Energy - Entropy

[illegible]



*[Faint, mostly illegible handwriting, likely bleed-through from the reverse side of the page. Some words like "mammals" and "birds" are faintly visible.]*

9 = 0.0025 m - 0.00012 m - 0.00012 m  
 7 = 0.0025 m - 0.00012 m - 0.00012 m  
 1 = 0.0025 m - 0.00012 m - 0.00012 m



175

12/00.0 : general ref. 0 to major books

—

2.6

105

$$\checkmark A = 10$$
$$5/00.0 = 0$$

pl

३३

2100

$$A = 9.00$$

24

orl

968

426

$$V = K_2 \left(1 + \frac{a}{\theta}\right) \quad \checkmark - 1533 \cdot 10^{-2} \quad (2002)$$
$$\Delta = 1.05$$

only heavy in some of the

inches of sample -  $A = 163$   $\frac{27}{1}$

$$\frac{A - 1.5}{4} = 5.5$$

3). 7/ prothoracic horn, first of 6th type

$$A = 9.2$$

in direction of westward, before all, but of the same mass again.

*I am glad you have been able to get some work done.*

$$A = 7.5$$

*11. smooth white rhyolite*

of A on Mount

a name of long note he would not have been, the then current of the river

Mr. Kunkle W. R. 334 153

Then we solve  $e = 4.810 \cdot 10^{-10}$  (pressure was 0.1%)

$A = 0.848$  instead of  $\mu_{\text{mean}}$   $A = 0.812$

and / or to help security in log as  $\frac{\sigma}{\delta} > 0.4$  / otherwise by the power /

$$X = 67.2 \text{ m} \cdot \text{s}^{-1} (1 + 4.8)^{-1}$$

now taking the derivative with respect to time - 5 min

Wm. W. W. 24 1898 May 1912



A. K. K. An examination of the accuracy of this test has been made - 1911

should be written

$$\left[ 1 + 0.940 \frac{\Delta}{5 - f} \right]^{-1}$$

approx. with very small  $\Delta = 0.003$   
 $-0.0002$   
 per  $\left[ 1 + k \frac{\Delta}{a} \right]^{-1}$

Pl. R. 32, 349, 1911

Attention being directed to the relation in physics, with it

only the least reliable for engine oil, if engine oil also would with it

then it is not a theory

if engine oil would with more reliable oil than it is  
 1.388

On the distribution of vapors in air = 0.0001785  
 1910

$$A = 0.812$$

compressive

$$f = \frac{A}{a} = A \frac{a}{\Delta}$$

if taken by Allen - formula  
 $\Delta = 0.3502 \text{ pot}$

$$\frac{1+y}{1+y} \frac{1+y}{1+y} (6-p)$$

$$f = \frac{A}{a}$$

$\therefore \{ = 0.000077$   
 with again with only  
 0.000076

no that not enough the very small

give with Allen & A = 0.788 if f = 0



Of course limit was 0 and is of order  $\frac{1}{k}$  ~~the~~ or was infinite as  
that is first order of approximation this is taken as  $k$

that the first man of apes this is to take on a

$$K = \frac{1}{2} \int_{-\infty}^0 f(m+m) \int_{-\infty}^0 \frac{1}{2} \sqrt{\frac{1}{2} \frac{m}{m}} dx = \frac{3}{8} \sqrt{\frac{1}{2} \frac{m}{m}}$$

When we make 'improvements', we must not think we must throw:

$$A \approx \left(\frac{R}{2}\right)^2 \frac{4\pi a^2}{M+m} \sqrt{\frac{2\pi}{M+m}} \sqrt{\frac{2\pi}{M+m}} \sqrt{\frac{2\pi}{M+m}}$$

It concludes with a statement in the portfolio to that all attention of revisioners apply particularly in relation to which the work on the way out from the portfolio there can no

constant

The magnitude of collection in the direction of  $T_0$  is:

$$\left[ \frac{1}{2} \sigma^2 (n-1) + \frac{1}{2} \sigma^2 (n-1) + \frac{1}{2} \sigma^2 \right] \frac{n+1}{n}$$

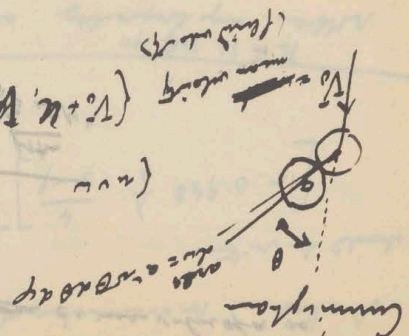
It is important to note that, the more complex the system is, the more complex the system is.

$$\int_0^{\pi} (1 + \cos^2 \theta) \sin \theta \, d\theta = \int_0^{\pi} 2 \cos^2 \theta \sin \theta \, d\theta = 2 \cdot 1$$

$$\frac{\frac{1}{x^2} \sqrt{\frac{1}{x^2}}}{\frac{1}{x^2} \sqrt{\frac{1}{x^2}} + 1} = x$$

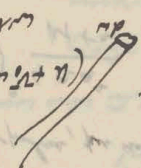


225, 83, 357, 390



$\{V_0 + U, V(U)\}$

$0 \leq k - (k - r) \leq r$



with the other two it is positive

impulse of impulse is  $\frac{2M}{M+m} (U + V_0 \cos \theta - v)$

perfect impulse is due to  $V_0$  you must then:

$$\int \int \int A e^{-k(u^2 + v^2)} I_{\cos \theta} \times (U + V_0 \cos \theta - v) \cos \theta \, du \, dv \, d\theta$$

(limits for  $u$  and  $v$ )

$$= A \pi \frac{2M}{M+m} \int \int e^{-k(u^2 + v^2)} (U + V_0 \cos \theta - v) \cos \theta \, du \, dv \, d\theta$$

integrating by parts. if  $u$  and  $v$  are integrated:

$$\left[ A \pi \frac{2M}{M+m} \int \int e^{-k(u^2 + v^2)} (U + V_0 \cos \theta - v) \cos \theta \, du \, dv \, d\theta \right]$$

$\theta$  limits  $\int_0^\pi$   $U, v$  all values limited by  $U < U + V_0 \cos \theta$

assumption  $V_0$  made in case with non velocity

$$K = \int \int \int e^{-k(u^2 + v^2)} \frac{1}{(U + V_0 \cos \theta)^2} \cos \theta \, du \, dv \, d\theta$$

$$\beta = \frac{K(U + V_0)}{K(U + V_0)}$$

$$= \left[ \frac{K(U + V_0)}{2} \right] \int \int \int e^{-k(u^2 + v^2)} \frac{1}{(U + V_0 \cos \theta)^2} \cos \theta \, du \, dv \, d\theta$$



177



D. i A.



9365 4

1981

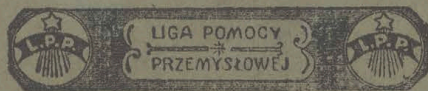


WYRÓB KRAJOWY  
  
MARKA OCHRONNA



*Freiburger do 75*

*Göttinger Vertrag*



(Krajowa marka ochronna)

O. S.







W

W







$$\text{Cummulyan lin } W = a^2 \rho c V \cdot \frac{4}{3} \sqrt{\frac{8}{3\pi}}$$

$$= 1.229 \cdot a^2 \rho c V$$

rechnet 2

optimal

$$[f + 2(1-f)] \uparrow$$

$$W(2-f) \cdot 1.229 = 2$$

$$f = \frac{2 \cdot 0.229}{1.229} = 0.3$$

$$\begin{array}{r} 9031 \\ 97425 \\ \hline 192885 - 2 \\ 096442 - 1 \\ 6021 \\ \hline 05665 \\ - 4771 \\ \hline 00894 \end{array}$$

~~8271~~  
~~4771~~  
~~96~~

f=0	rechnet nicht	0.816
f=1	rechnet schon	1.63

$$\text{Cummulyan unrelativ: } L W = 2.458 \cdot a^2 \rho c V$$



Re Kuchan Ph 8 12, 702 (1911)

$$W = 6\pi\gamma a u \left[1 + \frac{\lambda}{a}\right]^{-1}$$

$$\lambda = 0.5 \text{ m} \mu = 0.30967 \cdot m N \Omega$$

180  
 $\mu = \frac{N m \Omega^2 n}{8}$

$$= \frac{N m c^2}{3}$$

$$= \frac{\mu \Omega^2}{0.30967 \cdot \mu}$$

$$c = \Omega \sqrt{\frac{3n}{8}}$$

$$\Omega = c \sqrt{\frac{8}{3n}}$$

$$\begin{array}{r} 90309 \quad 49715 \\ 97427 \quad 47712 \\ \hline 0.92882 - 1 \quad 0.97427 \end{array}$$

$$\begin{array}{r} 0.96441 \\ 0.49090 - \end{array}$$

$$0.45531 -$$

$$0.54469$$

$$\lambda_{0.5 \text{ m} \mu} = 35050 \cdot \frac{\mu}{\rho c}$$

$$\mu = \frac{1 c \rho}{3}$$

$$\lambda_{0.5 \text{ m} \mu} = \frac{3 \mu}{c \rho}$$

$$\lim_{\lambda \rightarrow 0} W = \frac{6\pi a u \mu}{1 + \frac{\lambda}{a}} = 6\pi a^2 u \left(\frac{\mu}{\lambda}\right)$$

$$= 6\pi a^2 u \rho c \cdot 0.30967 \sqrt{\frac{8}{3n}}$$

$$= 6\pi a^2 u \frac{c \rho}{3} = 2\pi a^2 c \rho \cdot u$$

W a i c u i p o d m o g e

$\lambda_{0.5 \text{ m} \mu}$  u i c  $\bar{W}$  m i j e

$$= \frac{4}{3} \pi a^3 \rho g$$

$$u = \frac{2}{3} \frac{a \rho g}{c \rho}$$

$$a = \frac{3}{2} \frac{c \rho u}{\rho g} = \frac{3 \sqrt{2} \sqrt{R \theta} \rho u}{162 g \rho}$$

pod m p d R e i n f a m m p 1034 :  
 (Z a m p i a)

$$a = \frac{4}{\sqrt{2n}} \frac{\sqrt{R \theta} \rho u}{g \rho}$$

$$W = \alpha a^3 u = \frac{4}{3} \pi a^3 \rho g$$

$$a = \frac{3 \alpha}{4 \pi} \frac{u}{\rho g}$$

$$\alpha = \frac{4}{3} \pi a \frac{\rho g}{u}$$

$$u i c \bar{W} = \frac{16 \pi}{3 \sqrt{2n}} \frac{\sqrt{R \theta}}{a^2 \rho} = \frac{16 \sqrt{2}}{3 \sqrt{6}} c a^2 u \rho$$

$$= \frac{16}{3 \sqrt{6}} 0.5 c \rho u$$

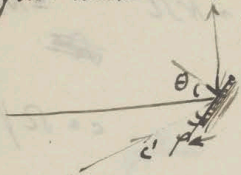
$$= \frac{4 \sqrt{8}}{3 \sqrt{3n}} \rho c \rho u \text{ u i c t a m m o c o}$$

u a t i j e p a t i r a %  
 d l a z a m i j e t a z a d l a



Przy udziale sprężystości i poruszaniu się wzdłuż osi

typu normalnego składowa nie zmienia



$$\frac{dV}{dV_0} = \frac{n}{\sqrt{\pi^3}} e^{-\frac{[(x-u)^2 + y^2 + z^2]}{\alpha^2}} d\xi d\eta d\zeta \cdot dV_0$$

$$= \frac{n}{\sqrt{\pi^3}} e^{-\frac{r^2}{\alpha^2}}$$

Linia uśredniona:

$$\frac{n}{\sqrt{\pi^3}} \int_0^\infty e^{-\frac{(x-u)^2 + y^2 + z^2}{\alpha^2}} d\xi d\eta d\zeta \cdot dV_0$$

całkowite wprężenie i gęstość

$$= \left[ \xi \frac{dV}{dV_0} + y \frac{dV}{dV_0} + z \frac{dV}{dV_0} \right] dV_0$$

$$\int_0^\infty e^{-\frac{(x-u)^2}{\alpha^2}} d\xi = \int_{-u}^\infty e^{-\frac{\xi^2}{\alpha^2}} d\xi$$

dla uśrednienia:

$$e^{-\frac{\xi^2}{\alpha^2}} + 2u \frac{\xi}{\alpha^2} = e^{-\frac{\xi^2}{\alpha^2}} \left[ 1 + 2u \frac{\xi}{\alpha^2} \right]$$

$$\int_0^\infty \xi e^{-\frac{\xi^2}{\alpha^2}} d\xi + \frac{2u}{\alpha^2} \int_0^\infty \xi^2 e^{-\frac{\xi^2}{\alpha^2}} d\xi$$

$$\frac{\alpha^2}{2} + 2u \alpha \frac{\sqrt{\pi}}{4} = \frac{\alpha^2}{2} + \frac{u \alpha \sqrt{\pi}}{2}$$

$$\int_0^\infty e^{-\frac{(x-u)^2}{\alpha^2}} d\xi = \alpha \frac{\sqrt{\pi}}{2} + 2u \int_0^\infty \xi e^{-\frac{\xi^2}{\alpha^2}} d\xi = \frac{1}{\sqrt{\pi}} \int_0^\infty \xi^2 e^{-\frac{\xi^2}{\alpha^2}} d\xi = \frac{1}{\sqrt{\pi}} \int_0^\infty \xi^3 e^{-\frac{\xi^2}{\alpha^2}} d\xi$$

$$\int_0^\infty \xi^2 e^{-\frac{\xi^2}{\alpha^2}} d\xi = \frac{1}{\sqrt{\pi}} \int_0^\infty \xi^3 e^{-\frac{\xi^2}{\alpha^2}} d\xi = \frac{1}{\sqrt{\pi}} \int_0^\infty \xi^4 e^{-\frac{\xi^2}{\alpha^2}} d\xi$$

$$\int_0^\infty \xi^4 e^{-\frac{\xi^2}{\alpha^2}} d\xi = \frac{3}{8} \sqrt{\frac{\pi}{\alpha^2}}$$

$$\int_0^\infty \xi^6 e^{-\frac{\xi^2}{\alpha^2}} d\xi = \frac{15}{16} \sqrt{\frac{\pi}{\alpha^2}}$$

prawy uśrednienia

$$\int_0^\infty x^2 e^{-x^2} dx = \frac{\sqrt{\pi}}{4}$$

$$\int_0^\infty x^4 e^{-x^2} dx = \frac{3\sqrt{\pi}}{8}$$

$$\int_0^\infty x^6 e^{-x^2} dx = \frac{15\sqrt{\pi}}{16}$$

$$\int_0^\infty \xi e^{-\frac{\xi^2}{\alpha^2}} d\xi = \frac{\alpha^2}{2}$$

$$\int_0^\infty \xi^2 e^{-\frac{\xi^2}{\alpha^2}} d\xi = \frac{1}{\sqrt{\pi}} \int_0^\infty \xi^3 e^{-\frac{\xi^2}{\alpha^2}} d\xi = \frac{1}{2\sqrt{\pi}} \int_0^\infty \xi^4 e^{-\frac{\xi^2}{\alpha^2}} d\xi = \frac{1}{2\sqrt{\pi}} \cdot \frac{3}{8} \sqrt{\frac{\pi}{\alpha^2}} = \frac{3}{16\sqrt{\pi}} \sqrt{\frac{\pi}{\alpha^2}}$$

$$\frac{1}{2\sqrt{\pi}} \sqrt{\frac{\pi}{\alpha^2}} = \frac{1}{2\sqrt{\pi}} \cdot \frac{1}{\alpha} = \frac{1}{2\sqrt{\pi}\alpha}$$




~~$$\frac{n\pi}{2} \int_0^{\frac{n\pi}{2}} \cos \left( \alpha + \frac{u\pi}{2} \right) d\alpha$$~~

napięta i obrotu bo taki powstaje  
taka dąbność toru!

181

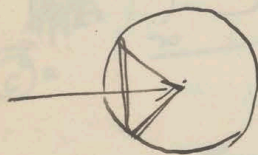
stwierdziłem obrotu, ciżnini tyłku i kłucie uśmiechu  
taka jest gęstość na pow. dS ośrodku - wskazać przedmiot u cos θ

→ 

$$\begin{aligned} p &= 2nm \frac{\pi}{\alpha \sqrt{2}} \int_0^{\frac{\pi}{2}} \int_0^{\frac{\pi}{2}} e^{-\frac{(x-u)^2 + y^2}{\alpha^2}} dy dx d\theta \\ &= 2nm \frac{\pi}{\alpha \sqrt{2}} \int_0^{\frac{\pi}{2}} \int_0^{\frac{\pi}{2}} e^{-\frac{(x-u)^2}{\alpha^2}} dx dy \\ &= 2nm \frac{\pi}{\sqrt{2} \alpha} \left\{ \int_0^{\frac{\pi}{2}} \int_0^{\frac{\pi}{2}} e^{-\frac{x^2}{\alpha^2}} dx dy + 2 \frac{u}{\alpha^2} \int_0^{\frac{\pi}{2}} \int_0^{\frac{\pi}{2}} x e^{-\frac{x^2}{\alpha^2}} dx dy \right\} \\ &= 2nm \frac{\pi}{\alpha} \left\{ \frac{\alpha^2 \sqrt{2}}{4} + 2u\alpha^2 \int_0^{\frac{\pi}{2}} \int_0^{\frac{\pi}{2}} x e^{-\frac{x^2}{\alpha^2}} dx dy \right\} \\ &= 2nm \frac{\pi}{\alpha} \left[ \frac{\alpha^2 \sqrt{2}}{4} + \frac{u\alpha^2}{\sqrt{2}} \right] = \frac{nm\alpha^2}{2} + 2nm \frac{u\alpha}{\sqrt{2}} \end{aligned}$$

$$\alpha^2 = \frac{2}{3} c^2 = 220$$

$$\alpha = c \sqrt{\frac{2}{3}}$$



$$\begin{aligned} W &= 2a^2 \int_0^{\frac{\pi}{2}} 2\pi x dy dy \omega^2 p \cdot \rho c \sqrt{\frac{p}{3n}} \cdot u \\ &= \frac{4a^2 \pi}{3} \rho c \sqrt{\frac{p}{3n}} u = \frac{4\pi}{3} \sqrt{\frac{p}{3n}} a^2 c p u \end{aligned}$$

małpki umiętłi nie tate

$$\frac{\int_0^{\frac{\pi}{2}} \frac{1}{x^2} dx}{\int_0^{\frac{\pi}{2}} \frac{1}{x^2} dx} = \frac{2\alpha \sqrt{n}}{\frac{2}{3}}$$

$$\frac{\alpha^4}{2}$$

$$\frac{2\alpha}{5}$$

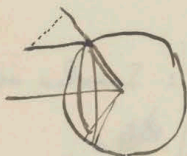


Nieprzejęte udziały (przebiegi)

ośrodek iły normalny ; ośrodek styżny

normalna :  $p = \frac{u m c}{3} + \frac{\rho c u}{2} \sqrt{\frac{\rho}{3n}}$  ← nieprawda!

styczna :  $\frac{m m c}{\sqrt{6n}}$



$v = u \sin \varphi$

$$2 \frac{\rho c u}{\sqrt{6n}} \int_0^{\frac{\pi}{2}} 2 a n \sin^3 \varphi d\varphi = \frac{\rho}{3} \frac{\rho c u}{\sqrt{6n}} a n$$

$$\int_0^{\frac{\pi}{2}} \sin^3 \varphi d\varphi = \int_0^{\frac{\pi}{2}} [\sin \varphi - \sin \varphi \cos^2 \varphi] d\varphi$$

$$\ln \varphi - \frac{\cos^3 \varphi}{3} = \frac{2}{3}$$

$$W_u + W_s = \left[ \frac{2n}{3} \sqrt{\frac{\rho}{3n}} + \frac{\rho n}{3 \sqrt{6n}} \right] \rho c a u = \frac{4}{3} n \sqrt{\frac{\rho}{3n}} \rho c a u$$

"  $\frac{2}{3} n \sqrt{\frac{\rho}{3n}}$

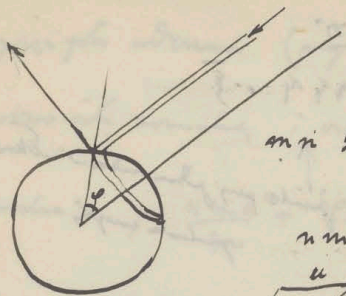
więc tak samo jak poprzednio!







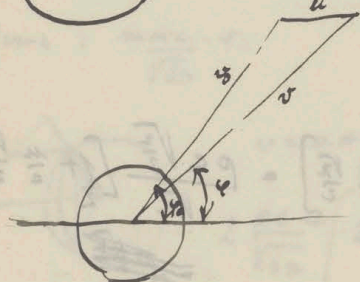




inny sposób dla porównania

$$m n 2\pi r \sin \varphi \, d\varphi \cos \varphi \, v \, \underbrace{v [1 + \cos 2\varphi]}_{2v^2 \cos^2 \varphi}$$

$$m n a^2 2\pi \int_0^{\frac{\pi}{2}} r^2 \cos^2 \varphi \, d\varphi$$



$$\rho \int_0^{\frac{\pi}{2}} 4\pi v^2 e^{-\frac{v^2}{a^2}} dv = 1 = \rho \cdot a^3 \cdot \frac{\sqrt{\pi}}{2}$$

$$\rho = \frac{1}{(a\sqrt{\pi})^3}$$

$$m n a^2 \frac{2\pi r \varphi_0 \, d\varphi_0}{4\pi^2} \cdot \cos \varphi_0 \cdot v_0 \cdot \frac{4}{a^3 \sqrt{\pi}} v_0^2 e^{-\frac{v_0^2}{a^2}} dv_0$$

$$v^2 = v_0^2 + 2u v_0 \cos \varphi_0 \quad \parallel \quad v = v_0 \left[ 1 + \frac{u}{v_0} \cos \varphi_0 \right]$$

$$v \cos \varphi = v_0 \cos \varphi_0 + u$$

$$m n a^2 \frac{2}{a^3 \sqrt{\pi}} \int_0^{\frac{\pi}{2}} v_0^2 e^{-\frac{v_0^2}{a^2}} dv_0 \left[ \underbrace{v_0 + \frac{u}{\cos \varphi_0}}_{v_0 \cos \varphi_0 + u} \right] \left[ v_0 \cos \varphi_0 + u \right] \sin \varphi_0 \, d\varphi_0$$

$$\int_0^{\frac{\pi}{2}} \frac{4}{v_0^2} e^{-\frac{v_0^2}{a^2}} dv_0 \sin \varphi_0 \cos \varphi_0 + u \int_0^{\frac{\pi}{2}} v_0^2 e^{-\frac{v_0^2}{a^2}} dv_0 (1 + \cos 2\varphi_0) \sin \varphi_0 \, d\varphi_0$$

$$\int_0^{\frac{\pi}{2}} (1 + \cos 2\varphi) \sin \varphi \, d\varphi = 2 + \frac{2}{3} = \frac{8}{3}$$

$$\int_0^{\frac{\pi}{2}} v^2 e^{-\frac{v^2}{a^2}} dv = \frac{a^4}{2}$$

$$W = p a^2 \frac{2 a u}{\sqrt{\pi}} \frac{8}{3} = \mu p c a^2 \frac{8}{3} \sqrt{\frac{2}{\pi}} = \mu p c a^2 \frac{4}{3} \sqrt{\frac{8}{\pi}}$$

Stwierdzenie



nieprawdziwe uśrednienie

183

już i to samo przybliżenie w odwrócenie, tylko - dookoła kierunku

1) zniknie moment  $m v$

2) ...  $m \cos \bar{v}$

$$\bar{v} = \frac{v \int_{-\frac{\pi}{2}}^{\frac{\pi}{2}} \sin \varphi \, d\varphi \cos \varphi}{\int_{-\frac{\pi}{2}}^{\frac{\pi}{2}} \sin \varphi \, d\varphi} = \frac{v}{2}$$

$$n m v^2 2\pi r \int_0^{\frac{\pi}{2}} \sin \varphi \cos \varphi \left[ 1 + \frac{4}{3} \cos \varphi \right] d\varphi$$

$$\underbrace{\quad}_{\frac{1}{2} + \frac{1}{6}} \quad \underbrace{\quad}_{2\pi r \cdot \frac{4}{3}}$$

zróbę rachunki tak jak się kończy  
rezultat

$$W_z = n p c 2\pi r \frac{16}{9} \sqrt{\frac{p}{3\pi}}$$

$$W_z : W_{\text{wp}} = \frac{16}{9} \sqrt{\frac{p}{3\pi}} : 6.030967 \sqrt{\frac{p}{3\pi}}$$

$$= 1.777 : 1.858$$

Wzrosty stężeń

nie ma 5%

$$\bar{v} = \frac{v_0}{2}$$

$$n m v v_0 2\pi r \frac{4}{3} \frac{\sin \varphi_0 \, d\varphi_0}{2} \cos \varphi \frac{4}{2^3 \sqrt{\pi}} v_0 e^{-\frac{v_0^2}{2\pi}} dv_0$$

$$= n m 2\pi r \frac{8}{2^3 3 \sqrt{\pi}} \int_0^{\frac{\pi}{2}} \underbrace{v_0^3 e^{-\frac{v_0^2}{2\pi}} [v_0 \cos \varphi_0 + u]}_{\quad} \sin \varphi_0 \, d\varphi_0$$

$$2 u \frac{\alpha^4}{2}$$

$$= \cancel{2 u \frac{\alpha^4}{2}} p n 2\pi r c \frac{8}{3 \sqrt{\pi}} \sqrt{\frac{2}{3}}$$

$$= p n 2\pi r c \frac{4}{3} \sqrt{\frac{2}{3}}$$

Wzrosty stężeń i intensywności  
poprawnie uśrednionych  
wtedy 84%



Wzrost o. Dn. 1. 771 ugnar-selam:

$$\bar{W} = a^2 n p c \cdot \frac{2}{3} u \quad \text{natrahini p} \quad \text{atohimim udm} \quad \text{pripitgh}$$

$$\text{atami dlo pripitgh: } a^2 n p c \frac{4}{3} \sqrt{\frac{p}{3n}}$$

$$(19) \text{ pashmo byi: } n = 4 R^2 n \frac{Nc}{\sqrt{6n}}$$

a dlo mway pashmo ugnar-selam:

$$\frac{n a^2 n p c \frac{4}{3} \sqrt{\frac{p}{3n}} u}{a^2 n p c \frac{4}{\sqrt{6n}}} = \frac{n}{3} \sqrt{\frac{p}{3n}} \sqrt{6n} = \frac{4 n u}{3 M} \quad \text{m} \quad \text{m} \quad \frac{2 n u}{3 M} !!$$

$$\frac{d^2 C}{dt^2} = N R^2 n c \frac{2 m}{3 M} \frac{C}{S} = \frac{2}{3} p c \frac{R^2 n}{S} \quad \frac{M d^2 C}{dt^2} = - \frac{S C}{W}$$

$$\text{Einstein } \Lambda = c \sqrt{\frac{2 m}{S}}$$

$$\text{Einstein dlo kulo pripitgh ugnar-selam} \\ \text{v} : S = \frac{4}{3} \sqrt{\frac{p}{3n}} R^2 n p c$$

$$\text{Einst: } \Lambda = \frac{c}{R} \sqrt{\frac{2 m}{\frac{4}{3} \sqrt{\frac{p}{3n}} n N p c}}$$

$$\text{Einst con (26)} \\ \Lambda = \frac{p}{3} \frac{c}{\sqrt{4 R^2 n \frac{Nc}{\sqrt{6n}}}} = \frac{c}{R} \frac{p}{3} \sqrt{\frac{1}{Nc \frac{4}{\sqrt{6n}}}}$$

$$\sqrt{\frac{3}{4} \sqrt{\frac{3}{2}}}$$

$$\frac{4}{3} \sqrt{\frac{p}{6n}} =$$

$$\Lambda_E = \Lambda_1 = \sqrt{\frac{3}{4} \sqrt{\frac{3}{2}}} = \frac{p}{3}$$

$$\Lambda_E : \Lambda_{S_2} = \sqrt{\frac{3}{4} \sqrt{\frac{3}{2}}} : \sqrt{\frac{3}{4} \sqrt{\frac{3}{2}}} = \sqrt{\frac{3}{4} \sqrt{\frac{3}{2}}}$$

$$\text{Einst (26) v} : \Lambda = \frac{p}{3 \sqrt{n}} \frac{c}{R \sqrt{Nc}}$$



$$\Delta = \sqrt{\Delta_x^2} = \sqrt{\epsilon} \sqrt{\frac{AT}{N}} \quad 2B$$

$$\Delta = \Delta_x \sqrt{3}$$

$$D = \frac{1}{\cancel{6\pi\mu R}} \frac{1}{6\pi\mu R}$$

$$\Delta_x = \sqrt{\epsilon} \sqrt{\frac{AT}{N} \frac{1}{3\pi\mu R}} = \sqrt{\epsilon} \sqrt{\frac{mc^2}{9\pi\mu R}} \quad \Delta = \frac{\sqrt{\epsilon} c \sqrt{m}}{\sqrt{3\pi} \sqrt{\mu R}}$$

$$D = \frac{1}{\frac{4}{3} \sqrt{\frac{P}{3\pi}} R \tilde{n} pc} \quad (\text{pursist.})$$

$$\Delta_x = \sqrt{\epsilon} \sqrt{\frac{AT}{N} \frac{1}{\frac{4}{3} \sqrt{\frac{P}{3\pi}} R \tilde{n} pc}}$$

$$\frac{P}{3\pi} : \frac{\epsilon_{inst.}}{\sqrt{\frac{3}{2} \sqrt{\frac{P}{3\pi}}}}$$

$$\Delta = \sqrt{\epsilon} \sqrt{\frac{mc^2}{\frac{4}{3} \sqrt{\frac{P}{3\pi}} R \tilde{n} pc}} = \sqrt{\epsilon} \sqrt{\frac{3}{2} \sqrt{\frac{3}{8\pi}}} \sqrt{\frac{c}{N}} \cdot \frac{1}{R}$$

D unpursist

$$\Delta_x = \sqrt{\epsilon} \frac{1}{R} \sqrt{\frac{9}{8} \sqrt{\frac{3}{8\pi}}} \sqrt{\frac{c}{N}}$$

$$\frac{6.4}{9} \sqrt{\frac{c}{3\pi}} =$$

Cunningham det Adm

$$W = \frac{6\pi\mu a \sqrt{t}}{1 + \frac{9}{4} \frac{\mu}{apc} \sqrt{\frac{3\pi}{2}}}$$

$$\lim_{p \rightarrow 0} W = a \tilde{n} c V_p \left( \frac{8}{3} \sqrt{\frac{1}{10}} \sqrt{\frac{2}{3\pi}} \right) = a \tilde{n} pc V \cdot \frac{4}{3} \sqrt{\frac{P}{3\pi}}$$

to same co i my dla pursist

Is same way the take pur pursist the diff.

we in diff. but to get the double as before in motion!

Since a det in i macrodetic

Macroscopic individuality since i reach the On.

Diagram  $\Delta_{inst}$  to drive i stonika

$$\frac{\sqrt{\frac{32}{9} \sqrt{\frac{3}{2}}}}{\sqrt{\frac{3}{4} \sqrt{\frac{3}{2}}}} = \sqrt{\frac{32}{9} \cdot \frac{4}{3}} = \sqrt{\frac{128}{27}}$$



Opisano stanje u gasu u srednjem na kraju

$$R^2 N \int_0^\infty v^2 e^{-\frac{v^2}{\alpha^2}} dv$$

$$= R^2 N \frac{4}{\alpha^3 \sqrt{\pi}} \int_0^\infty v^3 e^{-\frac{v^2}{\alpha^2}} dv = R^2 N \frac{2\alpha}{\sqrt{\pi}} = R^2 N c \frac{2\sqrt{2}}{\sqrt{3\pi}} = 4 R^2 N c \frac{\sqrt{2}}{\sqrt{3\pi}}$$

stina

izlaze momenta kaskade u vremenu:  
u rasprjst:

$$\frac{1}{3} \sqrt{\frac{2}{\pi}} \frac{V \sqrt{6\pi}}{4 \pi n \alpha} = \frac{4}{3} V$$

Zanimat nam (15) poroksa cetna bje (vremenske distancije):

$$\frac{\frac{1}{2} \sqrt{\frac{2}{\pi}}}{\frac{1}{2} \sqrt{\frac{2}{\pi}}} = \frac{1}{2} \sqrt{\frac{2}{\pi}}$$

$$\varepsilon = \frac{\sqrt{\frac{2}{\pi}}}{\sqrt{\frac{2}{\pi}}} \sqrt{\frac{3}{2} \sqrt{\frac{2}{\pi}}} = \sqrt{\frac{3}{2} \sqrt{\frac{2}{\pi}}} = \sqrt{\frac{3}{2}} \text{ razmat } \frac{8}{3}$$

$$\text{stomak } \frac{8 \sqrt{2}}{3 \sqrt{3}} \approx \frac{4 \sqrt{2}}{\sqrt{3}} \text{ stina}$$

$$(15 \text{ cm}) = \Delta = \sqrt{\frac{3}{2}} \frac{c}{\sqrt{n}}$$

$$l = \frac{c}{n}$$

$$= \frac{c}{v} \sqrt{2v} = c \sqrt{\frac{m}{M}} \sqrt{\frac{2m}{v}}$$

$$mc^2 = MC^2$$

$$\sqrt{\frac{3}{2n}} = \sqrt{\frac{2m}{vM}}$$

$$v = \frac{4nm}{3M} \lambda = \frac{c}{v} = \frac{c}{4nm} \frac{3M}{4nm}$$

$$= \frac{3c}{4n} \sqrt{\frac{M}{m}}$$

$$= \frac{4nm}{2M} \sqrt{\frac{m}{M}}$$



$N_p$  or few wires  $n = \frac{4 R^2 N_c}{\sqrt{6} \pi}$

185

$$\lambda = \frac{4 \text{ m}}{3 \sqrt{2}} \cdot \frac{4 R^2 N_c}{\sqrt{6} \pi} = \frac{16 \text{ m} N_c}{3 \sqrt{6} \pi} \cdot \frac{R^2 \pi}{\frac{4 R^2 \pi}{3 \sqrt{2}}}$$

$$\lambda = \frac{16 R^2 N_c^2 \text{ m} \sqrt{2}}{3 \sqrt{6} \pi}$$

$$\lambda = \frac{3 \sqrt{6} \pi}{4 \cdot 16 R^2 N_c} \sqrt{\frac{M}{m}} = \frac{3 \sqrt{6} \pi}{16 R^2 N_c} \frac{\sqrt{\frac{2}{3} \pi R^3 s}}{\sqrt{m}} = \frac{3 \sqrt{8} \sqrt{s}}{16 \sqrt{R} \rho N}$$

$$= \frac{3}{4 \sqrt{2}} \sqrt{\frac{s}{R \rho N}}$$

$N_p$  bridge

$$R = 0.4 \mu = 10^{-5}$$

1 mm  $\frac{1}{2}$

$$\rho = \frac{0.0013}{760}$$

$$N = \frac{4 \cdot 10^{19}}{760}$$

$$s = 10$$

$$\lambda = \frac{3 \cdot 760}{4 \sqrt{2}} \sqrt{\frac{10}{10^{-5} \cdot 0.0013 \cdot 4 \cdot 10^{19}}}$$

$$= \frac{3 \cdot 760}{4 \sqrt{2}} \sqrt{\frac{1}{10^{10} \cdot 5 \cdot 2}}$$

$$= \frac{3 \cdot 760 \cdot 10^{-5}}{4 \sqrt{10^4}} = 2 \cdot 10^{-3}$$

$$= 0.002 \text{ m}$$

$$= 0.02 \text{ mm}$$

Highly visible microstructure

$$n = \frac{C}{l}$$

$$\Delta = \sqrt{\frac{3}{2}} \cdot \sqrt{\frac{l}{C}} = \frac{1}{\sqrt{3} \pi} \cdot \frac{\sqrt{m}}{\sqrt{\mu R}}$$

$$\text{or } \text{ex } \tau = \frac{l}{C} = \frac{2 \text{ m}}{9 \pi \mu R} = \frac{4}{3} \cdot \frac{\text{m}}{6 \pi \mu R}$$



Sunday 27th 77 1174

Ich habe zähl pro  $1000 \mu^3$  ca. 20  
 $1000 \cdot 10^{-12}$

Diameter ca.  $50 \mu$

$$= 50 \cdot 10^{-7} = 0.5 \cdot 10^{-5}$$

also pro  $cm^3$ :  $20 \cdot 10^9 = 2 \cdot 10^{10}$

$$\text{mittler Abstand } \delta = \frac{1}{\sqrt[3]{2 \cdot 10^{10}}} = \frac{10^{-3}}{\sqrt[3]{20}} = \frac{1}{3} \cdot 10^{-3}$$

damit:  $\text{Mittel} = 1:1000$

7. 162

$$N = 0.16 - 6.5 \cdot 10^{10}$$

$$2R = 180 \mu - 38 \mu$$

$$\delta = \frac{10^{-3}}{\sqrt[3]{6.5}}$$

$$= 1.8 \cdot 10^{-5}$$

$$\frac{2R}{\delta} = \frac{1.8 \cdot 10^{-2}}{0.9}$$

$$= 2 \cdot 10^{-2}$$

$$\frac{10^{-3}}{\sqrt[3]{6.5}}$$

$$0.38 \cdot 10^{-5}$$

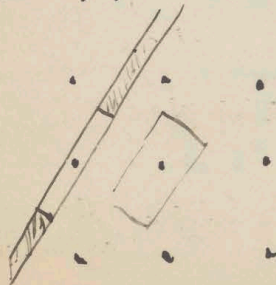
$$0.38 \cdot 4$$

$$1.5 \cdot 10^{-2}$$

$$\begin{aligned} \sqrt[3]{\frac{1000}{60}} &= \sqrt[3]{16.6} = 2.5 \mu \\ a &= 25 \mu = 0.025 \mu \\ \text{Erwartung} \\ R &= \sqrt{\frac{1000}{20}} = 7 \mu \\ a &= 0.4 \mu \end{aligned}$$

Rechnung bei Abwands  $\delta_0$  top, wenn, wenn

Jetzt zu verdrängen eines festeren in unregelmäßige: wenn möglich, hat abgelehnt, drehung in  
 wagen, wenn es unregelmäßig ist, so ist es unregelmäßig (deshalb gehen wir nicht mehr weiter)  
 es wird jetzt zu folgenden 2. problem, dass es ist, wenn es unregelmäßig ist.



Rechnung von  $\delta$  und  $\delta = \frac{L}{V}$

mit unregelmäßiger Abwands  $\delta$ :

$$\delta = \sqrt{\frac{L}{V}}$$







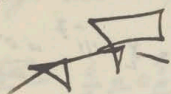




Wahrscheinlichkeit von Lagerdispositionen abspindliche Moleküle einer Flüssigkeit, unter 187  
 Annahme gleichförmiger inneren Drucker. [Solange im Bereich einer Wirkungsphäre noch  
 alle möglichen Lager vorkommen, so dass innerer Druck keine Orientierung zu Flüssigkeit  
 selbst Vorzugsorientierung mit Orientierung inneren Drucker = ~~flüssige~~ Kristall] Probe  
 stabförmige Moleküle. Reigenum i.d. Rot. 15-180000.

Ueberschallgeschwindigkeit. 2. Lager überschreiten eines Teilchen einer Kristallgitter

Experimentelle Darstellung. Derrichten Curven etc. durch Würfeln und Zeichnen



2). bei Dispositionen Kristallgitter

Capillary constrictions

$$\frac{1}{60} \cdot \frac{1}{60} \cdot \frac{1}{60} = \frac{10^{-3}}{216} = 4.6 \cdot 10^{-5}$$

$$\alpha \cdot S_1 = \sqrt{\frac{1}{3} \cdot \frac{10^{-3}}{2}} = \sqrt{\frac{1}{3} \cdot \frac{10^{-3}}{2}} = \sqrt{1.6 \cdot 10^{-4}} = 1.3 \cdot 10^{-2}$$



$$y = a \sin \alpha x$$

$$\frac{dy}{dx} = a \alpha \cos \alpha x$$

$$\sqrt{1 + \left(\frac{dy}{dx}\right)^2} = \sqrt{1 + (a \alpha \cos \alpha x)^2} = 1 + \frac{1}{2} a^2 \alpha^2 \cos^2 \alpha x$$

$$\frac{2\pi}{\alpha} = \lambda \quad \alpha = \frac{2\pi}{\lambda}$$

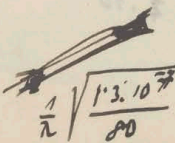
$$\Delta \eta_{02} = \frac{1}{2} \int_0^{\frac{\lambda}{2}} \frac{a^2 \alpha^2 \cos^2 \alpha x}{\frac{\lambda}{2}} dx = \frac{1}{2} a^2 \alpha^2 \int_0^{\frac{\lambda}{2}} \frac{\cos^2 \alpha x}{\frac{\lambda}{2}} dx = \frac{a^2 \alpha^2}{4} \cdot \frac{\lambda}{2} = \frac{a^2 \alpha^2}{8}$$

$$\text{länge } \lambda = \frac{1}{2} 10^{-4}$$

$$\eta_f = a \alpha = \frac{2\pi a}{\lambda} = 6.10^5$$

$$\alpha \cdot \frac{a^2 \lambda^2}{8} = 1.3 \cdot 10^{-7}$$

$$\frac{a}{\lambda} = \frac{1}{8} \sqrt{\frac{1.3 \cdot 10^{-7}}{\alpha}} = \frac{1}{8} \sqrt{\frac{1.3 \cdot 10^{-7}}{60}} = \frac{1}{8} \cdot 4.10^{-5} = 10^{-5} = 2''$$





Osun

$$\frac{1}{2} \pi \mu a^2 u_0 e^{-\gamma(R-1)}$$

$$\gamma R = \frac{u_0 R}{2\mu}$$

$$u_0 = \frac{4}{3} \pi a^3 \rho_f = \frac{2}{9} \frac{a^2 \rho_f}{\mu}$$

$$= \frac{1}{9} \frac{a^2 \rho_f}{\mu} R \ll 1$$

$$R \cdot \frac{10^3 \cdot 10^3}{9 \cdot 10^6} = 1.1 \cdot R < \frac{1}{2}$$

Orshon

$$a = 26 \cdot 10^{-5} \text{ hi } 10 \cdot 10^5$$

pink

$$u_0 = 10^7 \text{ Torrunt } 1903$$

$$R = \frac{1}{\sqrt[3]{6 \cdot 10^4}} = \frac{1}{4} \cdot 10^{-3}$$

$$a^2 = \frac{2}{3} \frac{\mu u_0}{\rho_f} = \frac{2}{3} \frac{10^{-3} \cdot 10^7}{10^3} = \frac{2}{3} \cdot 10^{-7} = 0.45 \cdot 10^{-6}$$

$$a = 0.7 \cdot 10^{-3}$$

$$\frac{\frac{1}{4} \cdot 10^{-2}}{2 \cdot 0.001} = 1.2.5$$

lety novinsjela  
gi  $\frac{\mu}{\rho}$ !

N. Thomson 1898  $a = 3.4 \cdot 10^{-4}$

$$R = \frac{1}{\sqrt[3]{3 \cdot 10^4}} = \frac{1}{3} \cdot 10^{-1}$$

$$\gamma R = \frac{(3.4)^2 \cdot 10^3 \cdot \frac{1}{3} \cdot 10^{-1} \cdot 10^{-7}}{9 \cdot 10^{-6}} = \frac{4}{9}$$

H. A. Wilson  $u_0 = 0.02 \frac{\text{cm}}{\text{sek}}$

$$\frac{2 \cdot 10^{-2} \cdot R}{2 \cdot 10^{-3}} \ll 1$$

$$R < \frac{1}{50}$$

Perin  $2a = 0.8 \mu = \frac{1}{2} \cdot 10^{-4}$

$$\Delta - \delta = 0.21$$

$$a = \frac{1}{8} \cdot 10^{-4} \text{ cm}$$

$$\frac{1}{64} \cdot \frac{10^8 \cdot 0.2 \cdot 10^3}{10^4} \cdot R = \frac{10^{-1}}{300} \cdot R$$

rya (in  $R=10^3$ )

$$\frac{R}{3} \cdot 10^{-3} \ll 1$$



$$R = 10 \text{ a}$$

$$\frac{a^3 \rho}{\mu} < 1$$

$$a < \sqrt[3]{\frac{\mu}{\rho}}$$

$$\sqrt[3]{\frac{10^{-2}}{10^3}} = 2 \cdot 10^{-2}$$

$$\sqrt[3]{\frac{10^{-4}}{10^3}} = \sqrt[3]{10^{-7}} = 5 \cdot 10^{-3}$$

$$\text{Zauw} \quad \frac{Ua}{v} \text{ mol}$$

$$\frac{U_0 a}{\mu} \rho$$

czy stała ta poprawka dla miedzi? Proba?

$$\frac{4}{3} \pi a^3 \frac{U^2}{\mu} = \frac{mc^2}{\mu}$$

$$U = \sqrt{\frac{mc^2}{\frac{4}{3} \pi a^3 \rho}}$$

$$\frac{\sqrt{mc^2}}{\mu \cdot 2 \sqrt{3} a \rho} < 1$$

$$\sqrt{a \rho} > \frac{\sqrt{mc^2}}{\mu}$$

$$a \rho > \frac{mc^2}{\mu^2}$$

$$a \rho > \frac{10^{-13}}{10^{-4}} = 10^{-9}$$

wypróbowanie Proba ta ma mi widać  
aż dopiero dla większych drabinek

$$m_0 = 0.5 \cdot 10^{-12} = 5 \cdot 10^{-13}$$

$$c = 500 \frac{m}{s} = 5 \cdot 10^4$$

$$mc^2 = 5 \cdot 10^{-12} \cdot 25 \cdot 10^8$$

$$= 1.25 \cdot 10^{-3}$$

$$\text{fina } R = 10^3$$



Zaunberg p. 48

Kupferwert: 0.03125

Vorder Nr	I	
2	118.75	} Reihe I
4	118.3	
21	118.4	
12	117.3	} Reihe II
6		
33	117.4	
9	110.95	} III
	111.25	
	110.75	

Nr 1	Nr 2
74.4	74.4
74.2	73.9
75.6	75.9
77.85	77.45
22.05.1	21.65
75.51	75.41

rotten  
tot Abstand:

16"
16"
14.5"
16
14
26.5
15.3"

$P^4$  - Raum Abstand:  $\frac{15.3}{66} \cdot \frac{1}{75.46} =$

~~0.00333~~  
~~0.00235~~

$\frac{1847}{6557} = \frac{8777}{7117} = 3070$

$0.2028 \text{ cm}$   
 $= 2.028 \text{ mm}$

$r = 0.989 \text{ mm}!$

$b = 0.989$   
 $R = 2.028$

$6\pi a - \frac{2}{R} \pi a \frac{b}{R}$

$= 6\pi a \left[ 1 - \frac{2}{R} \frac{b}{R} \right]$

$R = 2.028$

$\frac{2a - b + 2b}{ab + 15}$

$V_0:V = 1 - \frac{2}{R} \frac{b}{R} = 1$

$1 - \frac{2}{R} : 1$

$\frac{2}{R} : 1$

tylrotar vider istatue u 8 mffrid pny 0 n tanken

113.3 : 75.5

originalen Lenz mit grade Luthers  
bo 22 vider in blische in die  
ich in 20 d. 1000



6'25"  
9'33"  
58"

Wier Sum -  $\Sigma$  - Pomi

$$p = p_0 e^{-\frac{(\Delta - \delta) \rho g y}{RT}}$$

oring dla dowolnie ułożych ciał

czy uaring takie dla ~~z~~ jednego ciała i ino drugie?

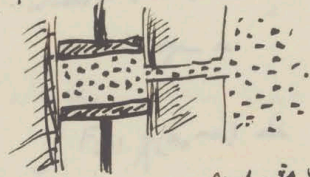
~~czy~~ Czy parcie wykonane przez otoczenie w  $\Sigma$  wypadku uaringu  $\Sigma$  jest uaring?

$$p = p_1 + p_2$$

$$= R_1 \rho_1 \theta + R_2 \rho_2 \theta$$

parcie = siłyły sprężające tyle gazu ujątego ile w kolumnie  
czyli jest równostatek w ciśnieniu, jeżeli dojdzie do ującego?

$$v_1 : v_2 =$$



Pomiar. Doleman  
I r. 136

$$dp_1 = -(p_1 - v_1 \rho) g dy$$

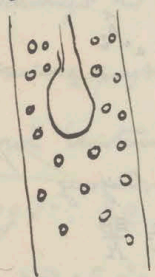
$$dp_2 = -(p_2 - v_2 \rho) g dy$$

$$dp = -\cancel{p} + \cancel{v\rho} = 0 \quad \parallel v_1 + v_2 = 1$$

Chyba że doświadczenie takie  
uaring doświadczenia uaringu  
uaringu w ujątku

Pracownicy ujątku doświadczenia  
uaringu ujątku ujątku

Czy u parzyszy uaringu  $\Sigma$  uaring ujątku  $\Sigma$  uaringu ujątku ujątku?



N. p. doświadczenia ujątku ujątku ujątku

opadają ujątku  $u = \frac{mg}{6\pi\eta a}$  z ujątku ujątku

ujątku parcie ujątku ujątku

Ala jakżeż do ujątku? One doświadczenia parcie ujątku ujątku ujątku?

Wszystko: parcie ujątku ujątku ujątku ujątku ujątku

Ala tak samo: ujątku ujątku ujątku

Wszystko: ujątku ujątku ujątku

Ita sam efekt ujątku ujątku ujątku ujątku ujątku  
ujątku ujątku ujątku ujątku ujątku  
ujątku ujątku ujątku ujątku ujątku





Ad Elster p. 375

$$Z_{\text{Lsg}} = 100 \text{ cm}$$

Die Verschiebung um 1 cm des Endes

$$\text{Kupf} = \frac{M \cdot g}{G_{100}} = 5 \cdot 10^{-6}$$

aufhängen

$$M = 5 \cdot 10^{-7} = 100 \cdot g$$

$$g = 5 \cdot 10^{-9}$$

$$G < 10^{-4} = 1 \mu$$

ganz gut auszuführen

Lichtdruck wirkt?

$$1.5 \text{ la} = 10^{-4} \cdot 1.7 \cdot 10^{-2} \cdot 10^{-5}$$

das mit Lichtdruck  
1000 Sonnenlicht beträgt!

Druckung wirkt?

entsteht?

besag. Lichtdruck wirkt G ganz

$$\sqrt{\frac{2 \cdot 4 \cdot 10^{-14}}{2 \cdot 6 \cdot 10^{10} \cdot 2 \cdot 10^3}} = \sqrt{10^{-7}} = 3 \cdot 10^{-4} \text{ cm} = 3 \mu$$

$$-O \left( \frac{\partial \Phi}{\partial x} \right)_{x=x_0} + F(x_0) + \int_{x_0}^{\infty} (F(x_0 - \Delta) - F(x_0 + \Delta)) \chi(\Delta) d\Delta - \int_{x_0}^{\infty} F(x_0 + \Delta) \chi(\Delta) d\Delta$$

$$= -2 \int_0^{\infty} \Delta F'(x_0) \chi(\Delta) d\Delta$$

$$\Delta \varphi = \frac{E \cdot \Delta n}{2 \ell} = \frac{4 \cdot 10^{-15}}{2 \cdot 10^{-4}} = 2 \cdot 10^{-11}$$

$$\int \Delta \chi(\Delta) d\Delta = \frac{\Delta \chi}{2} + \frac{1}{2} \int \Delta^2 \chi(\Delta) d\Delta$$

$$F(x) = \varphi = -\frac{N}{2\ell} \Phi$$

$$P(x) = -\frac{N}{2\ell} \varphi = -\frac{N}{2\ell} \left( \frac{\partial \Phi}{\partial x} \right)$$

Druckung

$$R = \frac{E \Phi}{M}$$

$$\Delta \varphi = \frac{\ell}{R} = \frac{\ell M}{E \Phi}$$

$$W = \frac{F \Delta \varphi}{2} = \frac{\ell M^2}{2 E \Phi} = \frac{(A_p)^2 E \Phi}{2 \ell}$$

$$\text{Schwerkraftsarbeit} \sim 2 p g \frac{\ell^2}{2}$$

Wegpunkt: Lichtg. in der  $3 \cdot 10^{10} \cdot 9 \cdot 10^9 = 2.7 \text{ kg}$

der Druckpunkt ist um weniger:

$$\frac{5 \cdot 10^{-10} \cdot 10^{20}}{12 \cdot 10^3} \approx 10^8 \frac{1}{2} \cdot 2 \cdot 10^{10}$$

$$\ell^3 > \frac{50}{12} \frac{1}{\pi} \frac{1}{2000} = \frac{5}{2} \cdot 10^{-3} \quad \ell > 1.4 \cdot 10^{-1} \approx 0.14 \text{ cm}$$

Druckpunktliche Abkantung des Endes

$$\frac{\ell}{2} = 0.017 = 1^\circ$$

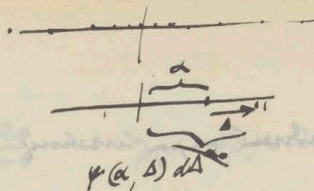
$$p p g \ell \frac{\ell}{2} (1 - \cos \varphi) = p p g \frac{\ell^2}{4} = 5 \cdot 10^{-14}$$

$$\cos \varphi = 10^{-10} \quad \rho = 2 \quad g = 10000$$

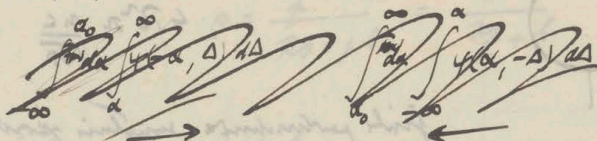
$$\ell^2 = \frac{10^{-6}}{\pi} \quad \ell = \frac{1}{\pi} 10^{-3} \text{ cm} = 1.7 \cdot 10^{-2} \text{ cm} = 0.17 \text{ mm}$$



$$K \frac{d^2 \alpha}{d\alpha^2} = - \frac{\partial \Phi}{\partial \alpha}$$



$$\psi(\alpha, \Delta) = \psi(-\alpha, -\Delta)$$



Wskaz., dass Form mit  $\alpha$  aus  $\Delta$  nach rechts verschoben

$$\chi(\Delta) = \int_{-\infty}^{\infty} \psi(\alpha, \Delta) d\alpha$$

Wskaz., dass Form durch  $\alpha_0$  hinüber geht in links wenn bei beliebigem  $\alpha$   $\alpha_0 - \alpha = \Delta$

$$\int_{-\infty}^{\alpha_0} F(\alpha) \chi(\alpha_0 - \alpha) d\alpha = - \int_{-\infty}^0 F(\alpha_0 - \Delta) \chi(\Delta) d\Delta$$

$$\int_{-\infty}^{\infty} F(\alpha_0 - \Delta) \chi(\Delta) d\Delta$$

$$\int_{-\infty}^{\infty} F(\alpha) \chi(\alpha_0 - \alpha) d\alpha$$

$$(\Delta \varphi)^2 \frac{5 \cdot 10^{-14}}{2} : 4 \cdot 10^{-15}$$

Ola skilene som

potenslag av systemet pangs drötar:

närare pangsdrag tyder på att det är strömlinje mellan Omslag

och Skutarna

$$\sqrt{\Delta \varphi^2} = \sqrt{\frac{R}{N} \frac{1}{4\pi\mu R^3}}$$

och tyder på att det är en strömlinje

och en strömlinje, gely strömlinje

$$2\varphi \varphi^2: \frac{E\theta}{2}$$

$$\varphi \varphi^2 \varphi^2: E \frac{a^4}{12L}$$

förstärkning av min ty' drömlinje och 2 uppgifter på gely strömlinje  $\neq 0$

$$\text{drift} \frac{500 \cdot 10^9 \cdot a^4}{12} = 5 \cdot 10^{-14}$$

$$(L=1) \quad a^4 = \frac{10^{-14}}{10^{10}} = 10^{-24}$$

$$a = 10^{-6}!$$

$$d = 0.2 \cdot 10^{-5} = 0.02 \mu!$$

$$\text{Torren} \quad \frac{I R^2 n}{4L} (\Delta \varphi)^2 = 5 \cdot 10^{-14} \quad (\text{alla } \Delta \varphi = 1)$$

$$\frac{3 \cdot 10^{11} \cdot a^4 \pi}{4 \cdot 10} = 5 \cdot 10^{-14}$$

$$a^4 = \frac{20 \cdot 10^{-14}}{10^{11}} = 2 \cdot 10^{-24}$$

$$\text{bror} a = 0.1 \mu = 10^{-5}$$

$$a = 1.2 \cdot 10^{-6} \text{ cm}$$

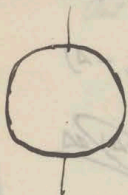
$$(\Delta \varphi)^2 = 2 \cdot 10^{-4}$$

$$\Delta \varphi = 0.014$$

$$2\Delta \varphi = 2^\circ$$



Sar bardo wawodony



linia uderzenia na powierzchni

$$4R^2 n \frac{nc}{\sqrt{6n}}$$

$$\int \sin^3 p d\gamma = 2\gamma - \frac{1}{3} \sin^3 \gamma$$

$$= 1 - \frac{1}{3} = \frac{2}{3}$$

jużi porównando impulsu xawitka, tak iż moment uderzenia staję się  
kiedy uderzenie uderza staję się  
moment uderzenia staję się

$$\frac{d}{dt} \int_0^{\frac{\pi}{2}} 2R^2 n^2 d\gamma \frac{nc}{\sqrt{6n}} m n = \frac{2}{3} \frac{2^{\frac{1}{2}} m n c}{\sqrt{6n}}$$

$$D = \frac{1}{n^2 \rho c}$$

W Kosczye rone madyj otate amie proporyonalne z uderzeniem

Experimente über Brown'sche Bewegung von Emulsionen in sehr  
dünnen Schichten!  
Lösung in festen Körpern!



Secret-tick a. M. S. S.

$$p(v-b) = R\theta$$

$$p = \frac{R\theta}{v-b}$$

$$p(1-bp) = R\theta p$$

$$\frac{dp}{dy} = -\rho g$$

$$\rho = \frac{p}{R\theta + pb} = \frac{1}{\frac{R\theta}{p} + b}$$

$$p = \frac{R\theta p}{1-bp}$$

$$\log p = \log R\theta + \log p - \log(1-bp)$$

$$dp = \frac{R\theta p}{1-bp}$$

$$\frac{dp}{p} = \frac{dp}{p} + \frac{b dp}{1-bp} \neq \frac{dp}{p} + b dp$$

$$dp = \frac{R\theta dp}{1-bp} + \frac{b R\theta p dp}{(1-bp)^2} = R\theta dp [1 + bp + bp^2] \dots$$

$$R\theta dp [1 + 2bp] = -\rho g dy$$

$$\frac{dp}{p} + 2b dp = -\frac{g dy}{R\theta}$$

$$\log p + 2bp = -\frac{g y}{R\theta} + \text{const}$$

$$\log \frac{p}{p_0} + 2b(p-p_0) = -\frac{p y}{R\theta}$$

$$\left[ \frac{p}{p_0} \left( \frac{p}{p_0} \right) + \frac{p}{p_0} \right] \frac{(p-p_0)}{p} = \dots$$







$$\text{Wage } e = 4 \cdot 10^{-10}$$

$$v_0 = 1$$

$$1 - \frac{v^2}{c^2}$$

$$a = 1$$

$$\frac{2k}{\lambda_0} = 10^6 \frac{v}{(7 \cdot 10^{19})}$$

$$16 \cdot 10^{-20} = \frac{10^6}{7 \cdot 10^{19} \cdot v}$$

$$v = \frac{10^6}{3 \cdot 16 \cdot 10^{-1}} = \frac{10^7}{50} = 2 \cdot 10^5$$

ile tyle iteracji do 3

to dla danych warunków

wzrasta dla krótszego promienia długości elektromagnetycznej promienia

promienia przy dla tej samej wartości długości

o ile tym samym drogą, odległości promienia  $\sqrt{f} = \sqrt{v}$

(Ostrzeżenie)

$$\text{wzrasta wartość } q = \pm e \sqrt{v}$$

$$= 4 \cdot 10^{-10} \sqrt{10^5} = 10^{-5} \text{ (wt.)}$$

retornat o ile pierwszy elektron

$$(n-v)^2 \frac{e^2}{2a} = \frac{mc^2}{4}$$

$$(n-v) = \sqrt{\frac{mc^2}{\frac{e^2}{2a}}}$$

$$\text{wartość: } \pm \sqrt{\frac{mc^2}{\frac{e^2}{2a}}} \alpha$$

wynik. w kierunku  $\frac{2}{10}$

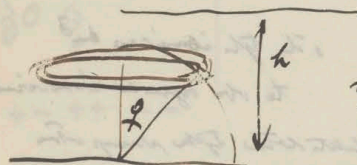
$$q = 7 \cdot 10^{-6} \text{ (wt.)}$$



$$f = \frac{3}{2} a \mu u \frac{x}{r^3}$$

$$u = \frac{2}{9} \frac{\rho g a^2}{\mu}$$

$$= \frac{\rho g a^3}{3} \frac{x}{r^3} = \frac{\rho g a^3}{3} \frac{2}{\partial x} \left( \frac{1}{2} \right)$$



$$\frac{\rho g a^3}{3} \int_0^R \frac{2x}{r^3} dy \, dx \, \text{wyp}$$

$$R = \frac{h}{\omega y}$$

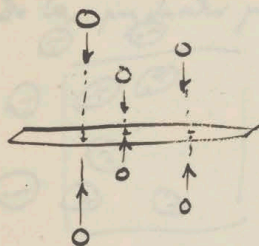
$$\frac{2\rho}{3} a^3 g \mu h$$

$$\text{a wynik powinno być } \frac{4\rho}{3} a^3 g h \quad ! ?$$

gdyż mi było dwa, tożwi byłoby istotnie 2 podobnie do każdej kuli.

ale istotnie musimy być inne bo dla nas mamy przepływ przez ścianę

Istotnie trzeba je wziąć



myślę, że 2 to jest stała dla każdej podległej

6 a rami. równowagi ścian, więc

czy myślenie o różnicy 0 dwa ? czy jeżeli składowe hydrodynamiczne

Kula przemieszcza się, ale odległość od ścian jest większa niż odległość od ścian!

Zamk p. 180, 181



Pr. 11 in relative

Law p. 182, 183

↑  
⊙  $w = A \left( \frac{r^2}{r^3} + \frac{\lambda + 2\mu}{\lambda + \mu} \frac{1}{r} \right)$

approx  $w = A \frac{1}{a}$

$F = \partial_{\lambda} A \frac{\lambda + 2\mu}{\lambda + \mu}$

$= \partial_{\lambda} A$

$w = \frac{F}{\partial_{\lambda} T a}$

then  $\frac{w F}{2} = 4\pi T a w^2 = 5 \cdot 10^{-14}$

$w = \sqrt{\frac{5 \cdot 10^{-14}}{12 \pi T}} = \frac{10^{-5}}{\sqrt{T}}$

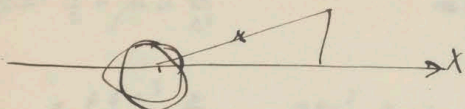
hence  $a = 0.5 \mu = \frac{1}{2} \cdot 10^{-4}$

by such type approximations must hold by  $T \approx 10^{-2}$

approximation with  $\frac{10^{-4} \text{ kg}}{\text{mm}} = 10^8 !!$  why minus in my math. was not in my

why is my result  $10^{-10}$  using isotropy





$$u = -\frac{1}{\omega} \frac{\partial \psi}{\partial \sigma}$$

$$V = \frac{1}{\omega} \frac{\partial \psi}{\partial x}$$

$$(V) = \frac{1}{\sigma^2} \left[ \left( \frac{\partial \psi}{\partial x} \right)^2 + \left( \frac{\partial \psi}{\partial \sigma} \right)^2 \right]$$

$$T = \int (V) 2\pi \sigma d\sigma dx$$

$$\psi = \frac{3}{4} \cos^2 \left[ 1 - \frac{1}{3} \frac{a^2}{r^2} \right] \sin^2 \theta$$

$$= \int (V)^2 2\pi r^2 \sin \theta dr d\theta$$

$$= \frac{3}{4} \cos^2 \frac{\omega^2}{r} \left[ 1 - \frac{1}{3} \frac{a^2}{r^2} \right]$$

$$\left( r - \frac{1}{3} \frac{a^2}{r} \right) \sin^2 \theta$$

$$\psi = \psi(r, \theta)$$

$$\frac{r}{a} - \theta = \arctan \frac{x}{\sigma}$$

$$\frac{\partial \psi}{\partial x} = \frac{\partial \psi}{\partial r} \frac{\partial r}{\partial x} + \frac{\partial \psi}{\partial \theta} \frac{\partial \theta}{\partial x}$$

$$\frac{\partial \theta}{\partial x} = \frac{1}{\omega} \frac{1}{1 + \frac{x^2}{\omega^2}}$$

$$= \frac{x}{r} \frac{\partial \psi}{\partial r} - \frac{\omega}{r^2} \frac{\partial \psi}{\partial \theta}$$

$$= \cos \theta \frac{\partial \psi}{\partial r} - \frac{\sin \theta}{r} \frac{\partial \psi}{\partial \theta}$$

$$\frac{\partial \psi}{\partial \sigma} = \frac{\partial \psi}{\partial r} \frac{\partial r}{\partial \sigma} + \frac{\partial \psi}{\partial \theta} \frac{\partial \theta}{\partial \sigma}$$

$$\theta = \arctan \frac{\sigma}{x}$$

$$\frac{\partial \theta}{\partial \sigma} = \frac{1}{x} \frac{1}{1 + \frac{\sigma^2}{x^2}}$$

$$= \sin \theta \frac{\partial \psi}{\partial r} + \frac{\cos \theta}{r} \frac{\partial \psi}{\partial \theta}$$

just to be sure

$$= \frac{2}{3} a^3 r^2 \frac{c^2}{2} \theta$$

more to be sure

$$(1-a) \left[ 3 - \frac{5}{9} \frac{a^2}{r^2} \right] = \frac{4}{9} a^2$$

more to be sure

$$\frac{a}{r} = z$$

$$(1-2) \left[ 3 - \frac{5}{9} z^2 + \frac{1}{9} z^2 + \frac{1}{9} z^2 \right] = \frac{4}{9} z$$

$$(1-2) [27 - 5z^2 + z^2 + z^2] = 4z \Rightarrow 0$$

$$\left( \frac{\partial \psi}{\partial x} \right)^2 + \left( \frac{\partial \psi}{\partial \sigma} \right)^2 = \left( \frac{\partial \psi}{\partial r} \right)^2 + \left[ \frac{1}{r} \left( \frac{\partial \psi}{\partial \theta} \right) \right]^2$$

$$T = \frac{3}{2} a^3 \cos^2 (1-a) \left\{ 3 - \frac{2}{3} \frac{a}{r} + \frac{a}{9r^3} (a^2 + \arctan) \right\}$$

$$T = \left\{ 3 - \frac{2}{3} \frac{a}{r} + \frac{a^3}{9r^3} + \frac{a^2 \arctan}{9r^2} + \frac{a}{9r} \right\}$$

$$\frac{3}{2} a^3 \cos^2 (1-a) \left\{ 3 - \frac{5}{9} \frac{a}{r} + \frac{1}{9} \frac{a^2}{r^2} + \frac{1}{9} \frac{a^3}{r^3} \right\}$$



194

$$T = 2\pi \left(\frac{3ca}{4}\right)^2 \int \int r dr \sin^3 \theta d\theta \left\{ \sin^4 \theta \left(1 + \frac{a^2}{3r^2}\right)^2 + \left[ 2 \cos \theta \sin \theta \left(1 - \frac{a^2}{3r^2}\right) \right]^2 \right\}$$

$$\int \frac{r dr \sin^3 \theta d\theta}{r^2 \sin^3 \theta} \left\{ \sin^4 \theta \left(1 + \frac{2a^2}{3r^2} + \frac{a^4}{9r^4}\right) + 4 \cos^2 \theta \left(1 - \frac{2a^2}{3r^2} + \frac{a^4}{9r^4}\right) \right\}$$

$$\int r dr \sin^3 \theta d\theta \left(1 + \frac{a^4}{9r^4}\right) [1 + 3 \cos^2 \theta] + \int r dr \sin^3 \theta d\theta \frac{2a^2}{3r^2} [1 - 5 \cos^2 \theta]$$

$$\int_0^\pi \sin^3 \theta d\theta = \frac{4}{3}$$

$$\int \sin^3 \theta \cos^2 \theta d\theta = \frac{2}{3}$$

$$\int_0^\pi \sin^3 \theta \cos^2 \theta d\theta = \frac{4}{15}$$

$$T = 2\pi \left(\frac{3ca}{4}\right)^2 \left\{ \int r \left(1 + \frac{a^4}{9r^4}\right) dr \left(\frac{4}{3} + \frac{4}{5}\right) + \int \frac{2a^2}{3r} dr \left(\frac{4}{3} - \frac{4}{3}\right) \right\}$$

$$= 8\pi \frac{3^3 c^2 a^2}{4^3} \cdot \frac{4 \cdot 8}{15} \int \left[ \frac{r^2 - a^2}{2} + \frac{a^4}{2 \cdot 9} \left(\frac{1}{r^2} - \frac{1}{a^2}\right) \right]$$

$$\frac{r^2 - a^2}{2} \left[ 1 + \frac{a^2}{9r^2} \right]$$

$$= \frac{6}{5} c^2 a^2 r (r^2 - a^2) \left[ 1 - \frac{a^2}{9r^2} \right]$$

$$= 2\pi \left(\frac{3ca}{4}\right)^2 \int \sin^3 \theta d\theta \left(1 + \frac{2a^2}{3r^2} + \frac{a^4}{9r^4}\right) + 4 \cos^2 \theta \sin \theta d\theta \left(1 - \frac{2a^2}{3r^2} + \frac{a^4}{9r^4}\right)$$

$$= 2\pi \cdot \frac{9c^2 a^2}{16} \left\{ \frac{4}{3} \left\{ (r-a) - \frac{2a^2}{3} \left(\frac{1}{r} - \frac{1}{a}\right) - \frac{a^4}{3 \cdot 9} \left(\frac{1}{r^3} - \frac{1}{a^3}\right) \right. \right. \right.$$

$$\left. \left. + 2(r-a) + \frac{4a^2}{3} - \frac{2a^4}{3 \cdot 9} \left(\frac{1}{r^3} - \frac{1}{a^3}\right) \right\} \right\}$$

$$= \frac{8 \cdot 9 \cdot 3 \cdot a^2 c^2}{2 \cdot 16} \left\{ 3(r-a) + \frac{2}{3} a^2 \frac{r-a}{r^2} - \frac{a^4}{9} \frac{a^2 - r^2}{r^3} (a-r) \frac{(a^2 + ar + r^2)}{r^3} \right\}$$



Lamb p. 584 Resistance to millling sphere

$$\underline{X} = -\frac{4}{3} \pi \rho a^3 \left[ \frac{1}{2} + \frac{q}{4\beta a} \right] \frac{dU}{dt} - 3\pi \rho a^3 \delta \left[ \frac{1}{\beta a} + \frac{1}{\beta a^2} \right] U$$

$$\beta = \sqrt{\frac{6\rho}{2\mu}}$$

$$\delta = \frac{2\eta}{T}$$

$$\left[ \frac{1}{2} + \frac{q}{4} \frac{1}{a} \sqrt{\frac{2\mu}{6\rho}} \right] = \left[ \frac{1}{2} + \frac{q}{4} \frac{1}{a} \sqrt{\frac{4\mu T}{3\pi\rho}} \right]$$

gdzie drugi człon do pominięcia, o ile  $\frac{\mu}{\rho} T \ll a^2$

$$\text{boże } a \approx 10^{-4}$$

$$\parallel \frac{\mu}{\rho} = \frac{0.01}{0.01}$$

$$T \ll 10^{-6}$$

zmieli  $\frac{1}{\beta a}$  (bardzo) mały jest istotnie

$$\underline{X} = -\frac{2}{3} \pi \rho a^3 \frac{dU}{dt} - \cancel{3\pi \rho a^3 \delta} \beta \eta a U$$

ale w przeciwnym razie?

$$T = \frac{\frac{4}{3} \rho' a^3}{6\pi \mu a} = \frac{2}{9} \frac{\rho' a^2}{\mu}$$

'zmieli' jako T podstawić reszty promij drogi, potrzebny: boże parający przykład

$$\sqrt{\frac{\mu T}{a^2 \rho}} = \sqrt{\frac{2}{9} \frac{\rho'}{\rho}}$$

$$X = - \left[ \frac{1}{2} + \sqrt{\frac{2}{9} \frac{\rho'}{\rho}} \right] \frac{dU}{dt} - \left[ \frac{1}{\beta a} + \frac{1}{\beta a^2} \right] U$$

wzr. tutaj by owe dodatkowe człony byłyby istotnie uciążliwe

zmieli jednak podstawić reszty promij drogi, potrzebny: boże parający przykład



$$\chi_x = -\mu + 2\mu \frac{\partial u}{\partial x}$$

$$\mu = -\frac{3}{2} \mu \frac{ax}{n^3} c$$

195

$$u = c \left[ 1 - \frac{3}{4} \frac{a}{n} - \frac{1}{4} \frac{a^3}{n^3} \right] - \frac{3}{4} \frac{ca}{n^3} \left( 1 - \frac{a^2}{n^2} \right) x^2$$

$$\frac{\partial u}{\partial x} = c \left\{ \frac{3}{4} \frac{ax}{n^3} + \frac{3}{4} \frac{a^3 x}{n^5} + \frac{3}{4} \frac{cax^3}{n^5} - \frac{3}{2} \frac{cax}{n^3} \right\} + \dots$$

$$= c \left\{ -\frac{3}{2} \frac{ax}{n^3} + \frac{3}{4} \frac{a^3 x^3}{n^5} \right\} \quad -3 + \frac{3}{2}$$

$$\chi_x = 2c\mu \left\{ -\frac{3}{4} \frac{ax}{n^3} + \frac{3}{4} \frac{a^3 x^3}{n^5} \right\} = \frac{3c\mu a}{2} \left\{ -\frac{\cos p}{n^2} + \frac{3 \cos^3 p}{n^2} \right\}$$

$$\int_0^{\frac{\pi}{2}} 2n \sin p \cos p \, dp = \pi \quad \int_0^{\frac{\pi}{2}} 2n \sin p \cos^3 p \, dp = \frac{2n}{4} = \frac{n}{2}$$

$$\chi_x = \frac{3c\mu a n}{2} \cdot \frac{1}{2} = \frac{3}{4} c\mu a n \quad c = \frac{2}{9} \rho g \frac{a^2}{n}$$

$$= \frac{3}{4} \cdot \frac{2}{9} \cdot \frac{2}{n} \cdot \frac{\rho g a^3 n}{6}$$



Entropie ist ganz symm.

$\mu$  (  $\mu$  )

~~Stoß~~

Rybyinski 
$$U = \frac{2}{9} \frac{(b-b')}{\mu'} \rho a^2 \frac{3(\mu+\mu')}{3\mu+2\mu'}$$

Donat

$$U = \frac{2}{9} \frac{(b-b') \rho a^2}{\mu} \left[ 1 + \frac{\mu}{\rho a + 2\mu} \right]$$

Lamb

$$U = \frac{2}{9} \frac{(b-b') \rho a^2}{\mu} \frac{\left(1 + \frac{3\mu}{\rho a}\right)^2}{1 + 4\left(\frac{\mu}{\rho a}\right) + 6\left(\frac{\mu}{\rho a}\right)^2}$$

$$\mu \frac{\partial u}{\partial a} = \rho u_0$$

$$\rho = \vartheta$$

Colpenn. nimm vony : v nimm  $\beta = \vartheta = 0$  :  $\frac{2}{2} \parallel \frac{2}{2}$

$$\frac{\rho a + 3\mu}{\rho a + 2\mu} \parallel \frac{(\vartheta a)^2 + 6\mu(\vartheta a) + 9\mu^2}{(\vartheta a)^2 + 4\mu(\vartheta a) + 6\mu^2}$$

v nimm  $\rho a = \mu$  :

$$\frac{5}{2}$$

$\parallel$

$$\frac{16}{11}$$

gibst du mir?

$$u = \frac{4}{3} \frac{\rho^2 \pi (\rho - \rho_0) g}{6 \rho \rho_0}$$

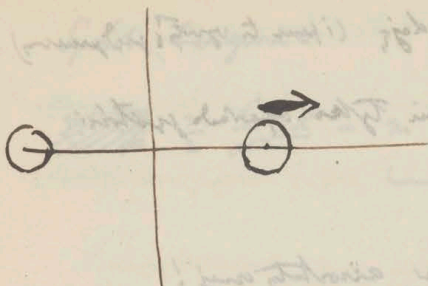
$$u \frac{4}{3} a^3 \pi \cdot \frac{4}{3} a^3 \pi (\rho - \rho_0) g = \left( \rho - \frac{4}{3} a^3 \pi \right) F$$

nicht das ist populär

$$\text{Colpenn. nimm } u = \frac{4}{3} a^3 \pi g \rho'$$

Colpenn. nimm 
$$u = \frac{4}{3} a^3 \pi g \left( 1 - \frac{4}{3} a^3 \pi \right) (\rho - \rho_0)$$





$$u_1 = -\frac{R_c}{4} \left( \frac{3}{\rho} + \frac{R^2}{\rho^3} \right) + \frac{3}{4} R_c \frac{(x+2a)}{\rho^3} \left( 1 - \frac{R^2}{\rho^2} \right)$$

$$f_{12} = -\frac{3}{2} R_{\mu\nu} \left( \frac{x+2a}{\rho^3} \right) + \underbrace{2(a+x) \frac{\partial f_1}{\partial x} - 4\mu \frac{\partial u_1}{\partial x}}_{=0}$$

Drugi rezultat jest da se u malim razlozima razmatraju, odnosno, ponašanje  
kao da je malo, jer tada je  $\rho \approx \rho_0$  i samo je razmatranje (i) ponašanja u malim razlozima  
ali i drugi je rezultat i razmatranje u malim razlozima općenito u malim razlozima.  
Samo je razmatranje; drugi rezultat je da je ponašanje u malim razlozima i ponašanje u malim razlozima  
Ponašanje u malim razlozima:  $F = \frac{4}{3} a^3 n g(\rho - \rho_0)$

$$n \frac{4}{3} \pi n u = (1 - \frac{4}{3} \pi n u) u_0$$

$$\mu = \frac{\frac{2}{3} a^2 \pi \rho (\rho - \rho')}{6 \pi \mu a} = \frac{\frac{4}{3} a^2 \pi (\rho - \rho')}{6 \pi \mu a}$$

$$\rho' = \rho_0 \left(1 - \frac{4}{3} \alpha^2 \eta\right) + \rho \frac{4}{3} \alpha^2 \eta$$

$$n \frac{4}{3} \pi r^3 \cdot \frac{4}{3} \pi r^3 (\rho \cdot \frac{1}{2})^2 = (1 - \frac{4}{3} \pi r^3) \sqrt{}$$

$$\rho' = \rho_0 + \frac{4}{3} a^3 n_2 (\rho - \rho_0)$$

$$\rho - \rho' = (\rho - \rho_0) \left(1 - \frac{4}{3} \alpha^3 \pi z\right)$$

$$\frac{4}{3} \pi r^3 \rho_1 - \frac{4}{3} \pi r^3 (\rho_1 - \rho_2) g = F$$

mi prenda!  
To tyffes ut sig varen de  
Lekings vte sammanlagde  
nu dea tok ut sig, invid i toria  
w idstades myndigheterna  
och i verktyg

(M)

Włoc intotim <sup>Totici</sup> kazi de k'le puy op a darin  
~~de~~ doznaji parca roinzo noii presy tuz!



To Pa'mi przypadek zachodzący w serii równowagi airtoty myj!

 $\Delta - \delta$ 

das in der Natur

rotacja gęstości  $\rho = 0$  (gęstość), przyspieszenie  $\Delta$

W elektrodzie ciężej elektrolizujemy zgodnie z wytycznymi, które koncentracji, ale zawsze  
również widać jest miłośnik w każdej sytuacji, ale z nim nie pomyślałem do młodszych jak to koncentracji.  
Symposium o gościach i koncentracji: Thomson przyjeżdża w elektrodzie przy koncentracji



Spółdzielca

137

$$\frac{m}{2} \frac{d^2}{dt^2} \sum x^2 - \underbrace{m \sum \left( \frac{dx}{dt} \right)^2}_{\frac{H_0}{N}} = -3\pi a \frac{d \sum x}{dt} + \sum Xx$$

$$\frac{m}{2} \frac{d}{dt} \left( \frac{\sum x^2}{t} \right) \Big|_0^t - \frac{H_0}{N} t = -3\pi a \frac{\sum x}{t} \Big|_0^t + \int_0^t \frac{\sum Xx}{t} dt$$

Wzrost jest to równie x by było i  $\sum x^2$  by było

zatem możemy mieć postać

~~$$\frac{d}{dt} \left( \frac{\sum x^2}{t} \right) = \dots$$~~

Stąd mamy  $\frac{\sum x^2}{t} = \xi$

$$\frac{m}{2} \frac{d}{dt} (\xi) + 3\pi a \xi = \frac{H_0}{N} t + \frac{1}{t} \int_0^t \sum Xx dt = A - \frac{6\pi a}{m} t$$

~~$$\xi = \frac{A}{3\pi a} + C e$$~~

Wzrost jest to równie x by było i  $\sum x^2$  by było

$$-\frac{H_0}{N} = \frac{\sum Xx}{t} \approx \frac{V}{3}$$

zatem możemy

$$\sum \frac{x^2}{t} = \frac{\sum \bar{x}^2}{t} = \frac{1}{6\pi a} \cdot \frac{V}{3}$$

$$\bar{x}^2 = t \cdot \frac{V}{3} \cdot \frac{1}{6\pi a}$$

Opis bryła porównujemy przez  
złoty. Długość...

wzrost w czasie modyfikacji  
i ciłności między DCh, pV i k  
 $\bar{x}^2$  by było większe



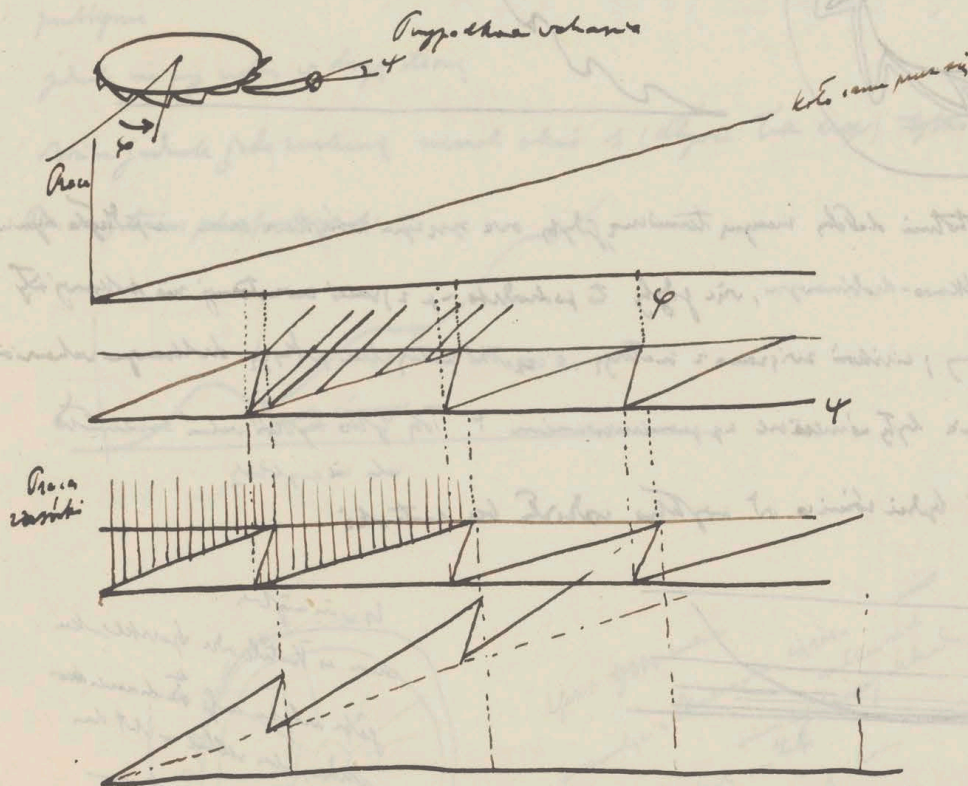
[illegible]

Notulest pyg interviewandeng woldhi ~~unseen~~ rudy konowokypini.



Czyżby w tym wietrze lub reszcie innych rzeczy w tym wietrze wchodzących przez okno  
długo czeka?

Punkt: Kto zabije i zastanie



W tym nity, sprężystej, przez które w tym (początek) a jeśli do tego czasu nie

bezawstępnego jest

to o ile oba ciała przetrwały

co stwierdzić, więc trzeba

już system

dotyczy się to ustroniu, gdzie nityfik

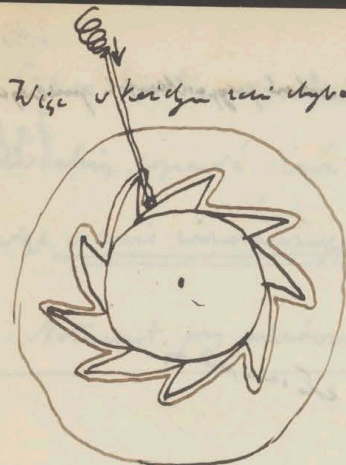
zawieszki się ślady w wyglądzie o kształcie

które w tym czasie

Także w tym czasie nie ma potrzeby to razem tu może być więcej

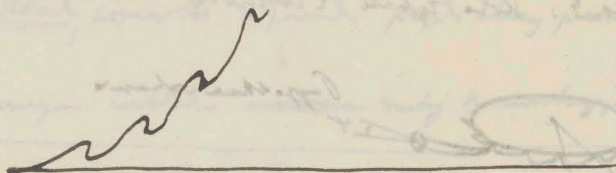
lub by mówić



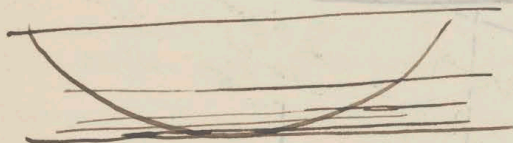


Wice skiedze uni dyba zly wzrostu potimbu, ale bez nobody ruchu ale wzrostu

vizeproca funkcyo kety p kintalhu:

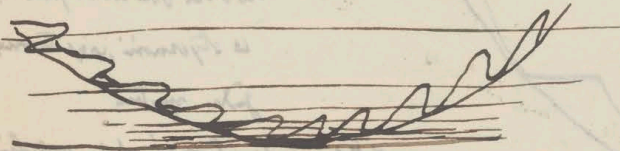


To istotni dady mnyne tunniung, plyty oca mnyne wotimbu same nie palyge dyam  
pup adkuso-drobinowye, wie plyty to podkudito - p 2, wale' wotimbu' nie drobinow'ity  
dobyte ist nie mnyne, wotimbu' zwizano z mnyne, a wotimbu' mnyne palyge' drobinowye wotimbu'  
dybacyty wotimbu' dyty wotimbu' z pomywotimbu' z Toz dyty wotimbu' wotimbu' wotimbu'  
Uye dyty to dyty wotimbu' z wotimbu' wotimbu' bez wotimbu'



Is wotimbu'  
wotimbu' wotimbu' wotimbu' wotimbu'  
gabe wotimbu' wotimbu' wotimbu' wotimbu'  
wotimbu' wotimbu' wotimbu' wotimbu'  
wotimbu' wotimbu' wotimbu' wotimbu'

22 wotimbu' wotimbu' wotimbu' wotimbu' wotimbu' wotimbu'





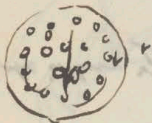




Homogeneous

Spherical cloud: if drops very small in comparison to distances

then motion approximately  
= resultant of mass motion  
and Stokes motion



motion is interior like in a fluid drop of equal viscosity

$$U = \frac{2}{9} \frac{b'-b}{\mu} g a^2 \cdot \frac{b}{5} = \frac{4}{15} g \frac{b-b}{\mu}$$

$$b' = b + \Delta n$$

$$= b + \frac{4}{3} \alpha^2 \rho \cdot n$$

$$= \frac{16}{45} g a^2 \cdot \frac{\alpha^2 \rho n}{\mu} \quad \parallel \quad \frac{2}{9} \frac{\alpha^2}{\mu} g \rho$$

$$U:u = \frac{2}{5} \alpha^2 \Delta n : 1$$

$$U = u \cdot \left( \frac{b}{5} \frac{\alpha}{a} n \right) \cdot \frac{4}{3} \alpha^2 n$$

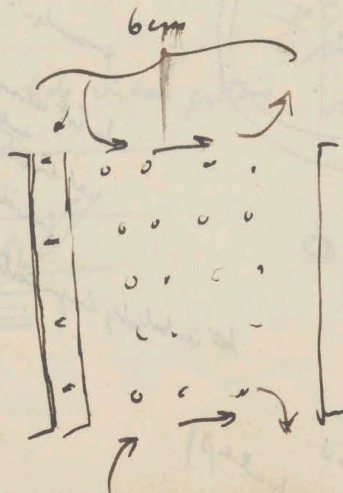
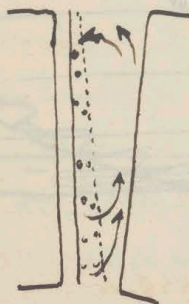
$$= u \cdot \frac{4}{3} \alpha^2 n \cdot \frac{b}{5} \frac{\alpha}{a}$$

$$= u \cdot \text{Vol}_{\text{equiv}} \cdot \frac{b}{5} \frac{\alpha^2}{a}$$

$$= u \cdot \frac{b}{5} \frac{\alpha}{a} N$$



Stokes law problematic



Part 1. p. 84 p. 35

$$i = \frac{14}{33} 10^{-8} \text{ Amp}$$

$$= \frac{1}{3} 10^{-9} = \frac{1}{3} 10^{-10} (\text{en})$$

$$= 1 (\text{est})$$

$$= 2e \cdot X \cdot (N \cdot \dots)$$

$$9 \cdot 10^{10} \cdot \frac{1}{150} \cdot \frac{1}{100}$$

$$n = \frac{10^{10}}{1550} = 0.7 \cdot 10^7 \text{ number per cm}^3$$



$n = 150$

$n = 0.7 \cdot 10^7$

$N = 1.4 \cdot 10^9$

$F = 1.4 \cdot 10^9 \cdot 4.5 \cdot 10^{-10} \cdot \frac{600}{6 \cdot 300} = 2.2 \cdot 10^1$

$= 0.22 \text{ dyn}$

$U = \frac{F}{6\pi\eta a} = \frac{0.22}{6\pi \cdot 3 \cdot 18 \cdot 10^{-4}} = 2.2$



Heat temperature?

$k \text{ in } W. \quad \gamma = \frac{\rho}{\mu} \left( \frac{\text{dyn}}{\text{cm}^2} \right) \quad \frac{15}{h}$   
 $\text{for } 4.24 \cdot 10^7 \quad \text{air} \quad h_2$

$\gamma = \varepsilon \lambda = \frac{3\mu}{\rho c} \cdot \varepsilon$

$\lambda = \frac{3\mu}{\rho c} = \frac{3 \cdot 0.000171}{\text{air} \cdot 485}$

$\begin{array}{r} 2.6857 \\ 0.1179-1 \\ \hline 17996 \end{array}$

$\begin{array}{r} 0.7101 -4 \\ -1.7896 \\ \hline 0.9105 -6 \end{array}$

$\lambda_{0.1} = 0.8137 \cdot 10^{-5}$

$\gamma = 7.9 \cdot 10^{-6}$

$\varepsilon = \frac{8.14}{7.90} = 1.03 \lambda !$

$\gamma = \frac{\rho}{\rho_{0.76.13.6}}$

$\begin{array}{r} 9912 \\ 8808 \\ \hline 1104 \\ 0055 \quad \rho_{0.31} \\ \hline 0976 \\ 1013 \quad | 10129 \end{array}$

$\lambda = \frac{3 \cdot 0.0000899}{0.0000899 \cdot 1844.00}$

$\begin{array}{r} 9345 \quad 9578 \\ 4771 \quad 2657 \\ \hline 4116 \quad 2195 \\ -2195 \\ \hline 1921 \end{array}$

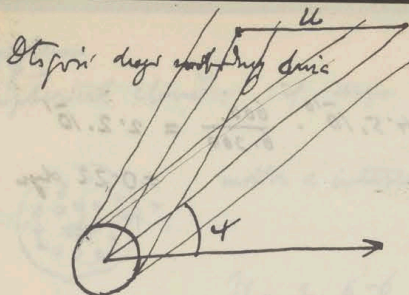
$\lambda_H = 1.556 \cdot 10^{-5}$

$\gamma = 1.48 \cdot 10^{-5}$

$\varepsilon = \frac{1.48}{1.56} = 0.949 \cdot \lambda !$

$\begin{array}{r} 1703 \\ 1931 \\ \hline 9772 \end{array}$



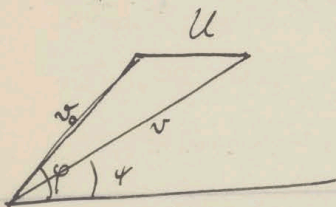


Stwierdzenie: dla dowolnego kierunku

Także można wyznaczyć natężenie pola magnetycznego  $B$  w punkcie  $P$ , który leży na osi symetrii kąt  $\varphi$  względem osi kierunku prądu  $I$ .

Także można wyznaczyć natężenie pola magnetycznego  $B$  w punkcie  $P$ , który leży na osi symetrii kąt  $\varphi$  względem osi kierunku prądu  $I$ .

$A^2 = \frac{2\pi \sin \varphi}{4\pi} \int_0^{\frac{\pi}{2}} \frac{v^3}{v_0^3} dv$  - więc można w razie potrzeby wyznaczyć natężenie pola magnetycznego  $B$  w punkcie  $P$ .



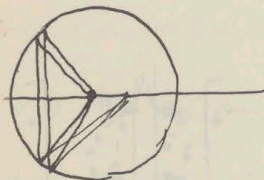
$$v \sin \varphi = v_0 \sin \varphi$$

$$v \cos \varphi = v_0 \cos \varphi + u$$

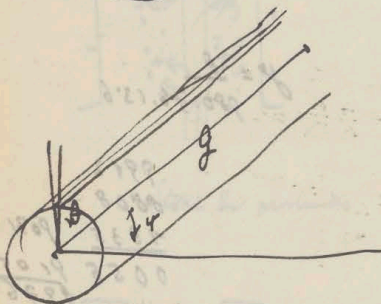
$$v = v_0 \left[ 1 + \frac{u}{v_0} \cos \varphi_0 \right]$$

czyli dla  $u < v_0$

$$\underline{v \cos \varphi \, d\varphi = v_0 \cos \varphi \, d\varphi}$$



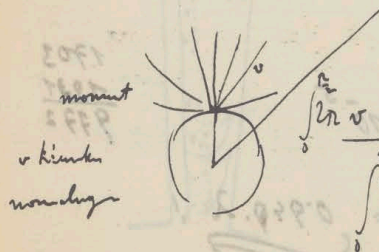
Także można wyznaczyć natężenie pola magnetycznego  $B$  w punkcie  $P$ , który leży na osi symetrii kąt  $\varphi$  względem osi kierunku prądu  $I$ .



toż samo jak wyżej, ale

$$\int_0^{\frac{\pi}{2}} 2\pi \sin \theta \, d\theta \cos \theta \left( g + \frac{\alpha}{\sqrt{r}} \cos \theta \right) = g - \frac{\alpha}{\sqrt{r}} \frac{2}{3}$$

$$\int_0^{\frac{\pi}{2}} 2\pi \sin \theta \cos \theta \, d\theta = \pi$$



moment  
w kierunku  
normalnym

$$\int_0^{\frac{\pi}{2}} \frac{2\pi r \sin \varphi \, d\varphi \cos \varphi}{\int_0^{\frac{\pi}{2}} 2\pi r \sin \varphi \, d\varphi} = \frac{v}{2}$$

$$\frac{1}{2} \int_0^{\frac{\pi}{2}} \frac{4\pi r^3 \sin^3 \varphi \, d\varphi}{\int_0^{\frac{\pi}{2}} 4\pi r^3 \sin^3 \varphi \, d\varphi} = \frac{1}{2} \frac{2\alpha}{\sqrt{r}} = \frac{\alpha}{\sqrt{r}}$$

*(Signature)*



ist ein Minimum in  $t=0$   $v_0$  201  
 ist ein Minimum in  $t=0$   $v_0$  201

$$\frac{1}{2} \cos \varphi - \frac{\alpha}{\sqrt{n}} \frac{2}{3} \cos \varphi$$

$$\frac{n 4 \pi v_0^3 e^{-\frac{u^2}{2v_0^2}}}{\alpha^3 \sqrt{n}} dv_0 \int_0^{\frac{\pi}{2}} \frac{\sin \varphi d\varphi}{2} \left[ v_0 + \frac{2}{3} \frac{\alpha}{\sqrt{n}} \right] \cos \varphi$$

$$\sin \varphi = \frac{v_0}{v} \sin \varphi = \frac{\sin \varphi}{1 + \frac{u}{v_0} \cos \varphi} \quad k = \sin \varphi \left[ 1 - \frac{u}{v_0} \cos \varphi \right]$$

$$\cos \varphi = \sqrt{1 - \frac{\sin^2 \varphi}{(1 + \frac{u}{v_0} \cos \varphi)^2}} = \frac{\sqrt{1 - \frac{2 \frac{u}{v_0} \cos \varphi + (\frac{u_0}{v_0})^2 \cos^2 \varphi}}}{1 + \frac{u}{v_0} \cos \varphi} = \cos \varphi \left( 1 + \frac{u}{v_0} \cos \varphi - \frac{u}{v_0} \cos \varphi \right)$$

$$= \sqrt{1 - \sin^2 \varphi (1 - \frac{u}{v_0} \cos \varphi)^2} = \sqrt{1 - \sin^2 \varphi + 2 \frac{u}{v_0} \cos \varphi \sin^2 \varphi} = \cos \varphi \sqrt{1 + 2 \frac{u}{v_0} \frac{\sin^2 \varphi}{\cos \varphi}}$$

$$\cos \varphi = \cos \varphi + \frac{u}{v_0} \sin^2 \varphi$$

$$\frac{n 4 \pi v_0^3 e^{-\frac{u^2}{2v_0^2}}}{\alpha^3 \sqrt{n}} dv_0 \int_0^{\frac{\pi}{2}} \frac{\sin \varphi d\varphi}{2} (\cos \varphi + \frac{u}{v_0} \sin^2 \varphi) \left[ v_0 + \frac{2}{3} \frac{\alpha}{\sqrt{n}} + u \cos \varphi \right]$$

$$\frac{1}{2} \left( v_0 + \frac{2}{3} \frac{\alpha}{\sqrt{n}} \right) (\sin \varphi \cos \varphi d\varphi + \frac{u}{v_0} \sin^3 \varphi d\varphi) + u \sin \varphi \cos \varphi d\varphi + \frac{u^2}{v_0} \sin^3 \varphi \cos \varphi d\varphi$$

$$\frac{1}{2} \left( v_0 + \frac{2}{3} \frac{\alpha}{\sqrt{n}} \right) \left( \frac{4}{3} \frac{u}{v_0} + u \frac{2}{3} \frac{1}{v_0} + \frac{u^2}{9} \frac{1}{v_0} \right) = \frac{2u}{9\sqrt{n}} \sqrt{\frac{2}{3}} \cdot \rho n c R \sqrt{n} = \frac{2u}{9} \sqrt{\frac{2}{3}}$$

$$= \frac{1}{2} \left( \frac{4}{3} u + \frac{2}{3} u + \frac{8}{9} \frac{\alpha}{\sqrt{n}} \frac{u}{v_0} \right) = \frac{1}{2} \left( 2u + \frac{8}{9} \frac{\alpha}{\sqrt{n}} \frac{u}{v_0} \right) = u + \frac{4}{9} \frac{\alpha}{\sqrt{n}} \frac{u}{v_0}$$

Wegen  $\lim_{v \rightarrow \infty} \frac{1}{v} = 0$  und  $\lim_{v \rightarrow \infty} \frac{1}{v^2} = 0$ , ist  $\lim_{v \rightarrow \infty} \frac{1}{v} = 0$  und  $\lim_{v \rightarrow \infty} \frac{1}{v^2} = 0$

$$= n u - u \frac{4 \alpha}{9 \sqrt{n}} \frac{1}{v_0} = n u \left[ 1 - \frac{4 \alpha}{9 \sqrt{n}} \frac{1}{v_0} \right]$$

$$R \rho n c \sqrt{\frac{2}{3}} \left( 2 \sqrt{n} - \frac{4}{9 \sqrt{n}} \right) \neq 2 \sqrt{\frac{6n}{3}}$$



$$\frac{4\pi v_0^2 e^{-\frac{v^2}{2\alpha}} dv}{\alpha^3 \sqrt{\pi}} \int_0^{\frac{\pi}{2}} \frac{\sin \varphi d\varphi}{2} (v_0 \cos \varphi + u) (v_0 + \frac{2}{3} \frac{\alpha}{\sqrt{\pi}} + u \cos \varphi)$$

$$\frac{1}{2} \int_0^{\frac{\pi}{2}} \sin \varphi d\varphi (v_0 \cos \varphi + u) (v_0 + \frac{2}{3} \frac{\alpha}{\sqrt{\pi}} + u \cos \varphi)$$

$$(v_0 + \frac{2}{3} \frac{\alpha}{\sqrt{\pi}}) \left[ v_0 \int_0^{\frac{\pi}{2}} \cos^2 \varphi d\varphi + u \int_0^{\frac{\pi}{2}} \cos \varphi d\varphi \right] + u v_0 \int_0^{\frac{\pi}{2}} \cos^2 \varphi d\varphi + u^2 \int_0^{\frac{\pi}{2}} \cos^3 \varphi d\varphi$$

$$2u \quad \frac{2}{3}$$

$$= u \left[ \frac{4}{3} v_0 + \frac{2}{3} \frac{\alpha}{\sqrt{\pi}} \right] + \frac{1}{3} v_0$$

$$n \pi u \left\{ \frac{4}{3} \frac{v_0^3}{\alpha^3 \sqrt{\pi}} + 4 \frac{2}{3} \frac{\alpha}{\sqrt{\pi}} \frac{v_0}{\alpha^2} \right\} = 1.536$$

$$\frac{8}{3} \frac{\alpha}{\sqrt{\pi}} + \frac{4 \cdot 2 \cdot \alpha}{3 \cdot 3 \sqrt{\pi}} = \frac{10}{3} \frac{\alpha}{\sqrt{\pi}} = \frac{10}{3} \sqrt{\frac{2}{3\pi}} = \frac{5}{3} \sqrt{\frac{8}{3\pi}}$$

$$c = \sqrt{2\alpha\theta}$$

$$p_0 \theta = \frac{p_0}{R}$$

$$\begin{array}{r} 1229 \\ 307 \\ \hline 16 \end{array}$$

$$R_0 \sqrt{\frac{\rho_0}{\theta}} \sqrt{\frac{\rho_0}{\theta}} = \rho \cdot R_0 \cdot \theta \sqrt{\frac{\rho_0 \cdot \theta}{10^6 \cdot \theta}}$$

$$= \rho R_0 \sqrt{\theta} \sqrt{\frac{10^6}{10^6 R_0}}$$

$$= \rho \sqrt{R_0} = \frac{\rho c}{\sqrt{3}}$$

$$\frac{1}{\sqrt{p_1}}$$

$$p = R \theta \rho$$

$$1 = R \theta \rho_1 \parallel \rho_1 = \frac{1}{R \theta}$$

$$= \frac{\pi}{R \theta \cdot \rho} = \frac{\sqrt{3}}{c \cdot \rho} \parallel \frac{6}{2098 \cdot \sqrt{3}}$$

$$\begin{array}{r} 3218 \\ 2385 \\ \hline 833 \\ 56035 \end{array}$$

$$\begin{array}{r} 7782 \\ 56035 \\ \hline 21785 \end{array}$$







Thomson Zählrohr 17, "Jah" 1. 8...

$$\frac{e}{m} = 3.4 \cdot 10^{-4} \quad R = 3.3 \cdot 10^{-2}$$

$$n = 2.7000 \text{ pro cm}^3$$

$$\frac{e n}{S} \text{ pro cm}^3 = 10$$

68 Wilson 7 1112

$$m = 8.4 \cdot 10^{-12} = \frac{4}{3} \pi a^3$$

$$a = \sqrt[3]{2 \cdot 10^{-12}} = 1.3 \cdot 10^{-4}$$

$$q = 48 \cdot 10^{-7}$$

$$n = \frac{48 \cdot 10^{-7}}{8 \cdot 1 \cdot 10^{-12}} = 6 \cdot 10^5$$

$$\frac{n q}{S} = \frac{1.3 \cdot 6 \cdot 10}{1} = 80!$$

$$m = 4.4 \cdot 10^{-12}$$

$$a = 10^{-4}$$

$$q = 10^6$$

$$R = \mu = 1350$$

$$\begin{aligned} a &= 0.2 \text{ cm} \\ &- 0.075 \end{aligned}$$

$$s = 77$$

$$b =$$

$$\bar{r} = \frac{\mu}{v p}$$

$$\frac{q}{2} \cdot \frac{(1.8)^2 \cdot 10^8}{2.0 \cdot 13} = \frac{9 \cdot 1.6}{1.3} \cdot 10^8$$

$$= 1.3 \cdot 10^9$$

$$1.4$$

$$11 \cdot 10^8$$

$$= 110 \cdot 10^8$$

$$75$$

$$v = \frac{1}{100} \parallel R = \frac{2 \cdot 1350}{\frac{1}{100}}$$

$$v = \frac{2}{9} \cdot \frac{2 \cdot 10^{-5} \cdot 9}{\mu}$$

$$\bar{r}^3 = \frac{9 \cdot \mu^2}{2.5 (1-5) q}$$

$$= 8 \cdot \frac{1.3 \cdot 1.4 \cdot 10^6}{2.5}$$

$$2 \cdot 77 \cdot 7 \cdot 10^6$$

$$= 1.1 \cdot 10^2 = 110$$

$$\bar{r} = 5 \text{ cm}$$



should lead by constant effective

$$\left| \begin{array}{l} R = 0.815 \\ \bar{r} = 0.066 \end{array} \right|$$

~~as~~

$$\frac{R}{\bar{r}} = \frac{0.815}{0.066} = 12$$

Assum:  $\frac{R v \rho}{2\mu}$  small

J.J. Thomson

$$v = 4 \text{ cm}$$

$$\mu = 0.7$$

$$\frac{0.815 \cdot 4 \cdot 0.92}{2.07}$$

$$R = 7.2 \cdot 10^{-2}$$

$$v = 0.14$$

$$\rho = 0.0013$$

$$\mu = 0.00018$$

6.8. Wilson

$$R = \frac{2\mu}{v\rho}$$

$$= \frac{2 \cdot 0.00018}{0.14 \cdot 0.0013} = 2 \text{ cm!}$$

$$\frac{2 \cdot 0.00018}{0.14 \cdot 0.0013}$$

$$= 15 \text{ cm}$$

Terrin  $\Delta - \delta = 0.21$

$$a = \frac{1}{\rho} \cdot 10^{-4}$$

$$v = \frac{2}{9} \cdot \frac{1}{3} \cdot \frac{10^{-8} \cdot 10^3}{0.04} = \frac{2}{27} \cdot 10^{-5} = 14$$

$$= \frac{2}{27} \cdot 10^{-6} = 0.8 \cdot 10^{-6}$$

$$R = \frac{2 \cdot 0.01}{0.8 \cdot 10^{-6}} = \frac{1}{40} \cdot 10^6 = 2.5 \cdot 10^4$$

Assume  $a = 0.01$

if in water

$$v = \frac{2}{9} \cdot \frac{10^{-4} \cdot 10^3}{0.01} = \frac{14}{9} \cdot 10 = 15.5 \text{ cm}$$

$$R = \frac{2 \cdot 0.01}{1} = 0.02 \text{ cm}$$

$$\sqrt[3]{\frac{9 \cdot 10^{-4}}{2 \cdot 10^3}} = \sqrt[3]{5 \cdot 10^{-7}}$$



$$\bar{r} = \frac{\mu}{\bar{v} \rho} = \sqrt[3]{\frac{g}{2} \frac{\mu^2}{6(1-6)g}}$$

$$\bar{v} = \frac{\mu}{\rho \bar{r}}$$

$$r_1 < 0.6 \bar{r}$$

$$v_1 = \bar{v} \left(\frac{r_1}{\bar{r}}\right)^2$$

~~Result:~~

$$\frac{r_1}{0.6 \bar{r}} < 1$$

Result:

$$\frac{r_1}{\bar{r}} < 0.6$$

$$r_1 < 0.6 \sqrt[3]{\frac{g}{2} \frac{\mu^2}{6(1-6)g}}$$

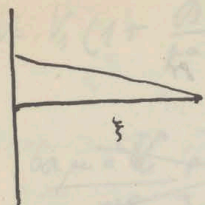
$$r_1^3 < (0.6)^3 \frac{g}{2} \frac{\mu^2}{6(1-6)g}$$

$$r_1 \cdot \left(\frac{2}{9} \frac{r_1^2 (1-6)g}{\mu}\right) \frac{1}{\mu} < (0.6)^3 \frac{g}{2} \frac{\mu^2}{6(1-6)g}$$

$$\alpha = 0.2$$

$$\begin{aligned} \alpha &= \frac{r v \rho}{\mu} = \frac{r_1 v_1 \rho}{\mu} \\ &= 0.6 \cdot \bar{r} \bar{v} \left(\frac{r_1}{\bar{r}}\right)^2 \rho \\ &= 0.6 \frac{\rho}{\mu} r_1^2 \frac{\bar{v}}{\bar{r}} \\ &= 0.6 \left(\frac{r_1}{\bar{r}}\right)^2 \\ &= 0.6 \end{aligned}$$



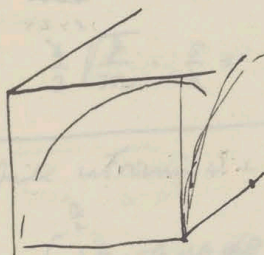


$$u = \int \frac{dy}{\sqrt{\xi^2 + y^2}} = 2 \log(y + \sqrt{\xi^2 + y^2}) \Big|_0^b$$

$$= 2 \left[ \log(b + \sqrt{\xi^2 + b^2}) - \log \xi \right]$$

$$\int \log(b + \sqrt{x^2 + z^2 + b^2}) dx = 2 \log(b + \sqrt{x^2 + z^2 + b^2}) - \int \frac{z^2 dx}{(b + \sqrt{x^2 + z^2 + b^2}) \sqrt{x^2 + z^2 + b^2}}$$

$$\int 2 \log \frac{b + \sqrt{x^2 + z^2 + b^2}}{\sqrt{x^2 + b^2}} dx = 2 \log \left( \frac{b + \sqrt{x^2 + z^2 + b^2}}{\sqrt{x^2 + b^2}} \right) - \int 2 dx \left[ \frac{1}{(b + \sqrt{x^2 + z^2 + b^2}) \sqrt{x^2 + b^2}} - \frac{1}{x^2 + b^2} \right]$$



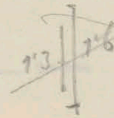
de  
Sikikan  $z = 0.0002$

$$h = 1.6$$

$$2 \cdot \frac{9}{8} \cdot \frac{0.0002}{0.8} - 2 \cdot \frac{9}{8} \cdot \frac{0.0002}{0.2}$$

$$x = 1.6$$

$$2 = 1.6$$



$$\frac{1.6}{0.65}$$

$$= 2 \cdot \frac{9}{8} \cdot \frac{0.0002}{0.5} = \frac{1.2}{200}$$



Miller empirical determination p 380

$$(1 + 0.817 \frac{\lambda}{a})^{-1}$$

$$\lambda = \frac{\mu}{0.3502 \cdot \rho \Omega}$$

Miller  
Sarkis L p 81

9031

49715

4777

97425

192885

0.4913

9644

5443

5087

$$\Omega = c \sqrt{\frac{f}{3n}}$$

$$\sqrt{\frac{f}{3n}} = 0.9212$$

$$\frac{55272}{147392} = 0.375$$

$$\lambda = 1.099 \frac{\mu}{\rho c}$$

$$16376$$

$$\frac{4606}{18424}$$

$$\mu_x = 0.00017856 [1 + 0.00276 (t-15)]$$

$$20^\circ \quad \lambda = 929.10^8$$

Miller's theory with this modification gives

$$[1 + 0.708 \frac{\lambda}{a}]^{-1} \quad \text{inf}$$

$$\lambda = \frac{3\mu}{\rho \Omega} \quad \text{then Cunningham's theory}$$

$$[1 + 1.5 \frac{\lambda}{a}]^{-1}$$

elastic

stiff

Miller

$$1 + 1.2 \frac{\lambda}{a}$$

inelastic with R<sub>0</sub>

$$1 + 1.05 \frac{\lambda}{a}$$

inelastic normal

$$1 + 1.00$$

empirical

Exp of Miller's data  
shows that the  
Cunningham



$$V = V_s (1 + \frac{\rho}{\rho_a})$$

$$\rho_{\text{air}} = 0.0075$$

205

$$\frac{60 \mu \text{ s} \cdot \sqrt{\frac{F}{32}} \cdot \rho}{4.5 \cdot 3 \mu} = \frac{4.2 \sqrt{\frac{F}{32}} \cdot \rho}{3.8 \cdot 32} \cdot \rho \cdot V$$

Wic rezultat uporedy na Kahan.

$$W = 1.229 \cdot \frac{3}{2} \cdot \rho \cdot V$$

$$1.87$$

$$1.843$$

$$1.229 \cdot 3 = 1.76$$

trajno na Kahan imale su aktivno

$$\frac{4}{3} \sqrt{\frac{F}{32}} \cdot \frac{5}{4} =$$

$$W = 1.535 \cdot \rho \cdot V$$

$$\frac{1.5}{1.6} = \frac{30}{21} = \frac{10}{7}$$

Jedini zadržani su u  $t_2$  i  $t_3$  predloženi u odnosa u dovođenju klanke.

$$\int_0^{\frac{\pi}{2}} \frac{2\pi \cdot \theta \cdot d\theta}{n} \cdot \left( g + \frac{g}{2} \cos \theta \right) = g + \frac{g}{2} \cdot \frac{2 \int_0^{\frac{\pi}{2}} \cos \theta \cdot \theta \cdot d\theta}{\frac{2}{3}} = \frac{4}{3} g$$

*Primer*

Wic u toku rana cila vektora  $\frac{4}{3}$  rana toku dusa

$$W = \frac{16}{9} \sqrt{\frac{F}{32}} \cdot \rho \cdot V \quad (\text{tako je malo opozicije u rana}) = 1.64$$

1 dusa u 2 klanke!

$$T_0 \text{ by odgovarajuće vektore} \quad \frac{1.5 \cdot 3}{4} \cdot \frac{1}{2} = 1.125 \cdot \frac{1}{2} \text{ Anket}$$

Jedini zadržani su u  $t_2$  i  $t_3$  predloženi u odnosa u klanke vektora:

$$\int \dots \frac{(g + g \cos \theta)}{n} = g + \frac{g}{2} \cdot \frac{2}{3} = \frac{5}{3} g \quad \text{na toku} \quad 0.9 \cdot \frac{1}{2} \cdot 1.6 \cdot 2.047$$

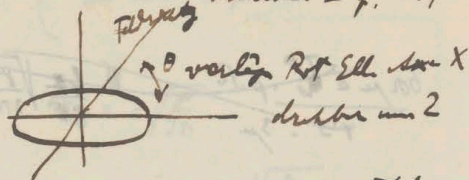


paramagnetische  
Drehungsmoment eines Ellipsoids in gleichförmige Feld:

Gaus p. 87

$$N_2 = \frac{\kappa^2}{2} V H^2 \sin 2\theta \frac{(P-P')}{(1+P'\kappa)(1+P\kappa)}$$

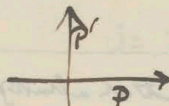
Wähl. II p. 219



$P, P'$  } Induziertfeldwirkung/Gitter Gaus p. 47

für sehr kleine  $\epsilon = \frac{a-b}{a}$

$$P = \frac{4\pi}{5} (1 - \frac{2}{5}\epsilon)$$



steht demnach auch mit den  
Längsen in der Feldrichtung

$$P/P' = 2\pi(u_0^2-1)u_0 \log \frac{u_0+1}{u_0-1} - 4\pi(u_0^2-1)$$

$$u_0 = \frac{a}{\sqrt{a^2-b^2}}$$

$$P' = -4\pi(u_0^2-1)u_0 \log \frac{u_0+1}{u_0-1} + 2\pi u_0^2$$

$$= \sqrt{\frac{a}{a-b}} \cdot \frac{a}{a+b}$$

$$P-P' = 3\pi(u_0^2-1)u_0 \log \frac{u_0+1}{u_0-1} - 6\pi u_0^2 + 4\pi$$

$$\neq \sqrt{\frac{a}{2\epsilon}}$$

$$\log \frac{1+\frac{1}{u_0}}{1-\frac{1}{u_0}} = \frac{2}{u_0} \left( \frac{1}{u_0} + \frac{1}{3u_0^3} \right)$$

$$e = \frac{\sqrt{a^2-b^2}}{a} = \sqrt{2\epsilon}$$

$$\epsilon = \frac{e^2}{2}$$

$$= 6\pi(u_0^2-1) \left( 1 + \frac{1}{3u_0^2} + \frac{1}{5u_0^4} \right) - 6\pi u_0^2 + 4\pi$$

$$= +6\pi u_0^2 - 6\pi + 2\pi + \frac{6\pi}{5u_0^2} - 6\pi - \frac{2\pi}{u_0^2} - 6\pi u_0^2 + 4\pi$$

$$\neq -\frac{4\pi}{5} u_0^2 = -\frac{4\pi}{5} \frac{2\epsilon}{\epsilon} = -\frac{8\pi\epsilon}{5}$$

$$P = \frac{4\pi}{5} (1 - \frac{2}{5}\epsilon)$$

$$N_2 = -\frac{\kappa^2}{2} V H^2 \frac{8\pi\epsilon}{5} \sin 2\theta$$

$$\text{Drehungsmoment ; Arbeit} = \int_0^\theta N_2 d\theta = \int_0^\theta 2\epsilon \sin 2\theta d\theta = \frac{1-\cos 2\theta}{2} = \sin^2 \theta$$

$$= -\frac{4\pi\epsilon}{5} V \kappa^2 H^2 \sin 2\theta$$

$$dW = e^{-\alpha \sin^2 \theta} d\theta$$



$$5 \cdot 10^{-4} = \frac{4}{5} \pi \varepsilon V \cdot \cancel{K^2} \cdot \cancel{H}$$

$$\varepsilon = \frac{1}{2} \quad V = 4 \cdot 10^{-12}$$

$$a = 10^{-4} \text{ m} = 1 \mu$$

$$V = \frac{4}{3} \pi 10^{-12}$$

206

bronz K Eisenblech konz. =  $6 \cdot 10^5$   $H = 10.000$   
 Dichte  $\rho = 15$

$$5 \cdot 10^{-14} \quad 4 \cdot 10^{-12} \cdot 36 \cdot 10^{-10} \cdot 10^4$$

$$1 \cdot 4 \cdot 10^{-16}$$

10<sup>-3</sup> = 0.01 mm

trübsky erble  $a = \cancel{3 \cdot 10^{-4}} = \cancel{0.0003 \text{ mm}}$   
 study  $= 1 \cdot 10^{-4}$   
 $= 14 \cdot 10^{-4}$

bronz Vol. =  $(0.05)^2 \cdot 0.01 = 25 \cdot 10^{-6}$

$$H = 0.2$$

$$K = 10^{-6}$$

$$K = \frac{0.135 \cdot 10^{-6}}{1.34 \cdot 10} \text{ (Funkt.)}$$

$$2.5 \cdot 10^{-5} \cdot 10^{-12} \cdot 0.2 = 0.5 \cdot 10^{-17}$$

$$= 5 \cdot 10^{-18}$$

wie organische zu Koma

perman. Fassung puggungje  $J = 10$

$$J V H = 10 \cdot 0.2 \cdot V \cdot \cancel{K} \cdot \cancel{4 \cdot 10^{-18}} = 4 a^3$$

$$a = \sqrt[3]{10^{-15}} = 2 \cdot 10^{-5} \text{ cm} \quad (d = 0.4 \mu)$$

Analog elektr. räumlich ist der Wert  $K H$

$$\frac{D-1}{4\pi}$$



$$k = 6 \cdot 10^5$$

$$V = 4 \cdot 10^{-12}$$

$$7 \cdot \frac{4.3}{8} \cdot \varepsilon \cdot 4 \cdot 10^{-14} \cdot \frac{26 \cdot 10^{-8} \text{ h}^2}{K \cdot 10^{-14}}$$

$$84 \cdot \varepsilon^2 \cdot h^2 = 10^8$$

$$\varepsilon^2 h^2 = 10^6$$

$$h = 10^3$$

$$\frac{2\pi \sin \theta}{\lambda} e^{-\alpha \sin^2 \theta} d\theta$$



Besten Widerstand eines Gitters in einer vertikalen Linie in Richtung  $\perp$   
 Näherung: 2al pc V

Annahme: Divergenz in  $\perp$  Richtung  $\Delta = \sqrt{\epsilon} \sqrt{\frac{H^2}{N} \frac{1}{al pc}}$   $a = 10^{-5}$   
 $l = 1$

$$\left. \begin{aligned} H &= 8.3 \cdot 10^7 \\ \theta &= 300 \\ N &= 6 \cdot 10^{23} \end{aligned} \right\} \frac{H^2}{N} = \frac{8.3 \cdot 10^7 \cdot 300}{6 \cdot 10^{23}} = 4.2 \cdot 10^{-14}$$

$$= \sqrt{\epsilon} \sqrt{\frac{4.2 \cdot 10^{-14}}{10^{-5} \cdot 5 \cdot 10^4 \cdot 0.0013 \alpha}}$$

$$c = 5 \cdot 10^4$$

$$\epsilon = 0.0013 \cdot \alpha \quad \leftarrow \text{Kürzung}$$

$$= \sqrt{\epsilon} \sqrt{\frac{4.2}{6.5} \cdot \frac{10^{-10}}{\alpha}} \neq \sqrt{\epsilon} \frac{10^{-5}}{\sqrt{\alpha}}$$

$$\text{dann } \alpha = 10^{-6}$$

$$\Delta = \sqrt{\epsilon} 10^{-2} \text{ cm}$$

ca. 0.1 mm

$$\Phi = C \int \epsilon r f(r) e^{\frac{h U_n}{\epsilon}} dr$$

$$\frac{\partial \Phi}{\partial r} = C \int \epsilon r f(r) e^{\frac{h U_n}{\epsilon}} dr + C \int \epsilon f(r) e^{-\frac{h U_n}{\epsilon}} dr - C \int \epsilon r f(r) e^{-\frac{h U_n}{\epsilon}} dr$$

$$\frac{1}{\sqrt{10^6}} = \frac{1}{2} 10^{-3} = 2$$

$$2a = 0.14 \mu = 0.14 \cdot 10^{-4}$$

$$\frac{2a}{R} = \frac{0.014}{\frac{1}{2}} = 0.03$$

$$\sqrt{\frac{2 \cdot 4 \cdot 10^{-14}}{300 \cdot 10^9 \cdot \pi \cdot 10^{20}}} = \sqrt{2 \cdot 10^{-6}}$$

$$\Delta \varphi = 3 \cdot 10^{-3}$$

$$= 0.003$$

$$= \frac{1}{20} \approx 3'$$

$$d = 10^{-5}$$

$$= 12'$$

Freigabezeit 24'



Lagrange:

207

$$m \frac{d^2 x_1}{dt^2} = -6\pi\mu a \frac{dx_1}{dt} + \frac{q}{2} \pi\mu a^2 \left[ \frac{dx_2}{dt} + \frac{1}{r_{13}} \frac{dx_3}{dt} + \dots \right] + X_1$$

$$m \frac{d^2 x_2}{dt^2} = -6\pi\mu a \frac{dx_2}{dt} + \frac{q}{2} \pi\mu a^2 \left[ \frac{1}{r_{12}} \frac{dx_1}{dt} + \frac{1}{r_{23}} \frac{dx_3}{dt} + \dots \right] + X_2$$

$$m \frac{d^2 x_3}{dt^2}$$

$$m \left[ x_1 \frac{d^2 x_1}{dt^2} + x_2 \frac{d^2 x_2}{dt^2} + \dots \right] = -6\pi\mu a^2 \left[ x_1 \frac{dx_1}{dt} + x_2 \frac{dx_2}{dt} + \dots \right] + \frac{q}{2} \pi\mu a^2 \left[ \frac{x_1 dx_2}{dt} + x_2 dx_1 + \dots \right] + [X_1 x_1 + \dots]$$

$$\frac{1}{r_{12}} \frac{d}{dt}(x_1 x_2) + \frac{1}{r_{13}} \frac{d}{dt}(x_1 x_3) + \dots = \frac{1}{r_{12}} \frac{d}{dt}(x_1^2) + \frac{1}{r_{12}} \frac{d}{dt}(x_2^2) - \frac{1}{r_{12}} \frac{d}{dt}(x_1 - x_2)^2$$

$$\frac{1}{r_{12}} \frac{d}{dt}(x_1^2) + \frac{1}{r_{12}} \frac{d}{dt}(x_2^2) - \frac{1}{r_{12}} \frac{d}{dt}(x_1 - x_2)^2$$

= -

$$\Phi = \sum r f(r) = pV - R\theta$$

$$\sum \Delta r \cdot f(r) + \sum r f(r) dr = \left[ \int \frac{d}{dr} (r f(r)) dr \right]$$

$$\delta \Phi = \delta H + A_f \delta v$$

$$\int_{v_0}^v (f(r)) dr = \frac{\partial \Phi}{\partial v} \frac{(v-v_0)^2}{2} + \dots$$

$$\left[ \sum r f(r) \right]_0 = p_0 v_0 - R\theta$$

$$p v = R\theta + \Phi$$

$$= p_0 v_0 + (\Phi - \Phi_0)$$

$$p = \frac{p_0 v_0 - \Phi_0}{v} + \frac{\Phi}{v}$$

$$\int_{v_0}^v (f(r)) dr = p_0 v_0 \left[ \gamma \frac{v}{v_0} - \frac{v}{v_0} + 1 \right] + \int_{v_0}^v \frac{\Phi - \Phi_0}{v} dv + \dots$$

$$\Phi - \Phi_0 = \left( \frac{\partial \Phi}{\partial v} \right) (v - v_0) + \frac{1}{2} \left( \frac{\partial^2 \Phi}{\partial v^2} \right) (v - v_0)^2 + \dots$$

$$\left( \frac{\partial \Phi}{\partial v} \right)_0 \int_{v_0}^v \left( 1 - \frac{v_0}{v} \right) dv = \left( \frac{\partial \Phi}{\partial v} \right)_0 \left[ v - v_0 - v_0 \gamma \frac{v}{v_0} \right]$$

$$\int_{v_0}^v (f(r)) dv = \left[ p_0 v_0 - v_0 \left( \frac{\partial \Phi}{\partial v} \right)_0 \right] \left[ \frac{v^2}{2} \right]$$

de mi modo substatu in to pto uone  $\frac{p}{p_0}^2$

$$\gamma \frac{v}{v_0} + 1 = \gamma - \frac{v}{v_0} - \frac{v}{v_0} - \frac{v}{v_0}$$







Also Frage:

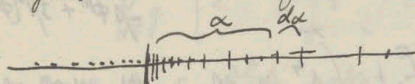
208

Gegeben ist angeführte Abweichung

- 2) Wie gross ist der <sup>mittlere</sup> Quadratwert der Abweichung nach Verlauf der Zeit  $t$ ?
- <sup>mittler</sup> Wert jedoch falls der mittl. Abs-zu, also kann man auch fragen, welche Zeit dauer gilt als Masszahl des Verschwindens des Einflusses der ursprünglichen Lage?

- 1) Wie gross ist der mittlere Wert der Abweichung nach Verlauf der Zeit  $t$ ?

- 3) Wie gross ist die <sup>mittl.</sup> Veränderung nach Abl- $t$ ?



$$dN = F(x) dx = a e^{-\frac{N}{H\theta} \Phi(x)} dx$$

$$dN = a e^{-\frac{K}{H\theta} \left[ \Phi(x) + \frac{K}{2} x^2 \right]} dx$$

Wird  $\frac{\partial \Phi(x)}{\partial x}$  benutzt ~~beziehung der~~ <sup>mittl.</sup> Veränderung

$$\Delta(x) = x_t - x_0 = \frac{1}{K} - \frac{1}{K} \frac{\partial \Phi}{\partial x} \cdot t$$

$$\dot{x}_t = \dot{x}_0 - \frac{1}{K} \frac{\partial \Phi}{\partial x} \cdot t$$

$$x_t = x_0 + t \dot{x}_0 + \frac{t^2}{2} (\ddot{x})_0 + \dots$$

$$= -\frac{1}{K} \left[ \left( \frac{\partial \Phi}{\partial x} \right)_0 + \beta (\ddot{x})_0 \right]$$

$$K \frac{dx}{dt} = -\beta \frac{d\Phi}{dt} = \frac{\partial \Phi}{\partial x}$$

$$= x_0 + t (\dot{x})_0 - \frac{t^2}{2K} \left[ \left( \frac{\partial \Phi}{\partial x} \right)_0 + \beta (\ddot{x})_0 \right]$$

$$\Delta x_t = \Delta x_0 - \frac{t^2}{2K} \left( \frac{\partial \Phi}{\partial x} \right)_0 \Delta x_0 - \left( t + \frac{t^2}{2K} \right) \Delta \dot{x}_0$$

$$W(x_t) dx_t = a e^{-\frac{N}{H\theta} \Phi(x_t)} \left\{ 1 - \frac{t^2}{2K} \left( \frac{\partial \Phi}{\partial x} \right)_0 \right\} \left( t + \frac{t^2}{2K} \right) e^{-\frac{N}{H\theta} \frac{K}{2} x^2} dx$$

$$W(x_t) dx_t = W(x_0 \dots x_0) W(\dot{x} \dots \dot{x} + t \dot{x}_0)$$

$$= a e^{-\frac{N}{H\theta} \Phi(x_0)} e^{-\frac{N}{H\theta} \frac{K}{2} x^2}$$

$$\dot{x}_0 = \frac{x_t - x_0 + \frac{t^2}{2K} \left( \frac{\partial \Phi}{\partial x} \right)_0}{t + \frac{t^2}{2K}}$$

Angenommen  $x_0$  können die Punkte im Selbst  $\Delta x_t$  gelangen falls entsprechend  $\dot{x}_0$  gewählt werden

Anzahl  $\Delta x_t \dots \Delta x_t$ :  $\Delta x_t$  nehmen wir gross an gegenüber  $\Delta x$

$$\int a e^{-\frac{N}{H\theta} \Phi(x_0)} da e^{-\frac{N}{H\theta} \frac{K}{2} \left( \frac{x_t - x_0 + \frac{t^2}{2K} \frac{\partial \Phi}{\partial x}}{t + \frac{t^2}{2K}} \right)^2} \Delta x_t$$



Erstmal, 178. Streich:  $+0 \neq \frac{\partial F}{\partial \alpha} = \int_{-\infty}^{\infty} \tilde{F}(\alpha-\Delta) \chi(\Delta) d\Delta - \int_{-\infty}^{\infty} \tilde{F}(\alpha+\Delta) \chi(\Delta) d\Delta$

$\chi$  hängt von  $\alpha$  ab

$$-B \left( \frac{\partial \Phi}{\partial \alpha} \right)_{\alpha_0} + F(\alpha_0) + \int_0^{\infty} \tilde{F}(\alpha_0 - \Delta) \chi(\Delta) d\Delta - \int_0^{\infty} \tilde{F}(\alpha_0 + \Delta) \chi(\Delta) d\Delta = 0$$

$\frac{N}{\partial \theta} F(\alpha_0) \frac{\partial \Phi}{\partial \alpha} = \frac{\partial F}{\partial \alpha}$

$$\int_0^{\infty} [\tilde{F}(\alpha_0 - \Delta) - \tilde{F}(\alpha_0 + \Delta)] \chi(\Delta) d\Delta = 0$$

$$\left[ -2\Delta \left( \frac{\partial F}{\partial \alpha} \right)_{\alpha_0} - \frac{2\Delta^3}{3!} \left( \frac{\partial^3 F}{\partial \alpha^3} \right)_{\alpha_0} \right] \chi(\Delta) d\Delta$$

$$\frac{1}{2} \left( \frac{\partial F}{\partial \alpha} \right)_{\alpha_0} \int_{-\infty}^{\infty} \Delta^2 \chi(\Delta) d\Delta + \frac{1}{4!} \left( \frac{\partial^3 F}{\partial \alpha^3} \right)_{\alpha_0} \int_{-\infty}^{\infty} \Delta^4 \chi(\Delta) d\Delta$$

$e^{-\rho \phi}$   
 $-\rho \phi e^{-\rho \phi}$   
 $[-\rho \phi^2 + \rho^2 \phi^2] e^{-\rho \phi}$   
 $-\rho \phi^3 + 3\rho^2 (\phi^2 \phi)$   
 $\phi^3 + \phi^1 \phi^3 \cdot \phi^2$   
 $\phi^3 + \phi^1 \phi^2 \phi^1 \phi^2 \phi^3 \dots$

$$+0 \neq = \frac{1}{2} \frac{N}{\partial \theta} \bar{\Delta}^2 + \frac{1}{4!} \frac{N}{\partial \theta} \bar{\Delta}^4 \left[ \frac{\Phi''' - 3\frac{N}{H\theta} \Phi' \Phi'' + \left(\frac{N}{H\theta}\right)^2 \Phi'^3}{\Phi'} \right]$$

where  $\lim_{\alpha \rightarrow 0} \Phi = c\alpha$

why by the way the vanishing of the first term is very

apart  $c=0$   $\rightarrow$   $\lim_{\alpha \rightarrow 0} \Phi = 0$

to many other things zero

or more precisely  $\Phi = +\frac{N}{2} \alpha^2$ ,  $\Phi' = +N\alpha$ ,  $\Phi'' = +N$ ,  $\Phi''' = 0$

$$\partial A = \frac{1}{2} \frac{N}{H\theta} \bar{\Delta}^2 + \frac{1}{4!} \left( \frac{N}{H\theta} \right)^2 \bar{\Delta}^4 \left[ -\frac{N}{4\theta} \alpha^2 + 3N \right]$$

immediately by the particular:  $\psi(\Delta) = e^{-\mu \Delta^2} (1 + \nu \Delta)$

or more precisely  $\alpha \rightarrow 0$   $\rightarrow$   $\lim_{\alpha \rightarrow 0} \Phi = 0$

$$\partial A = \frac{1}{2} \frac{N}{\partial \theta} \bar{\Delta}^2 + \frac{1}{4!}$$



10. Schwebel  $\Phi = mg y$

$$-Dgt + e^{-\frac{N}{H\theta} g \alpha} + \int_0^\infty \left[ e^{-\frac{N}{H\theta} g(\alpha-\Delta)} - e^{-\frac{N}{H\theta} g(\alpha+\Delta)} \right] \chi(\Delta) d\Delta$$

$$-Dgt + \int_0^\infty \left( e^{\frac{N}{H\theta} g \Delta} - e^{-\frac{N}{H\theta} g \Delta} \right) \chi(\Delta) d\Delta = 0$$

$$2 \frac{N}{H\theta} g \int_0^\infty \Delta \chi(\Delta) d\Delta$$

$$\frac{1}{H\theta} \left\{ e^{\frac{N}{H\theta} g \Delta} \chi(\Delta) + \int_0^\infty e^{\frac{N}{H\theta} g \Delta} \chi(\Delta) d\Delta \right\}$$

$$+ \frac{1}{H\theta} \left\{ e^{-\frac{N}{H\theta} g \Delta} \chi(\Delta) + \int_0^\infty e^{-\frac{N}{H\theta} g \Delta} \chi(\Delta) d\Delta \right\}$$

$$\int \chi(\Delta) d\Delta$$

$$\int_0^\infty \chi(\Delta) \left[ e^{\frac{N}{H\theta} g \Delta} + e^{-\frac{N}{H\theta} g \Delta} \right] d\Delta$$

$$\left[ 1 + \frac{1}{2} \left( \frac{N}{H\theta} g \Delta \right)^2 + \frac{1}{4!} \left( \frac{N}{H\theta} g \Delta \right)^4 + \dots \right] \chi(\Delta) d\Delta$$

$$\# D t = \frac{1}{2} \frac{N}{H\theta} \bar{\Delta}^2 + \frac{1}{4!} (mg)^2 \left( \frac{N}{H\theta} \right)^3 \bar{\Delta}^4 + \dots$$

Diagram showing a coordinate system with axes and a curve, with labels like  $\Delta$  and  $\chi(\Delta)$ .

$$= \frac{1}{2} \frac{N}{H\theta} \bar{\Delta}^2 \left[ 1 + \frac{1}{12} (mg)^2 \left( \frac{N}{H\theta} \right)^2 \frac{\bar{\Delta}^2}{\bar{\Delta}^2} \right]$$

und vielmehr  $Dt \cdot \frac{N}{H\theta} (mg)^2$

also kommt nicht zu langen Faktoren zu vernachlässigen

$$F(x) = F(0) + \alpha F'(0) + \frac{\alpha^2}{2} F''(0) + \dots$$

$$\frac{H\theta}{N} Dt = \frac{1}{2!} \bar{\Delta}^2 + \frac{1}{4!} \bar{\Delta}^4 \left( \frac{\partial^2 F}{\partial \alpha^2} \right) + \frac{1}{6!} \bar{\Delta}^6 \left( \frac{\partial^4 F}{\partial \alpha^4} \right)$$

$$F = e^{-\frac{N}{H\theta} \frac{x^2}{2}}$$

$$\frac{dF}{d\alpha} = \frac{dF}{d(\alpha x)} \frac{dx}{d\alpha} = 2\alpha \frac{dF}{d(\alpha^2)}$$

$$= \frac{1}{2!} \bar{\Delta}^2 + \frac{1}{4!} \bar{\Delta}^4 (1.3) \left( \frac{N}{H\theta} \right) + \frac{1}{6!} \bar{\Delta}^6 (1.3.5) \left( \frac{N}{H\theta} \right)^2 + \frac{1}{8!} \bar{\Delta}^8 (1.3.5.7) \left( \frac{N}{H\theta} \right)^3$$

$$= \frac{1}{2!} \bar{\Delta}^2 + \frac{1}{2.4} \bar{\Delta}^4 \frac{1}{2.4.6}$$

$$= \frac{1}{1!} \frac{\bar{\Delta}^2}{2} + \frac{1}{1.2} \frac{\bar{\Delta}^4}{2^2} \frac{N}{H\theta} + \frac{1}{1.2.3} \frac{\bar{\Delta}^6}{2^3} \left( \frac{N}{H\theta} \right)^2 + \dots$$

$$\frac{1}{2.4.6.8} \frac{\bar{\Delta}^8}{2^4} \left( \frac{N}{H\theta} \right)^3$$



und t  
Durch Spreizen erhält man:

$$0 = \int_0^{\infty} [F(x-\Delta) - F(x+\Delta)] \frac{d^2 \chi(\Delta)}{d\Delta^2} d\Delta$$

$$= \varphi(\Delta) = a_0 + a_1 \Delta + a_2 \Delta^2 + \dots$$

Koeffizient  $a_0, a_1, a_2, \dots$  bestimmbar von  $F$  gegen

$$\text{also } \varphi(\Delta) = f_1(x)$$

somit auch  $\varphi(\Delta) = f_1(x)$ ! also auch  $\varphi(\Delta) = -\varphi(\Delta)$  nicht möglich  
in dem Fall

Wenn also  $\varphi(\Delta)$  eingeführt wird erhält man:

$$\text{D.h. } \frac{N}{H\theta} F'_1(x) = \Delta_1 F_1 - \Delta_2 \frac{F'_1}{2} + \Delta_3 \frac{F''_1}{2!} - \dots$$

$$A = \int_0^{\infty} \Delta^2 e^{-\Delta^2} d\Delta = \frac{1}{2\alpha}$$

$$\frac{Nmc\delta^2}{H^2} = \frac{Nmc\delta\theta^2}{2H\theta^2 mc}$$

$$\alpha = \frac{N}{2H\theta^2 mc}$$

$$\text{mit } W(\Delta) = a e^{-\frac{N}{H\theta} \Delta^2}$$

$$A = \beta \frac{x^2}{2}$$

$$x = \sqrt{\frac{2A}{\beta}}$$

$$dA = \beta x dx$$

$$W(\Delta) d\Delta = a e^{-\frac{N}{H\theta} \Delta^2} d\Delta$$

$$W(\Delta) d\Delta = a \sqrt{\frac{2A}{\beta}} e^{-\frac{2A}{\beta}} d\Delta$$

also muss auch

$$\frac{Nmc}{H} = \frac{3}{2} n$$

$$\sqrt{\frac{2A}{\beta}} = \sqrt{\frac{H}{Nmc}} = \sqrt{\frac{2}{3n}}$$

Wann also

$$W(\Delta) d\Delta = A e^{-\frac{3}{4} n \Delta^2} d\Delta$$

Folglich

$\Phi$  ist eine quadratische Funktion des Exzess und der Wärmehöhen besitzt zueinander Symmetrie.  
also ist  $\delta^2 = \frac{H}{2Nmc}$

Es müsste also sein:

$$W(\Delta) d\Delta = A e^{-\frac{Nmc\delta^2}{H} \Delta^2} d\Delta$$

$$\frac{\delta^2 W}{W} = \frac{2H}{Nmc}$$

$$\delta^2 = \frac{1}{2} \frac{H}{Nmc}$$

$$W(\Delta) d\Delta = \frac{1}{\sqrt{2\pi\delta^2}} e^{-\frac{\Delta^2}{2\delta^2}} d\Delta = \frac{1}{\sqrt{2\pi\delta^2}} e^{-\frac{\Delta^2}{H/Nmc}} d\Delta$$

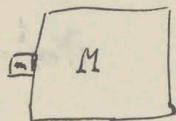


$$-(S_0 - S_1) = \int_0^1 \frac{\delta \Phi}{\theta}$$

loss of available energy page 1. 61, 67

$$\delta \Phi_1 = c_v d\theta_1 m$$

$$\int c_v \frac{d\theta}{\theta}$$



no energy here for  $S_0$   $\theta_0$

$$m \theta_1 + M \theta_2 = (m+M) \theta_0$$

$$m d\theta_1 = -M d\theta_2$$

$$= m_1 c_v \int_0^1 \frac{d\theta_1}{\theta_1} - M c_v \int_0^1 \frac{\frac{m}{M} d\theta_1}{\frac{m+M}{M} \theta_0 - \frac{m}{M} \theta_1}$$

$$\int_0^1 \frac{m d\theta_1}{(m+M) \theta_0 - m \theta_1}$$

$$= m_1 \gamma_2 \frac{\theta_1}{\theta_0} + M \gamma_2 \left[ \frac{(m+M) \theta_0 - m \theta_1}{M \theta_0} \right]$$

$$\gamma_2 \left( 1 + \frac{m}{M} \left( \frac{\theta_1}{\theta_0} \right) \right)$$

$$\theta_1 = \theta_0 [1 + \delta]$$

$$\frac{S_0 - S_1}{c_v} = m \gamma_2 (1 + \delta) + M \gamma_2 \left[ 1 - \frac{m}{M} \delta \right]$$

$$= m \left[ \delta - \frac{\delta^2}{2} + \frac{\delta^3}{3} \right] - M \left[ \frac{m}{M} \delta - \frac{m^2}{M^2} \delta^2 \right]$$

$$= -m \delta^2 + \frac{m^2}{M} \delta^2$$

$$= -m \frac{\delta^2}{2}$$

$$W(\delta) d\delta = A e^{-\frac{1}{2} m \delta^2} d\delta$$

$$m c_v \frac{\delta^2}{2} = \frac{H}{2N}$$

$$\sqrt{\delta \Phi} = ?$$

$$m c_v \sqrt{\delta \Phi} = \theta$$

$$\sqrt{\delta \Phi} = \theta \sqrt{\frac{H}{N} \frac{1}{m c_v}}$$

also has kinetic energy in

$$\frac{H \theta}{N} = 4 \cdot 10^{-14}$$

$$m = 10^3$$

$$\sqrt{\delta \Phi}^2 = 300 \sqrt{4 \cdot 10^{-14}}$$

$$c = 0.2$$

$$6.10^3 \sqrt{80 \cdot 10^{-14} \cdot 2 \cdot 10^3 \cdot 10^3} = 6.10^3 [32 \cdot 10^{11}]$$

$$= 6 \sqrt{32} \cdot 10^{13} = 10 \text{ gcal}$$

$$10 \text{ gcal} = 10 \cdot 10^{-4} \text{ gcal} = 10 \text{ gcal}$$

2. Ann. 18. 9  
spiral not then why am I wrong  
1/7 mm



$$e^{+\frac{N}{H\delta} \left[ m \gamma (1+\delta) + M \gamma (1 - \frac{m}{M} \delta) \right]}$$

$$= (1+\delta)^{+m \frac{N}{H\delta}} \underbrace{\left(1 - \frac{m}{M} \delta\right)^{+M \frac{N}{H\delta}}}_{m \frac{N}{H\delta} \delta} = e$$

$$= \left[ \frac{e}{1+\delta} \right]^{-m \frac{N}{H\delta}}$$

$$W(\delta) d\delta = \left[ \frac{1+\delta}{e} \right]^{m \frac{N}{H\delta}} d\delta$$

für  $\delta$   $m = n \frac{\mu}{N}$   $c = \frac{3}{2} R = \frac{1}{2} \frac{H}{\mu}$

$$\boxed{\text{Exponent} = \frac{3}{2} n}$$

Exponent  $\approx 1.57$

$$\frac{(\overline{E-E})^2}{(\overline{E})^2} = \frac{\overline{\varphi^2}}{\overline{\varphi}^2} = \frac{1}{3n}$$

$$\overline{\varphi} = \frac{\varphi}{\sqrt{3n}} = \frac{m \frac{c}{H}}{\sqrt{3n}}$$

$$\sqrt{\overline{\varphi}^2} = \frac{1}{\sqrt{3n}}$$

stimmt!

$$\begin{aligned} \frac{\sqrt{H\delta}}{N \frac{H}{\mu} c} &= c = \frac{3}{2} R \\ \frac{\sqrt{2 H \delta}}{3 N \frac{H}{\mu} R} &= \frac{2}{3} \frac{\mu}{N M} \\ &= \sqrt{\frac{2}{3}} \frac{\mu}{n} \end{aligned}$$

$$(1+\delta)^{\frac{1}{\delta}} = e$$

also müssen Schwankung  $\delta$  kleiner werden selbst

$$m \frac{N}{H\delta} = 1$$

$$20. c = 1$$

$$n = \frac{4 \cdot 10^{14}}{300} = \frac{4}{3} n a^3$$

$$\begin{aligned} a &= \left[ \frac{10^{-14}}{300} \right]^{1/3} = \frac{1}{\sqrt[3]{300}} \\ &= \left[ 33 \cdot 10^{-17} \right]^{1/3} = 2 \cdot 10^{-6} \\ &= 3 \cdot 10^{-6} \text{ cm} = 0.03 \mu \end{aligned}$$

$$\text{Angabe } a = 0.2 \mu = 2 \cdot 10^{-5}$$

$$\overline{\varphi}^2 = \frac{1}{300}$$

$$\sqrt{\overline{\varphi}^2} = \frac{1}{17} \quad \angle \Delta \theta = 12^\circ$$



$$\bar{\sigma}^2 = \frac{H}{N m c}$$

$$\frac{H}{N} = 1.3 \cdot 10^{-16}$$

Wasser gas,  $a = 0.2 \mu = 2 \cdot 10^{-5}$

$$m = 4.9 \cdot 10^{-15} \cdot 1.3 \cdot 10^{-3}$$

$$c = 0.17$$

$$\frac{1.3 \cdot 10^{-16} \cdot 10^3}{32.13 \cdot 10^{-15} \cdot 0.17} = \frac{10^2}{32.17} = > 1$$

$$\frac{H}{N \cdot a^3} = 0.0012 \cdot 0.17$$

$$a^3 = \frac{1.3 \cdot 10^{-16}}{4.02 \cdot 10^{-3}} = 1.6 \cdot 10^{-13}$$

$$= 0.16 \cdot 10^{-12}$$

Wasserstoff d.h.:  $a = 0.5 \cdot 10^{-4} = 0.5 \mu$

$$\bar{\sigma}^2 = 1$$

$$d = \left[ \frac{1}{1000} \text{ mm} \right]$$

transversale:  $\approx$  nehmen wir  $\approx$  mit Dichte von  $0.4 \mu$  Durchmesser?

Widerstand eines solchen Drahtes  $4 \cdot 10^{-10} \quad \frac{40.00 \cdot 4 \cdot 10^{10}}{1000} = 1.6 \cdot 10^{-6}$

1.0 mm pro  $1.6 \cdot 10^{-6} \text{ cm}$ !

Kann es bei Thermoelektronen auf  $\approx$  Schmelztemperatur an?

$$\frac{\int v^6 e^{-\dots}}{\int v^2 e^{-\dots}} = \frac{15}{4} \frac{4}{4} = \frac{15}{4} \frac{4}{4} c^2 = \frac{15}{3} c^2$$

$$\left( \frac{v^2 - c^2}{c^2} \right)^2 = \frac{v^4}{c^4} - 2 + 1$$

$$= \frac{2}{3}$$



wunde Anzahl Ionen  $\frac{+v}{-v}$

Concentration  $\frac{1}{2}$

$$+ v(1+\delta) \quad \frac{1}{2}(1+\delta)$$

$$- v(1-\delta) \quad \frac{1}{2}(1-\delta)$$

Durch osmotischen Druck auszuübende Arbeit wenn  $v(1+\delta)$  das ihm zugehörige Volumen

$A_w$

wie bei Gasvolumen

$$\frac{-v\delta^2}{2} = -\frac{N}{H_0} \cdot \left( \frac{H_0}{N} \frac{v\delta^2}{2} \right)$$

$$A_w = \frac{H_0}{N} v\delta^2$$

Ausenden elektrische potentielle Energie: Ladungsüberschuss  $Q = 2v\delta e$

verteilt auf Volumen  $V$  auf alle möglichen Arten

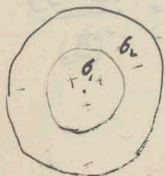
mittlere Energie

$$\bar{W} = \frac{\sum W e^{-\frac{H_0}{N} W}}{\sum e^{-\frac{H_0}{N} W}}$$

abhängig von Gestalt und Größe  $V$  und auch von der Umgebung

Größenordnung Kugel mit gleichförmiger Volumendichte

versteht sich in der Umgebung der äquivalenten - Ladungsmenge unter



Annahme: Kugelschalen-Lagerung  
gleichförmig in Innen und gleichförmig in Außen

$$U_{1,2} = \frac{4\pi}{3} r_1^2 \phi_1 + \frac{4\pi}{3} (r_2^2 - r_1^2) \phi_1 - 2\pi (r_2^2 - r_1^2) \phi_2$$

$$U_{1,2} = \frac{4\pi}{3} r_1^2 \phi_1 - \frac{4\pi}{3} \frac{r_2^3 - r_1^3}{r_2} \phi_2 = 2\pi (r_2^2 - r_1^2) \phi_2$$

bestimmt: Kugel allein hat pot. Energie  $\frac{32}{15} \pi r_1^2 \phi_1^2$

mit Verteilung:  
für  $r_2 = a$

$$\frac{16.33}{5.49} \pi r_1^2 \phi_1^2$$

fast dasselbe!



$$4\pi \left[ \int_0^{a_1} U_{1,2} b_1^2 r_1^2 dr_1 + \int_{a_1}^{a_2} U_{1,2} b_2^2 r_2^2 dr_2 \right]$$

$$4\pi a_1^5 b_1^2 \left\{ \frac{4}{15} - \frac{2}{5} + \frac{2}{3} \right\} = \frac{32}{15} \pi a_1^5 b_1^2$$

212

$$= 4\pi \left\{ \frac{4}{3} \pi b_1^2 a_1^5 - 2\pi b_1^2 \frac{a_1^5}{5} + 2\pi [a_1^2 b_1^2 - (a_1^2 - a_2^2) b_2^2] \frac{a_1^3}{3} \right\}$$

$$+ \frac{4}{3} \pi a_1^3 b_2^2 \frac{a_2^3 - a_1^3}{3} + \frac{4}{3} \pi a_1^3 b_1^2 \frac{a_1^2 - a_2^2}{2} + \frac{4\pi}{3} b_1^2 \frac{a_1^5 - a_2^5}{5} + 2\pi b_1^2 a_1^2 \frac{a_1^3 - a_2^3}{3} - 2\pi b_1^2 \frac{a_1^5 - a_2^5}{5}$$

$$a_1^5 b_1^2 \left( \frac{4\pi}{15} - \frac{4\pi}{5} + \frac{2}{3} \pi \right) - \frac{4\pi a_1^3 (a_1^2 - a_2^2) b_1 b_2}{3}$$

$$- \frac{4\pi a_1^3 (a_1^2 - a_2^2) b_1 b_2}{3} - \frac{2}{3} \pi a_1^3 b_1^2 (a_1^2 - a_2^2)$$

$$\frac{4-6+10}{15}$$

$$= \frac{8}{15}$$

$$+ \frac{2}{3} \pi a_1^3 b_1^2 (a_1^2 - a_2^2)$$

$$+ \frac{2}{3} \pi a_2^2 (a_1^3 - a_2^3) b_1^2$$

$$- \frac{2\pi}{15} \frac{(a_1^5 - a_2^5)}{1} b_1^2 \quad \frac{4}{15} - \frac{4}{5} = \frac{4-6}{15}$$

$$\frac{4\pi}{15} a_1^5 b_1^2 - \frac{4\pi}{3} a_1^3 (a_1^2 - a_2^2) b_1 b_2$$

$$+ \left( \frac{4\pi}{5} a_1^5 - \frac{4\pi}{3} a_1^3 a_2^2 + \frac{8\pi}{15} a_1^5 \right) b_1^2$$

$$a_1^5 \left( \frac{4}{3} + \frac{2}{15} \right) \quad \frac{10+2}{15} = \frac{4}{5} = -\frac{2}{15}$$

$$a_1^3 a_2^2 \left( -\frac{2}{3} - \frac{2}{3} \right)$$

$$a_2^5 \left( \frac{2}{3} - \frac{2}{15} \right) \quad \frac{10-2}{15}$$

$$b_1 a_1^3 = b_2 (a_1^3 - a_2^3)$$

$$= \frac{4\pi}{3} a_1^5 \left[ \frac{2}{5} b_1^2 + b_1 b_2 + \frac{3}{5} b_2^2 \right]$$

$$b_1 + b_2 = b_2 \left( \frac{a_1^3 - a_2^3}{a_1^3} + 1 \right) = b_2 \frac{a_1^3}{a_1^3}$$

$$- \frac{4\pi}{3} a_1^5 a_2^2 (b_1 b_2 + b_2^2) + \frac{8\pi}{15} a_1^5 b_1^2$$

$$\frac{2}{5} b_2^2 \left\{ \left[ \frac{a_2^3}{a_1^3} - 1 \right]^2 + \frac{a_2^3}{a_1^3} - 1 + \frac{2}{5} \right\}$$

$$b_1^2 \frac{a_1^3}{a_1^3} = \left( \frac{8}{15} - \frac{4}{3} \right) \pi a_1^5 b_2^2$$

$$\left( \frac{a_2}{a_1} \right)^6 - \left( \frac{a_2}{a_1} \right)^3 + 1 + \frac{2}{5}$$

$$= \frac{4}{3} \pi a_1^5 \left[ \left( \frac{a_2}{a_1} \right)^6 - \left( \frac{a_2}{a_1} \right)^3 + \frac{2}{5} \right] b_2^2 - \frac{4}{5} \pi a_2^5 b_2^2$$

$$\text{Hence } a_2 = 2a_1 \quad // \quad b_1 = 7b_2$$

$$= \left[ \frac{4}{3} \pi \left[ 64 - 8 + \frac{2}{5} \right] - \frac{4}{5} \pi \cdot 32 \right] \frac{b_2^2}{49} a_1^5 \cdot 4\pi$$

$$\frac{56 \cdot \frac{4}{3} + 4 - \frac{4 \cdot 32}{5}}{4 \left[ \frac{180 + 15 - 96}{15} \right]} = \frac{4 \cdot 33}{5}$$



W *Summierung*: 
$$= \frac{6}{5} : \frac{4}{3} n_0^3 \delta_1 \frac{4 a_1^3 n_0}{3} = \frac{6}{5} \frac{\Phi^2}{a_1} = \frac{6}{5} \frac{(2v \delta e)^2}{a_1} \frac{1}{K} \quad \text{von Dirichlet. Konst.}$$

Gesamt Arbeit: 
$$\frac{40}{N} v \delta^2 + \frac{6}{5} \frac{4 v^2 e^2}{a} \delta^2 = \frac{1}{2} \frac{40}{N}$$

Also elektrisches Potential größer je größer Concentration und je größer Volumen

$$\sqrt{\delta^2} = \frac{1}{\sqrt{2v \left[ 1 + \frac{24}{5} \frac{v e^2}{a} \frac{N}{40} \right]}}$$

mittlerer Ladungsüberschuss:  $\bar{\Phi} = 2v \delta e$

$$\neq e \sqrt{\frac{2v}{1 + \frac{24}{5} \frac{v e^2}{a} \frac{N}{40}}}$$

(abnehmend entsprechend mit  $v$ )

$e = 4.8 \cdot 10^{-10}$

$\lim_{v \rightarrow \infty} \bar{\Phi} = \sqrt{\frac{40}{N} \frac{5}{12} a}$

primär  $10^{-7}$  elektrost.  
= 200 Elektronen

gilt falls  $v > \frac{5}{24} \frac{a}{e^2} \frac{40}{N}$

$\frac{5}{24} \frac{a \cdot 10^6}{23} \neq a \cdot 10^4$

entspricht Volt  $\sqrt{\frac{40}{N} \frac{5}{12} \frac{1}{a}}$

~~invariant~~  $v \neq n \cdot 4 a^3$

$4 a^2 n \neq 10^4$

$a > \frac{10^2}{2\sqrt{n}}$

Abstand der + Ionen  $a^2$

, d.h. in Räumen, wo  $a$  klein ist, bleibt die Debye-Formel nassigend

20. 1% NaCl

$\frac{1}{100} \frac{NaCl}{23.35}$

58

~~$n = \frac{6 \cdot 10^{23}}{58.00} = 10^{20}$~~

$a \geq \frac{10^{-8}}{\sqrt{2}}$  Debye-Formel  
überlegt nicht  
anwendbar

also über den elektr. Ionen Kräfte eine sehr stark vermind. Wirkung aus

Verminderung des Opalears Spritz!







Ist Strahlung im Impuls gleichwertig nicht auch Rotationsbewegung

~~Wird ausgeglichen~~

Ist also Rotationsbewegung nicht diffusierbar als diffuse Schallstrahlung?

↓  
umgekehrte Rotationsbewegung fester Körper wie jeder Punkt für sich periodisch schwingt, wenn  
nicht Wechselwirkung

Analogie: Rotationsbewegung fester Körper und Wärmestrahlung innerhalb  
absorbierender Hohlraumstrahlung?

Hängt unter anderem: alle Punkte des Körpers Schallstrahlung vermitteln können, sind  
im Inneren mit Rotationsbewegung beaufschlagt

Daher gibt es für Wärmestrahlung im Vakuum, welches selbst aktiv nicht  
teilnimmt!

Alle Punkte über Abweichung ungefügt für unendlich kleine Vorsatzungsgebiete

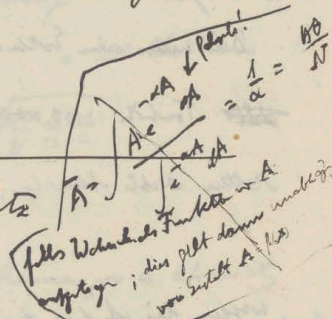
aber nicht rot. gerundung - flüchtig

nicht drehend - Umdrehend

Da diese unimultistatistischen Experimente fallen auch unter das Gesetz

$$\frac{dN}{dV} = q e^{-\frac{K}{H\theta} A} \quad \text{ix}$$

$$A = f y m (p - p')$$



Unterschied: Die Nulllage ist da keine Gleichgewichtslage, sondern die Teilchen sind mit  
unlicher Kraft angeordnet. Daher gibt es hier kein  $\delta^2$  und dann unendlich  
Verzögerung

$$n = q e^{-\frac{g y m (1 - \frac{\delta'}{a}) N}{H\theta}} = q e^{-\beta y}$$

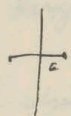
$$\text{mittlere Arbeit } \bar{W} = g y m (1 - \frac{\delta'}{a}) \bar{y}$$

$$= \frac{N}{H\theta} \quad \text{also nicht } \frac{N}{2H\theta} \text{ sondern } \frac{N}{H\theta}$$

$$\bar{y} = \frac{\int_0^a y e^{-\beta y} dy}{\int_0^a e^{-\beta y} dy} = \frac{1}{\beta} \frac{\int_0^a x e^{-x} dx}{\int_0^a e^{-x} dx} = \frac{1}{\beta}$$



Abstand einer Elektronen von Metallfläche (letzte als letzte angegeben)



$$\frac{e^2}{2a} = \frac{H^2}{2N}$$

Unsin!

Das ist die Arbeit von  $\infty$  bis  $a$   
aber nicht von 0 bis  $a$

$$a = \frac{e^2}{4} \frac{N}{H^2} = \frac{(4.8)^2 \cdot 10^{-20}}{4 \cdot 4 \cdot 10^{-15}} =$$

$$e^2 \left( \frac{1}{2a} - \frac{1}{a} \right) = -\frac{H^2}{N}$$

$d =$  Rohrdurchmesser?

$$= 2 \cdot 10^{-8}$$

In dem Falle wäre  $a$  sehr viel von  $d$  verschieden, also gehen wir

als selbst  
für nicht heraus am d. nicht kriechen auf

Ramsay Tage?

Grunde der Empfänglichkeit mechanischer Messinstrumente nach der Höhe

$\frac{1}{20.000.000}$  annul meing Ray loc

$$= 5 \cdot 10^{-8}$$

Verkleinerung von der Schwärze?

Kann man aus der Abweichungswerte nicht unmittelbar dasjenige feststellen?

Nein? Kann man den jenseits Entzogen Ausdruck einsetzen?

Aber drückt ein Volumen energie d. Stoff?

Wie kann man die Kugel in demselben mit Reaktion energie zusammenhalten?

$$\frac{k}{4a^2} \left( \frac{4}{3} a^3 \rho \right)^2 = \frac{H^2}{N}$$

Kleinere werden constant

$$4 a^4 \rho^2 = \frac{H^2}{N} \frac{1}{K} = 10^{-6}$$

$$a^2 = \frac{1}{2} 10^{-3}$$

$$a = 0.07 \text{ cm}$$



1. Einfache Ball  $A \sim x$   $\bar{A} = \frac{N}{4\pi}$

$A \sim x^2$   $\bar{A} = \frac{N}{2\pi}$

$A \sim x^4$  (kritisch)

$= -\rho x^4$

$\bar{A} = \frac{\int x^4 e^{-\rho x^4} dx}{\int e^{-\rho x^4} dx} = \frac{\int x^4 e^{-\rho x^4} dx}{\int e^{-\rho x^4} dx} = \frac{1}{\alpha}$

$\int_0^\infty x^4 e^{-\rho x^4} dx = -\frac{x^4 e^{-\rho x^4}}{4\rho} \Big|_0^\infty + \int_0^\infty \frac{x^3}{4} dx =$

$\int_0^\infty x^4 e^{-\rho x^4} dx = \frac{1}{\alpha} \int_0^\infty x^4 e^{-\rho x^4} dx = \frac{1}{\alpha} \int_0^\infty x^4 e^{-\rho x^4} dx = \frac{1}{\alpha}$

Allgemein:  $\frac{1}{\alpha} \int_0^\infty x^n e^{-\rho x^n} dx = \frac{1}{n\alpha}$

Spezialfall  $n=2$   
Nur für  $n=2$

alle anderen gelten nur bis zu einem

Punkt 0 wo  $\rho$  anders ist

Kritische Drogen, dem Überkritischen  
einmal  $\Phi$  beträgt sich, so das zu sein.

Soll man die Maxwell's Formel auch auf Teilchen in Bewegung anwenden?

Ja, man kann kinetische Energie = mechanische Energie setzen

$\frac{1}{2} m \langle v^2 \rangle = \frac{1}{2} m \langle v^2 \rangle = \frac{1}{2} m \langle v^2 \rangle = \frac{1}{2} m \langle v^2 \rangle$

$\frac{1}{2} m \langle v^2 \rangle = -\frac{1}{2} m \langle v^2 \rangle = -\frac{1}{2} m \langle v^2 \rangle = -\frac{1}{2} m \langle v^2 \rangle$

$\int_0^\infty x^4 e^{-\rho x^4} dx = \frac{1}{4\rho} \int_0^\infty x^3 dx = \frac{1}{4\rho} \int_0^\infty x^3 dx = \frac{1}{4\rho}$

für welche steht

also Summe LK:

$M \frac{1}{L} = \frac{3}{2N}$

$M \frac{1}{L} = \frac{3}{2N}$

ist

damas für Rotation etc.

Zustandsgleichung  $p, q, \dots$

als Koordinaten zu setzen

und konstant

[Entropie hängt als Koordinat]

damas für  $t$  und  $q$  anwenden

Man muss für Arbeit  $dA$ !

also Kriterium ob  $dA$  ein Koordinat ist

1. Arbeit  $p, q, \dots$

2. LK =  $\frac{1}{2} m \langle v^2 \rangle$  & konstant wenn nicht allgemein?

Signatur  $f(q, p)$  aber in Phase nicht klein

Änderung  $f(q, p)$







$$\alpha = \frac{n\pi}{2l_0}$$



$$y = A_1 \sin \alpha x + A_2 \sin 2\alpha x + \dots$$

$$+ A_0 + A_1 \cos \alpha x + A_2 \cos 2\alpha x + \dots$$

$$l_x = \int_0^x \left[ 1 + \left( \frac{dy}{dx} \right)^2 \right]^{1/2} dx$$

$\neq$

$$U = \sum m g x = \int_0^l \rho g ds g x = \rho g g \left[ s x \right]_0^l - \int_0^l s dx$$

$$= \rho g g \int_0^l \frac{ds}{dx} x dx$$

$$\frac{ds}{dx} = 1 + \frac{1}{2} \left( \frac{dy}{dx} \right)^2$$

$$U = \rho g g \left[ \int_0^l \frac{ds}{dx} x dx - \left( \frac{ds}{dx} \right) \Big|_0^l \left( \frac{l}{2} - l \right) \right]$$

$$U_0 = \rho g g \frac{l_0^2}{2}$$

$$\Delta U = \rho g g \left[ \int_0^l \frac{1}{2} \left( \frac{dy}{dx} \right)^2 x dx - \dots \right]$$

$$= A_1^2 \int_0^l \frac{\alpha^2 x}{2} x dx + \dots - A_1 A_2 \dots$$

$$\bar{U} = \int_{-\infty}^{+\infty} e^{-\frac{U}{\hbar \omega}} dA_1 dA_2 \dots \left[ A_1 + A_3 + A_5 + A_7 \dots \right]^2$$

Dabei sind die räumlichen geradzahligen  $A_{2k}$  - auszuheben

$$\bar{U} = \int_{-\infty}^{+\infty} e^{-\frac{U}{\hbar \omega}} dA_1 dA_3 dA_5 \dots \left[ A_1 + A_3 + A_5 \dots \right]^2$$

falls man die A  
als Koordinaten  
ansieht darf!

scheint richtig  
denn bei kleinen

Schwingungsbewegung

wäre das die Amplitude,  
also würde das kein Eigenwert...







Rein

0 0 0 0 0

Radius aus Kollung =  $\sqrt[3]{\frac{r^3}{n}}$

$$\Delta_1^L = \frac{\alpha}{0.9}$$

$$\Delta_2^L = \frac{\alpha}{1.1}$$

Ende Formel  $N = \frac{H \theta}{3 \pi \mu r \Delta^2}$

20.  $r_1 = 0.9 \quad r_2 = 1.1$

$\Delta \quad \gamma_{n_0} = \beta r^3 \cdot N$

0 0 0

$\gamma_{r_1} = (0.9)^3 \beta N$

0 0 0

$\gamma_{r_2} = (1.1)^3 \beta N$

Wenn ungenügend viele Kerne vorhanden sind

das primäre Teilchen nimmt in der tiefen Lage vornehm, daher  $\frac{n_0}{n}$  zu gross

$$\sqrt[3]{\frac{0.9^3 + 1.1^3}{2}} = \frac{1 - 3.04 + 3.01^2}{1 + 3.04 + 3.01^2} = 1 + 3.01^2 = \sqrt[3]{1.03} = 1.01$$

$\Delta \quad \text{Korrektur} = 1.01$

In Wirklichkeit wird benutzt  $\log_1$  und  $\log_2$

$N = \frac{\gamma_{r_1} + \gamma_{r_2}}{2 (r_{\text{mittel}})^3} = \frac{1.03}{1.03} = 1$

betrachtet werden

$\left(\frac{n_0}{n_1}\right)_1 = e^{-r_1^3} \neq 10 = e^{-(0.9)^3}$

$\alpha = 2.4$   
 $e = 10$

$\left(\frac{n_0}{n_1}\right)_2 = e^{-r_2^3} \neq 10 = e^{-(1.1)^3}$

$\alpha(1-\alpha) = e^{-\alpha}$

$= e^{-\alpha} (1 - \alpha) + \left(\frac{\alpha}{2}\right)$

$\left(\frac{n_0}{n_1}\right)_1 = 10 \left[ 1 - 0.07 + \frac{0.0049}{2} \right]$

$\left(\frac{n_0}{n_1}\right)_2 = 10 \left[ 1 + 0.07 + \dots \right]$

$\left(\frac{n_0}{n_1}\right)_{\text{mittel}} = 10 \left[ 1 + \frac{0.0049}{2} \right]$

$\log\left(\frac{n_0}{n_1}\right)_{\text{mittel}} = \log 10 + \frac{0.0049}{2} = 2.3 + 0.0025$



$$f = \frac{R\theta}{v-b} - \frac{a}{v}$$

$$\frac{\partial f}{\partial v} = -\frac{R\theta}{(v-b)^2} + \frac{2a}{v^3}$$

$$= -\left[ \frac{R\theta}{v^2} \left(1 + \frac{2b}{v}\right) - \frac{2a}{v^3} \right]$$

Summe berechnen p 639

$$W \sim \int -\frac{v\theta}{2} \left[1 + \frac{av}{v} - 2L C v\right] dv$$

$$\frac{v\theta}{2} = \frac{47.6 \frac{3}{5}}{5} = \frac{2b}{v}$$

$$\left(1 - \frac{b}{v}\right)^{-2} = 1 + 2\frac{b}{v} + \frac{3}{2}\left(\frac{b}{v}\right)^2$$

15.2.17 kann nicht mehr mit gewöhnlicher

VdW. Kurze verglichen werden, sondern mit werten

$$\frac{W}{N\theta} \frac{\partial f}{\partial v} = \frac{\partial f}{\partial v} (v-b)^2 T = \frac{\partial f}{\partial v} v^2 \frac{5^2}{2} T$$

$$\frac{W}{N\theta} T \frac{R\theta}{v^2}$$

$$\frac{W}{N\theta} \frac{5^2}{2} T$$

$$\frac{v\theta}{2} \left[ \left(1 + \frac{2b}{v}\right) - \frac{2a}{vR\theta} \right]$$

$$\frac{1}{LRO} = h \text{ mit } 2a = h C \text{ nach}$$

$$2L C v = \frac{C v}{R\theta} = \frac{C}{v R\theta}$$

Strom

Gerade chemische Reaktion?

Gr.  $H_2$  O enthält  $\frac{6}{18} \cdot 10^{23}$  mol. // Schwach =  $1.5 \cdot 10^{11}$

also überschuss  $\pm 1 \cdot 10^{-11}$  gram O  
 $= 10^{-8} \text{ cm}^3 = 10 \cdot [0.01 \text{ nm}]^3$

nicht seinen und Oasen zeigen das  
 weil, weil da rinder Jonen  
 Jonen nach oben nicht annehmen



Einl.

Allg. Formel für Wärmeh. (statist. Mech. § 4. Temperatur)

1). Drei Körper <sup>kinet. Energie</sup> <sub>oder D.</sub> | elekt. Strom aber nicht nachweisbar  
| statisch; rotat.

2). Kraft prop.  $\varepsilon$  // Gravitationsfeld, natürlich kinetische Bewegung  
| Induktion, jedoch nicht kompliziert

3).  $\varepsilon^2$  // Dichteabweichungen

~~London~~ <sup>London</sup> ~~Seite D. H.~~

~~Opaleszenz~~ ~~Himmelsblau~~

Stall! =  $\varepsilon^2$

Kolloidale Opaleszenz

~~infolge dieser~~  
~~Einfluss auf Zustand~~

~~in Elektrolyten~~ ~~Antennen~~ ~~Stärke nicht nachweisbar!~~

Regelmäßige Verteilung  
innerhalb

allgemein: elektrische Ladungen

~~4). Kinetische Punkte Verlauf der elektr. Strömungen~~  
~~Elektronen Proportion elektrischer Potent.~~  
~~abhängig, ebenso bei Strömungen~~

ganz anders die Strömungen  
kein Stromgewicht  
Einfluss d. Dichte (Menge d. Strömung)

4). Kritische Opaleszenz  
Nicht wie andere Zell für unendliche Schicht ab.  $\frac{1}{2}$  d. Strömung  
Noch unklar:

5). Torsionspendel explizite Quanten aber spielen keine Rolle

6). kontinuierliche Körper schwerer Quanten (Abhängig von versch. Faktoren)  
dies zu zeigen in Fl.-m. u. gleiches D. d. Str.

7). Elektronen im magnet. u. elekt. Feld (Majorana, W. 3, 12, 13) Resonanz

direkte Beobachtung

8). Schwankungen der Energie

9). kinetische Energie

Naswells Seite Fabry & Perrot, Spectral Linien

man braucht nur lange genug zu warten

Verhältnis zum II Hauptgesetz Widerstand offenbar aber nicht so wie Leppens, London

korrigierte Form d. II Hauptgesetzes modern wirkend Naswell'sche Dämon nötig? unmöglich für  
nachweisbare Vorgänge unmöglich



Stumpf  
Trennung

Zobaczyni: Emanation Dichte? Ladung?  
Schwache, Feder Mikrometers

↳ Reslin, Schumann

↳ Richards etc. Wärmelokal

Haupt?

Polstermann Abweichung von d. mittleren Energie J. dE

Schönrock etc. Sp. Stellen 20p. 9957 22 p. 209

Jahres Dr. O.

↓  
Mikroskop. Punkt 0,3, ...  
Pl. 1. 1892  
34, 1890

Dryan

Chromische Energie in plastischen Körpern:

Ist das Elastizitätspotential zu berücksichtigen?

Je nach Zeitdauer. Für lange Zeiten ist gewöhnliche Ord. Formel gültig, für kurze Zeiten Abweichung Formel mit Elastizitätspotential.

Abweich. Verzögerungen bei Remanenz und Hysterese?

Relaxationslogarithmus

Wenn man Chromische Energie in Bes. nimmt mit

$$W = \frac{16}{9} \sqrt{\frac{E}{32}} \cdot c \cdot a^2 \cdot x$$

in  $\theta = 20^\circ : 293$

$\alpha = 10^{-4}$   
 $4 \cdot 10^{-10} \cdot y = 4 \cdot 10^{-14}$   
 $\alpha y = 10^{-4} = 1 \mu$

$z = 30 \mu\mu = 3 \cdot 10 \cdot 10^{-7}$   
 $= 3 \cdot 10^{-6}$

$\frac{p \cdot 32 \cdot 10^7 \cdot 293}{592 \cdot 10^{23}} =$

$\frac{9201}{4669} = 1970$   
 $\frac{1870}{7723} = 6147$

$\frac{9846}{4771} = 4617$   
 $\frac{4617}{6894} = 7723$

$= 4 \cdot 12 \cdot 10^{-14}$

$\frac{96543 \cdot 3 \cdot 10^{10}}{4891 \cdot 10^{10}}$

$59 \cdot 2 \cdot 10^{12}$

$\frac{y}{2 \cdot 10^{12}} = \frac{4 \cdot 10^{-14}}{2 \cdot 10^{12}} = 2 \cdot 10^{-2}$

$m = \frac{4}{3} \pi \cdot 3 \cdot 10^{-18} \cdot 20 = 200 \cdot 10^{-17} = 2 \cdot 10^{-15}$



Ladungs schwankungen auf zwei mit einander verbundenen Kugeln



$$V_0 = \frac{\varphi}{a}$$

$$W = \frac{1}{2} Q V = \frac{\varphi^2}{2a}$$

$$W_1 = \frac{1}{2} \varphi^2 \left( \frac{1-\delta}{a} \right)^2 + \frac{1}{2} \varphi^2 \left( \frac{1+\delta}{a} \right)^2 = \frac{\varphi^2}{a} (1+\delta^2)$$

$$\frac{\varphi^2}{a} \delta^2 = 2 \cdot 10^{-14}$$

genau dasselbe

Sagen wenn Anfangsladung = 0

$$W_0 = 0 \quad W = \frac{\varphi^2}{2a} = 2 \cdot 10^{-14}$$

$$\varphi = 2 \cdot 10^{-7} \sqrt{a}$$

$$\text{bzw. } a = 1 \text{ cm}$$

$$\varphi = 500 \text{ Elektronen}$$

$$\text{bzw. } a = 10^{-4} \text{ cm} = 1 \mu$$

$$\varphi = 2 \cdot 10^{-9} = 5 \text{ Elektronen}$$

Arbeit wenn ein Elektron

+

+



+

Rückkehr: Überschussladung eines ± Ladung?

eigentlich ist das kein Gleichgewichtszustand!

~~von~~ <sup>von</sup> Ionen freigesetzt werden

und dann müssten deren Abregelbarkeit mitgefallen

Sonst, bei Eigenionisation liegt



Wenn mittler. Ladung überschritten = 1 gestaffelt wird

219

$$e = e \sqrt{\frac{2v}{1 + \frac{24}{5} \frac{v e^2}{K} \frac{N}{H_0}}}$$

$$2v = 1 + \frac{24}{5} v \frac{e^2}{K} \frac{N}{H_0}$$

Anzahl der überschüssigen Elektronen bei starker schwachen Konzent.  $\propto \sqrt{K n}$   
bei grossen Konz.  $\propto n^{3/2}$

$$a = \frac{\frac{24}{5} v \frac{e^2}{K} \frac{N}{H_0}}{1 - 2v}$$

$$v = \frac{6 n^3}{3}$$

$$2 \frac{4}{3} a^3 n^6 = 1 + \frac{24}{5} \frac{e^2}{K} \frac{N}{H_0} \frac{4 a^2 n}{3} 6$$

Volumen welches auf 1 ~~Elektron~~ <sup>Ion</sup>  
entfällt  $= v$   
 $v = \frac{1}{v} \frac{4 a^3 n}{3}$

Anzahl der freien Ionen ~~=  $\frac{3}{4 a^3 n}$~~   
pro Vol. Einheit  $n = \frac{3}{4 a^3 n}$  wenn  $a$  aus obiger Gleichg. definiert

$$a = \sqrt[3]{\frac{3}{4 n n}}$$

$$2 \frac{6}{n} = 1 + \frac{24}{5} \frac{e^2}{K} \frac{N}{H_0} \frac{6}{n a}$$

$$26 = n + \frac{24}{5} \frac{e^2}{K} \frac{N}{H_0} 6 \sqrt[3]{\frac{4 n}{3}} \sqrt[3]{n}$$

$$6 = \frac{n}{2 + \frac{24}{5} \frac{e^2}{K} \frac{N}{H_0} \sqrt[3]{\frac{4 n}{3}} \sqrt[3]{n}}$$

Für kleine  $n$ :

$$6 = \frac{n}{2}$$

$$n = 26$$

grosse  $n$ :

$$6 = n \sqrt[3]{\frac{5}{24} \frac{H_0}{N} \frac{1}{e^2 K} \frac{3}{4 n}}$$

$$n^{1/3} = \sqrt[3]{6 \cdot \frac{24}{5} \frac{N}{H_0} \frac{e^2}{K} \frac{3}{4 n}}$$

Ionisationsgrad

$$\frac{n}{6} = 2 + \frac{24}{5} \frac{e^2}{K} \frac{N}{H_0} \sqrt[3]{\frac{4 n}{3}} \sqrt[3]{n}$$

$$\text{für grosse } n: \\ = 2 + \sqrt[3]{6 \cdot \frac{24}{5} \frac{3}{4 n} \frac{e^2}{K} \frac{N}{H_0}}^{3/2}$$



$$6 = \frac{n}{2} \frac{1}{1 - \frac{12}{5} \frac{e^2}{K} \frac{N}{H^2} \sqrt[3]{\frac{4n}{3}} \sqrt[3]{n}}$$

$1 - \delta$

$$\alpha \sqrt[3]{n} = 1 - \delta$$

$$n = \frac{(1-\delta)^3}{\alpha^3}$$

$$= \frac{1}{2} \frac{(1-\delta)^3}{\alpha^3} \neq \frac{1}{2} \frac{1}{\alpha^3 \delta}$$

$$\delta = \frac{1}{2} \frac{1}{\alpha^3 \delta}$$

$$n \neq \frac{1}{\alpha^3} \text{ Grenzwert natürlich!}$$

$$\frac{n}{\delta} = \frac{1}{2} \frac{1}{\alpha^3 \delta} = \frac{1}{2} \left( \frac{5}{12} \sqrt[3]{\frac{3}{4n}} \frac{K}{e^2} \frac{H^2}{N} \right)^3 \frac{1}{\delta}$$

Übergang von stark zu schwach dissoz. wenn

$$\frac{\alpha}{\sqrt[3]{\delta}} = 1 \quad \frac{K}{3.4 \cdot 8^2 \cdot 10^{-20}} \cdot \frac{5 \cdot 10^{-14}}{\sqrt[3]{\delta}} = 1$$

$$\sqrt[3]{\delta} = \frac{K}{15} 10^6$$

$$6 = \left( \frac{K}{15} \right)^3 \cdot 10^{18} \text{ also ungefähr so wie Gas dichte}$$

Dabei jedoch als ausgezeichnet nur

die Elektronenbewegung vorausgesetzt; also nur anwendbar auf leicht dissoziierende Elektrolyte  
sonst kommt noch Arbeit gegen chemische Bindungskräfte dazu.

Das gibt die Anzahl der über ihre unmittelbare Umgebung überschüssigen Ionen; sind also  
mit diese als Carrier der Elektri. aufzufassen?

Stattende derselben



2. veränderte Lösung  
~~Das selbe ist das~~ kommt es auf ein heraus weil ähnlich da oben  
 aber in konzentri. ? Lösung findet statt durch 1. sämtliche v Tonne  
 2. überschüssige n Tonne

Kann es bewiesen sein sie "frei" sind

aber ~~ist~~ können in die Ablesung nicht unter v freche die "proben" verstehen weil ?  
 Es steht ja darüber hinsichtlich abzugleichs-betrachtung so behandelt wie wenn sie in  
 festes Gas bleiben würde !

$$\sum n^2 W(n) = e^{-v} \sum_{n=0}^{\infty} \frac{v^n \cdot n^2}{n!}$$

$\downarrow$

$$= v + \frac{v^2 \cdot 2^2}{1 \cdot 2} + \frac{v^3 \cdot 3^2}{1 \cdot 2 \cdot 3} + \frac{v^4 \cdot 4^2}{4!}$$

$$e^v = 1 + v + \frac{v^2}{2} + \frac{v^3}{6} + \dots$$

$$\frac{v^3}{3!} = \frac{v^3}{6}$$

$$v^2 = 3$$

$$3 + 6 + \frac{9}{2} = \frac{27}{2}$$

$$e^v = v \left[ 1 + 2 \frac{v}{1} + 3 \frac{v^2}{2!} + 4 \frac{v^3}{3!} + \dots \right]$$

$$\int \frac{e^x}{x} dx = x + \frac{x^2}{2} + \frac{x^3}{6} + \frac{x^4}{24} + \dots$$

$$= x e^x$$

$$\frac{d(x)}{dx} = e^x (1+x)$$

$$d(x) = e^x (x+x^2)$$

$$\frac{d(n-v)}{dn} = e^{-v} \left[ \sum_{k=1}^{\infty} \frac{(n-v)^{k-1}}{(k-1)!} \frac{v^k}{n!} + \sum_{k=0}^{\infty} \frac{(n-v)^k}{k!} \frac{v^k}{n!} \right]$$

$$= 2 e^{-v} \sum_{k=0}^{\infty} \frac{(n-v)^k}{k!} \frac{v^k}{n!}$$

$$= 2 e^{-v} \left[ v + \frac{(n-v)v}{1!} + \frac{(n-v)^2 v^2}{2!} + \dots \right]$$

$$v(1+v)^v$$

$$\sum n^2 W(n) = v + v^2$$

$$\sum n W(n) = v$$

$$\sum (n-v)^2 W(n) = \sum n^2 W(n) - 2v \sum n W(n) + v^2 \sum W(n) = v + v^2 - 2v^2 + v^2 = v$$

$$\sum \left( \frac{n-v}{v} \right)^2 = \frac{1}{v} = \delta^{-1}$$





$$\sum_{k=0}^{n-1} \left[ 1 + \frac{(n-1)v}{1!} + \frac{(n-2)v^2}{2!} + \dots + \frac{(n-k)v^{k-1}}{(k-1)!} \right]$$

$$v + \frac{(v-1)v}{1} + \frac{(v-2)v^2}{2} + \frac{(v-3)v^3}{2 \cdot 3} + \frac{(v-4)v^4}{2 \cdot 3 \cdot 4}$$

$$= v \sum_{k=1}^n \left[ 1 + \frac{v}{1!} + \frac{v^2}{2!} + \dots + \frac{(n-k)v^{k-1}}{(k-1)!} \right]$$

$$= v \left\{ \left[ 1 + \frac{v}{1!} + \frac{v^2}{2!} + \dots + \frac{v^{k-1}}{(k-1)!} \right] - \left[ 1 + \frac{1}{1!}v + \frac{v^2}{2!} + \dots + \frac{v^{k-2}}{(k-2)!} \right] \right\}$$

$$= \frac{v^k}{(k-1)!}$$

$$|n-v| = 2e^{-v} \frac{v^{k+1}}{(k+1)!}$$

$$\bar{\sigma} = \left( \frac{n-v}{v} \right) = 2e^{-v} \frac{v^k}{k!}$$

$$\int (p-q)^2 W(p) W(q) dp dq = 2 \int p^2 T_H dp - 2 \int p \frac{d}{dp} \int p T_H dq$$

Gesamtheit von Toren  $v$  positiver  $\frac{v}{2}$

$$\int p \cdot W(p) dp = \left( \frac{v}{2} \right)^2 \delta^2 = \left( \frac{v}{2} \right)^2 \frac{1}{\frac{v}{2}} = \frac{v}{2}$$

Quadrat des Überschusses:  $2 \cdot \frac{v}{2} = v$

$$2 \cdot \frac{v}{2} \left[ \int \frac{d^2}{1+\delta} - d^2 \right] = \frac{v}{2} \cdot \frac{\delta^2}{2} \cdot 2 = \frac{1}{2}$$

Schranke der Varianz ist gleichartig das  $p+q=1$  mit  
also mittl. (Überschuss)  $= \left( 2 \frac{v}{2} \delta \right)^2$

$$\delta^2 = \frac{1}{v} = \frac{1}{v}$$

$$= \frac{1}{v}$$

$$\text{Ladung} = 2 \frac{v}{2} \delta$$

$$(\text{Ladung})^2 = v^2 \delta^2 = v$$



1 mol NaCl Lösung enthält pro  $\text{cm}^3$

$\frac{23}{35}$   
 $\frac{58}$

$\frac{0.01 \cdot 6 \cdot 10^{23}}{58}$  Moleküle

221

also  $10^{20}$  Anionen und Kationen

$$\frac{H_0}{N} \frac{r \delta^2}{\epsilon} + \frac{r^2 \delta^2 \epsilon^2}{2 a K} = \frac{H_0}{N} \frac{1}{2}$$

$$E^2 = (r \delta e)^2$$

$$\delta^2 r^2 \left( 1 + \frac{\epsilon^2 r}{a K} \cdot \frac{N}{H_0} \right) = 1$$

$$E^2 = e^2 \frac{r}{1 + \frac{\epsilon^2 r}{a K} \frac{N}{H_0}}$$

$$\frac{(4.8)^2 \cdot 10^{-20}}{4 \cdot 10^{-14}} = 5.5 \cdot 10^{-6}$$

$$\sqrt{a K \frac{H_0}{N}} = \frac{\sqrt{a K} \cdot 2 \cdot 10^{-7}}{4.8 \cdot 10^{-10}} \cdot 4.8 \cdot 10^{-10} = 2 \cdot 10^{-6}$$

$$1 \text{ part} = 10^5$$

Arbeit bei Verschiebung in Regelpfad

$$\int \mu \frac{H^2}{2} dV \quad \frac{K}{2} H^2 V \quad V_{\text{gpg}}$$

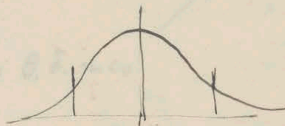
$$\leq y^2$$

$$\sum (y_1 - y_0)^2 + (y_2 - y_0)^2 + (y_3 - y_0)^2 + \dots =$$

$$\sum [(y_1 - y_0) - (y_2 - y_0)]^2 + [(y_2 - y_0) - (y_3 - y_0)]^2 + \dots$$

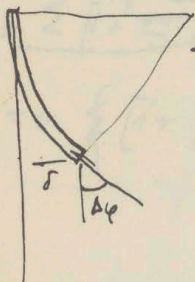
$$= \sum [(y_1 - y_0)^2 + 2(y_2 - y_0)^2 + 2(y_3 - y_0)^2 + \dots]$$

$$- 2[(y_1 - y_0)(y_2 - y_0) + (y_2 - y_0)(y_3 - y_0) + \dots]$$





(Wie wird ein Körper im radialen Stützpunkt strahlen?



$$W = \frac{\Delta\phi^2 E\theta}{2l} + \rho \rho g \frac{\delta^2}{4}$$

$$\delta = l(1 - \cos \varphi) = l \frac{\Delta\phi^2}{2}$$



$$\frac{E\theta}{R} = M = P(l-x) = E\theta \frac{dy}{dx}$$

$$\frac{P}{E\theta} \left( l \frac{x^2}{2} - \frac{x^3}{6} \right) + \cancel{xx} + \cancel{X} = \cancel{y}$$

$$\delta = y_e = \frac{P}{E\theta} \frac{l^3}{3}$$

Dringungs Arbeit:  $\int_0^\delta P d\delta = \frac{3E\theta}{l^3} \frac{\delta^2}{2}$

$$W = \left[ \frac{3E\theta}{l^3} + \rho \rho g \right] \frac{\delta^2}{2} = \frac{1}{2} \frac{W^0}{N}$$

$$3,5 \cdot 10^{11} \cdot \frac{10^{-20}}{16 \cdot 4} n + \frac{2 \cdot 6 \cdot 10^3 \cdot 10^{-70}}{2 \cdot 4} n$$

$$10^{-9}$$

$$10^{-7}$$



$$E = \chi + \bar{E}$$

$$= \chi + p_1^2 + p_2^2 + \dots$$

$$dW = C e^{-\frac{E}{\Theta}} dq_1 dq_2 \dots dp_1 \dots dp_n$$

$$p_n = \sqrt{E' - (\chi + p_1^2 + \dots + p_{n-1}^2)}$$

$$dW = C e^{-\frac{E}{\Theta}} \frac{dq_1 dq_2 \dots dq_n dp_1 dp_2 \dots dp_{n-1} dE}{\sqrt{E - \chi - p_1^2 - p_2^2 - \dots - p_{n-1}^2}}$$

$$\int_{-\infty}^{\infty} \frac{dx}{\sqrt{A^2 - x^2}} = \arcsin \frac{x}{A} = \pi$$

$$2 \int_0^{+\infty} \frac{dx}{\sqrt{A^2 - x^2}} = 2 \arcsin \frac{E}{A} =$$

$$\text{Gibbs p. 78} \quad (\xi - \bar{\xi})^2 = \Theta^2 \frac{d}{d\Theta} \bar{\xi}$$

$$= \left( \frac{H \Theta^2}{N} \right) \frac{d(\bar{\xi})}{d\Theta}$$

$$= \frac{H}{N} \Theta^2 \frac{d(\bar{\xi})}{d\Theta} \quad (m c v)$$

$$\Theta = \frac{4\theta}{N}$$

$$\text{Winkel: } \delta \bar{\varphi}^2 = \theta^2 \frac{H}{N} m c v$$

$$\bar{\varphi}^2 = \int \delta^2 \frac{e^{-\frac{N m c v}{H} \bar{\varphi}^2}}{\int e^{-\dots}} d\bar{\varphi}^2 = \frac{1}{2} \frac{H}{N m c v} = \frac{H}{N m c v}$$

$$\delta \varphi = \theta \cdot \delta \cdot m c v$$

$$\sqrt{\delta \varphi^2} = \theta \sqrt{\frac{H}{N} m c v}$$

$$\frac{H}{N} = \frac{8 \cdot 3 \cdot 10^7}{6 \cdot 10^{23}} = 1.4 \cdot 10^{-16}$$

$$\begin{aligned} \sqrt{\delta \varphi^2} &= 300 \cdot 10^8 \cdot 1.2 = 3.6 \cdot 10^6 \text{ grad} \\ &= 3.6 \cdot 42 \text{ grad} = 150 \text{ grad} \\ &= 9 \cdot 0.15 \text{ cm} \end{aligned}$$



$$W(\delta) W = e^{-\frac{N_m c_v}{H} \frac{\delta^2}{2}} d\delta \quad \# \delta > \frac{1}{300}$$

$$x = \int_{\delta = \frac{1}{300}}^{\infty} W(\delta) d\delta$$

$$c_v = \frac{3}{2} R \quad m = \rho_0$$

$$= \frac{3}{2} \frac{N \rho_0}{\mu} \frac{\delta^2}{2}$$

$$= \frac{3}{2} \nu \frac{\delta^2}{2} = \frac{3\nu}{4} \delta^2$$

= 1

$$14 \cdot 10^{30} x = \int_{\delta = \frac{1}{300}}^{\infty} e^{-\frac{3}{4} \nu \delta^2} d\delta \sqrt{\frac{2}{\nu}}$$

$$\nu = 3 \cdot 10^{19}$$

Ansatz der Funktion pro Seite?

$$3 \cdot 10^{19} \cdot \frac{c}{\lambda} = \frac{4 \cdot 8 \cdot 10^5}{10^5}$$

$$144 \cdot 10^{30}$$

$$\int e^{-x^2} dx = -\frac{e^{-x^2}}{2x} + \frac{1}{2} \int \frac{e^{-x^2}}{x^2} dx$$

$$= -\frac{e^{-x^2}}{2x^3} + \frac{1.3}{2} \int \frac{e^{-x^2}}{x^4} dx -$$

$$= -\frac{e^{-x^2}}{2x} \left[ 1 - \frac{1}{2x^2} + \frac{1.3}{(2)^2 x^4} - \frac{1.3.5}{2^3 x^6} - \dots \right] \Big|_x^{\infty}$$

$$\neq \frac{e^{-x^2}}{2x}$$

$$14 \cdot 10^{30} x \cdot \sqrt{\frac{2}{\nu}} \int_{\delta = \frac{1}{300}}^{\infty} e^{-x^2} dx = \frac{300}{\sqrt{\frac{2}{\nu}}} e$$

$$x = \frac{1}{300} \sqrt{\frac{2}{\nu}}$$

$$+ 23 \cdot 10^{14}$$

$$t = \frac{e}{\frac{3}{2} \cdot 10^{19} \cdot 14 \cdot 10^{30} \cdot 300}$$

~~Wie oft kommt es~~

Wie lange muss man warten  
bis 1 cm<sup>3</sup> Luft um 1° wärmt  
oder über sein Gefrierpunkt?

Folgt Volumenarbeit ist  
nicht möglich!

$$\begin{array}{r} 143979 \cdot 2 \cdot 30 \\ 287958 \\ 43194 \\ \hline 331152 \end{array}$$



Stöbchen in elkt. & magnet. Feld, Zener, Hg.

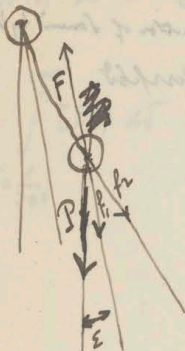
Tourmalin: 273

Lamb Stöbchen Widerstand

Estimation of Sound by Viscosity

Herrschel





$$(F - f_1) \sin \zeta = f_2 \sin \theta$$

$$\cancel{62\mu R_c} \left[ 1 - \frac{3}{4} \frac{R}{n} + \frac{9}{16} \left( \frac{R}{n} \right)^2 \right] \sin \zeta = \cancel{\frac{1}{2} \frac{R^2}{n}} \sin \theta \left[ 1 - \frac{3}{4} \frac{R}{n} \right]$$

$$\sin \zeta = \frac{\frac{3}{4} \frac{R}{n} \sin \theta}{\underbrace{1 - \frac{3}{4} \frac{R}{n} + \frac{9}{16} \left( \frac{R}{n} \right)^2}_{= \left( 1 - \frac{3}{2} \frac{R}{n} \right)}}$$

$$\cancel{62\mu R_c} (F - f_1) \cos \zeta = P + f_2 \cos \theta$$

$$(F - f_1) \cos \zeta - f_2 \cos \theta = P$$

$$62\mu R_c \left[ 1 - \frac{3}{4} \frac{R}{n} \right] \cos \zeta - \frac{9}{2} \frac{R^2}{n} \cos^2 \theta = \frac{4}{3} R^3 \pi 6g$$



Kritische  $N$  Abh. auf Raum  $V$ ; im Raum  $v$  sind in Mittel  $\frac{Nv}{V}$ ; Schwankung  $\frac{1}{\sqrt{N \frac{v}{V}}}$

Wenn man auch die eingetragte Menge  $N$  schwankt und zwar pro  $\frac{1}{\sqrt{N}}$  so ändert sich damit nichts

von  $N$  Stößen  
Es entspricht in bestimmter Zeit  $v$  Stöße und Schwankung  $\frac{1}{\sqrt{v}}$

Wenn man die eingetragte Anzahl Stöße  $N$  schwankt und zwar in Raum  $\frac{1}{\sqrt{N}}$  so ändert sich nichts

Der charakteristische Schwankungen ist es anders

Jede zufällige Stöße löst  $\nu = 8000$  ~~Stöße~~ aus mit einer gewissen Schwankung  $\frac{1}{\sqrt{\nu}}$

Es besteht der  $n$  zufälligen Stöße schwankt, aber nicht in Raum  $\frac{1}{\sqrt{n}}$

sondern  $\frac{1}{\sqrt{n}}$  das wenn  $n$  klein ist sehr stark

ebenso auch bei mirer ist die Erwartung zu berechnen

$$\frac{n^2-1}{n^2+2} \approx \text{ant. } \rho$$

$$\epsilon = n^2$$

$$\frac{\partial \epsilon}{\partial v} = 2n \frac{\partial n}{\partial v}$$

(Einzel richtig wenn  
 $\lambda =$  Wellenlänge in Betreff  
Raggen) ?

$$\frac{(1+\epsilon)^2-1}{3} = \frac{2\epsilon}{3}$$

$$\frac{\epsilon^2-1}{\epsilon^2+2} = \text{ant. } \rho$$

$$\frac{2\epsilon}{3} = \text{ant. } \rho$$

$$\frac{n^2-1}{n^2+2} = \text{ant. } \rho$$

$$\frac{n_0^2-1+2\epsilon n_0^2}{n_0^2+2+2\epsilon n_0^2} = \epsilon \rho$$

$$\frac{n_0^2-1}{n_0^2+2} = \epsilon \rho$$

$$n = n_0(1+\epsilon)$$

$$\lg(n^2-1) - \lg(n^2+2) = \lg \epsilon + \lg \rho$$

$$\frac{\lg n_0}{n^2-1} - \frac{2n}{n^2+2} = \frac{\epsilon \rho}{\rho} = \frac{1}{\sqrt{v}}$$

$$2n \frac{\partial n}{\partial v} \cdot \frac{3}{(n^2-1)(n^2+2)} = \uparrow$$

$$\frac{\partial}{\partial v} \left( \frac{n^2-1}{n^2+2} \right) = \frac{1}{\sqrt{v}} \frac{N}{H_0}$$

$$\frac{H_0}{N} \frac{8}{27} \frac{n^3}{16 n^4} \frac{(n^2-1)(n^2+2)}{\rho}$$

$$2n \frac{\partial n}{\partial v} \frac{3}{16 n^4} \frac{1}{\rho} = \frac{8n}{3}$$

$$\frac{4 \times 23}{9 \times 16 n^4} \frac{1}{\rho}$$



In your Obedt J



Expos. Rebar

1871

Clay & Iron

20 lectures / or orations and other matter to the ordinary

supplement or introduction to materials of the museum

from stately

has more

225

from - mostly what tends to produce or destroy matter

promoting in

Wright's in Charleston

Down

CR 153

1466

1911

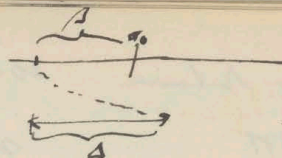
Franklin



$$n_2 = \int_0^\infty F(\alpha_{10} - \beta, \alpha_{20} \dots) d\beta \int_0^\infty \psi(\beta, \Delta) d\Delta, d\alpha_2 \dots d\alpha_n$$

→

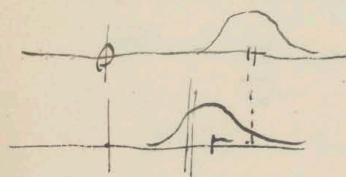
$$n_3 = \int_0^\infty F(\alpha_{10} + \beta, \alpha_{20} \dots) d\beta \int_0^\infty \psi(\beta, -\Delta) d\Delta$$



Niech nam  $\Delta$  w takim wyjątku, żeby nie było żadnego nieuprzedzonego  $\Delta$ , bo nie  
i musimy być uśrednionymi w każdym razie, potęgach

Twierdzenie

$$P_n(x) = \bar{F}(x) dx = A_0 e^{-\frac{\beta}{2} x^2} dx \quad \parallel h = \frac{k}{2\theta}$$



$$R.O.: f(\xi) d\xi = \sqrt{\frac{\beta}{2\pi}} e^{-\frac{\beta}{2} \xi^2} d\xi$$

$$\bar{\xi}^2 = \frac{\int \xi^2 e^{-\frac{\beta}{2} \xi^2} d\xi}{\int e^{-\frac{\beta}{2} \xi^2} d\xi} = \frac{t}{2\beta} \quad \parallel \frac{1}{2\beta} = \frac{2\theta}{k^2}$$

~~Wyprowadzenie~~ Same dyfuzja, składowe R.O.:  $\infty$

$$F(x, t + \Delta t) = \int_{-\infty}^{\infty} F(\xi, t) \sqrt{\frac{\beta}{2\pi \Delta t}} e^{-\frac{\beta}{2\Delta t} (x - \xi)^2} d\xi$$

$$F(x, t) = \int_{-\infty}^{\infty} F(\xi, 0) \sqrt{\frac{\beta}{2\pi t}} e^{-\frac{\beta}{2t} (x - \xi)^2} d\xi$$

Wyprowadzenie i przy wyprowadzeniu R.O.:

$$F(x, \Delta t) = \int_{-\infty}^{\infty} F\left(\xi - \frac{\Delta t}{4} \frac{\partial F}{\partial \xi}, 0\right) \sqrt{\frac{\beta}{2\pi \Delta t}} e^{-\frac{\beta}{2\Delta t} (x - \xi)^2} d\xi$$



$$c = \frac{3R}{2} \mu$$

$$\left(\frac{4\theta}{\theta}\right)^2 = \frac{H \cdot 2}{N \cdot 3R\mu} = \frac{2}{3}$$

$$W(v) dv = A v^2 e^{-\frac{mv^2}{2\theta}} dv$$

$$A \int_0^\infty v^2 e^{-\frac{mv^2}{2\theta}} dv = 1 = A \left(\frac{m}{2\theta}\right)^{-3/2} \frac{\sqrt{\pi}}{4}$$

$$\overline{v^2} = \frac{\int v^4 e^{-\frac{mv^2}{2\theta}} dv}{\int v^2 e^{-\frac{mv^2}{2\theta}} dv} = \frac{3}{2} \frac{2\theta}{m} = \frac{3\theta}{m}$$

$$W(v) dv = A v^2 e^{-\frac{mv^2}{2\theta}} dv$$

$$\overline{v^2} = \frac{\int v^4 e^{-\frac{mv^2}{2\theta}} dv}{\int v^2 e^{-\frac{mv^2}{2\theta}} dv} = \frac{3\theta}{m}$$

$$\left(\frac{4\theta}{\theta}\right)^2 = \left(\frac{v^2 - \overline{v^2}}{\overline{v^2}}\right)^2 = \frac{v^4 - 2v^2\overline{v^2} + \overline{v^2}^2}{\overline{v^2}^2} = \frac{v^4 - \overline{v^2}^2}{\overline{v^2}^2} = \frac{v^4}{\overline{v^2}^2} - 1$$

$$\overline{v^4} = \frac{\int v^6}{\int v^2} = \frac{15}{4} \frac{\theta^2}{m^2} \quad \frac{\frac{15}{4}}{\left(\frac{3}{2}\right)^2} - 1 = \frac{15}{9} - 1 = \frac{6}{9} = \frac{2}{3} \quad \text{Answer}$$

$$\frac{\mu}{\theta} \left\{ \frac{N}{H} \right\} = \frac{9}{2\theta} \quad \text{Answer}$$

$$\frac{\mu \overline{v^2}}{2} = \frac{\mu}{2} \cdot \frac{\overline{v^2}}{3} = \frac{\mu}{2} R\theta = \frac{4\theta}{2N}$$

$$\sqrt{\frac{2}{\pi}}$$

$$\frac{1}{2} \sqrt{\frac{2}{\pi}}$$

$$\frac{3}{4} \sqrt{\frac{2}{\pi}}$$

$$\frac{15}{8} \sqrt{\frac{2}{\pi}}$$



4 3 5 6 5 4 4 2 3 3 2 3 4 3 3 / 3 2 3 3 3 3 7 4 4 3  
 4 3 4 5 3 3 3 4 4 3 4 4 5 3

$$198 : 40 = 37 \text{ no } 13$$

5 6 4 3 4 3 4 7 4 5 3 5 5

$$58 : 13 = 4 \times 6 \text{ no } 39$$

60  
80

2 0 2 0 1 4 2 3 2 1 1 3 2 5 1 2 3 3 3 2 1 2 4 2 2 6 2 2 4 4 5 4 4 3 1 3 3  
 0 1 4 2 2 3 3 2 1 1 0 1 1 2 1 3 0 0 1 0 1 0 1 0 2 1

$$545 : 259 = \underline{21}$$

$$545 : 35 =$$

$$172 : 13 = 13$$

$$\frac{f^2}{2\lambda} = \frac{f^2}{4Dt}$$

$$\frac{(y\lambda)^2}{2n\lambda} = \frac{f^2}{2n(c\lambda)^2\lambda}$$

$$= \frac{f^2}{2n(c\lambda)^2\lambda} = \frac{f^2}{2ncl \cdot t} = 4D$$

$$n = \frac{2D}{cl}$$

$$D = \frac{ncl}{2} \text{ then}$$

$$y = \frac{f}{\lambda}$$

$$2Dt = n\lambda$$

$$n = \frac{H\theta}{N} \frac{2}{\cancel{2\pi r}} \frac{\cancel{f}}{cm}$$

$$= \frac{H\theta}{N} \frac{1}{\cancel{2\pi r}} = \frac{H\theta}{N}$$

$$\frac{cm}{6\pi r a} = \lambda$$

$$x = 3R\theta$$

$$\frac{nc}{2} = \frac{1}{2} \frac{nc}{2} = \frac{20}{2} n = \frac{H\theta}{N}$$



$$\bar{\epsilon}^2 = 2Dt \approx n d_x^2 = \frac{H_0}{N} \frac{t}{3\pi\mu a}$$

$$d_x = \frac{m c_x}{6\pi\mu a}$$

$$n = \frac{t}{3\pi\mu a} \left( \frac{6\pi\mu a}{m c_x} \right)^2 = \frac{t \cdot 12\pi\mu a}{m^2 c_x^2}$$

$$= t \cdot \frac{12\pi\mu a}{\frac{4}{3} a^3 \pi \rho}$$

$$m = 10^{-8}$$

$$2 \cdot 10^{-23}$$

$$= \sqrt{\frac{4 \cdot 10^{-23}}{\frac{4}{3} \pi \cdot 10^{-12}}} \cdot 50000$$

$$\sqrt{\frac{4 \cdot 10^{-23}}{\frac{4}{3} \pi \cdot 10^{-12}}} \cdot \frac{50000}{10^6}$$

=

$$n = t \cdot \frac{9\mu}{a^2 \rho} \parallel \frac{2}{9} \frac{a^2 \rho}{\mu} \text{ or } 10^8$$

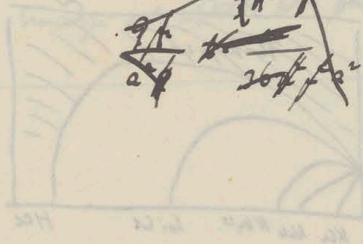
$$\Delta = \sqrt{n} \cdot \lambda_n$$

$$= 10^7 \sqrt{16 \cdot 10^7}$$

$$= 4 \cdot \sqrt{\Delta^2}$$

$$\lambda_n = \frac{\sqrt{m}}{6\pi\mu a} \sqrt{\frac{10^8}{N}}$$

$$\frac{9\pi}{2} \cdot \frac{1}{26\pi} \cdot \frac{1}{a} = \frac{1}{17\pi}$$









Schmelzwert ab 120° bis 200° C

204  
228

vgl 27 1 gl zu 4

Fraktion  
Teilchen diameter

Schmelzwert

KCl

NaCl

$\text{Na}(\text{NO}_3)_2$

25  $\mu$  90 140 210

4.80	3.75	3.40	185	1.00	0.65	0.50
0.10	0.14	0.20	0.15	0.11	0.09	0.07
0.0017	0.0014	0.0012	0.0012	0.0010	0.0010	

Schmelzwert  
1/2 %

rel. pro Liter

bei Aufschmelzen wurde verschiedene Kationen in Äquivalenten Mengen untersucht

	Analyse		pro Schmelze pro 100 g S	Kationen Äquivalent pro 100 g S
NaCl	Spr.	Salzsäure		
KCl	0.1974	0.0216	20.94	1.9
NaCl			13.97	1.9
CaCl			20.29	1.7
NaCl <sub>2</sub>	0.3153	0.0591	35.37	2.1
			18.75	1.8

Schmelzwert steigt mit Temperatur sehr plötzlich

Konzentration durch Temp. Senkung sehr plötzlich falls gleichmäßig











152



206  
230

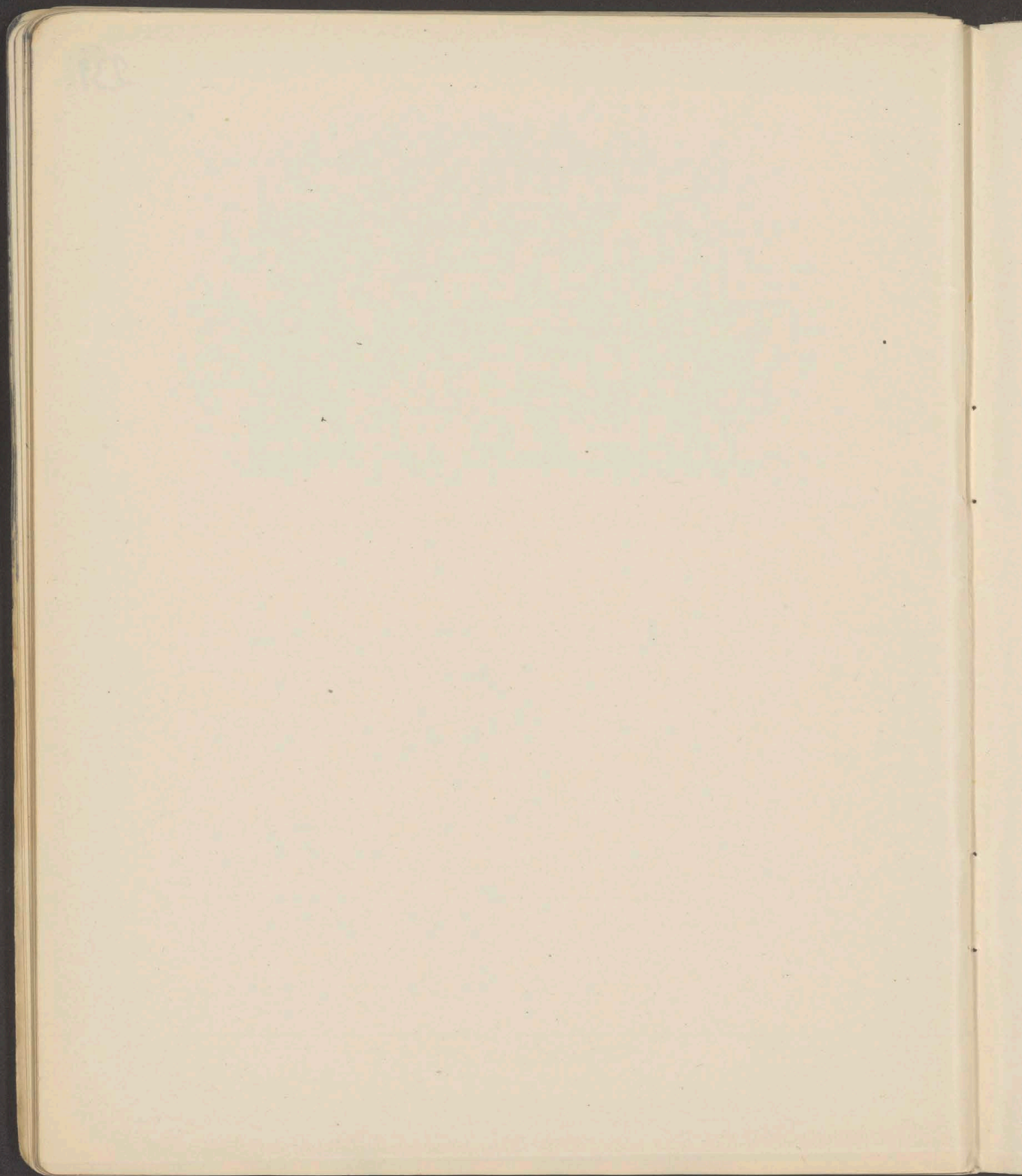








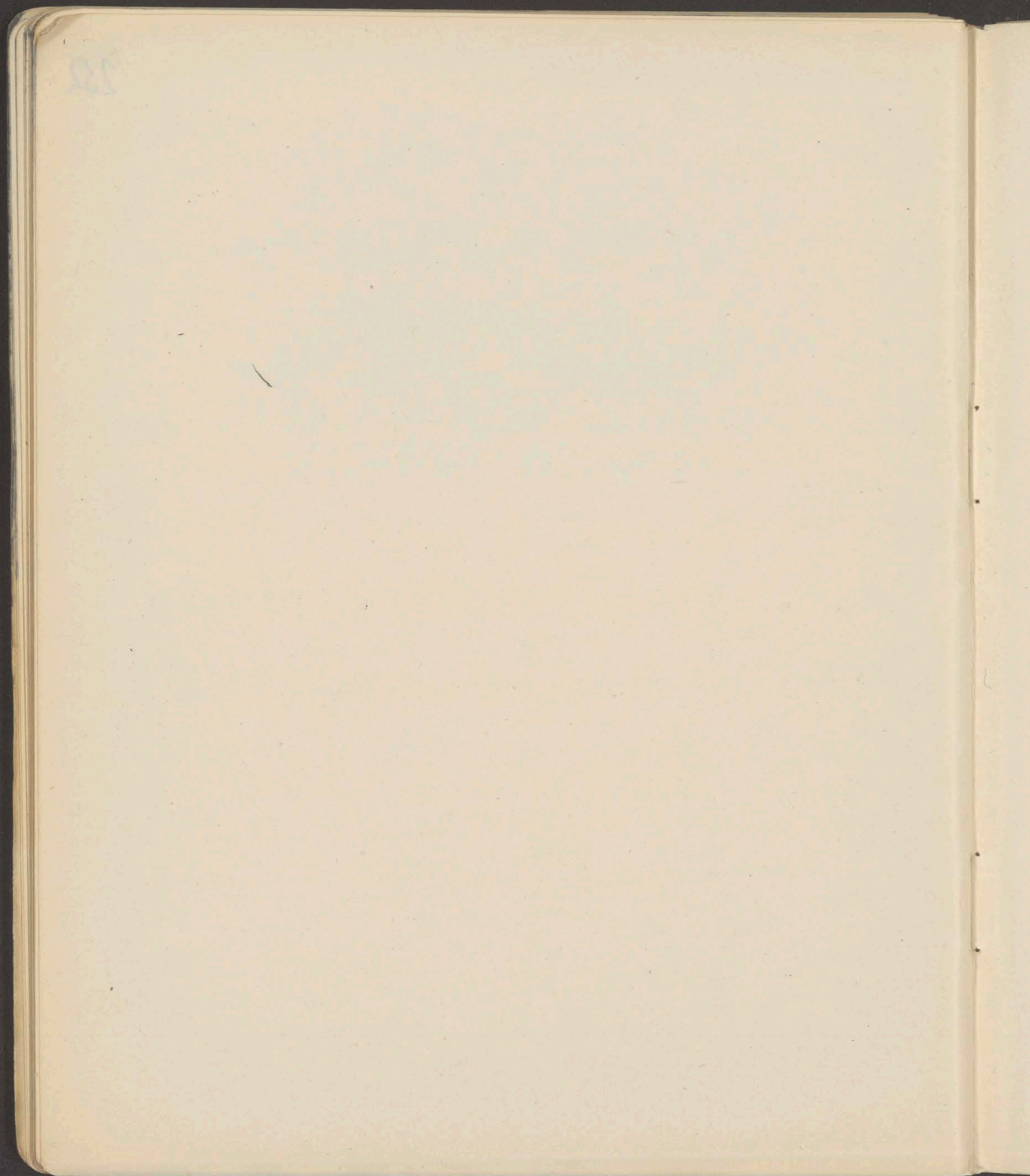








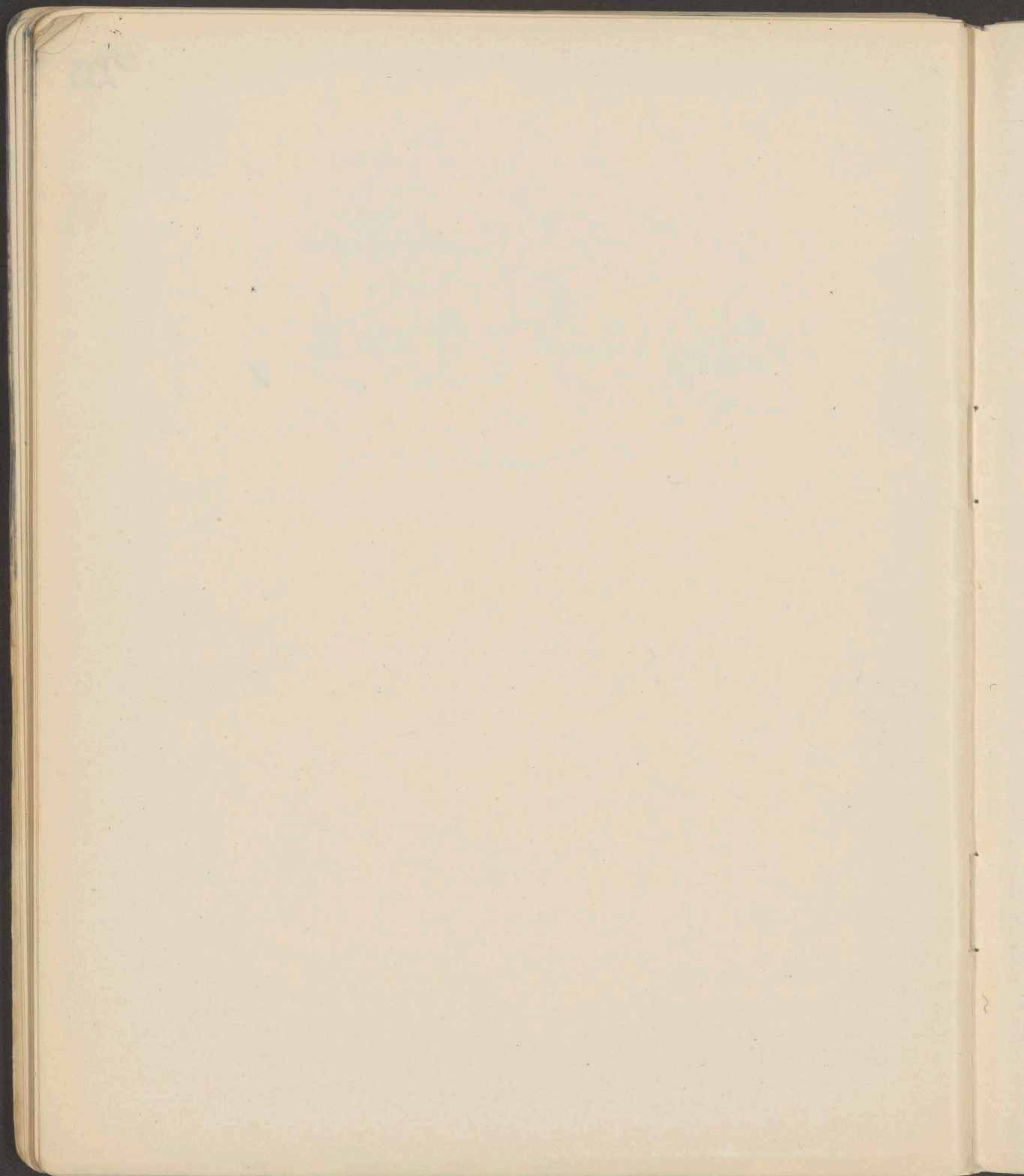














$$1000 - \frac{1}{10} = \frac{999}{10} = 99.9$$

$$1000 - \frac{1}{10} = 999.9$$

$$1000 - \frac{1}{10} = 999.9$$

$$1000 - \frac{1}{10} = 999.9$$

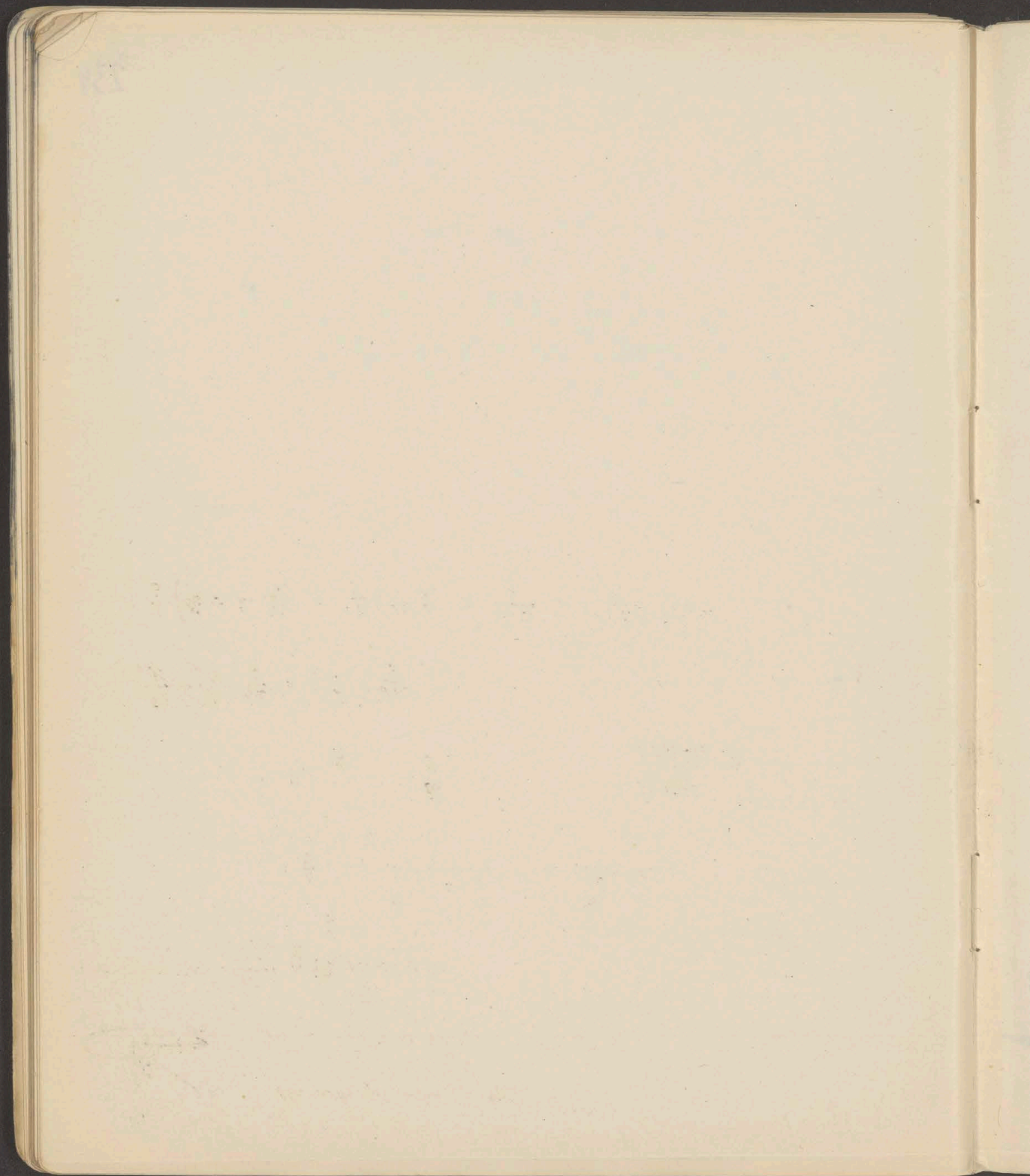
$$1000 - \frac{1}{10} = 999.9$$

$$1000 - \frac{1}{10} = 999.9$$

$$1000 - \frac{1}{10} = 999.9$$

$$1000 - \frac{1}{10} = 999.9$$







$$\frac{1}{2} (16 + 2 \cdot \frac{9}{2}) = \frac{5}{6} (1 + \frac{9}{2}) = \frac{16.7}{2} = \frac{9}{2} = \frac{17.2}{2} = 12.44$$

$$\frac{16}{2} + \frac{9}{2} = \frac{25}{2}$$

$$\frac{16}{2} + \frac{9}{2} = \frac{25}{2}$$

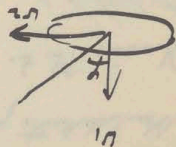
$$= \frac{3}{2} + \frac{1}{2} = \frac{4}{2} = 2$$

$$= \int_{-\frac{\pi}{2}}^0 u_1 \sin y \, dy + \int_{-\frac{\pi}{2}}^0 u_2 \sin y \, dy$$

$$= \int_{-\frac{\pi}{2}}^0 u_1 \sin y \, dy + \int_{-\frac{\pi}{2}}^0 u_2 \sin y \, dy$$

$$u = (u_1 \cos y + u_2 \sin y)$$

the unit for height is ft





Annahme

Richtung des Abwink

$$r_x = -43N \int \frac{dx}{VH}$$

$$= -1623N$$

an der Stelle N ist die Linie die Linie A tangiert

$$U = N \int \frac{207x}{dx} \frac{(67+1)(67+1)}{dx}$$

Abgabe der Konstruktion an der Stelle N

$$r_x = -1623N$$

de la plan de la section

$$r_x = -\frac{3}{32} R U$$

Ce diagramme est tiré par la méthode CR 153 p. 1286 (voir la page 1286)

Le diagramme de la section est tiré par la méthode CR 153 p. 1286 (voir la page 1286)

A l'extrémité de la section CR 153 p. 1286 (voir la page 1286)

La section est tirée par la méthode CR 153 p. 1286 (voir la page 1286)

$$K = 829 \cdot 10^{-6} = A \cdot E$$

$$A = 0.873$$

$$e = 4.788 \cdot 10^{-6}$$

la section



*Chironomus tentans*

1. Black, immature 2 puncta above large 2nd
2. One of the sky (Rogers etc)
3. Fall of river upon it. in water pass.
4. Connection from the river (in dead water, then start to infuse)

*Limnodynastes*

or puncta white way a very large 2nd May 1894

to do

presented more than one specimen (Rogers) etc etc

limn. tentans - puncta white way a very large 2nd May 1894

Alaska No. 2. 12 (1911) 1825

Alaska No. 2. 12 (1911) 1825



A. Henry C.R. 157 1880 1913

Longue de l'organe = alt. volume de l'organe

$\frac{1}{2} \downarrow = \frac{1}{2} \uparrow = \text{in. important}$

Volume  $V = 66.6 \cdot 10^{22}$

$K_0 = 3.48 \cdot 10^2$

Donc  $678 \cdot 10^{12}$

$0.46 \cdot 10^2$

Donc  $10^2$

Altus

2.2

6.1

Alt

2.1

5.3

Aut

4.7

5.7

h0

7.0

2.9

CS

0.9

4.4

Hydrogène

Indice de l'Altus 1906 h0.5 - 2.1 Alt 1929

Donc l'organe 1918 - 1929

A. Henry

Ang. l'organe 1910 - 1929

A. Henry

a. Organe 154 p. 112

volume plastique formé, puis son alt. formé

est obtenu à partir de l'indice de l'organe

de l'organe de 10mm par 1mm (l'indice) à un angle de 10mm

avec un nombre de transformations de 100 fois, formé à 10mm

complexe, et fait à un angle de 10mm



$$x^2 y = -2x^2 u \quad \frac{u}{y^2 - yx}$$

$$u = -\frac{u}{y^2 - yx}$$

$$u = -\alpha y \frac{x}{y}$$

$$u = \alpha y \frac{x}{y}$$

$$\begin{aligned} 0 &= \alpha y x + 1 \\ u &= \alpha y x + 1 \\ u &= \alpha y x + 1 \end{aligned}$$

$$f = -x^2 y^2 \left( \frac{x}{y} \right) = \alpha$$

$$\left[ \frac{\partial f}{\partial x} \right] = \alpha$$

Diele wird in einer bestimmten Richtung wie die

$$u = \infty \quad \text{wenn } u = \infty$$

$$u = -\frac{u}{y^2 - yx} \quad \text{wenn } u = \infty$$



Zur Erinnerung an die letzten Tage des Lebens.  
 Die letzten Tage des Lebens sind die letzten Tage des Lebens.  
 Die letzten Tage des Lebens sind die letzten Tage des Lebens.

Die letzten Tage des Lebens sind die letzten Tage des Lebens.  
 Die letzten Tage des Lebens sind die letzten Tage des Lebens.  
 Die letzten Tage des Lebens sind die letzten Tage des Lebens.

Die letzten Tage des Lebens sind die letzten Tage des Lebens.  
 Die letzten Tage des Lebens sind die letzten Tage des Lebens.  
 Die letzten Tage des Lebens sind die letzten Tage des Lebens.

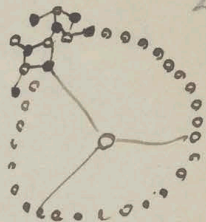
Die letzten Tage des Lebens sind die letzten Tage des Lebens.  
 Die letzten Tage des Lebens sind die letzten Tage des Lebens.  
 Die letzten Tage des Lebens sind die letzten Tage des Lebens.

Die letzten Tage des Lebens sind die letzten Tage des Lebens.  
 Die letzten Tage des Lebens sind die letzten Tage des Lebens.  
 Die letzten Tage des Lebens sind die letzten Tage des Lebens.

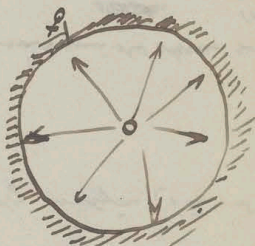
Die letzten Tage des Lebens sind die letzten Tage des Lebens.  
 Die letzten Tage des Lebens sind die letzten Tage des Lebens.  
 Die letzten Tage des Lebens sind die letzten Tage des Lebens.







The first thing I noticed when I stepped out of the car was the smell of the sea. It was a salty, briny scent that filled the air. I had heard that the water was good, but I didn't realize it would be so strong. I took a deep breath and felt a sense of relief. The sun was shining brightly, and the waves were crashing against the shore. It was a beautiful sight, and I knew that I was in for a great vacation.

[illegible]

Wozu gibt es die 2 positiven Abkennungen.  
 Denn wir verbinden 2 gleiche Abkennungen immer als Kette, so dass man  
 sofort sieht.  
 Verbindungen wie die Abkennungen mit der richtigen Richtung zu einem  
 großen Kreis, wenn man sich in der Mitte befindet, ist es möglich.  
 Man kann sich vorstellen, dass die 12.  
 Abkennungen, wenn man sie in der Mitte befindet, ist es möglich.  
 Abkennungen wie die Abkennungen?

by which the - South - West - North - East -





Kotaphantani (pos in Korymb.)

Receivunt tibi bene precantur.

Myself - white - 6 years!

(There is nothing more to be said)

унылима Томи шкѣлѣ, нѣтъ ни оубѣдоу добру

Ungarn & Rumänien. Reich. Verwaltung in den drei Königreichen

In this system the number 1000

notum cum rhombis pale

Denise the manager, saw Kathy on stage at [?] and [?]  
[?] [?]

the white horse flag is the standard

Chemische Analyse des Kalks, der in der Grotte von St. Martin gefunden wurde.

Chickadee for 1/2 doz. 1st gift. 1st gift. 1st gift.

сестры мои: Евдокия, Ирина и Наталья Губина

just in 1 day only " 2 days " very much in my power -

Just look to modern "machine of thought" - computers - they to me produce

Ulysses Kuntzlin ~~hat~~ immer in paradeni u. jeh. schreibst du







D. i A.